



سازمان زمین‌شناسی و اکتشافات معدنی کشور  
معاونت اکتشاف  
مدیریت امور اکتشاف

طرح تلفیق لایه‌های اطلاعاتی پایه و معرفی مناطق امید بخش معدنی کشور

پی‌جوئی به روش اکتشافات ژئوشیمیایی در محدوده فیروزان نهادن  
در مقیاس ۱:۲۵۰۰۰  
گزارش

مجری طرح: ناصر عابدیان  
 مجری فنی طرح: بهروز برنا  
 مسئول فنی پروژه: سرمهد روزبه کارگر

توسط: مهرداد موحدی  
با همکاری: الهام چیت‌گری

خرداد ماه ۱۳۸۸

بِسْمِ اللّٰهِ الرَّحْمٰنِ الرَّحِيْمِ

الرَّحْمٰنِ

## فهرست مطالب

الف.....	چکیده
۱ .....	فصل اوّل، کلیات
۱ .....	موقعیت جغرافیایی و جایگاه زمین‌شناسی محدوده اکتشافی
۲ .....	روند انجام پژوهش و تهیه گزارش
۴ .....	فصل دوّم، زمین‌شناسی محدوده مورد مطالعه
۴ .....	زمین‌شناسی محدوده مورد مطالعه
۴ .....	پرمو تریاپس
۴ .....	واحد $TRJ^m$
۴ .....	واحد $TRJ^{vm}$
۴ .....	کرتاسه
۴ .....	واحد $K_1^{vl}$
۴ .....	واحد $K_1^{ltb}$
۷ .....	فصل سوّم، نمونه‌برداری، آنالیز و محاسبه خطای آنالیز
۷ .....	طراحی شبکه نمونه‌برداری
۷ .....	آماده سازی نمونه‌های ژئوشیمیایی
۷ .....	آماده سازی و مطالعه کانی‌های سنگین
۱۱ .....	روش آنالیز نمونه‌های ژئوشیمیایی و حد حساسیت دستگاهها
۱۲ .....	تخمین داده‌های سنسورد
۱۲ .....	روش جایگزینی ساده
۱۴ .....	محاسبه خطای آنالیز

فصل چهارم، پردازش داده‌ها و شرح آنومالی‌های عناصر مختلف.....	۱۶
پردازش داده‌ها.....	۱۶
محاسبات پارامترهای آماری داده‌های خام.....	۱۶
بررسی مقادیر خارج از رده (Outliers Samples).....	۲۱
نرمال‌سازی داده‌های خام.....	۲۲
بررسی‌های آماری چند متغیره.....	۲۴
آنالیز خوش‌های و تفسیر آن.....	۲۵
آنومالی عناصر مختلف.....	۲۷
فصل پنجم، فاز کنترل آنومالی‌های ژئوشیمیایی.....	۳۹
ردیابی کانی‌سنگین.....	۴۰
بزرگی هاله‌های کانی‌سنگین.....	۴۱
برداشت نمونه‌های کانی‌سنگین.....	۴۱
آماده‌سازی و مطالعه نمونه‌های کانی‌سنگین.....	۴۱
پردازش داده‌های کانی‌سنگین.....	۴۲
رسم هیستوگرام متغیرهای کانی‌سنگین.....	۴۲
نمونه‌های مینرالیزه.....	۴۵
توصیف نمونه‌های مینرالیزه.....	۴۵
فصل ششم، نتایج و پیشنهادات.....	۵۱
منابع.....	۵۴

## فهرست جداول

نمونه‌های دارای مقادیر خارج از رده ..... ۲۲
مقادیر نرمال و همچنین حدود زمینه و آنومالی‌های ممکن و احتمالی و قطعی ..... ۲۸
نتایج حاصل از آنالیز نمونه‌های برداشتی از محدوده ۱:۲۵۰۰۰ فیروزان ..... ۴۶
آنومالی‌های مربوط به حدود زمینه و آنومالی‌های ممکن و احتمالی و قطعی گروههای مختلف کانی سنگین برگه ۱/۲۵۰۰۰ فیروزان ..... ۵۰
مقادیر میانگین و قدر مطلق تفاوت نمونه‌های تکراری ..... ضمائم
جدول همبستگی پیرسون بر روی داده‌های نرمال ..... ضمائم
جدول همبستگی اسپیرمن بر روی داده‌های خام ..... ضمائم
خصوصیات آماری گروههای مختلف نمونه‌های کانی سنگین محدوده ۱/۲۵۰۰۰ فیروزان ..... ضمائم
نمونه‌های آنومال محدوده فیروزان ..... ضمائم

## فهرست اشکال

راههای دسترسی به منطقه مورد مطالعه ..... ۱
نتایج حاصل از آنالیز خوشهای عناصر منطقه مورد مطالعه ..... ۲۶
آنالیز خوشهای نمونه‌های کانی سنگین محدوده ۱/۲۵۰۰۰ فیروزان ..... ۴۴
دیاگرام تامپسون نمونه‌های طلا و وانادیوم ..... ضمائم
دیاگرام تامپسون نمونه‌های کروم و کبالت ..... ضمائم
دیاگرام تامپسون نمونه‌های نیکل و مس ..... ضمائم
دیاگرام تامپسون نمونه‌های روی و گالیوم ..... ضمائم
دیاگرام تامپسون نمونه‌های استرانسیوم و ایتریوم ..... ضمائم
دیاگرام تامپسون نمونه‌های زیرکونیوم و نیوبیوم ..... ضمائم
دیاگرام تامپسون نمونه‌های سزیم و باریم ..... ضمائم
دیاگرام تامپسون نمونه‌های لانتانیوم و اندیوم ..... ضمائم
دیاگرام تامپسون نمونه‌های اسمیوم و هافنیوم ..... ضمائم
دیاگرام تامپسون نمونه‌های سرب و اورانیوم ..... ضمائم
دیاگرام تامپسون نمونه‌های فسفر و تیتانیوم ..... ضمائم
دیاگرام تامپسون نمونه‌های گوگرد و آرسنیک ..... ضمائم
دیاگرام تامپسون نمونه‌های سریوم و منگنز ..... ضمائم
دیاگرام تامپسون نمونه‌های روبیدیوم و اسکاندیوم ..... ضمائم
مشخصات آماری نمونه‌های ژئوشیمیایی خام و نرمال محدوده ۱/۲۵۰۰۰ فیروزان ..... ضمائم

### فهرست نقشه‌ها

موقعیت نمونه‌های برداشت شده محدوده فیروزان.....	۵۵
آنومالی ژئوشیمیایی عنصر نقره.....	۵۶
آنومالی ژئوشیمیایی عنصر آلومینیوم.....	۵۷
آنومالی ژئوشیمیایی عنصر آرسنیک.....	۵۸
آنومالی ژئوشیمیایی عنصر طلا.....	۵۹
آنومالی ژئوشیمیایی عنصر باریم.....	۶۰
آنومالی ژئوشیمیایی عنصر برلیوم.....	۶۱
آنومالی ژئوشیمیایی عنصر بیسموت.....	۶۲
آنومالی ژئوشیمیایی عنصر کلسیم.....	۶۳
آنومالی ژئوشیمیایی عنصر کادمیوم.....	۶۴
آنومالی ژئوشیمیایی عنصر سریم.....	۶۵
آنومالی ژئوشیمیایی عنصر کبالت.....	۶۶
آنومالی ژئوشیمیایی عنصر کروم.....	۶۷
آنومالی ژئوشیمیایی عنصر سزیم.....	۶۸
آنومالی ژئوشیمیایی عنصر مس.....	۶۹
آنومالی ژئوشیمیایی عنصر آهن.....	۷۰
آنومالی ژئوشیمیایی عنصر پتاسیم.....	۷۱
آنومالی ژئوشیمیایی عنصر لانتانیوم.....	۷۲
آنومالی ژئوشیمیایی عنصر لیتیوم.....	۷۳
آنومالی ژئوشیمیایی عنصر منیزیم.....	۷۴
آنومالی ژئوشیمیایی عنصر منگنز.....	۷۵

۷۶	آنومالی ژئوشیمیایی عنصر مولیبدن
۷۷	آنومالی ژئوشیمیایی عنصر سدیم
۷۸	آنومالی ژئوشیمیایی عنصر نیکل
۷۹	آنومالی ژئوشیمیایی عنصر فسفر
۸۰	آنومالی ژئوشیمیایی عنصر سرب
۸۱	آنومالی ژئوشیمیایی عنصر روبیدیوم
۸۲	آنومالی ژئوشیمیایی عنصر گوگرد
۸۳	آنومالی ژئوشیمیایی عنصر آنتیموان
۸۴	آنومالی ژئوشیمیایی عنصر اسکاندیوم
۸۵	آنومالی ژئوشیمیایی عنصر قلع
۸۶	آنومالی ژئوشیمیایی عنصر استرانسیوم
۸۷	آنومالی ژئوشیمیایی عنصر توریوم
۸۸	آنومالی ژئوشیمیایی عنصر تیتانیوم
۸۹	آنومالی ژئوشیمیایی عنصر تالیوم
۹۰	آنومالی ژئوشیمیایی عنصر اورانیوم
۹۱	آنومالی ژئوشیمیایی عنصر وانادیوم
۹۲	آنومالی ژئوشیمیایی عنصر تنگستن
۹۳	آنومالی ژئوشیمیایی عنصر ایتریوم
۹۴	آنومالی ژئوشیمیایی عنصر روی
۹۵	آنومالی ژئوشیمیایی عنصر زیرکونیوم
۹۶	آنومالی‌های مربوط به گروه یک کانی سنگین
۹۷	آنومالی‌های مربوط به گروه دو کانی سنگین

۹۸ .....	آنومالی‌های مربوط به گروه سه کانی سنگین
۹۹ .....	آنومالی‌های مربوط به گروه چهار کانی سنگین
۱۰۰ .....	آنومالی‌های مربوط به گروه پنج کانی سنگین
۱۰۱ .....	آنومالی‌های مربوط به گروه شش کانی سنگین
۱۰۲ .....	آنومالی‌های مربوط به گروه هفت کانی سنگین
۱۰۳ .....	محدوده‌های امید بخش جهت اکتشاف در مقیاس بزرگ‌تر

حُسْنَةٌ

## چکیده

منطقه مورد مطالعه جزء یکی از ۶ منطقه معرفی شده توسط مطالعات ناحیه‌ای ژئوشیمی در محدوده برگه ۱:۱۰۰,۰۰۰ نهادند می‌باشد. این ناحیه با توجه به تلفیق نتایج مطالعات ژئوشیمی، کانی‌سنگین، مطالعات صحرایی و نمونه‌برداری‌های بعدی انتخاب شده است. منطقه مورد مطالعه در ۵ کیلومتری شمال باخته شهر فیروزان و در استان همدان واقع شده است نزدیک‌ترین روستا به این منطقه، روستای قارلق در یک کیلومتری شمال منطقه با حدود ۵۰۰ نفر جمعیت می‌باشد. محدوده مذکور بین طولهای جغرافیایی ۳۸۱۴۳۲۶-۳۸۶۰۰۳-۲۲۸۲۵۶ و عرض‌های جغرافیایی ۳۸۱۰۰۵۶ واقع شده است واحدهای سنگی منطقه شامل سنگ‌های آذرین نفوذی با جنس گرانیت تا گرانوپوریت، سنگ‌های آذرین خروجی (جریانهای گدازه لیتیک‌دار متاولکانیک، پیروکلاستیک‌های داسیتی و آندزیتی)، سنگ‌های مرمریتی و آهک‌های نازک لایه اوربیتولین‌دار می‌باشد. مطالعات انجام گرفته شامل مطالعات ژئوشیمی، کانی‌سنگین و برداشت نمونه‌های سنگی کانه‌دار از واحدهای مشکوک به کانه‌زایی می‌باشد. ساختار تکتونیکی منطقه بیشتر به تبعیت از گسلهای با روند شمال غرب-جنوب شرقی شکل گرفته است. کانه‌زائی در منطقه در ارتباط با توده نفوذی با ترکیب گرانوپوریت و گرانیت است که اثر محلولهای گرمابی در قاعده سنگ‌های آهکی آثار کانه‌زایی فلزی بصورت اسکارن را بوجود آورده است. زمان تأثیر محلولهای گرمابی پس از توده نفوذی است زیرا به‌وضوح سنگ‌های توده نیز دگرسان شده (آندواسکارن) است. از آندواسکارن مربوط به اسکارن به‌طول در حدود ۴۰۰ متر و عرض در حدود ۴۰ متر تعدادی نمونه مینرالیزه بصورت تکه‌ای اخذ گردید. در این اسکارن همچنین مقادیری از کانی‌های مس و روی حضور دارند که برای اولین بار در طی این پژوهه این اسکارن کشف و بدینوسیله گزارش می‌گردد. از میان نمونه‌های اخذ شده از این محدوده نمونه NA-39M3 با دارا بودن ۲۶۴ ppb طلا در صدر قرار دارد. این نمونه از رگه سیلیسی موجود در آبراهه، حاوی اکسید و هیدروکسیدهای آهن و کمی آثار گوگرد و رآلگار بdst آمده

است. همچنین نمونه‌های برداشتی از این محدوده مقادیر بالایی از عنصر مس را نشان داده‌اند به طوریکه در تعداد ۹ نمونه، مقادیری بالاتر از  $100 \text{ ppm}$  مس را نشان داده‌اند. به عنوان مثال می‌توان به نمونه NA-34M8 با دارا بودن  $23000 \text{ ppm}$  مس اشاره نمود، این نمونه از اسکارن با امتداد N75E داخل گرانودیوریت حاوی اکسید و هیدروکسید آهن و مالاکیت می‌باشد اخذ گردیده است. نمونه‌های برداشتی از این محدوده مقادیر بالایی از عنصر روی را نیز نشان داده‌اند به طوریکه تعداد ۷ نمونه مقادیری بالاتر از  $100 \text{ ppm}$  روی را نشان داده‌اند. به عنوان مثال می‌توان به نمونه NA-34M9 با دارا بودن  $11500 \text{ ppm}$  روی اشاره نمود، این نمونه نیز از اسکارن فوق الذکر (بخش آندواسکارن) داخل گرانودیوریت که حاوی اکسید و هیدروکسید آهن و مالاکیت می‌باشد اخذ شده است. بالاترین مقدار نتیجه ژئوشیمیایی رسوبات آبراهه‌ای برای عنصر طلا  $16 \text{ میلی گرم در تن}$  و برای عنصر مس  $52/1 \text{ گرم در تن}$  و برای عنصر روی  $482 \text{ گرم در تن}$  می‌باشد. نتایج آنالیز نمونه‌های سنگی کانه‌دار بالاترین مقدار برای عنصر طلا  $264 \text{ ppb}$  و برای عنصر روی  $11500 \text{ گرم در تن}$  و مس  $23000 \text{ گرم در تن}$  می‌باشد. طلا در هیچ یک از نمونه‌های کانی‌سنگی مشاهده نشده است. برای برداشت‌های ژئوشیمیایی طراحی شبکه نمونه‌برداری با توجه به میزان گسترش شبکه آبراهه‌ای، لیتولوژی، آلتراسیون، زون‌های مینرالیزه و تکتونیک صورت گرفت، در مجموع تعداد ۸۸ نمونه ژئوشیمی،  $38$  نمونه کانی‌سنگی و  $18$  نمونه سنگی کانه‌دار از آن برداشت گردیده است. نمونه‌های برداشت شده برای آنالیز  $44$  عنصری با روش ICP و روش Fire Assay جهت آنالیز عنصر طلا آنالیز شدند. دقت آنالیزها محاسبه و سپس داده‌ها مورد تجزیه و تحلیل قرار گرفتند. در نهایت تلفیق داده‌های حاصل از ژئوشیمی، کانی‌سنگی، نمونه‌های مینرالیزه و مطالعات صحرائی، محدوده باختر و شمال باختり محدوده مورد مطالعه واقع در  $2$  کیلومتری جنوب روستای قارلق (نقشه شماره  $49$ ) جهت ادامه مطالعات اکتشافی برای عنصر مس، روی، طلا، آهن و عناصر پاراژنز آنها پیشنهاد گردید.

## میاونت اکتشاف - مدیریت امور اکتشاف

فصل اول

مکاتب

### ۱-۱- موقعیت جغرافیایی و جایگاه زمین‌شناسی محدوده اکتشافی:

محدوده مورد مطالعه با وسعت تقریبی ۳۳ کیلومترمربع بین طول‌های جغرافیایی ۵۶°۳۸'۱۴''-۵۷°۳۸'۱۰'' و عرض‌های جغرافیایی ۲۲۸۲۵۶-۲۳۶۰۰۳ در استان همدان و ۵ کیلومتری شمال باختری شهر فیروزان قرار دارد (شکل ۱-۱).



شکل (۱-۱) : راههای دسترسی به محدوده مورد مطالعه

محدوده مورد مطالعه بخشی از برگه زمین‌شناسی ۱:۱۰۰,۰۰۰ نهادوند می‌باشد. جاده‌های نهادوند - فیروزان و راه آسفالتی بره فراخ به قارلق دسترسی به محدوده را آسان می‌سازد. از لحاظ آب و هوایی دارای آب و هوای معتدل می‌باشد. سیستم آبراهه‌ای با توجه به کوهستانی

بودن محدوده مسیرهای مختلفی داشته، ولی در نهایت تمام آبراهه‌ها به سمت قلقل رود زهکشی می‌شوند.

در تقسیم‌بندی نبوی (۱۳۵۵) این محدوده در مرز زون سنندج – سیرجان و زاگرس مرتفع قرار می‌گیرد.

## ۱-۲- مطالعات قبلی صورت گرفته در محدوده مورد مطالعه :

۱ - م. سبزه‌ای ، ب. مجیدی ، ن. علوی تهرانی ، م. قریشی ، م. عمیدی ، ۱۹۷۷ ، نقشه زمین‌شناسی ۱:۲۵۰۰۰ همدان ، سازمان زمین‌شناسی و اکتشافات معدنی کشور

۲- ج. حسینی دوست ، م. الـف مهـدوی ، مهـدوی عـلوی ۱۹۹۲ ، نقـشـه زمین‌شناسی ۱:۱۰۰۰۰ نهـاونـد ، سازمان زمـينـشـناسـيـ وـ اـكـتشـافـاتـ مـعدـنـيـ کـشـور

۳- گزارش اکتشافات ژئوشیمیائی ۱:۱۰۰۰۰ منطقه نهـاونـد ، ۱۳۸۳ ، کـانـیـ کـاوـانـ شـرقـ

## ۱-۳- روند انجام پژوهش و تهیه گزارش

در طی اکتشافات ناحیه‌ای ژئوشیمیایی و کـانـیـ سـنـگـینـ درـ مـحـدـودـهـ برـگـهـ ۱:۱۰۰۰۰ نـهـاـونـدـ

تعداد شش محدوده امید بخش معرفی گردیده است که در طی یک تعامل مناسب بین سازمان

زمـينـشـناسـيـ وـ اـكـتشـافـاتـ مـعدـنـيـ کـشـورـ وـ سـازـمانـ صـنـایـعـ وـ معـادـنـ اـسـتـانـ هـمـدانـ تصـمـيمـ برـ اـدـامـهـ اـكـتشـافـ درـ مـقـيـاسـ نـيمـهـ تـفـصـيلـيـ درـ اـيـنـ مـحـدـودـهـاـ گـرـفـتـهـ شـدـ کـهـ درـ طـيـ آـنـ باـ بـرـنـامـهـ رـيـزـيـ

كـامـلـ وـ دـيدـ مشـخـصـ نـسـبـتـ بـهـ اـيـنـ نـقـاطـ ،ـ تـصـمـيمـ بـرـ اـكـتشـافـاتـ ژـئـوشـيـمـيـاـيـيـ وـ هـمـچـنـينـ مـطـالـعـاتـ

كـانـیـ سـنـگـینـ درـ مـقـيـاسـ بـزرـگـترـ هـمـراهـ باـ اـكـتشـافـاتـ چـكـشـيـ درـ مـنـاطـقـ اـمـيدـ بـخـشـ گـرـفـتـهـ شـدـ.

در ادامه کار در این محدوده ابتدا با جمع آوری کامل اطلاعات و با استفاده از نقشه ژئوفیزیک

هوایی محدوده و مشخص نمودن گسل‌های پنهان و موقعیت توده‌های نیمه عمیق و استفاده از نقشه زمین‌شناسی، اطلاعات زمین‌شناسی و سنگ‌شناسی موجود اقدام به طراحی شبکه نمونه‌برداری نمودیم. همچنین در مرحله نمونه‌برداری نیز با توجه به تغییرات سر زمین اقدام به اضافه نمودن نمونه‌ها یا جابجایی نمونه‌ها کردیم تا بهترین نتیجه ممکن‌های حاصل گردد.

## تعاونیت اکتشاف - مدیریت امور اکتشاف

هر نمونه ژئوشیمیایی از عمق ۳۰ تا ۴۰ سانتی‌متری آبراهه و از چند نقطه برداشت گردید و در نهایت از مخلوط نمودن این چند نمونه یک نمونه بدست آمد که در کیسه‌های دو جداره و با سه شماره نمونه یکی در داخل کیسه و دیگری نوشته شده بر کیسه داخلی و یکی بر کیسه خارجی علامت‌گذاری گردید. جهت نمونه‌گیری کانی‌سنگین نیز با همان شرایط نمونه‌گیری فوق مقدار ۱۰ تا ۱۵ لیتر نمونه گرفته و پس از لاوک شویی جهت آماده‌سازی و مطالعه به بخش مطالعه کانی‌سنگین سازمان زمین‌شناسی و اکتشافات معدنی کشور تحويل داده شد. جهت کنترل عملکرد آزمایشگاه نیز بطور کاملاً محروم از ۱۰ درصد نمونه‌های ژئوشیمیایی، نمونه تکراری انتخاب گردید.

فصل دوّم

زین‌شناشی

### زمین‌شناسی محدوده مورد مطالعه

محدوده مورد مطالعه در حدود سه زون سنندج سیرجان و زاگرس مرتفع قرار گرفته بطوریکه هم حضور دگرگونی‌های موجود در زون سنندج سیرجان در آن قابل ملاحظه می‌باشد و هم حضور تراست زاگرس و عملکرد گسل زاگرس به صورت راندگی‌های پراکنده قابل مشاهده می‌باشد. توصیف واحدهای زمین‌شناسی محدوده به شرح زیر است:

#### ۱- پرمو تریاس:

: $TRJ^m$  - واحد ۱

این واحد شامل سنگهای مرمریتی نازک لایه خاکستری تیره رنگ می‌باشند که در ناحیه شمالی محدوده مورد مطالعه در سطحی وسیع گسترش دارد.

: $TRJ^{vm}$  - واحد ۲

این واحد شامل سنگهای متالکانیکی نازک لایه از جنس گدازه و توف می‌باشد که در بخش شمال خاوری محدوده مورد مطالعه گسترش دارد.

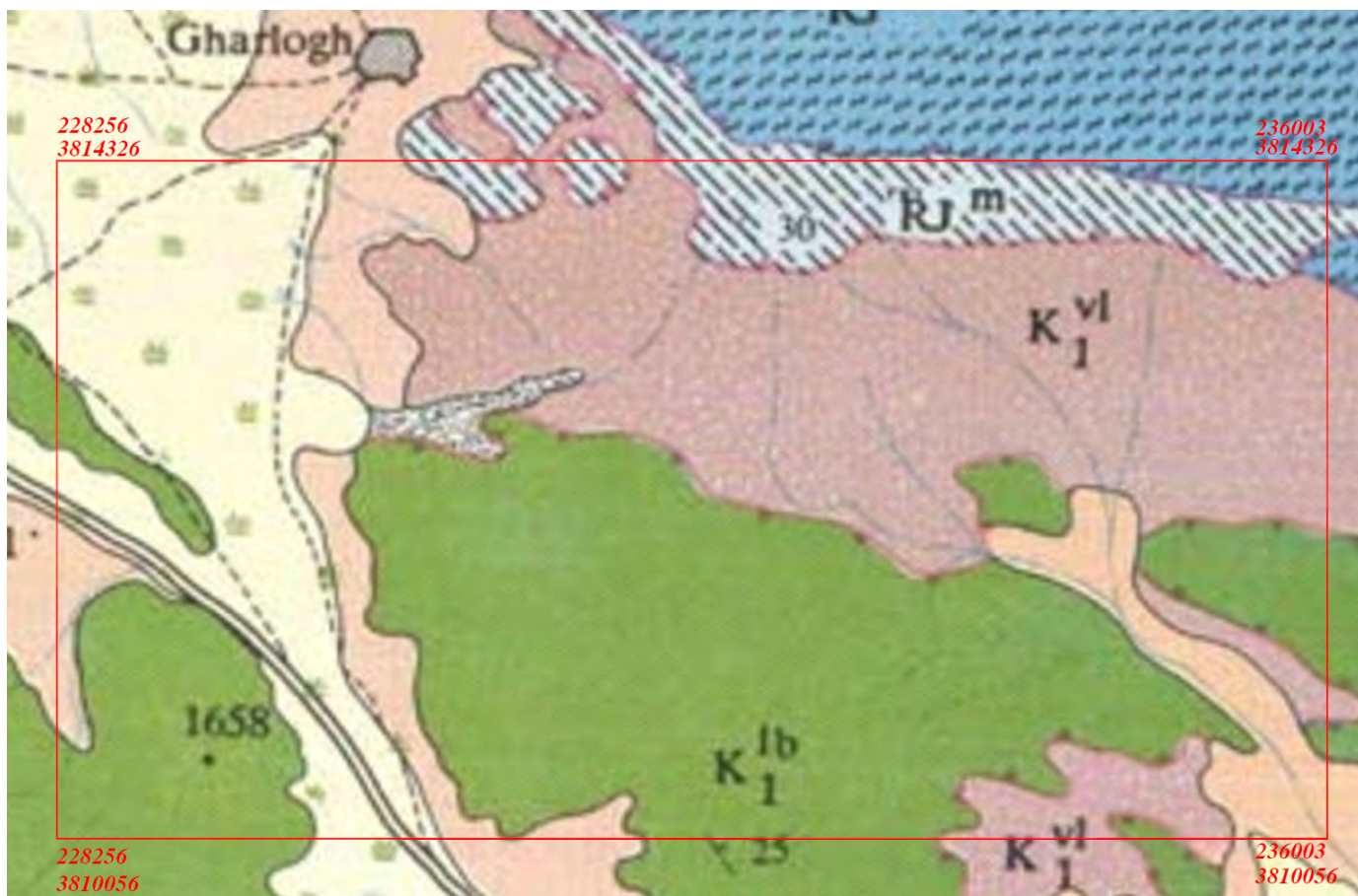
- کرتاسه:

: $K_1^{vl}$  - واحد ۲-۱

این واحد شامل سنگهای ولکانیکی پیروکلاستیک آندزیتی تا داسیتی صورتی تا قرمز رنگ می‌باشد که در بین آن قسمت‌هایی از سنگ‌های رسوی آهکی تبلور مجدد یافته کرتاسه تحتانی به چشم می‌خورد.

: $K_1^{ltb}$  - واحد ۲-۲

این واحد شامل سنگ‌های آهکی نازک لایه زرد تا خاکستری رنگ اوربیتولین‌دار به سن کرتاسه تحتانی می‌باشد.



شکل (۱-۲): موقعیت محدوده مورد مطالعه بر روی نقشه زمین‌شناسی ۱:۱۰۰,۰۰۰ نهادوند

معاونت اکتشاف - مدیریت امور اکتشاف



شکل (۲-۲): راهنمای نقشه زمین‌شناسی ۱/۱۰۰۰۰۰ نهادوند

# فصل سوم

نمونه برداری، آنالیز و

محاسبه خطای آنالیز

### ۳-۱- طراحی شبکه نمونه‌برداری:

معمولًاً عواملی که در طراحی شبکه نمونه‌برداری نقش اساسی دارند شامل واحدهای سنگی موجود در منطقه، سیستم توپوگرافی، شبکه آبراهه‌ای و سیستم گسله حاکم بر منطقه می‌باشد. در تراکم نمونه‌برداری در محدوده اکتشافی مورد بحث با توجه به توپوگرافی مرتفع سعی گردیده است ضمن رعایت دانسته نمونه‌ها که ۶ تا ۷ نمونه در هر کیلومترمربع بوده است، فاکتور انتشار واحدهای سنگی و شبکه گسله و زونهای مینرالیزه نیز در طراحی شبکه اعمال گردید. در طول عملیات صحرائی ضمن برداشت نمونه‌های ژئوشیمیایی، کلیه اطلاعات زمین‌شناسی، کانی‌شناسی، سنگ‌شناسی مورد توجه و ثبت قرار گرفت. نمونه‌های کانی‌سنگین با شبکه تقریبی ۳ عدد در هر کیلومترمربع نیز طراحی گردید که معمولًاً از مدخل آبراهه‌های اصلی جائی که بیشترین مساحت حوضه آبگیر را در بر می‌گیرد برداشت شده است. در مجموع تعداد نمونه‌های ژئوشیمیایی ۸۸ عدد و کانی‌سنگین ۳۸ عدد می‌باشد.

### ۳-۲- آماده‌سازی نمونه‌های ژئوشیمیایی:

نمونه‌های برداشت شده از رسوبات آبراهه‌ای در محل هر ایستگاه پس از بررسی موقعیت زمین‌شناسی و جغرافیایی و ثبت کلیه پدیده‌های زمین‌شناسی به مقدار ۲۰۰ الی ۳۰۰ گرم از الک ۶۰ مش عبور داده شده است. کلیه نمونه‌ها پس از کنترل و بسته‌بندی، به بخش نمونه‌کوبی سازمان زمین‌شناسی و اکتشافات معدنی کشور ارسال گردید. در بخش نمونه‌کوبی کلیه حجم نمونه برداشت شده تا حد ۲۰۰ مش پودر شده و سپس نمونه‌ها جهت آنالیز به آزمایشگاه‌های تجزیه عنصری سازمان زمین‌شناسی و اکتشافات معدنی کشور ارسال شد.

### ۳-۳- آماده‌سازی و مطالعه کانی‌های سنگین:

کانی‌های سنگین به آن دسته از کانی‌های گفته می‌شود که وزن حجمی آنها بیشتر از ۲/۸۹ گرم بر سانتی‌متر مکعب باشد و در مایع بروموفرم غوطه‌ور شوند. زمانی که پدیده‌های کانی‌سازی نظریه تزریق محلول‌های هیدروترمالی و یا پدیده‌های دگرگونی در اثر نفوذ سنگ‌های آذرین به وجود

می‌آیند، عیار کانی‌های سنگین در سنگ دربرگیرنده و یا محلول‌های تزریق شده افزایش یافته و

اکثراً کانی‌های کانسارساز اقتصادی به وجود می‌آید. (Economic minerals)

در صورتیکه عیار کانی‌های اقتصادی که اغلب جزء کانی‌های سنگین به شمار می‌آیند در سنگ‌های

دربرگیرنده افزایش یابند به صورت رگه، رگچه و عدسیهای معدنی ظاهر پیدا می‌کنند و یا به صورت

کانی‌های پراکنده در متن سنگ (Disseminated minerals) شکل می‌گیرند.

در محیط‌های ثانویه کانی‌های سنگین از دو منشأ کاملاً مستقل تحت تأثیر عوامل تخریبی و تجزیه

فیزیکی (Weathering) به وجود می‌آیند.

۱- کانی‌های سنگین مشتق شده از کانی‌های سنگ ساز نظیر پیروکسن، آمفیبول، تورمالین، چنانچه

منشأ کانی‌های سنگین از کانی‌های کانسارساز باشند، کانی‌هایی مثل کالکوپیریت، پیریت، زیرکن،

همانیت، روتیل، ایلمنیت، طلا، سیناپر، شنلیت، کاسیتریت را به وجود می‌آورند.

۲- کانی‌های سنگین مشابه عناصر کانسارساز اکثراً به صورت گروهی و یا کانی‌های پاراژنر

(Para genetic Minerals) با یکدیگر از سنگ مادر جدا شده و تحت شرایط فیزیکی و جغرافیایی

حاکم بر محیط نظیر شدت جریان آب و شرایط مورفولوژیکی حوضه آبگیر نظیر شیب توپوگرافی،

درجه حرارت محیط در محیط ثانویه تمرکز و تجمع می‌یابند.

نقش عوامل فیزیکی در تمرکز کانی‌های سنگین در محیط‌های ثانویه از اهمیت ویژه‌ای برخوردار

هستند بهمین دلیل کانی‌های هم وزن با منشأ متفاوت در یک محدوده جغرافیایی متمرکز

می‌گردند که می‌توانند در رابطه مستقیم با زون کانی‌ساز و یا واحدهای سنگی موجود در حوضه

آبگیر باشند. لذا تشخیص منشأ و منبع تمرکز کانی‌های سنگین در محیط‌های ثانویه نقشی مهم در

اكتشاف کانسارهای اولیه و کانسارهای ثانویه رسوبی (Placer Deposits) دارند. مطالعه

کانی‌های سنگین در امر اكتشاف دو کاربرد مهم دارند. یکی نقش ردیابی یا (Pathfinder Minerals)

و دیگری کشف کانسارهای بر جای مانده یا (Placer Deposits) می‌باشد. در مرحله اول چنانچه

کانی‌های پاراژنر نظیر سیناپر (HgS)، اورپیمانت (As<sub>2</sub>S<sub>3</sub>)، رآلگار(AsS)، استیبنیت (Sb<sub>2</sub>S<sub>3</sub>)،

کاسیتیریت( $\text{SnO}_2$ )، ولفرامیت [ $(\text{Fe}, \text{Mn})\text{WO}_4$ ] در یک حوضه آبریز تمرکز یافته باشند، سنگ‌های حوضه آبریز می‌توانند خاستگاه تشکیل طلا باشند و یا اینکه حضور کانی‌های پیریت ( $\text{FeS}$ )، مالاکیت  $\{\text{Cu}_2\text{CO}_3(\text{OH})_2\}$ ، کولولیت ( $\text{CuS}$ ) و کالکوپیریت ( $\text{CuFeS}_2$ ) می‌تواند نشانه‌ای از حضور کانی‌سازی مس در سنگ‌های دربرگیرنده باشد. انطباق زون‌های تمرکز یافته کانی‌های سنگین با آنومالیهای عنصری خود نیز تائیدی بر حضور کانی‌سازی در سنگ‌های دربرگیرنده حوضه آبگیر می‌باشند. در بسیاری از محیط‌های رسوبی (محیط ثانویه) عهد حاضر نظیر رسوبات رودخانه‌ای، مخروط افکنه‌ها (Alluvial Fans)، تراشه‌ای رودخانه‌ای، رسوبات دامنه‌ای و بالاخره رسوبات ساحلی (Beach Deposits) بسیاری از کانی‌های سنگین در حد اقتصادی تمرکز می‌یابند. این کانیها عبارتنداز: ایلمنیت، روتیل، مگنتیت، کاسیتیریت، مونازیت، طلا که اگر عیار آنها در حد اقتصادی افزایش یابد خود رسوبات به عنوان کانسار شناخته شده (Placer Deposits) و قابل استخراج می‌باشند. با توجه به مقدمه‌ای که گفته شد در منطقه اکتشافی مورد بحث تعداد ۳۸ نمونه کانی‌سنگین با هدف کنترل کانی‌های پاراژنز طلا برداشت و مورد مطالعه قرار گرفته‌اند. ناگفته نماند چنانچه طلا به عنوان عنصر آزاد در سنگ‌های حوضه آبگیر وجود داشته باشد قابل شناسایی در رسوبات رودخانه‌ای است و چنانچه به صورت عنصر درگیر در شبکه کریستالی کانی‌هایی دیگر نظیر پیریت و کالکوپیریت باشد شناسایی آن به صورت آزاد غیرممکن است.

در راستای نمونه‌برداری ژئوشیمیایی و جهت تکمیل مطالعه و جمع‌آوری داده‌ها، اقدام به نمونه‌برداری کانی‌سنگین شد. جهت نیل به نتایج مطلوب‌تر از بخش‌های پائین دست و در مسیر آبراهه اصلی، از عمق ۳۰ سانتی‌متری گودالی حفر شده و در عرض آبراهه (در صورت عریض بوده آبراهه) یا در طول آن (در صورت کمبودن عرض آن) با توجه به میزان رسوب و به تعداد مقتضی نمونه برداشت شد که ماحصل این نمونه‌برداری، مقدار ۵ لیتر نمونه خشک الکشده در زیر الک ۲۰ مش می‌باشد. در مرحله آماده‌سازی ابتدا نمونه کانی‌سنگین انتخاب شده از آبراهه، توسط آب شسته می‌شود (مرحله لاوک‌شویی) سپس طی مرحله بروموفرم‌گیری که یکی از مراحل چندگانه آماده‌سازی

کانی سنگین است، کانی‌های با وزن مخصوص بیش از ۲/۸۹ گرم بر سانتیمترمکعب (Heavy mineral) از کانی‌های سبک (Light mineral) جدا می‌شود. مرحله بعدی با عنوان مرحله مگنت‌گیری از مجموع کل (Total Valume) که در مرحله لاوکشویی حاصل شده بود، یک حجم به عنوان حجم بایگانی در نظر گرفته می‌شود، بطوریکه حجم مطالعاتی، خود توسط آهنربای مغناطیسی به سه بخش مجزا با عنوانین بخش NM، بخش AA، بخش AV تقسیم می‌شود.

بخش NM قادر هرگونه خاصیت مغناطیسی بوده و عمدتاً شامل کانی‌های زیرکن، آپاتیت، روتیل، آناتاز، اسفن، باریت و کانی‌های بالرزشی از جمله سینابر، طلا، پیریت و کالکوپیریت می‌باشد.

بخش AA دارای حداقل خاصیت مغناطیسی بوده و از جمله کانی‌های آن مگنتیت و ایلمونومگنتیت می‌باشد.

و بالاخره بخش AV که از نظر خاصیت مغناطیسی حد بین دو بخش قبلی است شامل کانی‌های پیروکسن، آمفیبول، اولیوین، گارنت، کرومیت، هماتیت، ایلمنیت است.

جهت مطالعه و درصد دهی و در نهایت ارائه عیار کانیها به صورت گرم در تن از فرمول:

$$G = \frac{X.y.b.d.10000}{A.C.2.5}$$

استفاده شده است (ف. آزم ۱۳۶۴). جهت تعیین عیار کانیها بر حسب گرم در تن، کلیه مراحل آماده‌سازی بر حسب حجم سنجی صورت می‌گیرد. بطوریکه نمونه برداشت شده قبل از لاوکشویی، حجم‌سنجی می‌گردد و کلیه مراحل بعدی نیز حجم‌سنجی گردیده و در نهایت با استفاده از فرمول بالا حجم به وزن (گرم در تن) تبدیل می‌گردد.

در فرمول بالا پارامترها عبارتنداز:

$$G = \text{عيار هر کانی بر حسب گرم در تن}$$

X = مقدار کانی مورد مطالعه زیر بینوکولر بر حسب درصد

Y = حجم کانی سنگین پس از عبور از بروموفرم

b = مقدار رسوب باقیمانده پس از لاوکشوئی

d = وزن مخصوص کانی مورد مطالعه

c = حجم انتخابی رسوب جهت عبور از محلول برموفرم

2.5 = وزن مخصوص متوسط رسوب رودخانه‌ای

### ۳-۴-روش آنالیز نمونه‌های ژئوشیمیایی وحد حساسیت دستگاهها:

در این پژوهه ۴۴ عنصر Ag, Al, As, Au, B, Ba, Be, Bi, Ca, Cd, Ce, Co, Cr, Cs, Cu, Fe, Hg, K, La, Li, Mg, Al, Mn, Mo, Na, Nb, Ni, P, Pb, Rb, S, Sb, Sc, Sn, Sr, Te, Th, Ti, Fire Assay Tl, U, V, W, Y, Zn, Zr, و مورد تجزیه شیمیایی قرار گرفتند. عنصر Au با روش بقیه عناصر با روش ICP آنالیز گردیدند. در مورد عناصر B, Hg, Te با توجه به این که اغلب نمونه‌ها دارای داده سنسورد می‌باشند لذا این عناصر از پردازش حذف شدند. نتایج آنالیز عناصر به جز طلا که به صورت ppb نمایش داده شده است، بر حسب ppm هستند. لیست نمونه‌ها به همراه آنالیز آنها در CD و در ضمینه گزارش آورده شده است.

در جدول (۱-۳) حد حساسیت دستگاهها برای عناصر مختلف و روش آنالیز آنها آورده شده است. مهمترین پارامتر در انتخاب روش آنالیز حد حساسیت آن می‌باشد. اصولاً وجود مقادیر سنسورد برای یک عنصر در تجزیه و تحلیل‌های آماری اختلال ایجاد می‌کند و علاوه بر این از آنجا که در اکتشافات ژئوشیمیایی اهمیت و کاربرد مقادیر عددی مربوط به هر یک از عناصر صرفاً به منظور مقایسه نسبی آنها با یکدیگر برای تعیین مقادیر آنومالی می‌باشد، لذا حصول مقادیر عددی (غیر سنسورد) برای یک عنصر از درجه اهمیت بالائی برخوردار است. حد حساسیت یک روش آزمایشگاهی برای یک عنصر در ارتباط با مقدار زمینه آن انتخاب می‌شود و باید کوچکتر از آن باشد. لذا با توجه به توضیحات فوق مقادیر حد حساسیت برای عناصر مورد نظر با توجه به تکنیک‌های آزمایشگاهی موجود و مقدار زمینه عناصر تعیین شد تا با توجه به فراوانی کم عناصر در برخی از سنگها تا حد امکان مقادیر غیر سنسورد حاصل شود. نمونه‌های آنالیز شده محدوده ۱/۲۵۰۰۰

فیروزان برای عناصر مختلف ( به غیر از Y, W, Th, Te, Sn, Sb, S, Nb, Hg, Cs, Au, Ce, Cd) فاقد داده‌های سنسورد بودند. کلیه نمونه‌ها برای عناصر B, Hg, Te, دارای داده سنسورد می‌باشند که این عناصر از داده پردازی حذف شدند. در حالی که برای عنصر Au فقط یک نمونه، Cd یک نمونه، Ce یک نمونه، Cs یک نمونه، Hg پنجاه نمونه، Nb یک نمونه، S چهار نمونه، Sb یک نمونه، Sn یک نمونه، Te، هفتاد و نه نمونه، Th یک نمونه، W یک نمونه، Y یک نمونه دارای داده سنسورد می‌باشد.

### ۳-۵- تخمین داده‌های سنسورد:

مقادیر سنسورد اعدادی هستند که به صورت کوچکتر و یا بزرگتر از یک مقدار معین گزارش می‌شوند. داده‌های ژئوشیمیایی به علت پائین بودن برخی از عناصر دارای مقادیر سنسورد می‌باشند. برای داده‌های ژئوشیمیایی مقدار سنسورد بطور تیپیک در حد حساسیت دستگاههای اندازه‌گیری قرار دارند که ممکن است به صورت مقادیر کمتر و یا بیشتر از یک مقدار خاص (حد حساسیت دستگاه) بیان شود که به ترتیب مربوط به زمانی هستند که مقدار یک عنصر کوچکتر از حد حساسیت و یا بزرگتر از حد حساسیت باشد. داده‌های سنسورد در پردازش داده‌های ژئوشیمیایی اختلال ایجاد می‌کنند چرا که اغلب تکنیکهای آماری مهم نیازمند یک مجموعه کاملی از داده‌های عددی و غیرسنسورد می‌باشند. جهت تخمین مقادیر سنسورد از دو روش عمده استفاده می‌شود:

#### الف- روش جایگزینی ساده:

در این روش مقادیر بزرگتر از حد حساسیت در مرز بالایی را  $4/3$  حد بالایی حساسیت و مقادیر کمتر از حد حساسیت در مرز پائینی را با  $3/4$  آن جایگزین می‌کنیم. اگر تعداد داده‌های سنسورد در مقابل کل داده‌ها ناچیز باشد کمتر از ده درصد معمولاً می‌توان از این روش استفاده کرد.

#### ب- روش بیشترین درست نمایی کوهن:

در این روش بر اساس داده‌های غیرسنسورد، میانگین جامعه کل (سنسورد و غیرسنسورد) تخمین زده می‌شود و سپس از روی آن میانگین جامعه سنسورد محاسبه می‌شود و در نهایت مقادیر

سنسورد با میانگین مذکور جایگزین می‌شوند. نکته مهم اینست که داده‌ها حتماً باید توزیع نرمال داشته باشند.

ابتدا میانگین و پراش جامعه کل داده‌ها را با فرمولهای زیر بدست می‌آوریم:

$$X_t = X_u - \lambda (X_u - X_o)$$

$$S_{2t}^2 = S_{u2}^2 + \lambda (X_u - X_o)^2$$

$$= X_u - \text{میانگین جامعه داده‌های غیرسنسورد}$$

$$= \text{میانگین جامعه کل داده‌ها}$$

$$= \text{پراش جامعه کل داده‌ها}$$

$$= S_{u2}^2 - \text{پراش جامعه داده‌های غیرسنسورد}$$

$$= \text{حد حساسیت دستگاه}$$

$\lambda$ =تابعی از دو متغیر ( $\gamma, h$ ) است که از جدول مربوطه بدست می‌آید.

$$h = \frac{n_t - n_u}{n_t} \quad \text{تعداد کل داده‌ها} = n_t$$

$$\lambda = \frac{S_u^2}{(X_u - X_o)} \quad \text{تعداد داده‌های غیرسنسورد} = n_u$$

با توجه به رابطه میانگین کل داده‌ها با میانگین جوامع سنسورد و غیرسنسورد، می‌توان مقدار

$$n_t \cdot X_t = n_c \cdot X_c + n_u \cdot X_u \quad \text{میانگین جامعه داده‌های سنسورد را بدست آورد.}$$

$$X_c = \frac{n_t \cdot X_t - n_u \cdot X_u}{n_c}$$

$X_c$  همان مقدار جایگزین است که باید جانشین مقادیر سنسورد شود.

در داده‌های ژئوشیمیایی محدوده مورد مطالعه فقط عناصر جیوه، مولیبدن، آنتیموان و بیسموت دارای داده‌های سنسورد می‌باشند. با توجه به این که اکثر داده‌های عنصر جیوه دارای داده سنسورد می‌باشند لذا از داده پردازی حذف شد. در مورد عناصر مولیبدن، آنتیموان و بیسموت با توجه به این که تعداد نمونه‌های دارای داده سنسوردهم بود با روش جایگزینی ساده جایگزین شدند.

### ۶-۳-محاسبه خطای آنالیز:

در مباحث ژئوشیمی یکی از سه مؤلفه اصلی خطای کلی در عملیات اکتشافی، خطای آزمایشگاهی است و بدست آوردن این خطای برای اطلاع از میزان دقت آنالیز حائز اهمیت است. در پروژه‌های ژئوشیمیایی در مقیاس ناحیه‌ای هدف سنجش نسبی مقادیر هر عنصر نسبت به یکدیگر به منظور معرفی نواحی امیدبخش و مناطق پر پتانسیل برای اهداف نیمه تفصیلی می‌باشد، لذا دقت اندازه‌گیری‌ها در مقایسه با صحت آنها از درجه اهمیت بیشتری برخوردار است. ولی در مقیاس نیمه تفصیلی و تفصیلی صحت از دقت اهمیت بیشتری دارد. برای تعیین صحت متاسفانه در ایران کاری صورت نمی‌گیرد ولی با آنالیز تکراری نمونه‌های ژئوشیمیایی دقت عملیات مورد بررسی قرار گرفت. در مرحله نخست جهت بررسی وضعیت دقت عملیات از دیاگرام کنترلی طراحی شده برای ۱۰٪ خطای که در سال ۱۹۷۶ توسط تامسون ارائه شد، استفاده گردید. بدین منظور ابتدا جداول (۳-۲) تا (۳-۷) ترسیم شدند. در این جداول در ستون اول نام متغیر، در ستون دوم شماره سریال نمونه‌ها، در ستون های سوم و چهارم مقادیر اندازه‌گیری شده برای هر جفت نمونه، در ستون پنجم مقدار میانگین و در ستون ششم قدر مطلق تفاضل هر زوج نمونه آورده شده است. در دیاگرام کنترلی تامسون، محورهای افقی و قائم به ترتیب مقادیر لگاریتمی میانگین و قدر مطلق تفاضل دو اندازه‌گیری را نشان می‌دهد. پس از پیاده کردن نقاط مربوط به جفت نمونه‌های آنالیز شده در صورتیکه ۹۰٪ داده‌ها زیر خط معادل ۱۰٪ و ۹۹٪ داده‌ها زیر خط معادل ۱٪ قرار گیرند خطای حد ۱۰٪ خواهد بود.

جدول (۱-۳) و اشکال (۲۱-۳) تا (۱-۳) دیاگرام کنترلی عناصر مورد نظر را نشان می‌دهد (بخش ضمایم). با بررسی این دیاگرام‌ها دیده می‌شود که برای عناصر Au, Ag, Al, As, Ba, Be, Cr, Fe, K, Li, Mo, P, Rb, S, Sb, Sc, Ti, U, W, Y, Zn, Zr دقیق آنالیز از شرایط ذکر شده برای دیاگرام تامسون پیروی نکرده و خطای بالایی را این عناصر دارا هستند. اشکال و جداول ذکر شده در بخش ضمایم آورده شده‌اند.

فصل چهارم

بردازش داده

**۴-۱-پردازش داده‌ها:**

پردازش داده‌ها مرحله‌ای است که طی آن به حجم زیاد اطلاعات گردآوری شده سامان داده می‌شود و با اعمال محاسبات آماری و زمین‌آماری گوناگون به شکل قابل تفسیر در می‌آیند. از جمله عملیاتی که در این مرحله صورت می‌گیرد، می‌توان به طبقه‌بندی داده‌ها، ورود داده‌ها در بانک‌های اطلاعاتی، رسم نمودارها و تنظیم جداول اشاره کرد و در طی این مراحل کنترل‌های مختلفی صورت می‌گیرد تا از بروز خطاهاي احتمالي جلوگيري شود. به علت اينكه نقشه زمین‌شناسي ۱/۲۵۰۰۰ منطقه تهيه نشد و همچنان به دليل کوچکي مناطق آنومال معرفی شده از مرحله اکتشافات ژئوشيميايی ۱:۱۰۰۰۰ و در نتيجه محدوديت جامعه نمونه‌برداری، پردازش جوامع سنگي و محاسبه شاخص غني‌شدگي انجام نگرفت. داده‌ها بعد از محاسبات پaramترهاي آماري داده‌هاي خام، نرمال شدند و بر اساس اين داده‌ها، مناطق آنومال نهائي محاسبه و معرفی گردیدند.

**۴-۲-محاسبات پaramترهاي آماري داده‌هاي خام:**

در پردازش آماري داده‌هاي اوليه (داده‌هاي خام) که از آزمایشگاه دریافت می‌شود برای اين داده‌ها با استفاده از روش‌های آماري مورد آنالیز قرار گيرند باید ماهیت توزيع آنها مشخص گردد. بنابراین گام اول قبل از پردازش داده‌ها، محاسبه پaramترهاي آماري داده خام و شناخت ماهیت تابع توزيع مربوط به عناصر Ag, Al, As, Au, Ba, Be, Bi, Ca, Cd, Ce, Co, Cr, Cs, Cu, Fe, K, La, Li, Mg, Al, Mn, Mo, Na, Nb, Ni, P, Pb, Rb, S, Sb, Sc, Sn, Sr, Th, Ti, Tl, U, V, W, Y, Zn, Zr, می‌باشد. به اين منظور پaramترهاي آماري مهم نظير ميانگين، ميانه، انحراف معيار، واريанс، چولگي، كشيدگي، مينيميم مقدار و ماکزيم مقدار مربوط به هر عنصر به همراه هيستوگرام مربوط به آن در شكل (۴-۱) در بخش ضمائيم آورده شده است. بر اساس اين اشكال و داده‌هاي مربوط به آن نتایج مربوط به ماهیت جوامع آماري مختلف در ذيل آورده شده است.

عنصر نقره (Ag) با توجه به چولگی ۵/۰۱۲۷ و کشیدگی ۳۲/۴۳ و شکل هیستوگرام آن دارای تابع توزیع نامتقارن می‌باشد.

عنصر آلومینیوم (Al) با توجه به چولگی ۱/۹۰۵ و کشیدگی ۵/۴۸۸ و شکل هیستوگرام آن دارای تابع توزیع نامتقارن می‌باشد.

عنصر طلا (Au) با توجه به چولگی ۲/۸۶ و کشیدگی ۱۰/۴۰۱ و شکل هیستوگرام آن دارای تابع توزیع نامتقارن می‌باشد.

عنصر باریم (Ba) دارای چولگی ۱/۷۱۴ و کشیدگی ۴/۵۱۷ و شکل هیستوگرام آن دارای تابع توزیع نامتقارن می‌باشد.

عنصر برلیوم (Be) دارای چولگی ۰/۹۳۵ و کشیدگی ۲/۲۸۴ و شکل هیستوگرام آن دارای تابع توزیع نزدیک به متقارن می‌باشد.

عنصر بیسموت (Bi) با توجه به چولگی ۵/۱۵۹ و کشیدگی ۳۴/۰۵۶ و شکل هیستوگرام آن دارای تابع توزیع نامتقارن می‌باشد.

عنصر کلسیم (Ca) با توجه به چولگی ۲/۵۲۳ و کشیدگی ۷/۲۶۸ و شکل هیستوگرام آن دارای تابع توزیع تقریباً نرمال می‌باشد.

عنصر کادمیوم (Cd) با توجه به چولگی ۱/۸۱۱ و کشیدگی ۳/۱۹۱ و شکل هیستوگرام آن دارای تابع توزیع نامتقارن می‌باشد.

عنصر سریم (Ce) دارای چولگی ۲/۸۲۹ و کشیدگی ۱۴/۴۸۰ و شکل هیستوگرام آن دارای تابع توزیع نامتقارن می‌باشد.

عنصر کبالت (Co) با توجه به چولگی ۰/۲۲۸ و کشیدگی ۰/۳۶۰ و شکل هیستوگرام آن دارای تابع توزیع متقارن می‌باشد.

عنصر کروم (Cr) با توجه به چولگی ۱/۴۱۳ و کشیدگی ۳/۴۸۲ و شکل هیستوگرام آن دارای تابع توزیع نزدیک به متقارن می‌باشد.

عنصر سزیم (Cs) با توجه به چولگی ۰/۲۹۸- و کشیدگی ۱/۳۳ و شکل هیستوگرام آن دارای تابع توزیع متقارن می‌باشد.

عنصر مس (Cu) با توجه به چولگی ۰/۴۴۲ و کشیدگی ۰/۲۶۶ و شکل هیستوگرام آن دارای تابع توزیع متقارن می‌باشد.

عنصر آهن (Fe) با توجه به چولگی ۰/۰۴۹ و کشیدگی ۰/۰۱۳ و شکل هیستوگرام آن دارای تابع توزیع نامتقارن می‌باشد.

عنصر پتاسیم (K) با توجه به چولگی ۱/۰۷۶- و کشیدگی ۲/۶۵۱ و شکل هیستوگرام آن دارای تابع توزیع نزدیک به متقارن می‌باشد.

عنصر لانتانیوم (La) با توجه به چولگی ۱/۴۸۳- و کشیدگی ۳/۷۲۵ و شکل هیستوگرام آن دارای تابع توزیع نزدیک به متقارن می‌باشد.

عنصر لیتیوم (Li) با توجه به چولگی ۲/۰۱۴ و کشیدگی ۱۰/۹۳۹ و شکل هیستوگرام آن دارای تابع توزیع نزدیک به متقارن می‌باشد.

عنصر منیزیوم (Mg) با توجه به چولگی ۱/۲۹۴ و کشیدگی ۴/۶۳۵ و شکل هیستوگرام آن دارای تابع توزیع نزدیک به متقارن می‌باشد.

عنصر منگنز (Mn) با توجه به چولگی ۰/۰۶۲۸- و کشیدگی ۰/۲۵۸ و شکل هیستوگرام آن دارای تابع توزیع نزدیک به متقارن می‌باشد.

عنصر مولیبدن (Mo) با توجه به چولگی ۳/۴۶۱ و کشیدگی ۱۸/۴۹۰ و شکل هیستوگرام آن دارای تابع توزیع نامتقارن می‌باشد.

عنصر سدیم (Na) با توجه به چولگی ۰/۴۴۰ و کشیدگی ۰/۶۰۰ و شکل هیستوگرام آن دارای تابع توزیع نزدیک به متقارن می‌باشد.

عنصر نیوبیوم (Nb) با توجه به چولگی ۰/۹۳-۲/۲۶ و کشیدگی ۷/۲۶ و شکل هیستوگرام آن دارای تابع توزیع نامتقارن می‌باشد.

عنصر نیکل (Ni) با توجه به چولگی ۱/۲۱۱ و کشیدگی ۴/۵۱۵ و شکل هیستوگرام آن دارای تابع توزیع نزدیک به متقارن می‌باشد.

عنصر فسفر (P) با توجه به چولگی ۰/۰۹۱ و کشیدگی ۰/۹۰۸ و شکل هیستوگرام آن دارای تابع توزیع نزدیک به متقارن می‌باشد.

عنصر سرب (Pb) با توجه به چولگی ۱/۰۲۹ و کشیدگی ۰/۶۵۴ و شکل هیستوگرام آن دارای تابع توزیع نامتقارن می‌باشد.

عنصر روبیدیوم (Rb) با توجه به چولگی ۰/۴۴۹-۱/۷۷۰ و کشیدگی ۰/۴۴۹ و شکل هیستوگرام آن دارای تابع توزیع نزدیک به متقارن می‌باشد.

عنصر گوگرد (S) با توجه به چولگی ۲/۵۴۹ و کشیدگی ۷/۴۱۷ و شکل هیستوگرام آن دارای تابع توزیع نامتقارن می‌باشد.

عنصر آنتیموان (Sb) با توجه به چولگی ۰/۸۴۶ و کشیدگی ۰/۷۶۷ و شکل هیستوگرام آن دارای تابع توزیع نزدیک به متقارن می‌باشد.

عنصر اسکاندیوم (Sc) با توجه به چولگی ۰/۰۳۲ و کشیدگی ۱/۱۲۲ و شکل هیستوگرام آن دارای تابع توزیع نزدیک به متقارن می‌باشد.

عنصر قلع (Sn) با توجه به چولگی ۱/۶۸۵ و کشیدگی ۵/۶۶۱ و شکل هیستوگرام آن دارای تابع توزیع نامتقارن می‌باشد.

عنصر استرانسیوم (Sr) با توجه به چولگی ۳/۳۵۹ و کشیدگی ۱۶/۹۹۴ و شکل هیستوگرام آن دارای تابع نامتقارن می‌باشد.

عنصر توریوم (Th) با توجه به چولگی ۱/۲۲۸- و کشیدگی ۳/۴۲۰ و شکل هیستوگرام آن دارای تابع توزیع نامتقارن می‌باشد.

عنصر تیتانیوم (Ti) با توجه به چولگی ۰/۰۹۲- و کشیدگی ۰/۲۹۲ و شکل هیستوگرام آن دارای تابع توزیع نزدیک به متقارن می‌باشد.

عنصر تالیوم (Tl) با توجه به چولگی ۴/۳۳۲ و کشیدگی ۲۶/۹۵۵ و شکل هیستوگرام آن دارای تابع توزیع نامتقارن می‌باشد.

عنصر اورانیوم (U) با توجه به چولگی ۵/۳۲۲ و کشیدگی ۳۶/۱۶۲ و شکل هیستوگرام آن دارای تابع توزیع نامتقارن می‌باشد.

عنصر وانادیوم (V) با توجه به چولگی ۰/۰۱۶ و کشیدگی ۰/۰۰۳- و شکل هیستوگرام آن دارای تابع توزیع نزدیک به متقارن می‌باشد.

عنصر تنگستان (W) با توجه به چولگی ۱/۷۱۶ و کشیدگی ۶/۶۴۷ و شکل هیستوگرام آن دارای تابع توزیع نزدیک به متقارن می‌باشد.

عنصر ایتریوم (Y) با توجه به چولگی ۱۱/۲۸۱- و کشیدگی ۱/۹۹۶ و شکل هیستوگرام آن دارای تابع توزیع نامتقارن می‌باشد.

عنصر روی (Zn) با توجه به چولگی ۰/۹۳۴ و کشیدگی ۰/۶۷۲ و شکل هیستوگرام آن دارای تابع توزیع نامتقارن می‌باشد.

عنصر زیرکونیوم (Zr) با توجه به چولگی ۰/۱۶۱- و کشیدگی ۰/۹۷۶- و شکل هیستوگرام آن دارای تابع توزیع نزدیک به متقارن می‌باشد.

#### ۴-۳- بررسی مقادیر خارج از رده (Outliers Samples):

هنگام بررسی مقادیرداده‌های خام به نمونه‌هایی برمی‌خوریم که در کرانه‌های بالا و پائین جامعه داده‌ها قرار گرفته‌اند و از جامعه اصلی جدا افتاده‌اند. اگر نمودار جعبه‌ای (Box plot) آنها ترسیم شود این نمونه‌ها به نحو بارزی خودشان را از بقیه جدا می‌کنند (شکل ۴-۲).

مقادیر خارج از رده به سه حالت مختلف ممکن است بوجود آیند:

**حالت اول:** ممکن است از یک خطای سیستماتیک به هنگام نمونه‌برداری، آماده‌سازی یا تجزیهٔ شیمیایی نمونه‌ها ناشی شده باشند که باید از مرحلهٔ پردازش داده‌ها حذف یا اصلاح شوند.

**حالت دوم:** مشاهداتی که بصورت یک پدیده فوق العاده، نمود پیدا می‌کنند که باید پس از بررسی اعتبار آنها در مورد حفظ یا حذف آنها تصمیم گرفت.

**حالت سوم :** مشاهدات فوق العاده‌ای که هیچ‌گونه توضیح مناسبی برای آنها وجود ندارد و کارشناس اگر احساس کند که آنها به عنوان گوشه‌ای از جامعه مورد بررسی هستند می‌تواند آنها را حفظ کند. وجود مقادیر خارج از رده در جامعه نمونه‌ها موجب افزایش واریانس جامعه و نیز همبستگی بین متغیرها و همچنین افزایش چولگی در نمودار توزیع عناصر می‌شود. برای کاهش این تأثیر سه راه وجود دارد:

- ۱- محاسبه ضریب همبستگی با استفاده از روش‌های ناپارامتری مانند روش اسپیرمن (Spearman)
  - ۲- حذف نمودن این مقادیر از جامعه شاخص غنی‌شدگی هر عنصر می‌باشد
- تعديل داده‌های خارج از رده است.

در روش تعديل با توجه به نمودارهای ترسیم شده در (Box plot) مرز عددی بین مقادیر خارج از رده و سایر داده‌ها تعیین گردیده و داده‌های خارج از رده به عدد فوق با یک روند کاهشی نزدیک می‌شود؛ در اینجا برای تمام عناصر از روش تعديل استفاده شده است. نمونه‌های دارای مقادیر خارج از رده برای عناصر مختلف بصورت جدول (۱-۴) آورده شده است.

عنصر	شماره نمونه مقادیر خارج از رده	عنصر	شماره نمونه مقادیر خارج از رده
Ag	23,30,29,60,61,62,63,68,69,67	Mg	2,40
Al	18,40	Mo	23
Au	6,9,46,44,43,84,5,83,45	Sb	32
Ba	2,18,40-	Rb	23
Be	18	Nb	23
Bi	1,68,69,67,63,61,62,60,30,29,23	Sn	23
Ca	2,18,40	Th	23
Cd	33,34,74,73,36,35	Tl	29,30,23
Ce	23	U	70,67,68,69,62,63,61,60,30,29,23
K	18,40	W	37,11
S	2,18,40	Y	23
Sr	78,79, 2,18,40	Li	2
La	18		

جدول (۴-۱): نمونه های دارای مقادیر خارج از رده محدوده ۰۰۵۱: فیروزان

#### ۴-۴- نرمال سازی داده های خام:

استفاده از برخی روش های آماری منوط به نرمال بودن تابع توزیع متغیرهای مورد مطالعه است در حالیکه توابع توزیع از نوع لاغنرمال است، به همین دلیل قبل از استفاده از این روش ها داده ها باید نرمال شوند. در این بخش از نوعی تبدیلات جهت نرمال کردن تابع توزیع مقادیر داده خام استفاده شده است. این کار شرط لازم کاربرد برخی روش های آماری مانند تعیین نمونه های آنومالی با استفاده از اضافه کردن ضرایبی از انحراف معیار به حد آستانه ای و یا محاسبه ضرایب همبستگی پیرسون می باشد. روش لاغنرمال بصورت یک روش توزیعی برای نرمال کردن تابع توزیع جوامعی که دارای چولگی در نمودار خود هستند، به کار می رود. در اینجا از لگاریتم طبیعی مقادیر داده خام به اضافه یا منهای یک مقدار ثابت  $\lambda$  مطابق رابطه  $Z=LnEI \pm \lambda$  تبدیلی زیر استفاده شده است.

$$Z=LnEI \pm \lambda$$

مقداری بگونه‌ای انتخاب می‌شود که پس از انتخاب داده‌ها به یک مقدار بهینه از چولگی و کشیدگی در منحنی توزیع نرمال دست پیدا کنیم. پارامترهای آماری و هیستوگرام‌های ترسیم شده برای داده‌های نرمال در شکل‌های (۱-۴) تا (۴-۱) در ضمیمه همین فصل آورده شده است. با توجه به این پارامترهای آماری می‌توان گفت که مقادیر چولگی و کشیدگی متغیرها در مقایسه با مقادیر متناظر مربوط به داده‌های خام نرمال نشده تا چه اندازه کاهش یافته و منحنی توزیع تجمعی آنها به صورت یک خط راست که مبین توزیع نرمال می‌باشد ظاهر شده است. هیستوگرام مقادیر نرمال شده نیز به شکل منحنی کاملاً متفاوتی در آمده است.

#### ۴-۵-۱- همبستگی عناصر و تجزیه تحلیل خوش‌های:

##### ۴-۵-۱: تعیین ضریب همبستگی:

برای تعیین اینکه آیا ارتباط معنی دارای میان تغییرات متغیرهای آماری وجود دارد، ضرایب همبستگی میان آنها را محاسبه می‌کنیم این کار به دو منظور کشف همبستگی بین متغیرها و تخمین مقدار یک با چند متغیر دیگر صورت می‌گیرد.

برای بررسی دو نوع ضریب همبستگی پیرسون و اسپیرمن به صورت ماتریس ضرایب همبستگی محاسبه شده‌اند که در جدولهای (۲-۴) و (۳-۴) آمده است. شرط محاسبه ضریب همبستگی پیرسون نرمال بودنتابع توزیع متغیرها می‌باشد. در این ضریب (2-tailed) Sig میزان معنی‌دار بودن ضرایب همبستگی طبق آزمون فرض مساوی صفر بودن ضریب همبستگی می‌باشد.

برای محاسبه ضریب همبستگی پیرسون بعلت تأثیرپذیری این پارامتر از کرانه‌های بالا و پایین حتماً باید داده‌های نرمال باشند و سپس ضرایب همبستگی محاسبه شوند. به همین دلیل ابتدا داده‌های داده خام را نرمال می‌کنیم و ضرایب همبستگی پیرسون آنها را بدست می‌آوریم. در سطح اعتماد مطلوب (۹۹٪) این ضرایب نشان دهنده ارتباط پاراژنتیکی بین عناصر می‌باشد.

برای محاسبه ضریب همبستگی اسپیرمن از داده‌های خام استفاده شده است و همانطور که مشاهده می‌شود در بعضی مواقع وضعیت متفاوتی نسبت به پیرسون دارد. این اختلاف زمانی بیشتر بروز می‌کند که مقدار داده‌های خارج از رده زیاد باشد. ولی مقایسه دقیق آنها این نکته را بیان می‌کند که اختلاف این دو ضریب همبستگی خیلی زیادنیست. این امر نشان‌دهنده تأثیر کم داده‌ها از مقادیر خارج از رده است.

مقایسه ضریب همبستگی بین زوج متغیرها به روش پیرسون و اسپیرمن نشان می‌دهد که اختلاف بین ضرایب همبستگی عناصر متناظر دو روش تقریباً کم است که حکایت از توزیع نسبتاً نرمال عناصر و همین‌طور تأثیر کم نمونه‌های خارج از رده است.

#### ۴-۵-۲ : بررسی‌های آماری چند متغیره

هر تجزیه و تحلیل چند متغیره که بر روی بیش از دو متغیر انجام می‌گیرد می‌تواند در قالب آنالیزهای چند متغیره بیان شود. غالب تکنیکهای چند متغیره در اصل بسط و توسعه آنالیزهای تک متغیره می‌باشند و البته بعضی از روش‌های چند متغیره تنها برای پاسخ‌گوئی به مقاصد چند متغیره طراحی شده‌اند که از جمله این روش‌ها می‌توان به تجزیه‌عاملی اشاره کرد. تجربه نشان داده است که چنانچه ترکیبی از متغیرها به جای یک متغیر بکار گرفته شوند و از نتایج ترکیبی آنها استفاده شود امکان تشخیص هاله‌های مرکب ژئوشیمیائی در اطراف توده‌های کانساری به مراتب افزایش می‌یابد و از طرفی اثرات خطاهای تصادفی در بکارگیری ترکیبی متغیرها نسبتاً کاهش می‌یابد. از دیگر مزایای استفاده از روش‌های چند متغیره کاهش تعداد متغیرها در مباحث داده‌پردازی و در نتیجه کاستن از تعداد نقشه‌ها است. با استفاده از این روش‌ها امکان مقایسه متغیرها و کسب نتایج راحت‌تر خواهد بود. البته استفاده بهینه از روش‌های چند متغیره در حالتی صادق خواهد بود که در پردازش داده‌ها با تعداد زیادی متغیر روبرو باشیم و تا حدودی امکان اخذ نتیجه از متغیرها به گونه منفرد غیرممکن و یا توانم با خطای زیاد باشد. در این پروژه از روش‌های چند متغیره فقط از روش آنالیز خوش‌های استفاده شده است.

### الف- آنالیز خوشهای و تفسیر آن:

چون هر گروه معین از عناصر نسبت به یکسری از شرایط محیطی کم و بیش به طور مشابه حساسیت نشان می‌دهند، شناخت ارتباط و همبستگی ژنتیکی متقابل بین عناصر مختلف می‌تواند در شناخت دقیق‌تر تغییرات موجود در محیط‌های ژئوشیمیایی بکارگرفته شود. ضمناً تجمع ژنتیکی بعضی از عناصر ممکن است بعنوان راهنمای مستقیم در تفسیر نوع نهشته‌ای که احتمالاً در ناحیه وجود دارد بکار رود. رویهم رفته شناخت همبستگی‌های ژنتیکی که در بین عناصر وجود دارد اطلاعات لازم را برای تفسیر هر چه صحیح‌تر داده‌های ژئوشیمیائی در اختیار می‌گذارد.

آنالیز خوشهای یک روش آماری چند متغیره است که عناصر را بر اساس شباهت تغییرپذیری بین آنها در قالب دسته‌ها یا گروه‌هایی طبقه‌بندی می‌کند. دلایل زیادی برای ارزشمند بودن آنالیز خوشهای وجود دارد از جمله اینکه آنالیز خوشهای می‌تواند در پیدا کردن گروه‌های واقعی کمک کند و همچنین از تراکم داده‌ها بکاهد. البته باید توجه داشت که آنالیز خوشهای می‌تواند گروه‌های غیرقابل انتظاری را ایجاد نماید که بیانگر روابط جدیدی خواهند بود و باید مورد بررسی قرار گیرند. نتایج حاصل از آنالیز خوشهای عناصر مورد مطالعه در شکل (۱۲-۴) آورده شده است، با توجه به شکل می‌توان پنج گروه اصلی را جدا نمود که بیانگر ارتباط پاراژنزی بین متغیرها باشد .

گروه اول: شامل عناصر Fe,Sc,V,Ti,Mn,Pb,Zn,Zr,Cd,Cu,As,Co,P می‌باشد.

گروه دوم: شامل عناصر Al,Be,Ba,La,K,Na می‌باشد.

گروه سوم: شامل عناصر Ag,U,Tl,Bi,Mo می‌باشد.

گروه چهارم: شامل عناصر Nb,Sn,Ce,Rb,Cs,Th,Sb,Y,W,Au می‌باشد.

گروه پنجم: شامل عناصر Ca,S,Sr,Mg,Ni,Cr,Li می‌باشد.

\* \* \* \* \* H I E R A R C H I C A L C L U S T E R A N A L Y S I S \* \* \* \* \*

Dendrogram using Average Linkage (Within Group)

Rescaled Distance Cluster Combine

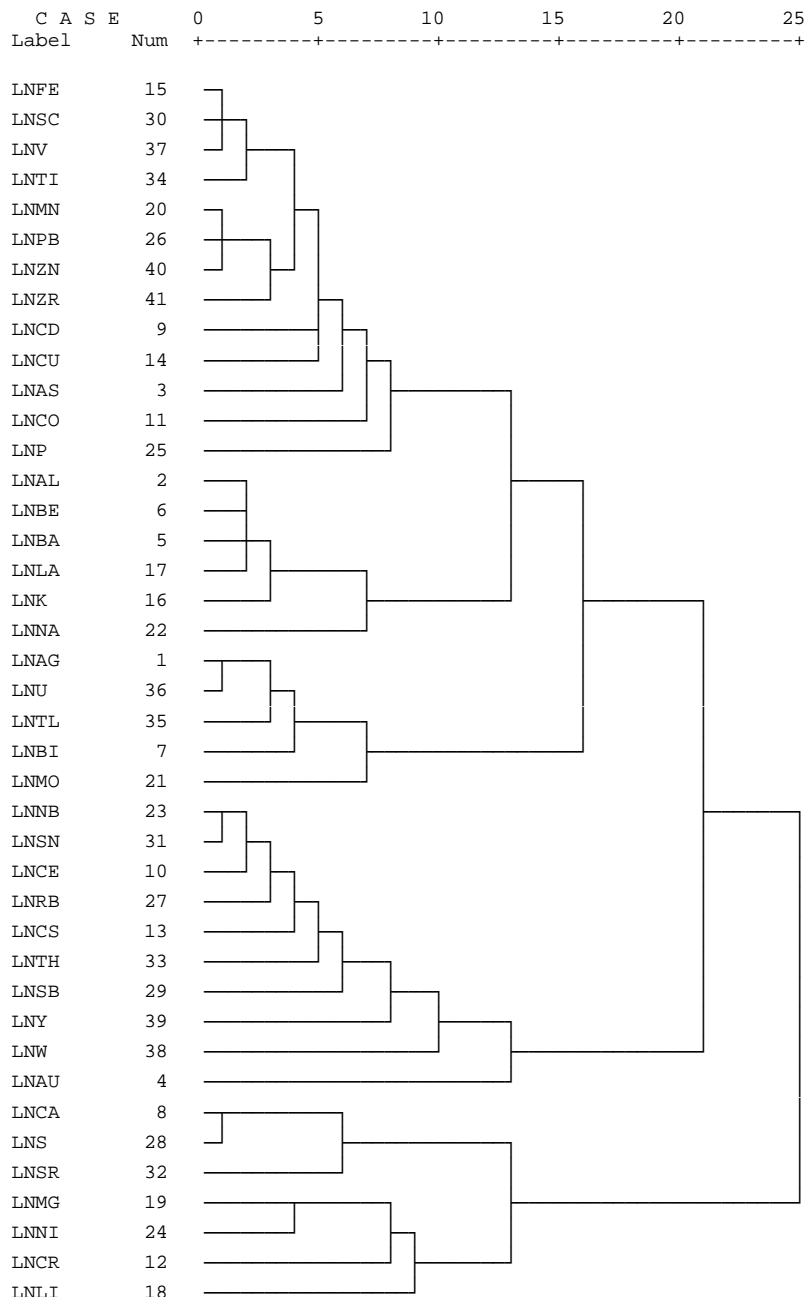


Fig (2-4): Cluster analysis of normal enrichment data for Borjak area

**۶-۴ - آنومالی عناصر مختلف:**

در این بخش به شرح آنومالی‌های بدست آمده از عناصر مختلف می‌پردازیم. قبل از توصیف آنومالی عناصر مختلف ذکر چند نکته الزامی است. در مورد جدایش آنومالی‌ها از فرمول  $x + 3S$  و  $x + 4S$  استفاده شده است. این کار هم در مورد داده‌های خام و هم نرمال شده مورد استفاده قرار گرفته است. مقادیر بیشتر از  $x + 4S$  به عنوان آنومالی درجه یک و مقادیر بین  $x + 3S$  و  $x + 4S$  به عنوان آنومالی درجه دو لحاظ شده‌اند (میانگین داده‌ها =  $X$ ، انحراف معیار =  $S$  و ضریب =  $n$ ) در این منطقه جدایش آنومالی‌ها بر اساس داده‌های نرمال صورت گرفته است. نقشه نمونه‌برداری منطقه نیز به صورت نقشه‌ای جداگانه آورده شده است (نقشه‌های شماره ۲ تا ۴۲).

جدول (۴-۵): نمونه های دارای مقادیر حد زمینه و آنومالی های ممکن و احتمالی و قطعی محدوده ۱/۲۵۰۰۰ فیروزان

<i>Ag</i>	<i>X+S</i>	حد زمینه	NA-68,NA-69,NA-67
	<i>X+2S</i>	آنومالی ممکن	NA-30,NA-29,NA-60,NA-61,NA-62,NA-63
	<i>X+3S</i>	آنومالی احتمالی	-
	<i>X+4S</i>	آنومالی قطعی	NA-23
<i>Al</i>	<i>X+S</i>	حد زمینه	NA-35,NA-36,NA-73,NA-74,NA-34,NA-21,NA-75
	<i>X+2S</i>	آنومالی ممکن	-
	<i>X+3S</i>	آنومالی احتمالی	-
	<i>X+4S</i>	آنومالی قطعی	-
<i>As</i>	<i>X+S</i>	حد زمینه	NA-21,NA-73,NA-72,NA-36,NA-74,NA-71,NA-35,NA-28,NA-11,NA-29,NA-70,NA-60,NA-20,NA-15
	<i>X+2S</i>	آنومالی ممکن	NA-34
	<i>X+3S</i>	آنومالی احتمالی	-
	<i>X+4S</i>	آنومالی قطعی	-
<i>Au</i>	<i>X+S</i>	حد زمینه	NA-73,NA-34,NA-72,NA-36,NA-74,NA-71,NA-35,NA-28,NA-11,NA-29,NA-70,NA-60,NA-20
	<i>X+2S</i>	آنومالی ممکن	NA-06,NA-09
	<i>X+3S</i>	آنومالی احتمالی	-
	<i>X+4S</i>	آنومالی قطعی	-

جدول (۴-۵): نمونه های دارای مقادیر حد زمینه و آنومالی های ممکن و احتمالی و قطعی محدوده ۱/۲۵۰۰۰ فیروزان

<i>Ba</i>	<i>X+S</i>	حد زمینه	NA-33,NA-21,NA-73,NA-34,NA-72,NA-36
	<i>X+2S</i>	آنومالی ممکن	-
	<i>X+3S</i>	آنومالی احتمالی	-
	<i>X+4S</i>	آنومالی قطعی	-
<i>Be</i>	<i>X+S</i>	حد زمینه	NA-33,NA-73,NA-34,NA-36,NA-74,NA-35,NA-37,NA-72,NA-75,NA-21,NA-71
	<i>X+2S</i>	آنومالی ممکن	-
	<i>X+3S</i>	آنومالی احتمالی	-
	<i>X+4S</i>	آنومالی قطعی	-
<i>Bi</i>	<i>X+S</i>	حد زمینه	NA-67,NA-69,NA-68,NA-01
	<i>X+2S</i>	آنومالی ممکن	NA-29,NA-30,NA-60,NA-62,NA-61,NA-63
	<i>X+3S</i>	آنومالی احتمالی	-
	<i>X+4S</i>	آنومالی قطعی	NA-23
<i>Ca</i>	<i>X+S</i>	حد زمینه	NA-19,NA-25,NA-26,NA-56,NA-79,NA-57,NA-80,NA-58,NA-78,NA-65,NA-64,NA-55,NA-41,NA-77,NA-63
	<i>X+2S</i>	آنومالی ممکن	NA-40,NA-18,NA-02
	<i>X+3S</i>	آنومالی احتمالی	-
	<i>X+4S</i>	آنومالی قطعی	-

جدول (۴-۵): نمونه های دارای مقادیر حد زمینه و آنومالی های ممکن و احتمالی و قطعی محدوده ۱/۲۵۰۰۰ فیروزان

<i>Cd</i>	<i>X+S</i>	حد زمینه	NA-72,NA-75,NA-71,NA-31,NA-70
	<i>X+2S</i>	آنومالی ممکن	NA-35,NA-36,NA-73,NA-74,NA-34,NA-33
	<i>X+3S</i>	آنومالی احتمالی	-
	<i>X+4S</i>	آنومالی قطعی	-
<i>Ce</i>	<i>X+S</i>	حد زمینه	NA-33,NA-35,NA-73,NA-36,NA-34,NA-74,NA-13,NA-72
	<i>X+2S</i>	آنومالی ممکن	-
	<i>X+3S</i>	آنومالی احتمالی	-
	<i>X+4S</i>	آنومالی قطعی	-
<i>Co</i>	<i>X+S</i>	حد زمینه	NA-02,NA-36,NA-73,NA-74,NA-40,NA-75,NA-34
	<i>X+2S</i>	آنومالی ممکن	NA-35
	<i>X+3S</i>	آنومالی احتمالی	-
	<i>X+4S</i>	آنومالی قطعی	-
<i>Cr</i>	<i>X+S</i>	حد زمینه	NA-21,NA-23,NA-11,NA-77,NA-29,NA-80,NA-35,NA-79
	<i>X+2S</i>	آنومالی ممکن	NA-40,NA-02,NA-37
	<i>X+3S</i>	آنومالی احتمالی	-
	<i>X+4S</i>	آنومالی قطعی	-

جدول (۴-۵): نمونه های دارای مقادیر حد زمینه و آنومالی های ممکن و احتمالی و قطعی محدوده ۱/۲۵۰۰۰ فیروزان

<i>Cr</i>	<i>X+S</i>	حد زمینه	NA-21,NA-23,NA-11,NA-77,NA-29,NA-80,NA-35,NA-79
	<i>X+2S</i>	آنومالی ممکن	NA-40,NA-02,NA-37
	<i>X+3S</i>	آنومالی احتمالی	-
	<i>X+4S</i>	آنومالی قطعی	-
<i>Cs</i>	<i>X+S</i>	حد زمینه	NA-38,NA-36,NA-74,NA-76,NA-37,NA-10,NA-39,NA-75,NA-73,NA-03,NA-07,NA-72,NA-71,NA-35,NA-33,NA-31,NA-04,NA-77
	<i>X+2S</i>	آنومالی ممکن	NA-34
	<i>X+3S</i>	آنومالی احتمالی	-
	<i>X+4S</i>	آنومالی قطعی	-
<i>Cu</i>	<i>X+S</i>	حد زمینه	NA-73,NA-35,NA-36,NA-34,NA-72,NA-31,NA-71,NA-22,NA-74,NA-28,NA-21,NA-20,NA-75,NA-15,NA-70
	<i>X+2S</i>	آنومالی ممکن	NA-33
	<i>X+3S</i>	آنومالی احتمالی	-
	<i>X+4S</i>	آنومالی قطعی	-
<i>Fe</i>	<i>X+S</i>	حد زمینه	NA-73,NA-74,NA-75,NA-34,NA-33,NA-21,NA-15,NA-72,NA-76,NA-29,NA-13
	<i>X+2S</i>	آنومالی ممکن	NA-35,NA-36
	<i>X+3S</i>	آنومالی احتمالی	-
	<i>X+4S</i>	آنومالی قطعی	-

جدول (۴-۵): نمونه های دارای مقادیر حد زمینه و آنومالی های ممکن و احتمالی و قطعی محدوده ۱/۲۵۰۰۰ فیروزان

<i>K</i>	<i>X+S</i>	حد زمینه	NA-75,NA-74,NA-35,NA-76,NA-36,NA-38,NA-34,NA-73,NA-11,NA-72,NA-33
	<i>X+2S</i>	آنومالی ممکن	NA-37
	<i>X+3S</i>	آنومالی احتمالی	-
	<i>X+4S</i>	آنومالی قطعی	-
<i>La</i>	<i>X+S</i>	حد زمینه	NA-33,NA-35,NA-13,NA-73,NA-36,NA-72,NA-03,NA-05,NA-21,NA-23,NA-74
	<i>X+2S</i>	آنومالی ممکن	-
	<i>X+3S</i>	آنومالی احتمالی	-
	<i>X+4S</i>	آنومالی قطعی	-
<i>Li</i>	<i>X+S</i>	حد زمینه	NA-75,NA-37,NA-41,NA-74,NA-36,NA-42
	<i>X+2S</i>	آنومالی ممکن	NA-35
	<i>X+3S</i>	آنومالی احتمالی	-
	<i>X+4S</i>	آنومالی قطعی	NA-02
<i>Mg</i>	<i>X+S</i>	حد زمینه	NA-35,NA-79,NA-41,NA-80,NA-03,NA-78,NA-42,NA-07,NA-77
	<i>X+2S</i>	آنومالی ممکن	-
	<i>X+3S</i>	آنومالی احتمالی	NA-40
	<i>X+4S</i>	آنومالی قطعی	NA-02

جدول (۴-۵): نمونه های دارای مقادیر حد زمینه و آنومالی های ممکن و احتمالی و قطعی محدوده ۱/۲۵۰۰۰ فیروزان

<i>Mn</i>	<i>X+S</i>	حد زمینه	NA-36,NA-73,NA-34,NA-33,NA-74,NA-72,NA-21,NA-75,NA-71,NA-15,NA-28
	<i>X+2S</i>	آنومالی ممکن	NA-35
	<i>X+3S</i>	آنومالی احتمالی	-
	<i>X+4S</i>	آنومالی قطعی	-
<i>Mo</i>	<i>X+S</i>	حد زمینه	NA-29,NA-30,NA-69,NA-60,NA-61,NA-62,NA-70,NA-63,NA-68,NA-33,NA-32,NA-67,NA-31,NA-71,NA-11,NA-72,NA-35
	<i>X+2S</i>	آنومالی ممکن	NA-23
	<i>X+3S</i>	آنومالی احتمالی	-
	<i>X+4S</i>	آنومالی قطعی	-
<i>Na</i>	<i>X+S</i>	حد زمینه	NA-11,NA-06,NA-09,NA-05,NA-49,NA-46,NA-48,NA-45,NA-21,NA-83,NA-86,NA-85,NA-88,NA-12,NA-43,NA-84
	<i>X+2S</i>	آنومالی ممکن	-
	<i>X+3S</i>	آنومالی احتمالی	-
	<i>X+4S</i>	آنومالی قطعی	-
<i>Na</i>	<i>X+S</i>	حد زمینه	NA-11,NA-06,NA-09,NA-05,NA-49,NA-46,NA-48,NA-45,NA-21,NA-83,NA-86,NA-85,NA-88,NA-12,NA-43,NA-84
	<i>X+2S</i>	آنومالی ممکن	-
	<i>X+3S</i>	آنومالی احتمالی	-
	<i>X+4S</i>	آنومالی قطعی	-

جدول (۴-۵): نمونه های دارای مقادیر حد زمینه و آنومالی های ممکن و احتمالی و قطعی محدوده ۱/۲۵۰۰۰ فیروزان

<i>Nb</i>	<i>X+S</i>	حد زمینه	NA-33,NA-35,NA-73,NA-37,NA-74,NA-36,NA-75,NA-15,NA-34
	<i>X+2S</i>	آنومالی ممکن	-
	<i>X+3S</i>	آنومالی احتمالی	-
	<i>X+4S</i>	آنومالی قطعی	-
<i>Ni</i>	<i>X+S</i>	حد زمینه	NA-35,NA-18,NA-80,NA-79,NA-78,NA-77
	<i>X+2S</i>	آنومالی ممکن	NA-02
	<i>X+3S</i>	آنومالی احتمالی	NA-40
	<i>X+4S</i>	آنومالی قطعی	-
<i>P</i>	<i>X+S</i>	حد زمینه	NA-38,NA-35,NA-36,NA-03,NA-34,NA-76,NA-78,NA-07,NA-77,NA-04,NA-73,NA-75,NA-74,NA-40,NA-79,NA-10
	<i>X+2S</i>	آنومالی ممکن	NA-39
	<i>X+3S</i>	آنومالی احتمالی	-
	<i>X+4S</i>	آنومالی قطعی	-
<i>Pb</i>	<i>X+S</i>	حد زمینه	NA-36,NA-73,NA-74,NA-34,NA-33,NA-72,NA-75,NA-22,NA-71,NA-28,NA-37,NA-31,NA-20
	<i>X+2S</i>	آنومالی ممکن	NA-35
	<i>X+3S</i>	آنومالی احتمالی	-
	<i>X+4S</i>	آنومالی قطعی	-

جدول (۴-۵): نمونه های دارای مقادیر حد زمینه و آنومالی های ممکن و احتمالی و قطعی محدوده ۱/۲۵۰۰۰ فیروزان

<i>Rb</i>	<i>X+S</i>	حد زمینه	NA-76,NA-75,NA-38,NA-74,NA-39,NA-34,NA-36,NA-73,NA-35,NA-33,NA-72
	<i>X+2S</i>	آنومالی ممکن	NA-37
	<i>X+3S</i>	آنومالی احتمالی	-
	<i>X+4S</i>	آنومالی قطعی	-
<i>S</i>	<i>X+S</i>	حد زمینه	NA-02,NA-19,NA-25,NA-26,NA-56,NA-57,NA-79,NA-58,NA-80,NA-78,NA-65,NA-64,NA-55,NA-63,NA-77,NA-41
	<i>X+2S</i>	آنومالی ممکن	NA-18,NA-40
	<i>X+3S</i>	آنومالی احتمالی	-
	<i>X+4S</i>	آنومالی قطعی	-
<i>Sb</i>	<i>X+S</i>	حد زمینه	NA-31,NA-72,NA-34,NA-73,NA-70,NA-36,NA-74,NA-75,NA-76,NA-35,NA-39,NA-37,NA-38,NA-24,NA-69
	<i>X+2S</i>	آنومالی ممکن	NA-32,NA-71,NA-33
	<i>X+3S</i>	آنومالی احتمالی	-
	<i>X+4S</i>	آنومالی قطعی	-
<i>Sc</i>	<i>X+S</i>	حد زمینه	NA-73,NA-74,NA-34,NA-75,NA-33,NA-72,NA-15,NA-21,NA-22,NA-29,NA-23,NA-76,NA-60,NA-28
	<i>X+2S</i>	آنومالی ممکن	NA-35,NA-36
	<i>X+3S</i>	آنومالی احتمالی	-
	<i>X+4S</i>	آنومالی قطعی	-

جدول (۴-۵): نمونه های دارای مقادیر حد زمینه و آنومالی های ممکن و احتمالی و قطعی محدوده ۱/۲۵۰۰۰ فیروزان

<i>Sn</i>	<i>X+S</i>	حد زمینه	NA-33,NA-37,NA-38,NA-71,NA-75,NA-72,NA-73,NA-74,NA-34,NA-31,NA-24,NA-32,NA-76
	<i>X+2S</i>	آنومالی ممکن	-
	<i>X+3S</i>	آنومالی احتمالی	-
	<i>X+4S</i>	آنومالی قطعی	-
<i>Sr</i>	<i>X+S</i>	حد زمینه	NA-80,NA-77,NA-39,NA-19,NA-25,NA-26
	<i>X+2S</i>	آنومالی ممکن	NA-02,NA-18,NA-79,NA-78
	<i>X+3S</i>	آنومالی احتمالی	-
	<i>X+4S</i>	آنومالی قطعی	NA-40
<i>Th</i>	<i>X+S</i>	حد زمینه	NA-11,NA-06,NA-09,NA-32,NA-05,NA-46,NA-49,NA-48,NA-45,NA-83
	<i>X+2S</i>	آنومالی ممکن	-
	<i>X+3S</i>	آنومالی احتمالی	-
	<i>X+4S</i>	آنومالی قطعی	-
<i>Ti</i>	<i>X+S</i>	حد زمینه	NA-74,NA-73,NA-75,NA-34,NA-21,NA-15,NA-76,NA-29,NA-23,NA-38,NA-60,NA-72,NA-22
	<i>X+2S</i>	آنومالی ممکن	NA-35,NA-36
	<i>X+3S</i>	آنومالی احتمالی	-
	<i>X+4S</i>	آنومالی قطعی	-

جدول (۴-۵): نمونه های دارای مقادیر حد زمینه و آنومالی های ممکن و احتمالی و قطعی محدوده ۱/۲۵۰۰۰ فیروزان

	$X+S$	حد زمینه	NA-61,NA-60,NA-62,NA-63,NA-68,NA-69,NA-67,NA-37
<i>Tl</i>	$X+2S$	آنومالی ممکن	NA-30,NA-29
	$X+3S$	آنومالی احتمالی	-
	$X+4S$	آنومالی قطعی	-
<i>U</i>	$X+S$	حد زمینه	NA-69,NA-68,NA-67,NA-70
	$X+2S$	آنومالی ممکن	NA-29,NA-30,NA-60,NA-61,NA-63,NA-62
	$X+3S$	آنومالی احتمالی	-
	$X+4S$	آنومالی قطعی	NA-23
<i>V</i>	$X+S$	حد زمینه	NA-73,NA-74,NA-75,NA-34,NA-15,NA-76,NA-39,NA-72,NA-33,NA-38
	$X+2S$	آنومالی ممکن	NA-35,NA-36
	$X+3S$	آنومالی احتمالی	-
	$X+4S$	آنومالی قطعی	-
<i>W</i>	$X+S$	حد زمینه	NA-12,NA-51,NA-49,NA-88,NA-50
	$X+2S$	آنومالی ممکن	NA-21
	$X+3S$	آنومالی احتمالی	NA-37
	$X+4S$	آنومالی قطعی	NA-11

جدول (۴-۵): نمونه های دارای مقادیر حد زمینه و آنومالی های ممکن و احتمالی و قطعی محدوده ۱/۲۵۰۰۰ فیروزان

Y	$X+S$	حد زمینه	NA-35,NA-15,NA-13,NA-21,NA-20,NA-36
	$X+2S$	آنومالی ممکن	-
	$X+3S$	آنومالی احتمالی	-
	$X+4S$	آنومالی قطعی	-
Zr	$X+S$	حد زمینه	NA-36,NA-73,NA-74,NA-75,NA-34,NA-33,NA-37,NA-72,NA-20,NA-15,NA-28,NA-71,NA-31
	$X+2S$	آنومالی ممکن	NA-35
	$X+3S$	آنومالی احتمالی	-
	$X+4S$	آنومالی قطعی	-
Zn	$X+S$	حد زمینه	NA-35,NA-21,NA-36,NA-74,NA-34,NA-20,NA-15,NA-28,NA-73,NA-31,NA-17,NA-60,NA-29,NA-13
	$X+2S$	آنومالی ممکن	-
	$X+3S$	آنومالی احتمالی	-
	$X+4S$	آنومالی قطعی	-

# فصل پنجم

فاز کنترل آنومالی‌های ژئوژیوسیاسی

## مقدمه

مناطق آنومالی مشخص شده حاصل از پردازش داده‌های نمونه‌های ژئوشیمیایی آبراهه‌ای می‌توانند ناشی از پدیده‌های کانی‌سازی احتمالی و همچنین نتیجه مؤلفه‌های سن‌زنگیک باشند لذا ضرورت استفاده از سایر روش‌های نمونه‌برداری و نیز بررسی‌های صحرایی جهت تفکیک آنومالیهای مربوط به هریک از آنها کاملاً روشن می‌باشد. در این ارتباط بررسی مناطق دگرسانی، زونهای مینرالیزه و مطالعات کانی‌سنگین صورت می‌گیرد. مطالعات کانی‌سنگین مشخص می‌کند که تمرکز عناصر مورد بررسی در چه فازی صورت گرفته است. بدیهی است پیدایش یک عنصر در فازهای مختلف ارزش اکتشافی متفاوتی دارد و بر اساس آن می‌توان هاله‌های ثانویه را به دو نوع مرتبط با کانی‌سازی و هاله‌های حاصل از پدیده‌های سنگ‌زایی تقسیم نمود. به عبارت دیگر بعضی از عناصر، کانی‌های مستقلی را به وجود می‌آورند برای مثال Pb می‌تواند گالن و Zn می‌تواند اسفالریت را بوجود آورد و تمرکز آنها در یک محدوده می‌تواند تمرکزات اقتصادی آنها را سبب شود. اما همین عناصر می‌توانند در شبکه کانی‌های دیگر نیز جای بگیرند. برای مثال Pb می‌تواند در شبکه فلدرسپات، Ni می‌تواند در شبکه الیوین و Zn می‌تواند در شبکه بیوتیت و آمفیبول جای بگیرد. بدین ترتیب در حالت عادی سنگ‌زایی بیشتر با ورود این عناصر در ترکیب (یا محلول جامد) کانیهای سازنده سنگ روبرو هستیم. البته ممکن است حالت‌های استثناء نیز وجود داشته باشد. با توجه به تحرک اندک ذرات کانی‌سنگین نسبت به یونها، هاله‌های ثانویه کانی‌سنگین گسترش کمتری پیدا می‌کنند. در محدوده ۱:۲۵۰۰۰ فیروزان تعداد ۳۸ نمونه کانی‌سنگین برداشت گردید که طراحی آنها بر اساس موقعیت زونهای کانی‌سازی و شبکه نمونه‌برداری صورت گرفته است.

۱- ردیابی کانی سنگین

ارزش مشاهدات کانی سنگین که دربیشتر موارد جزء کانیهای فرعی سازنده سنگ هستند و ممکن است در مناطق فاقد کانی سازی نیز پیدا شوند به اندازه عناصر ردياب نیست ولی می تواند معرف محیط و بستر مناسب وقوع کانی سازی باشد برای مثال به چند مورد اشاره می شود.

**الف- طلا:** مشاهده ذرات طلا در کنسانتره کانی سنگین می‌تواند حاکی از مناطق امیدبخش باشد. ارتباط طلا با آرسنوبیریت و تعدادی از کانی‌های سولفوسالت دیگر می‌تواند در تعیین مناطق امیدبخش مؤثر واقع شود. در نهشته‌های اپیترمال دانه‌ریز بندرت ممکن است طلا در نمونه تغليظ شده کانی سنگین معمولی یافت شود. در صورت پیدايش و همراهی آن با سینابر و استیبنیت، اهمیت محدوده اکتشافی دو چندان می‌شود.

ب - شئیلت: همراهی قابل توجه شئیلت و طلا به عنوان مثال در کمربندهای گرین استون دنیا گزارش شده است و شئیلت به عنوان یک کانی ردیاب شناخته می شود. بنابراین یکی از روشهای اکتشافی، در این گونه مناطق، تمرکز عملیات اکتشافی، روی کانی، شئیلت می باشد.

ج- باریت: باریت در بسیاری از کانسارهای فلزات پایه وجود دارد. وجود آن در بخش تغليظ یافته کانی سنگین دلالت بر وجود احتمالی چنین نهشته‌هایی است و با توجه به وسعت هاله‌های آنها ممکن است در مجاورت آنها از باریت تشخیص داده شود.

د- تورمالین: وجود تورمالین در بسیاری از کانسوارهای هیپوژن عناصر W , Sn , Cu , Au گزارش شده است. از آنجا که ابعاد هاله پراکندگی آن در سنگ‌های متاسوماتوز شده، استوکورک‌ها و هاله‌های ثانوی مانند رسوبات رودخانه‌ای غالباً بیشتر از ابعاد توده‌های معدنی وابسته به آنها است کاربرد آن به عنوان ردیاب اکتشافی سودمند می‌باشد. تورمالین در سنگ‌های بسیاری از قبیل نفوذی و خروجی، دگرگونی و دگرسان شده از نوع پروپیلیتی، کوارتز سریسیتی و کوارتز-تورمالین یافت می‌شود. زون‌های پرشی، استوکورکی و رگه‌های معدنی نیز ممکن است تورمالین داشته باشند.

## ۲- بزرگی هاله‌های کانی سنگین

ترکیب سنگ‌شناسی، بزرگی رخنمون در ناحیه منشأ، هوازدگی شیمیایی و مکانیکی از عوامل مؤثر در توسعه هاله‌های کانی سنگین به شمار می‌روند که در مورد اخیر به شرایط آب و هوایی و نیز ژئومورفولوژی محدوده بستگی دارند. به این ترتیب بر حسب شیب توپوگرافی ممکن است ذرات طلا و لفلرامیت تا دهها کیلومتر از ناحیه منشأ فاصله بگیرند و برخی کانیها در همان یک کیلومتر اول مسیر تا ۹۰٪ مقدار اولیه کاهش پیدا کنند.

در محدوده فیروزان سعی شد نمونه‌های کانی سنگین به گونه‌ای برداشت شوند که بیشترین پوشش سطحی را فراهم کنند و در مناطقی که احتمال کانی‌سازی طلا می‌رفت نمونه‌برداری با تراکم بیشتری صورت گرفت.

## ۳- برداشت نمونه‌های کانی سنگین

نمونه‌های کانی سنگین از محل نمونه‌های ژئوشیمیایی آنومال با حفر بخشی از رسوب سطحی در محل تمرکز رسوبات دانه درشت قلوه‌سنگی برداشت گردیدند. سعی گردید تا هر نمونه از چند نقطه مناسب بويژه اطراف تخته سنگهای بزرگ (جبهه مقابل جريان) گرفته شوند تا احتمال برداشت ذرات کانی سنگین افزایش یابد. از هر موقعیت حدود ۵-۷ لیتر رسوب آبراهه‌ای با استفاده از الک ۲۰ مش برداشت گردید و هر نمونه، شماره نمونه ژئوشیمیایی مربوط به خود را گرفت.

از محل حوضه‌های آنومالی بزرگتر و نیز حوضه‌هایی که شدت آنومالی ژئوشیمیایی و یا تعداد عناصر پاراژنز در آنها بیشتر بوده، تعداد بیشتری نمونه کانی سنگین برداشت گردید.

## ۴- آماده‌سازی و مطالعه نمونه‌های کانی سنگین

نمونه‌های کانی سنگین که به این ترتیب برداشت گردیدند در کارگاه نمونه‌شویی ابتدا حجم سنجی و سپس گل‌شویی شدند. پس از آن روی پنهانی بزرگ و کوچک طی دو مرحله با حرکات دورانی در سطح آب به تدریج ذرات با چگالی کمتر از آنها جدا گردیدند. مقدار باقیمانده روی پن

کوچک تقریباً به طور کامل از ذرات کانی سنگین تشکیل شده است. این بخش خشک و مجددأ حجم سنجی گردید.

پس از این مرحله نمونه‌ها به طور جداگانه درون مایع سنگین بروموفرم ریخته شدند تا براساس وزن مخصوص خود به دو بخش سبک و سنگین تقسیم گردند. بخش سنگین پس از حجم سنجی مجدد، توسط دو مغناطیس با شدت‌های استاندارد به سه بخش غیر مغناطیس (NM)، مغناطیسی ضعیف (AV) و مغناطیسی قوی (AA) تقسیم شدند.

با مطالعه نمونه‌های کانی سنگین توسط میکروسکوپ بیناکولار، تعداد هر یک از ذرات کانی سنگین شمارش گردید که با داشتن وزن مخصوص نمونه رسوب و کانی سنگین و حجم سنجی، مقدار آنها بر حسب ppm محاسبه شد.

## ۵- پردازش داده‌های کانی سنگین

### ۱- رسم هیستوگرام متغیرهای کانی سنگین:

تجزیه و تحلیل داده‌های کانی سنگین را می‌توان بوسیله هیستوگرام‌ها، نمودارهای تجمعی، آنالیز خوش‌های، ضرایب همبستگی و نمودارهای پراکنش انجام داد. با توجه به اینکه اکثر کانی‌های سنگین نشان‌دهنده لیتولوژی و نوع کانی‌سازی بالادست خود هستند بنابراین وجود اکثر آنها در نمونه‌ها می‌تواند مشخصات ناحیه منشأ را نشان دهد و برای ترسیم ایالتهای پترولولوژی رسوبی و مکان‌یابی نهشته‌های دارای پتانسیل اقتصادی به کار رود. به همین منظور هیستوگرام اکثر کانی‌های سنگین مشاهده شده ترسیم شدند. شکل (۱-۵) تا (۵-۴) دندوگرام، هیستوگرام و پارامترهای آماری هر یک از کانی‌های سنگین را نشان می‌دهد.

آنچه که در تمام هیستوگرام‌ها قابل مشاهده است ماهیت لاغ نرمال داده‌های کانی سنگین می‌باشد از آنجا تحرک یک ذره کانی سنگین نسبت به یون‌ها کمتر است در نتیجه وسعت هاله‌های کانی سنگین کوچک می‌باشد. تجربه نشان داده است که اگر ترکیبی از مقادیر یک گروه از کانی‌های معرف بجای مقدار یک کانی خاص به کار گرفته شود هاله‌های کانی سنگین در اطراف توده‌های

کانی سنگین بهتر مشخص می‌شود. در مقایسه با هاله‌های تک کانیایی هاله‌های مرکب جمعی به مراتب بزرگتر و چشم‌گیرترند. بعلاوه اثرات خطاهای تصادفی در آنها کاهش می‌یابد و بدین ترتیب هاله‌های مرکب جمعی نسبت به سیماهای ساختمانی-زمین‌شناسی مرتبط با نهشته‌های کانی‌ساری رابطه نزدیکتری را نشان می‌دهند. این امر به نوبه خود در تعیین دقیق این هاله‌ها سهم مهمی دارد.

هر کانی سنگین معرف عنصری خاص است. برای مثال شیلیت نشان‌دهنده وجود W و روتیل نشان‌دهنده وجود Ti می‌باشد. بنابراین همان روابط پاراژنزی که در مورد عناصر صادق است در مورد کانی‌ها نیز صادق می‌باشد به همین دلیل کانی‌هایی که معرف کانی‌سازی مشابهی هستند در یک گروه قرار داده شده‌اند و در نهایت نقشه مربوط به هر متغیر ترسیم گردید که در بخش مربوط به نقشه‌ها آورده شده است. همچنین کلیه محاسبات آماری نیز در بخش ضمائم آورده شده است: V1 شامل کانی‌های آزوریت، استئارولیت، آپاتیت، کلسیت، باریت، لیمونیت، روتیل، زیرکن، گالن، ایلمنیت، می‌باشد.

V2 شامل کانی‌های آمفیبول، بیوتیت، مارتیت، مس آزاد است.

V3 شامل کانی‌های مگنتیت و اولیوین می‌باشد.

V4 شامل کانی‌های لوکوکسن و پیریت است.

V5 شامل کانی‌های سیلیمانیت، اسفن و پیروکسن می‌باشد.

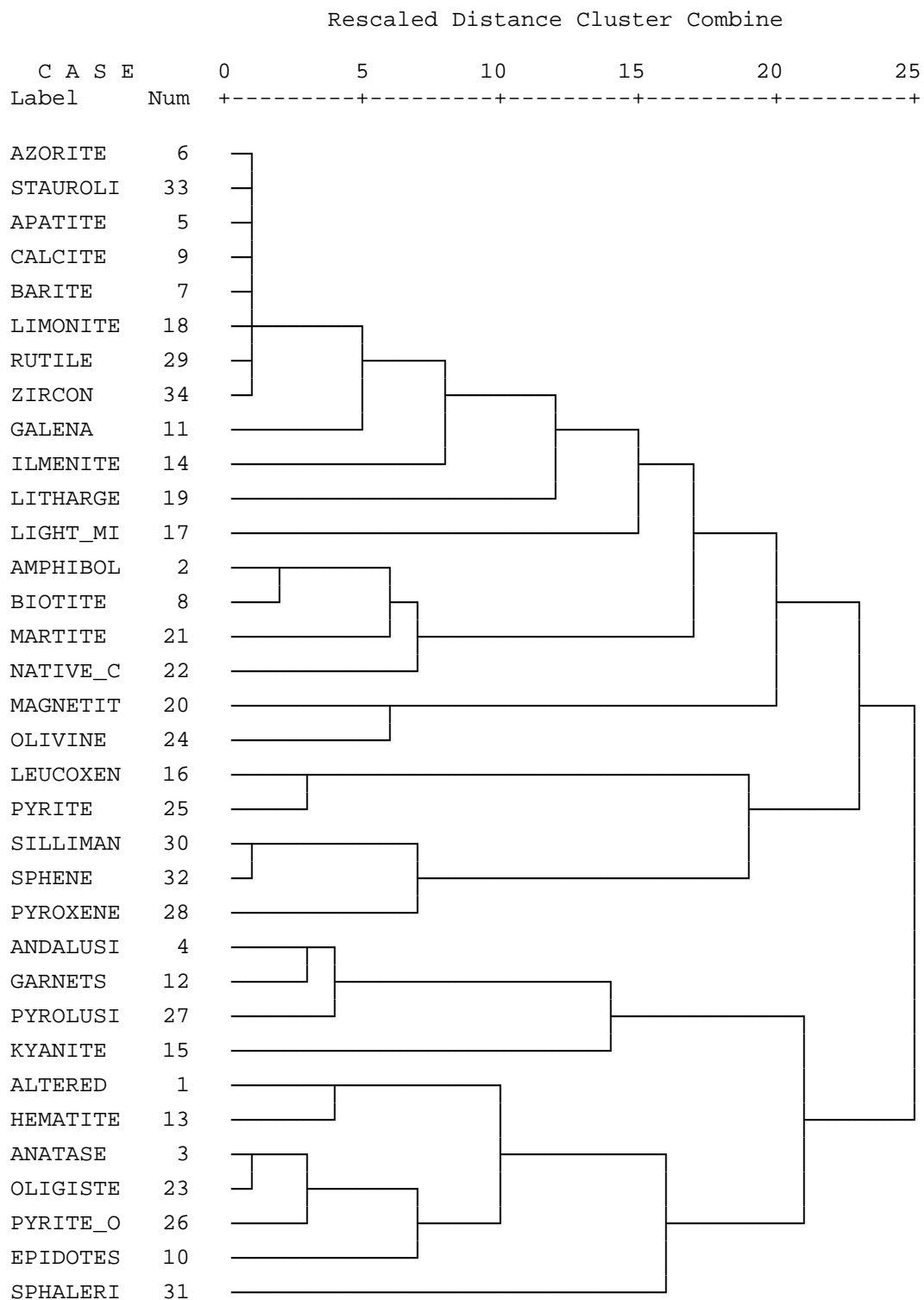
V6 شامل کانی‌های آندالوزیت، گارنت، پیرولوسیت و کیانیت می‌باشد.

V7 شامل کانی‌های آلتره، هماتیت، آناتاز، اولیژیست، پیریت اکسید، اپیدوت و اسفالریت می‌باشد.

در نهایت نقشه مربوط به آنومالی‌های ممکن، احتمالی و قطعی و همچنین حد زمینه هر یک از گروه‌های کانی سنگین فوق بصورت نقشه‌های سی‌تا‌سی و چهار آورده شد. طلا در هیچ یک از نمونه‌های کانی سنگین مشاهده نشده است.

\* \* \* \* \* H I E R A R C H I C A L C L U S T E R A N A L Y S I S  
 \* \* \* \* \*

Dendrogram using Average Linkage (Within Group)



شکل (۱-۵): دندوگرام نمونه‌های کانی‌سنگین محدوده فیروزان

## ۶- نمونه‌های مینرالیزه

برای بدست آوردن مناطق کانی‌سازی و حجم و میزان کانی‌سازی همچنین تعیین دقیق نقاط کانی‌سازی سعی شد از مناطق با احتمال کانه‌سازی نمونه‌های مینرالیزه به صورت چیپ برداشت شود. در محدوده ۱۸۰۰۰-۲۵۰۰۰ فیروزان تعداد ۱۸ نمونه مینرالیزه برداشت شده است که شرح هر یک از نمونه‌ها در ذیل می‌آید. این نمونه‌ها پس از خردایش و آماده‌سازی مورد آنالیز شیمیایی قرار گرفتند که نتایج آن در جدول (۱-۵) آورده شده است. عناصری که غلظت آنها در نمونه، بالا بوده در شرح نمونه‌های مینرالیزه آمده است. مطالعه این نتایج در تکمیل نتایج حاصل از مطالعات ژئوشیمیایی و کانی‌سنگین و در نهایت معرفی مناطق، کمک شایان توجهی می‌کند.

### تصویف نمونه‌های مینرالیزه فیروزان:

از تعداد ۱۸ نمونه مینرالیزه برداشت شده از منطقه فیروزان تعداد ۲ نمونه دارای مقادیر بیش از ۱۰۰ ppb طلا می‌باشند که در این میان نمونه NA-39M3 با دارا بودن ۲۶۴ ppb طلا در صدر قرار دارد. این نمونه از رگه سیلیسی موجود در آبراهه، حاوی اکسید و هیدروکسیدهای آهن و کمی آثار گوگرد و رآلگار بدست آمده است. همچنین نمونه‌های برداشته از این محدوده مقادیر بالایی از عنصر مس را نشان داده‌اند به طوریکه تعداد ۹ نمونه مقادیری بالاتر از ۱۰۰ ppm مس را نشان داده‌اند. به عنوان مثال می‌توان به نمونه NA-34M8 با دارا بودن ۲۳۰۰۰ ppm مس اشاره نمود، این نمونه از اسکارن با امتداد N75E و ضخامت ۴۰ متر (بخش آندواسکارن) داخل گرانودیوریت حاوی اکسید و هیدروکسید آهن و ملاکیت می‌باشد اخذ گردیده است. نمونه‌های برداشته از این محدوده مقادیر بالایی از عنصر روی را نیز نشان داده‌اند به طوریکه تعداد ۷ نمونه مقادیری بالاتر از ۱۰۰ ppm روی را نشان داده‌اند. به عنوان مثال می‌توان به نمونه NA-34M9 با دارا بودن ۱۱۵۰۰ ppm روی اشاره نمود، این نمونه از اسکارن با امتداد N75E و ضخامت ۴۰ متر (بخش آندواسکارن) داخل گرانودیوریت حاوی اکسید و هیدروکسید آهن و ملاکیت می‌باشد اخذ گردیده است. مشخصات کامل این نمونه‌ها در جدول (۱-۵) آورده شده است.

جدول (۵-۱): نتایج حاصل از آنالیز نمونه‌های مینرالیزه برداشت شده از محدوده ۱:۲۵۰۰۰ فیروزان

<i>NAHAVAND</i>	<i>X</i>	<i>Y</i>	<i>Description</i>	<i>Ag</i>	<i>Al</i>
<i>UNITS</i>				<i>ppm</i>	<i>ppm</i>
<i>DETECTION</i>				<i>0.01</i>	<i>10</i>
<i>METHOD</i>				<i>IC3E</i>	<i>IC3E</i>
<i>NA-02A</i>	234594	3810859	از مرمریت‌های حاوی اکسید و هیدروکسیدهای آهن	0.22	64500
<i>NA-02M</i>	234883	3810999	از مرمریت‌های حاوی اکسید و هیدروکسیدهای آهن	1.11	2970
<i>NA-11A</i>	235128	3812850	از گرانودیوریت حاوی اکسید و هیدروکسیدهای آهن	0.41	71900
<i>NA-11M</i>	235125	3812860	از گرانودیوریت حاوی اکسید و هیدروکسیدهای آهن	0.05	1320
<i>NA-32M</i>	230750	3812321	واحد آهکی	4.25	3280
<i>NA-33M</i>	230756	3812434	واحد آهکی	22.4	5810
<i>NA-34M1</i>	231791	3812744	از واحد گرانودیوریتی	0.79	78200
<i>NA-34M2</i>	231418	3812661	از داسیت دارای اکسید و هیدروکسید آهن و سیلیس رگه‌ای و پیریت	5.59	14900
<i>NA-34M3</i>	231345	3812646	از داسیت دارای اکسید و هیدروکسید آهن و سیلیس رگه‌ای و پیریت	0.41	12300
<i>NA-34M4</i>	231087	3812644	از داسیت دارای اکسید و هیدروکسید آهن و سیلیس رگه‌ای و کائولینیتی شده	0.56	59000
<i>NA-34M5</i>	230872	3812613	توده ریوداسیتی	0.59	63000
<i>NA-34M6</i>	230787	3812585		6.36	4450
<i>NA-34M7</i>	230665	3812529	اسکارن با امتداد N75E و ضخامت ۴۰ متر (بخش آندواسکارن) داخل گرانودیوریت حاوی اکسید و هیدروکسید آهن و ملاکیت می‌باشد (احتمالاً اسکارن آهن)	27.1	2570
<i>NA-34M8</i>	230654	3812545		21.4	9380
<i>NA-34M9</i>	230656	3812547		11.7	9020
<i>NA-39M1</i>	231045	3813782	از برش‌های ولکانیکی آندزیت سیلیسی فاید شده دارای اکسید و هیدروکسیدهای آهن	1.66	24800
<i>NA-39M2</i>	231123	3813814	رگه سیلیسی که در داخل گرانیت آلتره و آرنی شده تزریق شده است	12.3	25000
<i>NA-39M3</i>	230970	3813763	رگه سیلیسی موجود در آبراهه، حاوی اکسید و هیدروکسیدهای آهن و کمی آثار گوگرد و رآلگار	9.99	15500

جدول (۱-۵): نتایج حاصل از آنالیز نمونه‌های مینرالیزه برداشت شده از محدوده ۱:۲۵۰۰۰ فیروزان

<i>NAHAVAND</i>	<i>As</i>	<i>Au</i>	<i>B</i>	<i>Ba</i>	<i>Be</i>	<i>Bi</i>	<i>Ca</i>	<i>Cd</i>	<i>Ce</i>	<i>Co</i>	<i>Cr</i>	<i>Cs</i>	<i>Cu</i>	<i>Fe</i>
<i>UNITS</i>	<i>ppm</i>	<i>ppb</i>	<i>ppm</i>											
<i>DETECTION</i>	<i>0.5</i>	<i>1</i>	<i>0.5</i>	<i>0.2</i>	<i>0.2</i>	<i>0.1</i>	<i>10</i>	<i>0.1</i>	<i>0.5</i>	<i>0.2</i>	<i>2</i>	<i>0.1</i>	<i>0.2</i>	<i>100</i>
<i>METHOD</i>	<i>IC3E</i>	<i>PM01</i>	<i>IC3E</i>											
<i>NA-02A</i>	8.2	10	0	230	1.1	0.3	97700	0.2	53.2	16.2	118	5.5	37.7	33500
<i>NA-02M</i>	1.7	2	0	13.5	0	0	291000	0	3.3	1.7	5	0.4	8.2	1720
<i>NA-11A</i>	6.6	7	0	631	1.3	0.1	18700	0	53.3	7.3	24	6.2	28.4	22600
<i>NA-11M</i>	12.8	2	0	33.3	0	0	238000	0.3	4.4	3	10	0.2	7.1	6440
<i>NA-32M</i>	8.4	1	0	8.3	0	8.5	1430	1.4	1.6	3.5	131	0.2	1450	167000
<i>NA-33M</i>	49.9	15	0	23.3	0	81.9	23700	1.9	4	2.6	93	0.4	1220	132000
<i>NA-34M1</i>	4.5	0	0	682	0.6	1	7200	0.8	49.3	10.9	20	1	235	25800
<i>NA-34M2</i>	112	7	0	119	0	23	1350	6.5	44.1	48.2	96	1.4	238	142000
<i>NA-34M3</i>	5.2	4	0	67	0	0.2	757	0	13.8	0.9	105	0.4	14.3	4720
<i>NA-34M4</i>	5.9	2	0	598	0.8	0.1	677	0.4	44.8	0.8	116	1.4	21.2	13600
<i>NA-34M5</i>	5.8	3	0	563	1.1	0	908	0	63.9	0.4	42	2.1	46.1	12600
<i>NA-34M6</i>	4.1	2	0	47.4	0	13.3	212	0	2.6	1	114	0.3	167	6710
<i>NA-34M7</i>	69.4	16	0	17.6	0	37.8	4790	1.4	3.8	4.3	113	0.2	980	135000
<i>NA-34M8</i>	29.7	6	0	71.7	0.9	22.7	4520	27.4	11.8	13.1	133	0.5	23000	64800
<i>NA-34M9</i>	44.1	9	0	204	0.9	18.3	1920	113	35.8	85.6	97	0.4	9360	87700
<i>NA-39M1</i>	32	235	0	2400	0.5	0.5	2220	0.4	16.1	5.5	183	1.4	45.7	19200
<i>NA-39M2</i>	2.9	4	0	78.2	0	0.4	41500	0.2	13.1	5.5	16	1.1	23.1	10800
<i>NA-39M3</i>	164	264	0	517	1	3.5	1910	0.8	9.7	17.6	181	1.3	764	34600

جدول (۵-۱): نتایج حاصل از آنالیز نمونه‌های مینرالیزه برداشت شده از محدوده ۱:۲۵۰۰۰ فیروزان

<i>NAHAVAND</i>	<i>Hg</i>	<i>K</i>	<i>La</i>	<i>Li</i>	<i>Mg</i>	<i>Mn</i>	<i>Mo</i>	<i>Na</i>	<i>Nb</i>	<i>Ni</i>	<i>P</i>	<i>Pb</i>	<i>Rb</i>	<i>S</i>
<i>UNITS</i>	<i>ppm</i>													
<i>DETECTION</i>	<i>0.05</i>	<i>10</i>	<i>10</i>	<i>0.5</i>	<i>10</i>	<i>2</i>	<i>0.1</i>	<i>10</i>	<i>0.5</i>	<i>2</i>	<i>5</i>	<i>0.2</i>	<i>0.1</i>	<i>50</i>
<i>METHOD</i>	<i>IC3E</i>													
<i>NA-02A</i>	0.08	16100	25	39.6	17000	691	0.8	3960	7.8	61	635	15.8	83	440
<i>NA-02M</i>	0.07	1240	0	2.3	3320	40	0.6	84	0	4	66	8.8	5.9	870
<i>NA-11A</i>	0	35500	30	14.6	8560	750	1	18500	9.9	16	447	30.1	187	80
<i>NA-11M</i>	0.15	444	0	1	3860	214	0.4	121	0	4	205	10.6	3.1	690
<i>NA-32M</i>	0.99	460	0	2.9	409	210	6.2	148	0	7	173	367	2.3	120
<i>NA-33M</i>	7.15	1050	0	3.4	864	300	9.1	147	0.5	5	360	1200	6	480
<i>NA-34M1</i>	0.14	35900	23	23.8	12300	3700	2.1	26100	11.9	17	544	860	142	0
<i>NA-34M2</i>	0.26	7060	22	5.2	1030	98	73	237	15.1	19	1220	575	60.9	1350
<i>NA-34M3</i>	0.07	5250	0	6.7	340	137	3.7	185	9	4	212	59.4	28.6	70
<i>NA-34M4</i>	0.08	33500	26	2.6	735	198	5.2	9730	12	3	107	44.6	167	0
<i>NA-34M5</i>	0.07	31800	32	6	3280	157	2.5	541	12.9	0	192	56.9	178	160
<i>NA-34M6</i>	0.08	1890	0	9.7	219	165	54.9	180	0	4	107	483	12.9	150
<i>NA-34M7</i>	0.56	384	0	2.4	422	243	17.7	108	0	5	215	611	2.8	520
<i>NA-34M8</i>	1.28	1910	0	6.5	2860	2930	4.7	153	1	9	573	1430	10.4	1960
<i>NA-34M9</i>	2.55	1450	18	9.7	4460	0	8.6	186	0.8	19	682	1770	7.4	480
<i>NA-39M1</i>	0.2	27000	0	10.8	1200	2290	3.2	456	2.4	11	232	23.1	126	570
<i>NA-39M2</i>	0.14	2300	0	4.8	832	483	0.5	4800	2.9	4	244	71.9	15.4	170
<i>NA-39M3</i>	0.14	12800	0	11.6	854	2080	19.9	351	3.5	9	379	655	80.3	410

جدول (۱-۵): نتایج حاصل از آنالیز نمونه‌های مینرالیزه برداشت شده از محدوده ۱:۲۵۰۰۰ فیروزان

<i>NAHAVAND</i>	<i>Sb</i>	<i>Sc</i>	<i>Sn</i>	<i>Sr</i>	<i>Te</i>	<i>Th</i>	<i>Ti</i>	<i>Tl</i>	<i>U</i>	<i>V</i>	<i>W</i>	<i>Y</i>	<i>Zn</i>	<i>Zr</i>
<i>UNITS</i>	<i>ppm</i>													
<i>DETECTION</i>	<i>0.1</i>	<i>1</i>	<i>0.2</i>	<i>0.1</i>	<i>0.2</i>	<i>0.02</i>	<i>10</i>	<i>0.1</i>	<i>0.02</i>	<i>2</i>	<i>0.1</i>	<i>0.05</i>	<i>0.2</i>	<i>5</i>
<i>METHOD</i>	<i>IC3E</i>													
<i>NA-02A</i>	1	14	1.8	208	0	6.49	3480	0.4	1.34	101	1.5	10.6	84.9	38
<i>NA-02M</i>	0.8	0	0	54.3	0	0.49	136	0	3.59	5	0	1.77	23.2	0
<i>NA-11A</i>	2.1	8	1.7	94.7	0	8.9	3160	1.6	1.94	56	0.7	11.4	86.3	44
<i>NA-11M</i>	6.2	0	0	53.6	0	0.32	76	0	0.32	18	0.2	9.16	31.2	0
<i>NA-32M</i>	3	0	0.5	3.1	0	0.15	45	0	0.97	5	51.2	0.5	1030	7
<i>NA-33M</i>	6.2	0	0.2	16.8	2	0.28	98	0	1.68	16	23.7	1.24	1850	8
<i>NA-34M1</i>	2.4	12	1.9	103	0.9	7.67	4060	1.9	1.5	64	4.6	19.5	1510	27
<i>NA-34M2</i>	4.8	4	1.5	15.8	2	2.23	6770	0.4	3.27	36	4.4	5.49	1420	28
<i>NA-34M3</i>	7.6	1	0.9	6.3	0	4.56	2530	0.2	0.76	15	2.1	2.59	18.1	45
<i>NA-34M4</i>	1.3	5	1.7	43	0	8.92	1620	1.3	1.52	10	5.7	8.99	116	46
<i>NA-34M5</i>	1.6	6	3.1	37.3	0	9.94	2220	1.7	2.75	18	2.4	9.42	63.7	65
<i>NA-34M6</i>	6.5	0	0.3	8.5	1.6	0.25	87	0.1	0.13	4	1	0.46	63.2	0
<i>NA-34M7</i>	5.9	0	0.5	9.1	2.8	0.35	96	0	0.79	13	18.5	1.28	1200	7
<i>NA-34M8</i>	3	1	0.5	25.6	1.3	0.72	452	0	2.14	13	5.8	6.73	6390	8
<i>NA-34M9</i>	2.7	0	0.3	48.7	1.7	0.75	391	0.1	1.43	7	14.5	16.6	11500	8
<i>NA-39M1</i>	4.7	3	0.6	51.3	0	1.78	941	1.4	0.35	19	6.2	5.07	291	25
<i>NA-39M2</i>	2	4	0.5	264	0	2.11	1320	0	0.76	40	0.9	4.85	83.5	6
<i>NA-39M3</i>	10.1	1	0.7	18.6	0	3.07	1160	0.7	1.44	20	6	5.13	415	29

جدول (۴-۵): نمونه‌های آنومال مربوط به گروه‌های متغیر کانی سنگین محدوده ۱:۲۵۰۰۰ فیروزان

VI	$X+S$	حد زمینه	-
	$X+2S$	آنومالی ممکن	NA-69,NA-81
	$X+3S$	آنومالی احتمالی	-
	$X+4S$	آنومالی قطعی	NA-40
V2	$X+S$	حد زمینه	NA-40,NA-82
	$X+2S$	آنومالی ممکن	NA-81
	$X+3S$	آنومالی احتمالی	-
	$X+4S$	آنومالی قطعی	NA-48
V3	$X+S$	حد زمینه	-
	$X+2S$	آنومالی ممکن	NA-85,NA-82
	$X+3S$	آنومالی احتمالی	-
	$X+4S$	آنومالی قطعی	NA-53
V4	$X+S$	حد زمینه	NA-88
	$X+2S$	آنومالی ممکن	NA-57
	$X+3S$	آنومالی احتمالی	-
	$X+4S$	آنومالی قطعی	NA-35
V5	$X+S$	حد زمینه	NA-48,NA-35,NA-01
	$X+2S$	آنومالی ممکن	NA-09
	$X+3S$	آنومالی احتمالی	-
	$X+4S$	آنومالی قطعی	NA-31
V6	$X+S$	حد زمینه	NA-35
	$X+2S$	آنومالی ممکن	NA-10
	$X+3S$	آنومالی احتمالی	-
	$X+4S$	آنومالی قطعی	NA-01
V7	$X+S$	حد زمینه	NA-29,NA-81,NA-01
	$X+2S$	آنومالی ممکن	NA-48
	$X+3S$	آنومالی احتمالی	-
	$X+4S$	آنومالی قطعی	NA-09

صلیل

نایاب و پیغمبر شهادات

## نتایج و پیشنهادات:

محدوده فیروزان به مساحت حدود ۳۳ کیلومترمربع می باشد که تعداد ۸۸ نمونه ژئوشیمی، ۳۸ نمونه کانی‌سنگین و ۱۸ نمونه سنگی کانه‌دار از آن برداشت گردیده است.

۱- محدوده مذکور بین طولهای جغرافیایی ۲۳۶۰۰۳-۲۲۸۲۵۶ و عرض‌های جغرافیایی ۳۸۱۴۳۲۶-۳۸۱۰۵۶ واقع شده است

۲- واحدهای سنگی منطقه شامل سنگ‌های آذرین نفوذی با جنس گرانیت تا گرانودیوریت، سنگ‌های آذرین خروجی (جریانهای گدازه لیتیک دار متاولکانیک، پیروکلاستیک‌های داسیتی و آندزیتی)، سنگ‌های مرمریتی و آهک‌های نازک لایه اوربیتولین دار می‌باشد.

۳- ساختار تکتونیکی منطقه بیشتر به تبعیت از گسلهای با روند شمال غرب-جنوب شرقی شکل گرفته است.

۴- کانه زائی در منطقه در ارتباط با توده نفوذی با ترکیب گرانودیوریت و گرانیت است که اثر محلولهای گرمابی در قاعده سنگ‌های آهکی آثار کانه زایی فلزی بصورت اسکارن را بوجود آورده است. زمان تأثیر محلولهای گرمابی پس از توده نفوذی است زیرا بوضوح سنگ‌های توده نیز دگرسان شده (آندواسکارن) است. از آندواسکارن مربوط به اسکارن بطول در حدود ۴۰۰ متر و عرض در حدود ۴۰ متر تعدادی نمونه مینرالیزه بصورت تکه‌ای اخذ گردید. در این اسکارن همچنین مقادیری از کانی‌های مس و روی حضور دارند که برای اولین بار در طی این پژوهش این اسکارن کشف و بدینوسیله گزارش می‌گردد. از میان نمونه‌های اخذ شده از این محدوده نمونه NA-39M3 با دارا بودن ۲۶۴ ppb طلا در صدر قرار دارد. این نمونه از رگه سیلیسی موجود در آبراهه، حاوی اکسید و هیدروکسیدهای آهن و کمی آثار گوگرد و رآلگار بدست آمده است. همچنین نمونه‌های برداشته از این محدوده مقادیر بالایی از عنصر مس را نشان داده‌اند به طوریکه در تعداد ۹ نمونه، مقادیری بالاتر از ۱۰۰ ppm مس را نشان داده‌اند. به عنوان مثال

می‌توان به نمونه NA-34M8 با دارا بودن ppm ۲۳۰۰۰ مس اشاره نمود، این نمونه از اسکارن با امتداد N75E داخل گرانوودیوریت حاوی اکسید و هیدروکسید آهن و مالاکیت می‌باشد اخذ گردیده است. نمونه‌های برداشتی از این محدوده مقادیر بالایی از عنصر روی را نیز نشان داده‌اند به طوریکه تعداد ۷ نمونه مقادیری بالاتر از ppm ۱۰۰ روی را نشان داده‌اند. به عنوان مثال می‌توان به نمونه NA-34M9 با دارا بودن ppm ۱۱۵۰۰ مس اشاره نمود، این نمونه نیز از اسکارن فوق الذکر (بخش آندواسکارن) داخل گرانوودیوریت که حاوی اکسید و هیدروکسید آهن و مالاکیت می‌باشد اخذ گردیده است.

۵-بالاترین مقدار نتیجه ژئوشیمیایی رسوبات آبراهه‌ای برای عنصر طلا ۱۶ میلی گرم در تن و برای عنصر مس ۵۲/۱ گرم در تن و برای عنصر روی ۴۸۲ گرم در تن می‌باشد.

۶-نتایج آنالیز نمونه‌های سنگی کانه‌دار بالاترین مقدار برای عنصر طلا ppb ۲۶۴ و برای عنصر روی ۱۱۵۰۰ گرم در تن و مس ۲۳۰۰۰ گرم در تن می‌باشد.

۷-طلا در هیچ یک از نمونه‌های کانی سنگین مشاهده نشده است.

۸-همبستگی عناصر بصورت زیر می‌باشد:

گروه اول: شامل عناصر Fe,Sc,V,Ti,Mn,Pb,Zn,Zr,Cd,Cu,As,Co,P می‌باشد.

گروه دوم: شامل عناصر Al,Be,Ba,La,K,Na می‌باشد.

گروه سوم: شامل عناصر Ag,U,Tl,Bi,Mo می‌باشد.

گروه چهارم: شامل عناصر Nb,Sn,Ce,Rb,Cs,Th,Sb,Y,W,Au می‌باشد.

گروه پنجم: شامل عناصر Ca,S,Sr,Mg,Ni,Cr,Li می‌باشد.

پیشنهادات:

با توجه به تلفیق نتایج مطالعات ژئوشیمی، کانی‌سنگین، سنگ‌کانه‌دار، مطالعات صحرایی و وجود اسکارن، محدوده باختر و شمال باختری محدوده مورد مطالعه واقع در ۲ کیلومتری جنوب روستای قارلق (نقشه شماره ۴۹) جهت ادامه مطالعات اکتشافی برای عنصر مس، روی، طلا، آهن و عناصر پاراژنر آنها پیشنهاد می‌گردد.

مناج

منابع:

- ۱ - م.سبزه‌ای ، ب. مجیدی ، ن.علوی تهرانی، م. قریشی، م. عمیدی، ۱۹۷۷ ، نقشه زمین شناسی
- ۲- ج.حسینی دوست ، م.الف. مهدوی ، مهدی علوی ۱۹۹۲ ، نقشه زمین شناسی ۱:۱۰۰۰۰۰
- ۳- سازمان زمین شناسی و اکتشافات معدنی کشور
- ۴- گزارش اکتشافات ژئوشیمیائی ۱:۱۰۰۰۰۰ ۱۳۸۳ ، کانی کاوان شرق
- ۵- موحدی. مهرداد، چیت‌گری.الهام، گزارش اکتشافات به روش ژئوشیمی- معدنی در محدوده عشوند نهادن، مقیاس ۱:۲۵۰۰۰ ، ۱۳۸۷ ، سازمان زمین‌شناسی و اکتشافات معدنی کشور
- ۶- موحدی. مهرداد، چیت‌گری.الهام، گزارش پی‌جوئی به روش اکتشافات ژئوشیمیایی در محدوده برجک نهادن، در مقیاس ۱:۲۵۰۰۰ ، ۱۳۸۸ ، سازمان زمین‌شناسی و اکتشافات معدنی کشور
- ۷- حسنی پاک، علی‌اصغر، (۱۳۸۰)، تحلیل داده‌های اکتشافی (جدایش زمینه از آنومالی-آمار و احتمال مهندسی -تخمین ذخیره)
- ۸- حسنی پاک، علی‌اصغر، (۱۳۸۰) اصول اکتشافات ژئوشیمیایی، انتشارات دانشگاه تهران

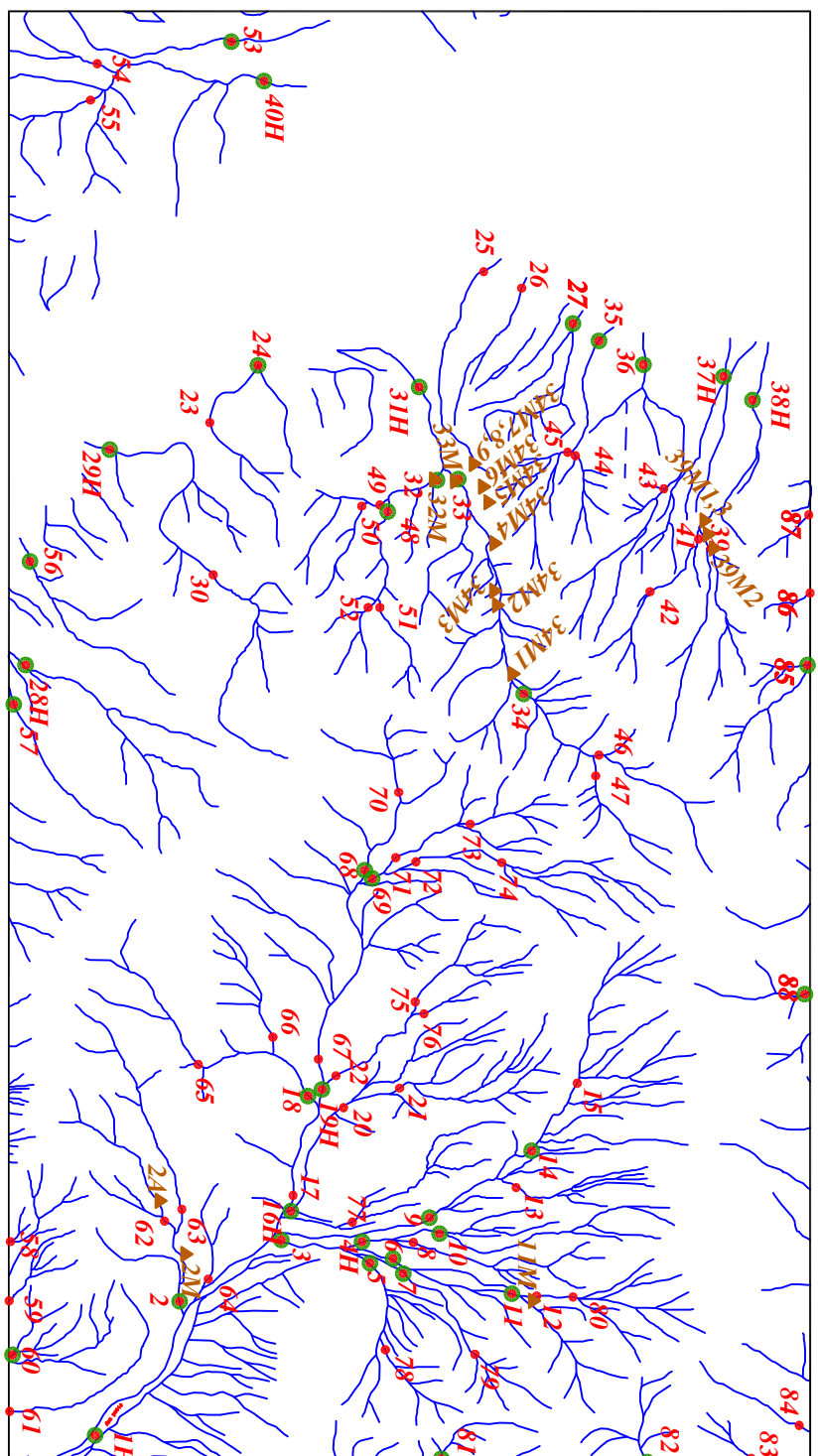
نَصْرَتْ

228260  
3814340

236000  
3814340

228260  
3814340

236000  
3814340



228260  
3814340

236000  
3814340

228260  
3814340

236000  
3814340

### Legend

	نوزده کانی سسینگن
	نوزده میزه ریوپلیس
	شماره نموزه میزه لسبرن
	شدیده نموزه کالی سسینگن
	حد روینه
	آزمایی ممکن
	آزمایی قطعی
	مقابل
	نمودار در روند

پژوهه اکتشافات روشیمیابی محدوده ۱/۲۵۰۰۰ فیروزان

سازمان زمین شناسی و اکتشافات معدنی کشور

موضوع: موقعیت نمونه‌های برداشتی

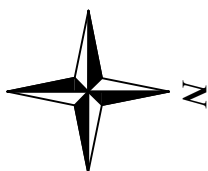
توسط: مهرداد محمدی - الهام چیت گری

نقطه شماره یک

228260  
3814340

236000  
3814340

0 500 1000 1500 2000 2500m



Scale 1:40000

228260  
3814340

236000  
3814340

228260  
3810060

236000  
3810060

*Legend*

نحوه میز راه

سیمراه

نحوه کانی سیمراه

نحوه زویه سیمراه

شده زویه نموزه

شده زویه نموزه کالی سیمراه

شده زویه نموزه میز راه

حد روینه

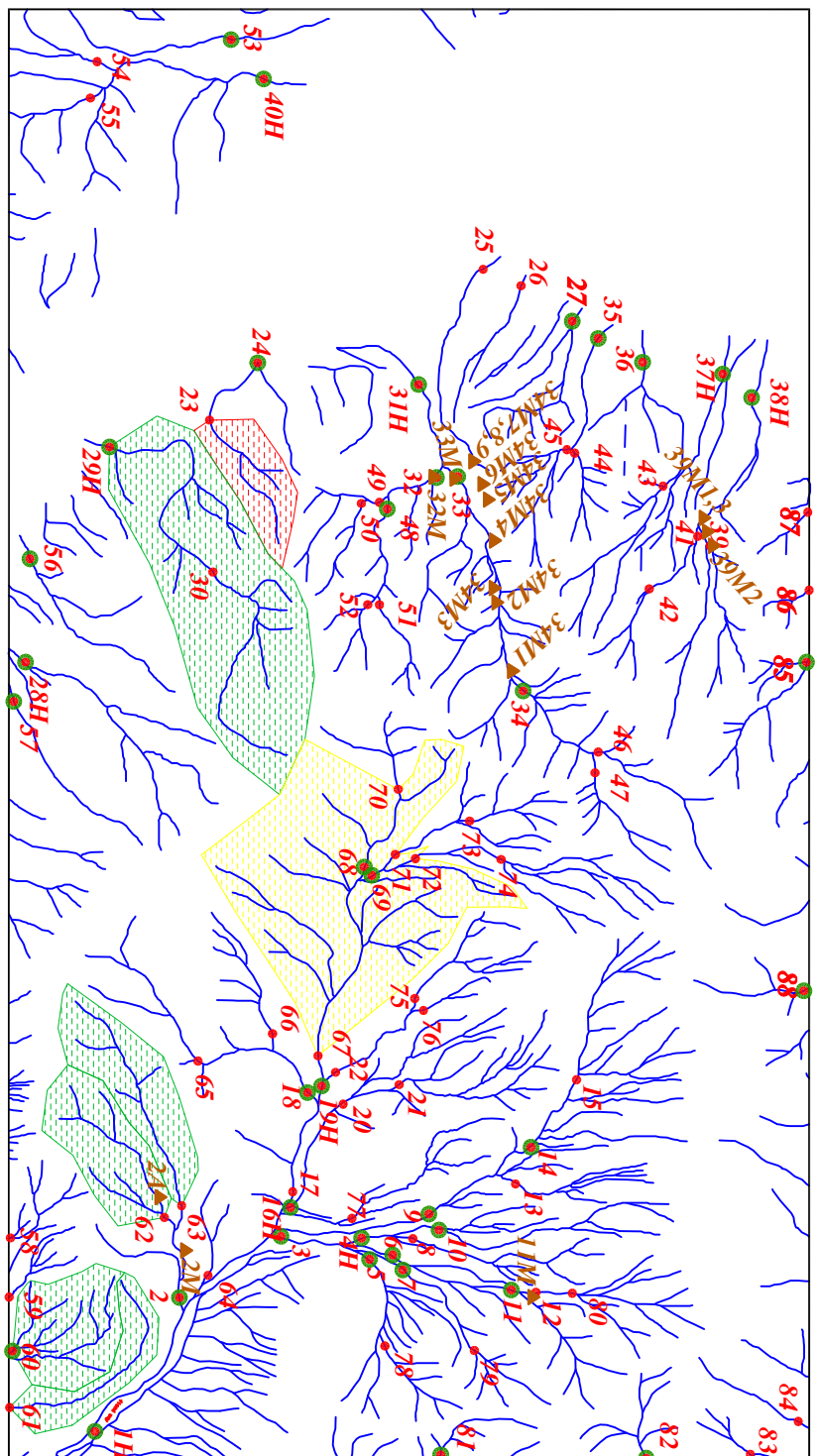
آزمایی مکن

آزمایی اختبار

متبلس

آنومالی قطبی

منطقه در رون



پژوهه اکتشافات روشیمیابی محدوده ۱/۲۵۰۰۰ فیروزان

سازمان زمین شناسی و اکتشافات معدنی کشور

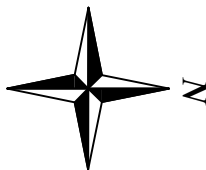
موضوع: آنومالی های مربوط به عنصر نقره

توضیح: مهداد محمدی - الهام چیت گری

نقطه شماره دو

Scale 1:40000

0 500 1000 1500 2000 2500m

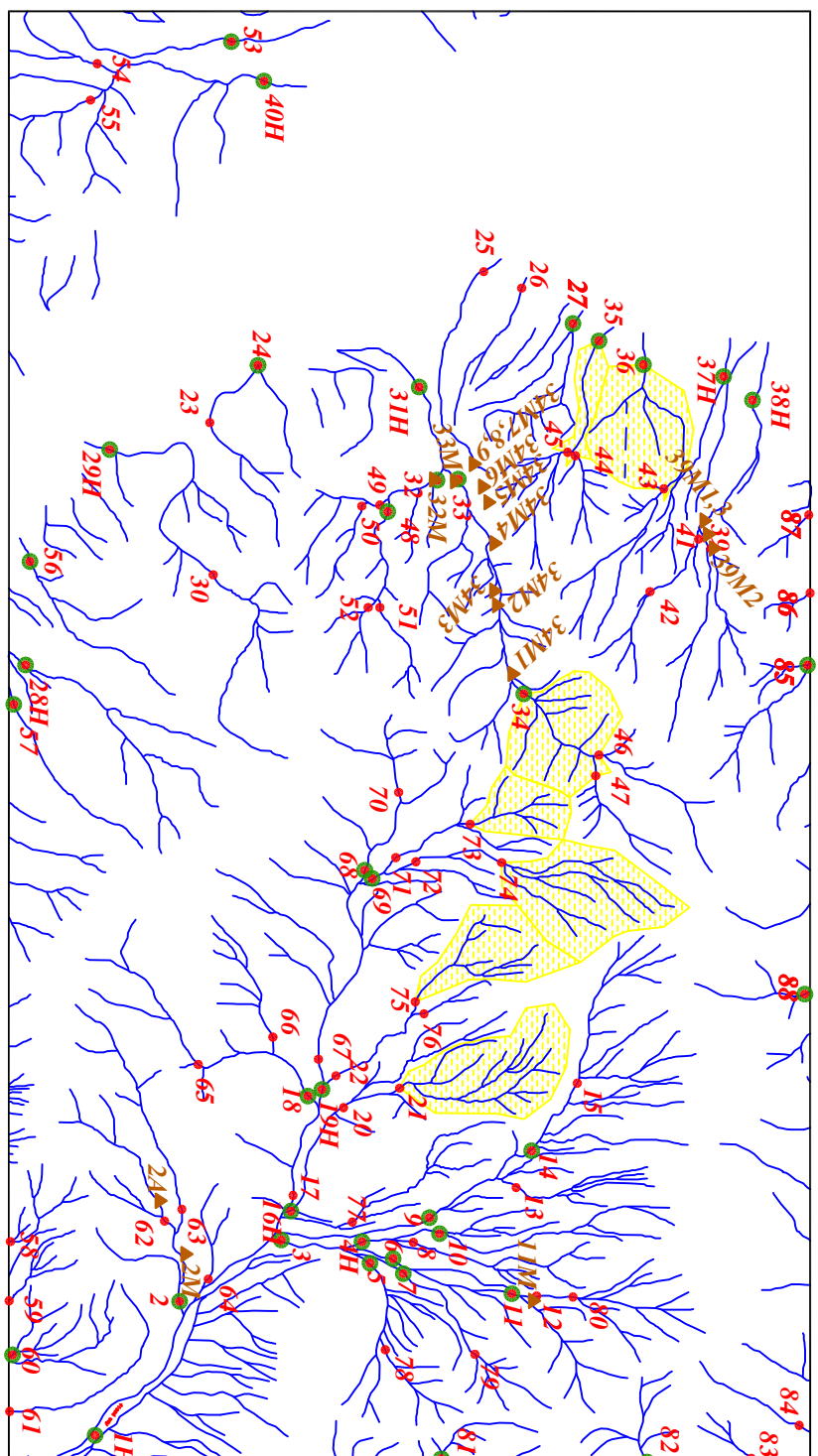


228260  
3814340

236000  
3814340

228260  
3814340

236000  
3814340



### Legend

نوزده میزه ابراجد	نوزده میزه ابراجد
نوزده کانی سسینگن	نوزده کانی سسینگن
نوزده زمینه روشسته	نوزده زمینه روشسته
شماره نوزده میزه سسینگن	شماره نوزده میزه سسینگن
حد روینده	حد روینده

آبومالی مکان	آبومالی مکان
آبومالی قطبی	آبومالی قطبی
مقبلس	مقبلس

پژوهه اکتشافات روشیمیابی محدوده ۱/۲۵۰۰۰ فیروزان

سازمان زمین شناسی و اکتشافات معدنی کشور

موضوع: آنومالی های مربوط به عنصر آلومینیوم

متغیر: در رون

متغیر: مکان

متغیر: قطبی

متغیر: مقبلس

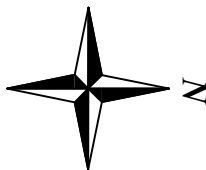
متغیر: حد روینده

متغیر: شماره نوزده میزه سسینگن

228260  
3814340  
236000  
3814340  
 $\lambda = 267985$   
 $\lambda = 3768831$

Scale 1:40000

0 500 1000 1500 2000 2500m



228260  
3814340

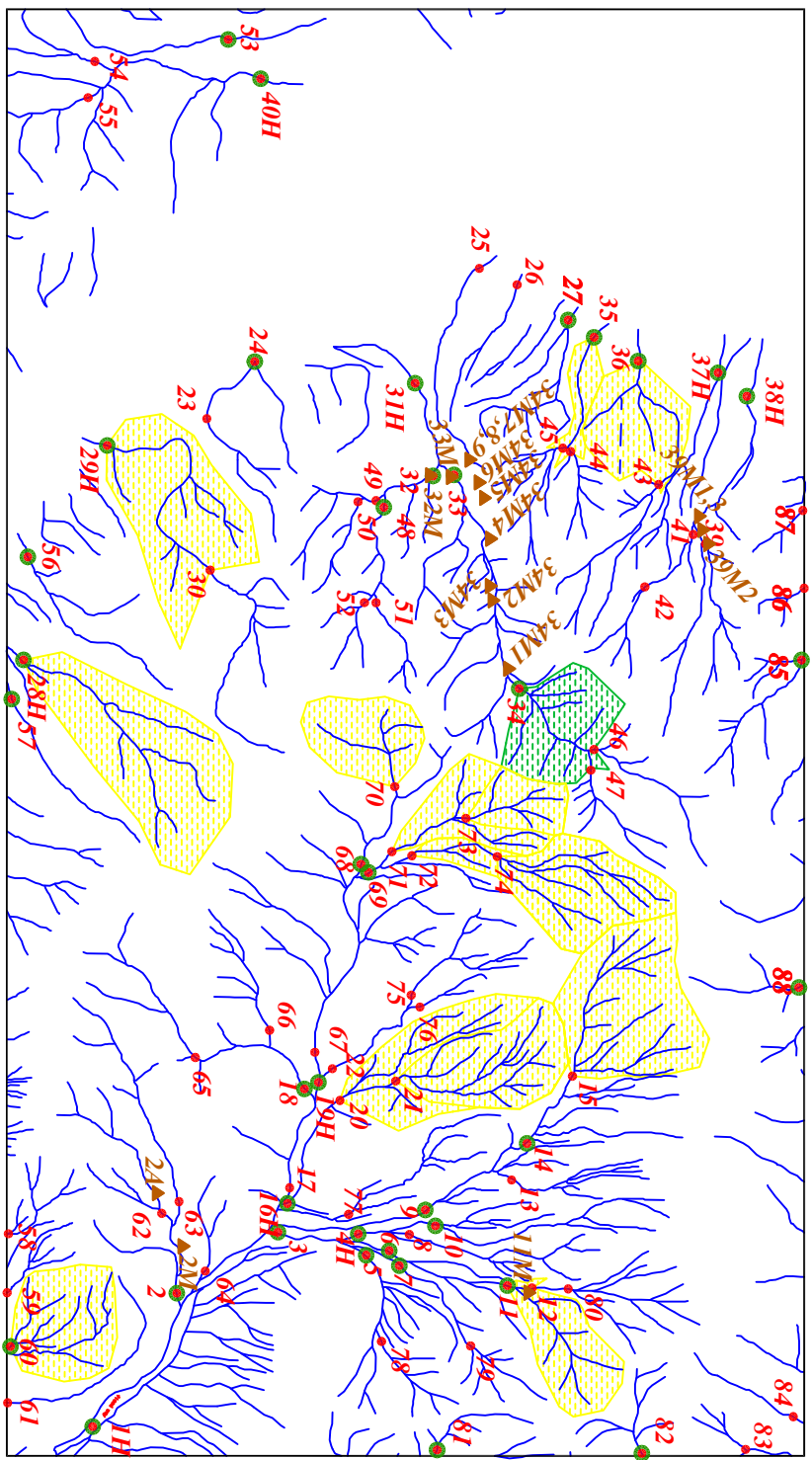
236000  
3814340

228260  
3810060

236000  
3810060

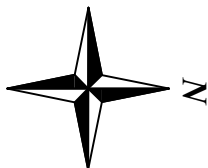
$\lambda = 267985$   
 $\chi = 3768831$

## Legend



Scale 1:40000

0 500 1000 1500 2000 2500m



پژوهه اکتشافات روشیمیابی محدوده ۱/۲۵۰۰۰ فیروزان

سازمان زمین شناسی و اکتشافات معدنی کشور

موضوع: آنومالی های مربوط به عذر ارسنیک

توسط: مهداد محمدی - الهام چیت گری

نقشه شماره چهار

۱۳۸۸

228260  
3814340

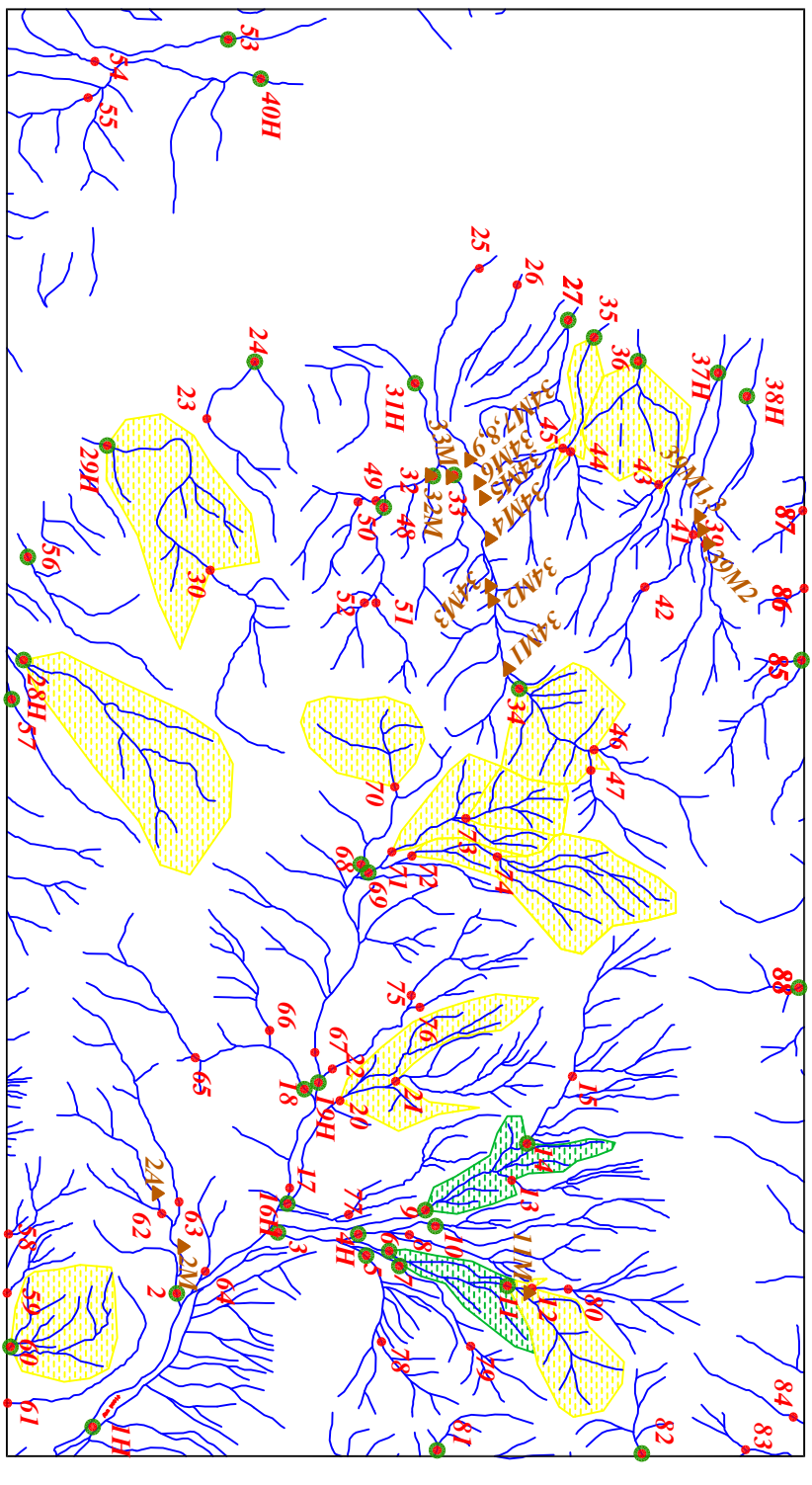
236000  
3814340

228260  
3810060

236000  
3810060

$\lambda = 267985$   
 $\gamma = 3768831$

## Legend



سیستم ابراجه

نحوه میزهای سرمه

نحوه کانی سرمه

نحوه زوئیسی

شده نموزه زوئیسی

شده نموزه کالی سرمه

شده نموزه میزه لسکن

حد روینه

آزمایی مکن

آزمایی قطبی

متبلس

محیط در رون

پروژه اکتشافات روشیمیابی محدوده ۱/۲۵۰۰۰ فیروزان

سازمان زمین شناسی و اکتشافات معدنی کشور

موضوع: آنمالي های مربوط به عنصر طلا

توسط: مهرداد محمدی - الهام چیت گری

I44

143H

32M

21

20

19H

18

17

16H

15

14

13

12

11

10

9

8

7

6

5

4H

3

2

1

H

1

2

3

4

5

6

7

8

9

10

11

12

13

14

15

16

17

18

19

20

21

22

23

24

25

26

27

28H

29H

30

31H

32

33M

34

35

36

37H

38H

39DM2

40H

41

42

43

44

45

46

47

48

49

50

51

52

53

54

55

56

57

58

59

60

61

62

63

64

65

66

67

68

69

70

71

72

73

74

75

76

77

78

79

80

81

82

83

84

85

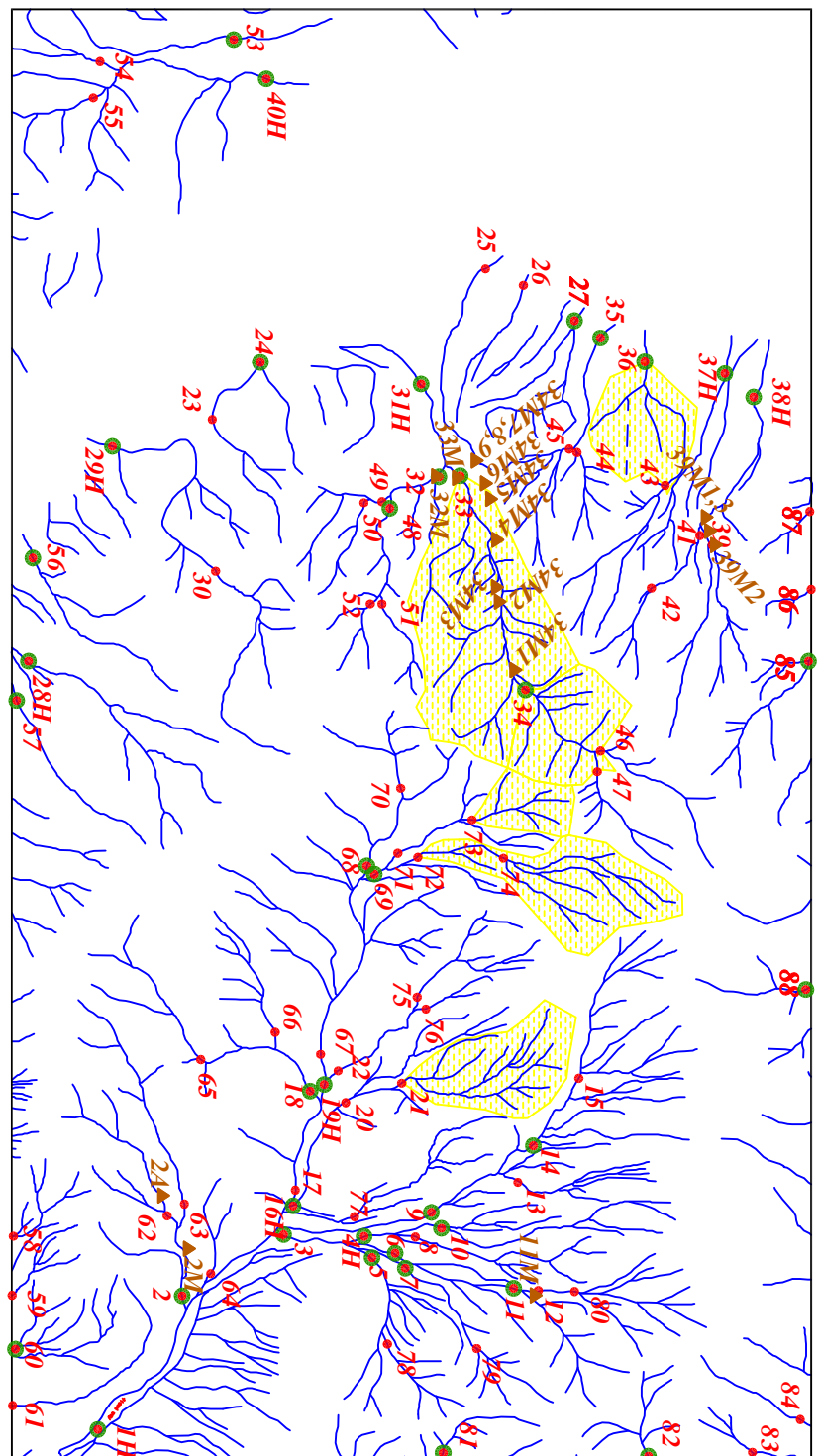
86

87

Scale 1:40000

0 500 1000 1500 2000 2500m





## *Legend*

Legend	
	سیستم ابراهه
	نحویه دیندر
	نحویه کالی سیستم
	نحویه پوششی
	شماره نیویو کالی سیستم
	شماره نیویو میز اس
	اویس ای مکن
	اویس ای احمدی
	مکتب
$X = 267.905$ $Y = 378.883$	محاسبات در زون ۳۹

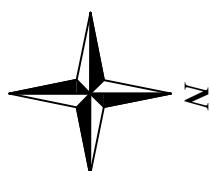
پروره اکتشفیات رئوشهای محدوده ۰۰۵۲/۱ فیروزان

سازمان زمین شناسی و اکتشافات معدنی کشور

موضوع: آنومالی های مربوط به عنصر باریم

تیوسٹ: مهرداد موحدی - الہام چیت گری

نقد و نظریه



*Scale 1:40000*

1

58

228260  
3814340

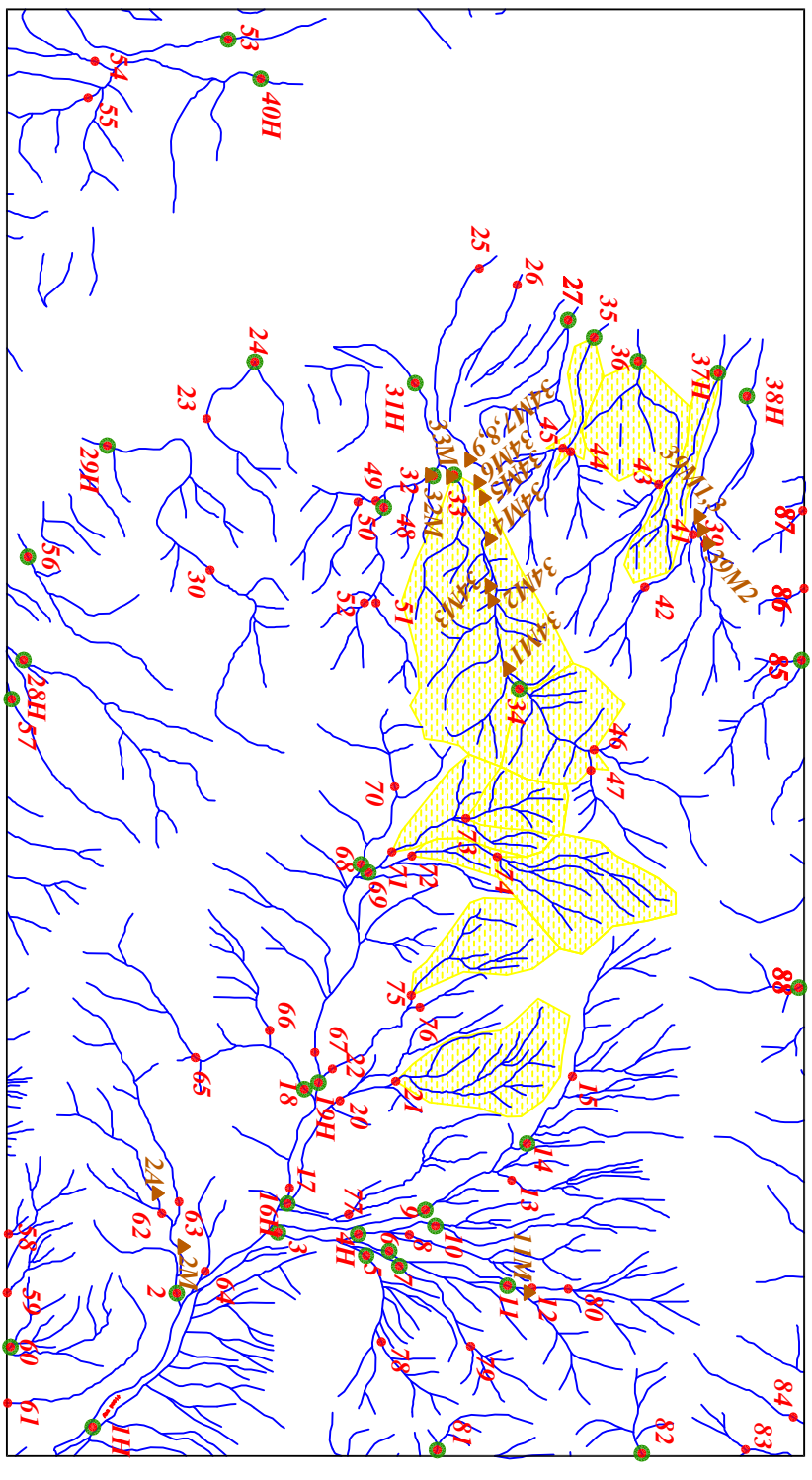
236000  
3814340

228260  
3810060

236000  
3810060

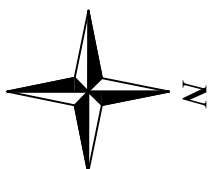
$\lambda = 267985$   
 $\chi = 3768831$

## Legend



Scale 1:40000

0 500 1000 1500 2000 2500m



پروژه اکتشافات روشیمیابی محدوده ۱/۲۵۰۰۰ فیروزان

متبلس

منطقه در روز ۳۹

آبراهد سیزده

نوزده کلائی سیزده

نوزده زیوره سیزده

شدهاره نوزده میزرا سیزده

حد روینه سیزده

آبراهد سیزده

موضوع: آنومالی های مربوط به عنصر برلیوم

توضیح: مهرداد محمدی - الهام چیت گری

نقطه شماره هفت

۱۳۸۸

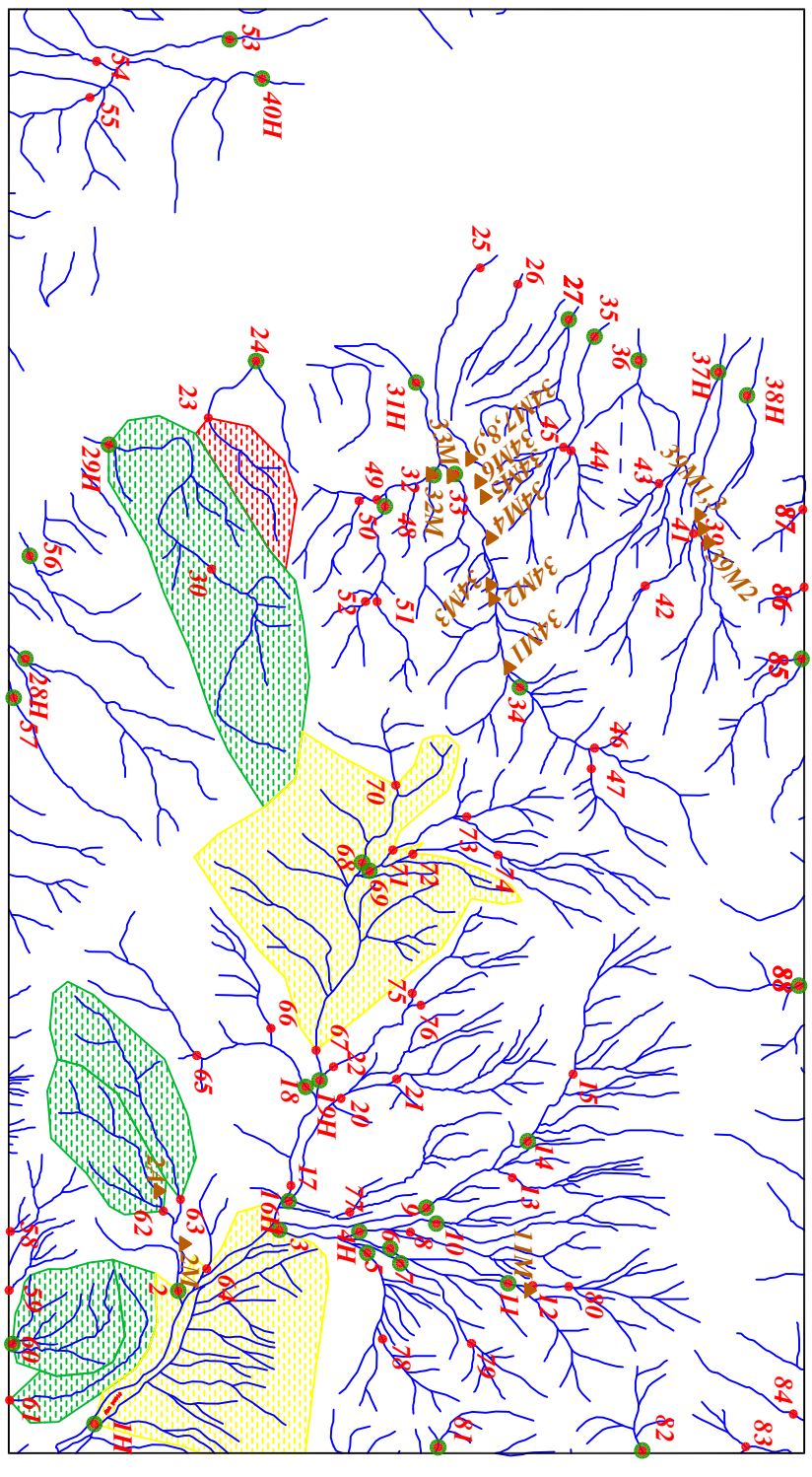
228260  
3814340

236000  
3814340

228260  
3814340

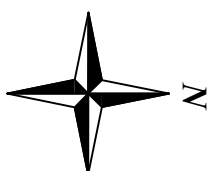
236000  
3814340

### Legend



Scale 1:40000

0 500 1000 1500 2000 2500m



پژوهه اکتشافات روشیمیابی محدوده ۱/۲۵۰۰۰ فیروزان

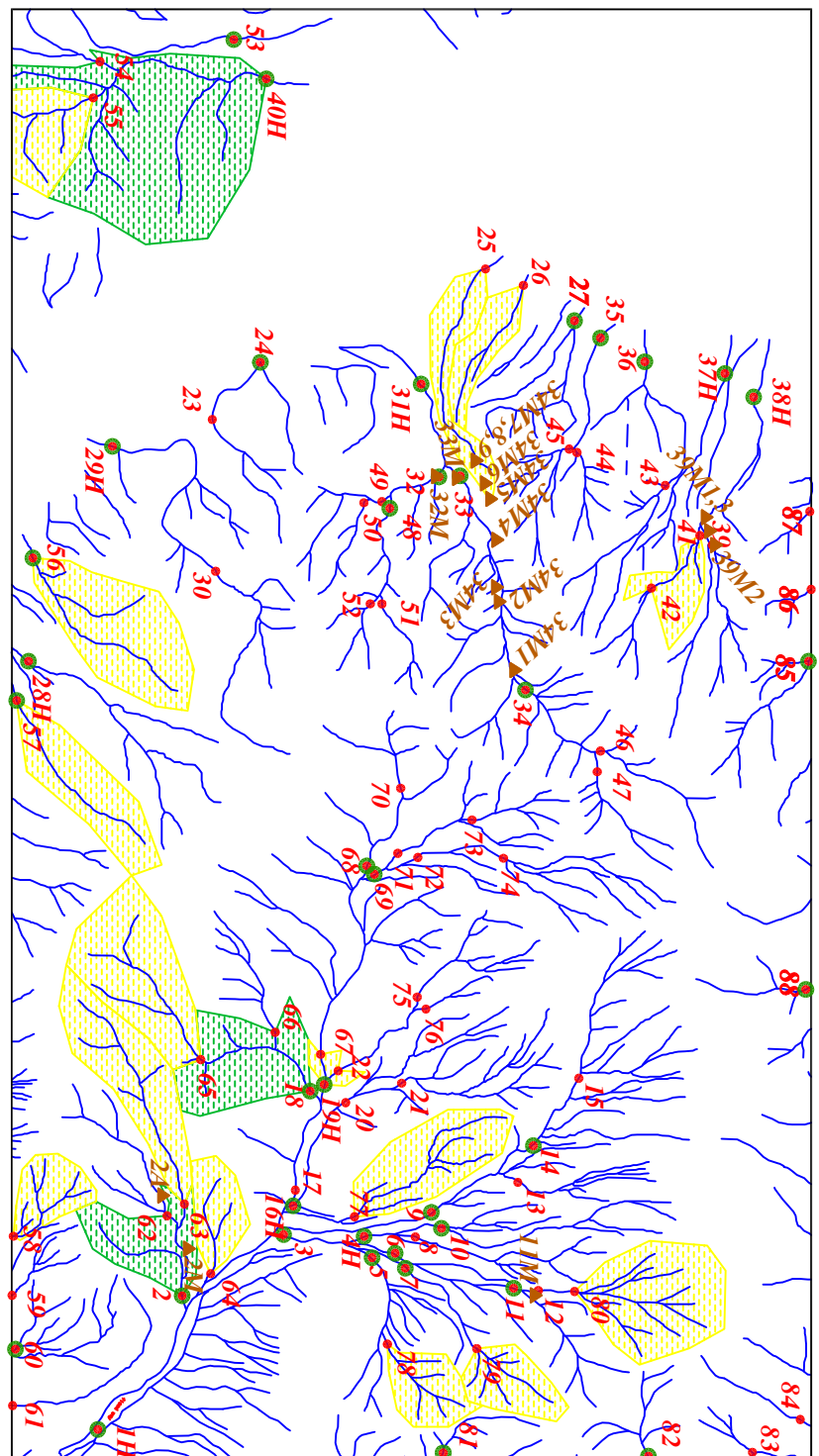
سازمان زمین شناسی و اکتشافات معنده کشور

موضوع: آنومالی های مربوط به عنصر بیسیمومت

توسط: مهرداد محمدی - الهام چیت گری

نقشه شماره هشت

۱۳۸۸



## *Legend*

<i>Legend</i>	
	سیاره ابراهیم
	نحوه مدینا
	نحوه کلای بیگن
	نحوه زیور
	حد روپرداز
	شماره نخوسه رژیوشن
	شماره نخوسه میز
	آنومالی اندیسی
	مقدار
$\lambda = 267.955$ $y = 378.8831$	خطهای در روز

پروره اکتشافات ریوشه میمایی محدوده ۰۰۵۲۱ فیروزان

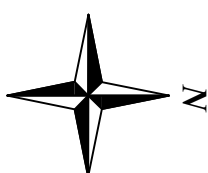
سازمان زمین شناسی و اکتشافات معدنی کشور

تیوسٹ: مهرداد موحدی - الہام چیت گری

شماره نه

0 500 1000 1500 2000 2500m

*Scale* 1:40000



$X = 267985$ $Y = 3788831$	
مذکور روز در مصادفات	

—

1

۳۹

100

二

6

100

四

6

१८

Digitized by srujanika@gmail.com

10

٦٣

38

**Scale 1:40000**

228260  
3810060

236000  
3810060

228260  
3814340

236000  
3814340

ن

ساخته ایزد و ساخته ایزد

فیروزان

جهان چیت گری

ساخته عصر کلسی

ساخته معدنی کشیده

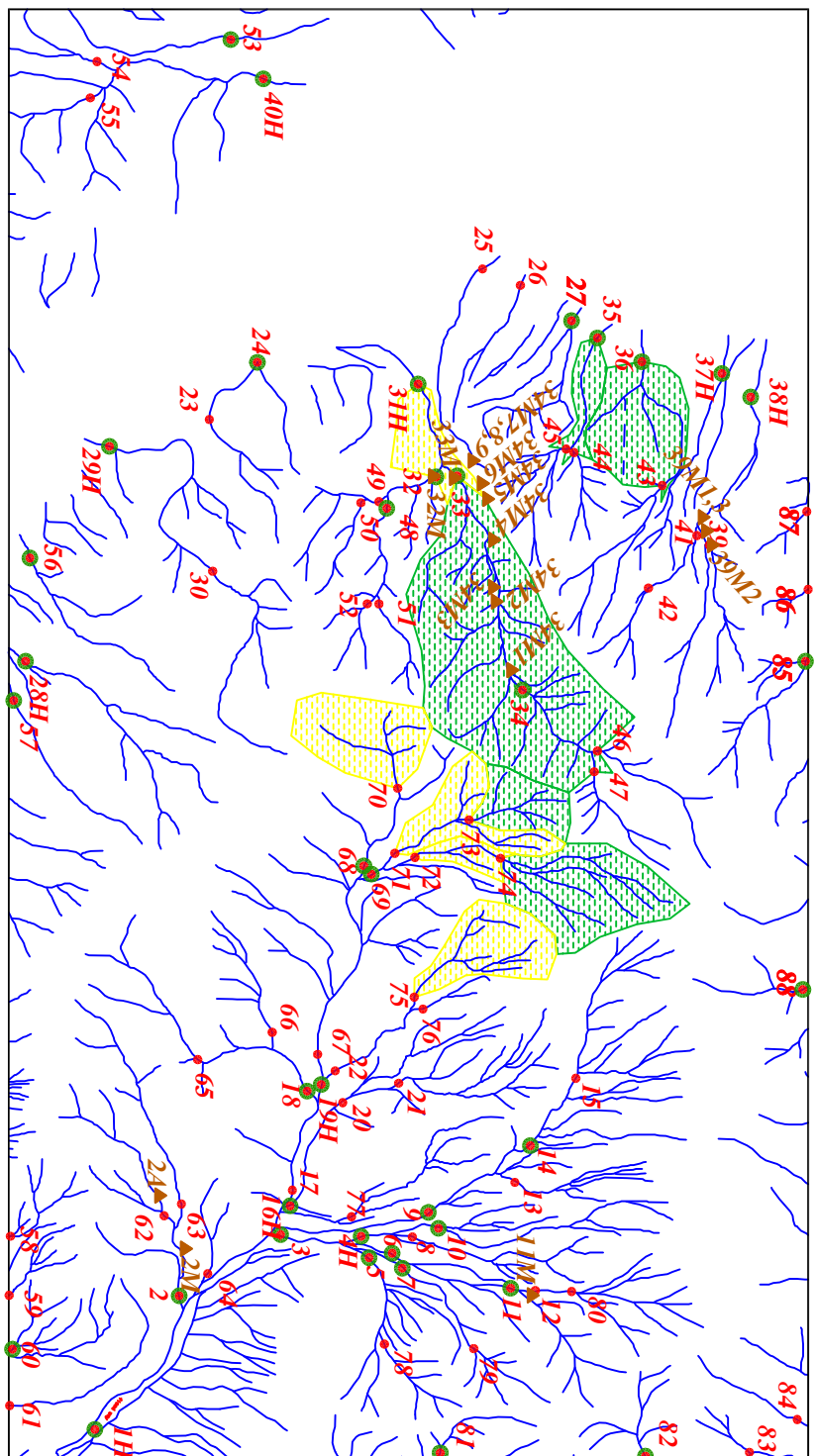
0 500 1000 1500 2000 2500m

228260  
3814340

236000  
3814340

228260  
3814340

236000  
3814340



### Legend

	سیلول ابر اراده
	نوزده کانی سیلولین
	نوزده زوئوپریت
	شده زوئوپریت
	شده زوئوپریت سیلولین
	حد روپریت
	شده زوئوپریت سیلولین
	آنوسالی مکن
	آنوسالی قطبی
	متبلس
	منطقه در رون

228260  
3814340

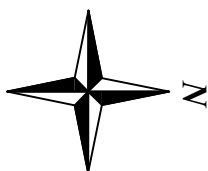
236000  
3814340

228260  
3814340

236000  
3814340

Scale 1:40000

0 500 1000 1500 2000 2500m



پژوهه اکتشافات روشیمیابی محدوده ۱/۲۵۰۰۰ فیروزان

سازمان زمین شناسی و اکتشافات معدنی کشور

موضوع: آنومالی های مربوط به عنصر کادمیوم

توسط: مهرداد محمدی - الهام چیت گری

نقطه شماره ۵۰

نقطه شماره ۵۰	۱۳۸۸
---------------	------

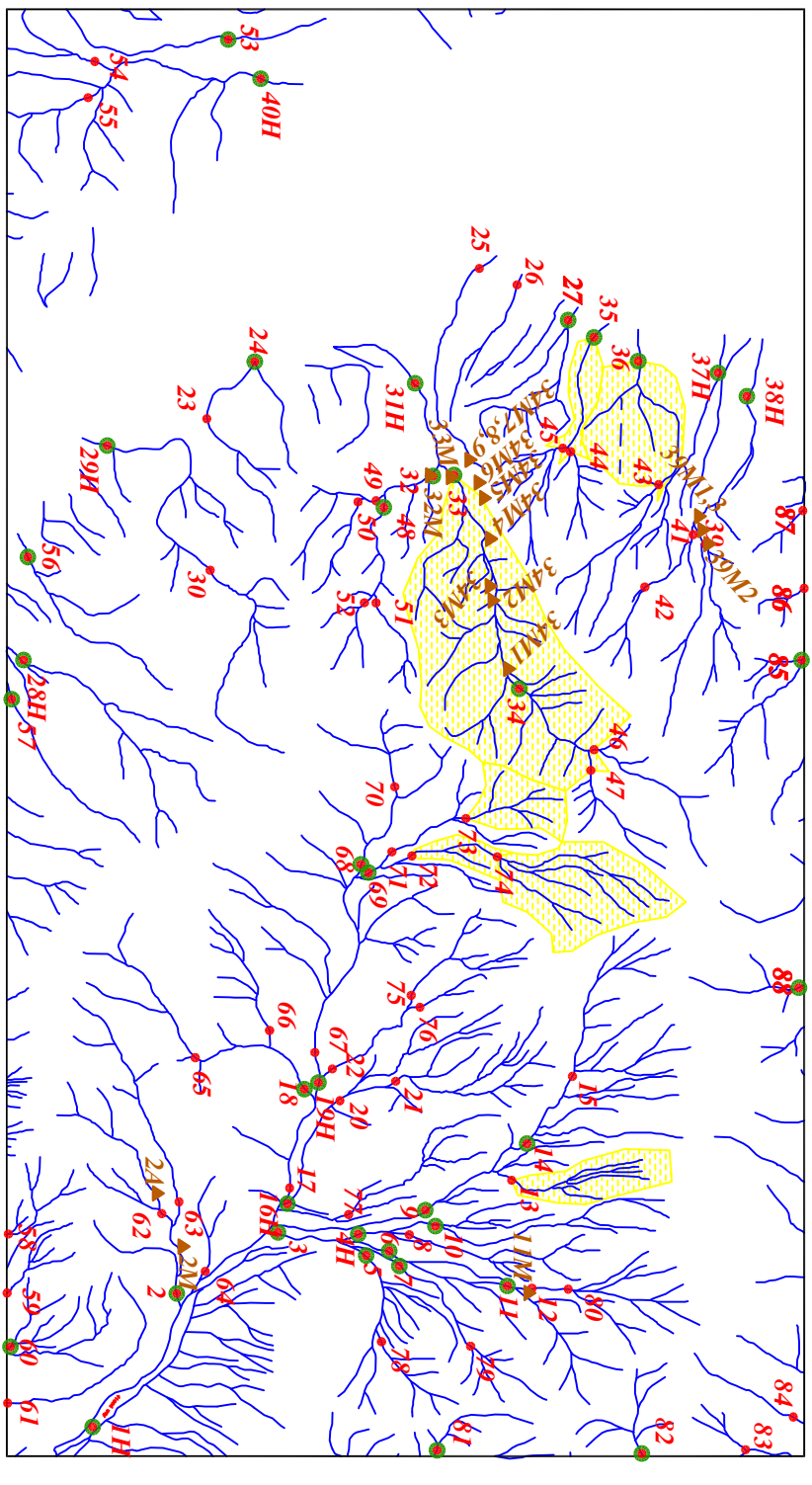
228260  
3814340

236000  
3814340

228260  
3810060

236000  
3810060

## Legend



228260  
3810060

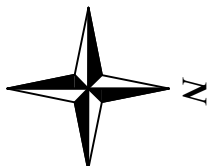
236000  
3810060

$\lambda = 267985$

$\lambda = 3708831$

### Scale 1:40000

0 500 1000 1500 2000 2500m



پژوهه اکتشافات روشیمیابی محدوده ۱/۲۵۰۰۰ فیروزان

سازمان زمین شناسی و اکتشافات معدنی کشور

موضوع: آنومالی های مربوط به عصر سریم

توسط: مهرداد محمدی - الهام چیت گری

نقشه شماره یازده

۱۳۸۸

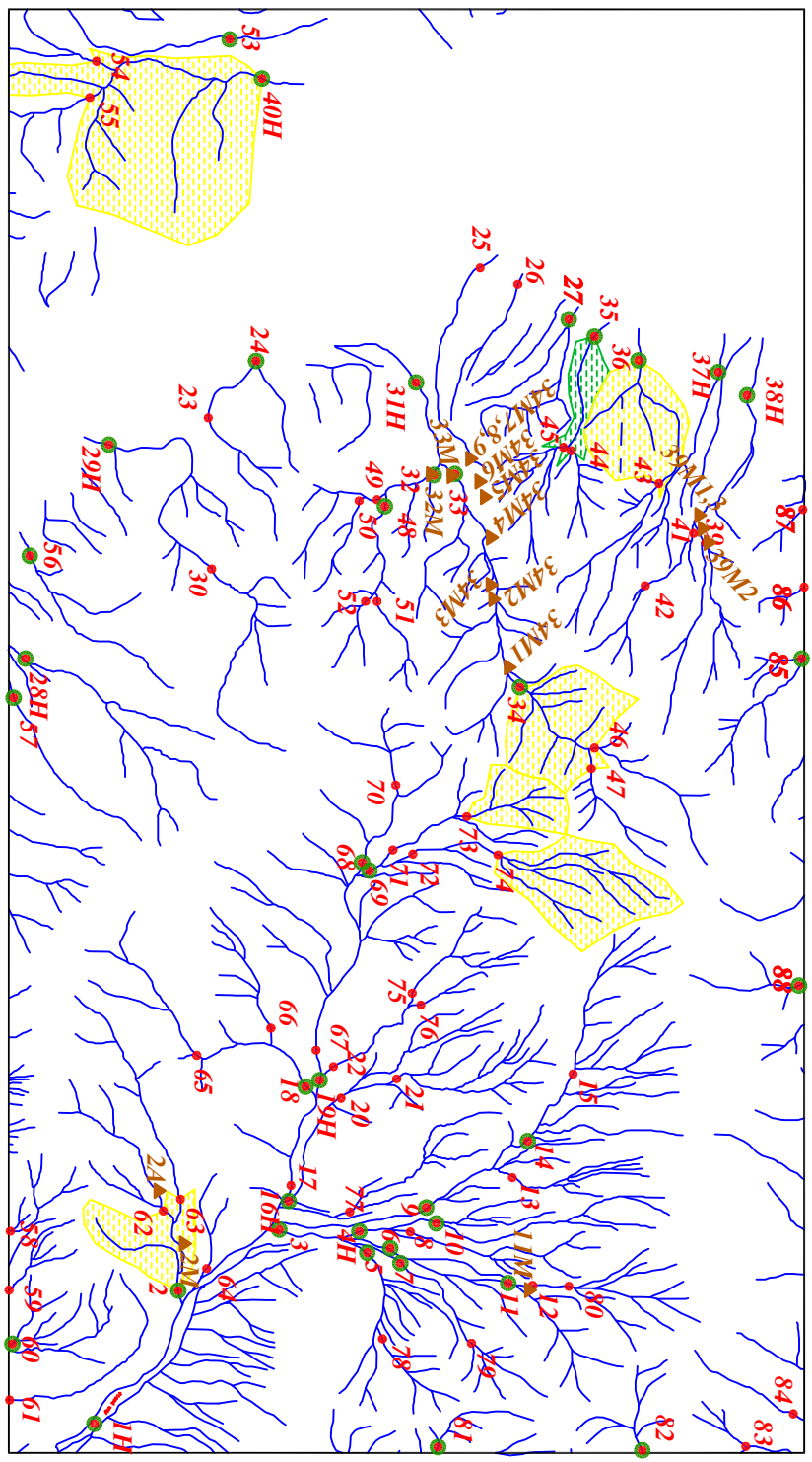
228260  
3814340

236000  
3814340

228260  
3810060

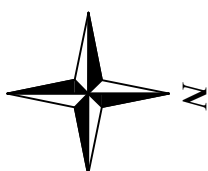
236000  
3810060

## Legend



Scale 1:40000

0 500 1000 1500 2000 2500m



پژوهه اکتشافات روشیمیابی محدوده ۱/۲۵۰۰۰ فیروزان

سازمان زمین شناسی و اکتشافات معادنی کشور

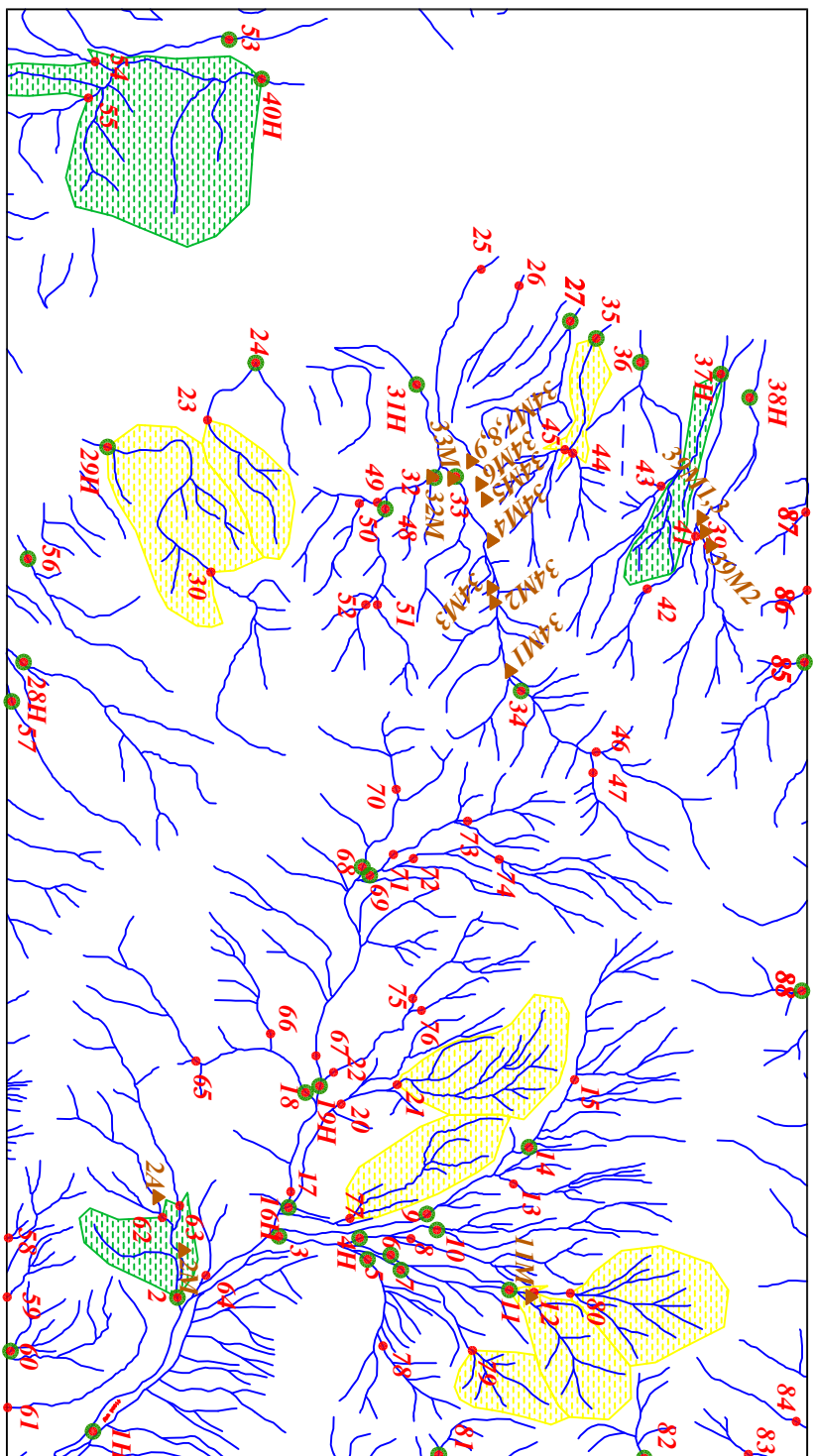
موضوع: آنومالی‌های مربوط به عنصر کبالت

توسط: مهرداد محمدی - الهام چیت گری

نقطه شماره دوازده

نقطه شماره دوازده	۳۹ رون
$\lambda = 267985$	$y = 3768831$

228260  
3814340  
236000  
3814340  
228260  
3810060  
236000  
3810060  
*Legend*



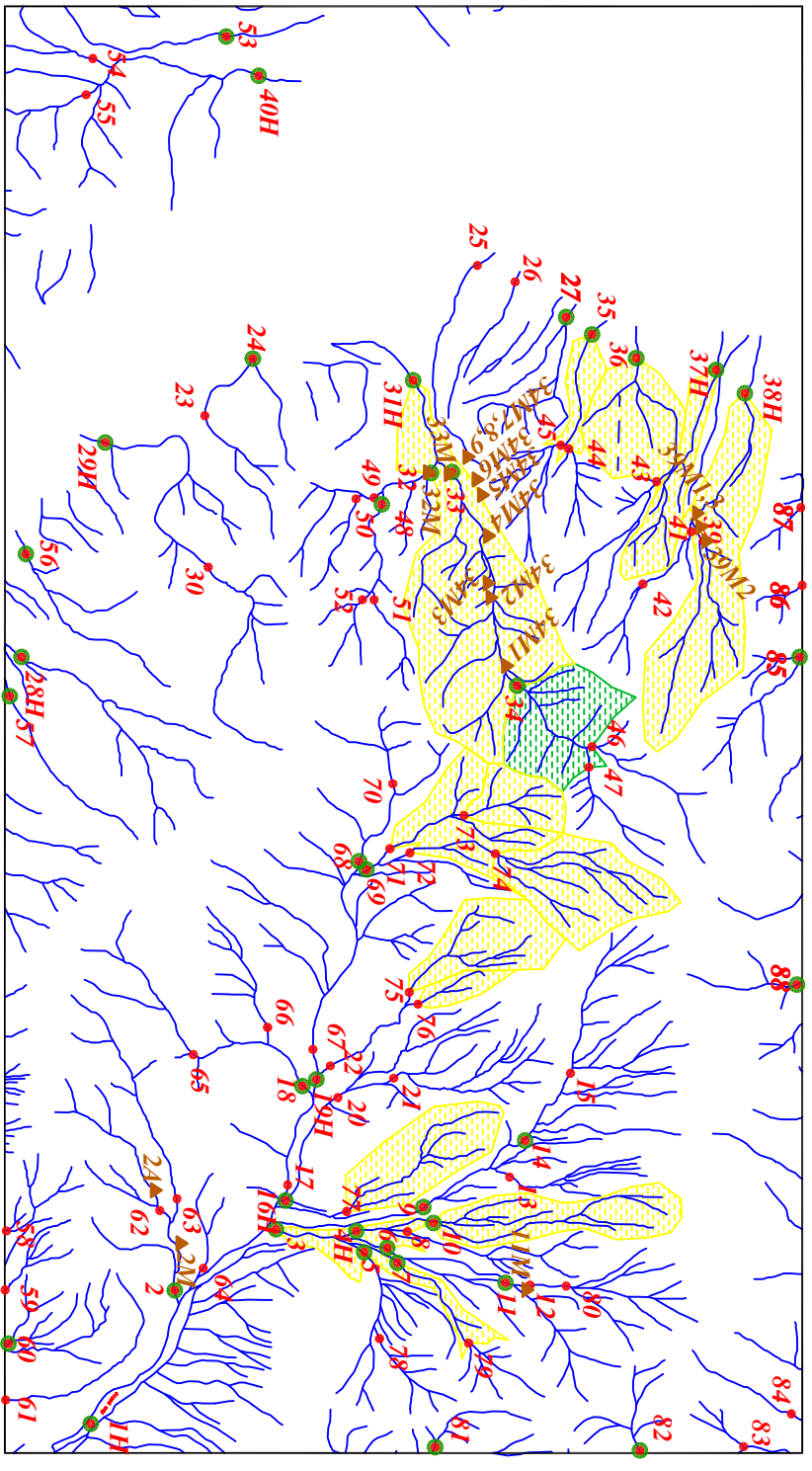
228260  
3810060  
236000  
3810060  
*Legend*

پژوهه اکتشافات روشیمیابی محدوده ۱/۲۵۰۰۰ فیروزان	
سازمان زمین شناسی و اکتشافات معدنی کشور	
موضوع: آنومالی های مربوط به عنصر کروم	
توسط: مهداد محمدی - الهام چیت گری	
نقطه شماره سیزده	۱۳۸۸
مقابل	
مختصات در رون	۳۹
λ=26°79'55"	
Y=3768831	

228260  
3814340

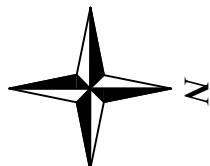
236000  
3814340

### *Legend*



Scale 1:40000

0 500 1000 1500 2000 2500m



پژوهه اکتشافات روشیمیابی محدوده ۱/۲۵۰۰۰ فیروزان

متبلس  
متخلقات در رون  
آنوسالی قطبی

مکان

آنوسالی انتقالی

حد روینه

شماره نمونه میزرسن

شماره نمونه کالی سسین

نموده زوایه پیوسته

نموده میزرازه

سیاره ابراجه

سازمان زمین شناسی و اکتشافات معدنی کشور  
موضوع: آنومالی های مربوط به عنصر سرزمی  
توضیح: مهرداد محمدی - الهام چیت گری

نقشه شماره چهارده

۱۳۸۸

228260  
3814340

236000  
3814340

228260  
3814340

236000  
3814340



**Legend**

سیاه رنگ

آبراهه

نحوه میزلا

نحوه کانی سیگن

نحوه زوئیس

شده نوزه زوئیس

شده نوزه کالی سیگن

شده نوزه میزلا

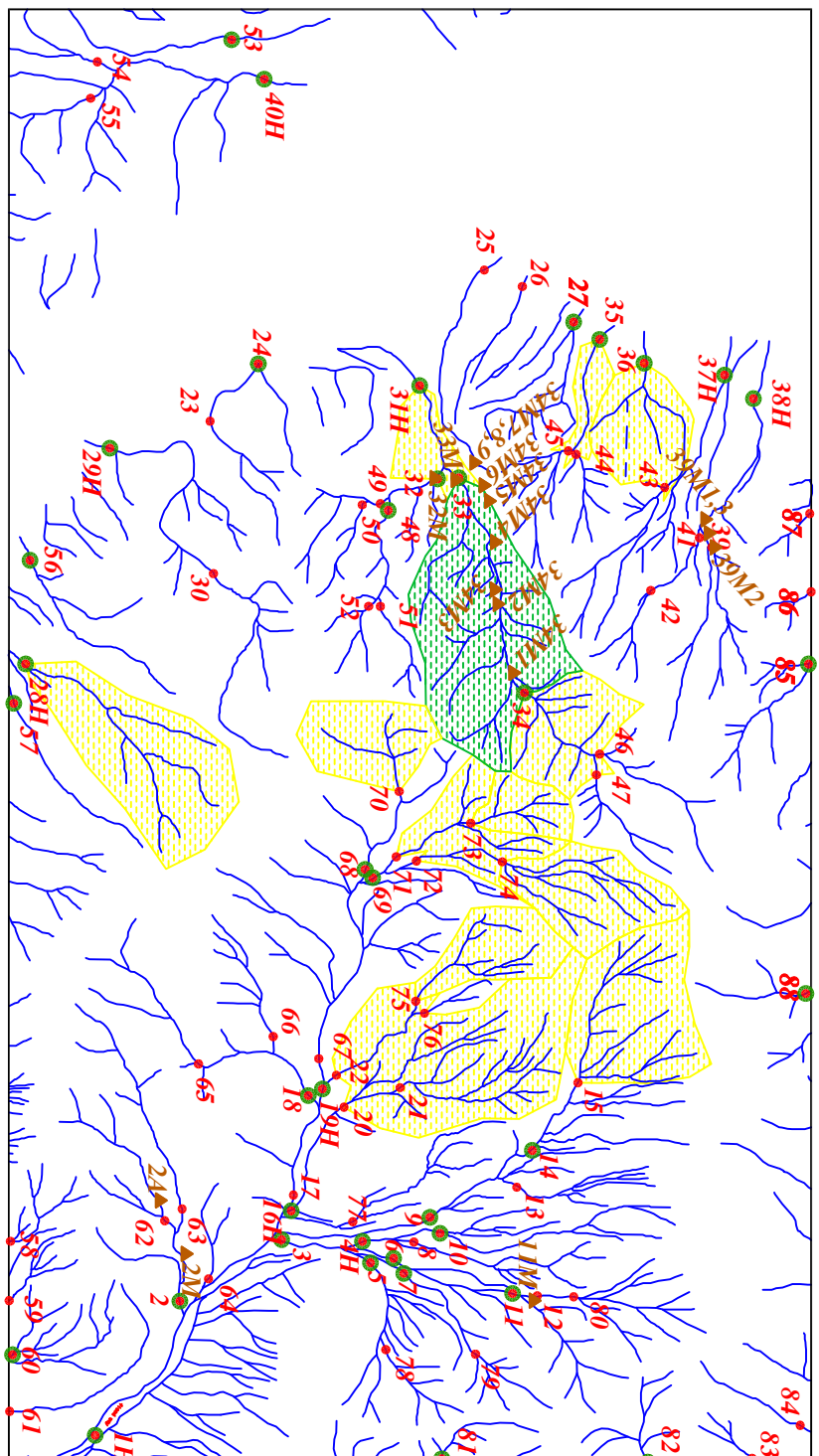
حد روینه

آبروسی مکن

آبروسی قطبی

متبلس

مختلط در رون

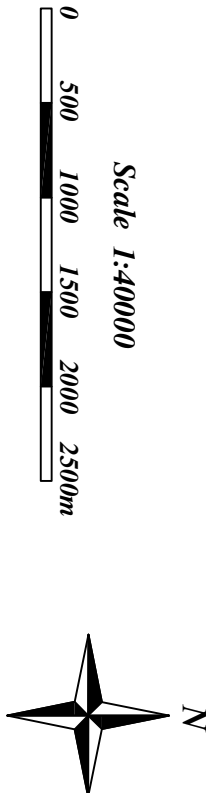


228260  
3814340

236000  
3814340

**Scale 1:40000**

0  
500  
1000  
1500  
2000  
2500m



پژوهه اکتشافات روشیمیابی محدوده ۱/۲۵۰۰۰ فیروزان

سازمان زمین شناسی و اکتشافات معدنی کشور

موضوع: آنومالی های مربوط به عنصر مس

توضیح: مهرداد محمدی - الهام چیت گری

نقطه شماره پیاندنه

۱۳۸۸

228260  
3814340

236000  
3814340

228260  
3810060

236000  
3810060

*Legend*

نحوه ایجاد

سیستم

نحوه مبین ایجاد

سیستم

نحوه کاری سیستم

سیستم

نحوه زوایی

سیستم

شده نمونه مبین

سیستم

شده نمونه مبین

سیستم

حد و پیوند

سیستم

آزمایی ممکن

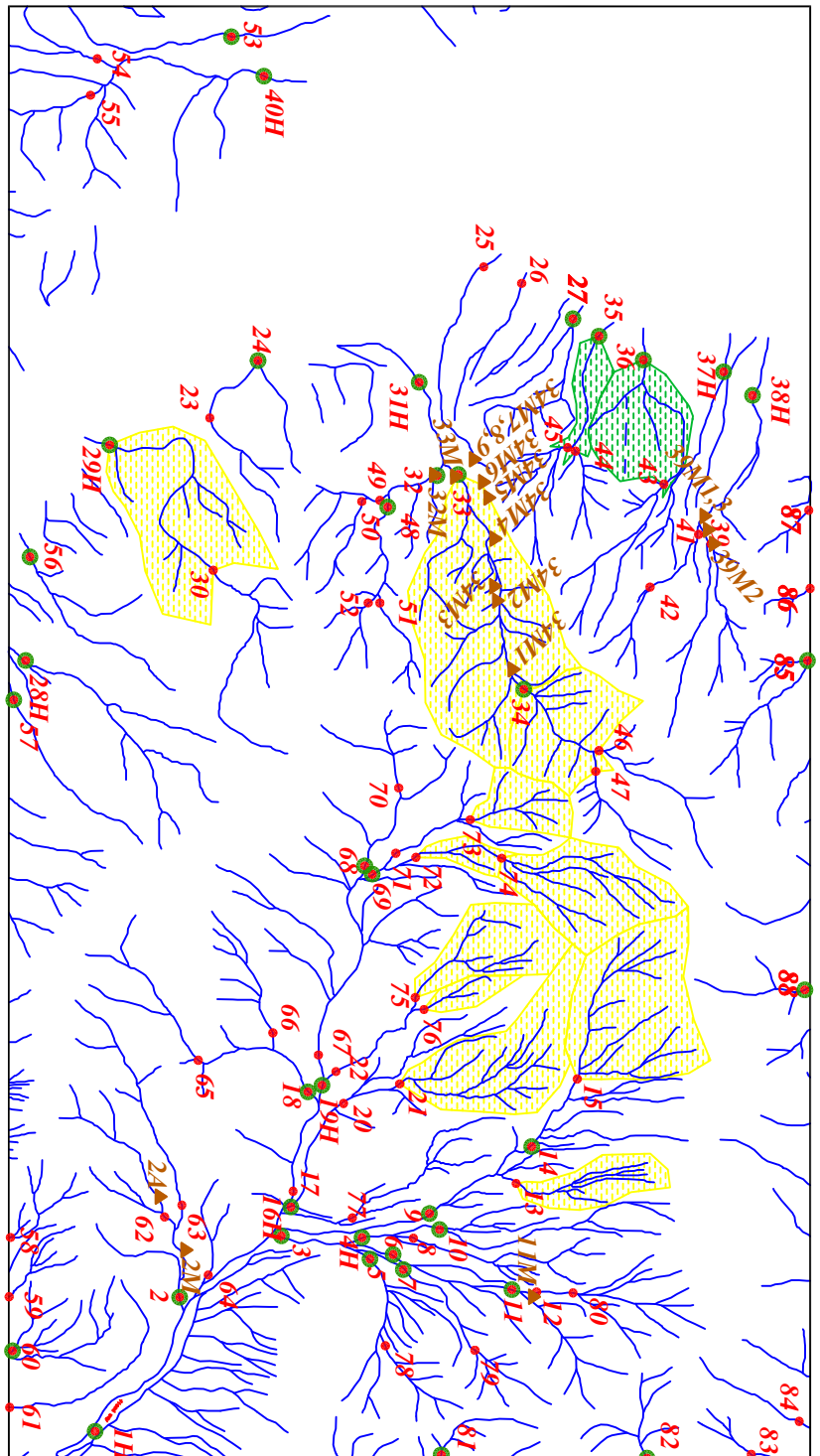
سیستم

آزمایی قطبی

سیستم

متبل

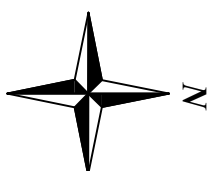
سیستم



228260  
3810060

Scale 1:40000

0 500 1000 1500 2000 2500m



*Survey*

پژوهه اکتشافات روشیمیابی محدوده ۱/۲۵۰۰۰ فیروزان

سازمان زمین شناسی و اکتشافات معدنی کشور

موضوع: آنومالی های مربوط به عصر آهن

توضیح: مهداد محمدی - الهام چیت گری

نقطه شماره شناسنامه

۱۳۸۸

228260

3814340

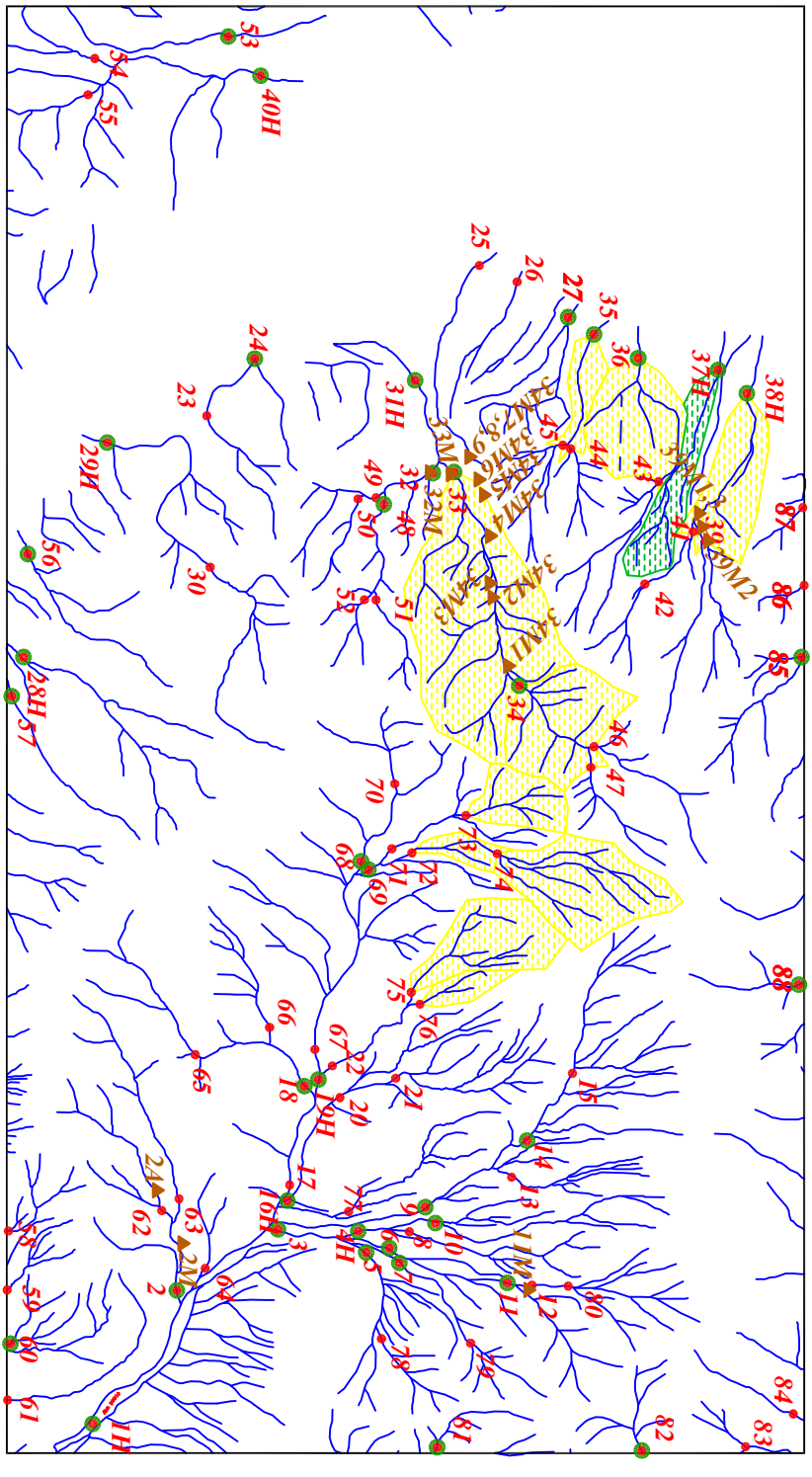
236000

3814340

236000

3814340

## Legend



228260

3814340

228260

3814340

236000

3814340

236000

3814340

<b>نقطه شماره هدف</b>	مختصات در رون	مقابل	آزمایی قطبی	آزمایی ممکن	حد روینده	شماره نمونه میزرسانه	شماره نمونه میزرسانه کالی سسین	نمودار نمونه روشسترن	نمودار نمونه روشسترن	نحوه کارائی سسین	نموده میزراز	سیاره ابر اراده
<b>Legend</b>												

پژوهه اکتشافات روشیمیابی محدوده ۱/۲۵۰۰۰ فیروزان

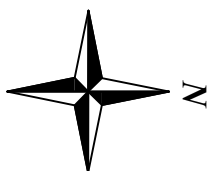
سازمان زمین شناسی و اکتشافات معنده کشور

موضوع: آنومالی های مربوط به عنصر پتاسیم

توسط: مهرداد محمدی - الهام چیت گری

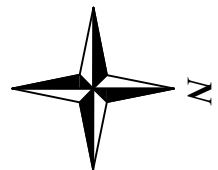
نقطه شماره هدف

0 500 1000 1500 2000 2500m



Scale 1:40000

0 500 1000 1500 2000 2500m



Scale 1:40000

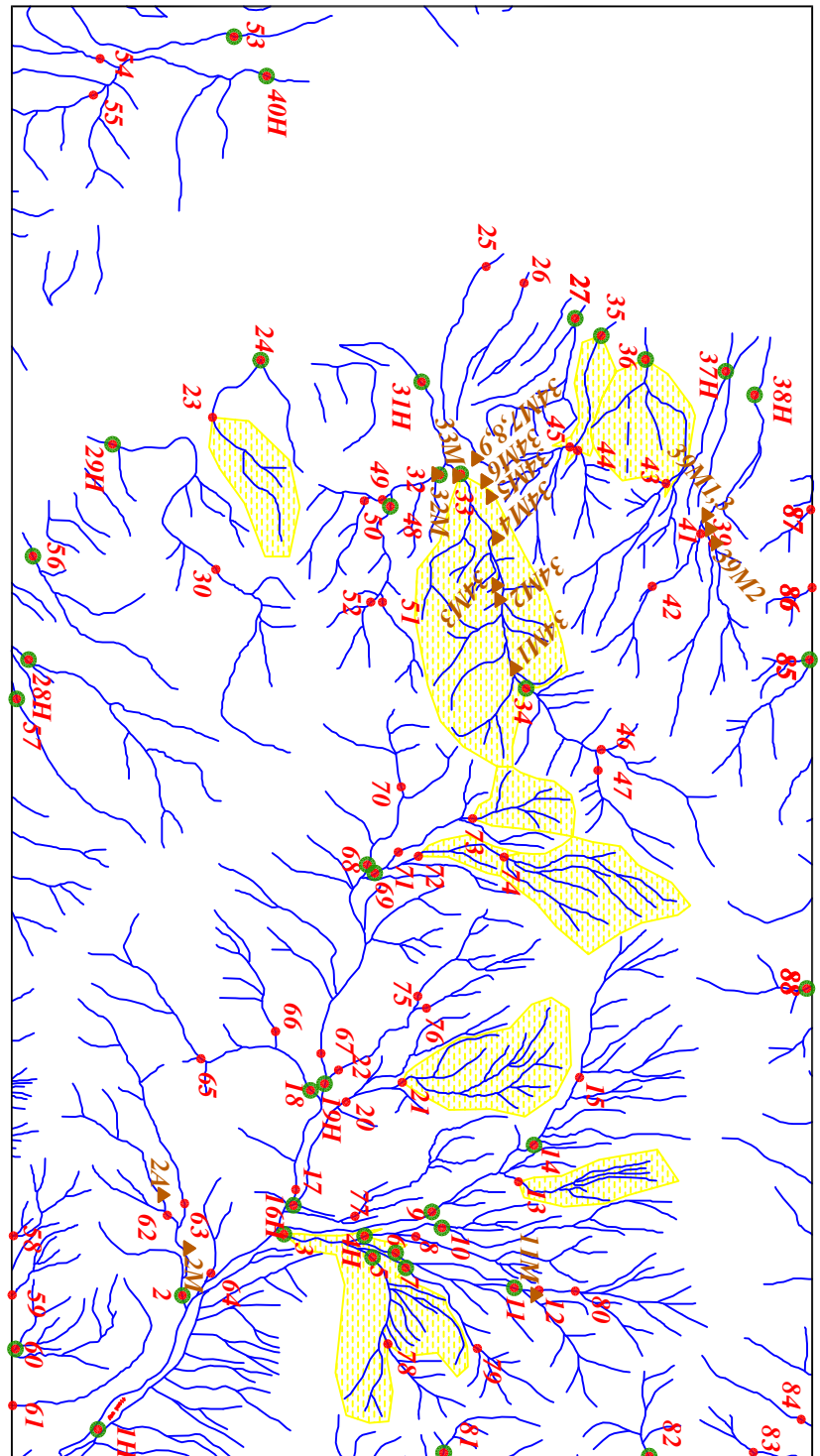
228260  
3810060

236000  
3810060

236000  
3810060

$\lambda = 26^{\circ}59'55''$

$\lambda = 37^{\circ}08'31''$



228260  
3810060

236000  
3810060

236000  
3810060

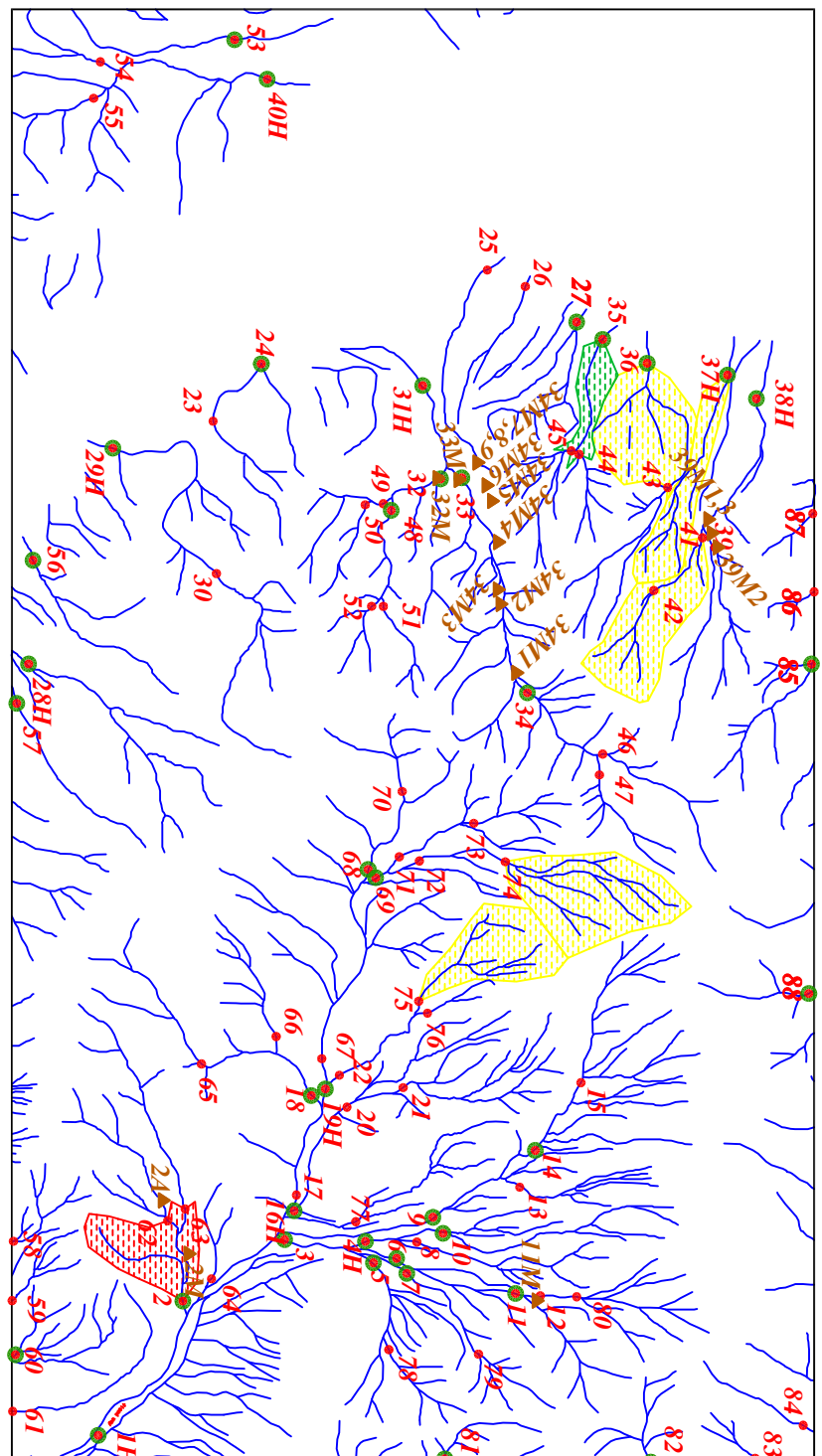
$\lambda = 26^{\circ}59'55''$

$\lambda = 37^{\circ}08'31''$

### Legend

	سیلور ابراجد
	نمونه مینیالا
	نمونه کانی سیلگن
	نمونه زئوٹیپی
	شده نمونه زئوٹیپی
	شده نمونه کالی سیلگن
	شده نمونه مینیالا
	حد رویانه
	آنسو-ای مکن
	آنسو-ای اختلا
	آنومالی قطبی
	متبلس
	مختلط در رون

پژوهه اکتشافات روشیمیابی محدوده ۱/۲۵۰۰۰ فیروزان
سازمان زمین شناسی و اکتشافات معنده کشور
موضوع: آنومالی های مربوط به عنصر لانتانیوم
توسط: مهرداد محمدی - الهام چیت گری
نقشه شماره هجده



## *Legend*

Legend	
	سیونیر-ستم ابراهام
	نحویه مینر-جنزره
	نحویه کالی سیسکن
	نحویه پوششی
<b>I44</b>	شماره نخونه ریویسی
<b>I43H</b>	شماره نخونه کالی سیسکن
<b>32M</b>	شماره نخونه میز-السرد
	حد وسیله
	ایوسیال مسکن
	[ایوسیال] احتمالی
	اًنومالی قفلی
	نماینده اس
	فاصله ۱۰۰ متر
$X = 267.905$ $Y = 378.883 I$	محاسبات در زون ۳۹

پیروزه اکتشافات ریوشه میمیایی محدوده ۰۰۵۰۱ / فیروزان

سازمان زمین شناسی و اکتشافات معدنی کشور

موضوع: آنومالی‌های مربوط به عنصر لیتیوم

تیوسٹ: مهرداد موحدی - الہام چیت گری

نقشه شماره نوزده

**0      500      1000      1500      2000      2500m**

*Scale 1:40000*

A black compass rose icon with the letter 'N' at the top right.

N

0    500    1000    1500    2000    2500m

۳۹ مختصات در زوون  $Y=378883I$

۳۵

أنيوسمالي ممكناً

شماره نمودنہ میز الـسیزہ  
شمارہ نمودنہ کلی سے نے گیزہ

نمونه مینی‌سیز  
نمونه کانی سینیگان

236000  
3814340

228260

1

236000  
3814340

1

1

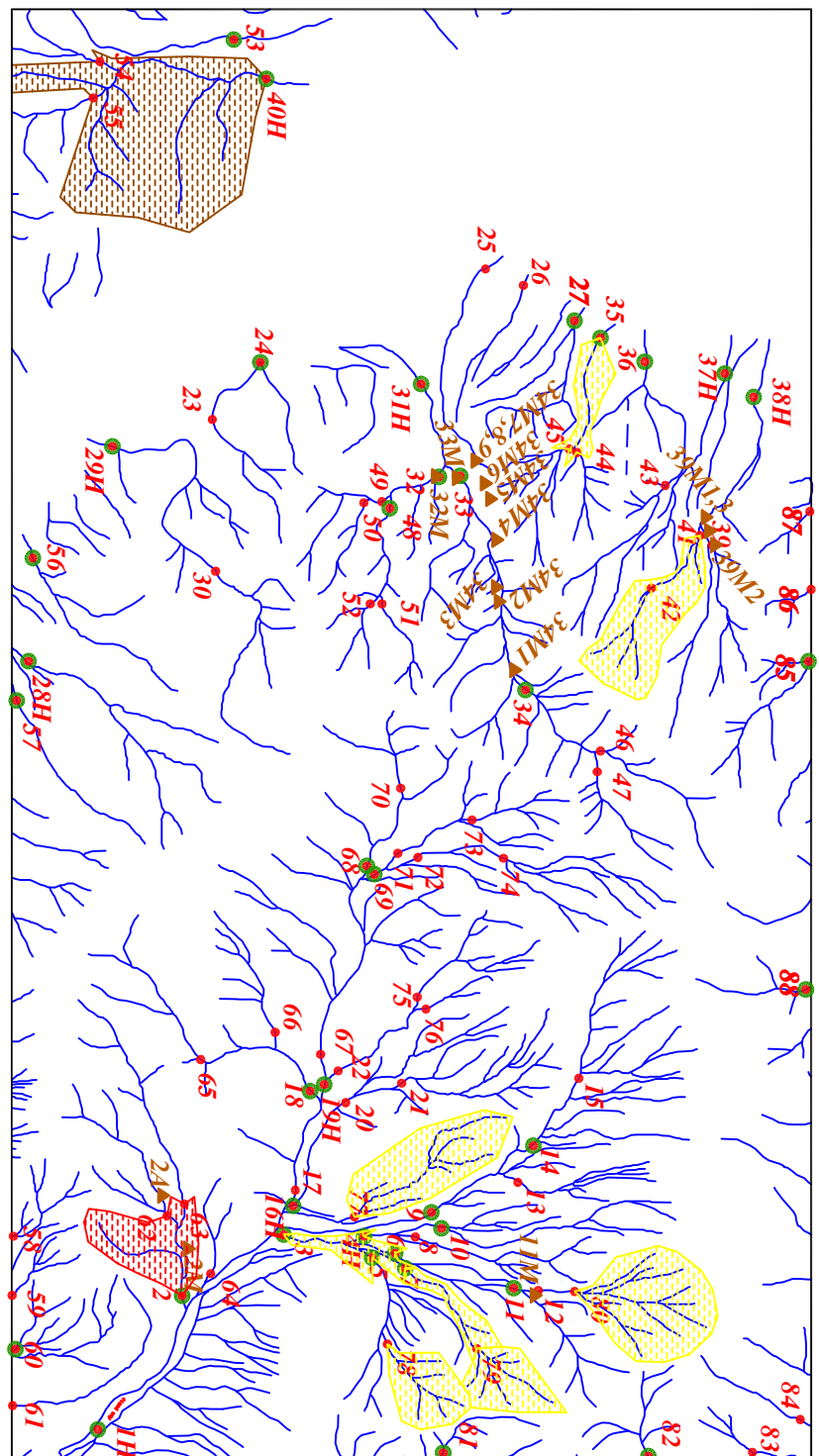
10

10

10

1

1



## *Legend*

Legend	
	سیستم ابراهه
	نحوه مذکور
	نحوه کامی سیگن
	نحوه زیوست
	شماره نمونه رژیوشنی
	شماره نمونه کامی سیگن
	شماره نمونه میز اسپریز
	حد زینده
	آبوجا ای میکن
	[نوسال] احمدی
	آنومالی قفلی
	مذکون
$\lambda = 267.905$ $y = 378.8831$	خط انتقال در زون ۳۹

پروره اکتشافات ریوشه میمایی محدوده ۰۰۵۲۱ فیروزان

سازمان زمین شناسی و اکتشافات معدنی کشور

موضوع: آنومالی‌های مربوط به عنصر منزیل

توبست: مهرداد موحدی - الهام چیت گری

١٣٨٨ شماره بیست و نهم

*0    500    1000    1500    2000    2500m*

*Scale 1:40000*

A black compass rose icon with the letter 'N' at the top right.

N

228260  
3814340

236000  
3814340



نحوه میزلازیده  
سازه ابراهد

نحوه کارانی سینگن

نحوه زنده زیستی

شده زنده زیستی

شده زنده میزلازیده

آزمایی میکن

آزمایی اختباری

حد روییه

مقدبل

متسلسل

مشتقات در رون

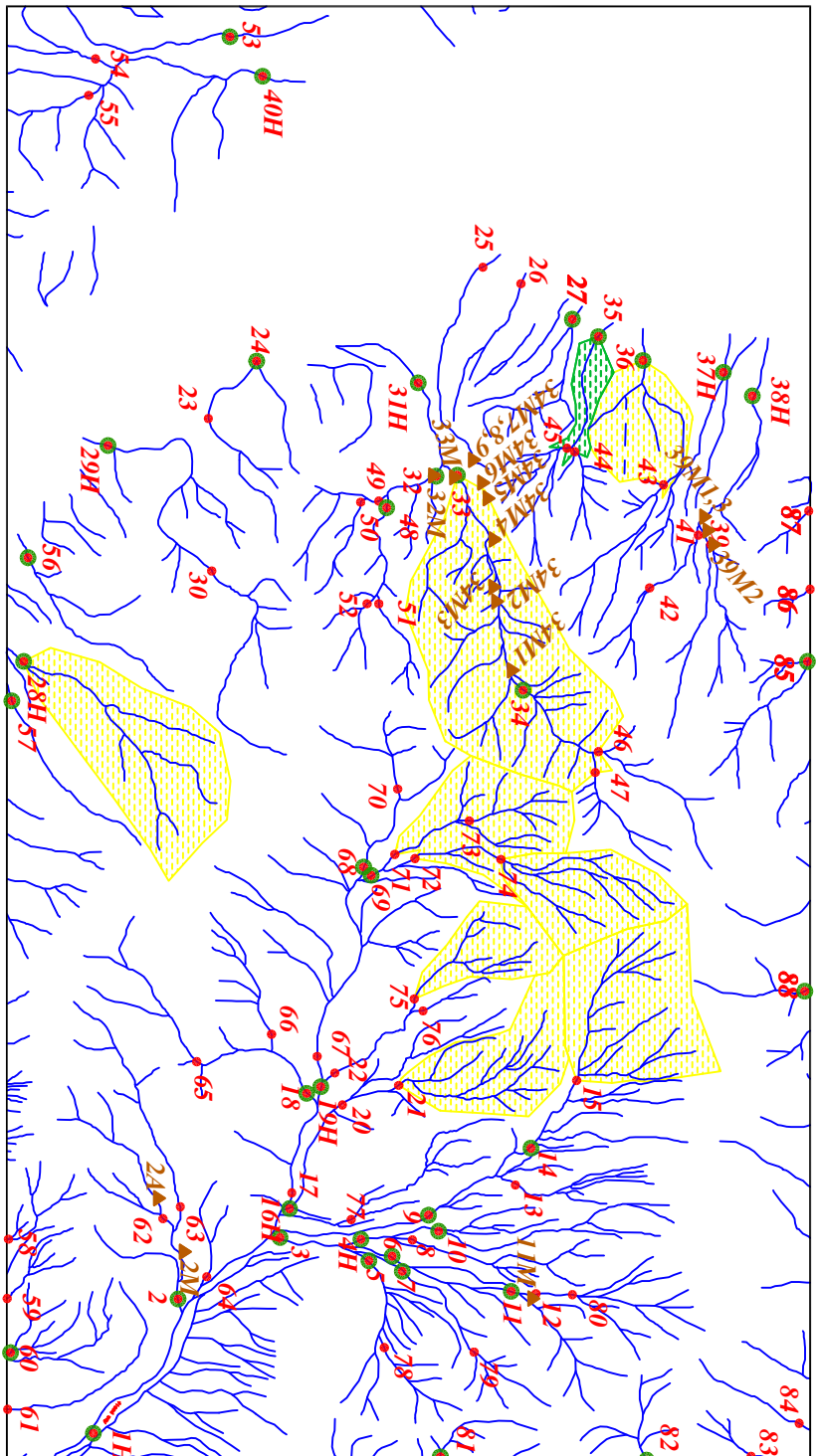
$\lambda = 267985$

3810060

228260

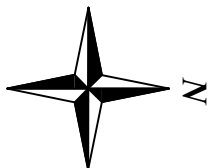
3814340

### Legend



### Scale 1:40000

0 500 1000 1500 2000 2500m



پژوهه اکتشافات روشیمیابی محدوده ۱/۲۵۰۰۰ فیروزان

سازمان زمین شناسی و اکتشافات معنی کشور

موضوع: آنومالی های مربوط به عذر منگنز

توسط: مهرداد محمدی - الهام چیت گری

نقشه شماره بیست و یک

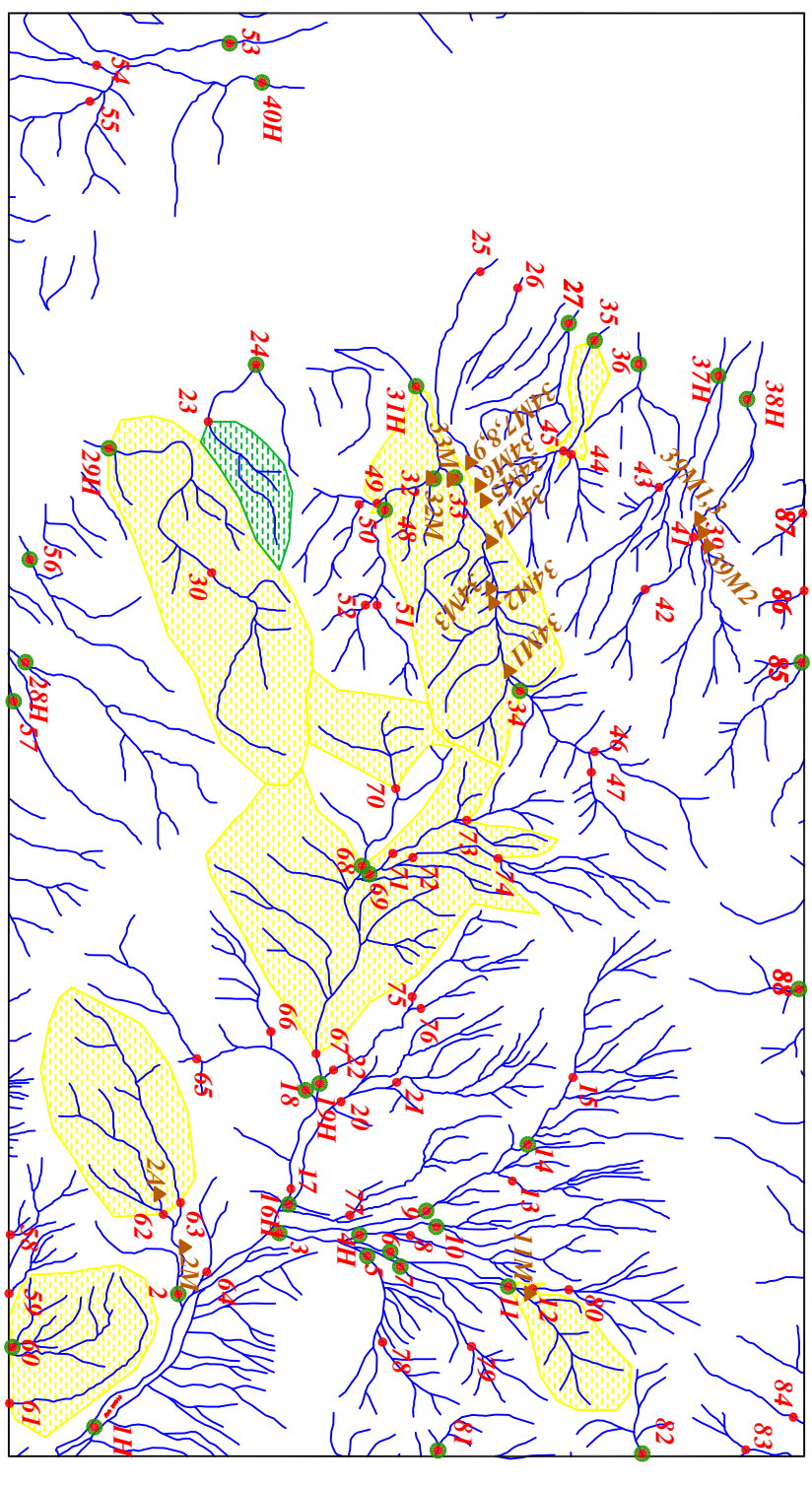
۱۳۸۸

228260  
3814340

236000  
3814340

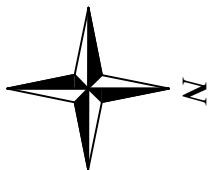
228260  
3814340  
3810060  
3810060  
236000  
3810060  
 $\lambda = 267985$   
 $\lambda = 3768831$

## Legend



Scale 1:40000

0 500 1000 1500 2000 2500m



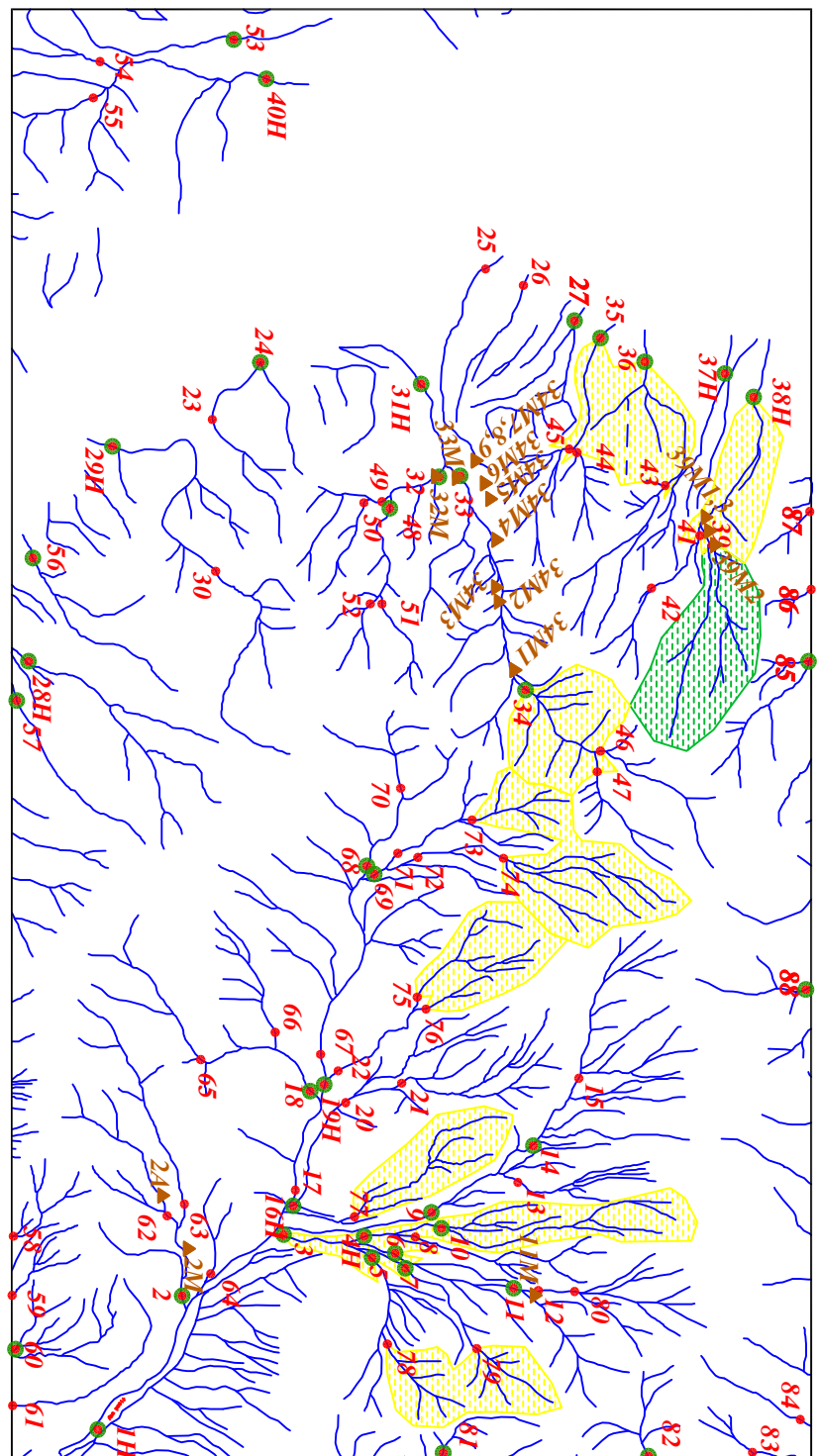
پژوهه اکتشافات روشیمیابی محدوده ۱/۲۵۰۰۰ فیروزان
سازمان زمین شناسی و اکتشافات معدنی کشور
موضوع: آنومالی های مربوط به عنصر مولیبدن
توضیح: مهرداد محمدی - الهام چیت گری
نقطه شماره بیست و دو

نقطه شماره بیست و دو

۱۳۸۸







## *Legend*

Legend	
	سیستم ابراهد
	نحویه میکرو-سینز
	نحویه کلائی سینز
	نحویه ریڈ-سینز
	حذف زمینه
	[موسال] میکن
	[نومسال] احتمالی
	ابوسالی قاطلسی
	مختصات در زون ۳۹ متنهایات در زون ۳۹
	$X = 267985$ $Y = 378831$

پیروزه اکتشافات ریوشه میمیایی محدوده ۰۰۵۰۱ / فیروزان

سازمان زمین شناسی و اکتشافات معدنی کشور

**موضوع:** آنومالی‌های مربوط به عنصر فسفر

**تیوسمط:** مهرداد محمدی - الہام چیت گری

نقشه شماره بیسیست و پنج  
۱۳۸۸

0      500      1000      1500      2000      2500m

*Scale 1:40000*

A black compass rose icon with the letter 'N' at the top right.

**500      1000      1500      2000      2500m**

228260  
3814340

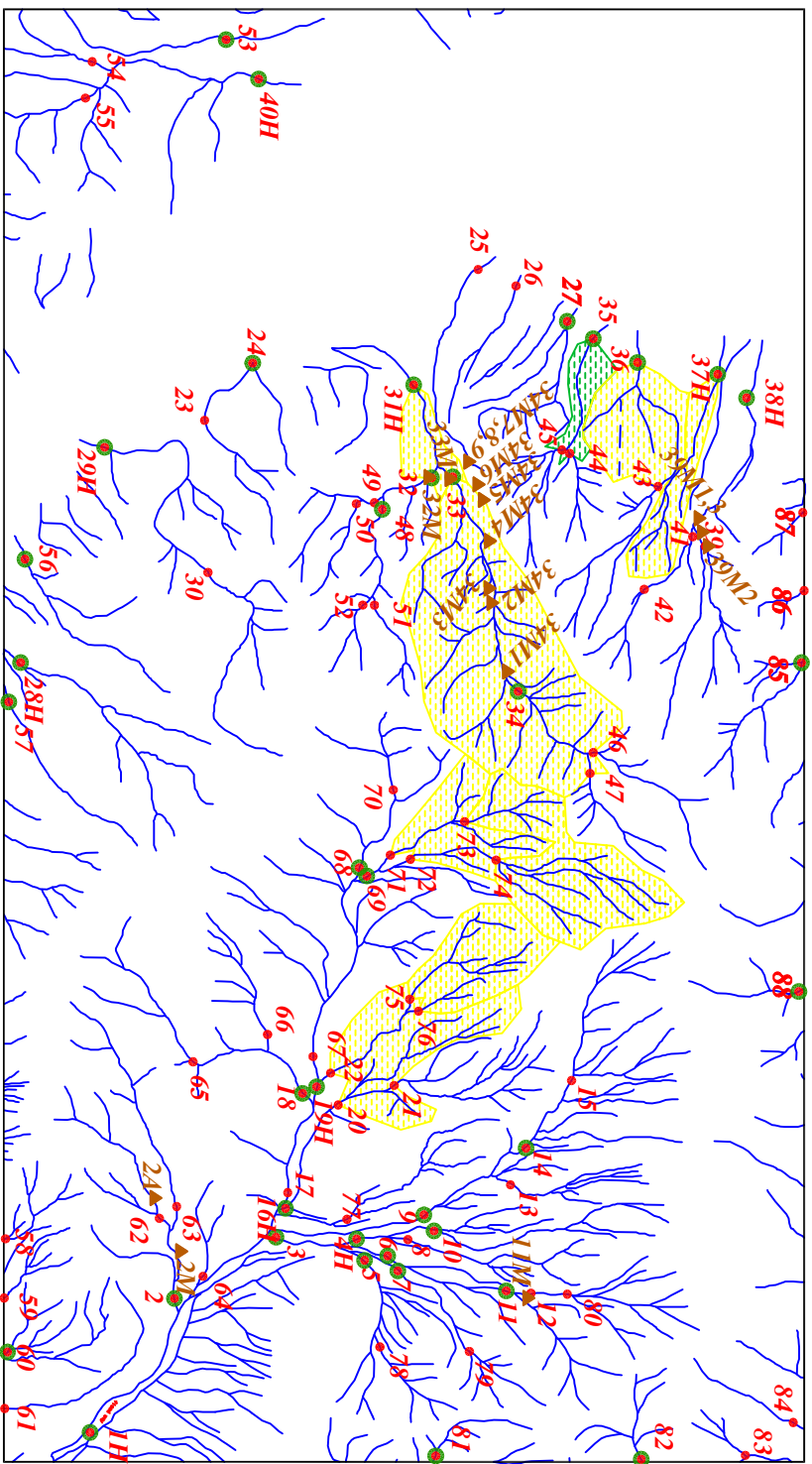
236000  
3814340

228260  
3810060

236000  
3810060

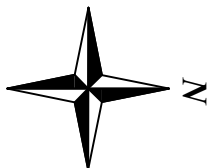
$\lambda = 267985$   
 $\chi = 3768831$

## Legend



Scale 1:40000

0 500 1000 1500 2000 2500m



پژوهه اکتشافات روشیمیابی محدوده ۱/۲۵۰۰۰ فیروزان

متبلس در روز ۳۹

متبلس

آنومالی قطبی

آنومالی ممکن

حد روینه

شده زئوپلیسی میز لسیزون

شده زئوپلیسی کالی سسینگن

نوزده زئوپلیسی

نوزده میز لسیزون

متبلس آبراهد

سازمان زمین شناسی و اکتشافات معدنی کشور

موضوع: آنومالی های مربوط به عنصر سرب

توضیح: مهداد محمدی - الهام چیت گری

نخشه شماره بیست و نهش

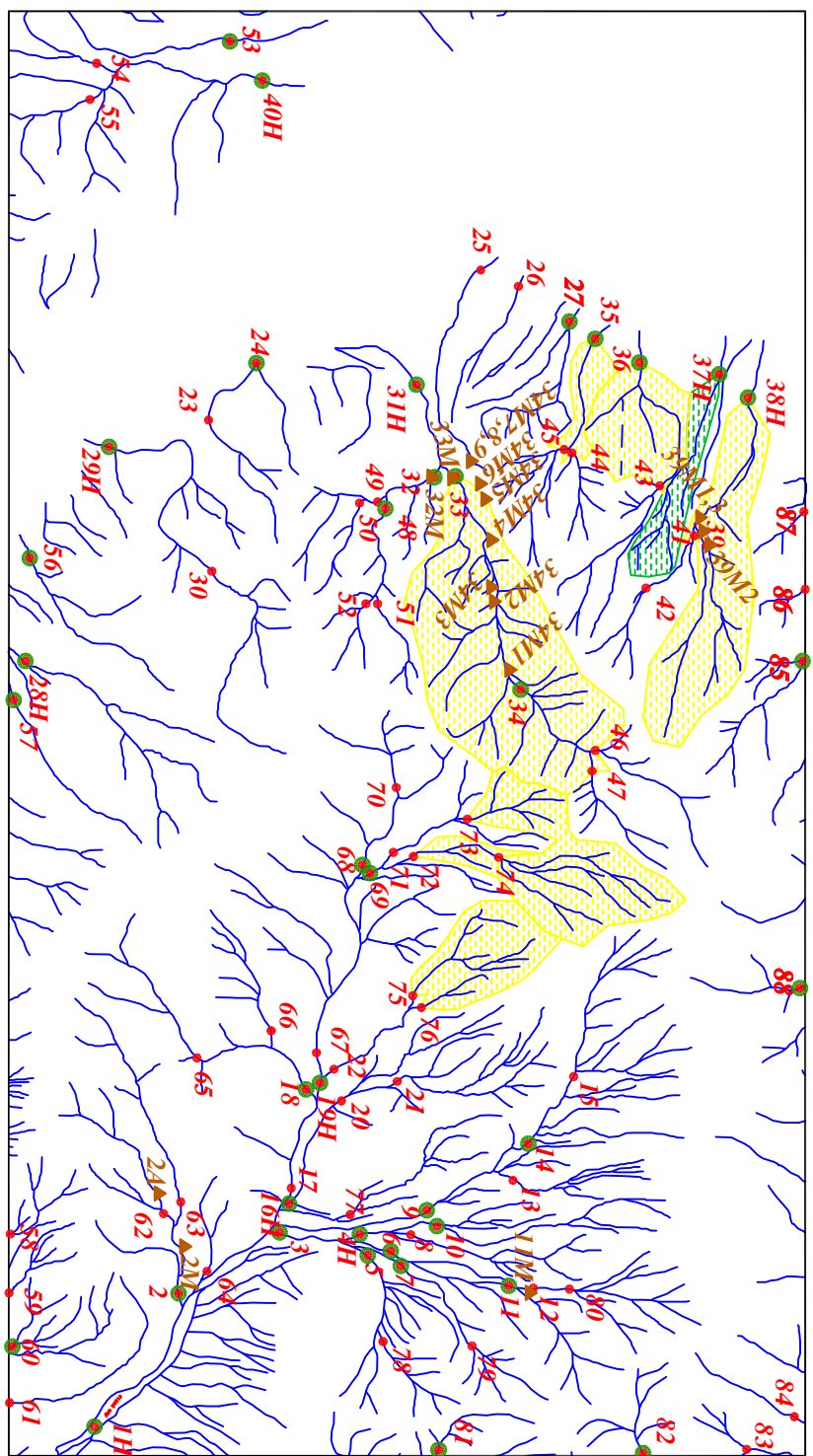
۱۳۸۸

228260  
3814340

236000  
3814340

228260  
3814340

236000  
3814340



228260  
3814340

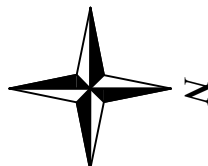
236000  
3814340

228260  
3814340

236000  
3814340

پژوهه اکتشافات روشیمیابی محدوده ۱/۲۵۰۰۰ فیروزان	نحوه شناسی و اکتشافات معدنی کشور
سازمان زمین شناسی و اکتشافات معدنی کشور	موضوع: آنومالی های مربوط به عنصر روییدیوم
توسط: مهرداد محمدی - الهام چیت گری	نحوه شماره بیست و هفت
۱۳۸۸	۱۳۸۸

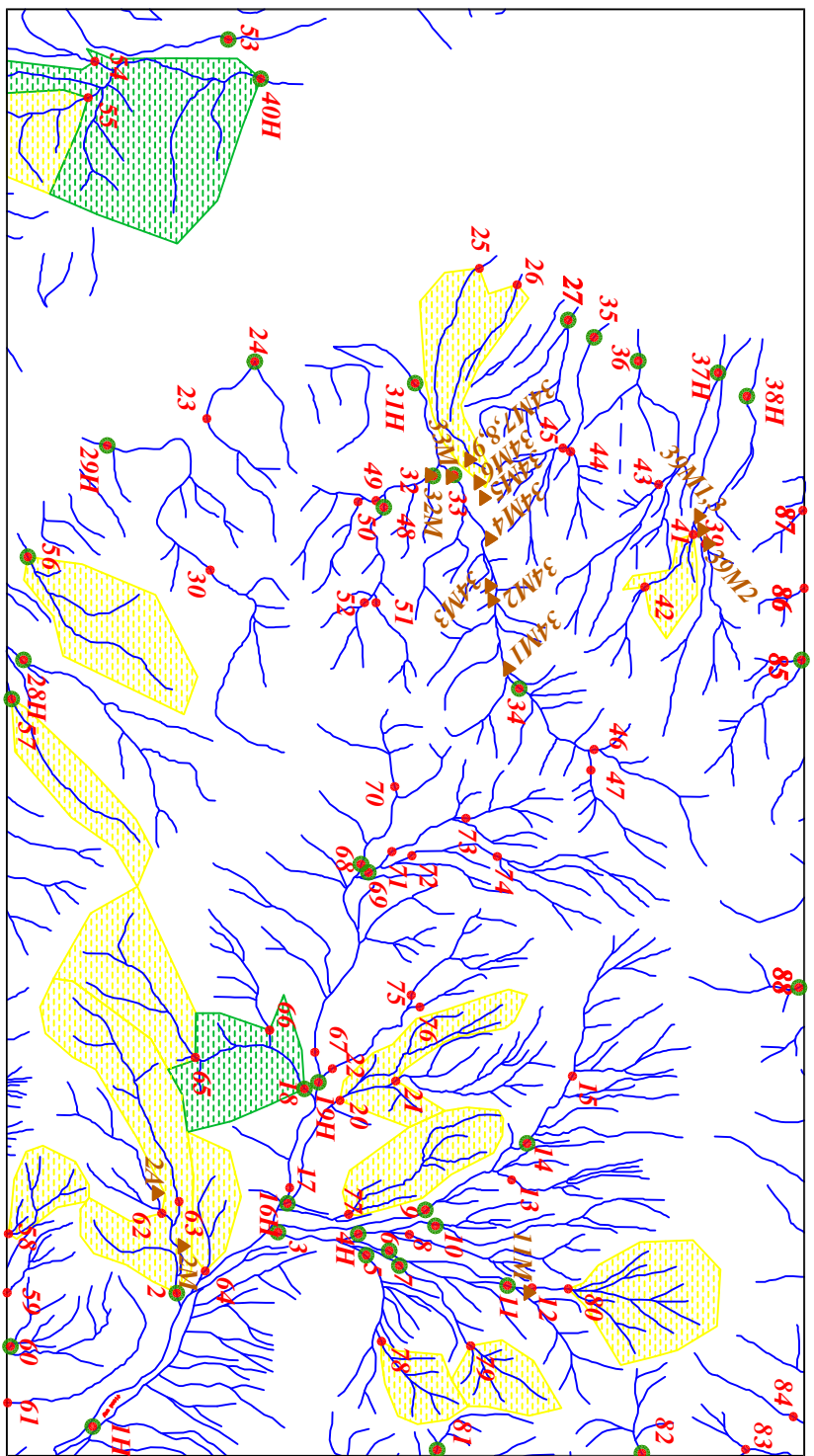
0 500 1000 1500 2000 2500m



Scale 1:40000

228260  
3814340

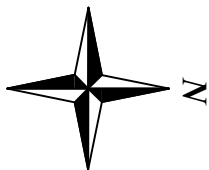
236000  
3814340



228260  
3814340

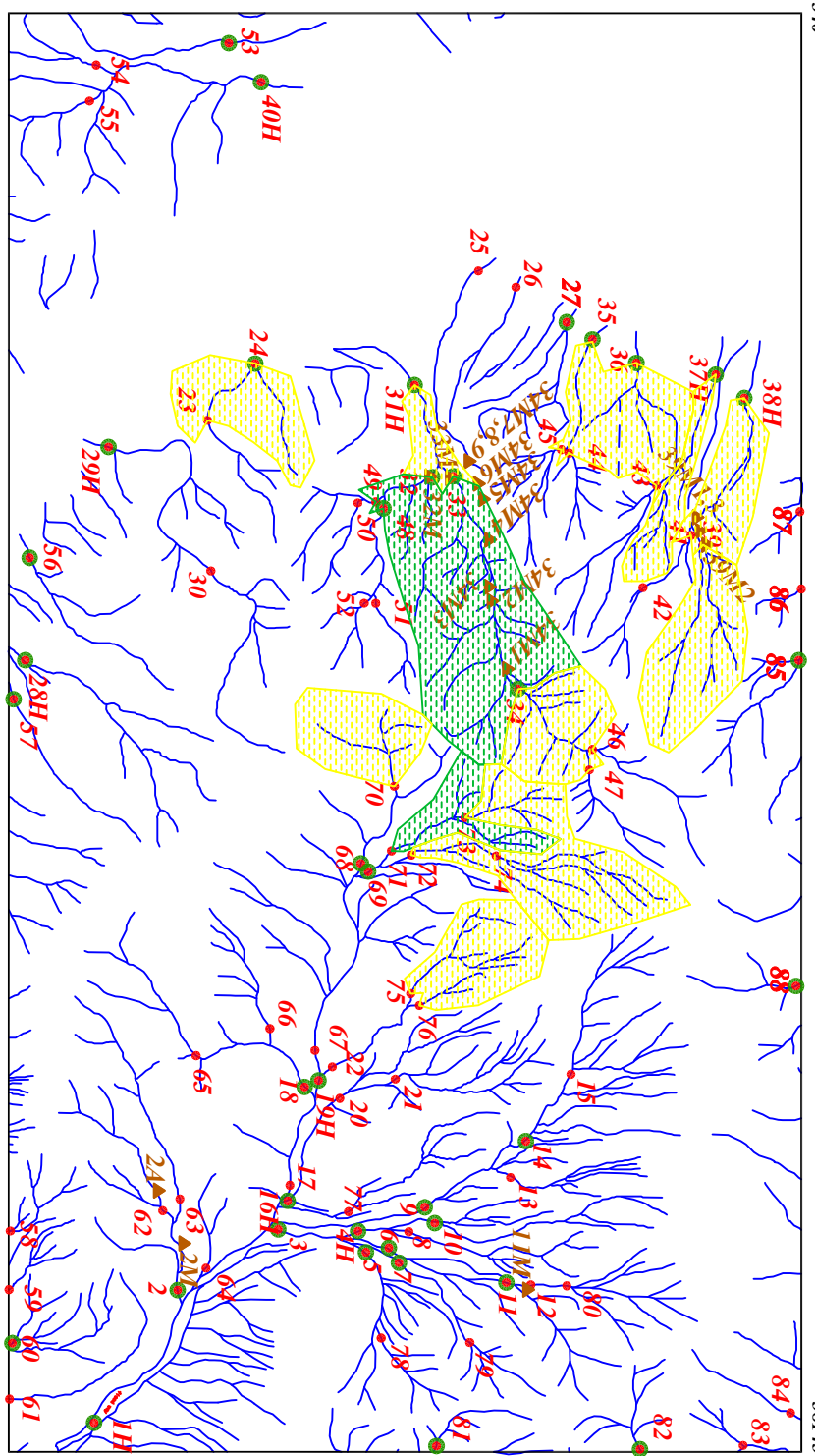
236000  
3814340

0 500 1000 1500 2000 2500m



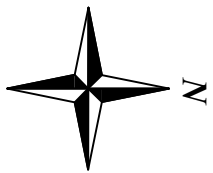
Scale 1:40000

پژوهه اکتشافات روشیمیابی محدوده ۱/۲۵۰۰۰ فیروزان
سازمان زمین شناسی و اکتشافات معدنی کشور
موضوع: آنومالی های مربوط به عنصر گوگرد
توضیح: مهداد محمدی - الهام چیت گری
نقشه شماره بیست و هشت



Scale 1:40000

0 500 1000 1500 2000 2500m



228260  
3814340

236000  
3814340

236000  
3814340

236000  
3814340

$\lambda = 267985$   
 $\lambda = 3768831$

$\lambda = 267985$   
 $\lambda = 3768831$

پژوهه اکتشافات روشیمیابی محدوده ۱۰۵۰۰۰ فیروزان

سازمان زمین شناسی و اکتشافات معدنی کشور

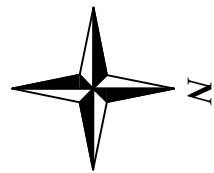
موضوع: آنومالی های مربوط به عنصر آنتیموان

توسط: مهرداد محمدی - الهام چیت گری

نقشه شماره بیسیت و ذه

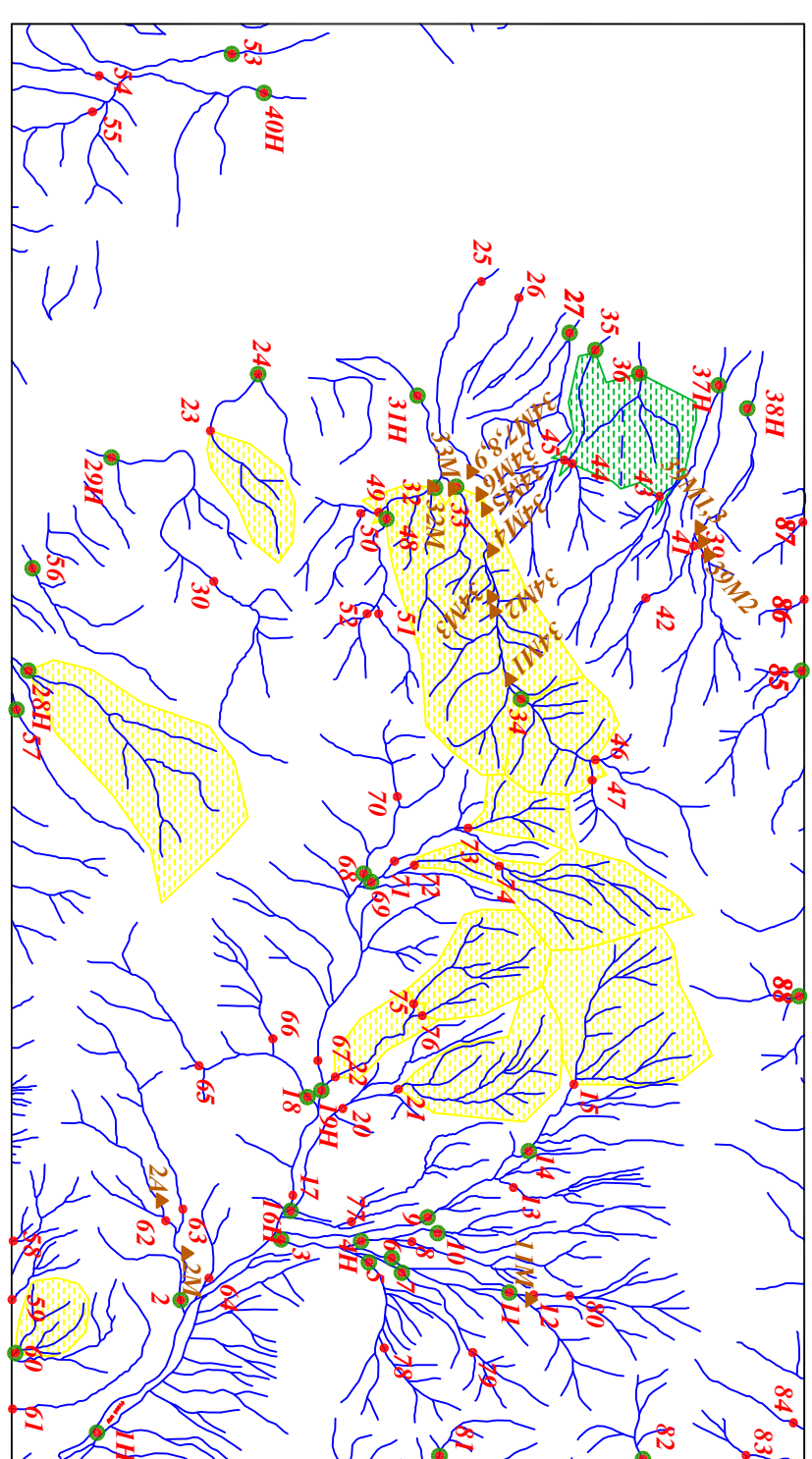
۱۳۸۸

0 500 1000 1500 2000 2500m



Scale 1:40000

228260  
3810060



228260  
3810340

236000  
3814340

### Legend

	سیلور ابراجد
	نوزده کانی سیلگین
	نوزده زئوپریس
	شده زئوپریس
	شده نوزده کالی سیلگین
	شده زئوپریس میزرا
	حد روپریس
	آنوسالی میکن
	آنوسالی قطبی
	متبلس
	مختلط در رون

پژوهه اکتشافات روشیمیابی محدوده ۱/۲۵۰۰۰ فیروزان

سازمان زمین شناسی و اکتشافات معدنی کشور

موضع: آنومالی های مربوط به عنصر اسکاندیوم

مختصات در رون

$\lambda = 26^{\circ}29'58''$

$\varphi = 37^{\circ}08'31''$

توضیح: مهرداد محمدی - الهام چیت گری  
نقطه شماره سی ۱۳۸۸

228260  
3814340

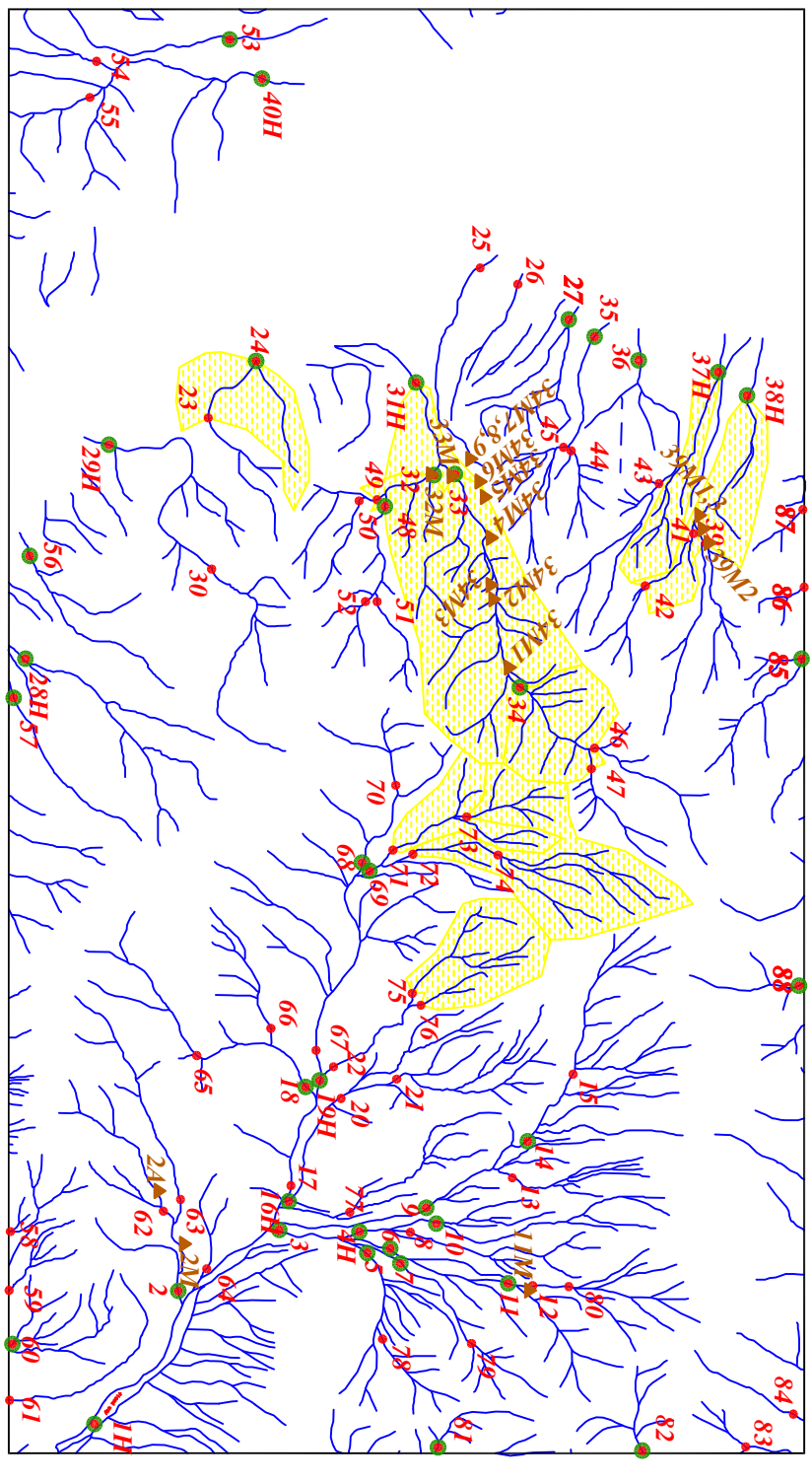
236000  
3814340

228260  
3810060

236000  
3810060

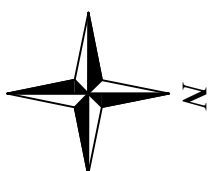
$\lambda = 267985$   
 $\lambda = 3768831$

## Legend



Scale 1:40000

0 500 1000 1500 2000 2500m



پژوهه اکتشافات روشیمیابی محدوده ۱/۲۵۰۰۰ فیروزان

سازمان زمین شناسی و اکتشافات معدنی کشور

موضوع: آنومالی های مربوط به عنصر قلع

توسط: مهرداد محمدی - الهام چیت گری

نقشه شماره سی و یک

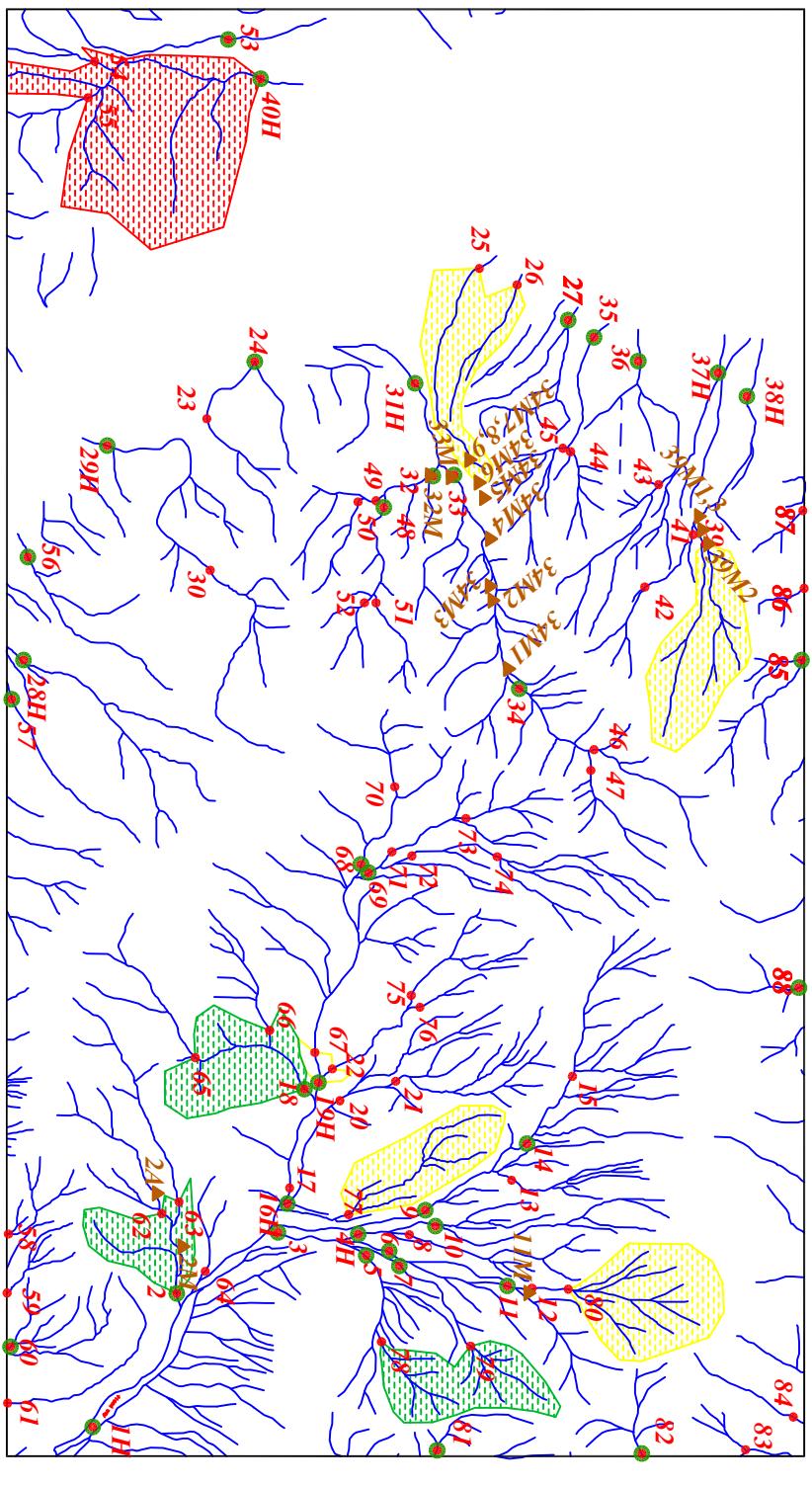
نقطه در روز	۳۹
مقابل	

228260  
3814340

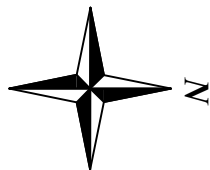
236000  
3814340

228260  
3814340

**Legend**



0 500 1000 1500 2000 2500m



Scale 1:40000

228260  
3814340

236000  
3814340

228260  
3814340

مقابل

مختصات در روز

$\lambda = 26^{\circ}29'58''$

$\varphi = 37^{\circ}08'31''$

228260  
3814340

پیشنهاد شماره سی و دو

پیشنهاد شماره سی و دو

پیشنهاد شماره سی و دو

پژوهه اکتشافات روشیمیابی محدوده ۱/۲۵۰۰۰ فیروزان

سازمان زمین شناسی و اکتشافات معدنی کشور

موضوع: آنومالی های مربوط به عنصر استرانسیوم

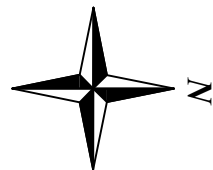
توضیح: مهداد محمدی - الهام چیت گری

نقطه شماره سی و دو

نقطه شماره سی و دو

نقطه شماره سی و دو

0 500 1000 1500 2000 2500m

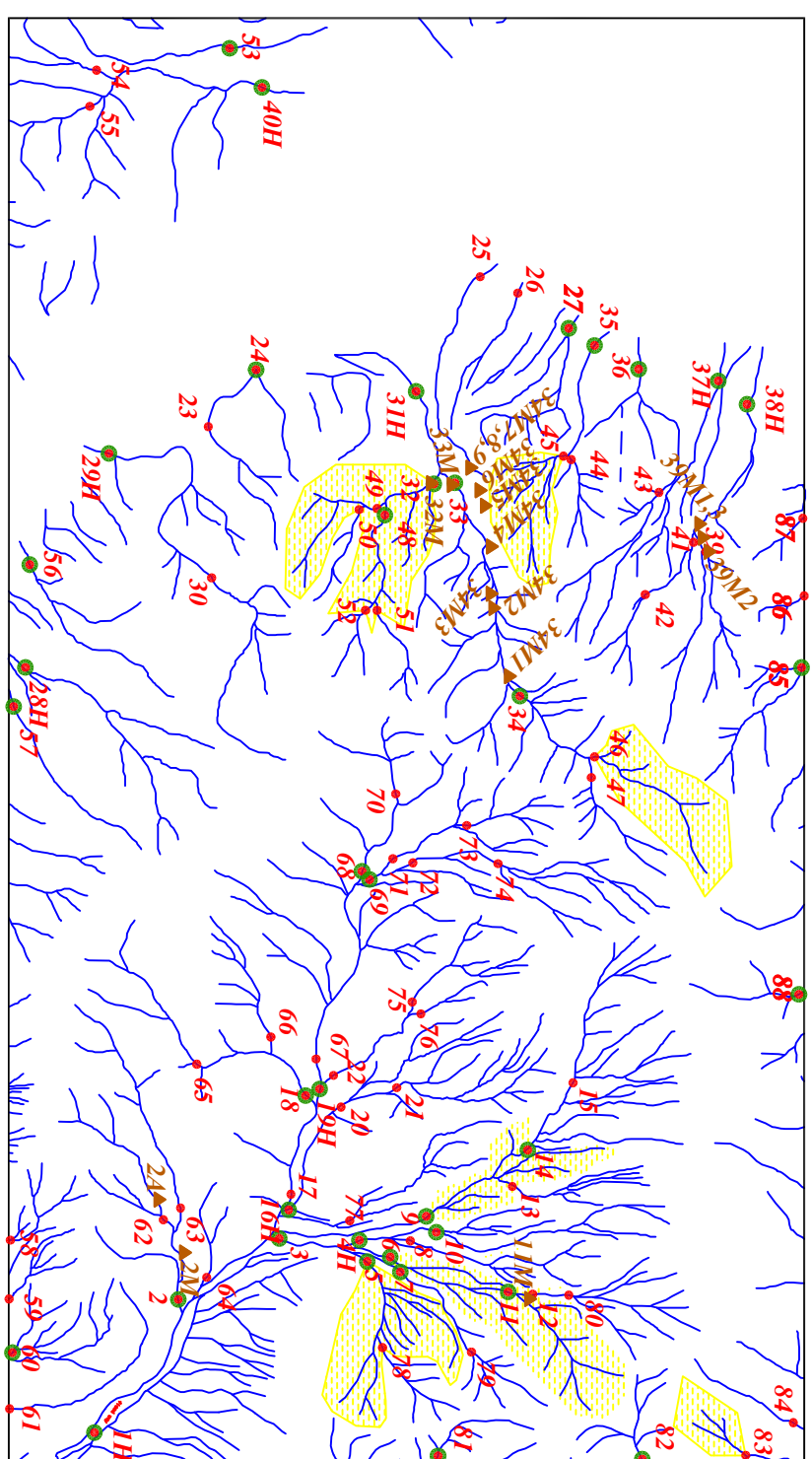


Scale 1:40000

228260  
3810060

236000  
3810060

236000  
3810060



228260  
3814340  
236000  
3814340  
236000  
3814340

236000  
3814340

### Legend

	سیلور ابراجه
	نمونه مینیالا
	نمونه کانی سیلگن
	نمونه زئوٹیپی
	شده نمونه زئوٹیپی
	شده نمونه کالی سیلگن
	شده نمونه مینیالا
	حد روینه
	آنوسالی ممکن
	آنوسالی قطبی
	متبل
	محنتات در رون

پژوهه اکتشافات روشیمیابی محدوده ۱/۲۵۰۰۰ فیروزان
سازمان زمین شناسی و اکتشافات معدنی کشور
موضوع: آنومالی های مربوط به عنصر توربیوم
توضیح: مهداد محمدی - الهام چیت گری
نخستین شماره سی و سه

228260  
3814340

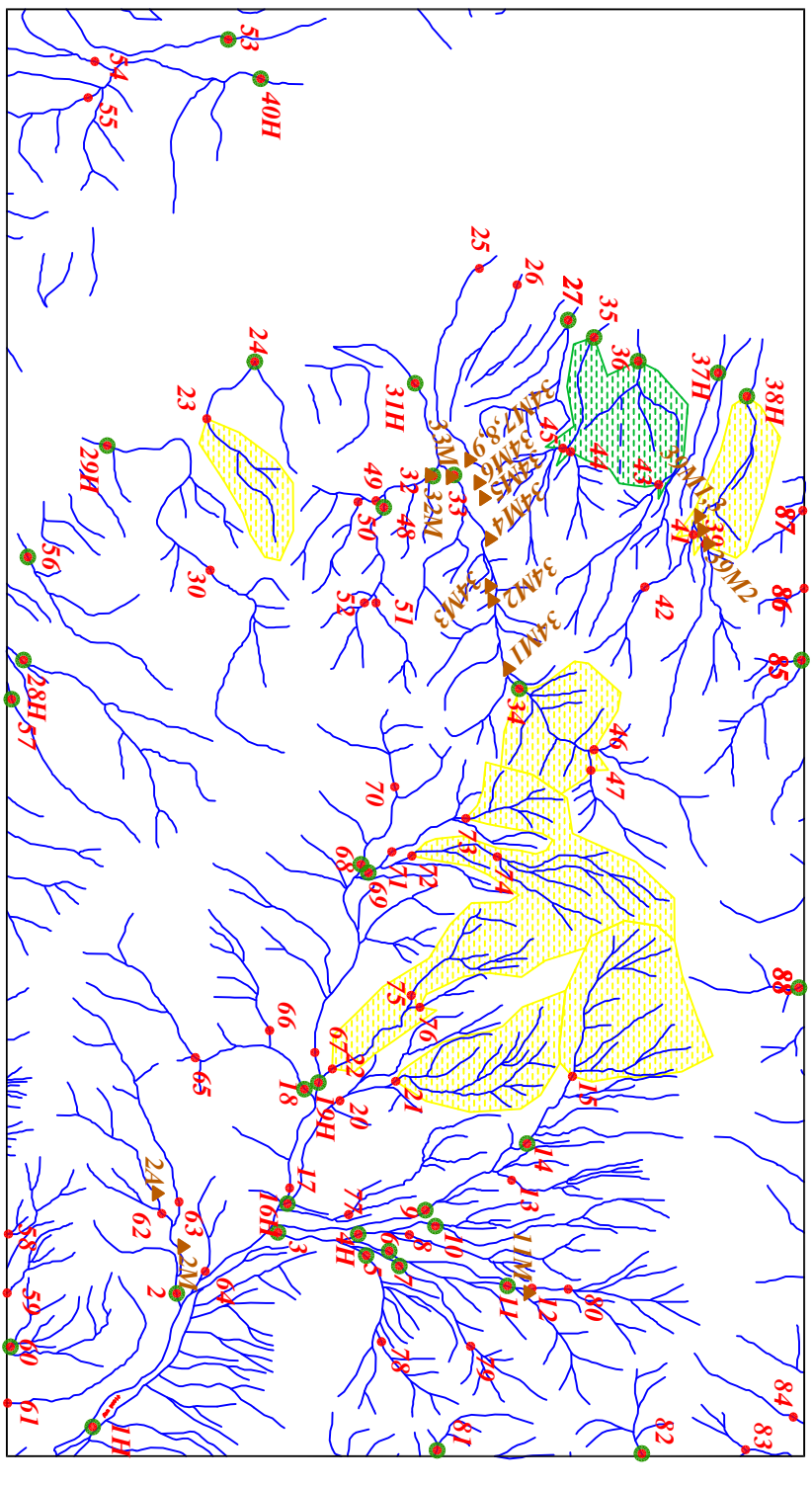
236000  
3814340

228260  
3810060

236000  
3810060

$\lambda = 267985$   
 $\gamma = 3768831$

## Legend



**I44**

شدهای نموزه میز ریزبره  
شدهای نموزه میز کالی سسکن

**I43H**

شدهای نموزه میز ریزبره  
شدهای نموزه میز ریزبره

**32M**

آبمایی ممکن

**حد روینه**

آبمایی قطبی

**متبلس**

نموزه کلائی سسکن  
نموزه زیره پیشی

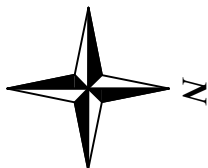
**سیزده**

نموزه میز ریزبره

**سیزده**

Scale 1:40000

0 500 1000 1500 2000 2500m



پژوهه اکتشافات روشیمیابی محدوده ۱/۲۵۰۰۰ فیروزان

متغیر

۳۹ روز

موضوع: آنومالی های مربوط به عنصر تیتانیوم  
توضیح: مهرداد محمدی - الهام چیت گری

نقشه شماره سی و چهار

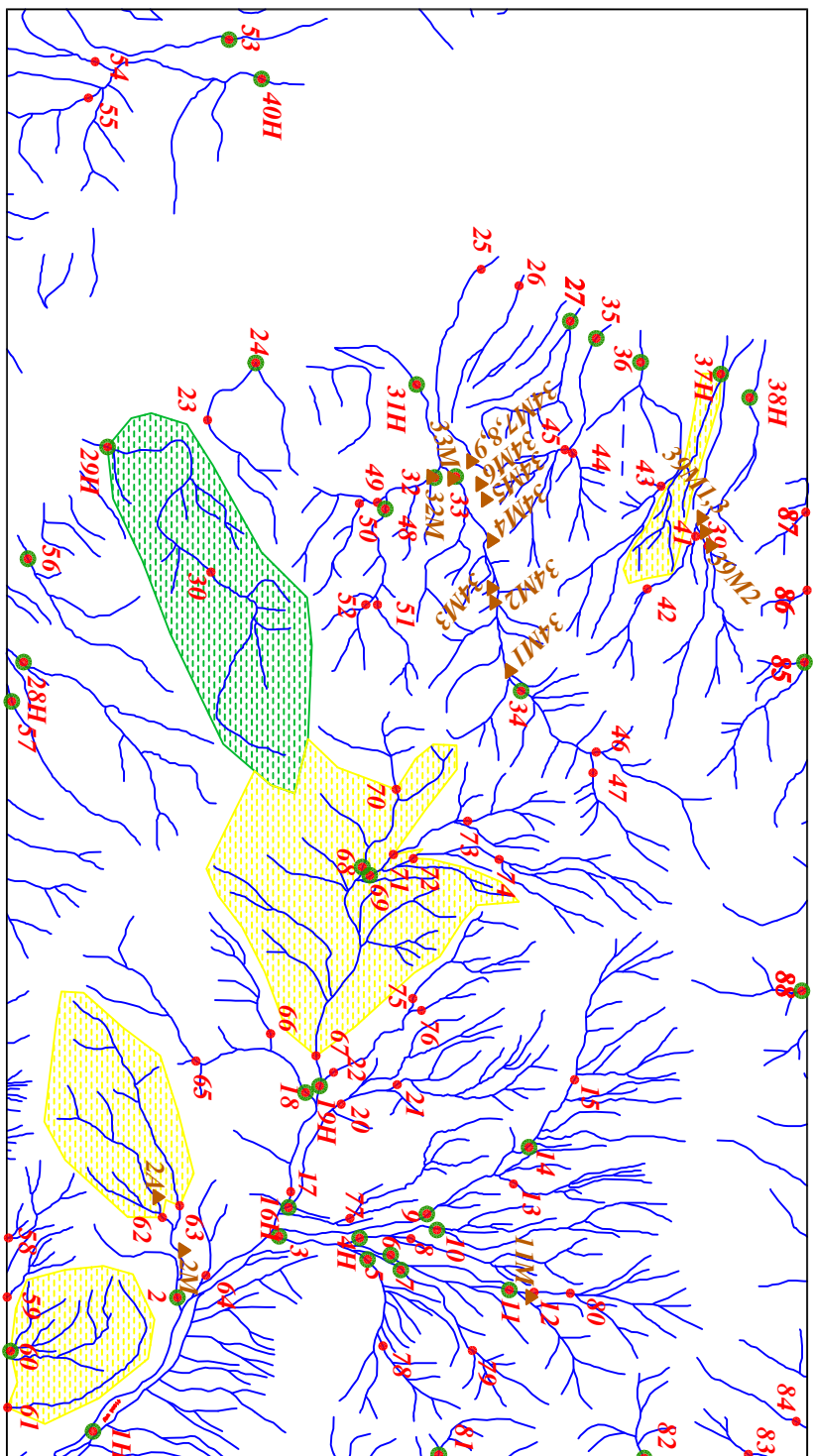
۱۳۸۸

228260  
3814340

236000  
3814340

3814340

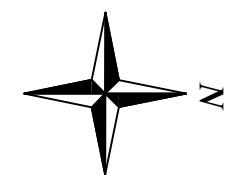
## Legend



پژوهه اکتشافات روشیمیابی محدوده ۱/۲۵۰۰۰ فیروزان

موضوع: آنومالی های مربوط به عنصر تالیوم

توسیط: مهرداد محمدی - الهام چیت گری



Scale 1:40000

0 500 1000 1500 2000 2500m

228260  
3814340

236000  
3814340

3814340

$\lambda = 267985$

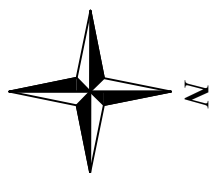
$\lambda = 3768831$

نقطه شماره سی و پنج	نقطه شماره سی و یک
نحوه زوایه بینگی	نحوه زوایه بینگی
شده نموده زوایه بینگی	شده نموده زوایه بینگی
شدهاره نموده میز	شدهاره نموده میز
حد رویانه	حد رویانه
آبراهی میکن	آبراهی میکن
آنوسالی قطبی	آنوسالی قطبی
متبلس	متبلس
منطقه در رون	منطقه در رون

سازمان زمین شناسی و اکتشافات معدنی کشور  
موضوع: آنومالی های مربوط به عنصر تالیوم

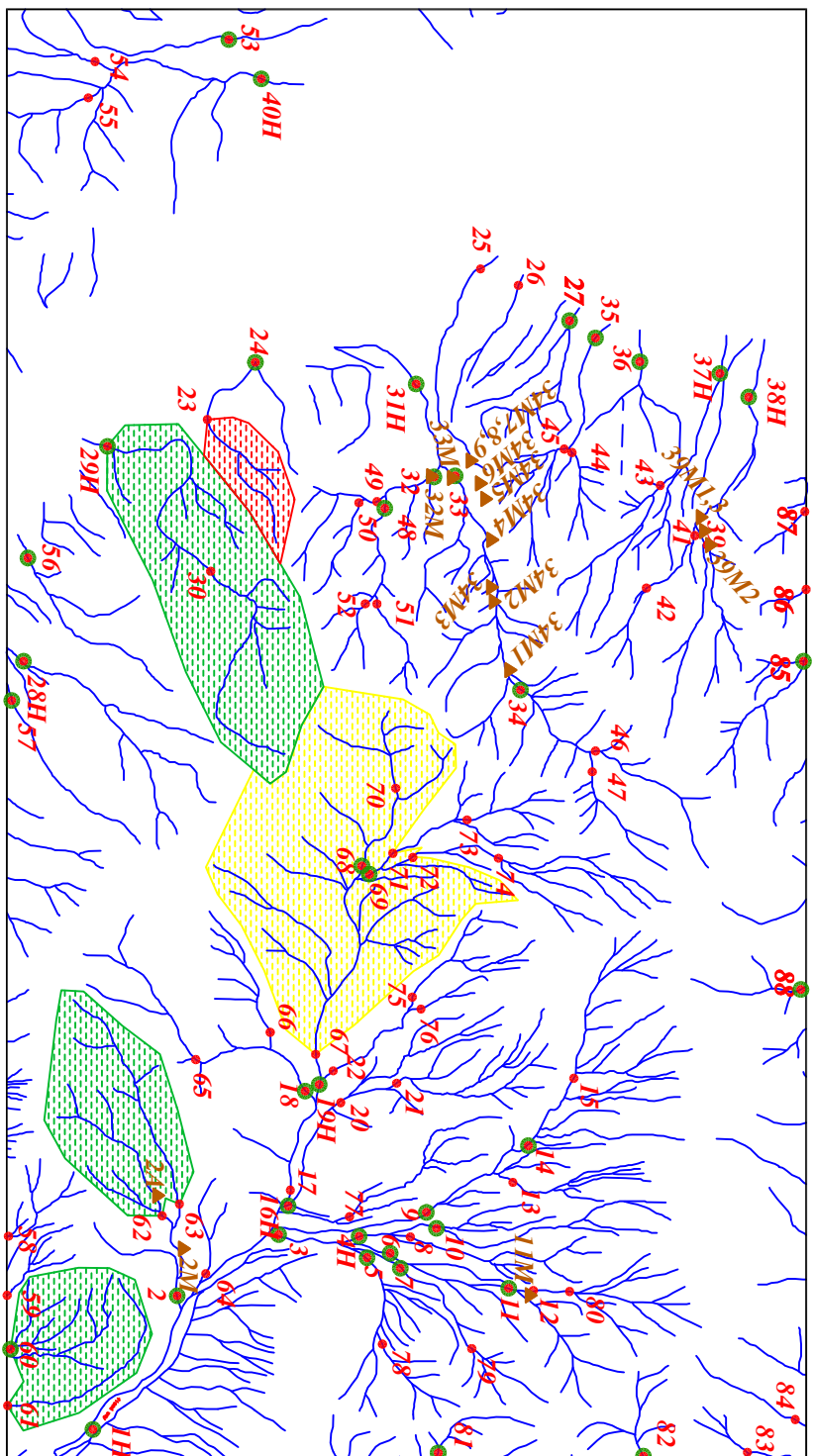
پژوهه اکتشافات روشیمیابی محدوده ۱/۲۵۰۰۰ فیروزان

0 500 1000 1500 2000 2500m



Scale 1:40000

228260  
3810060



228260  
3810060  
236000  
3810060  
236000  
3810060  
 $\lambda = 267985$   
 $\lambda = 3768831$

### Legend

نحوه میزه سرمه	نحوه میزه ابراجه
نحوه کانی سرگین	نحوه زوئیسی
شده نموزه میزه ریوستی	شده نموزه میزه سسگین
شده نموزه میزه لسجوره	حد روپیه
آنسوای مکن	آنسوای احتمالی
آنومالی قطبی	متبل
منطقه در رون	

پژوهه اکتشافات روشیمیابی محدوده ۱/۲۵۰۰۰ فیروزان
سازمان زمین شناسی و اکتشافات معنی کشور
موضوع: آنومالی های مربوط به عنصر اورانیوم
توسط: مهداد محمدی - الهام چیت گری
نقشه شماره سی و شش

228260  
3814340

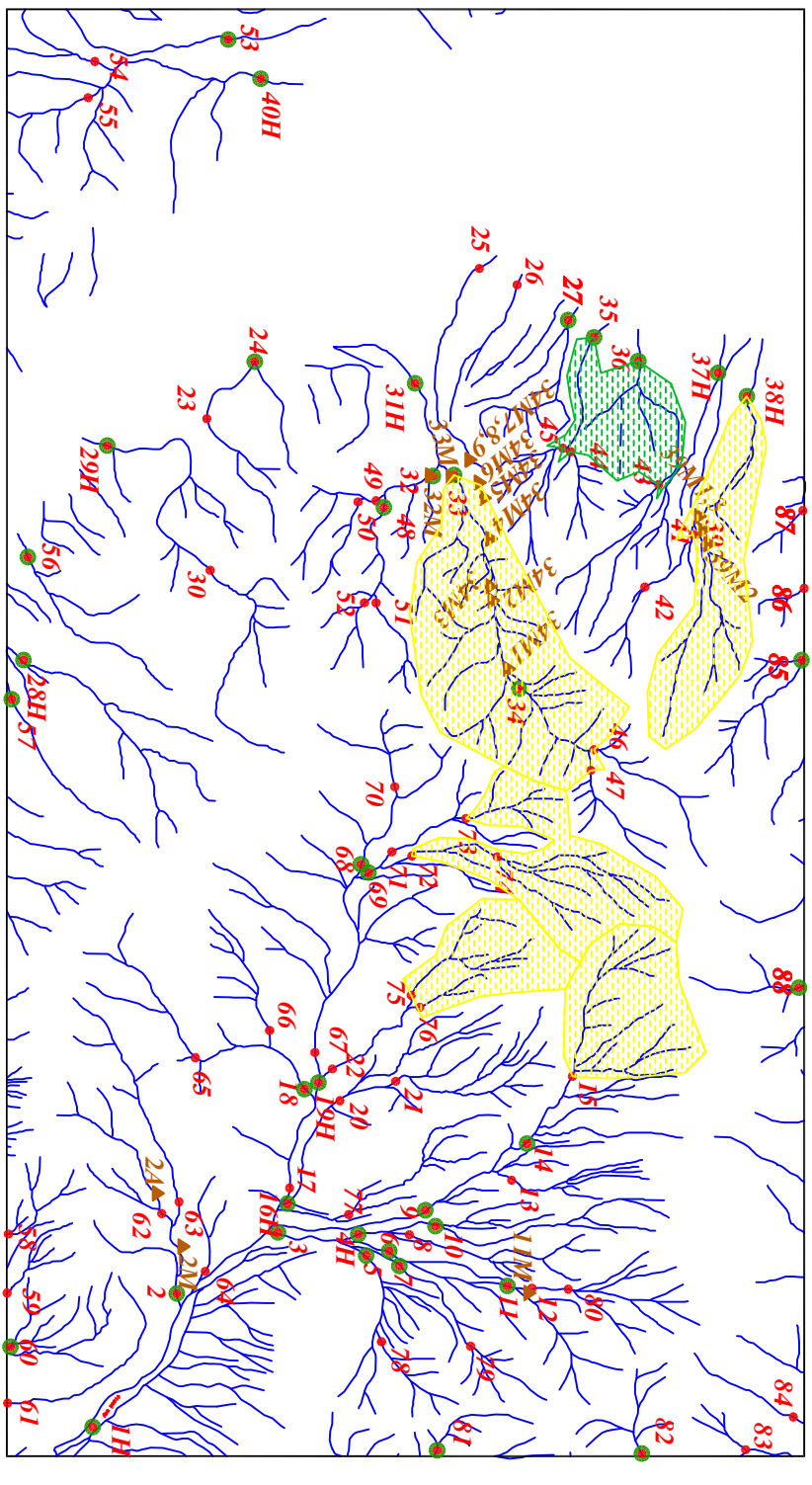
236000  
3814340

228260  
3810060

236000  
3810060

$\lambda = 267985$   
 $\chi = 3768831$

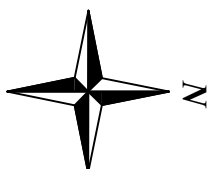
## Legend



نحوه میزه ابراجه	نحوه میزه ابراجه
نحوه کانی سسگین	نحوه کانی سسگین
شده نموزه زوسته	شده نموزه زوسته
شده نموزه میزه ابراجه	شده نموزه میزه ابراجه
حد روینه	حد روینه
آنوسالی مکن	آنوسالی مکن
آنوسالی قطبی	آنوسالی قطبی
متبلس	متبلس
محنتات در رون	محنتات در رون

Scale 1:40000

0 500 1000 1500 2000 2500m



پژوهه اکتشافات روشیمیابی محدوده ۱/۲۵۰۰۰ فیروزان
سازمان زمین شناسی و اکتشافات معدنی کشور
موضوع: آنومالی های مربوط به عنصر و اسیدیوم
توضیح: مهداد محمدی - الهام چیت گری
تفصیل شماره سی و هفت

228260  
3814340

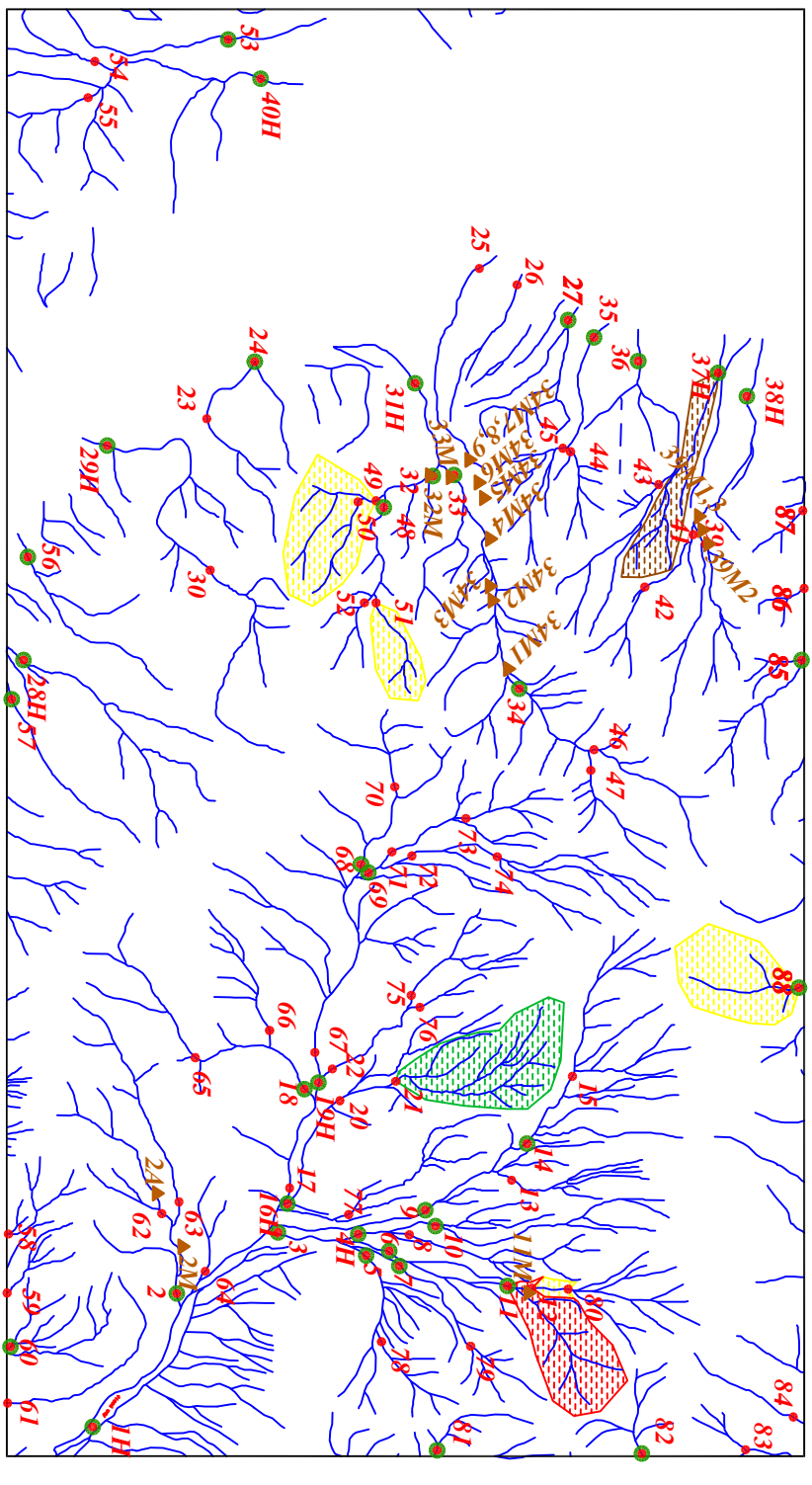
236000  
3814340

228260  
3810060

236000  
3810060

$\lambda = 267985$   
 $\lambda = 3768831$

## Legend



144

143H

32M

نحوه میزه ابراجه  
نحوه کانی سسگین

شده نموزه نموزه کالی سسگین

شده نموزه میزه ابراجه

حد روینه

آنوسالی مکن

آنوسالی قطبی

متبلس

منطقه در رون

Scale 1:40000  
228260  
3814340  
228260  
3810060  
236000  
3810060  
 $\lambda = 267985$   
 $\lambda = 3768831$

## Survey Data

پژوهه اکتشافات روشیمیابی محدوده ۱/۲۵۰۰۰ فیروزان

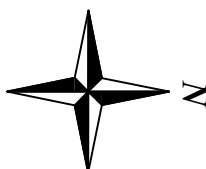
سازمان زمین شناسی و اکتشافات معدنی کشور

موضوع: آنومالی های مربوط به عنصر تگسنتن

توسط: مهرداد محمدی - الهام چیت گری

نقشه شماره سی و هشت

0 500 1000 1500 2000 2500m



۱۳۸۸

228260  
3814340

236000  
3814340

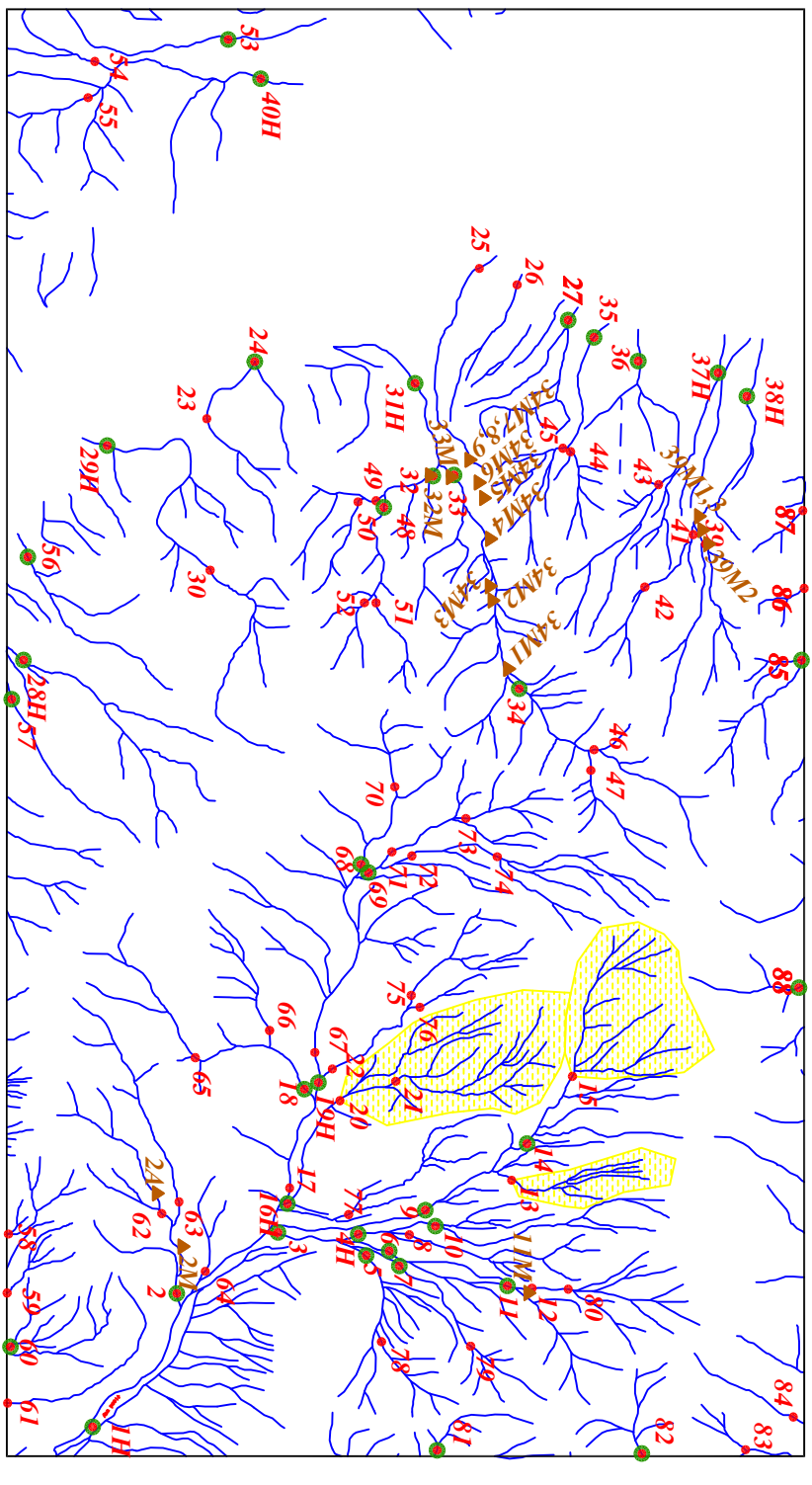
228260  
3814340

236000  
3814340

228260  
3814340

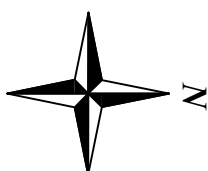
236000  
3814340

## Legend



Scale 1:40000

0 500 1000 1500 2000 2500m



پژوهه اکتشافات روشیمیابی محدوده ۱/۲۵۰۰۰ فیروزان

سازمان زمین شناسی و اکتشافات معدنی کشور

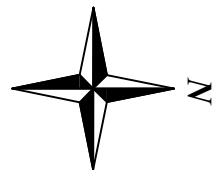
موضوع: آنومالی های مربوط به عنصر ایستریوم

توضیح: مهداد محمدی - الهام چیت گری

نقشه شماره سی و ذه

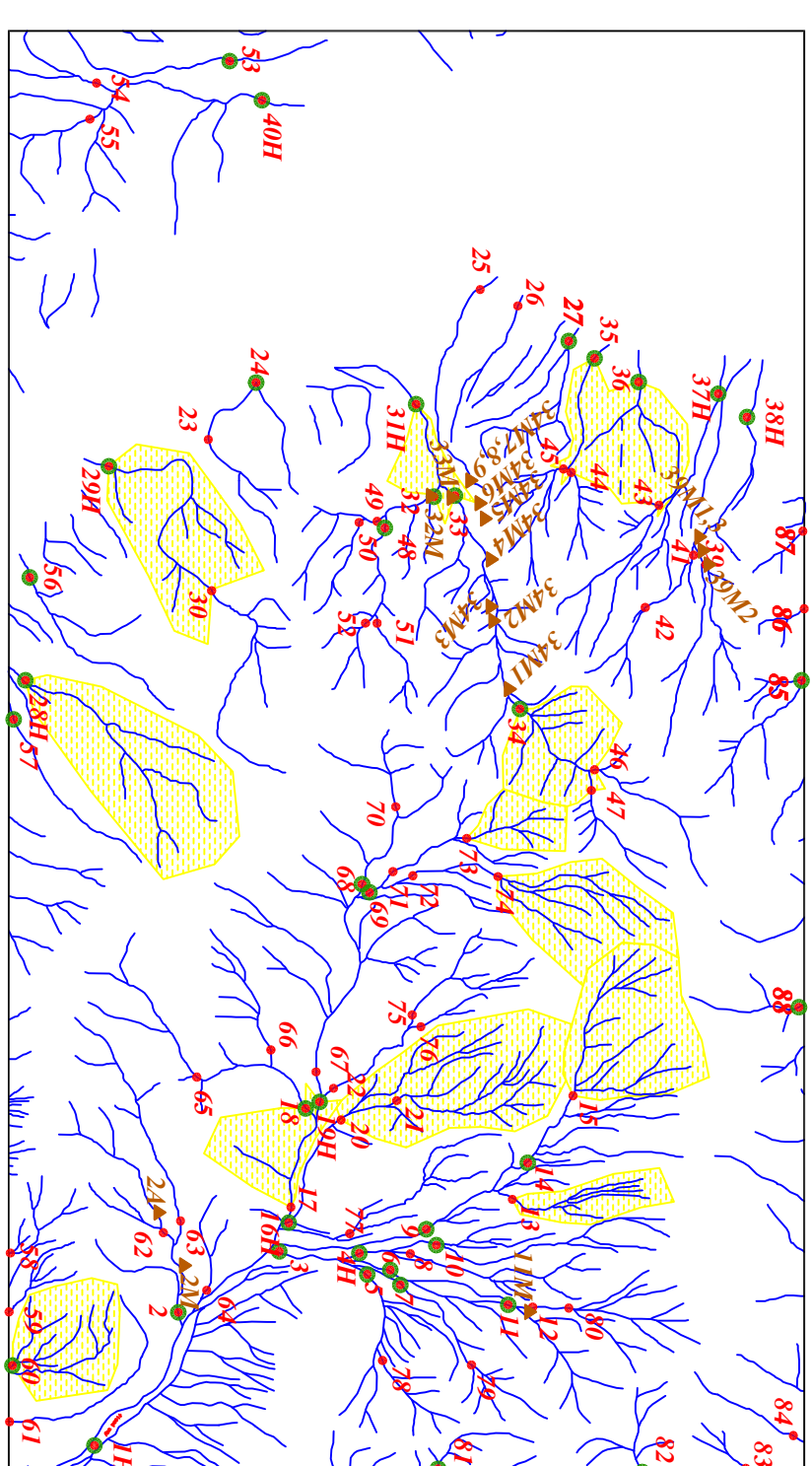
۱۳۸۸

0 500 1000 1500 2000 2500m



Scale 1:40000

228260  
3810060



228260  
3810060

236000  
3810060

$\lambda = 26^{\circ}79'85''$

$\gamma = 37^{\circ}08'31''$

### Legend

پژوهه اکتشافات روشیمیابی محدوده ۱/۲۵۰۰۰ فیروزان
سازمان زمین شناسی و اکتشافات معدنی کشور
موضوع: آنومالی های مربوط به عنصر روی
توسط: مهرداد محمدی - الهام چیت گری
نقطه شماره چهل

228260

3814340

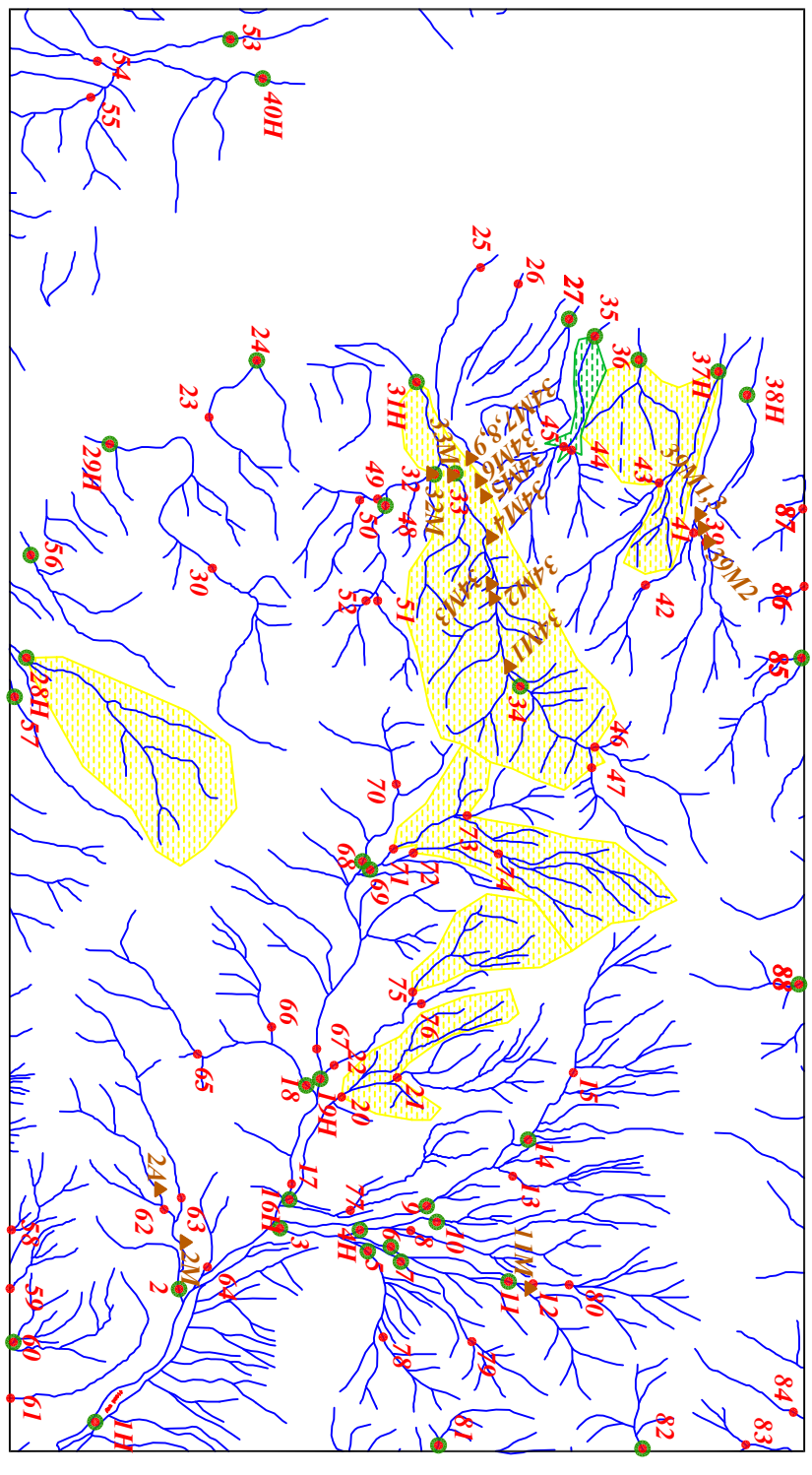
236000

3814340

236000

3814340

## Legend



228260

3814340

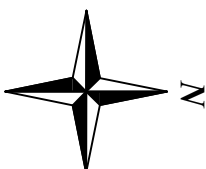
236000

3814340

 $\lambda = 267985$  $\lambda = 3768831$ 

Scale 1:40000

0 500 1000 1500 2000 2500m



پژوهه اکتشافات روشیمیابی محدوده ۱/۲۵۰۰۰ فیروزان

سازمان زمین شناسی و اکتشافات معادنی کشور

موضوع: آنومالی های مربوط به عنصر زیرکونیوم

توضیح: مهداد محمدی - الهام چیت گری

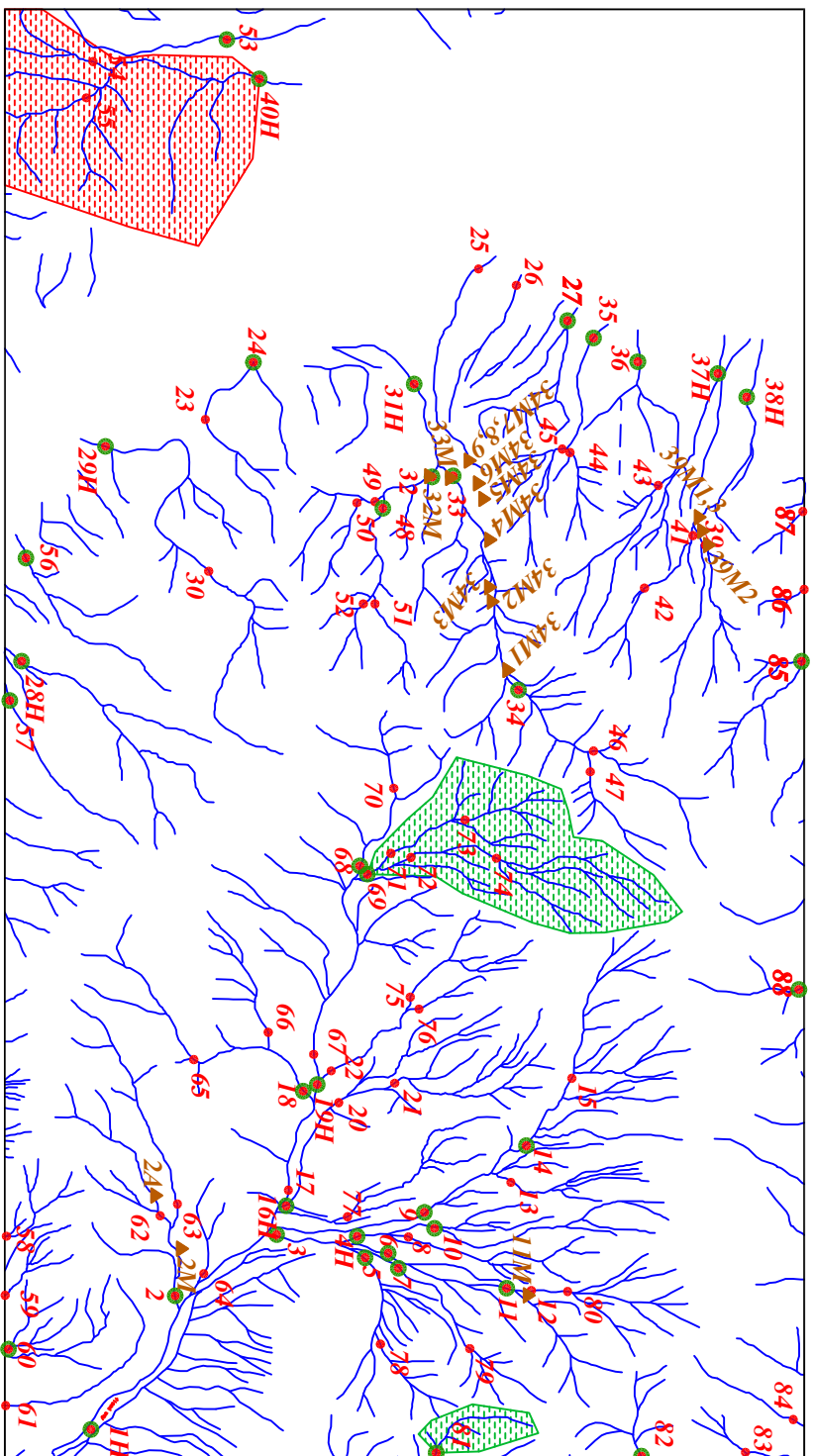
تفصیل شماره چهل و یک

۱۳۸۸

228260  
3814340

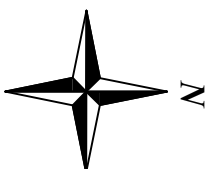
236000  
3814340

### *Legend*



Scale 1:40000

0 500 1000 1500 2000 2500m



228260  
3814340

236000  
3814340

Scale 1:40000

$\lambda = 267985$   
 $y = 3768831$

نقطه در روز ۳۹

مقابل

آزمایی ممکن

حد روینه

شماره نمونه میز

سنجن

نحوه زوایی

نحوه کلائی سنجن

نحوه میز

سنجن

### *Legend*

پروژه اکتشافات روشیمیابی محدوده ۱/۲۵۰۰۰ فیروزان

سازمان زمین شناسی و اکتشافات معدنی کشور

موضوع: آنومالی های مربوط به گروه یک کانی سنگین

توسط: مهداد محمدی - الهام چیت گری

نقشه شماره چهل و دو

۱۳۸۸

228260  
3814340

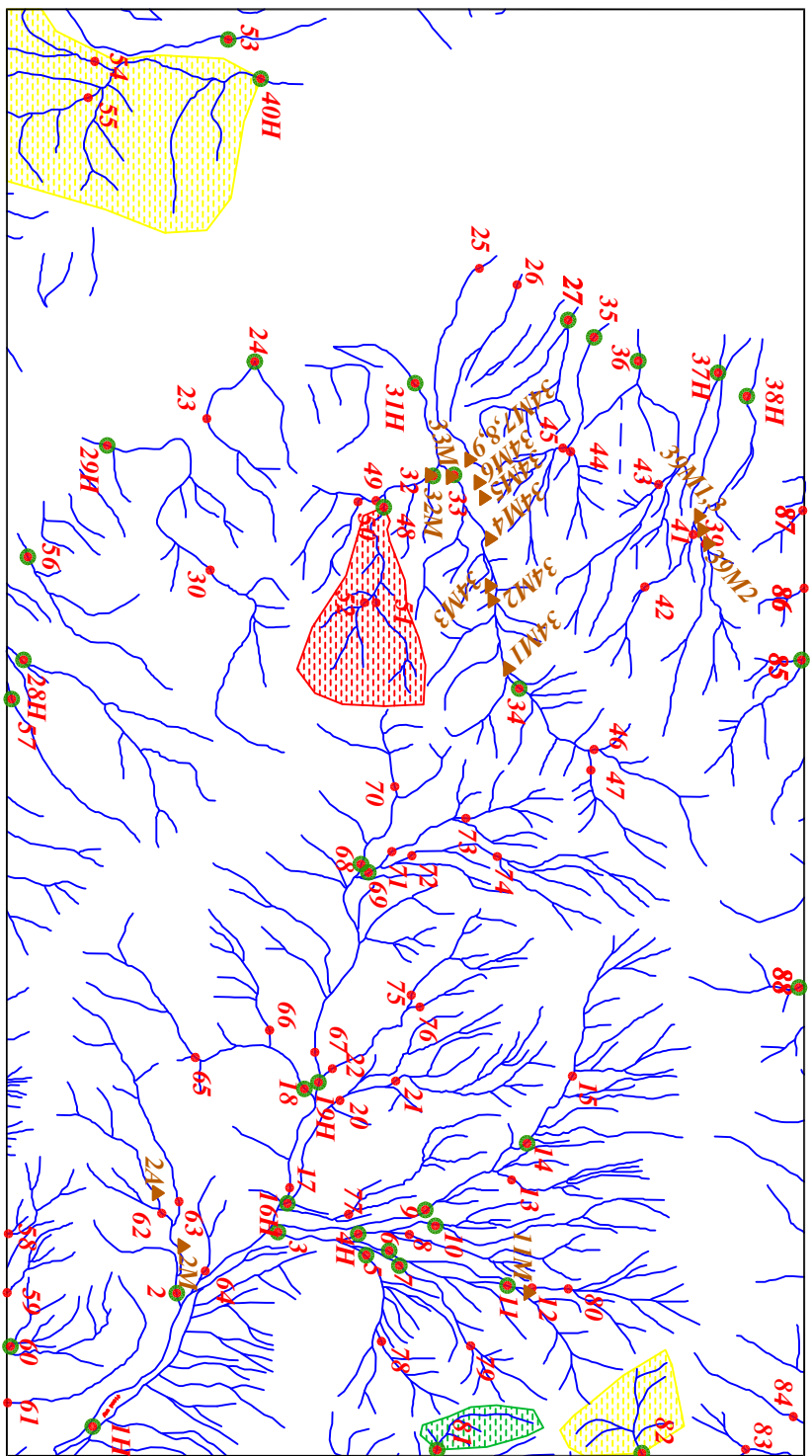
236000  
3814340

228260  
3810060

236000  
3810060

$\lambda = 267985$   
 $\chi = 3768831$

## Legend



نحوه میزه ابراجه  
نحوه کانی سسگین  
نحوه زوئیسی  
شده نموزه زوئیسی  
شده نموزه میزه اسبرزه  
حد روینه  
آنوسالی ممکن  
آنوسالی قطبی  
متبلس

144

143H

32M

آنوسالی  
متبلس

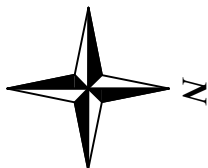
228260  
3810060

236000  
3810060

$\lambda = 267985$   
 $\chi = 3768831$

Scale 1:40000

0 500 1000 1500 2000 2500m



پژوهه اکتشافات روشیمیابی محدوده ۱/۲۵۰۰۰ فیروزان

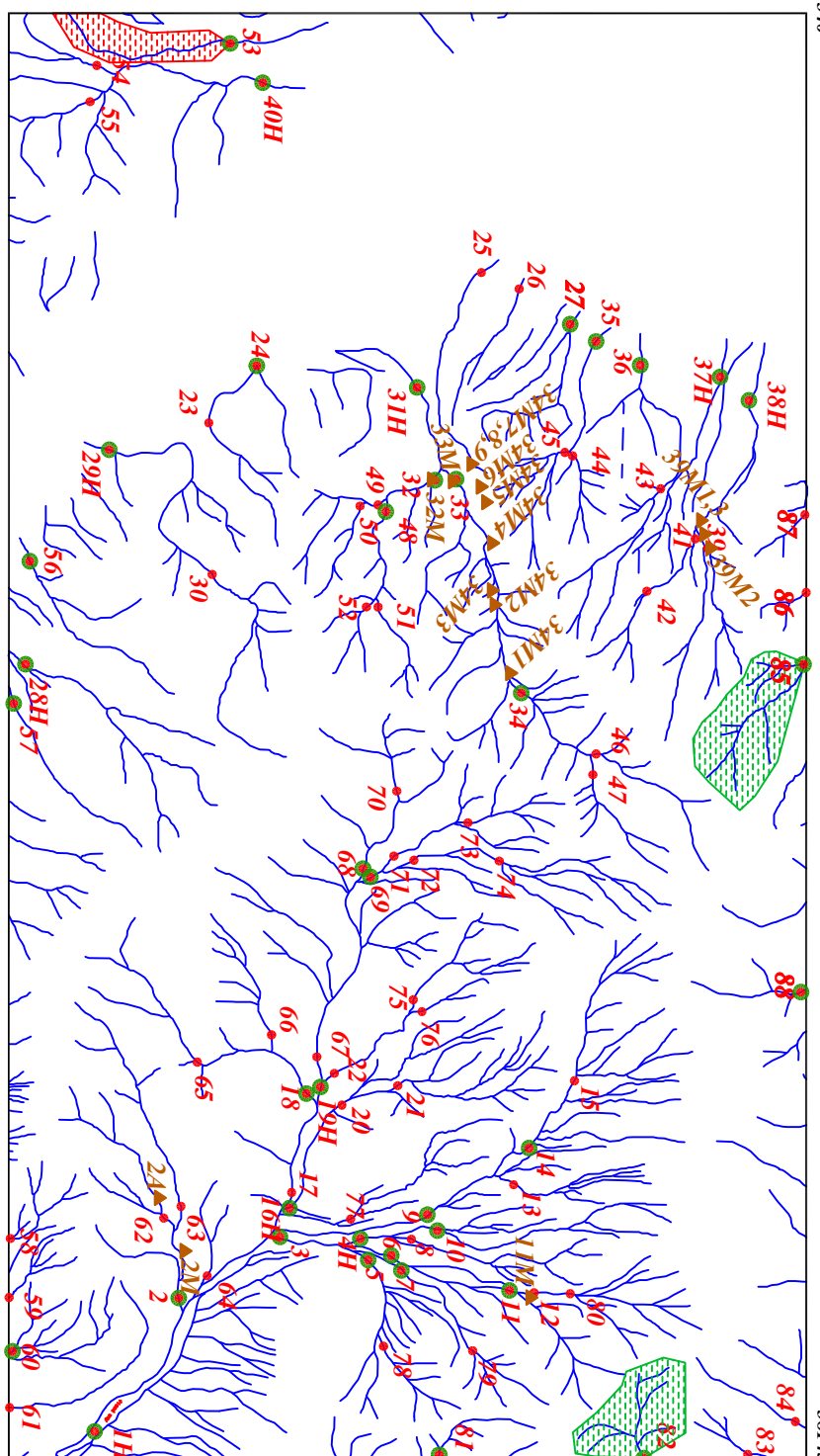
سازمان زمین شناسی و اکتشافات معدنی کشور

موضوع: آنومالی های مربوط به گرده دو کانی سسگین

توسط: مهرداد محمدی - الهام چیت گری

نقشه شماره چهل و سه

۱۳۸۸



Legend	
نحویه میزه ابراجه	نحویه کانی سسینگن
نحویه زوویه زوویسی	شدهاره نموزه میزه لسینه
شدهاره نموزه میزه لسینه	شدهاره نموزه میزه لسینه
حد روینه	آنوسالی ممکن
آنوسالی قطبی	آنوسالی احتمالی
متبلس	
منطقه در رون	

228260  
3814340

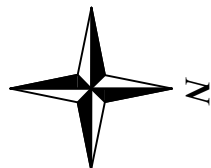
236000  
3814340

3814340

228260  
3814340

3814340

0 500 1000 1500 2000 2500m



Scale 1:40000

پژوهه اکتشافات روشیمیابی محدوده ۱/۲۵۰۰۰ فیروزان

سازمان زمین شناسی و اکتشافات معدنی کشور

موضوع: آنومالی های مربوط به گروه سه کانی سسینگن

توضیح: مهداد محمدی - الهام چیت گری

نقشه شماره چهل و چهار

۱۳۸۸

228260  
3814340

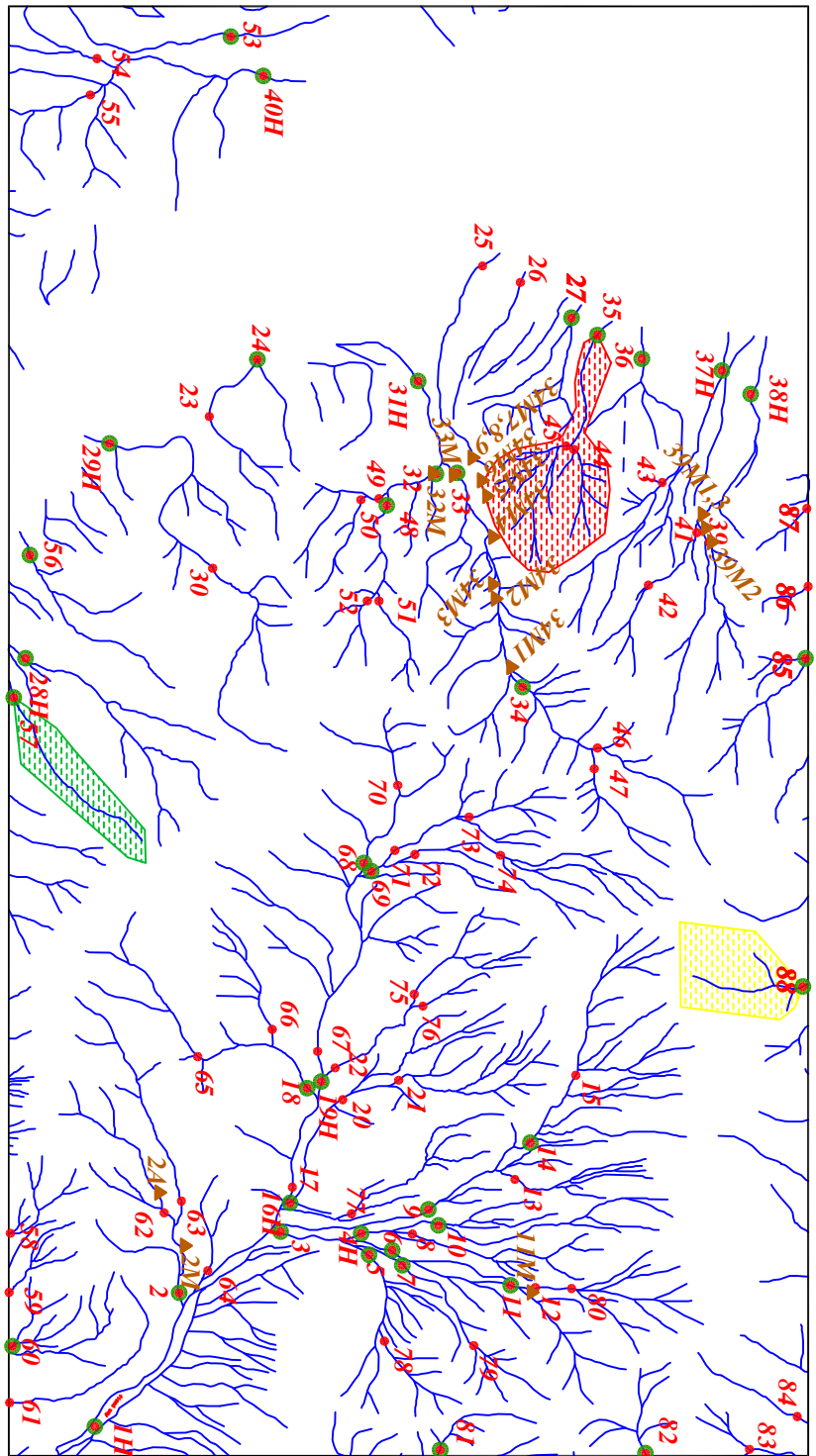
236000  
3814340

L

228260  
3814340

236000  
3814340

L

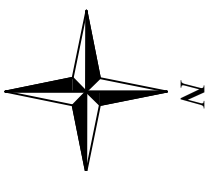


228260  
3814340

236000  
3814340

L

0 500 1000 1500 2000 2500m



Scale 1:40000

پژوهه اکتشافات روشیمیابی محدوده ۱/۲۵۰۰۰ فیروزان

سازمان زمین شناسی و اکتشافات معدنی کشور

موضوع: آنممالی های مربوط به گروه چهار کانی سسگین

توضیح: مهرداد محمدی - الهام چیت گری

نقطه شماره چهل و پنج

۱۳۸۸

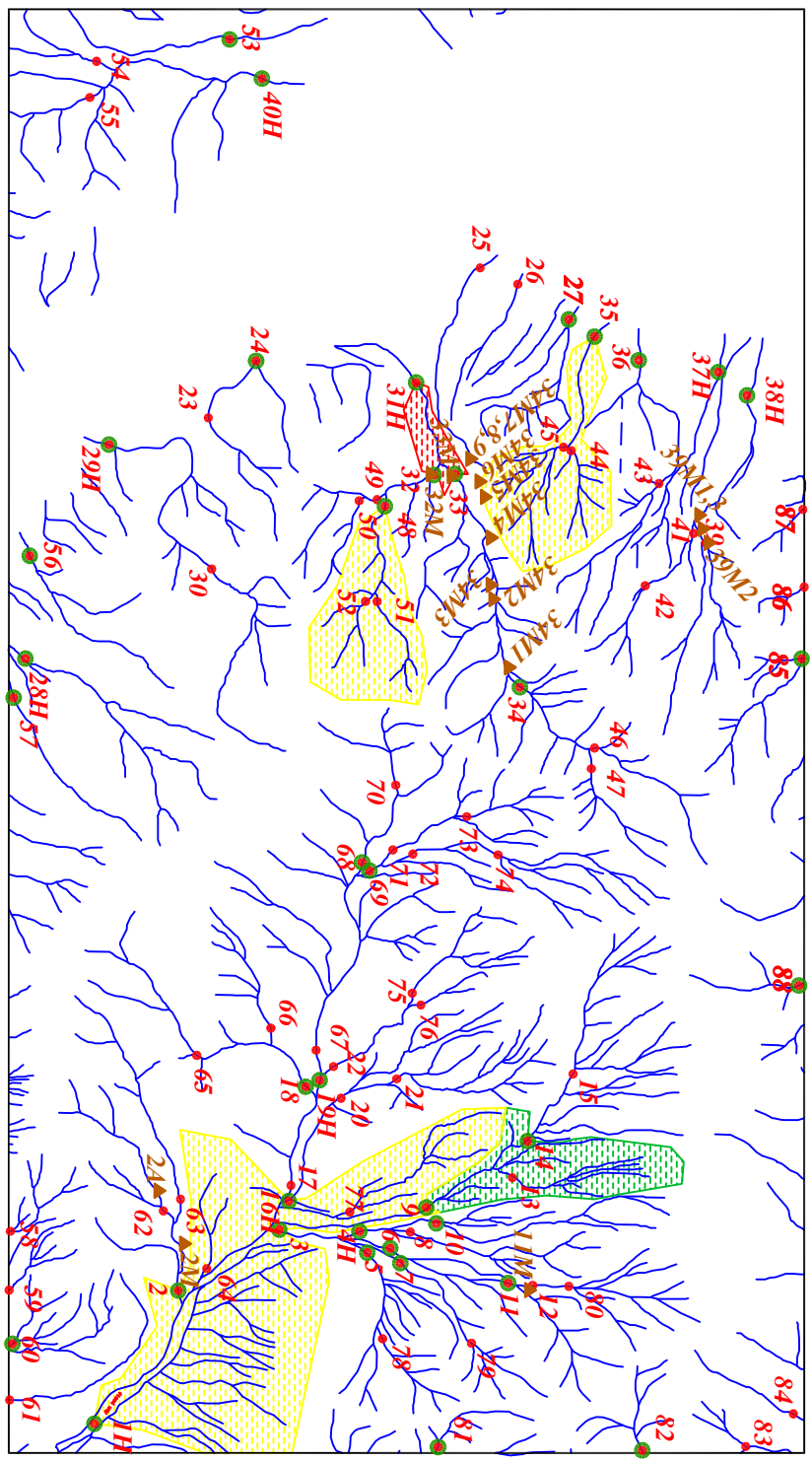
228260  
3814340

236000  
3814340

228260  
3810060

236000  
3810060

## Legend



پژوهه اکتشافات روشیمیابی محدوده ۱/۲۵۰۰۰ فیروزان

سازمان زمین شناسی و اکتشافات معدنی کشور

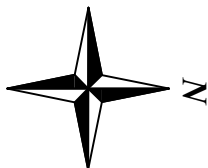
موضوع: آنومالی های مربوط به گروه پنج کانی سنگین

توسط: مهداد محمدی - الهام چیت گری

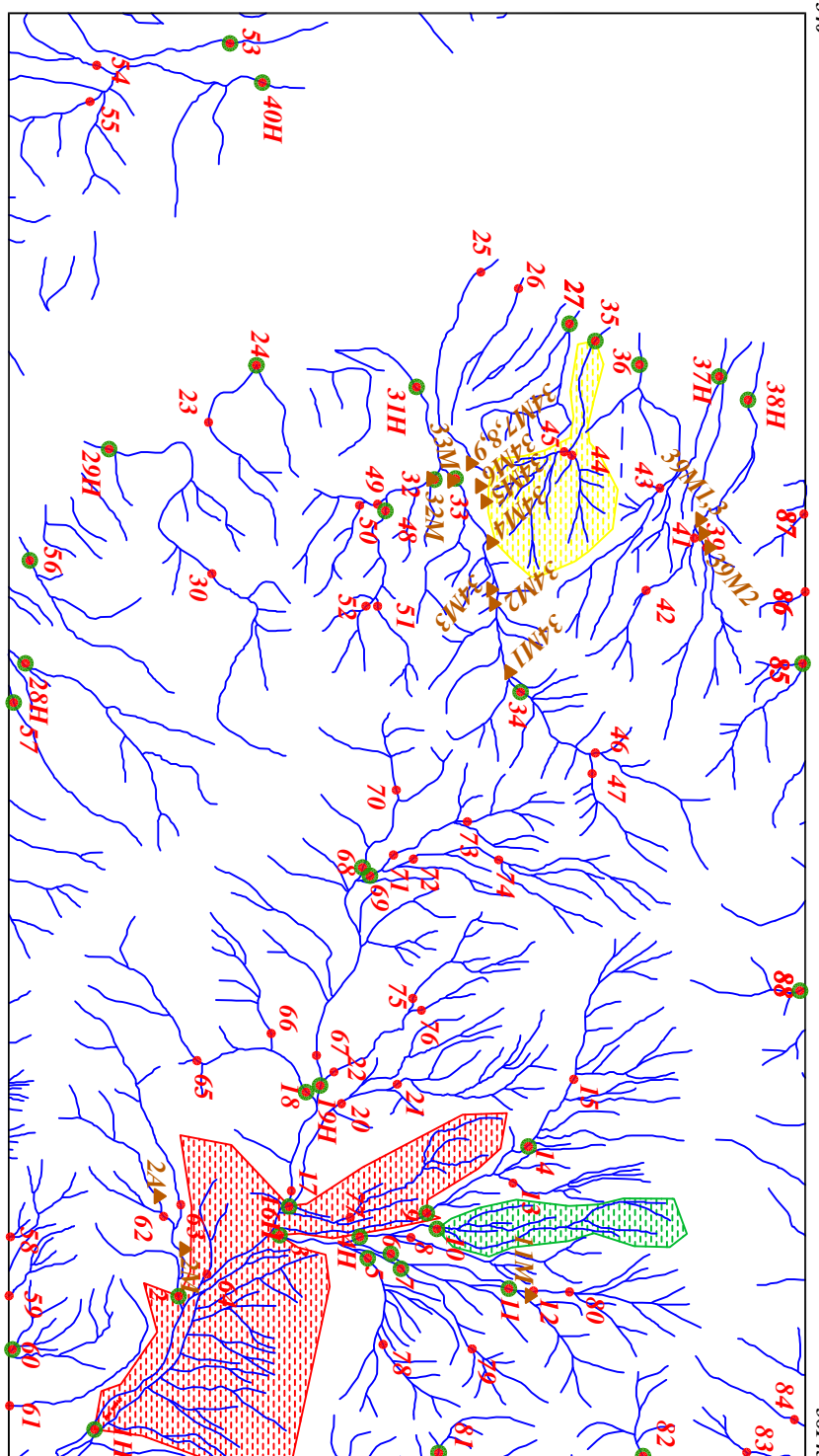
نقشه شماره چهل و شصت

Scale 1:40000

0 500 1000 1500 2000 2500m

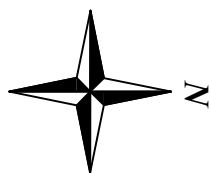


۱۳۸۸



Scale 1:40000

0 500 1000 1500 2000 2500m



228260  
3810060

236000  
3810060

$\lambda = 26^{\circ} 59' 55''$

$\gamma = 37^{\circ} 08' 31''$

پژوهه اکتشافات روشیمیابی محدوده ۱/۲۵۰۰۰ فیروزان

سازمان زمین شناسی و اکتشافات معدنی کشور

موضوع: آنومالی های مربوط به گروه شش کانی سسگین

توضیح: مهداد محمدی - الهام چیت گری

نقشه شماره چهل و هفت

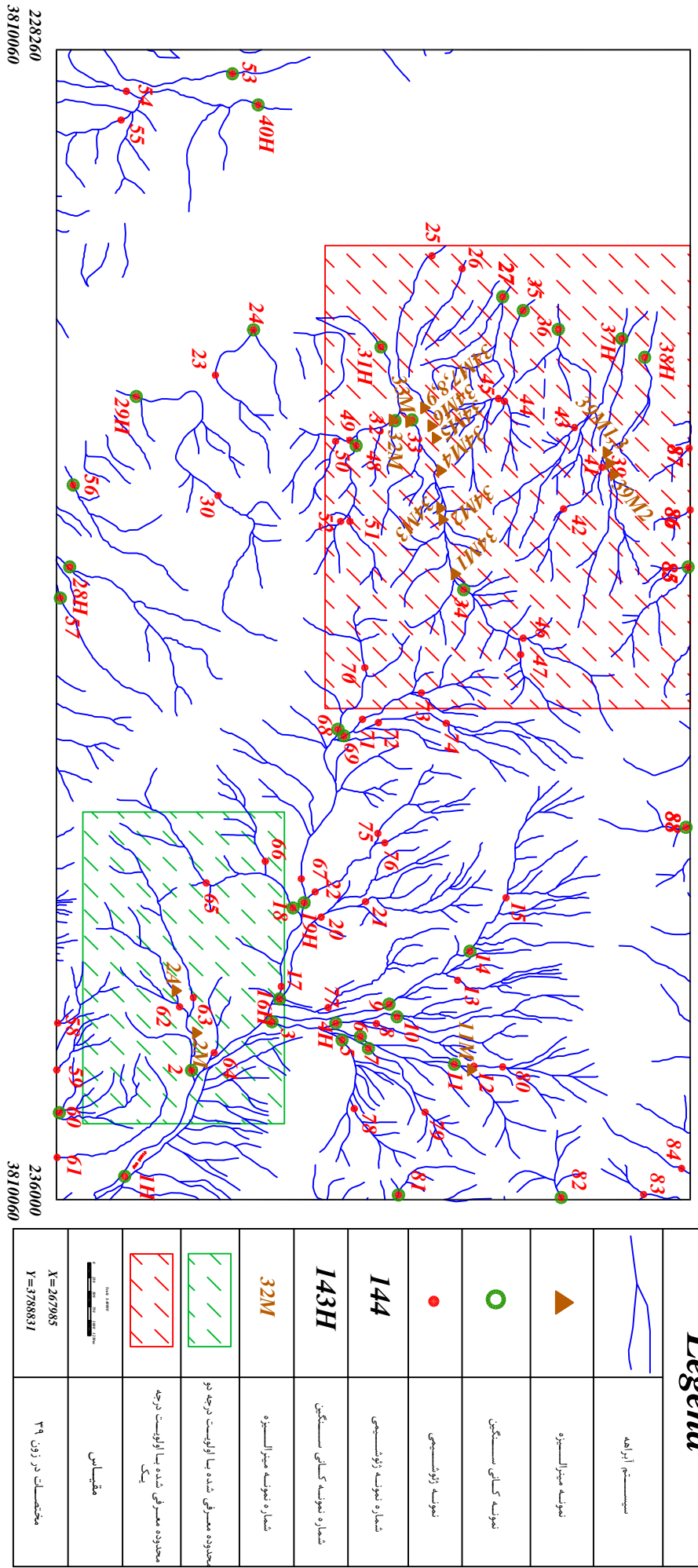
۱۳۸۸

228260  
3814340

236000  
3814340

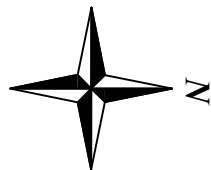
228260  
3814340  
236000  
3814340  
Legend

228260  
3810060  
236000  
3810060



پژوهه اکتشافات روشیمیایی محدوده ۱۰۲۵۰۰۰ فیروزان
سازمان زمین شناسی و اکتشافات معنی کشور
موضوع: محدوده های امید بخش جهت کار در مقیاس بزرگتر
توسط: مهرداد محمدی - الهام چیت گری

0 500 1000 1500 2000 2500m



Scale 1:40000

نقشه شماره چهل و ذهنه

۱۳۸۸

صائم

*Table( 1-3 ):Mean and Difference of Duplicated Analaysis of Firouzan's Geochemical Samples*

<i>Variable</i>	<i>Sample No.</i>	<i>D No.</i>	<i>X1</i>	<i>X2</i>	<i>M</i>	<i>D</i>
<i>Au</i>	<i>NA-54</i>	<i>NA-200</i>	<i>1</i>	<i>1</i>	<i>1</i>	<i>0</i>
	<i>NA-62</i>	<i>NA-201</i>	<i>1</i>	<i>3</i>	<i>2</i>	<i>2</i>
	<i>NA-13</i>	<i>NA-202</i>	<i>2</i>	<i>7</i>	<i>4.5</i>	<i>5</i>
	<i>NA-40</i>	<i>NA-203</i>	<i>2</i>	<i>2</i>	<i>2</i>	<i>0</i>
	<i>NA-7</i>	<i>NA-204</i>	<i>1</i>	<i>0</i>	<i>0.5</i>	<i>1</i>
	<i>NA-16</i>	<i>NA-205</i>	<i>1</i>	<i>0</i>	<i>0.5</i>	<i>1</i>
	<i>NA-31</i>	<i>NA-206</i>	<i>2</i>	<i>2</i>	<i>2</i>	<i>0</i>
	<i>NA-35</i>	<i>NA-207</i>	<i>2</i>	<i>1</i>	<i>1.5</i>	<i>1</i>
	<i>NA-8</i>	<i>NA-208</i>	<i>1</i>	<i>1</i>	<i>1</i>	<i>0</i>
	<i>NA-6A</i>	<i>NA-209</i>	<i>16</i>	<i>0</i>	<i>8</i>	<i>16</i>

<i>Variable</i>	<i>Sample No.</i>	<i>D No.</i>	<i>X1</i>	<i>X2</i>	<i>M</i>	<i>D</i>
<i>Ag</i>	<i>NA-54</i>	<i>NA-200</i>	<i>0.26</i>	<i>0.2</i>	<i>0.23</i>	<i>0.06</i>
	<i>NA-62</i>	<i>NA-201</i>	<i>0.29</i>	<i>0.22</i>	<i>0.255</i>	<i>0.07</i>
	<i>NA-13</i>	<i>NA-202</i>	<i>0.46</i>	<i>0.44</i>	<i>0.45</i>	<i>0.02</i>
	<i>NA-40</i>	<i>NA-203</i>	<i>0.1</i>	<i>0.37</i>	<i>0.235</i>	<i>0.27</i>
	<i>NA-7</i>	<i>NA-204</i>	<i>0.28</i>	<i>0.25</i>	<i>0.265</i>	<i>0.03</i>
	<i>NA-16</i>	<i>NA-205</i>	<i>0.4</i>	<i>0.34</i>	<i>0.37</i>	<i>0.06</i>
	<i>NA-31</i>	<i>NA-206</i>	<i>0.64</i>	<i>0.51</i>	<i>0.575</i>	<i>0.13</i>
	<i>NA-35</i>	<i>NA-207</i>	<i>0.6</i>	<i>0.51</i>	<i>0.555</i>	<i>0.09</i>
	<i>NA-8</i>	<i>NA-208</i>	<i>0.35</i>	<i>0.32</i>	<i>0.335</i>	<i>0.03</i>
	<i>NA-6A</i>	<i>NA-209</i>	<i>0.18</i>	<i>0.64</i>	<i>0.41</i>	<i>0.46</i>

*Table( 1-3 ):Mean and Difference of Duplicated Analaysis of Firouzan's Geochemical Samples*

<i>Variable</i>	<i>Sample No.</i>	<i>D No.</i>	<i>X1</i>	<i>X2</i>	<i>M</i>	<i>D</i>
<i>Al</i>	<i>NA-54</i>	<i>NA-200</i>	<i>83900</i>	<i>68000</i>	<i>75950</i>	<i>15900</i>
	<i>NA-62</i>	<i>NA-201</i>	<i>72900</i>	<i>61600</i>	<i>67250</i>	<i>11300</i>
	<i>NA-13</i>	<i>NA-202</i>	<i>82900</i>	<i>61700</i>	<i>72300</i>	<i>21200</i>
	<i>NA-40</i>	<i>NA-203</i>	<i>37800</i>	<i>32400</i>	<i>35100</i>	<i>5400</i>
	<i>NA-7</i>	<i>NA-204</i>	<i>80300</i>	<i>66800</i>	<i>73550</i>	<i>13500</i>
	<i>NA-16</i>	<i>NA-205</i>	<i>81900</i>	<i>62100</i>	<i>72000</i>	<i>19800</i>
	<i>NA-31</i>	<i>NA-206</i>	<i>78900</i>	<i>64900</i>	<i>71900</i>	<i>14000</i>
	<i>NA-35</i>	<i>NA-207</i>	<i>96400</i>	<i>83300</i>	<i>89850</i>	<i>13100</i>
	<i>NA-8</i>	<i>NA-208</i>	<i>82800</i>	<i>72500</i>	<i>77650</i>	<i>10300</i>
	<i>NA-6A</i>	<i>NA-209</i>	<i>75100</i>	<i>71700</i>	<i>73400</i>	<i>3400</i>

<i>Variable</i>	<i>Sample No.</i>	<i>D No.</i>	<i>X1</i>	<i>X2</i>	<i>M</i>	<i>D</i>
<i>As</i>	<i>NA-54</i>	<i>NA-200</i>	<i>6.1</i>	<i>4.6</i>	<i>5.35</i>	<i>1.5</i>
	<i>NA-62</i>	<i>NA-201</i>	<i>17.9</i>	<i>12.9</i>	<i>15.4</i>	<i>5</i>
	<i>NA-13</i>	<i>NA-202</i>	<i>14.2</i>	<i>10.5</i>	<i>12.35</i>	<i>3.7</i>
	<i>NA-40</i>	<i>NA-203</i>	<i>16.7</i>	<i>11</i>	<i>13.85</i>	<i>5.7</i>
	<i>NA-7</i>	<i>NA-204</i>	<i>4.5</i>	<i>3.7</i>	<i>4.1</i>	<i>0.8</i>
	<i>NA-16</i>	<i>NA-205</i>	<i>14.5</i>	<i>10</i>	<i>12.25</i>	<i>4.5</i>
	<i>NA-31</i>	<i>NA-206</i>	<i>49.8</i>	<i>34</i>	<i>41.9</i>	<i>15.8</i>
	<i>NA-35</i>	<i>NA-207</i>	<i>21.5</i>	<i>14.8</i>	<i>18.15</i>	<i>6.7</i>
	<i>NA-8</i>	<i>NA-208</i>	<i>6.8</i>	<i>5.5</i>	<i>6.15</i>	<i>1.3</i>
	<i>NA-6A</i>	<i>NA-209</i>	<i>4.9</i>	<i>5</i>	<i>4.95</i>	<i>0.1</i>

*Table( 1-3 ):Mean and Difference of Duplicated Analaysis of Firouzan's Geochemical Samples*

<i>Variable</i>	<i>Sample No.</i>	<i>D No.</i>	<i>X1</i>	<i>X2</i>	<i>M</i>	<i>D</i>
<i>Ba</i>	<i>NA-54</i>	<i>NA-200</i>	<i>339</i>	<i>279</i>	<i>309</i>	<i>60</i>
	<i>NA-62</i>	<i>NA-201</i>	<i>244</i>	<i>195</i>	<i>219.5</i>	<i>49</i>
	<i>NA-13</i>	<i>NA-202</i>	<i>667</i>	<i>543</i>	<i>605</i>	<i>124</i>
	<i>NA-40</i>	<i>NA-203</i>	<i>273</i>	<i>181</i>	<i>227</i>	<i>92</i>
	<i>NA-7</i>	<i>NA-204</i>	<i>661</i>	<i>541</i>	<i>601</i>	<i>120</i>
	<i>NA-16</i>	<i>NA-205</i>	<i>668</i>	<i>534</i>	<i>601</i>	<i>134</i>
	<i>NA-31</i>	<i>NA-206</i>	<i>676</i>	<i>585</i>	<i>630.5</i>	<i>91</i>
	<i>NA-35</i>	<i>NA-207</i>	<i>747</i>	<i>685</i>	<i>716</i>	<i>62</i>
	<i>NA-8</i>	<i>NA-208</i>	<i>762</i>	<i>705</i>	<i>733.5</i>	<i>57</i>
	<i>NA-6A</i>	<i>NA-209</i>	<i>695</i>	<i>671</i>	<i>683</i>	<i>24</i>

<i>Variable</i>	<i>Sample No.</i>	<i>D No.</i>	<i>X1</i>	<i>X2</i>	<i>M</i>	<i>D</i>
<i>Be</i>	<i>NA-54</i>	<i>NA-200</i>	<i>1.6</i>	<i>1.1</i>	<i>1.35</i>	<i>0.5</i>
	<i>NA-62</i>	<i>NA-201</i>	<i>1.6</i>	<i>1.1</i>	<i>1.35</i>	<i>0.5</i>
	<i>NA-13</i>	<i>NA-202</i>	<i>1.8</i>	<i>1.1</i>	<i>1.45</i>	<i>0.7</i>
	<i>NA-40</i>	<i>NA-203</i>	<i>0.8</i>	<i>0.6</i>	<i>0.7</i>	<i>0.2</i>
	<i>NA-7</i>	<i>NA-204</i>	<i>1.7</i>	<i>1.2</i>	<i>1.45</i>	<i>0.5</i>
	<i>NA-16</i>	<i>NA-205</i>	<i>1.6</i>	<i>1</i>	<i>1.3</i>	<i>0.6</i>
	<i>NA-31</i>	<i>NA-206</i>	<i>1.8</i>	<i>1.3</i>	<i>1.55</i>	<i>0.5</i>
	<i>NA-35</i>	<i>NA-207</i>	<i>2.1</i>	<i>1.6</i>	<i>1.85</i>	<i>0.5</i>
	<i>NA-8</i>	<i>NA-208</i>	<i>1.8</i>	<i>1.4</i>	<i>1.6</i>	<i>0.4</i>
	<i>NA-6A</i>	<i>NA-209</i>	<i>1.4</i>	<i>1.3</i>	<i>1.35</i>	<i>0.1</i>

*Table( 1-3 ):Mean and Difference of Duplicated Analaysis of Firouzan's Geochemical Samples*

<i>Variable</i>	<i>Sample No.</i>	<i>D No.</i>	<i>X1</i>	<i>X2</i>	<i>M</i>	<i>D</i>
<i>Bi</i>	<i>NA-54</i>	<i>NA-200</i>	<i>0.8</i>	<i>0.8</i>	<i>0.8</i>	<i>0</i>
	<i>NA-62</i>	<i>NA-201</i>	<i>0.2</i>	<i>0.2</i>	<i>0.2</i>	<i>0</i>
	<i>NA-13</i>	<i>NA-202</i>	<i>0.8</i>	<i>0.6</i>	<i>0.7</i>	<i>0.2</i>
	<i>NA-40</i>	<i>NA-203</i>	<i>0.2</i>	<i>0.2</i>	<i>0.2</i>	<i>0</i>
	<i>NA-7</i>	<i>NA-204</i>	<i>0.6</i>	<i>0.2</i>	<i>0.4</i>	<i>0.4</i>
	<i>NA-16</i>	<i>NA-205</i>	<i>0.5</i>	<i>0.3</i>	<i>0.4</i>	<i>0.2</i>
	<i>NA-31</i>	<i>NA-206</i>	<i>0.4</i>	<i>0.4</i>	<i>0.4</i>	<i>0</i>
	<i>NA-35</i>	<i>NA-207</i>	<i>0.2</i>	<i>0.3</i>	<i>0.25</i>	<i>0.1</i>
	<i>NA-8</i>	<i>NA-208</i>	<i>0.5</i>	<i>0.2</i>	<i>0.35</i>	<i>0.3</i>
	<i>NA-6A</i>	<i>NA-209</i>	<i>0.1</i>	<i>0.2</i>	<i>0.15</i>	<i>0.1</i>

<i>Variable</i>	<i>Sample No.</i>	<i>D No.</i>	<i>X1</i>	<i>X2</i>	<i>M</i>	<i>D</i>
<i>Ca</i>	<i>NA-54</i>	<i>NA-200</i>	<i>22200</i>	<i>18800</i>	<i>20500</i>	<i>3400</i>
	<i>NA-62</i>	<i>NA-201</i>	<i>71100</i>	<i>62000</i>	<i>66550</i>	<i>9100</i>
	<i>NA-13</i>	<i>NA-202</i>	<i>27200</i>	<i>22700</i>	<i>24950</i>	<i>4500</i>
	<i>NA-40</i>	<i>NA-203</i>	<i>191000</i>	<i>162000</i>	<i>176500</i>	<i>29000</i>
	<i>NA-7</i>	<i>NA-204</i>	<i>4280</i>	<i>4010</i>	<i>4145</i>	<i>270</i>
	<i>NA-16</i>	<i>NA-205</i>	<i>20400</i>	<i>15800</i>	<i>18100</i>	<i>4600</i>
	<i>NA-31</i>	<i>NA-206</i>	<i>18600</i>	<i>15900</i>	<i>17250</i>	<i>2700</i>
	<i>NA-35</i>	<i>NA-207</i>	<i>21900</i>	<i>19800</i>	<i>20850</i>	<i>2100</i>
	<i>NA-8</i>	<i>NA-208</i>	<i>9810</i>	<i>10100</i>	<i>9955</i>	<i>290</i>
	<i>NA-6A</i>	<i>NA-209</i>	<i>2750</i>	<i>2660</i>	<i>2705</i>	<i>90</i>

*Table( 1-3 ):Mean and Difference of Duplicated Analaysis of Firouzan's Geochemical Samples*

<i>Variable</i>	<i>Sample No.</i>	<i>D No.</i>	<i>X1</i>	<i>X2</i>	<i>M</i>	<i>D</i>
<i>Cd</i>	<i>NA-54</i>	<i>NA-200</i>	<i>0.1</i>	<i>0.1</i>	<i>0.1</i>	<i>0</i>
	<i>NA-62</i>	<i>NA-201</i>	<i>0.2</i>	<i>0.2</i>	<i>0.2</i>	<i>0</i>
	<i>NA-13</i>	<i>NA-202</i>	<i>0.2</i>	<i>0.2</i>	<i>0.2</i>	<i>0</i>
	<i>NA-40</i>	<i>NA-203</i>	<i>0.3</i>	<i>0.4</i>	<i>0.35</i>	<i>0.1</i>
	<i>NA-7</i>	<i>NA-204</i>	<i>0.2</i>	<i>0.2</i>	<i>0.2</i>	<i>0</i>
	<i>NA-16</i>	<i>NA-205</i>	<i>0.3</i>	<i>0.3</i>	<i>0.3</i>	<i>0</i>
	<i>NA-31</i>	<i>NA-206</i>	<i>0.7</i>	<i>0.7</i>	<i>0.7</i>	<i>0</i>
	<i>NA-35</i>	<i>NA-207</i>	<i>1.2</i>	<i>1.2</i>	<i>1.2</i>	<i>0</i>
	<i>NA-8</i>	<i>NA-208</i>	<i>0.1</i>	<i>0.1</i>	<i>0.1</i>	<i>0</i>
	<i>NA-6A</i>	<i>NA-209</i>	<i>0</i>	<i>0</i>	<i>0</i>	<i>0</i>

<i>Variable</i>	<i>Sample No.</i>	<i>D No.</i>	<i>X1</i>	<i>X2</i>	<i>M</i>	<i>D</i>
<i>Ce</i>	<i>NA-54</i>	<i>NA-200</i>	<i>60.4</i>	<i>62.7</i>	<i>61.55</i>	<i>2.3</i>
	<i>NA-62</i>	<i>NA-201</i>	<i>69.3</i>	<i>64.5</i>	<i>66.9</i>	<i>4.8</i>
	<i>NA-13</i>	<i>NA-202</i>	<i>55.3</i>	<i>57.5</i>	<i>56.4</i>	<i>2.2</i>
	<i>NA-40</i>	<i>NA-203</i>	<i>34</i>	<i>37.4</i>	<i>35.7</i>	<i>3.4</i>
	<i>NA-7</i>	<i>NA-204</i>	<i>44.9</i>	<i>51.1</i>	<i>48</i>	<i>6.2</i>
	<i>NA-16</i>	<i>NA-205</i>	<i>46.7</i>	<i>48.5</i>	<i>47.6</i>	<i>1.8</i>
	<i>NA-31</i>	<i>NA-206</i>	<i>53</i>	<i>55.4</i>	<i>54.2</i>	<i>2.4</i>
	<i>NA-35</i>	<i>NA-207</i>	<i>57.3</i>	<i>57.9</i>	<i>57.6</i>	<i>0.6</i>
	<i>NA-8</i>	<i>NA-208</i>	<i>46.6</i>	<i>50.7</i>	<i>48.65</i>	<i>4.1</i>
	<i>NA-6A</i>	<i>NA-209</i>	<i>44.5</i>	<i>44.6</i>	<i>44.55</i>	<i>0.1</i>

*Table( 1-3 ):Mean and Difference of Duplicated Analaysis of Firouzan's Geochemical Samples*

<i>Variable</i>	<i>Sample No.</i>	<i>D No.</i>	<i>X1</i>	<i>X2</i>	<i>M</i>	<i>D</i>
<i>Co</i>	<i>NA-54</i>	<i>NA-200</i>	<b>10.4</b>	<b>11.1</b>	<b>10.75</b>	<b>0.7</b>
	<i>NA-62</i>	<i>NA-201</i>	<b>26</b>	<b>26.6</b>	<b>26.3</b>	<b>0.6</b>
	<i>NA-13</i>	<i>NA-202</i>	<b>9.1</b>	<b>10</b>	<b>9.55</b>	<b>0.9</b>
	<i>NA-40</i>	<i>NA-203</i>	<b>11</b>	<b>11.6</b>	<b>11.3</b>	<b>0.6</b>
	<i>NA-7</i>	<i>NA-204</i>	<b>4.6</b>	<b>5.5</b>	<b>5.05</b>	<b>0.9</b>
	<i>NA-16</i>	<i>NA-205</i>	<b>8</b>	<b>8.1</b>	<b>8.05</b>	<b>0.1</b>
	<i>NA-31</i>	<i>NA-206</i>	<b>9.1</b>	<b>9.7</b>	<b>9.4</b>	<b>0.6</b>
	<i>NA-35</i>	<i>NA-207</i>	<b>13.3</b>	<b>13.9</b>	<b>13.6</b>	<b>0.6</b>
	<i>NA-8</i>	<i>NA-208</i>	<b>6</b>	<b>7</b>	<b>6.5</b>	<b>1</b>
	<i>NA-6A</i>	<i>NA-209</i>	<b>3.9</b>	<b>3.8</b>	<b>3.85</b>	<b>0.1</b>

<i>Variable</i>	<i>Sample No.</i>	<i>D No.</i>	<i>X1</i>	<i>X2</i>	<i>M</i>	<i>D</i>
<i>Cr</i>	<i>NA-54</i>	<i>NA-200</i>	<b>18</b>	<b>32</b>	<b>25</b>	<b>14</b>
	<i>NA-62</i>	<i>NA-201</i>	<b>145</b>	<b>191</b>	<b>168</b>	<b>46</b>
	<i>NA-13</i>	<i>NA-202</i>	<b>12</b>	<b>21</b>	<b>16.5</b>	<b>9</b>
	<i>NA-40</i>	<i>NA-203</i>	<b>53</b>	<b>66</b>	<b>59.5</b>	<b>13</b>
	<i>NA-7</i>	<i>NA-204</i>	<b>5</b>	<b>11</b>	<b>8</b>	<b>6</b>
	<i>NA-16</i>	<i>NA-205</i>	<b>16</b>	<b>58</b>	<b>37</b>	<b>42</b>
	<i>NA-31</i>	<i>NA-206</i>	<b>17</b>	<b>32</b>	<b>24.5</b>	<b>15</b>
	<i>NA-35</i>	<i>NA-207</i>	<b>30</b>	<b>50</b>	<b>40</b>	<b>20</b>
	<i>NA-8</i>	<i>NA-208</i>	<b>11</b>	<b>26</b>	<b>18.5</b>	<b>15</b>
	<i>NA-6A</i>	<i>NA-209</i>	<b>7</b>	<b>6</b>	<b>6.5</b>	<b>1</b>

*Table( 1-3 ):Mean and Difference of Duplicated Analaysis of Firouzan's Geochemical Samples*

<i>Variable</i>	<i>Sample No.</i>	<i>D No.</i>	<i>X1</i>	<i>X2</i>	<i>M</i>	<i>D</i>
<i>Cs</i>	<i>NA-54</i>	<i>NA-200</i>	<i>3.2</i>	<i>3.1</i>	<i>3.15</i>	<i>0.1</i>
	<i>NA-62</i>	<i>NA-201</i>	<i>3.6</i>	<i>3.7</i>	<i>3.65</i>	<i>0.1</i>
	<i>NA-13</i>	<i>NA-202</i>	<i>4.4</i>	<i>4.3</i>	<i>4.35</i>	<i>0.1</i>
	<i>NA-40</i>	<i>NA-203</i>	<i>3</i>	<i>3.2</i>	<i>3.1</i>	<i>0.2</i>
	<i>NA-7</i>	<i>NA-204</i>	<i>2.4</i>	<i>2.5</i>	<i>2.45</i>	<i>0.1</i>
	<i>NA-16</i>	<i>NA-205</i>	<i>3.1</i>	<i>3.1</i>	<i>3.1</i>	<i>0</i>
	<i>NA-31</i>	<i>NA-206</i>	<i>4.7</i>	<i>4.6</i>	<i>4.65</i>	<i>0.1</i>
	<i>NA-35</i>	<i>NA-207</i>	<i>4.7</i>	<i>4.5</i>	<i>4.6</i>	<i>0.2</i>
	<i>NA-8</i>	<i>NA-208</i>	<i>3.4</i>	<i>3.4</i>	<i>3.4</i>	<i>0</i>
	<i>NA-6A</i>	<i>NA-209</i>	<i>2.8</i>	<i>2.8</i>	<i>2.8</i>	<i>0</i>

<i>Variable</i>	<i>Sample No.</i>	<i>D No.</i>	<i>X1</i>	<i>X2</i>	<i>M</i>	<i>D</i>
<i>Cu</i>	<i>NA-54</i>	<i>NA-200</i>	<i>19.6</i>	<i>21.4</i>	<i>20.5</i>	<i>1.8</i>
	<i>NA-62</i>	<i>NA-201</i>	<i>46.5</i>	<i>47.3</i>	<i>46.9</i>	<i>0.8</i>
	<i>NA-13</i>	<i>NA-202</i>	<i>32.2</i>	<i>34.4</i>	<i>33.3</i>	<i>2.2</i>
	<i>NA-40</i>	<i>NA-203</i>	<i>26.5</i>	<i>32.3</i>	<i>29.4</i>	<i>5.8</i>
	<i>NA-7</i>	<i>NA-204</i>	<i>17.8</i>	<i>18.9</i>	<i>18.35</i>	<i>1.1</i>
	<i>NA-16</i>	<i>NA-205</i>	<i>33.5</i>	<i>48.5</i>	<i>41</i>	<i>15</i>
	<i>NA-31</i>	<i>NA-206</i>	<i>44.9</i>	<i>45.8</i>	<i>45.35</i>	<i>0.9</i>
	<i>NA-35</i>	<i>NA-207</i>	<i>48.5</i>	<i>56.2</i>	<i>52.35</i>	<i>7.7</i>
	<i>NA-8</i>	<i>NA-208</i>	<i>22.7</i>	<i>24.8</i>	<i>23.75</i>	<i>2.1</i>
	<i>NA-6A</i>	<i>NA-209</i>	<i>17.8</i>	<i>16.3</i>	<i>17.05</i>	<i>1.5</i>

*Table( 1-3 ):Mean and Difference of Duplicated Analaysis of Firouzan's Geochemical Samples*

<i>Variable</i>	<i>Sample No.</i>	<i>D No.</i>	<i>X1</i>	<i>X2</i>	<i>M</i>	<i>D</i>
<i>Fe</i>	<i>NA-54</i>	<i>NA-200</i>	<i>34000</i>	<i>27900</i>	<i>30950</i>	<i>6100</i>
	<i>NA-62</i>	<i>NA-201</i>	<i>51200</i>	<i>42900</i>	<i>47050</i>	<i>8300</i>
	<i>NA-13</i>	<i>NA-202</i>	<i>31600</i>	<i>24400</i>	<i>28000</i>	<i>7200</i>
	<i>NA-40</i>	<i>NA-203</i>	<i>23000</i>	<i>19700</i>	<i>21350</i>	<i>3300</i>
	<i>NA-7</i>	<i>NA-204</i>	<i>17000</i>	<i>14700</i>	<i>15850</i>	<i>2300</i>
	<i>NA-16</i>	<i>NA-205</i>	<i>27000</i>	<i>21200</i>	<i>24100</i>	<i>5800</i>
	<i>NA-31</i>	<i>NA-206</i>	<i>27400</i>	<i>23200</i>	<i>25300</i>	<i>4200</i>
	<i>NA-35</i>	<i>NA-207</i>	<i>39000</i>	<i>34800</i>	<i>36900</i>	<i>4200</i>
	<i>NA-8</i>	<i>NA-208</i>	<i>23300</i>	<i>21700</i>	<i>22500</i>	<i>1600</i>
	<i>NA-6A</i>	<i>NA-209</i>	<i>15600</i>	<i>14800</i>	<i>15200</i>	<i>800</i>

<i>Variable</i>	<i>Sample No.</i>	<i>D No.</i>	<i>X1</i>	<i>X2</i>	<i>M</i>	<i>D</i>
<i>K</i>	<i>NA-54</i>	<i>NA-200</i>	<i>17600</i>	<i>15000</i>	<i>16300</i>	<i>2600</i>
	<i>NA-62</i>	<i>NA-201</i>	<i>12800</i>	<i>10700</i>	<i>11750</i>	<i>2100</i>
	<i>NA-13</i>	<i>NA-202</i>	<i>33400</i>	<i>25800</i>	<i>29600</i>	<i>7600</i>
	<i>NA-40</i>	<i>NA-203</i>	<i>11700</i>	<i>9560</i>	<i>10630</i>	<i>2140</i>
	<i>NA-7</i>	<i>NA-204</i>	<i>37300</i>	<i>21300</i>	<i>29300</i>	<i>16000</i>
	<i>NA-16</i>	<i>NA-205</i>	<i>35200</i>	<i>25000</i>	<i>30100</i>	<i>10200</i>
	<i>NA-31</i>	<i>NA-206</i>	<i>37200</i>	<i>30300</i>	<i>33750</i>	<i>6900</i>
	<i>NA-35</i>	<i>NA-207</i>	<i>45600</i>	<i>36500</i>	<i>41050</i>	<i>9100</i>
	<i>NA-8</i>	<i>NA-208</i>	<i>42500</i>	<i>32400</i>	<i>37450</i>	<i>10100</i>
	<i>NA-6A</i>	<i>NA-209</i>	<i>37700</i>	<i>34600</i>	<i>36150</i>	<i>3100</i>

*Table( 1-3 ):Mean and Difference of Duplicated Analaysis of Firouzan's Geochemical Samples*

<i>Variable</i>	<i>Sample No.</i>	<i>D No.</i>	<i>X1</i>	<i>X2</i>	<i>M</i>	<i>D</i>
<i>La</i>	<i>NA-54</i>	<i>NA-200</i>	<i>31</i>	<i>29</i>	<i>30</i>	<i>2</i>
	<i>NA-62</i>	<i>NA-201</i>	<i>32</i>	<i>27</i>	<i>29.5</i>	<i>5</i>
	<i>NA-13</i>	<i>NA-202</i>	<i>29</i>	<i>26</i>	<i>27.5</i>	<i>3</i>
	<i>NA-40</i>	<i>NA-203</i>	<i>18</i>	<i>18</i>	<i>18</i>	<i>0</i>
	<i>NA-7</i>	<i>NA-204</i>	<i>23</i>	<i>23</i>	<i>23</i>	<i>0</i>
	<i>NA-16</i>	<i>NA-205</i>	<i>25</i>	<i>23</i>	<i>24</i>	<i>2</i>
	<i>NA-31</i>	<i>NA-206</i>	<i>25</i>	<i>25</i>	<i>25</i>	<i>0</i>
	<i>NA-35</i>	<i>NA-207</i>	<i>30</i>	<i>30</i>	<i>30</i>	<i>0</i>
	<i>NA-8</i>	<i>NA-208</i>	<i>26</i>	<i>27</i>	<i>26.5</i>	<i>1</i>
	<i>NA-6A</i>	<i>NA-209</i>	<i>25</i>	<i>24</i>	<i>24.5</i>	<i>1</i>

<i>Variable</i>	<i>Sample No.</i>	<i>D No.</i>	<i>X1</i>	<i>X2</i>	<i>M</i>	<i>D</i>
<i>Li</i>	<i>NA-54</i>	<i>NA-200</i>	<i>22</i>	<i>17.2</i>	<i>19.6</i>	<i>4.8</i>
	<i>NA-62</i>	<i>NA-201</i>	<i>45.3</i>	<i>37.2</i>	<i>41.25</i>	<i>8.1</i>
	<i>NA-13</i>	<i>NA-202</i>	<i>20.4</i>	<i>14.3</i>	<i>17.35</i>	<i>6.1</i>
	<i>NA-40</i>	<i>NA-203</i>	<i>22.8</i>	<i>19</i>	<i>20.9</i>	<i>3.8</i>
	<i>NA-7</i>	<i>NA-204</i>	<i>12.8</i>	<i>9.7</i>	<i>11.25</i>	<i>3.1</i>
	<i>NA-16</i>	<i>NA-205</i>	<i>19.6</i>	<i>13.9</i>	<i>16.75</i>	<i>5.7</i>
	<i>NA-31</i>	<i>NA-206</i>	<i>17.4</i>	<i>14.8</i>	<i>16.1</i>	<i>2.6</i>
	<i>NA-35</i>	<i>NA-207</i>	<i>28.4</i>	<i>23.7</i>	<i>26.05</i>	<i>4.7</i>
	<i>NA-8</i>	<i>NA-208</i>	<i>17.4</i>	<i>15.8</i>	<i>16.6</i>	<i>1.6</i>
	<i>NA-6A</i>	<i>NA-209</i>	<i>10.6</i>	<i>10.1</i>	<i>10.35</i>	<i>0.5</i>

*Table( 1-3 ):Mean and Difference of Duplicated Analaysis of Firouzan's Geochemical Samples*

<i>Variable</i>	<i>Sample No.</i>	<i>D No.</i>	<i>X1</i>	<i>X2</i>	<i>M</i>	<i>D</i>
<i>Mg</i>	<i>NA-54</i>	<i>NA-200</i>	<i>11800</i>	<i>9880</i>	<i>10840</i>	<i>1920</i>
	<i>NA-62</i>	<i>NA-201</i>	<i>18300</i>	<i>15600</i>	<i>16950</i>	<i>2700</i>
	<i>NA-13</i>	<i>NA-202</i>	<i>9290</i>	<i>7450</i>	<i>8370</i>	<i>1840</i>
	<i>NA-40</i>	<i>NA-203</i>	<i>17900</i>	<i>15200</i>	<i>16550</i>	<i>2700</i>
	<i>NA-7</i>	<i>NA-204</i>	<i>4860</i>	<i>4260</i>	<i>4560</i>	<i>600</i>
	<i>NA-16</i>	<i>NA-205</i>	<i>8720</i>	<i>7030</i>	<i>7875</i>	<i>1690</i>
	<i>NA-31</i>	<i>NA-206</i>	<i>7810</i>	<i>6770</i>	<i>7290</i>	<i>1040</i>
	<i>NA-35</i>	<i>NA-207</i>	<i>13400</i>	<i>12400</i>	<i>12900</i>	<i>1000</i>
	<i>NA-8</i>	<i>NA-208</i>	<i>7750</i>	<i>7500</i>	<i>7625</i>	<i>250</i>
	<i>NA-6A</i>	<i>NA-209</i>	<i>4420</i>	<i>4280</i>	<i>4350</i>	<i>140</i>

<i>Variable</i>	<i>Sample No.</i>	<i>D No.</i>	<i>X1</i>	<i>X2</i>	<i>M</i>	<i>D</i>
<i>Mn</i>	<i>NA-54</i>	<i>NA-200</i>	<i>768</i>	<i>657</i>	<i>712.5</i>	<i>111</i>
	<i>NA-62</i>	<i>NA-201</i>	<i>723</i>	<i>622</i>	<i>672.5</i>	<i>101</i>
	<i>NA-13</i>	<i>NA-202</i>	<i>1320</i>	<i>1120</i>	<i>1220</i>	<i>200</i>
	<i>NA-40</i>	<i>NA-203</i>	<i>525</i>	<i>458</i>	<i>491.5</i>	<i>67</i>
	<i>NA-7</i>	<i>NA-204</i>	<i>580</i>	<i>546</i>	<i>563</i>	<i>34</i>
	<i>NA-16</i>	<i>NA-205</i>	<i>1410</i>	<i>1090</i>	<i>1250</i>	<i>320</i>
	<i>NA-31</i>	<i>NA-206</i>	<i>1660</i>	<i>1460</i>	<i>1560</i>	<i>200</i>
	<i>NA-35</i>	<i>NA-207</i>	<i>2520</i>	<i>2320</i>	<i>2420</i>	<i>200</i>
	<i>NA-8</i>	<i>NA-208</i>	<i>838</i>	<i>847</i>	<i>842.5</i>	<i>9</i>
	<i>NA-6A</i>	<i>NA-209</i>	<i>574</i>	<i>541</i>	<i>557.5</i>	<i>33</i>

*Table( 1-3 ):Mean and Difference of Duplicated Analaysis of Firouzan's Geochemical Samples*

<i>Variable</i>	<i>Sample No.</i>	<i>D No.</i>	<i>X1</i>	<i>X2</i>	<i>M</i>	<i>D</i>
<i>Mo</i>	<i>NA-54</i>	<i>NA-200</i>	<i>0.4</i>	<i>1.3</i>	<i>0.85</i>	<i>0.9</i>
	<i>NA-62</i>	<i>NA-201</i>	<i>0.8</i>	<i>0.4</i>	<i>0.6</i>	<i>0.4</i>
	<i>NA-13</i>	<i>NA-202</i>	<i>0.8</i>	<i>0.7</i>	<i>0.75</i>	<i>0.1</i>
	<i>NA-40</i>	<i>NA-203</i>	<i>1.6</i>	<i>2.1</i>	<i>1.85</i>	<i>0.5</i>
	<i>NA-7</i>	<i>NA-204</i>	<i>0.8</i>	<i>4.2</i>	<i>2.5</i>	<i>3.4</i>
	<i>NA-16</i>	<i>NA-205</i>	<i>0.9</i>	<i>2.3</i>	<i>1.6</i>	<i>1.4</i>
	<i>NA-31</i>	<i>NA-206</i>	<i>2.5</i>	<i>2.1</i>	<i>2.3</i>	<i>0.4</i>
	<i>NA-35</i>	<i>NA-207</i>	<i>2.2</i>	<i>4.2</i>	<i>3.2</i>	<i>2</i>
	<i>NA-8</i>	<i>NA-208</i>	<i>1.1</i>	<i>0.8</i>	<i>0.95</i>	<i>0.3</i>
	<i>NA-6A</i>	<i>NA-209</i>	<i>0.7</i>	<i>0.7</i>	<i>0.7</i>	<i>0</i>

<i>Variable</i>	<i>Sample No.</i>	<i>D No.</i>	<i>X1</i>	<i>X2</i>	<i>M</i>	<i>D</i>
<i>Na</i>	<i>NA-54</i>	<i>NA-200</i>	<i>30000</i>	<i>26100</i>	<i>28050</i>	<i>3900</i>
	<i>NA-62</i>	<i>NA-201</i>	<i>6490</i>	<i>6210</i>	<i>6350</i>	<i>280</i>
	<i>NA-13</i>	<i>NA-202</i>	<i>19100</i>	<i>16500</i>	<i>17800</i>	<i>2600</i>
	<i>NA-40</i>	<i>NA-203</i>	<i>1810</i>	<i>1770</i>	<i>1790</i>	<i>40</i>
	<i>NA-7</i>	<i>NA-204</i>	<i>27800</i>	<i>25700</i>	<i>26750</i>	<i>2100</i>
	<i>NA-16</i>	<i>NA-205</i>	<i>20600</i>	<i>17000</i>	<i>18800</i>	<i>3600</i>
	<i>NA-31</i>	<i>NA-206</i>	<i>12300</i>	<i>11300</i>	<i>11800</i>	<i>1000</i>
	<i>NA-35</i>	<i>NA-207</i>	<i>12800</i>	<i>12400</i>	<i>12600</i>	<i>400</i>
	<i>NA-8</i>	<i>NA-208</i>	<i>22500</i>	<i>22600</i>	<i>22550</i>	<i>100</i>
	<i>NA-6A</i>	<i>NA-209</i>	<i>27600</i>	<i>26000</i>	<i>26800</i>	<i>1600</i>

*Table( 1-3 ):Mean and Difference of Duplicated Analaysis of Firouzan's Geochemical Samples*

<i>Variable</i>	<i>Sample No.</i>	<i>D No.</i>	<i>X1</i>	<i>X2</i>	<i>M</i>	<i>D</i>
<i>Nb</i>	<i>NA-54</i>	<i>NA-200</i>	<b>10.4</b>	<b>10.1</b>	<b>10.25</b>	<b>0.3</b>
	<i>NA-62</i>	<i>NA-201</i>	<b>15.4</b>	<b>14.1</b>	<b>14.75</b>	<b>1.3</b>
	<i>NA-13</i>	<i>NA-202</i>	<b>11.3</b>	<b>11.9</b>	<b>11.6</b>	<b>0.6</b>
	<i>NA-40</i>	<i>NA-203</i>	<b>5.8</b>	<b>5.9</b>	<b>5.85</b>	<b>0.1</b>
	<i>NA-7</i>	<i>NA-204</i>	<b>10.5</b>	<b>9.9</b>	<b>10.2</b>	<b>0.6</b>
	<i>NA-16</i>	<i>NA-205</i>	<b>10.3</b>	<b>10.1</b>	<b>10.2</b>	<b>0.2</b>
	<i>NA-31</i>	<i>NA-206</i>	<b>12.1</b>	<b>11.3</b>	<b>11.7</b>	<b>0.8</b>
	<i>NA-35</i>	<i>NA-207</i>	<b>12.6</b>	<b>12.4</b>	<b>12.5</b>	<b>0.2</b>
	<i>NA-8</i>	<i>NA-208</i>	<b>11.3</b>	<b>10.8</b>	<b>11.05</b>	<b>0.5</b>
	<i>NA-6A</i>	<i>NA-209</i>	<b>10.7</b>	<b>10.2</b>	<b>10.45</b>	<b>0.5</b>

<i>Variable</i>	<i>Sample No.</i>	<i>D No.</i>	<i>X1</i>	<i>X2</i>	<i>M</i>	<i>D</i>
<i>Ni</i>	<i>NA-54</i>	<i>NA-200</i>	<b>33</b>	<b>29</b>	<b>31</b>	<b>4</b>
	<i>NA-62</i>	<i>NA-201</i>	<b>126</b>	<b>108</b>	<b>117</b>	<b>18</b>
	<i>NA-13</i>	<i>NA-202</i>	<b>20</b>	<b>18</b>	<b>19</b>	<b>2</b>
	<i>NA-40</i>	<i>NA-203</i>	<b>57</b>	<b>49</b>	<b>53</b>	<b>8</b>
	<i>NA-7</i>	<i>NA-204</i>	<b>12</b>	<b>11</b>	<b>11.5</b>	<b>1</b>
	<i>NA-16</i>	<i>NA-205</i>	<b>25</b>	<b>19</b>	<b>22</b>	<b>6</b>
	<i>NA-31</i>	<i>NA-206</i>	<b>23</b>	<b>21</b>	<b>22</b>	<b>2</b>
	<i>NA-35</i>	<i>NA-207</i>	<b>39</b>	<b>37</b>	<b>38</b>	<b>2</b>
	<i>NA-8</i>	<i>NA-208</i>	<b>19</b>	<b>21</b>	<b>20</b>	<b>2</b>
	<i>NA-6A</i>	<i>NA-209</i>	<b>8</b>	<b>8</b>	<b>8</b>	<b>0</b>

*Table( 1-3 ):Mean and Difference of Duplicated Analaysis of Firouzan's Geochemical Samples*

<i>Variable</i>	<i>Sample No.</i>	<i>D No.</i>	<i>X1</i>	<i>X2</i>	<i>M</i>	<i>D</i>
<i>P</i>	<i>NA-54</i>	<i>NA-200</i>	<b>559</b>	<b>413</b>	<b>486</b>	<b>146</b>
	<i>NA-62</i>	<i>NA-201</i>	<b>749</b>	<b>513</b>	<b>631</b>	<b>236</b>
	<i>NA-13</i>	<i>NA-202</i>	<b>471</b>	<b>439</b>	<b>455</b>	<b>32</b>
	<i>NA-40</i>	<i>NA-203</i>	<b>576</b>	<b>411</b>	<b>493.5</b>	<b>165</b>
	<i>NA-7</i>	<i>NA-204</i>	<b>310</b>	<b>235</b>	<b>272.5</b>	<b>75</b>
	<i>NA-16</i>	<i>NA-205</i>	<b>470</b>	<b>346</b>	<b>408</b>	<b>124</b>
	<i>NA-31</i>	<i>NA-206</i>	<b>562</b>	<b>414</b>	<b>488</b>	<b>148</b>
	<i>NA-35</i>	<i>NA-207</i>	<b>617</b>	<b>512</b>	<b>564.5</b>	<b>105</b>
	<i>NA-8</i>	<i>NA-208</i>	<b>655</b>	<b>616</b>	<b>635.5</b>	<b>39</b>
	<i>NA-6A</i>	<i>NA-209</i>	<b>265</b>	<b>263</b>	<b>264</b>	<b>2</b>

<i>Variable</i>	<i>Sample No.</i>	<i>D No.</i>	<i>X1</i>	<i>X2</i>	<i>M</i>	<i>D</i>
<i>Pb</i>	<i>NA-54</i>	<i>NA-200</i>	<b>11.7</b>	<b>9.6</b>	<b>10.65</b>	<b>2.1</b>
	<i>NA-62</i>	<i>NA-201</i>	<b>17</b>	<b>12.7</b>	<b>14.85</b>	<b>4.3</b>
	<i>NA-13</i>	<i>NA-202</i>	<b>52.7</b>	<b>56.7</b>	<b>54.7</b>	<b>4</b>
	<i>NA-40</i>	<i>NA-203</i>	<b>16.8</b>	<b>13.9</b>	<b>15.35</b>	<b>2.9</b>
	<i>NA-7</i>	<i>NA-204</i>	<b>39.3</b>	<b>38.5</b>	<b>38.9</b>	<b>0.8</b>
	<i>NA-16</i>	<i>NA-205</i>	<b>69.6</b>	<b>64.7</b>	<b>67.15</b>	<b>4.9</b>
	<i>NA-31</i>	<i>NA-206</i>	<b>107</b>	<b>104</b>	<b>105.5</b>	<b>3</b>
	<i>NA-35</i>	<i>NA-207</i>	<b>190</b>	<b>197</b>	<b>193.5</b>	<b>7</b>
	<i>NA-8</i>	<i>NA-208</i>	<b>44.7</b>	<b>47.9</b>	<b>46.3</b>	<b>3.2</b>
	<i>NA-6A</i>	<i>NA-209</i>	<b>28</b>	<b>27.6</b>	<b>27.8</b>	<b>0.4</b>

*Table( 1-3 ):Mean and Difference of Duplicated Analaysis of Firouzan's Geochemical Samples*

<i>Variable</i>	<i>Sample No.</i>	<i>D No.</i>	<i>X1</i>	<i>X2</i>	<i>M</i>	<i>D</i>
<i>Rb</i>	<i>NA-54</i>	<i>NA-200</i>	<i>79.7</i>	<i>79.7</i>	<i>79.7</i>	<i>0</i>
	<i>NA-62</i>	<i>NA-201</i>	<i>82.2</i>	<i>78.7</i>	<i>80.45</i>	<i>3.5</i>
	<i>NA-13</i>	<i>NA-202</i>	<i>163</i>	<i>160</i>	<i>161.5</i>	<i>3</i>
	<i>NA-40</i>	<i>NA-203</i>	<i>50</i>	<i>51.6</i>	<i>50.8</i>	<i>1.6</i>
	<i>NA-7</i>	<i>NA-204</i>	<i>155</i>	<i>119</i>	<i>137</i>	<i>36</i>
	<i>NA-16</i>	<i>NA-205</i>	<i>161</i>	<i>148</i>	<i>154.5</i>	<i>13</i>
	<i>NA-31</i>	<i>NA-206</i>	<i>198</i>	<i>179</i>	<i>188.5</i>	<i>19</i>
	<i>NA-35</i>	<i>NA-207</i>	<i>224</i>	<i>181</i>	<i>202.5</i>	<i>43</i>
	<i>NA-8</i>	<i>NA-208</i>	<i>186</i>	<i>149</i>	<i>167.5</i>	<i>37</i>
	<i>NA-6A</i>	<i>NA-209</i>	<i>154</i>	<i>155</i>	<i>154.5</i>	<i>1</i>

<i>Variable</i>	<i>Sample No.</i>	<i>D No.</i>	<i>X1</i>	<i>X2</i>	<i>M</i>	<i>D</i>
<i>S</i>	<i>NA-54</i>	<i>NA-200</i>	<i>180</i>	<i>70</i>	<i>125</i>	<i>110</i>
	<i>NA-62</i>	<i>NA-201</i>	<i>690</i>	<i>300</i>	<i>495</i>	<i>390</i>
	<i>NA-13</i>	<i>NA-202</i>	<i>200</i>	<i>90</i>	<i>145</i>	<i>110</i>
	<i>NA-40</i>	<i>NA-203</i>	<i>1750</i>	<i>680</i>	<i>1215</i>	<i>1070</i>
	<i>NA-7</i>	<i>NA-204</i>	<i>0</i>	<i>0</i>	<i>0</i>	<i>0</i>
	<i>NA-16</i>	<i>NA-205</i>	<i>150</i>	<i>60</i>	<i>105</i>	<i>90</i>
	<i>NA-31</i>	<i>NA-206</i>	<i>200</i>	<i>80</i>	<i>140</i>	<i>120</i>
	<i>NA-35</i>	<i>NA-207</i>	<i>190</i>	<i>70</i>	<i>130</i>	<i>120</i>
	<i>NA-8</i>	<i>NA-208</i>	<i>90</i>	<i>0</i>	<i>45</i>	<i>90</i>
	<i>NA-6A</i>	<i>NA-209</i>	<i>0</i>	<i>0</i>	<i>0</i>	<i>0</i>

*Table( 1-3 ):Mean and Difference of Duplicated Analaysis of Firouzan's Geochemical Samples*

<i>Variable</i>	<i>Sample No.</i>	<i>D No.</i>	<i>X1</i>	<i>X2</i>	<i>M</i>	<i>D</i>
<i>Sb</i>	<i>NA-54</i>	<i>NA-200</i>	<i>1</i>	<i>1.2</i>	<i>1.1</i>	<i>0.2</i>
	<i>NA-62</i>	<i>NA-201</i>	<i>0.6</i>	<i>0.8</i>	<i>0.7</i>	<i>0.2</i>
	<i>NA-13</i>	<i>NA-202</i>	<i>1.8</i>	<i>2.3</i>	<i>2.05</i>	<i>0.5</i>
	<i>NA-40</i>	<i>NA-203</i>	<i>1</i>	<i>1.2</i>	<i>1.1</i>	<i>0.2</i>
	<i>NA-7</i>	<i>NA-204</i>	<i>0.7</i>	<i>0.9</i>	<i>0.8</i>	<i>0.2</i>
	<i>NA-16</i>	<i>NA-205</i>	<i>1.7</i>	<i>2</i>	<i>1.85</i>	<i>0.3</i>
	<i>NA-31</i>	<i>NA-206</i>	<i>3.2</i>	<i>3.5</i>	<i>3.35</i>	<i>0.3</i>
	<i>NA-35</i>	<i>NA-207</i>	<i>2.6</i>	<i>2.9</i>	<i>2.75</i>	<i>0.3</i>
	<i>NA-8</i>	<i>NA-208</i>	<i>1.2</i>	<i>1.4</i>	<i>1.3</i>	<i>0.2</i>
	<i>NA-6A</i>	<i>NA-209</i>	<i>1</i>	<i>0.9</i>	<i>0.95</i>	<i>0.1</i>

<i>Variable</i>	<i>Sample No.</i>	<i>D No.</i>	<i>X1</i>	<i>X2</i>	<i>M</i>	<i>D</i>
<i>Sc</i>	<i>NA-54</i>	<i>NA-200</i>	<i>15</i>	<i>11</i>	<i>13</i>	<i>4</i>
	<i>NA-62</i>	<i>NA-201</i>	<i>19</i>	<i>14</i>	<i>16.5</i>	<i>5</i>
	<i>NA-13</i>	<i>NA-202</i>	<i>12</i>	<i>9</i>	<i>10.5</i>	<i>3</i>
	<i>NA-40</i>	<i>NA-203</i>	<i>9</i>	<i>7</i>	<i>8</i>	<i>2</i>
	<i>NA-7</i>	<i>NA-204</i>	<i>6</i>	<i>5</i>	<i>5.5</i>	<i>1</i>
	<i>NA-16</i>	<i>NA-205</i>	<i>11</i>	<i>8</i>	<i>9.5</i>	<i>3</i>
	<i>NA-31</i>	<i>NA-206</i>	<i>11</i>	<i>9</i>	<i>10</i>	<i>2</i>
	<i>NA-35</i>	<i>NA-207</i>	<i>16</i>	<i>14</i>	<i>15</i>	<i>2</i>
	<i>NA-8</i>	<i>NA-208</i>	<i>8</i>	<i>7</i>	<i>7.5</i>	<i>1</i>
	<i>NA-6A</i>	<i>NA-209</i>	<i>5</i>	<i>5</i>	<i>5</i>	<i>0</i>

*Table( 1-3 ):Mean and Difference of Duplicated Analaysis of Firouzan's Geochemical Samples*

<i>Variable</i>	<i>Sample No.</i>	<i>D No.</i>	<i>X1</i>	<i>X2</i>	<i>M</i>	<i>D</i>
<i>Sn</i>	<i>NA-54</i>	<i>NA-200</i>	<i>2</i>	<i>1.9</i>	<i>1.95</i>	<i>0.1</i>
	<i>NA-62</i>	<i>NA-201</i>	<i>2.1</i>	<i>1.9</i>	<i>2</i>	<i>0.2</i>
	<i>NA-13</i>	<i>NA-202</i>	<i>2</i>	<i>2.1</i>	<i>2.05</i>	<i>0.1</i>
	<i>NA-40</i>	<i>NA-203</i>	<i>1</i>	<i>1</i>	<i>1</i>	<i>0</i>
	<i>NA-7</i>	<i>NA-204</i>	<i>1.8</i>	<i>1.9</i>	<i>1.85</i>	<i>0.1</i>
	<i>NA-16</i>	<i>NA-205</i>	<i>1.9</i>	<i>1.9</i>	<i>1.9</i>	<i>0</i>
	<i>NA-31</i>	<i>NA-206</i>	<i>2.2</i>	<i>2.1</i>	<i>2.15</i>	<i>0.1</i>
	<i>NA-35</i>	<i>NA-207</i>	<i>2.1</i>	<i>2.2</i>	<i>2.15</i>	<i>0.1</i>
	<i>NA-8</i>	<i>NA-208</i>	<i>1.9</i>	<i>2.2</i>	<i>2.05</i>	<i>0.3</i>
	<i>NA-6A</i>	<i>NA-209</i>	<i>1.8</i>	<i>1.8</i>	<i>1.8</i>	<i>0</i>

<i>Variable</i>	<i>Sample No.</i>	<i>D No.</i>	<i>X1</i>	<i>X2</i>	<i>M</i>	<i>D</i>
<i>Sr</i>	<i>NA-54</i>	<i>NA-200</i>	<i>144</i>	<i>128</i>	<i>136</i>	<i>16</i>
	<i>NA-62</i>	<i>NA-201</i>	<i>208</i>	<i>190</i>	<i>199</i>	<i>18</i>
	<i>NA-13</i>	<i>NA-202</i>	<i>123</i>	<i>100</i>	<i>111.5</i>	<i>23</i>
	<i>NA-40</i>	<i>NA-203</i>	<i>293</i>	<i>254</i>	<i>273.5</i>	<i>39</i>
	<i>NA-7</i>	<i>NA-204</i>	<i>118</i>	<i>106</i>	<i>112</i>	<i>12</i>
	<i>NA-16</i>	<i>NA-205</i>	<i>109</i>	<i>91.8</i>	<i>100.4</i>	<i>17.2</i>
	<i>NA-31</i>	<i>NA-206</i>	<i>87.3</i>	<i>78.3</i>	<i>82.8</i>	<i>9</i>
	<i>NA-35</i>	<i>NA-207</i>	<i>129</i>	<i>122</i>	<i>125.5</i>	<i>7</i>
	<i>NA-8</i>	<i>NA-208</i>	<i>107</i>	<i>106</i>	<i>106.5</i>	<i>1</i>
	<i>NA-6A</i>	<i>NA-209</i>	<i>116</i>	<i>112</i>	<i>114</i>	<i>4</i>

*Table( 1-3 ):Mean and Difference of Duplicated Analaysis of Firouzan's Geochemical Samples*

<i>Variable</i>	<i>Sample No.</i>	<i>D No.</i>	<i>X1</i>	<i>X2</i>	<i>M</i>	<i>D</i>
<i>Th</i>	<i>NA-54</i>	<i>NA-200</i>	<i>7.98</i>	<i>7.4</i>	<i>7.69</i>	<i>0.58</i>
	<i>NA-62</i>	<i>NA-201</i>	<i>7.54</i>	<i>6.58</i>	<i>7.06</i>	<i>0.96</i>
	<i>NA-13</i>	<i>NA-202</i>	<i>7.99</i>	<i>6.57</i>	<i>7.28</i>	<i>1.42</i>
	<i>NA-40</i>	<i>NA-203</i>	<i>4.25</i>	<i>4.32</i>	<i>4.285</i>	<i>0.07</i>
	<i>NA-7</i>	<i>NA-204</i>	<i>11.2</i>	<i>12</i>	<i>11.6</i>	<i>0.8</i>
	<i>NA-16</i>	<i>NA-205</i>	<i>7.53</i>	<i>6.43</i>	<i>6.98</i>	<i>1.1</i>
	<i>NA-31</i>	<i>NA-206</i>	<i>8.77</i>	<i>7.92</i>	<i>8.345</i>	<i>0.85</i>
	<i>NA-35</i>	<i>NA-207</i>	<i>7.96</i>	<i>6.45</i>	<i>7.205</i>	<i>1.51</i>
	<i>NA-8</i>	<i>NA-208</i>	<i>9.77</i>	<i>8.99</i>	<i>9.38</i>	<i>0.78</i>
	<i>NA-6A</i>	<i>NA-209</i>	<i>10.9</i>	<i>10.9</i>	<i>10.9</i>	<i>0</i>

<i>Variable</i>	<i>Sample No.</i>	<i>D No.</i>	<i>X1</i>	<i>X2</i>	<i>M</i>	<i>D</i>
<i>Ti</i>	<i>NA-54</i>	<i>NA-200</i>	<i>4500</i>	<i>3850</i>	<i>4175</i>	<i>650</i>
	<i>NA-62</i>	<i>NA-201</i>	<i>6470</i>	<i>5210</i>	<i>5840</i>	<i>1260</i>
	<i>NA-13</i>	<i>NA-202</i>	<i>4230</i>	<i>3590</i>	<i>3910</i>	<i>640</i>
	<i>NA-40</i>	<i>NA-203</i>	<i>2390</i>	<i>2140</i>	<i>2265</i>	<i>250</i>
	<i>NA-7</i>	<i>NA-204</i>	<i>2670</i>	<i>2120</i>	<i>2395</i>	<i>550</i>
	<i>NA-16</i>	<i>NA-205</i>	<i>4040</i>	<i>3270</i>	<i>3655</i>	<i>770</i>
	<i>NA-31</i>	<i>NA-206</i>	<i>3900</i>	<i>3310</i>	<i>3605</i>	<i>590</i>
	<i>NA-35</i>	<i>NA-207</i>	<i>5530</i>	<i>5140</i>	<i>5335</i>	<i>390</i>
	<i>NA-8</i>	<i>NA-208</i>	<i>3400</i>	<i>2980</i>	<i>3190</i>	<i>420</i>
	<i>NA-6A</i>	<i>NA-209</i>	<i>2610</i>	<i>2350</i>	<i>2480</i>	<i>260</i>

*Table( 1-3 ):Mean and Difference of Duplicated Analaysis of Firouzan's Geochemical Samples*

<i>Variable</i>	<i>Sample No.</i>	<i>D No.</i>	<i>X1</i>	<i>X2</i>	<i>M</i>	<i>D</i>
<i>Tl</i>	<i>NA-54</i>	<i>NA-200</i>	<i>0.4</i>	<i>0.3</i>	<i>0.35</i>	<i>0.1</i>
	<i>NA-62</i>	<i>NA-201</i>	<i>0.4</i>	<i>0.4</i>	<i>0.4</i>	<i>0</i>
	<i>NA-13</i>	<i>NA-202</i>	<i>1.5</i>	<i>1.4</i>	<i>1.45</i>	<i>0.1</i>
	<i>NA-40</i>	<i>NA-203</i>	<i>0.3</i>	<i>0.3</i>	<i>0.3</i>	<i>0</i>
	<i>NA-7</i>	<i>NA-204</i>	<i>1.2</i>	<i>1.1</i>	<i>1.15</i>	<i>0.1</i>
	<i>NA-16</i>	<i>NA-205</i>	<i>1.5</i>	<i>1.3</i>	<i>1.4</i>	<i>0.2</i>
	<i>NA-31</i>	<i>NA-206</i>	<i>1.8</i>	<i>1.7</i>	<i>1.75</i>	<i>0.1</i>
	<i>NA-35</i>	<i>NA-207</i>	<i>2</i>	<i>1.9</i>	<i>1.95</i>	<i>0.1</i>
	<i>NA-8</i>	<i>NA-208</i>	<i>1.7</i>	<i>1.6</i>	<i>1.65</i>	<i>0.1</i>
	<i>NA-6A</i>	<i>NA-209</i>	<i>1.2</i>	<i>1.3</i>	<i>1.25</i>	<i>0.1</i>

<i>Variable</i>	<i>Sample No.</i>	<i>D No.</i>	<i>X1</i>	<i>X2</i>	<i>M</i>	<i>D</i>
<i>U</i>	<i>NA-54</i>	<i>NA-200</i>	<i>1.69</i>	<i>1.17</i>	<i>1.43</i>	<i>0.52</i>
	<i>NA-62</i>	<i>NA-201</i>	<i>1.42</i>	<i>1.04</i>	<i>1.23</i>	<i>0.38</i>
	<i>NA-13</i>	<i>NA-202</i>	<i>2.11</i>	<i>1.55</i>	<i>1.83</i>	<i>0.56</i>
	<i>NA-40</i>	<i>NA-203</i>	<i>1.77</i>	<i>1.64</i>	<i>1.705</i>	<i>0.13</i>
	<i>NA-7</i>	<i>NA-204</i>	<i>2.08</i>	<i>2</i>	<i>2.04</i>	<i>0.08</i>
	<i>NA-16</i>	<i>NA-205</i>	<i>1.88</i>	<i>1.36</i>	<i>1.62</i>	<i>0.52</i>
	<i>NA-31</i>	<i>NA-206</i>	<i>2.31</i>	<i>1.78</i>	<i>2.045</i>	<i>0.53</i>
	<i>NA-35</i>	<i>NA-207</i>	<i>2.21</i>	<i>1.61</i>	<i>1.91</i>	<i>0.6</i>
	<i>NA-8</i>	<i>NA-208</i>	<i>2.28</i>	<i>1.9</i>	<i>2.09</i>	<i>0.38</i>
	<i>NA-6A</i>	<i>NA-209</i>	<i>1.95</i>	<i>1.88</i>	<i>1.915</i>	<i>0.07</i>

*Table( 1-3 ):Mean and Difference of Duplicated Analaysis of Firouzan's Geochemical Samples*

<i>Variable</i>	<i>Sample No.</i>	<i>D No.</i>	<i>X1</i>	<i>X2</i>	<i>M</i>	<i>D</i>
<i>V</i>	<i>NA-54</i>	<i>NA-200</i>	<i>79</i>	<i>72</i>	<i>75.5</i>	<i>7</i>
	<i>NA-62</i>	<i>NA-201</i>	<i>129</i>	<i>115</i>	<i>122</i>	<i>14</i>
	<i>NA-13</i>	<i>NA-202</i>	<i>61</i>	<i>58</i>	<i>59.5</i>	<i>3</i>
	<i>NA-40</i>	<i>NA-203</i>	<i>56</i>	<i>52</i>	<i>54</i>	<i>4</i>
	<i>NA-7</i>	<i>NA-204</i>	<i>31</i>	<i>30</i>	<i>30.5</i>	<i>1</i>
	<i>NA-16</i>	<i>NA-205</i>	<i>64</i>	<i>54</i>	<i>59</i>	<i>10</i>
	<i>NA-31</i>	<i>NA-206</i>	<i>65</i>	<i>64</i>	<i>64.5</i>	<i>1</i>
	<i>NA-35</i>	<i>NA-207</i>	<i>91</i>	<i>93</i>	<i>92</i>	<i>2</i>
	<i>NA-8</i>	<i>NA-208</i>	<i>44</i>	<i>48</i>	<i>46</i>	<i>4</i>
	<i>NA-6A</i>	<i>NA-209</i>	<i>30</i>	<i>29</i>	<i>29.5</i>	<i>1</i>

<i>Variable</i>	<i>Sample No.</i>	<i>D No.</i>	<i>X1</i>	<i>X2</i>	<i>M</i>	<i>D</i>
<i>W</i>	<i>NA-54</i>	<i>NA-200</i>	<i>0.8</i>	<i>1.2</i>	<i>1</i>	<i>0.4</i>
	<i>NA-62</i>	<i>NA-201</i>	<i>0.4</i>	<i>0.8</i>	<i>0.6</i>	<i>0.4</i>
	<i>NA-13</i>	<i>NA-202</i>	<i>0.7</i>	<i>1.1</i>	<i>0.9</i>	<i>0.4</i>
	<i>NA-40</i>	<i>NA-203</i>	<i>0.4</i>	<i>0.4</i>	<i>0.4</i>	<i>0</i>
	<i>NA-7</i>	<i>NA-204</i>	<i>0.7</i>	<i>0.9</i>	<i>0.8</i>	<i>0.2</i>
	<i>NA-16</i>	<i>NA-205</i>	<i>0.5</i>	<i>1.8</i>	<i>1.15</i>	<i>1.3</i>
	<i>NA-31</i>	<i>NA-206</i>	<i>0.8</i>	<i>0.9</i>	<i>0.85</i>	<i>0.1</i>
	<i>NA-35</i>	<i>NA-207</i>	<i>0.6</i>	<i>0.9</i>	<i>0.75</i>	<i>0.3</i>
	<i>NA-8</i>	<i>NA-208</i>	<i>0.7</i>	<i>0.8</i>	<i>0.75</i>	<i>0.1</i>
	<i>NA-6A</i>	<i>NA-209</i>	<i>0.7</i>	<i>0.6</i>	<i>0.65</i>	<i>0.1</i>

*Table( 1-3 ):Mean and Difference of Duplicated Analaysis of Firouzan's Geochemical Samples*

<i>Variable</i>	<i>Sample No.</i>	<i>D No.</i>	<i>X1</i>	<i>X2</i>	<i>M</i>	<i>D</i>
<i>Y</i>	<i>NA-54</i>	<i>NA-200</i>	<i>21.7</i>	<i>17.1</i>	<i>19.4</i>	<i>4.6</i>
	<i>NA-62</i>	<i>NA-201</i>	<i>16.3</i>	<i>12.8</i>	<i>14.55</i>	<i>3.5</i>
	<i>NA-13</i>	<i>NA-202</i>	<i>21.5</i>	<i>16.7</i>	<i>19.1</i>	<i>4.8</i>
	<i>NA-40</i>	<i>NA-203</i>	<i>16.1</i>	<i>14.3</i>	<i>15.2</i>	<i>1.8</i>
	<i>NA-7</i>	<i>NA-204</i>	<i>17.4</i>	<i>15.1</i>	<i>16.25</i>	<i>2.3</i>
	<i>NA-16</i>	<i>NA-205</i>	<i>18.8</i>	<i>14.8</i>	<i>16.8</i>	<i>4</i>
	<i>NA-31</i>	<i>NA-206</i>	<i>18.1</i>	<i>13.4</i>	<i>15.75</i>	<i>4.7</i>
	<i>NA-35</i>	<i>NA-207</i>	<i>22.6</i>	<i>16.9</i>	<i>19.75</i>	<i>5.7</i>
	<i>NA-8</i>	<i>NA-208</i>	<i>17.4</i>	<i>13.8</i>	<i>15.6</i>	<i>3.6</i>
	<i>NA-6A</i>	<i>NA-209</i>	<i>13.2</i>	<i>13.3</i>	<i>13.25</i>	<i>0.1</i>

<i>Variable</i>	<i>Sample No.</i>	<i>D No.</i>	<i>X1</i>	<i>X2</i>	<i>M</i>	<i>D</i>
<i>Zn</i>	<i>NA-54</i>	<i>NA-200</i>	<i>80.1</i>	<i>89.9</i>	<i>85</i>	<i>9.8</i>
	<i>NA-62</i>	<i>NA-201</i>	<i>83.2</i>	<i>91.1</i>	<i>87.15</i>	<i>7.9</i>
	<i>NA-13</i>	<i>NA-202</i>	<i>170</i>	<i>191</i>	<i>180.5</i>	<i>21</i>
	<i>NA-40</i>	<i>NA-203</i>	<i>49.4</i>	<i>73.8</i>	<i>61.6</i>	<i>24.4</i>
	<i>NA-7</i>	<i>NA-204</i>	<i>118</i>	<i>139</i>	<i>128.5</i>	<i>21</i>
	<i>NA-16</i>	<i>NA-205</i>	<i>244</i>	<i>262</i>	<i>253</i>	<i>18</i>
	<i>NA-31</i>	<i>NA-206</i>	<i>277</i>	<i>313</i>	<i>295</i>	<i>36</i>
	<i>NA-35</i>	<i>NA-207</i>	<i>482</i>	<i>548</i>	<i>515</i>	<i>66</i>
	<i>NA-8</i>	<i>NA-208</i>	<i>135</i>	<i>170</i>	<i>152.5</i>	<i>35</i>
	<i>NA-6A</i>	<i>NA-209</i>	<i>95.3</i>	<i>103</i>	<i>99.15</i>	<i>7.7</i>

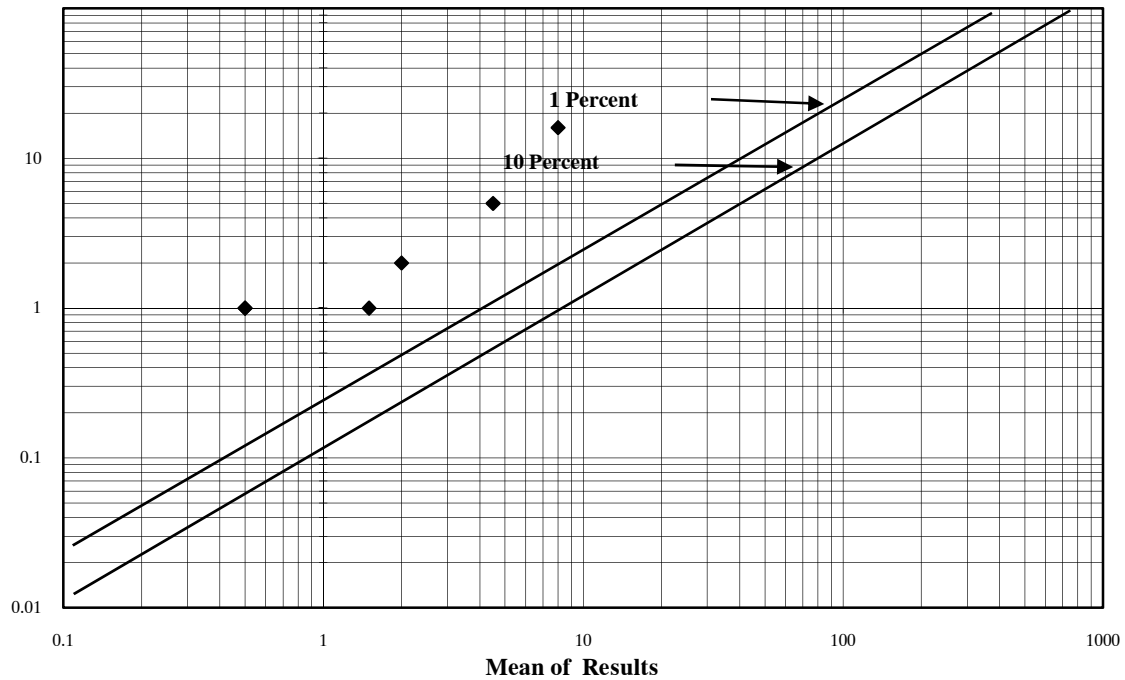
*Table( 1-3 ):Mean and Difference of Duplicated Analaysis of Firouzan's Geochemical Samples*

<i>Variable</i>	<i>Sample No.</i>	<i>D No.</i>	<i>X1</i>	<i>X2</i>	<i>M</i>	<i>D</i>
<i>Zr</i>	<i>NA-54</i>	<i>NA-200</i>	<b>116</b>	<b>26</b>	<b>71</b>	<b>90</b>
	<i>NA-62</i>	<i>NA-201</i>	<b>89</b>	<b>32</b>	<b>60.5</b>	<b>57</b>
	<i>NA-13</i>	<i>NA-202</i>	<b>146</b>	<b>39</b>	<b>92.5</b>	<b>107</b>
	<i>NA-40</i>	<i>NA-203</i>	<b>46</b>	<b>40</b>	<b>43</b>	<b>6</b>
	<i>NA-7</i>	<i>NA-204</i>	<b>54</b>	<b>15</b>	<b>34.5</b>	<b>39</b>
	<i>NA-16</i>	<i>NA-205</i>	<b>136</b>	<b>35</b>	<b>85.5</b>	<b>101</b>
	<i>NA-31</i>	<i>NA-206</i>	<b>147</b>	<b>42</b>	<b>94.5</b>	<b>105</b>
	<i>NA-35</i>	<i>NA-207</i>	<b>167</b>	<b>59</b>	<b>113</b>	<b>108</b>
	<i>NA-8</i>	<i>NA-208</i>	<b>101</b>	<b>43</b>	<b>72</b>	<b>58</b>
	<i>NA-6A</i>	<i>NA-209</i>	<b>28</b>	<b>26</b>	<b>27</b>	<b>2</b>

شکل (۱-۳): دیاگرام تامپسون نمونه‌های ژئوشیمی محدوده ۱:۲۵۰۰۰ فیروزان

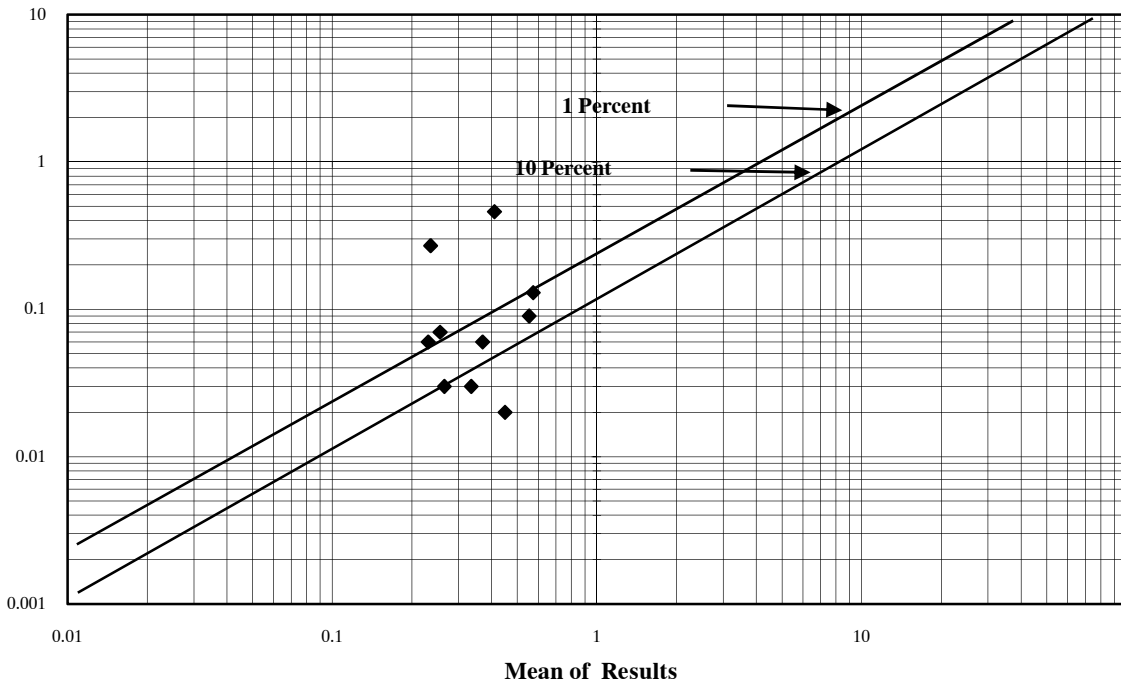
*Thompson Diagram for Au*

Difference between Results

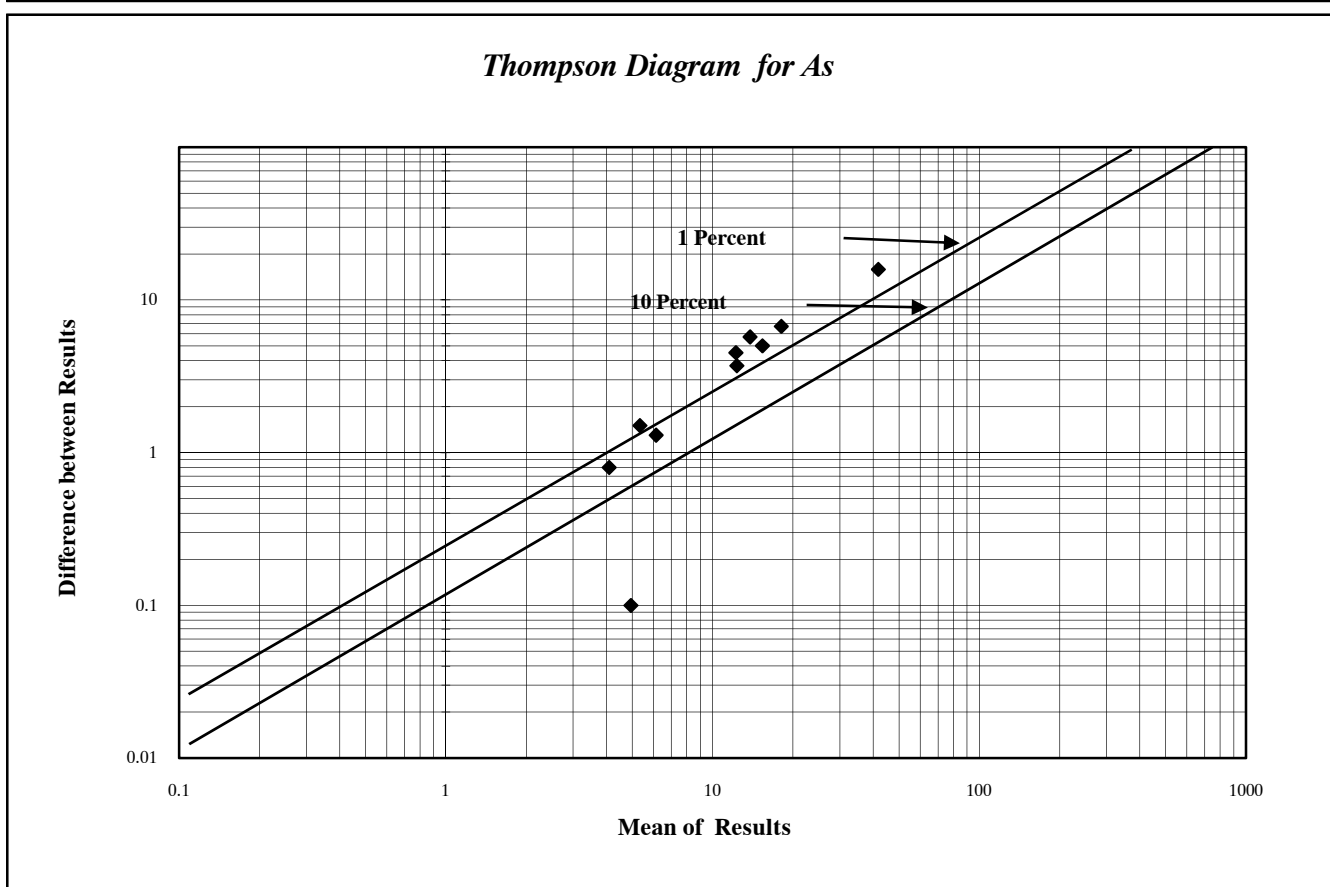
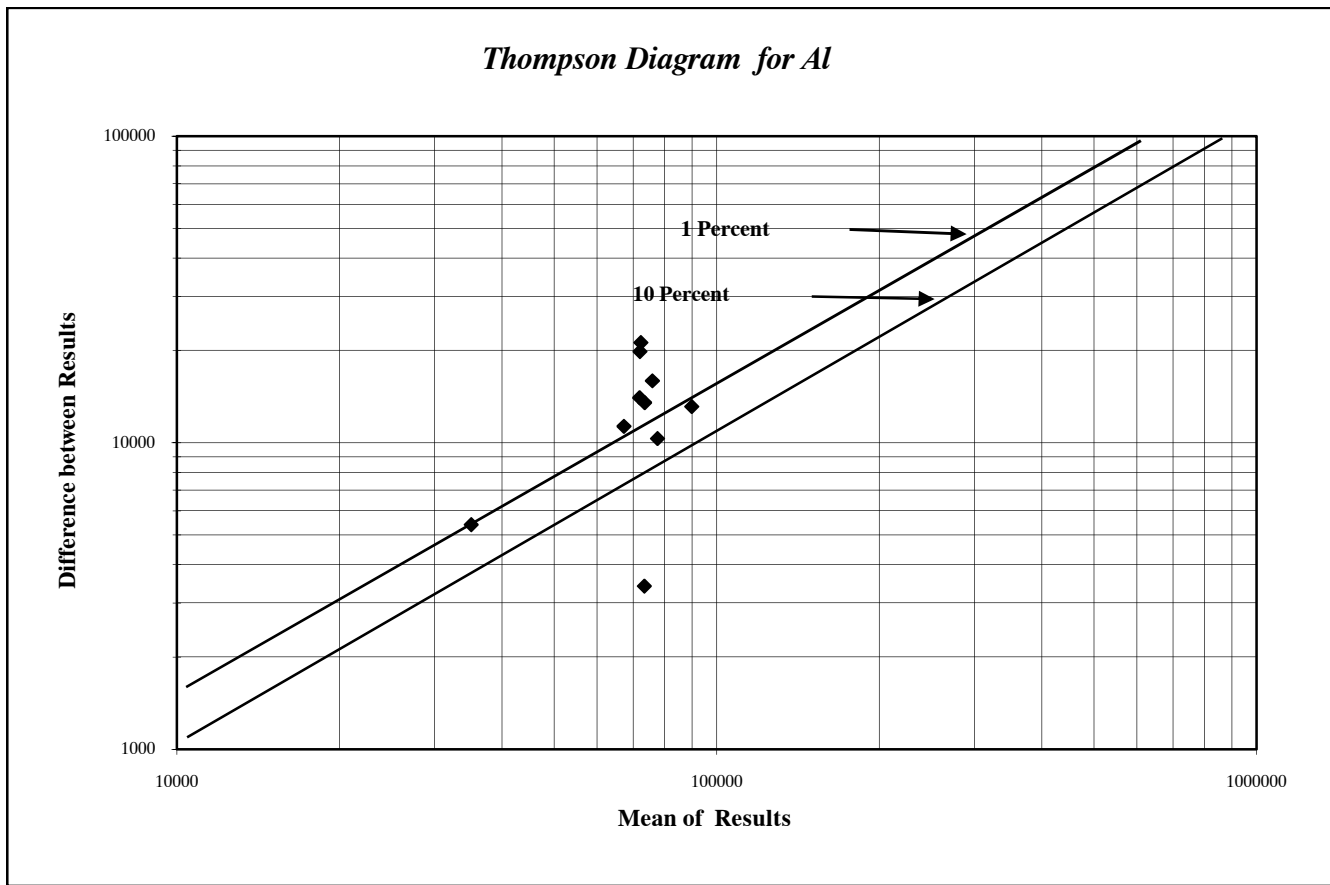


*Thompson Diagram for Ag*

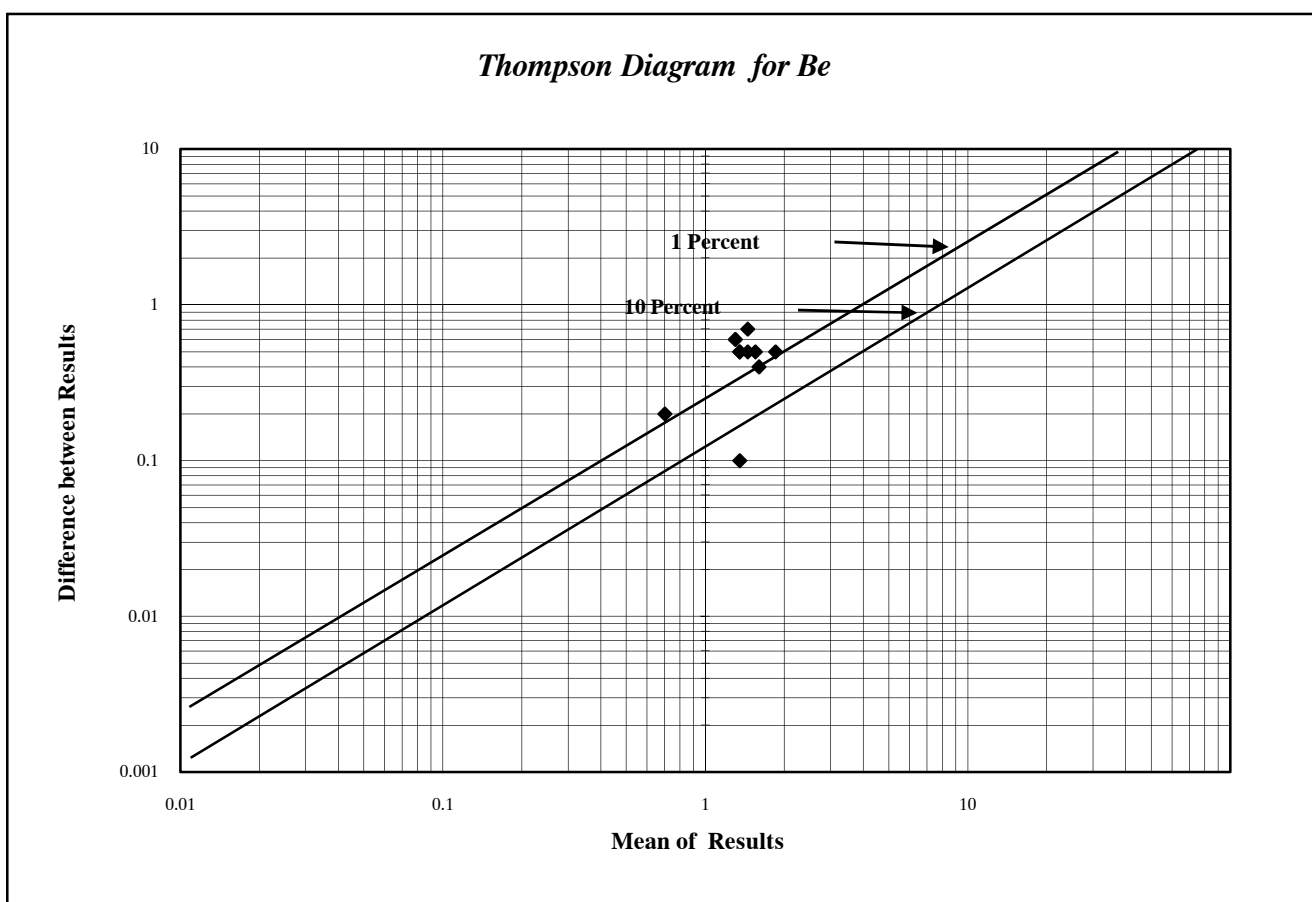
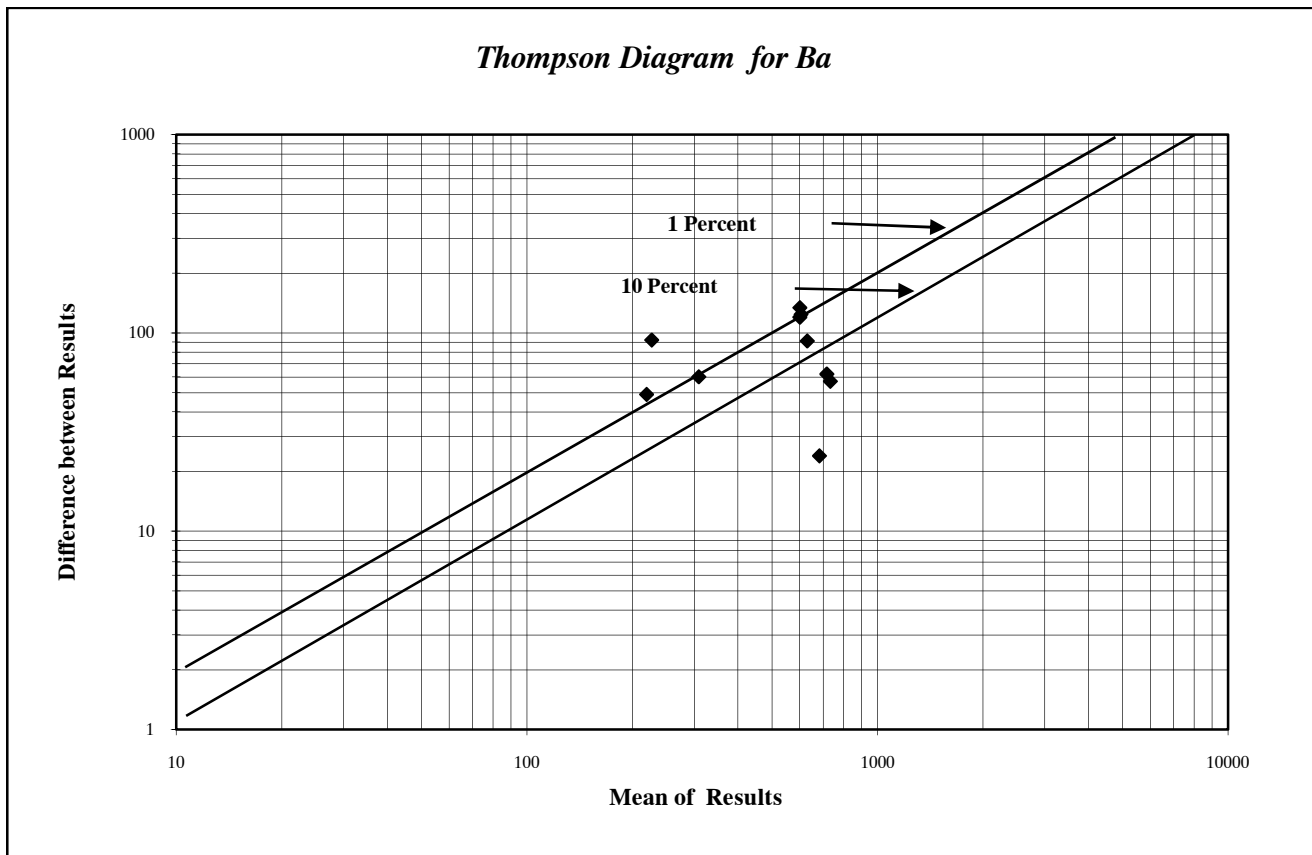
Difference between Results



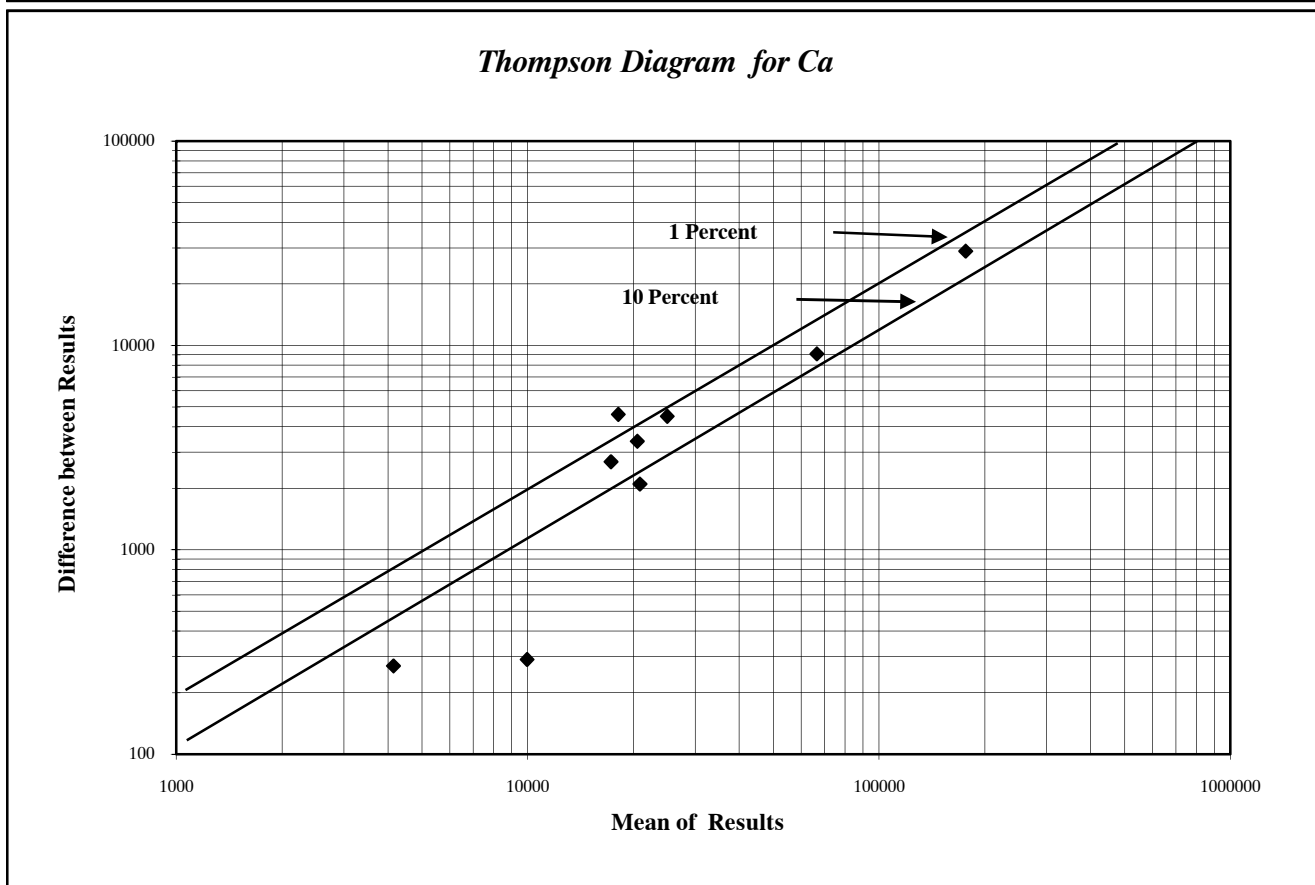
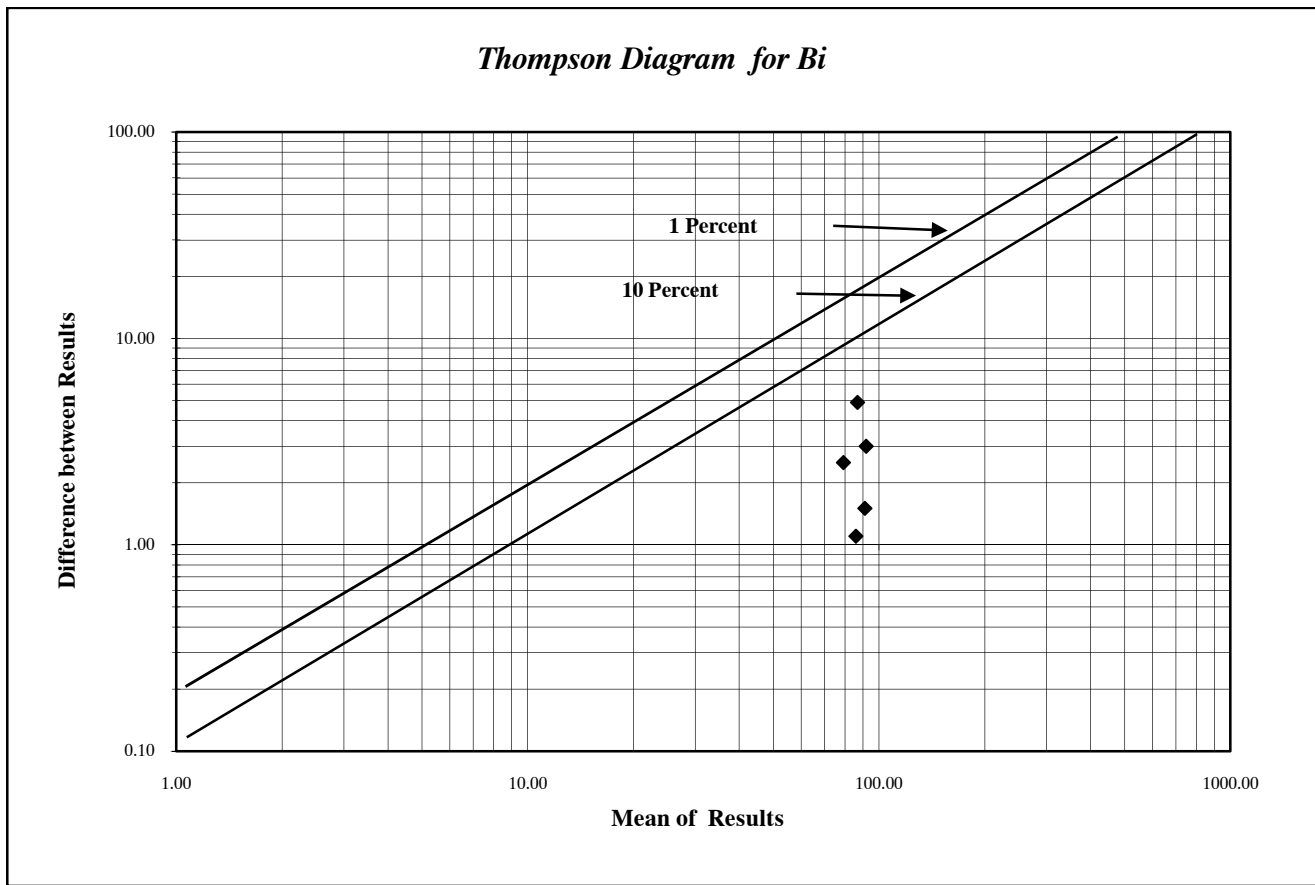
شکل (۳-۲): دیاگرام تامپسون نمونه‌های ژئوشیمی محدوده ۱:۲۵۰۰۰ فیروزان



شکل (۳-۳): دیاگرام تامپسون نمونه‌های ژئوشیمی محدوده ۱:۲۵۰۰۰ فیروزان



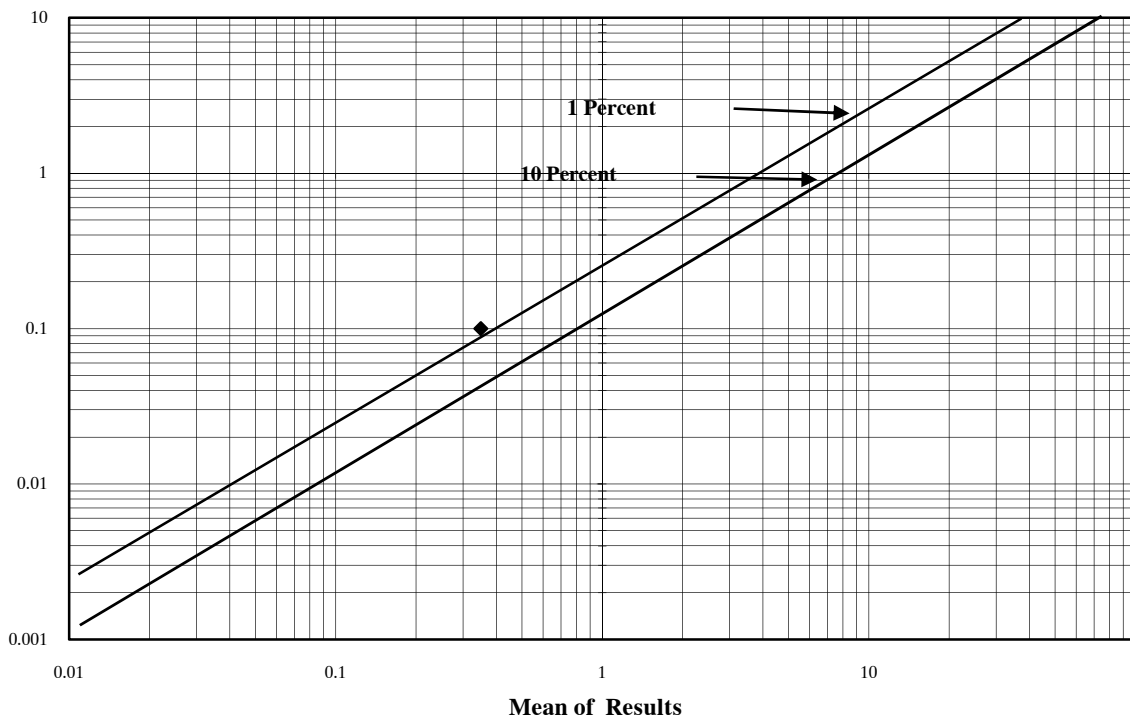
شکل (۳-۴): دیاگرام تامپسون نمونه‌های ژئوشیمی محدوده ۱:۲۵۰۰۰ فیروزان



شکل (۳-۵): دیاگرام تامپسون نمونه‌های ژئوشیمی محدوده ۱:۲۵۰۰۰ فیروزان

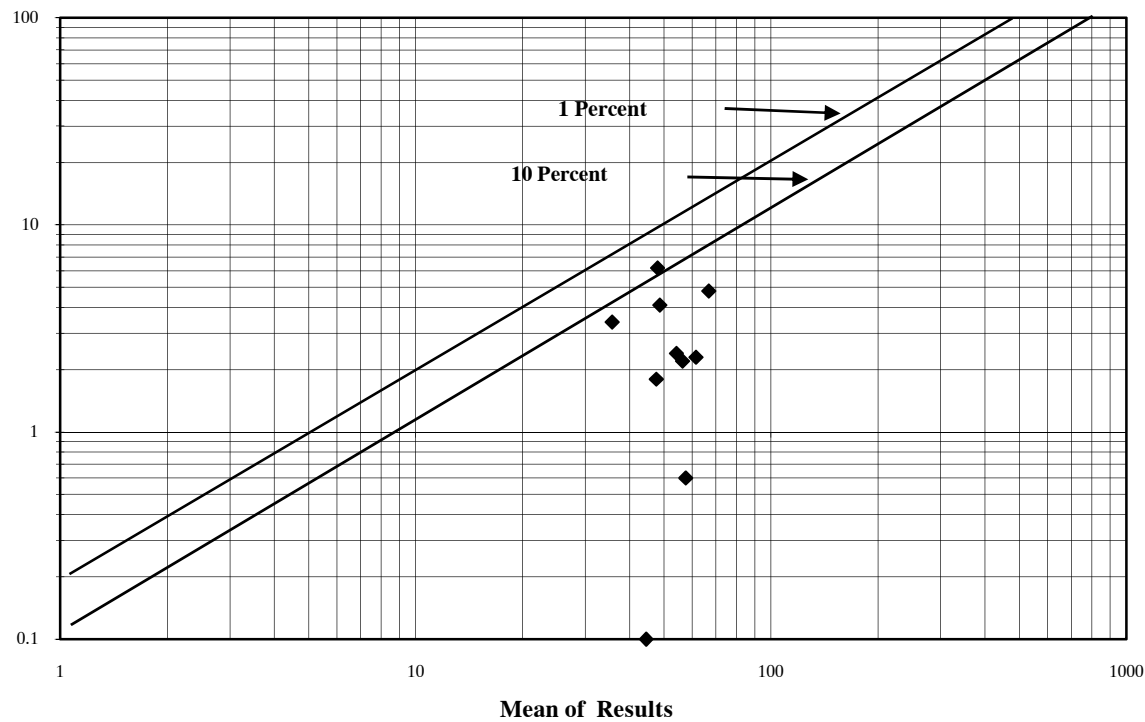
*Thompson Diagram for Cd*

Difference between Results

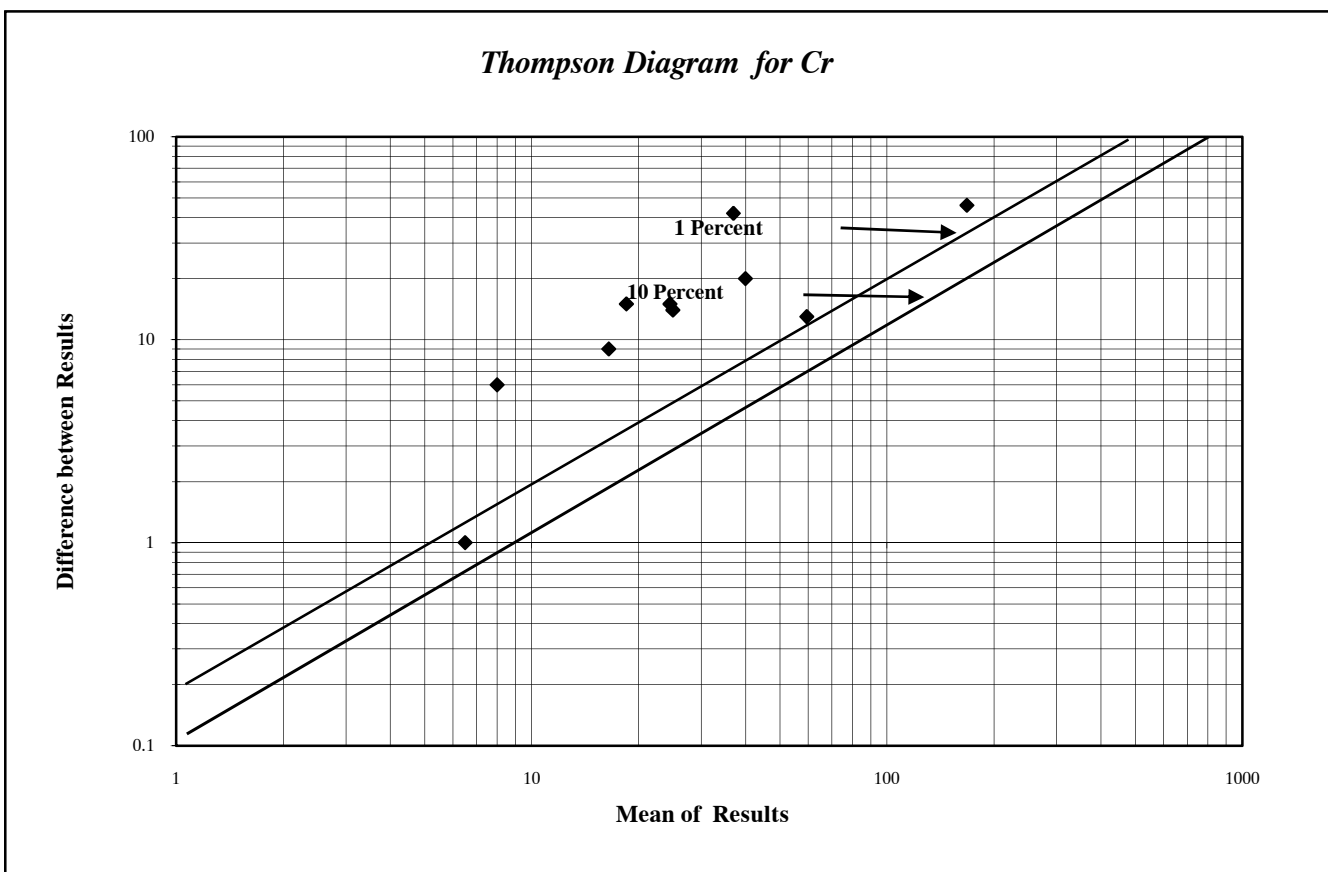
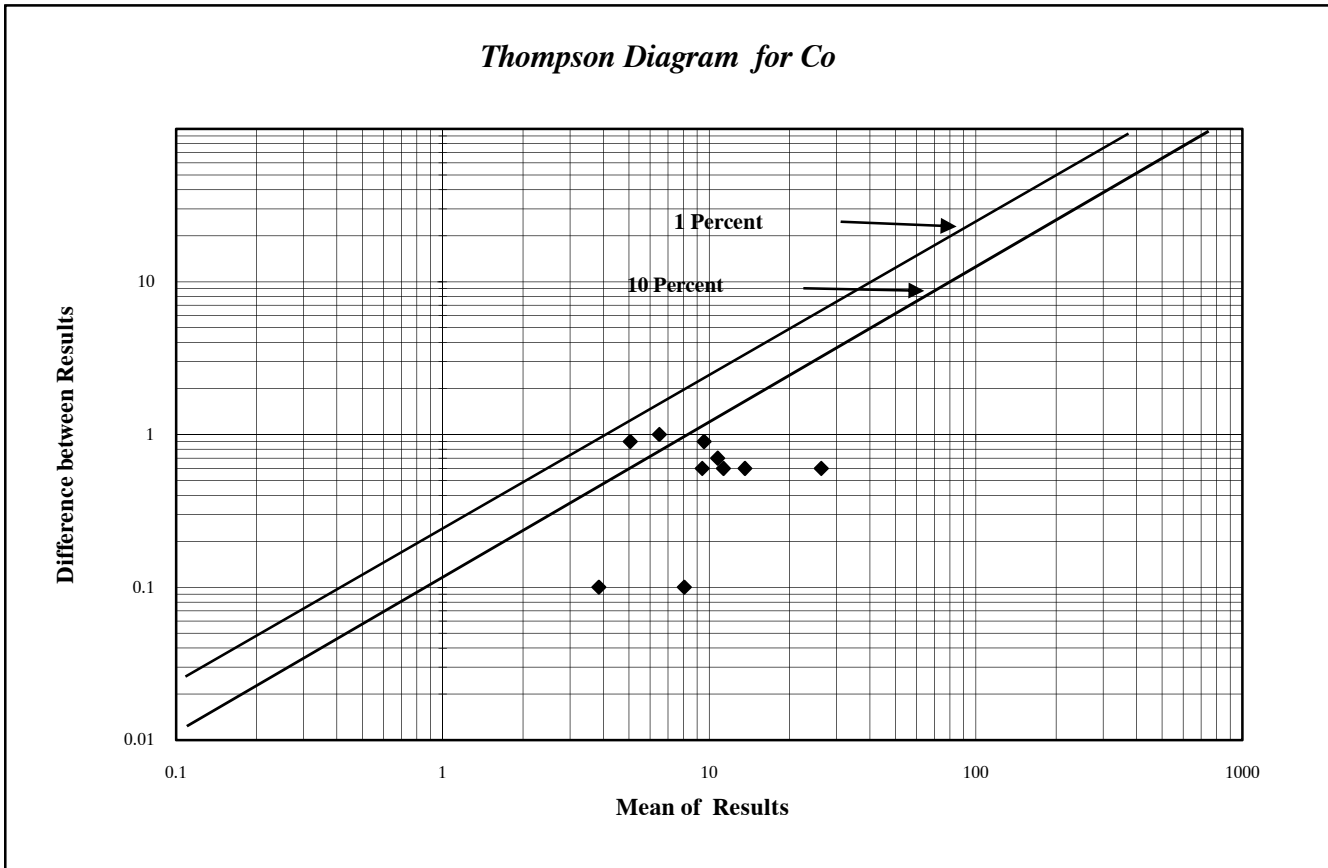


*Thompson Diagram for Ce*

Difference between Results

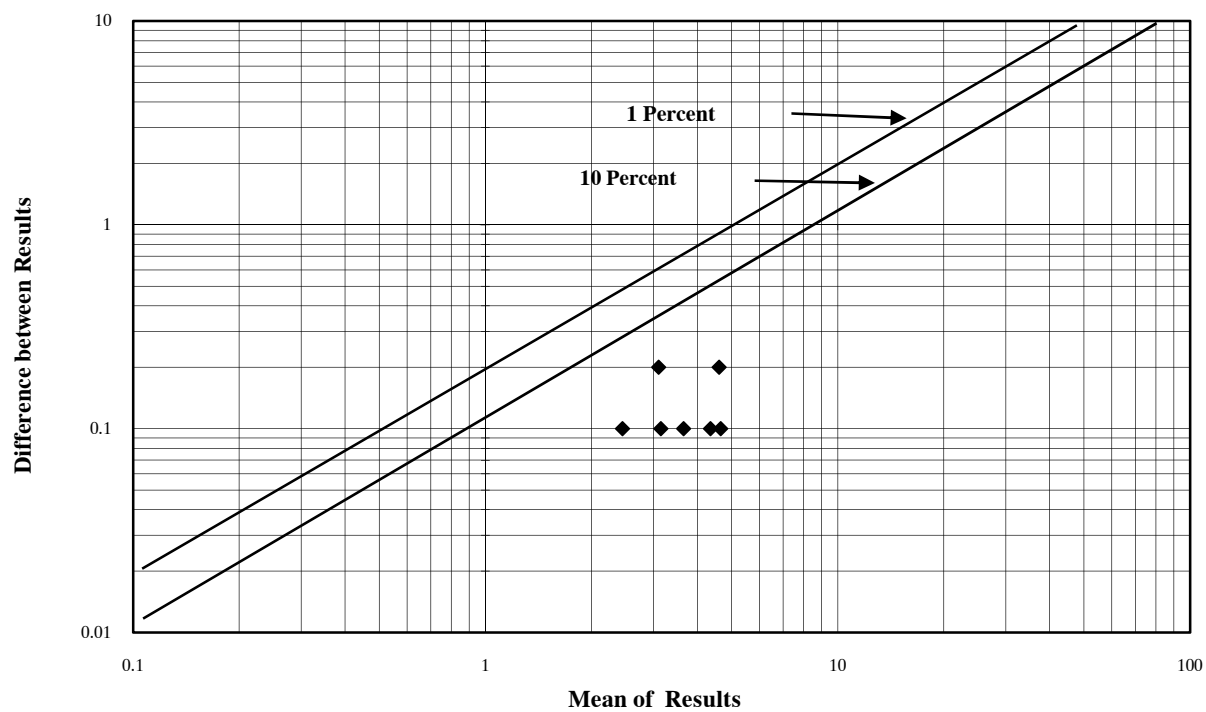


شکل (۳-۶): دیاگرام تامپسون نمونه‌های ژئوشیمی محدوده ۱:۲۵۰۰۰ فیروزان

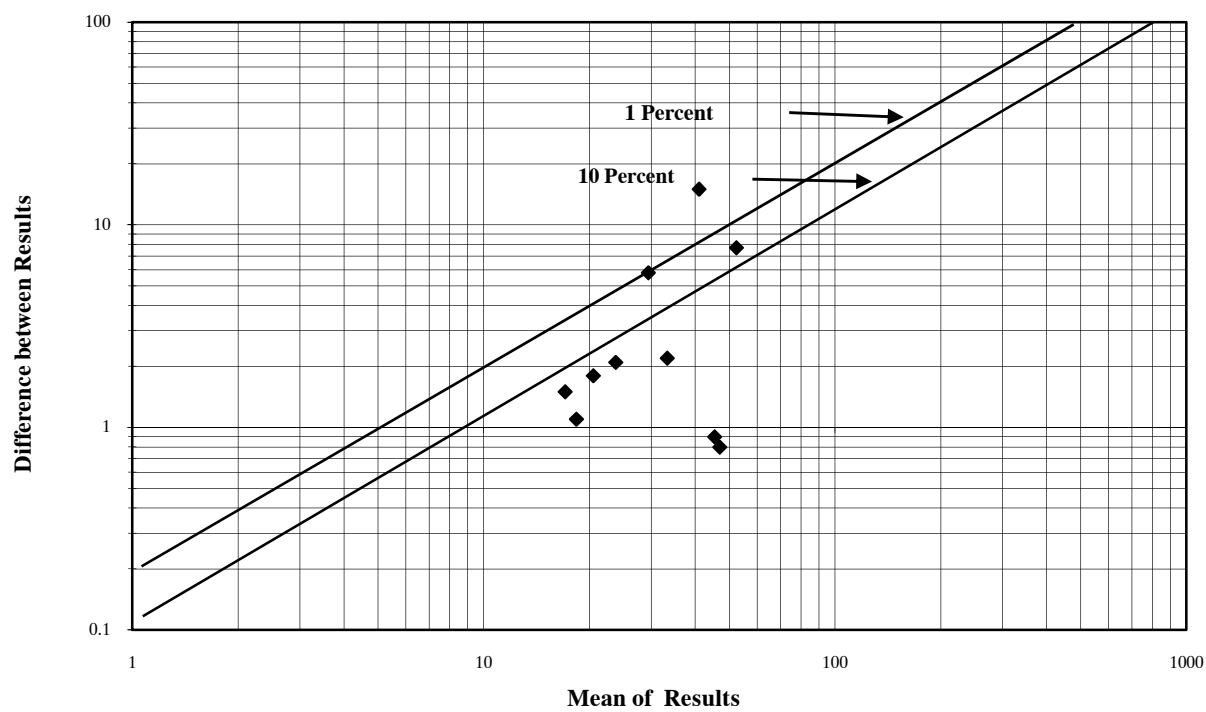


شکل (۳-۷): دیاگرام تامپسون نمونه‌های ژئوشیمی محدوده ۱:۲۵۰۰۰ فیروزان

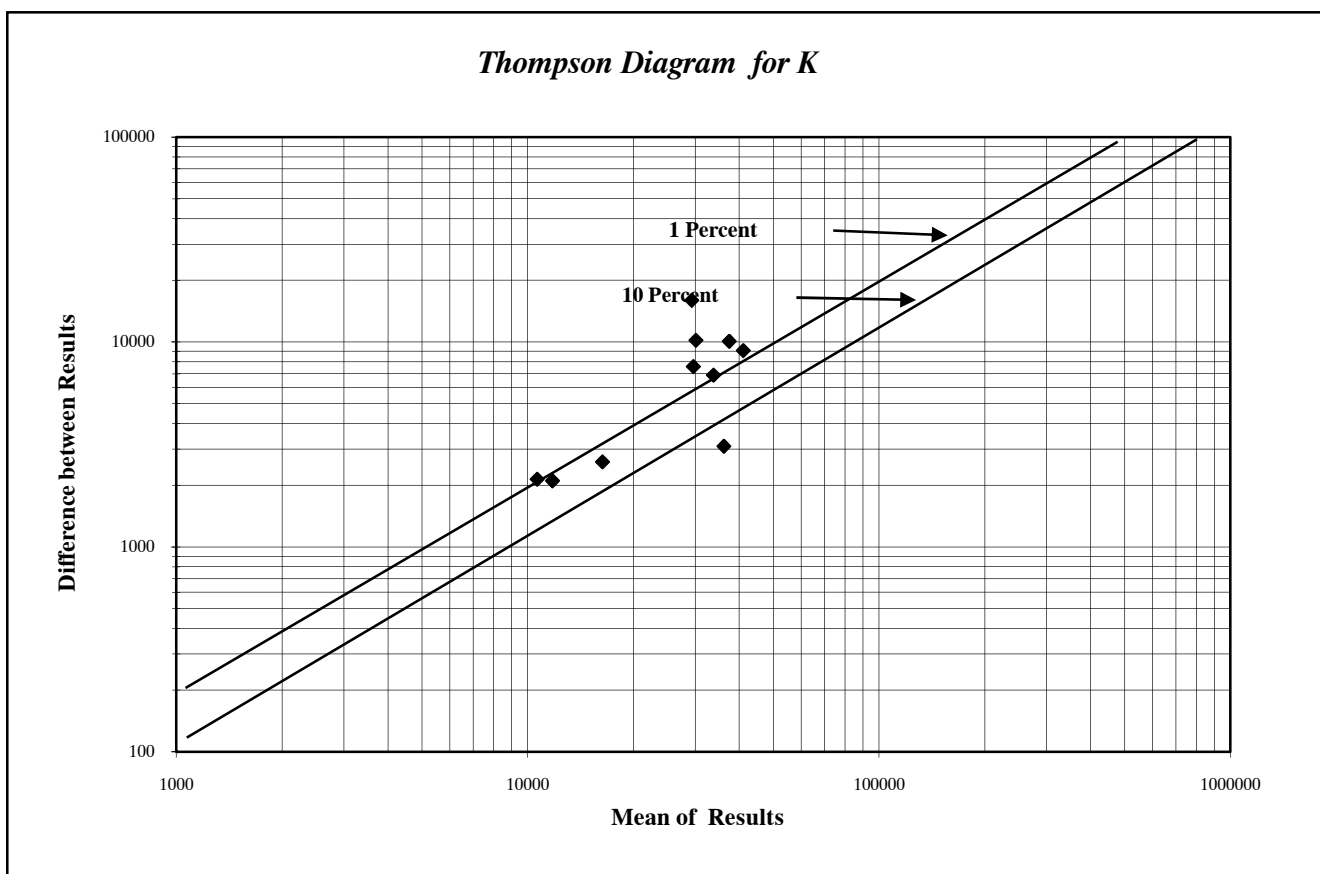
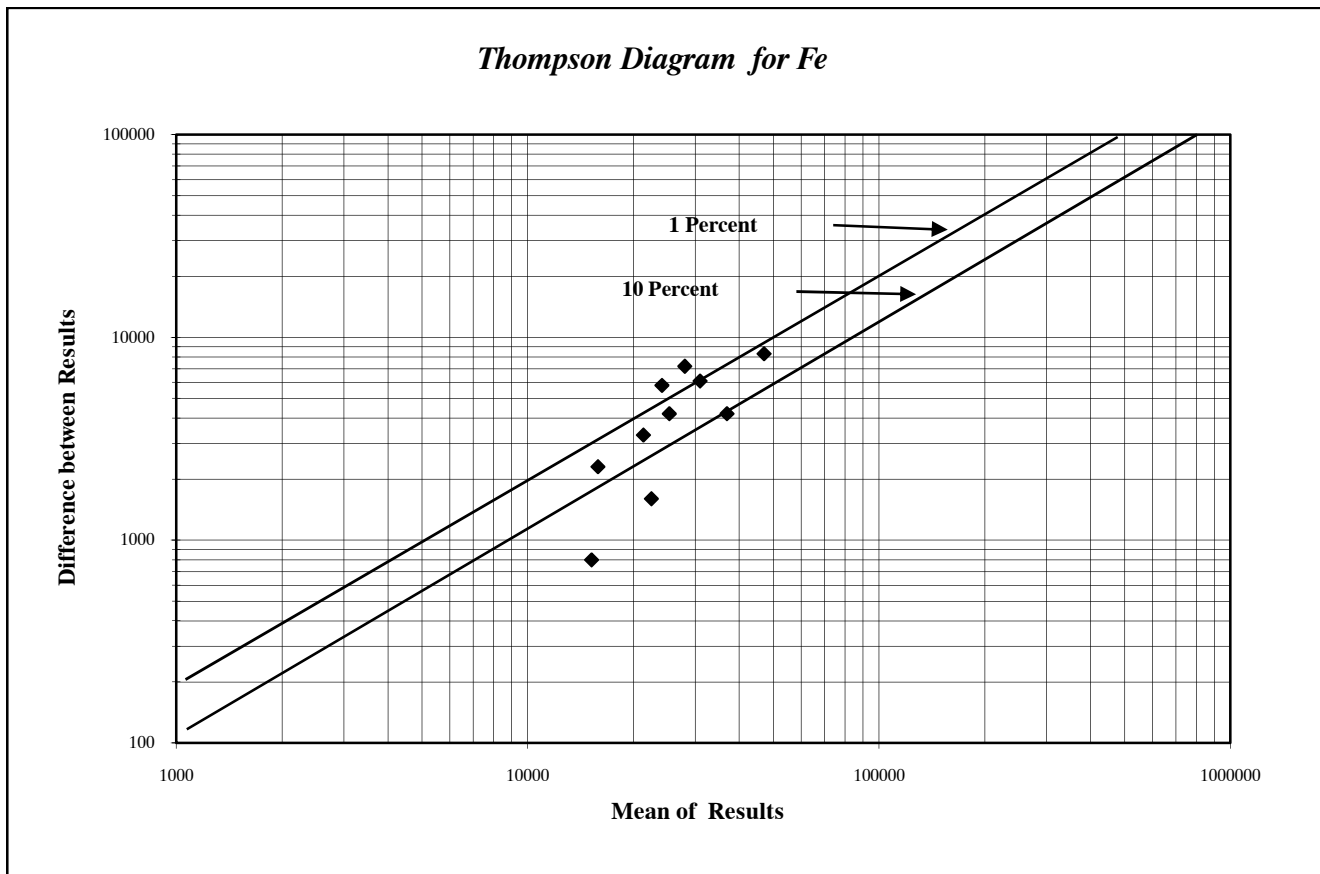
*Thompson Diagram for Cs*



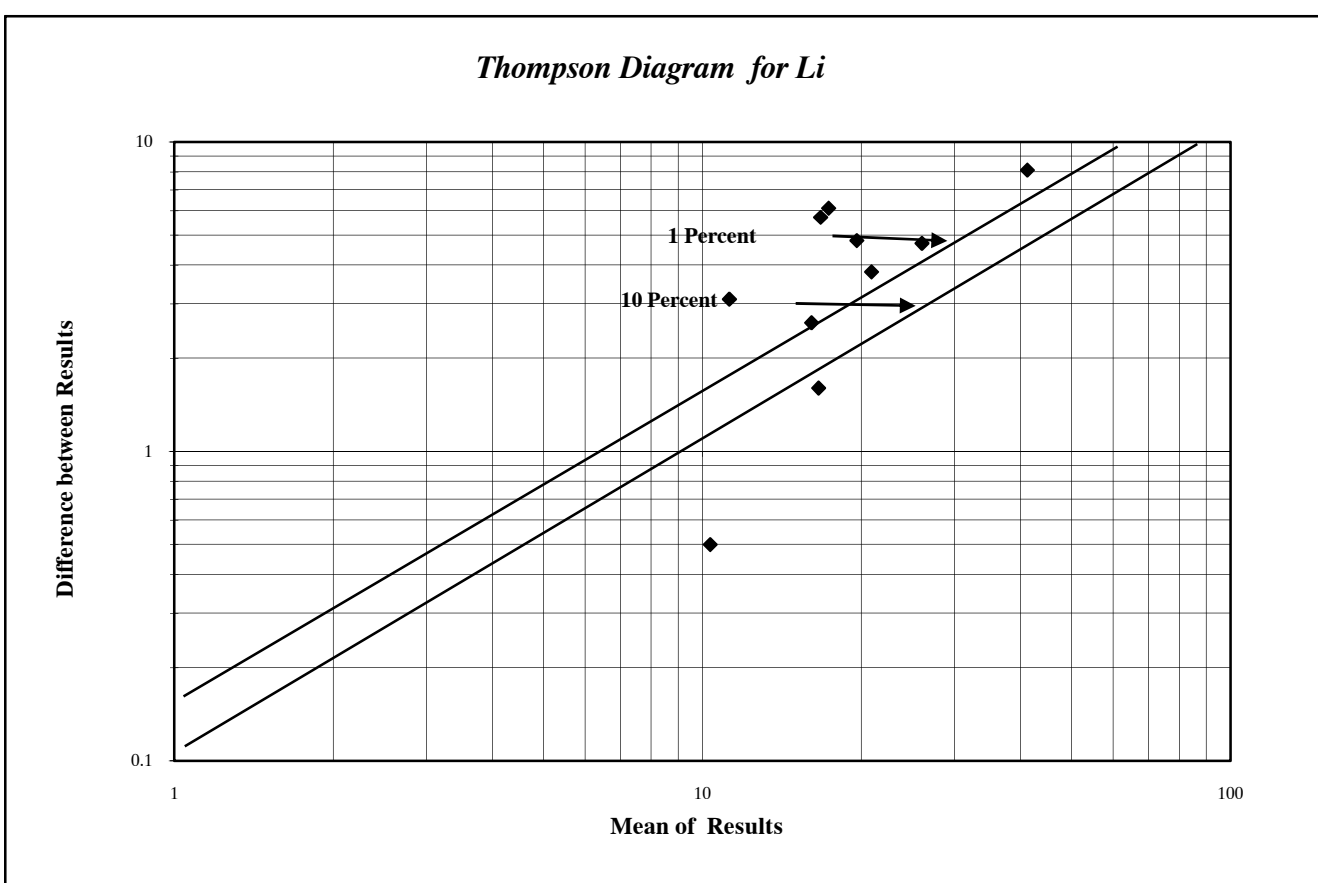
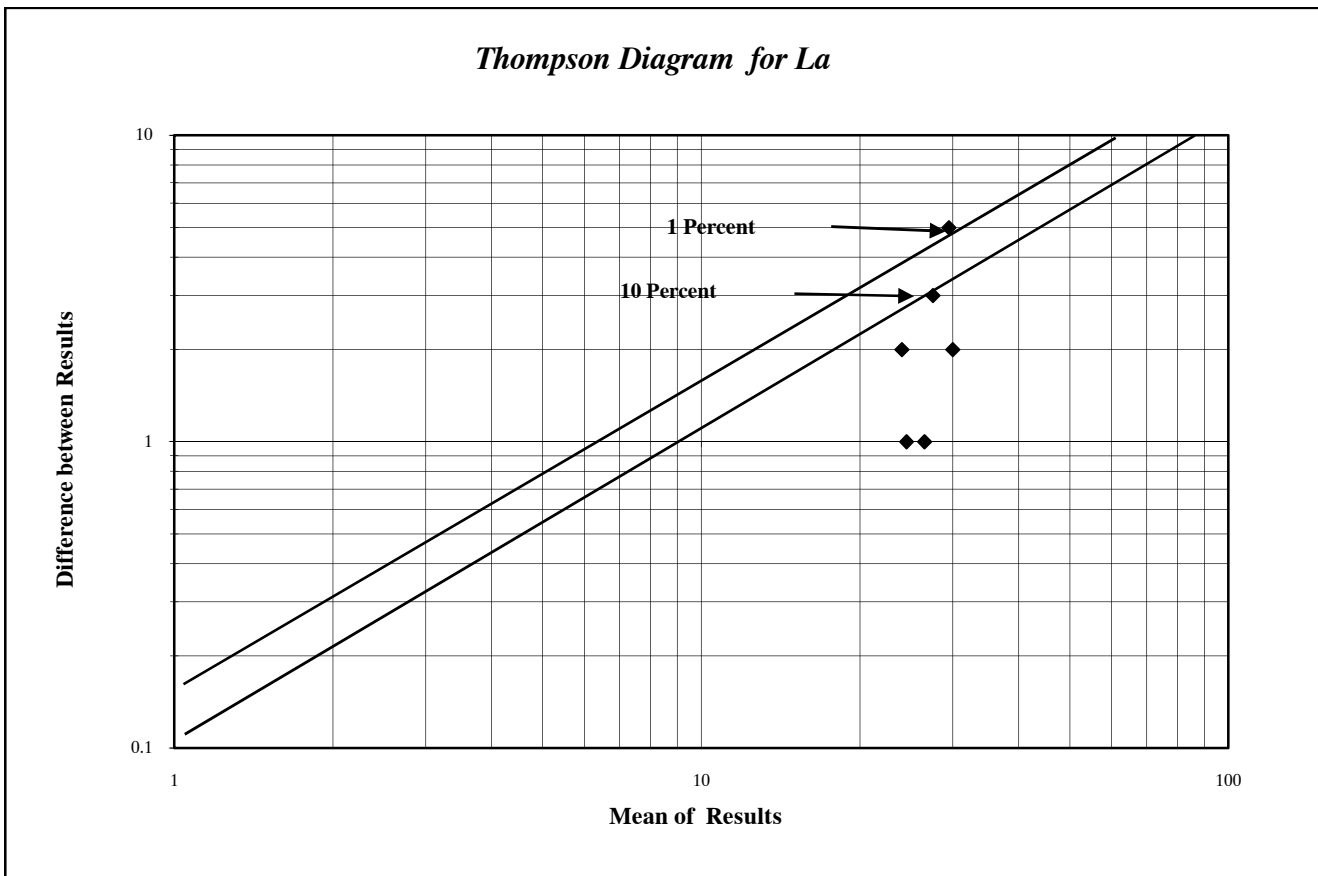
*Thompson Diagram for Cu*



شکل (۳-۸): دیاگرام تامپسون نمونه‌های ژئوشیمی محدوده ۱:۲۵۰۰۰ فیروزان

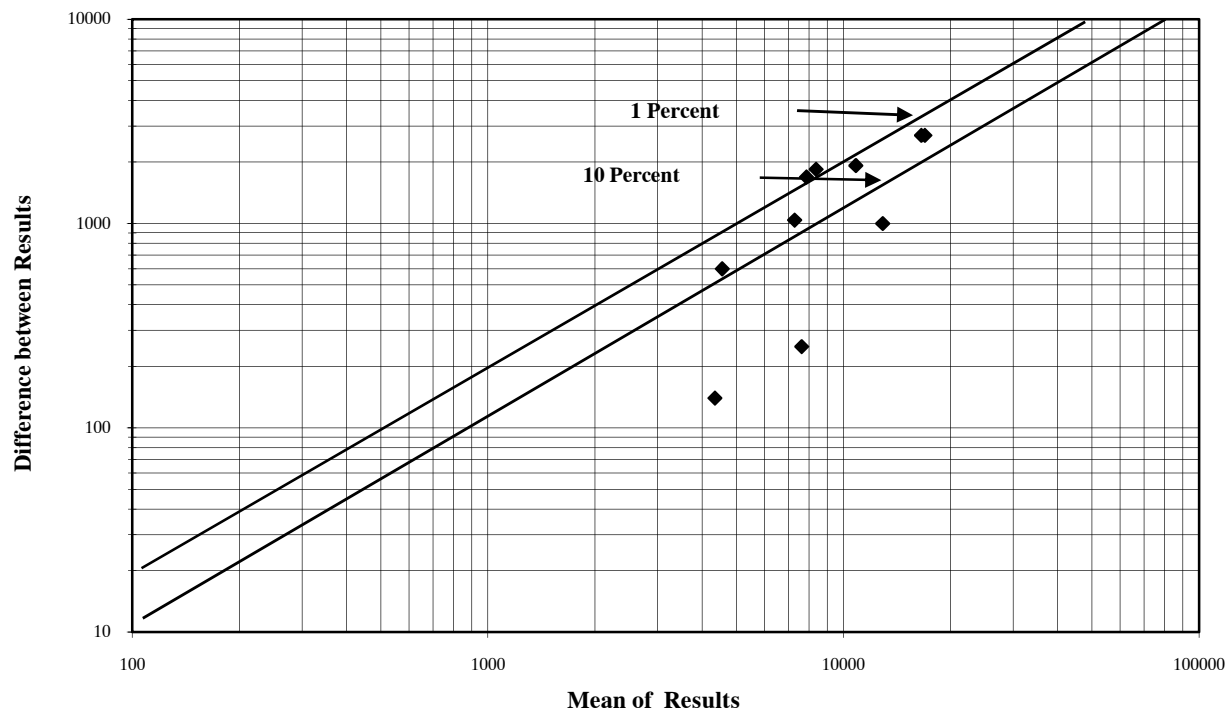


شکل (۳-۹): دیاگرام تامپسون نمونه‌های ژئوشیمی محدوده ۱:۲۵۰۰ فیروزان

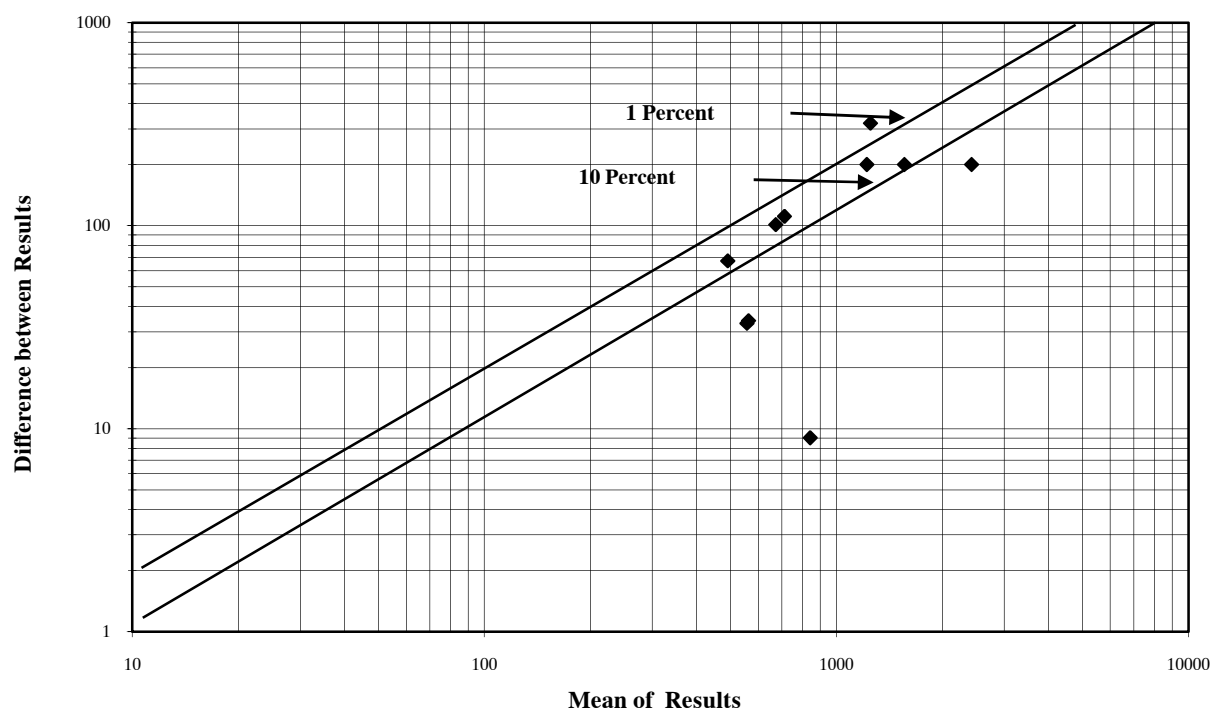


شکل (۱۰-۳): دیاگرام تامپسون نمونه‌های ژئوشیمی محدوده ۱:۲۵۰۰۰ فیروزان

*Thompson Diagram for Mg*



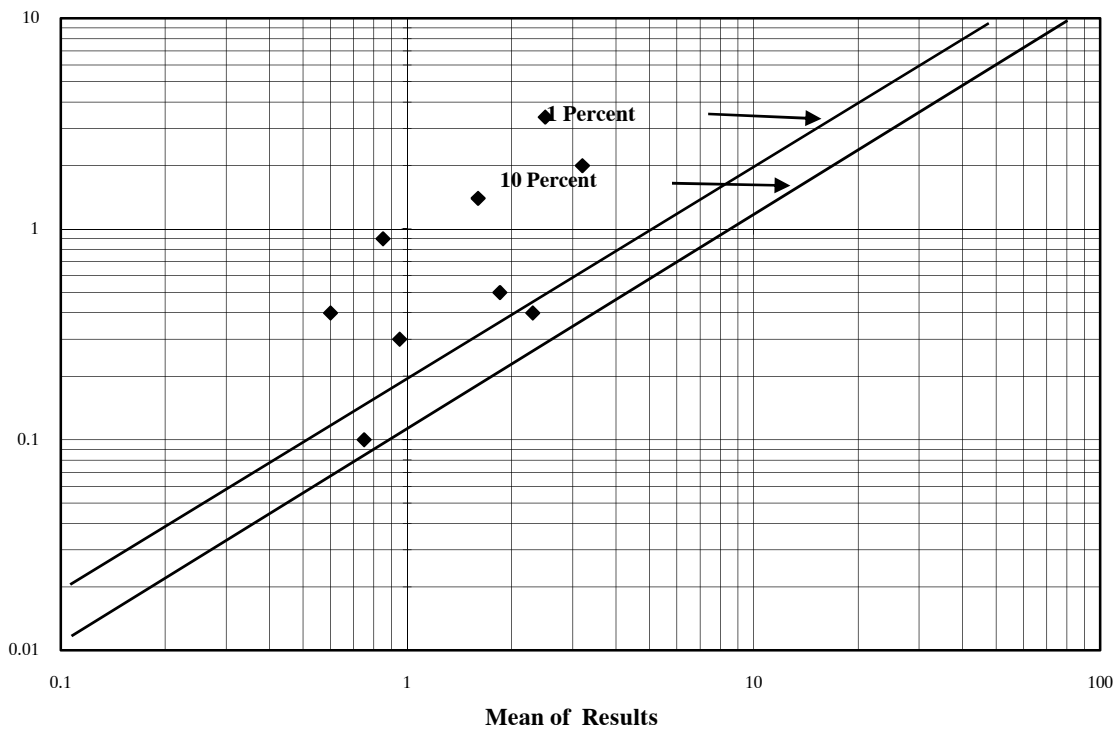
*Thompson Diagram for Mn*



شکل (۱۱-۳): دیاگرام تامپسون نمونه‌های ژئوشیمی محدوده ۱:۲۵۰۰۰ فیروزان

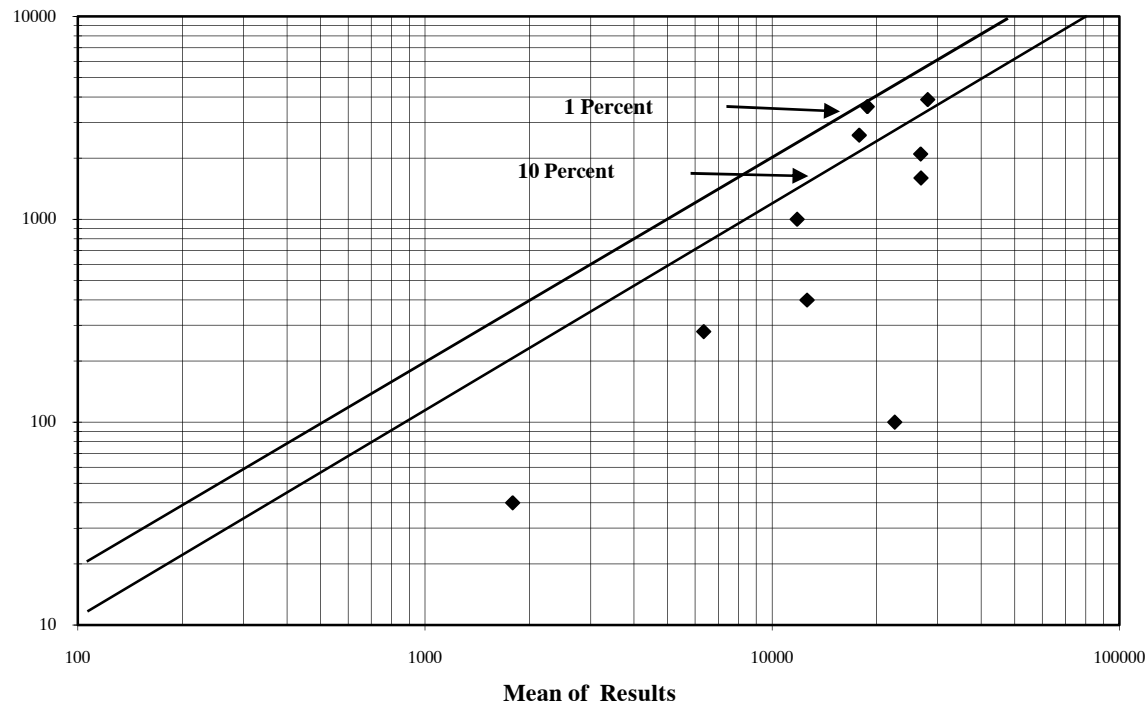
Difference between Results

*Thompson Diagram for Mo*



Difference between Results

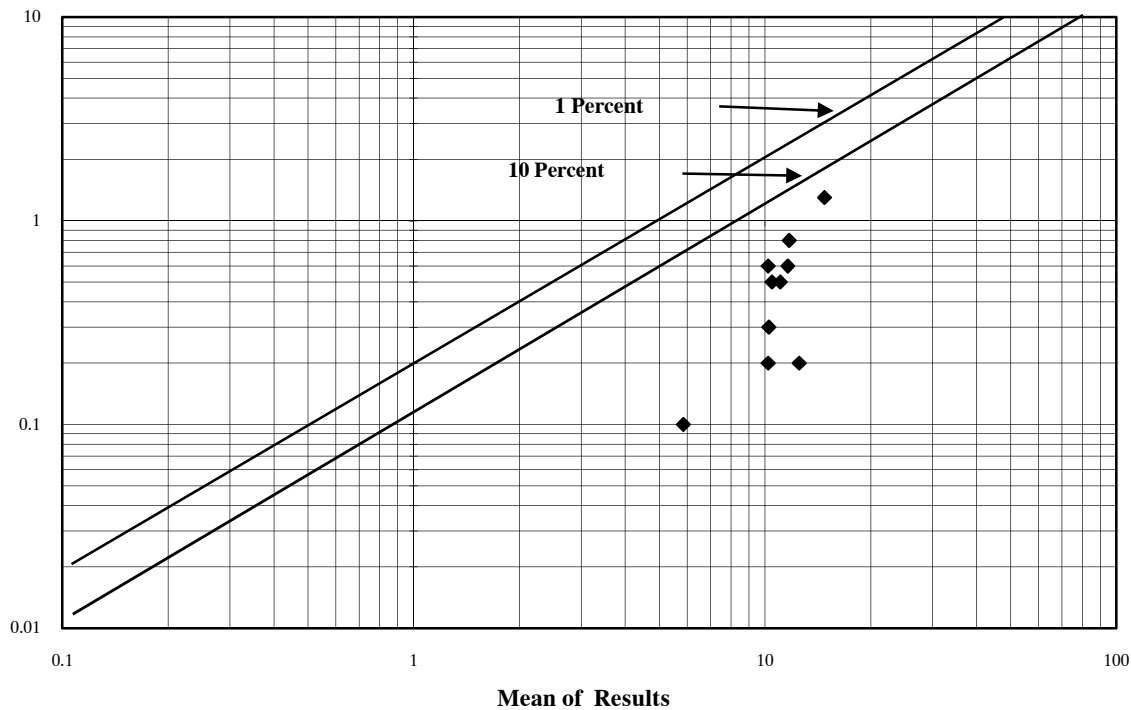
*Thompson Diagram for Na*



شکل (۳-۱۲): دیاگرام تامپسون نمونه‌های ژئوشیمی محدوده ۱:۲۵۰۰۰ فیروزان

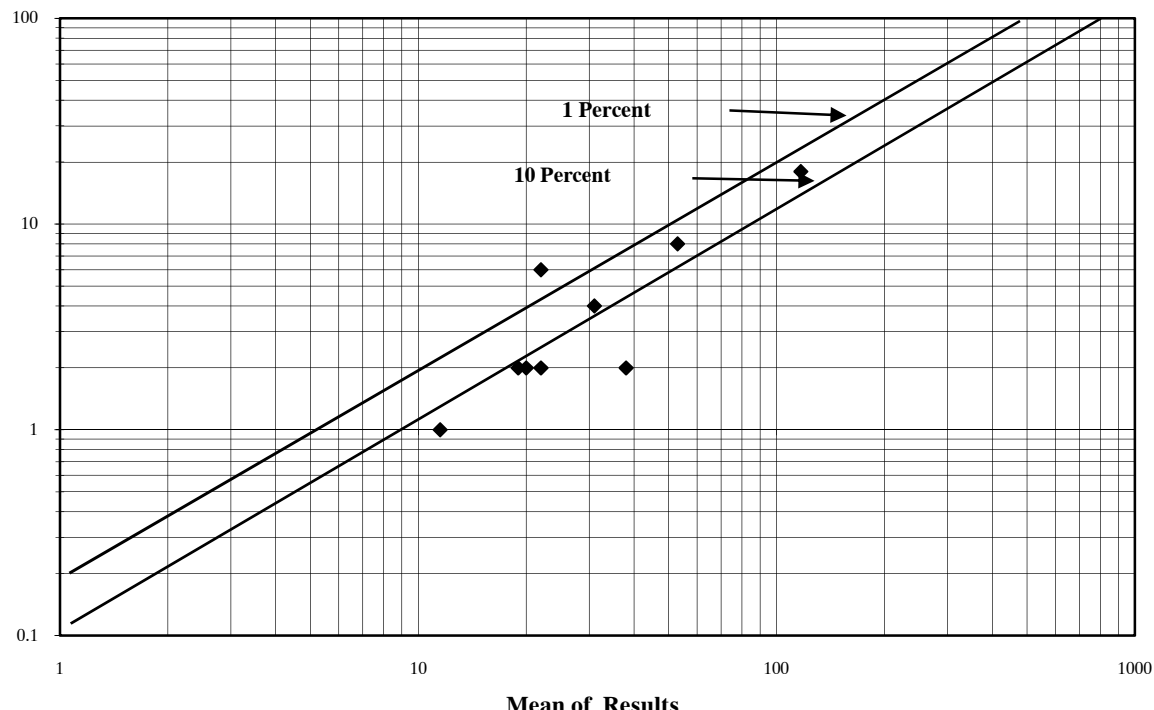
Difference between Results

*Thompson Diagram for Nb*

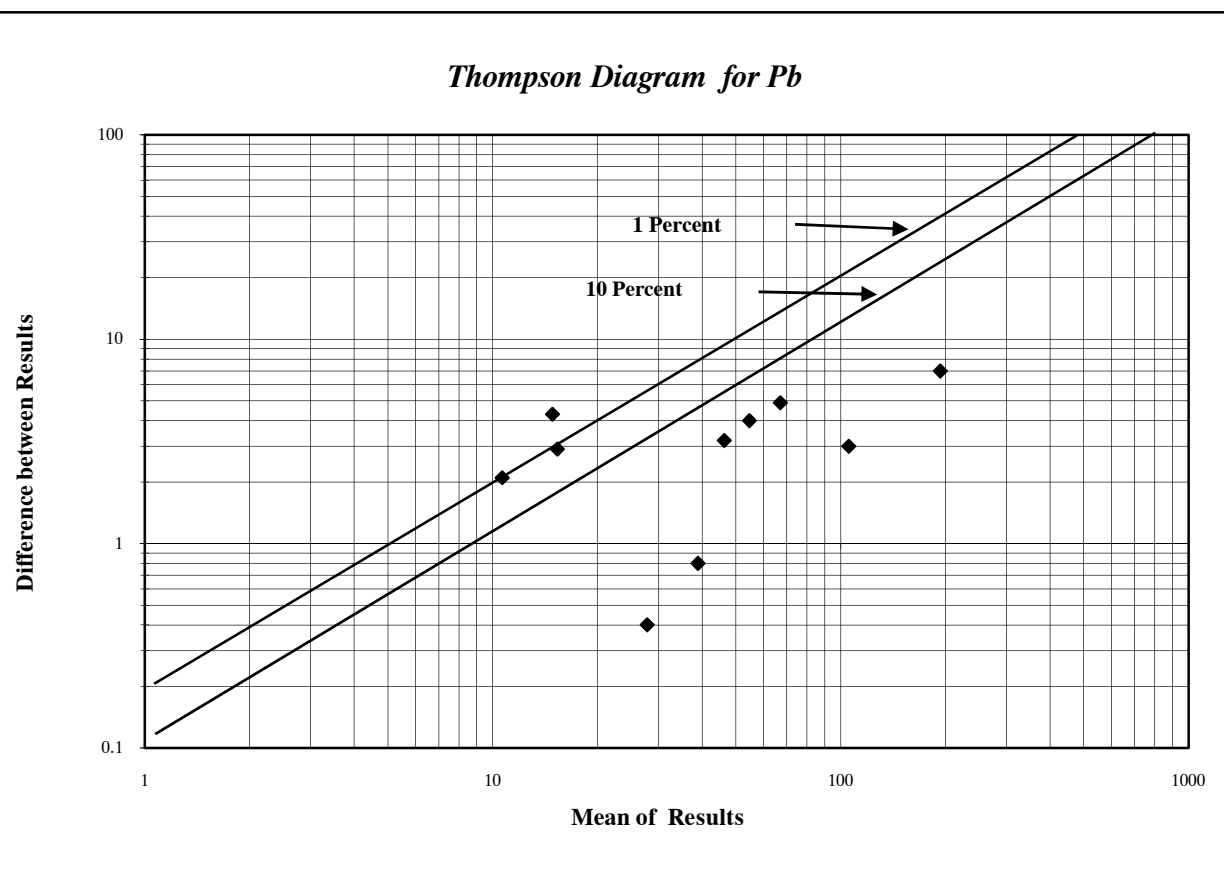
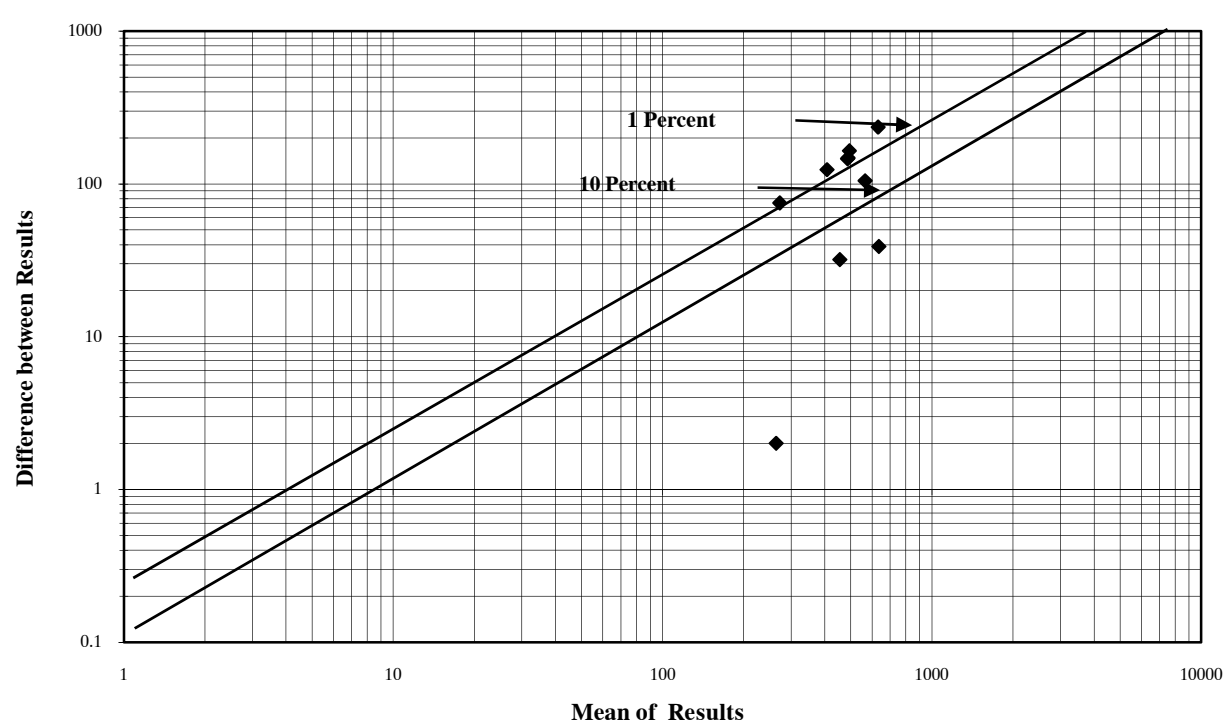


Difference between Results

*Thompson Diagram for Ni*



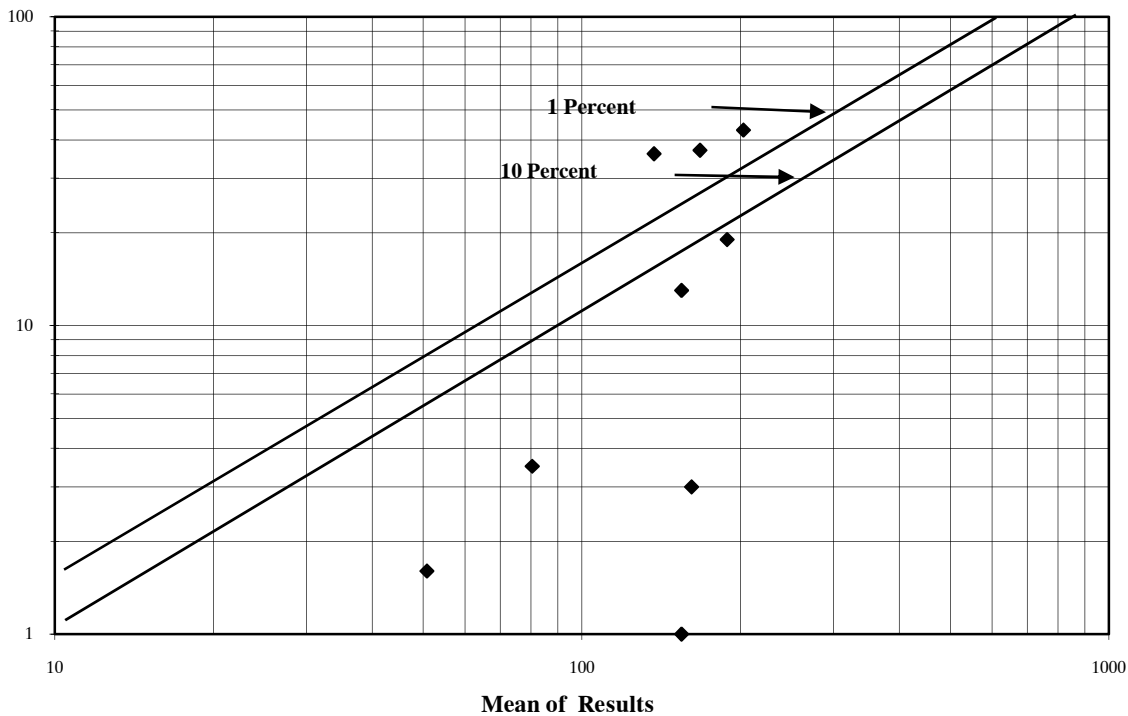
شکل (۳-۱۳): دیاگرام تامپسون نمونه‌های ژئوشیمی محدوده ۱:۲۵۰۰۰ فیروزان



شکل (۳-۱۴): دیاگرام تامپسون نمونه‌های ژئوشیمی محدوده ۱:۲۵۰۰۰ فیروزان

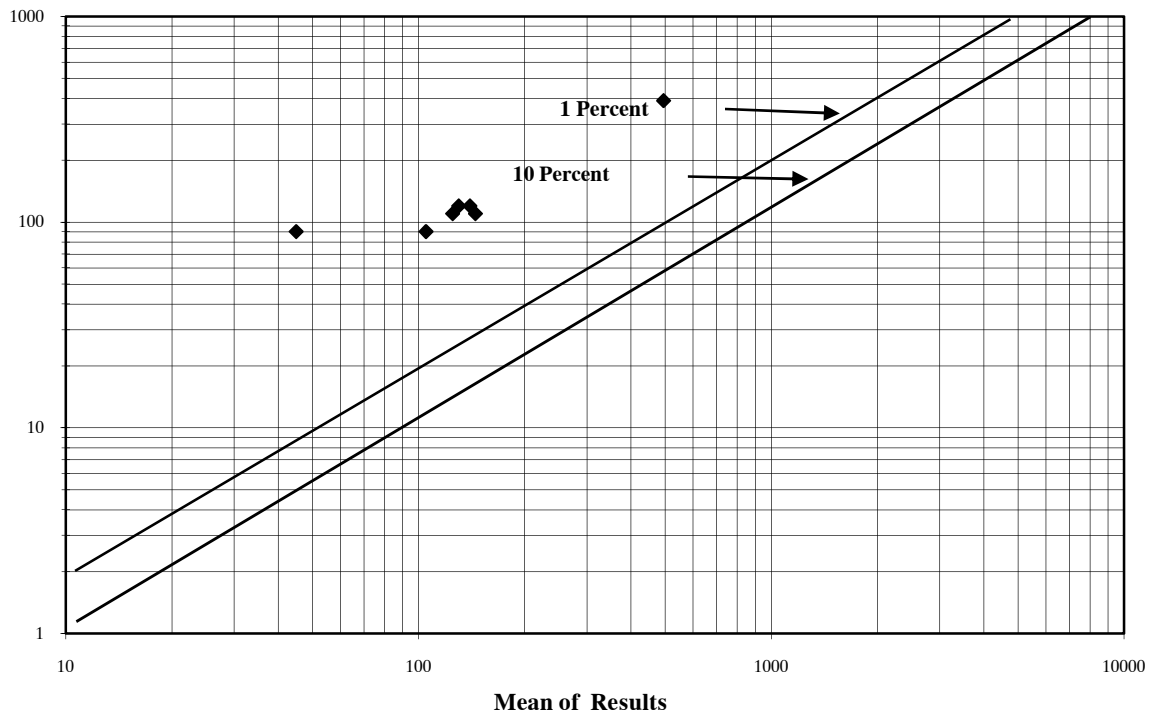
Difference between Results

*Thompson Diagram for Rb*



Difference between Results

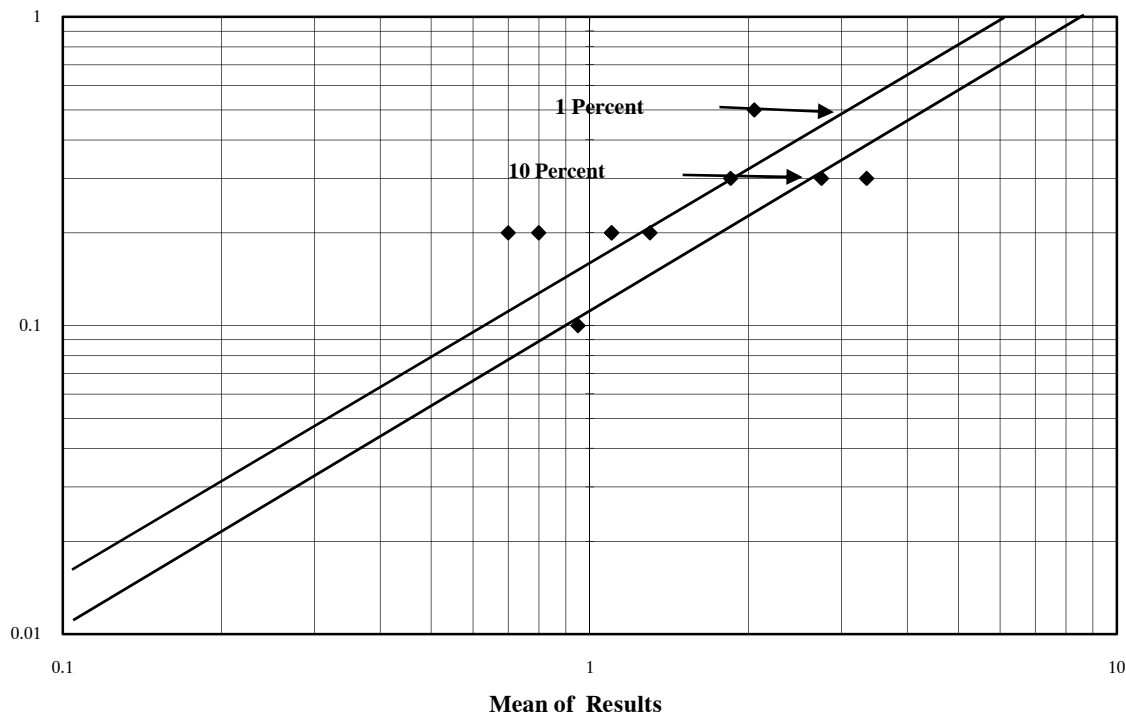
*Thompson Diagram for S*



شکل (۳-۱۵): دیاگرام تامپسون نمونه‌های ژئوشیمی محدوده ۱:۲۵۰۰۰ فیروزان

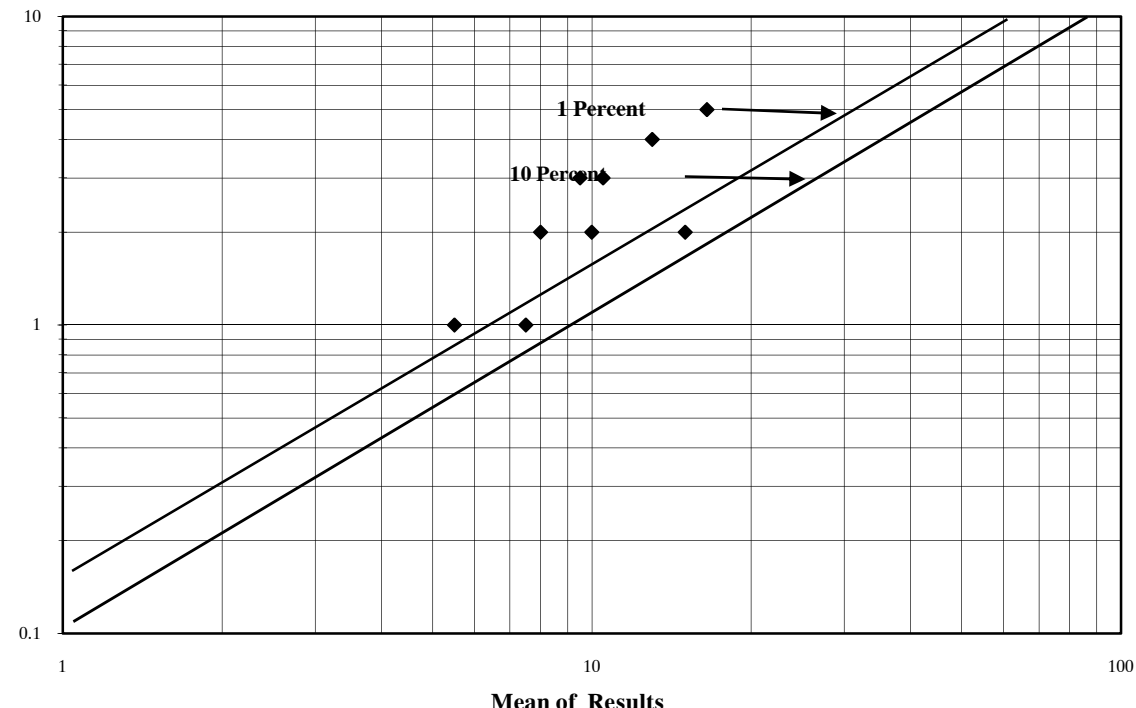
Difference between Results

*Thompson Diagram for Sb*



Difference between Results

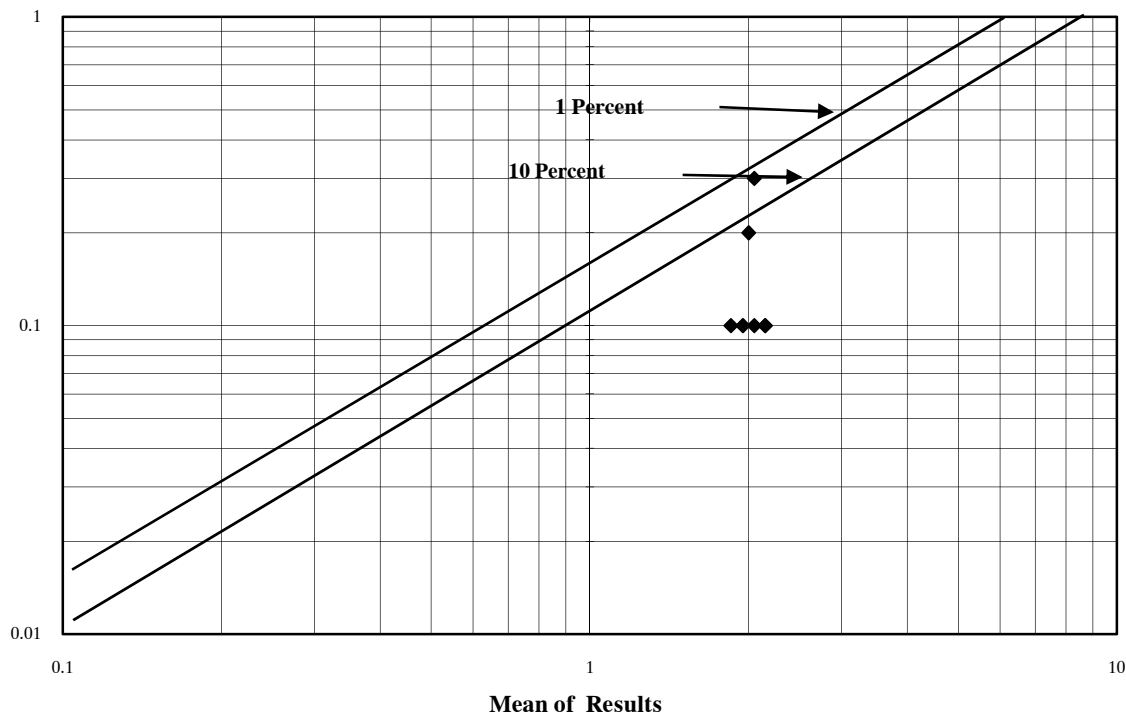
*Thompson Diagram for Sc*



شکل (۳-۱۶): دیاگرام تامپسون نمونه‌های ژئوشیمی محدوده ۱:۲۵۰۰۰ فیروزان

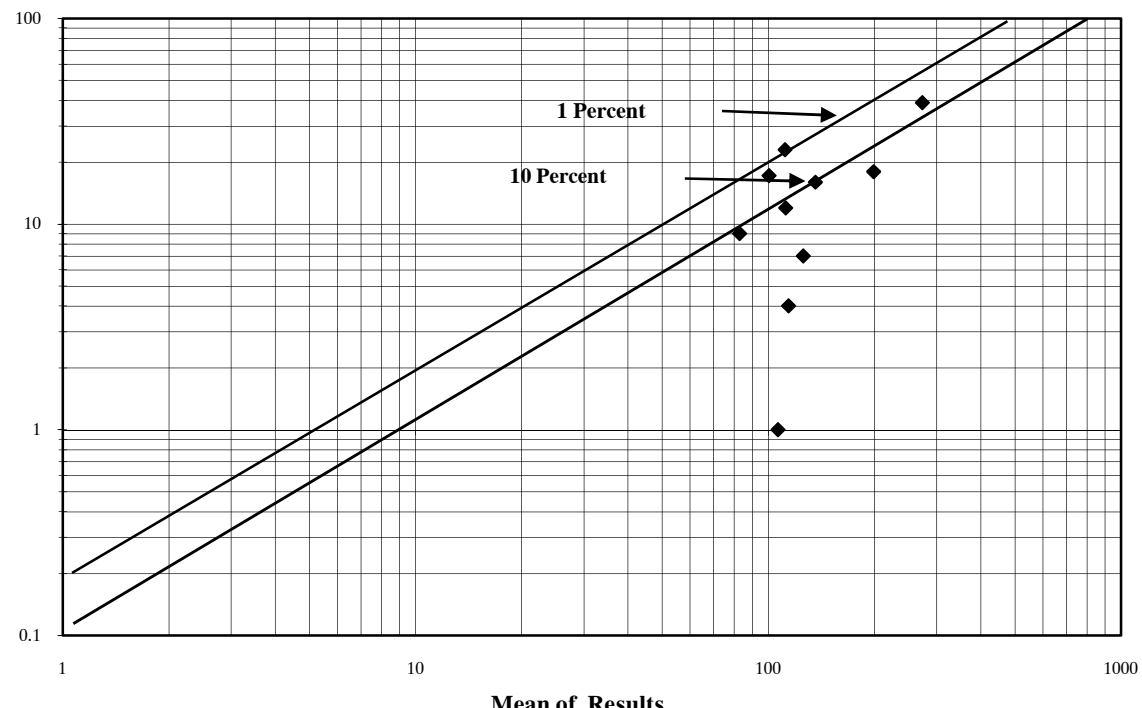
Difference between Results

*Thompson Diagram for Sn*



Difference between Results

*Thompson Diagram for Sr*



Mean of Results

Difference between Results

Mean of Results

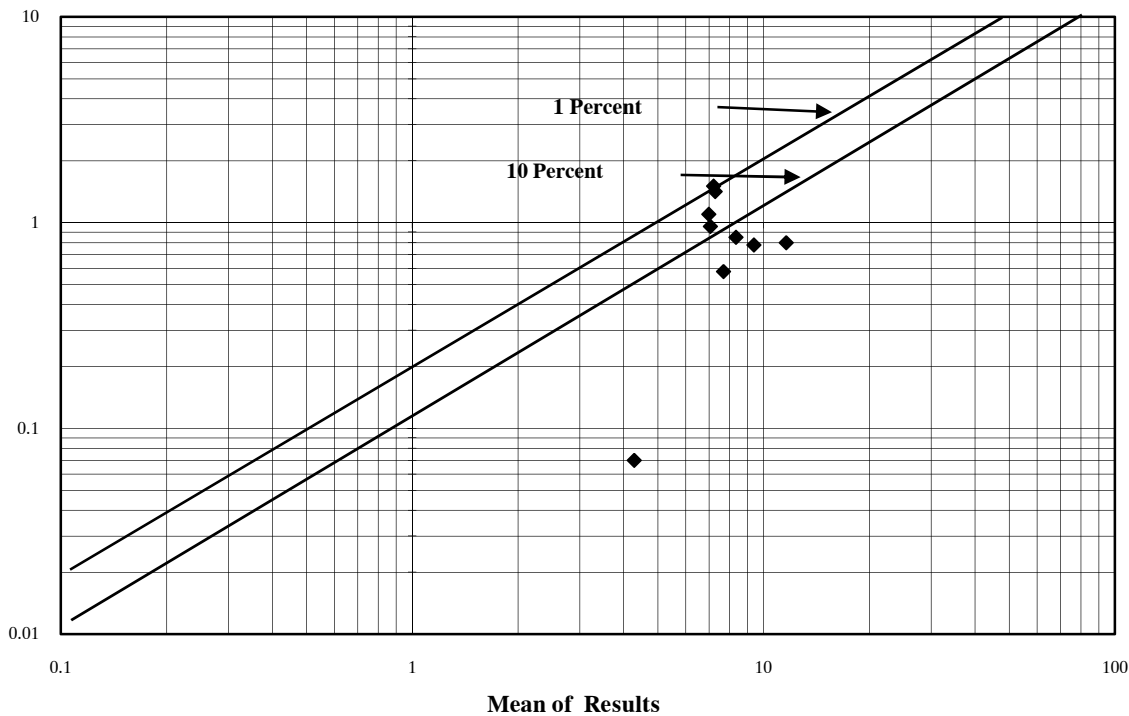
Difference between Results

Mean of Results

شکل (۳-۱۷): دیاگرام تامپسون نمونه‌های ژئوشیمی محدوده ۱:۲۵۰۰۰ فیروزان

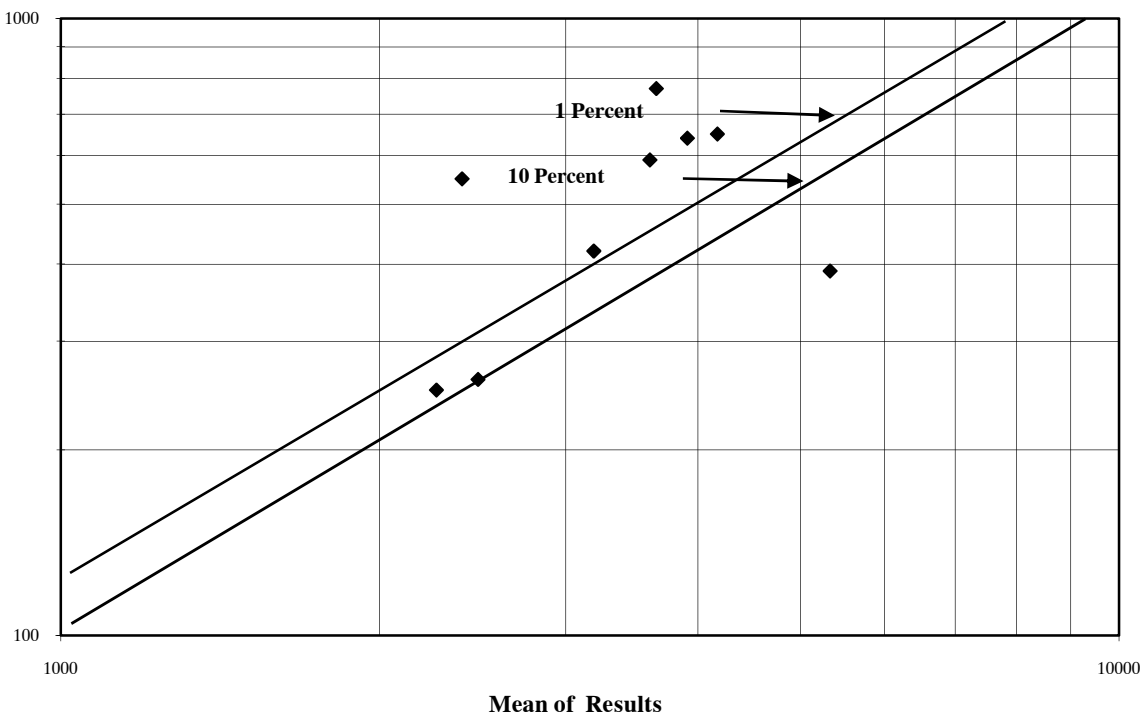
Difference between Results

*Thompson Diagram for Th*



Difference between Results

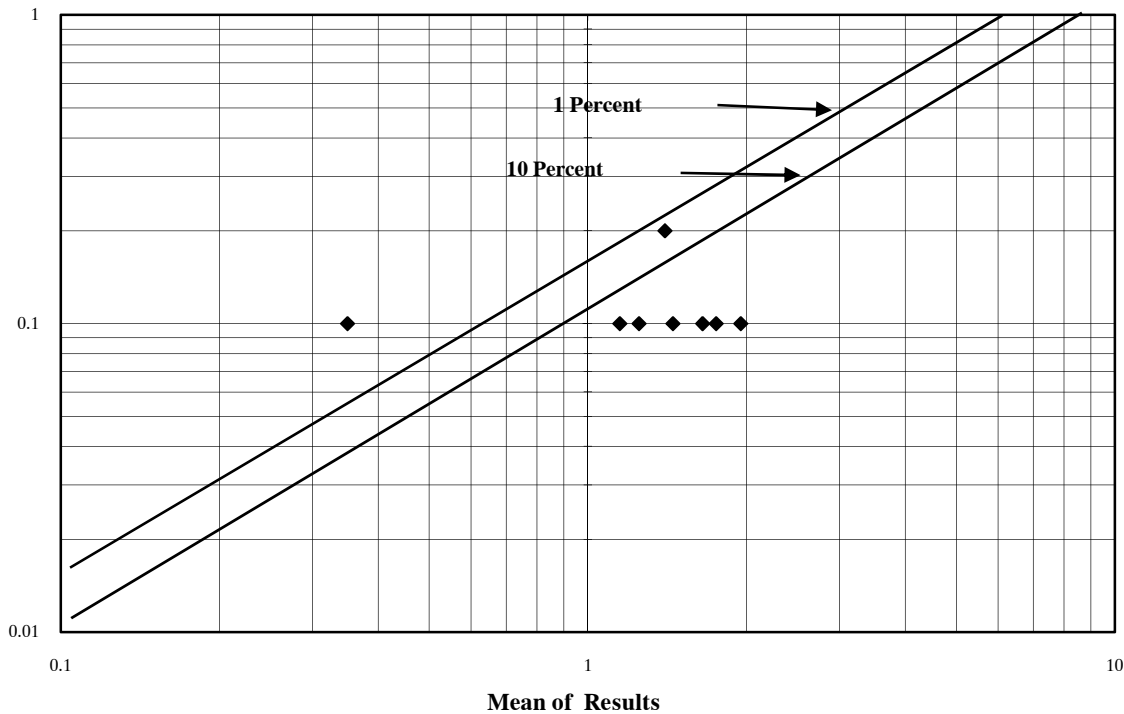
*Thompson Diagram for Ti*



شکل (۳-۱۸): دیاگرام تامپسون نمونه‌های ژئوشیمی محدوده ۱:۲۵۰۰۰ فیروزان

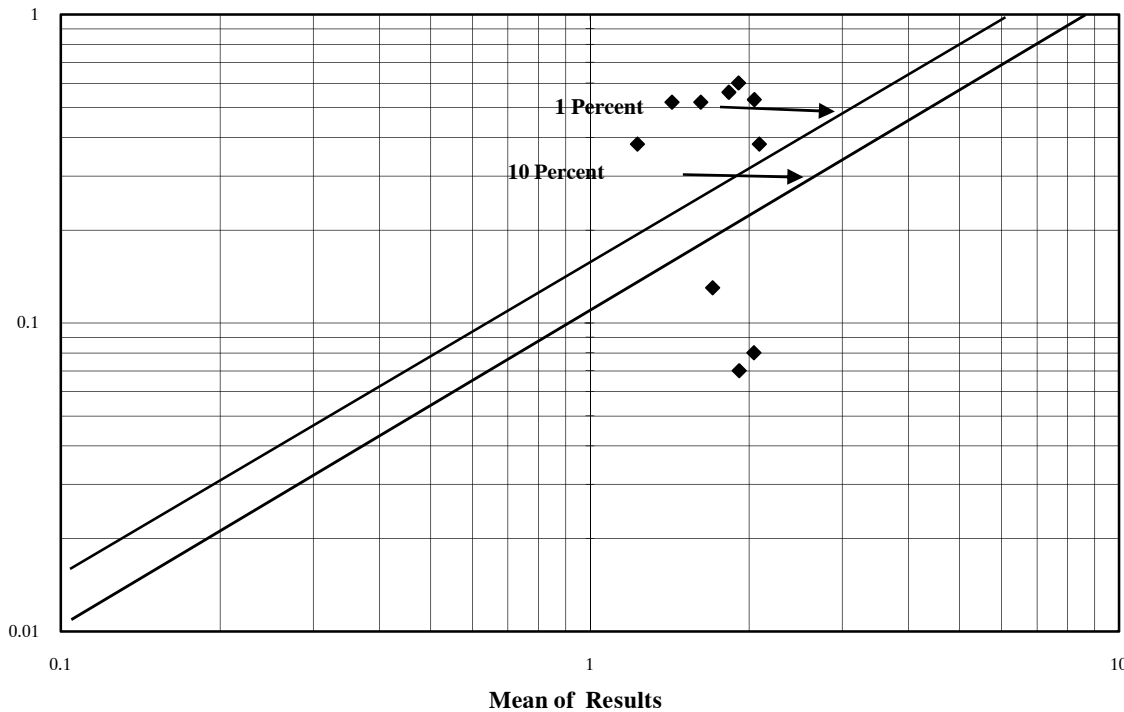
Difference between Results

*Thompson Diagram for Tl*



Difference between Results

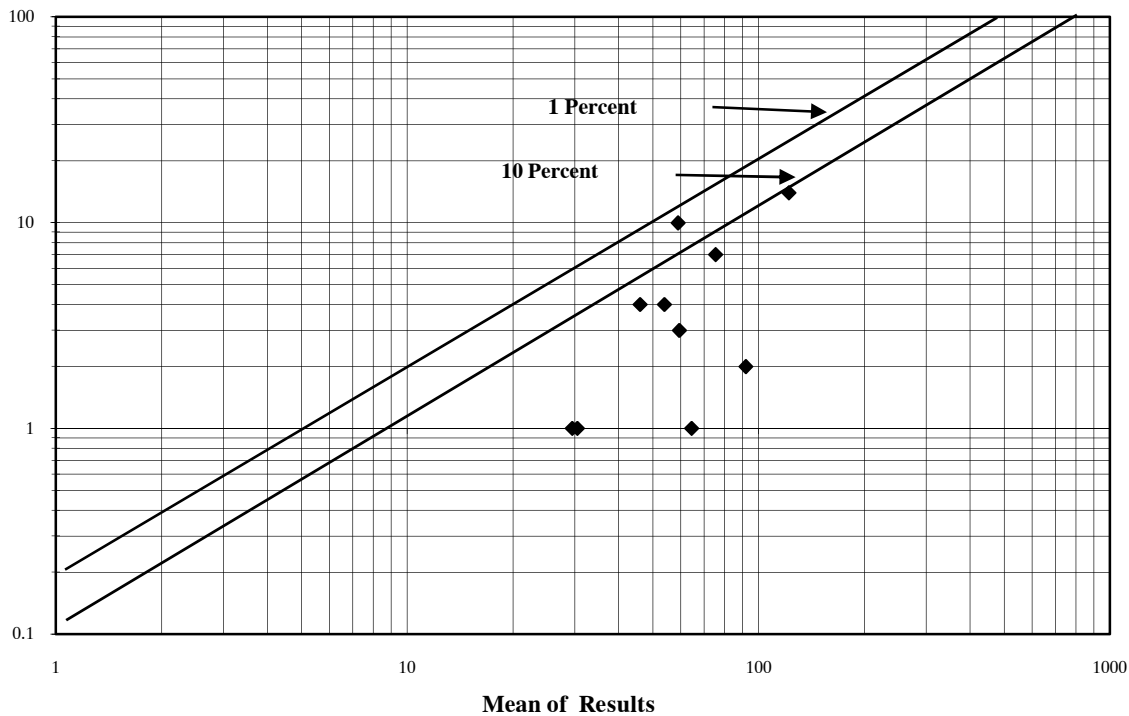
*Thompson Diagram for U*



شکل (۳-۱۹): دیاگرام تامپسون نمونه‌های ژئوشیمی محدوده ۱:۲۵۰۰۰ فیروزان

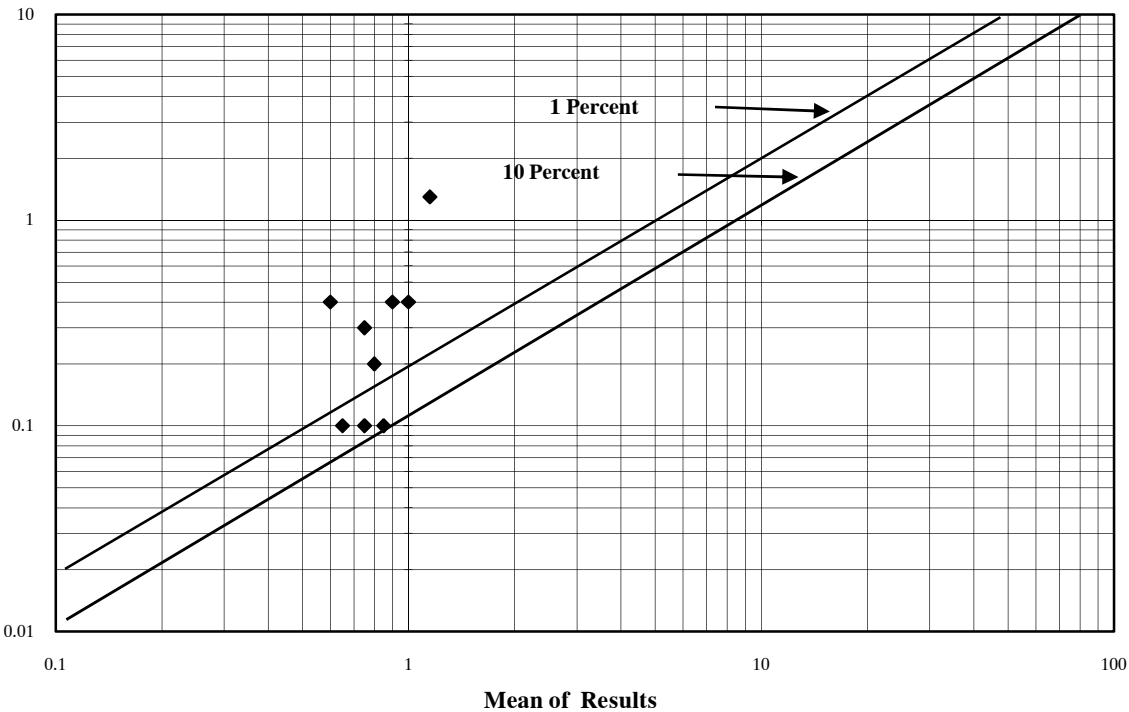
Difference between Results

*Thompson Diagram for V*



Difference between Results

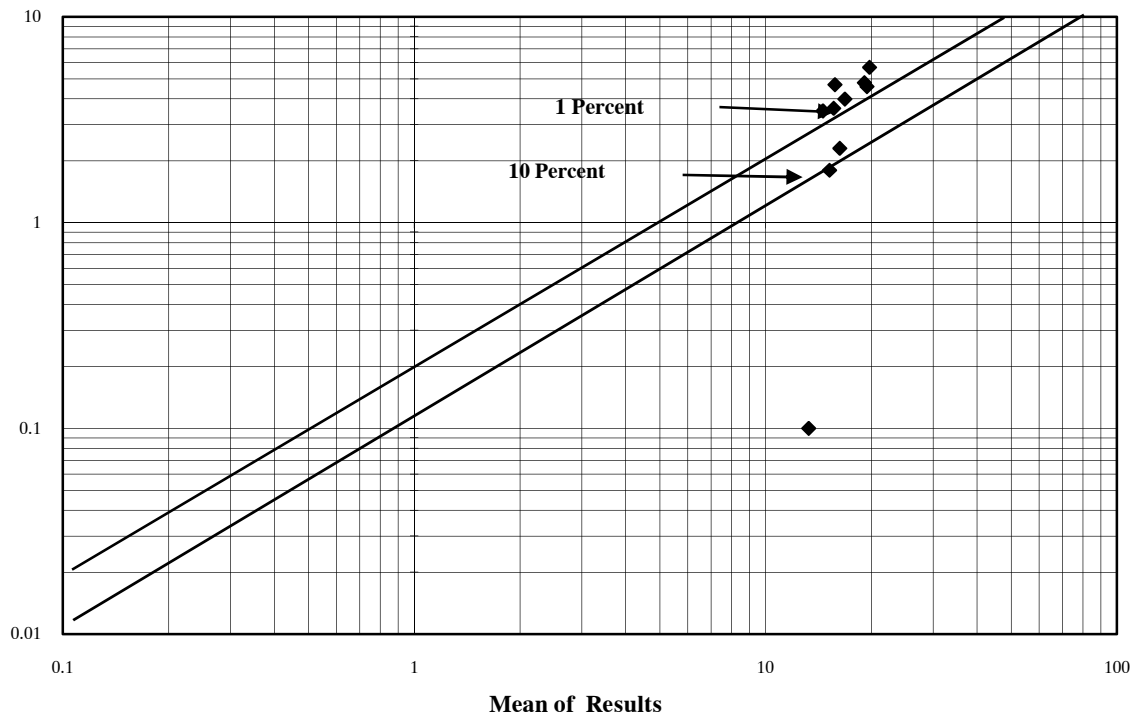
*Thompson Diagram for W*



شکل (۲۰-۳): دیاگرام تامپسون نمونه‌های ژئوشیمی محدوده ۱:۲۵۰۰۰ فیروزان

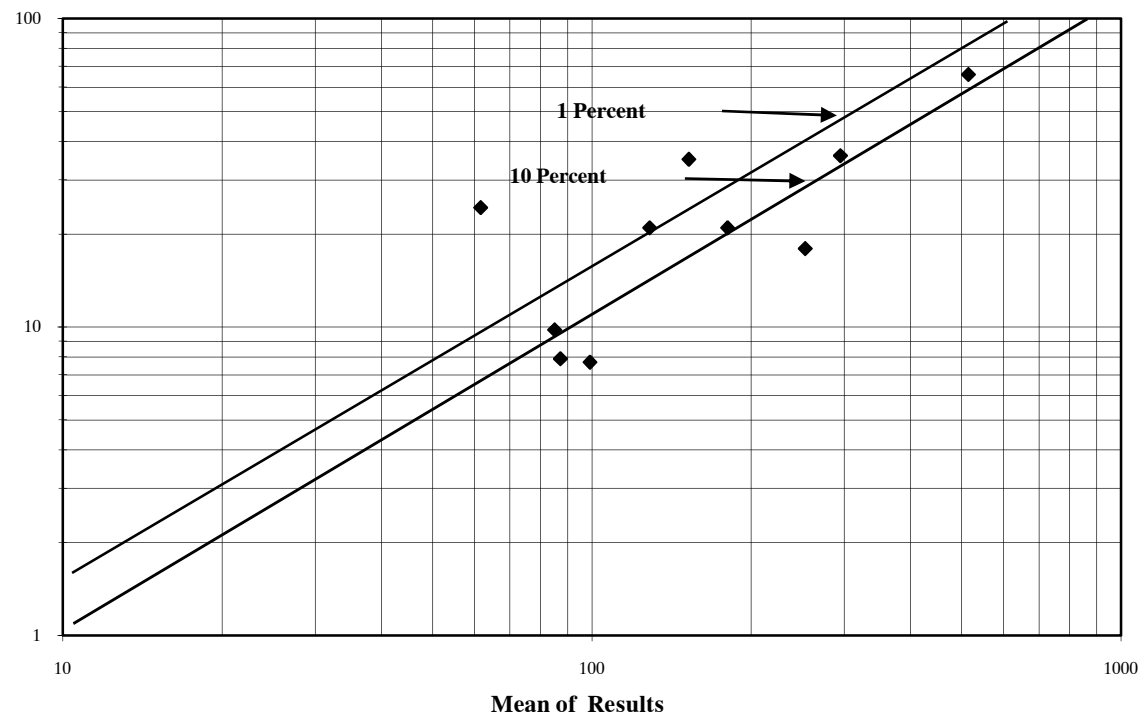
Difference between Results

*Thompson Diagram for Y*

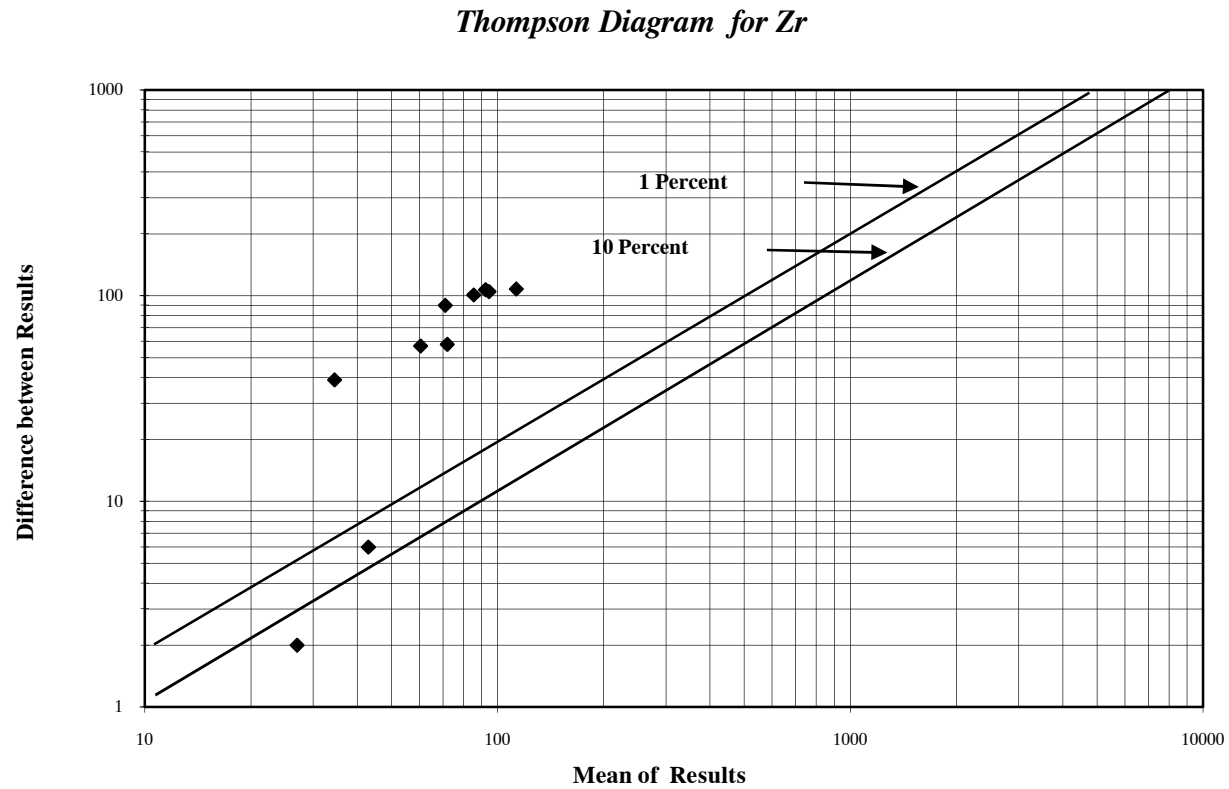


Difference between Results

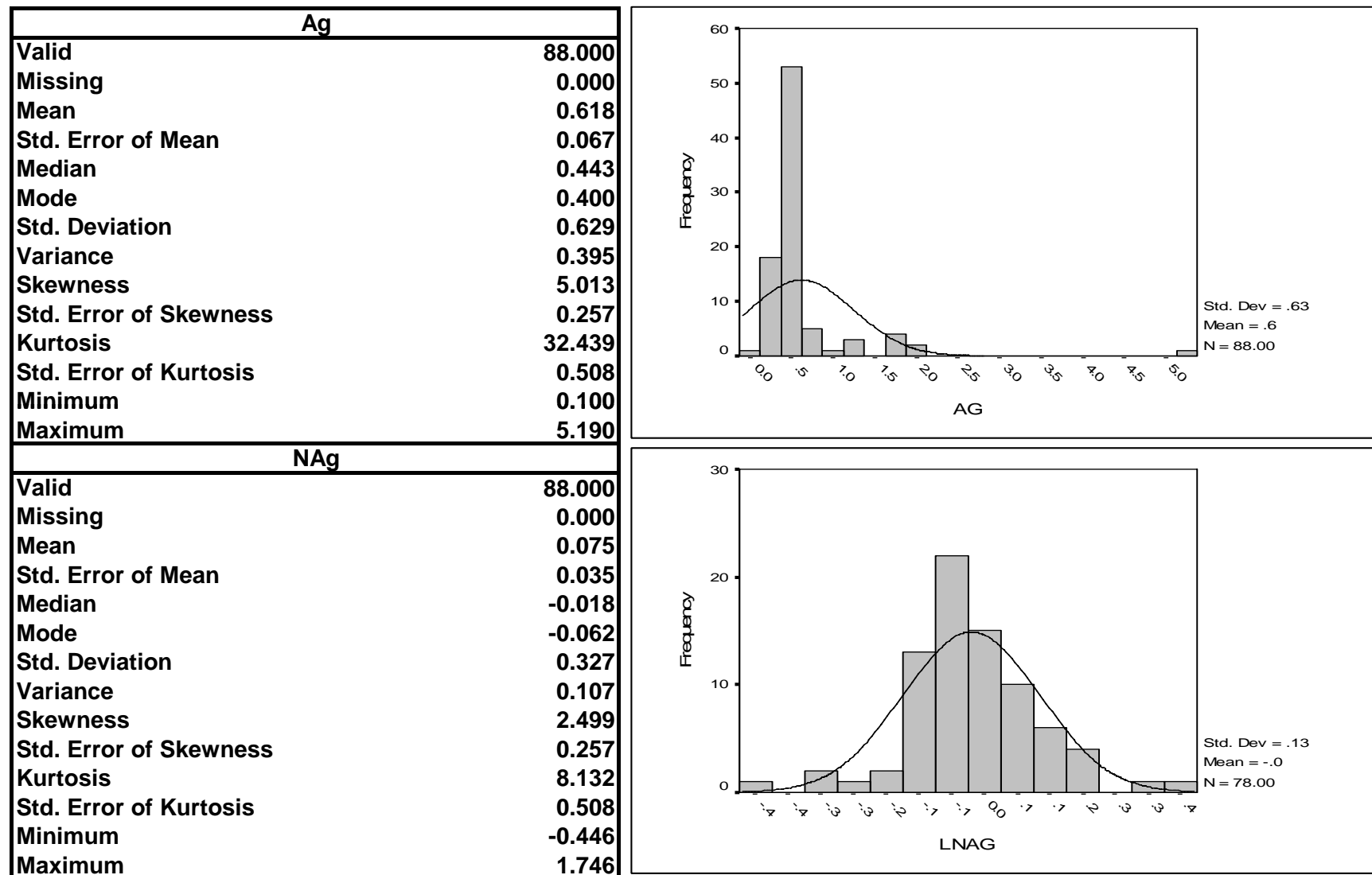
*Thompson Diagram for Zn*



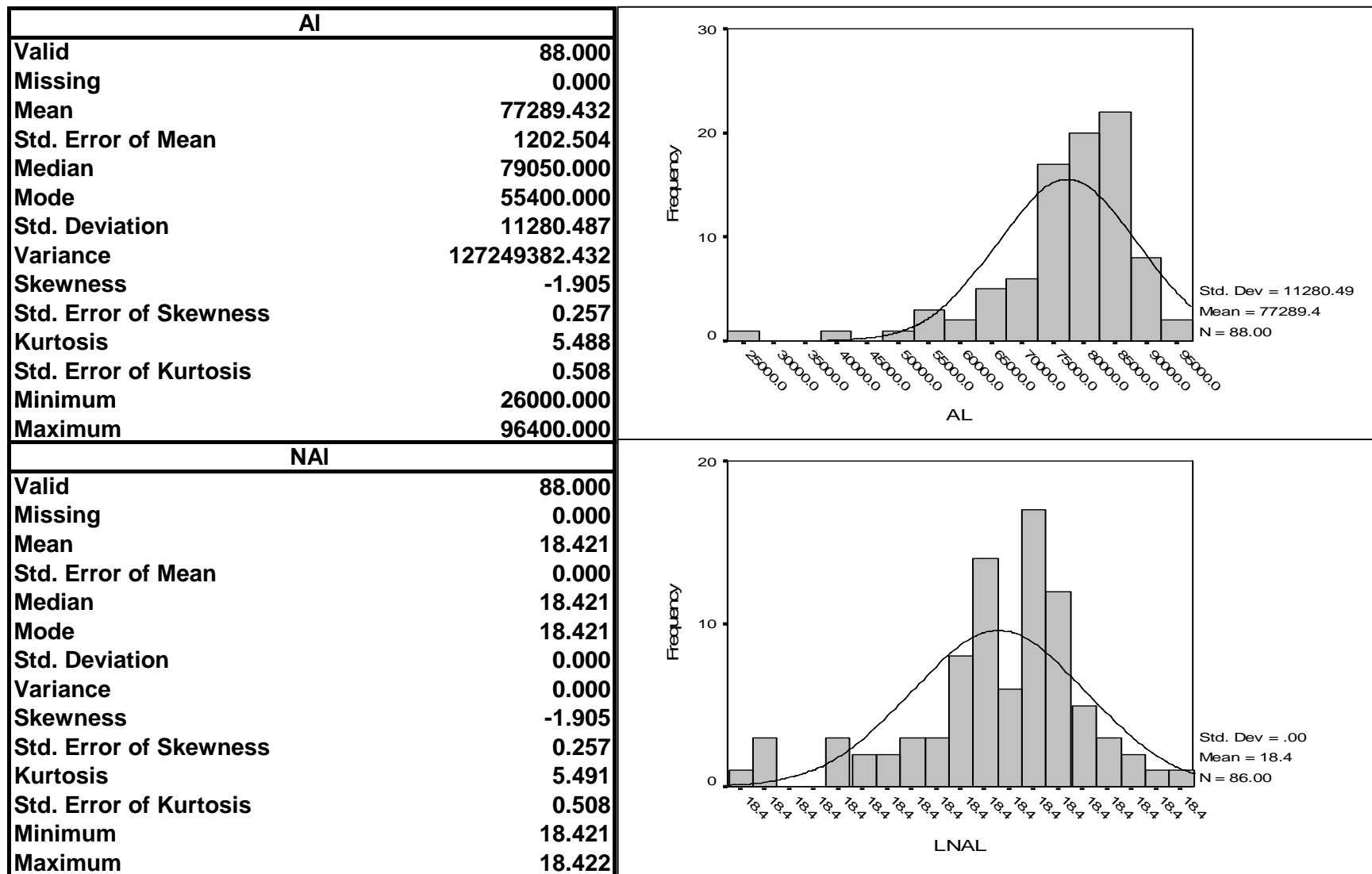
شکل (۳-۲۱): دیاگرام تامپسون نمونه‌های ژئوشیمی محدوده ۱:۲۵۰۰۰ فیروزان



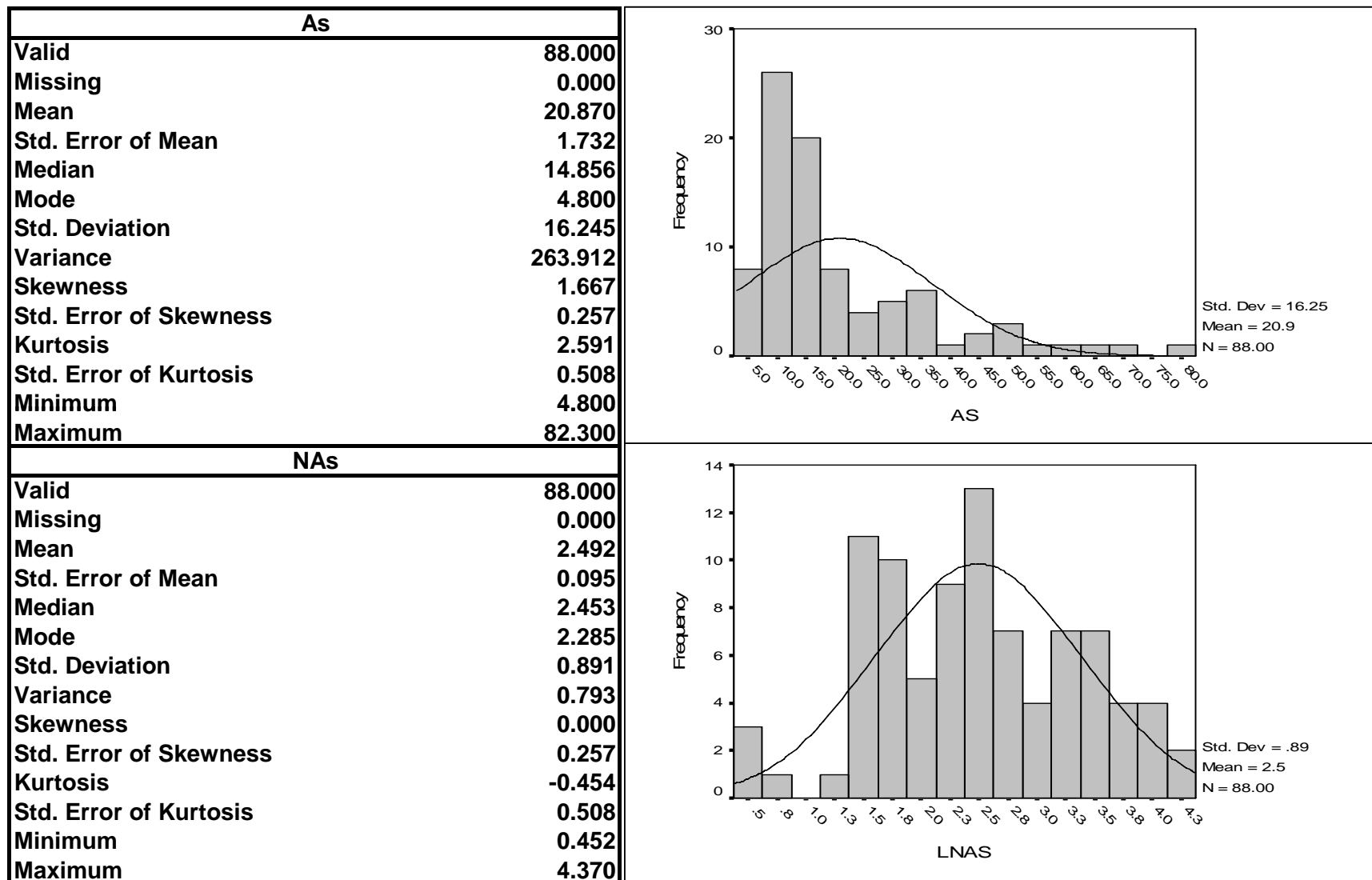
شکل (۱-۴): مشخصات آماری نمونه های ژئوشیمیابی خام و نرمال محدوده ۰-۲۵۰۰۰ فیروزان



شکل (۱-۴): مشخصات آماری نمونه های ژئوشیمیابی خام و نرمال محدوده ۰-۲۵۰۰۰ فیروزان

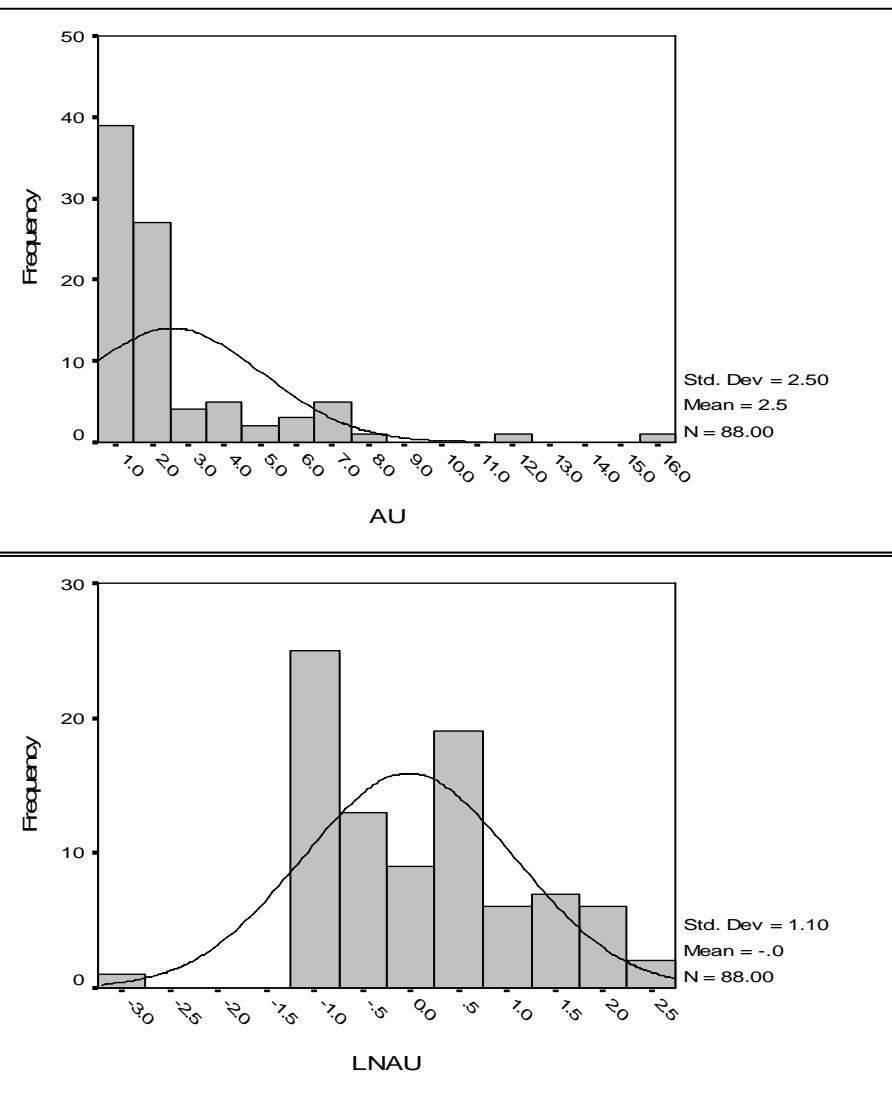


شکل (۱-۴): مشخصات آماری نمونه های ژئوشیمیابی خام و نرمال محدوده ۰-۲۵۰۰۰ فیروزان

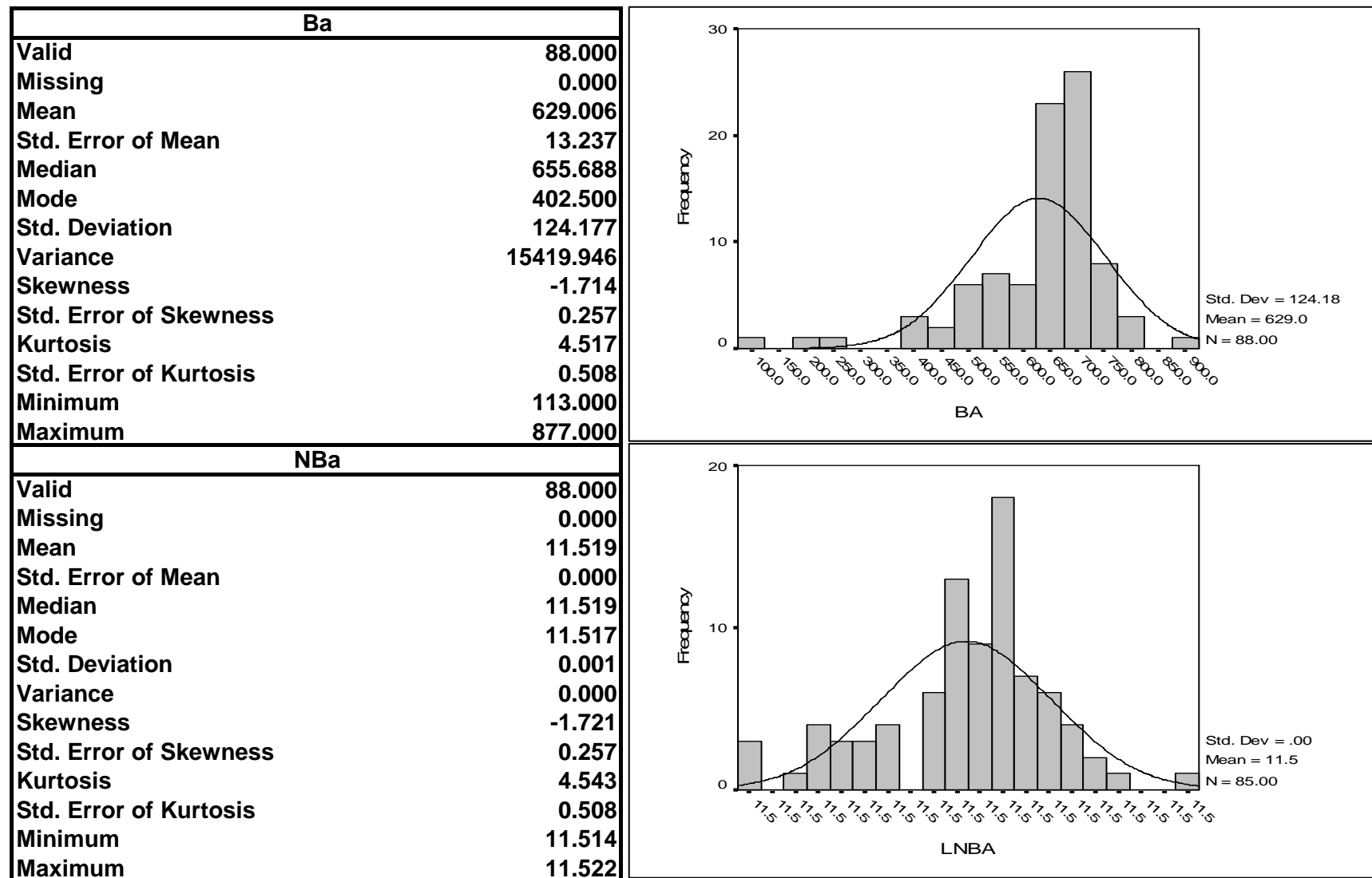


شکل (۱-۴): مشخصات آماری نمونه های ژئوشیمیابی خام و نرمال محدوده ۰-۲۵۰۰۰ فیروزان

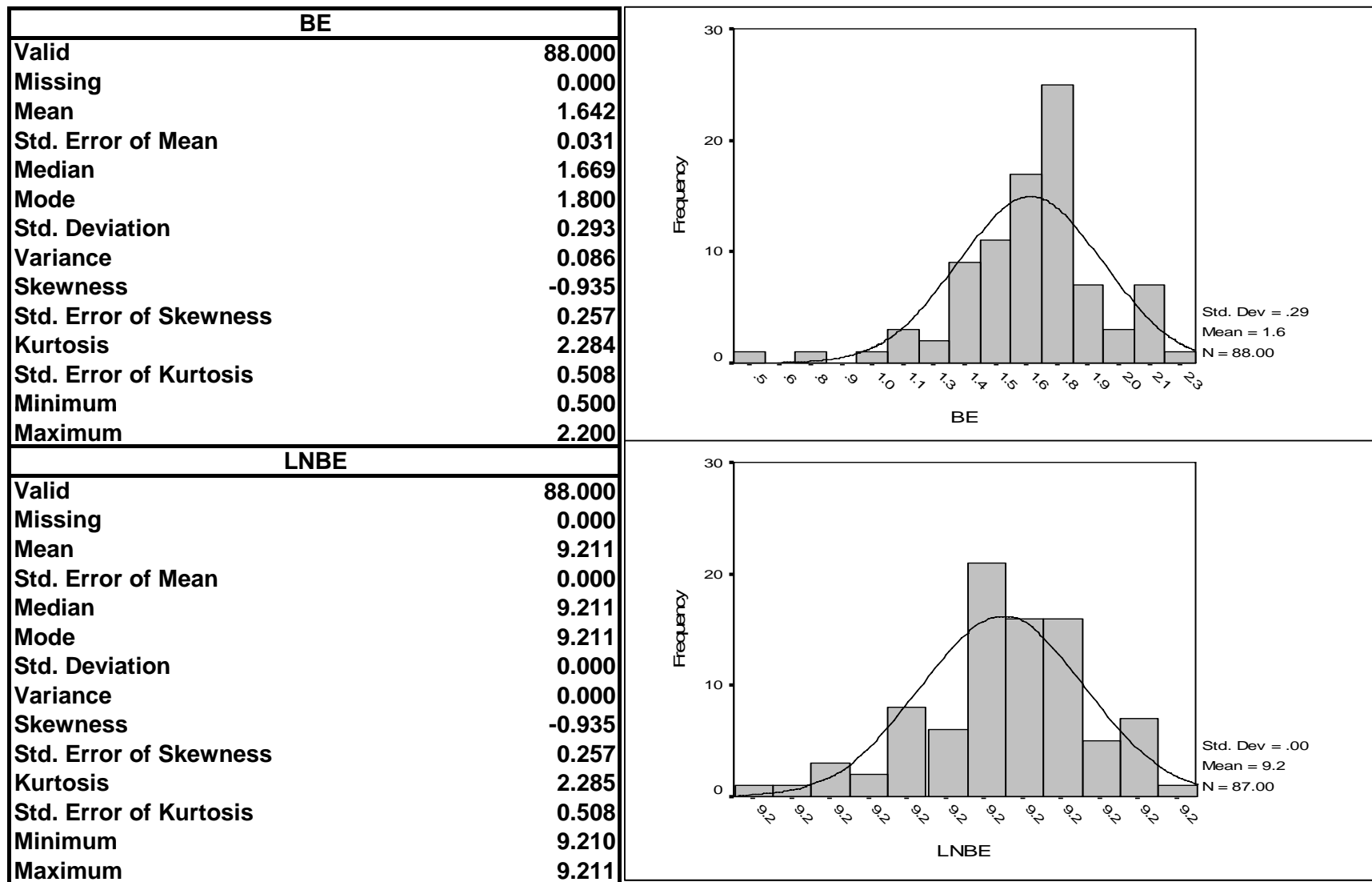
Au	
Valid	88.000
Missing	0.000
Mean	2.549
Std. Error of Mean	0.266
Median	1.500
Mode	1.000
Std. Deviation	2.499
Variance	6.243
Skewness	2.860
Std. Error of Skewness	0.257
Kurtosis	10.401
Std. Error of Kurtosis	0.508
Minimum	0.750
Maximum	16.000
NAu	
Valid	88.000
Missing	0.000
Mean	-0.022
Std. Error of Mean	0.117
Median	-0.237
Mode	-1.242
Std. Deviation	1.102
Variance	1.214
Skewness	0.305
Std. Error of Skewness	0.257
Kurtosis	-0.046
Std. Error of Kurtosis	0.508
Minimum	-3.247
Maximum	2.727



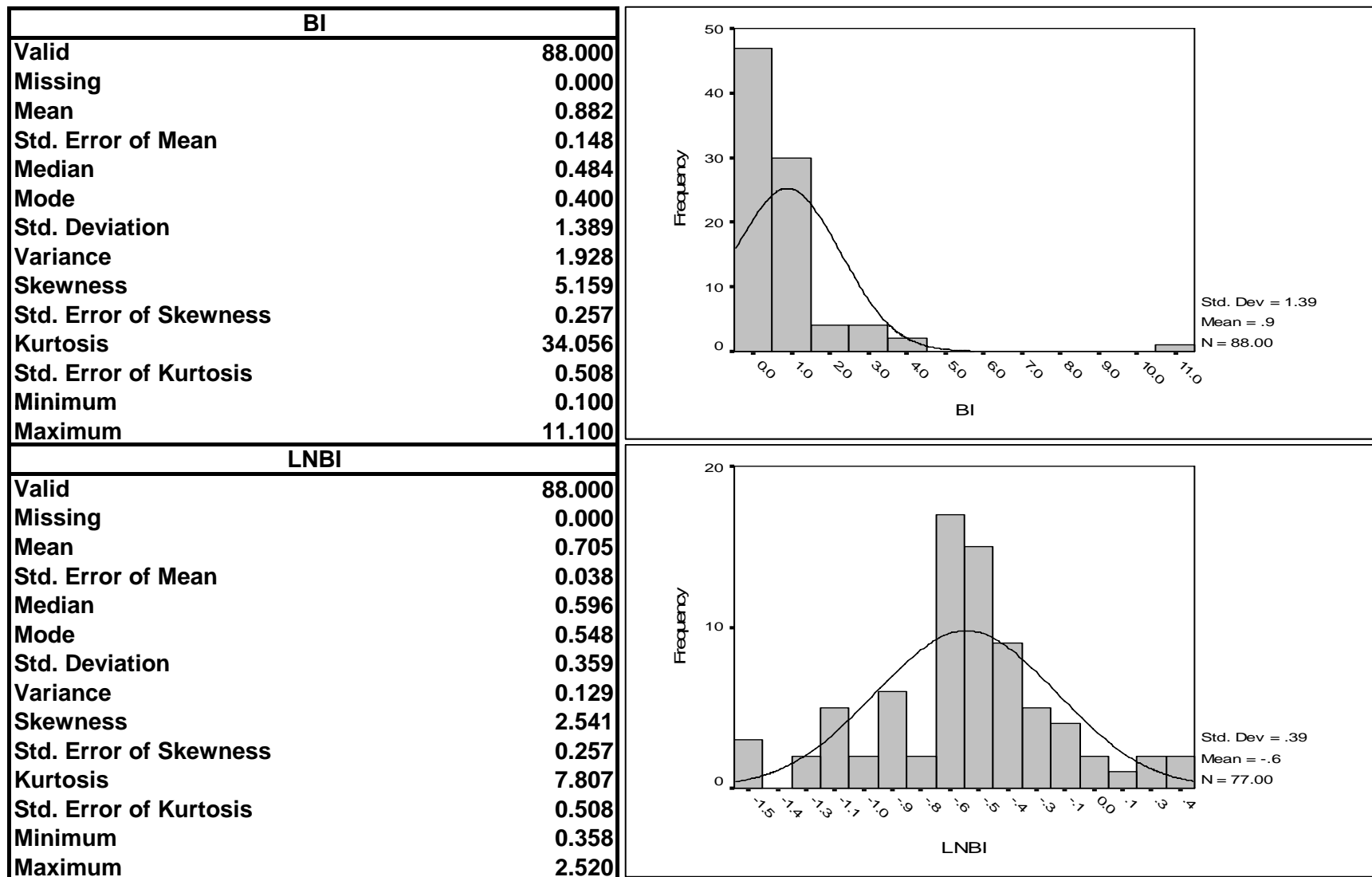
شکل (۱-۴): مشخصات آماری نمونه های ژئوشیمیابی خام و نرمال محدوده ۰-۲۵۰۰۰ فیروزان



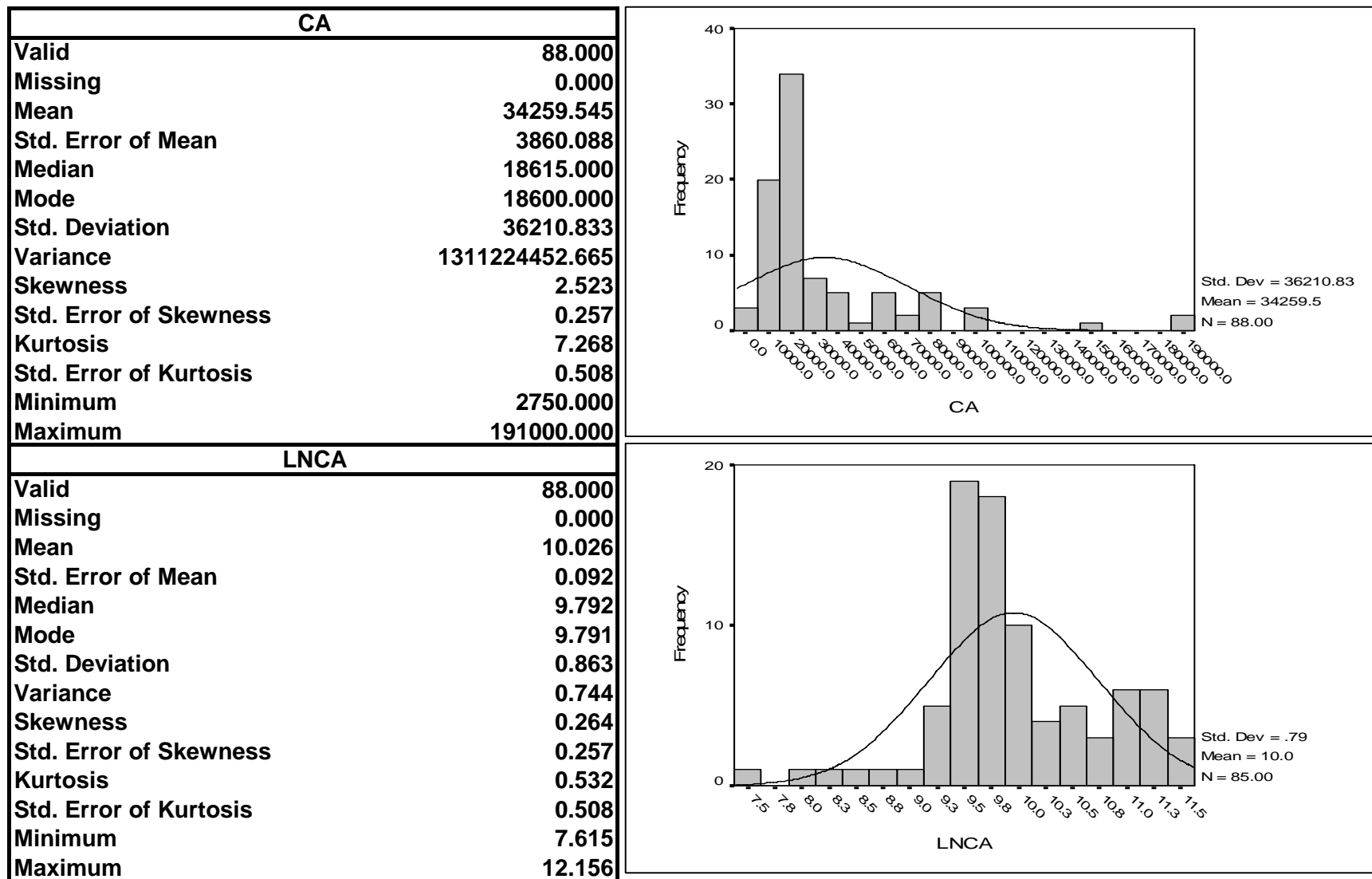
شکل (۱-۴): مشخصات آماری نمونه های ژئوشیمیابی خام و نرمال محدوده ۰-۲۵۰۰۰ فیروزان



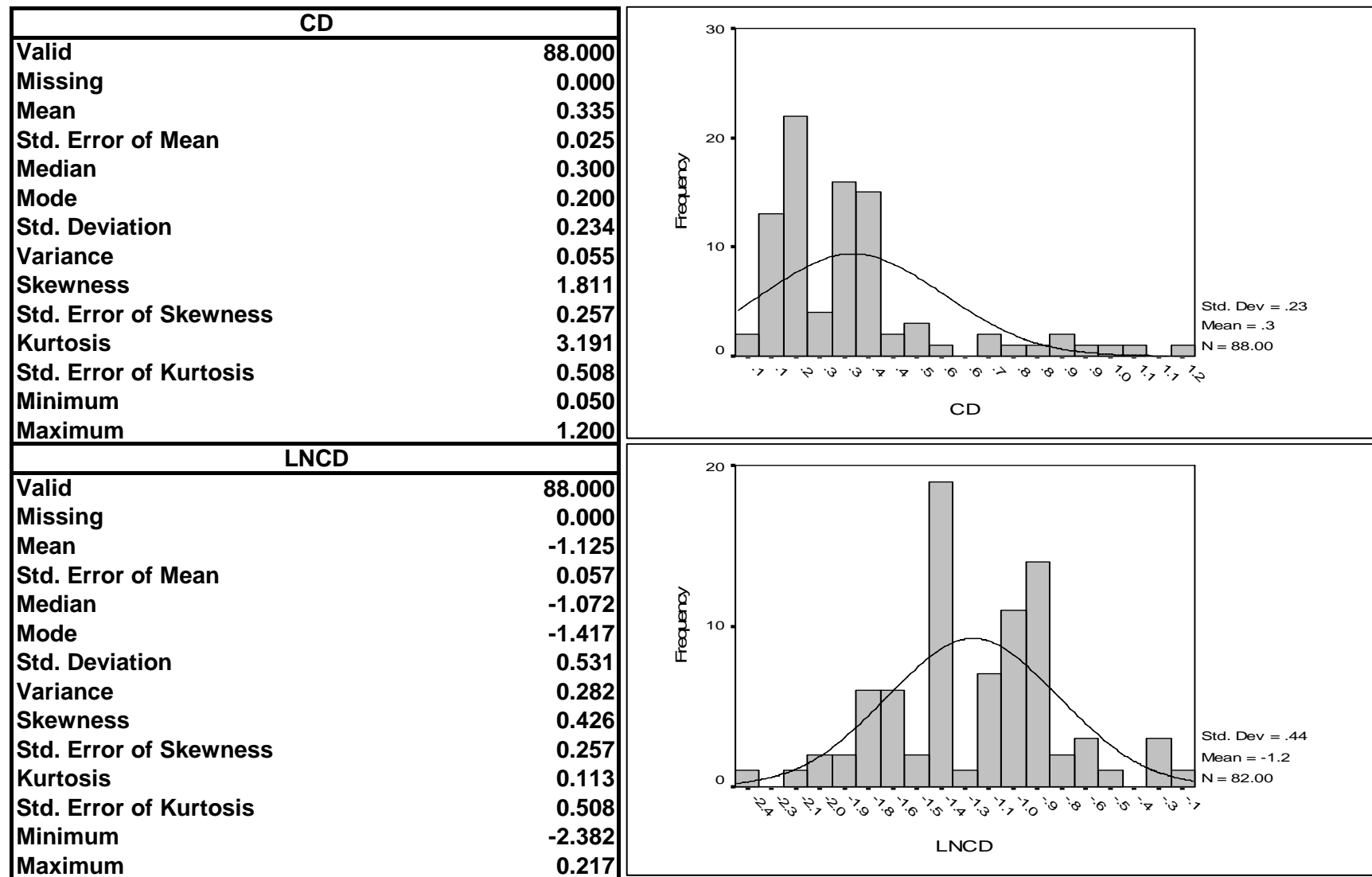
شکل (۱-۴): مشخصات آماری نمونه های ژئوشیمیابی خام و نرمال محدوده ۰-۲۵۰۰۰ فیروزان



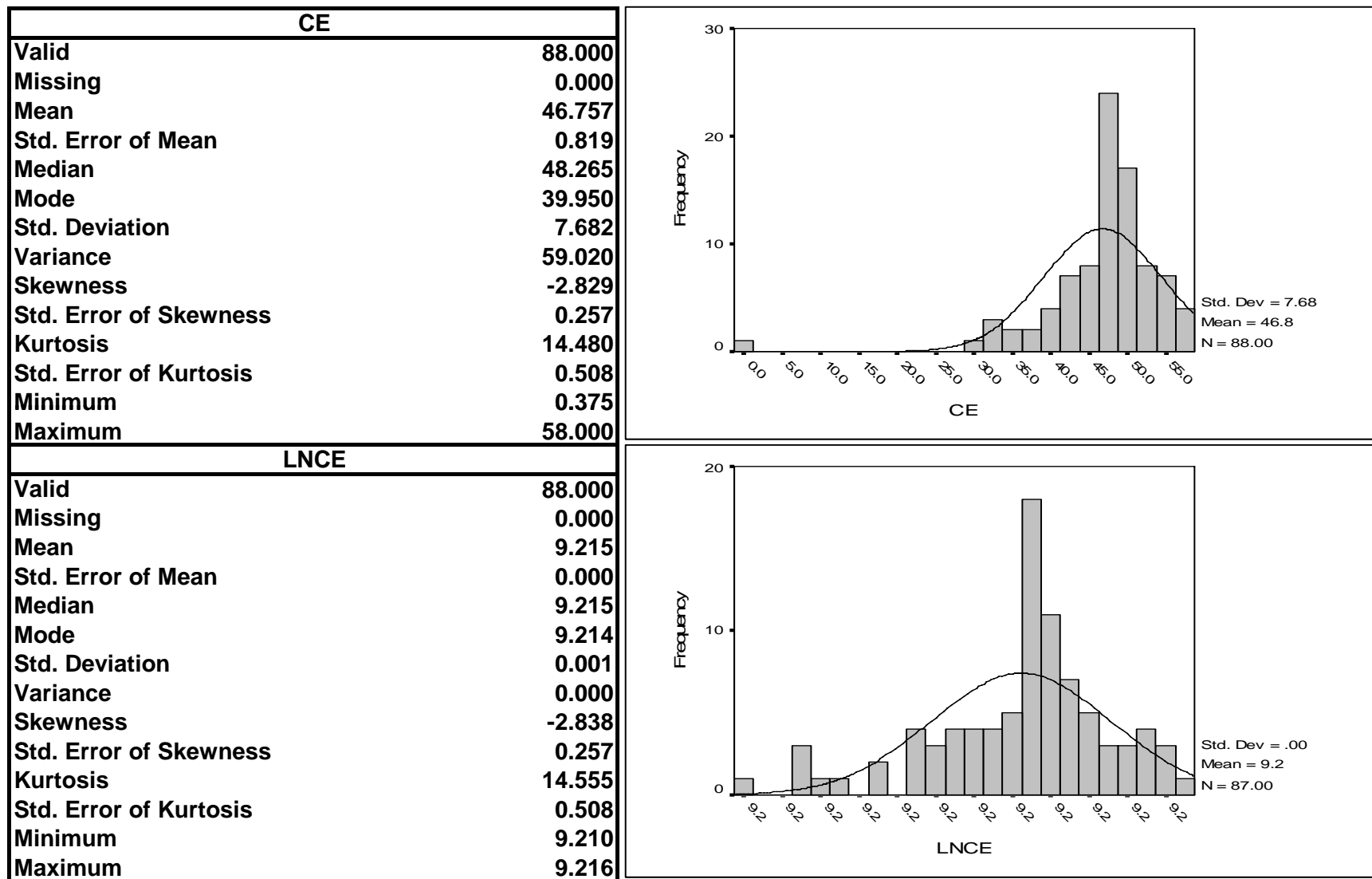
شکل (۱-۴): مشخصات آماری نمونه های ژئوشیمیابی خام و نرمال محدوده ۰-۲۵۰۰۰ فیروزان



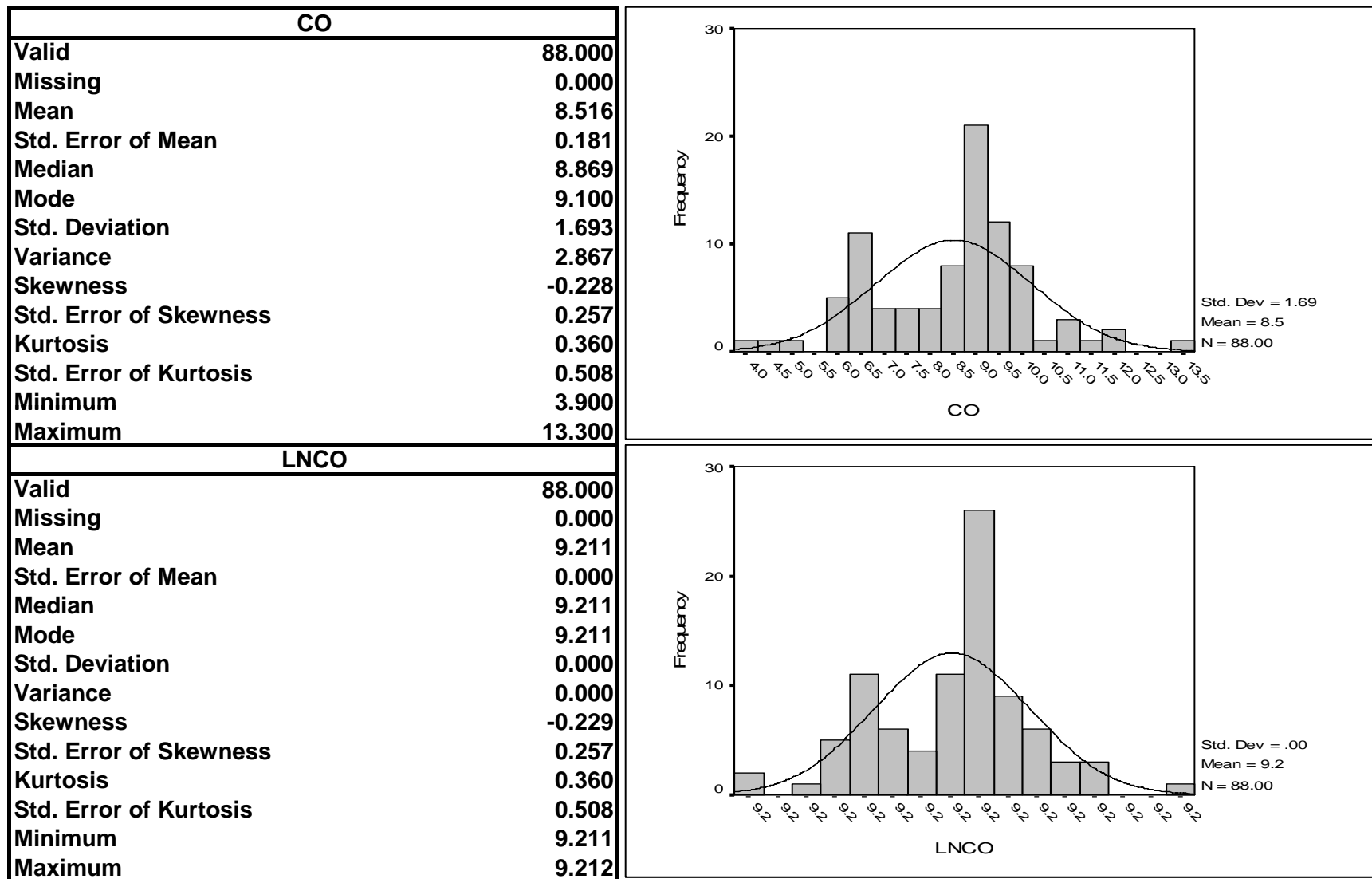
شکل (۱-۴): مشخصات آماری نمونه های ژئوشیمیابی خام و نرمال محدوده ۰-۲۵۰۰۰ فیروزان



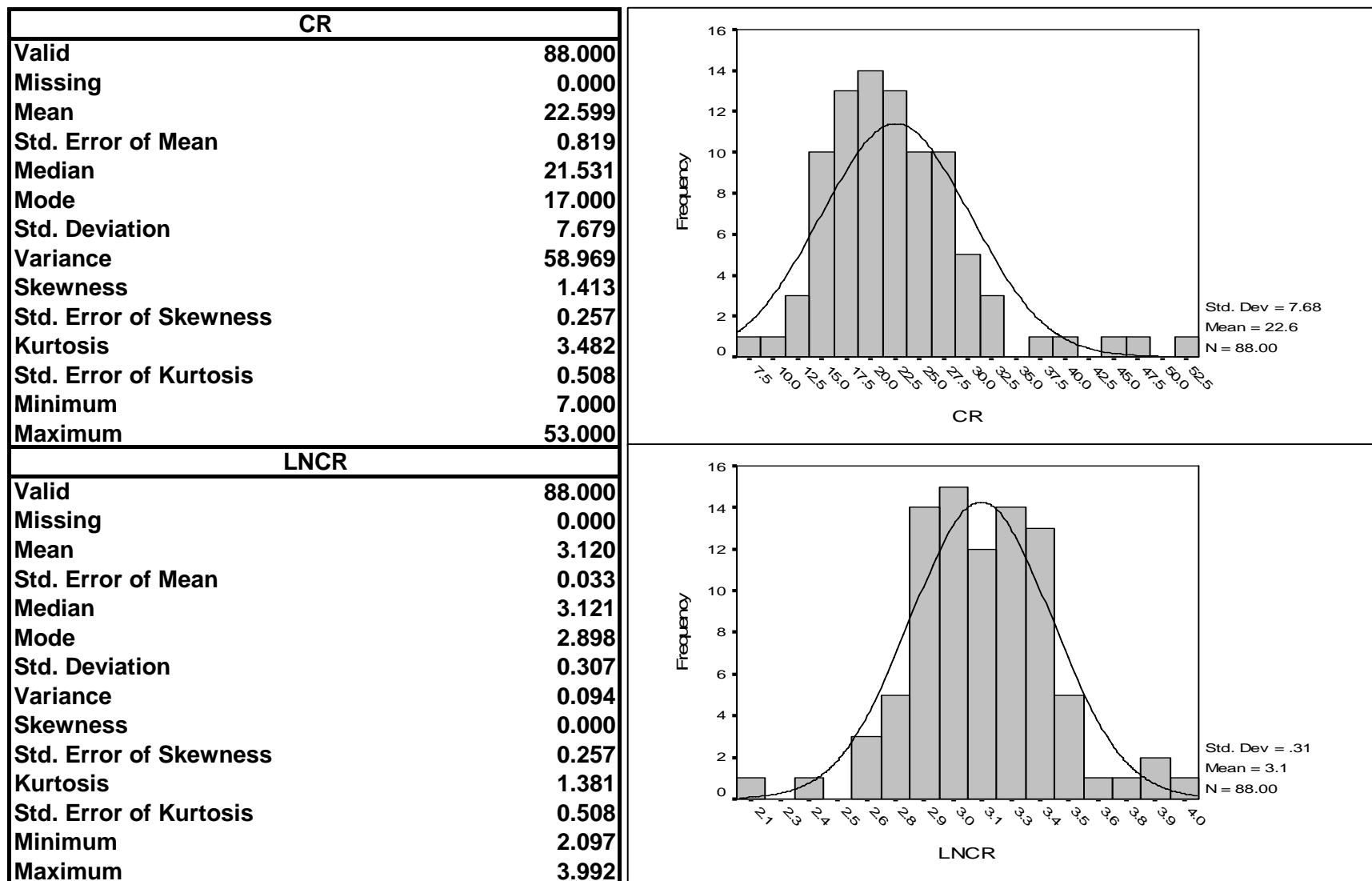
شکل (۱-۴): مشخصات آماری نمونه های ژئوشیمیابی خام و نرمال محدوده ۰-۲۵۰۰۰ فیروزان



شکل (۱-۴): مشخصات آماری نمونه های ژئوشیمیابی خام و نرمال محدوده ۰-۲۵۰۰۰ فیروزان

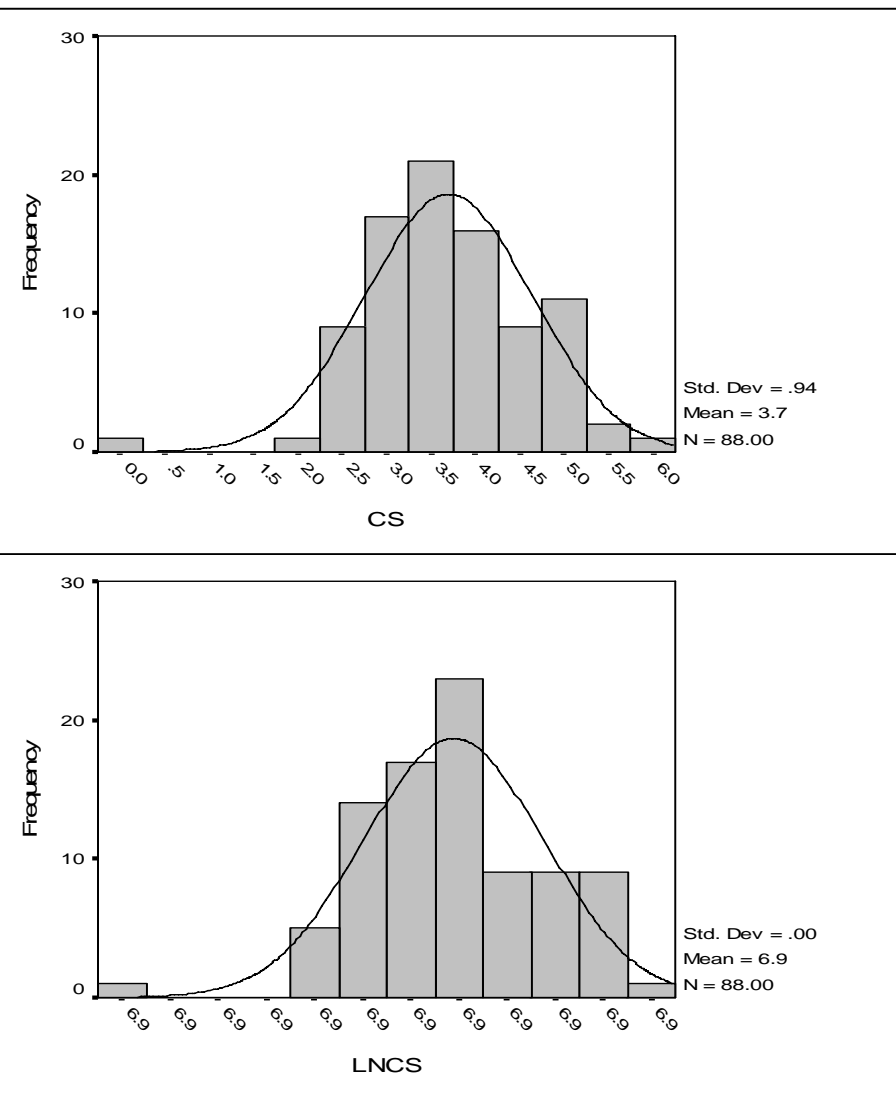


شکل (۱-۴): مشخصات آماری نمونه های ژئوشیمیابی خام و نرمال محدوده ۰-۲۵۰۰۰ فیروزان

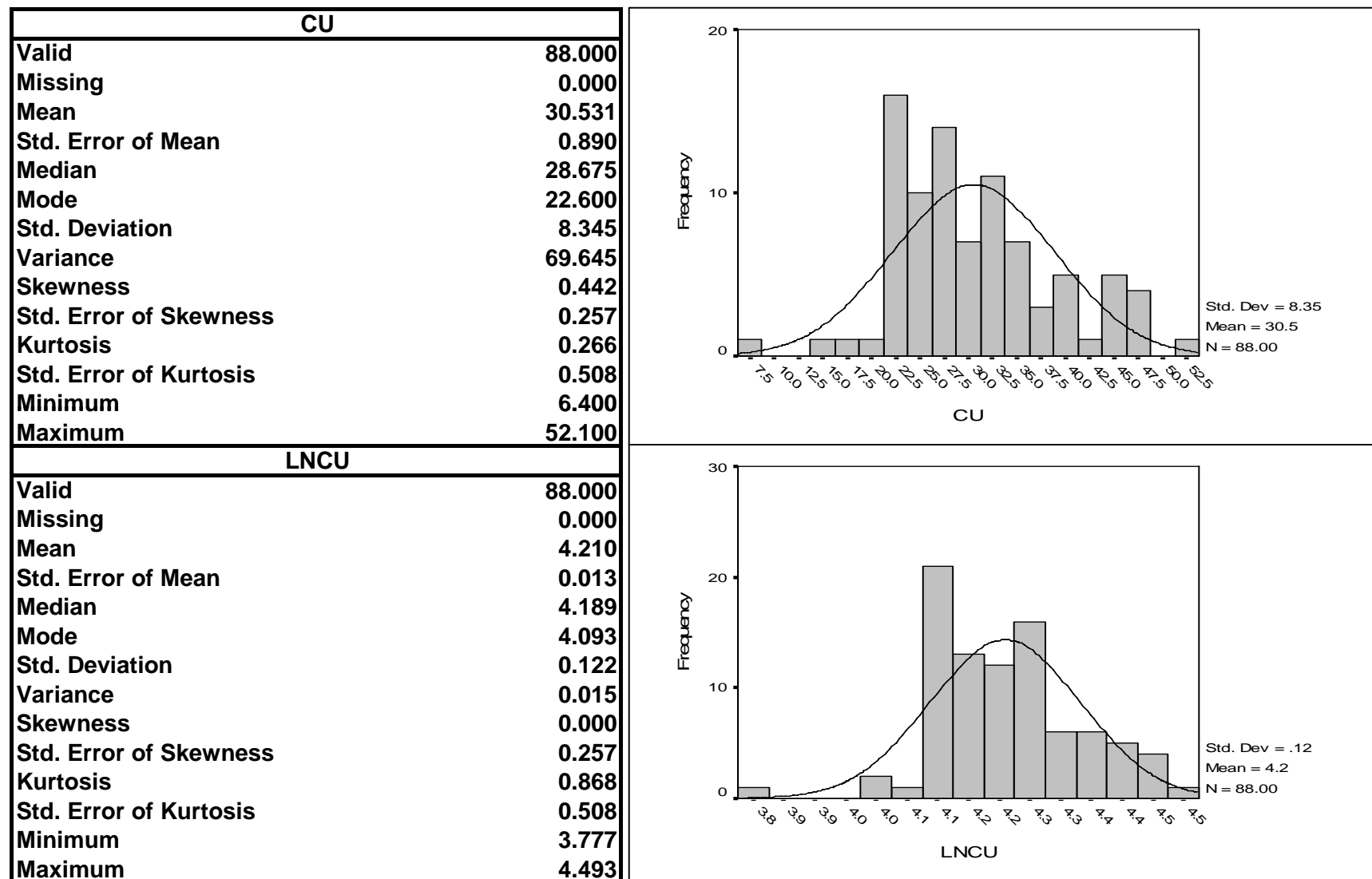


شکل (۱-۴): مشخصات آماری نمونه های ژئوشیمیابی خام و نرمال محدوده ۰-۲۵۰۰۰ فیروزان

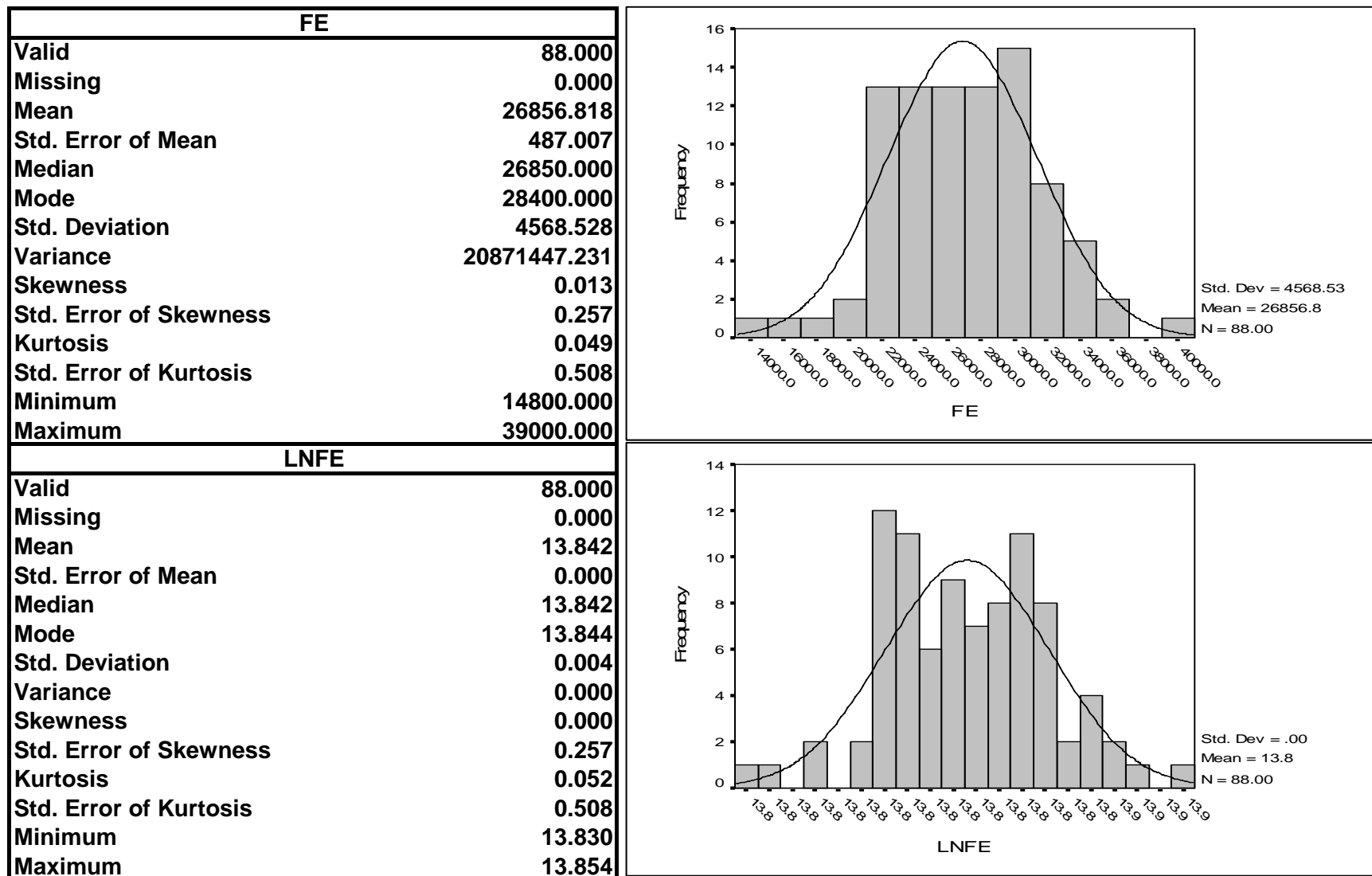
CS	
Valid	88.000
Missing	0.000
Mean	3.698
Std. Error of Mean	0.100
Median	3.644
Mode	3.400
Std. Deviation	0.942
Variance	0.887
Skewness	-0.298
Std. Error of Skewness	0.257
Kurtosis	1.330
Std. Error of Kurtosis	0.508
Minimum	0.075
Maximum	5.800
LNCS	
Valid	88.000
Missing	0.000
Mean	6.911
Std. Error of Mean	0.000
Median	6.911
Mode	6.911
Std. Deviation	0.001
Variance	0.000
Skewness	-0.303
Std. Error of Skewness	0.257
Kurtosis	1.343
Std. Error of Kurtosis	0.508
Minimum	6.908
Maximum	6.914



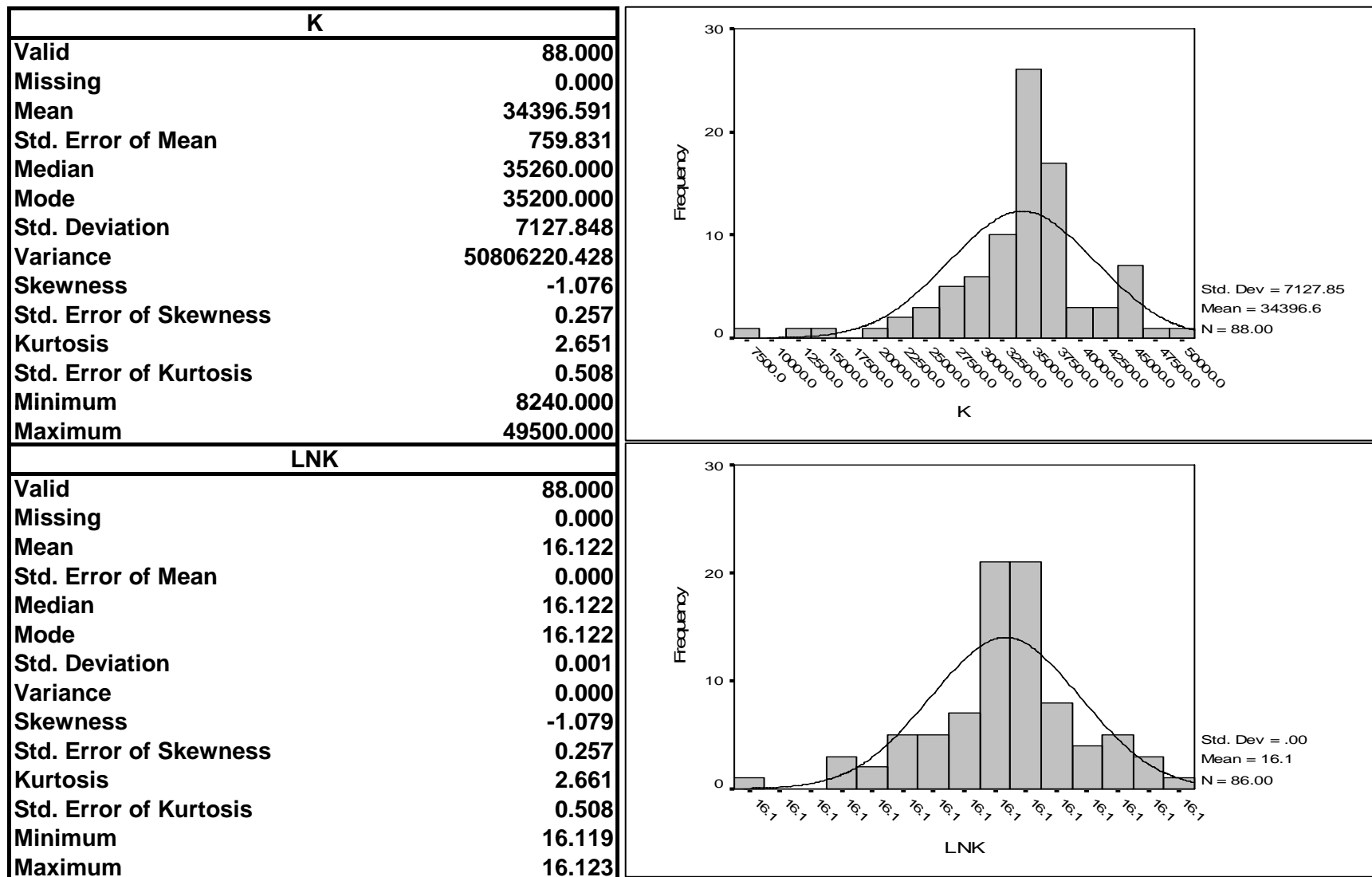
شکل (۱-۴): مشخصات آماری نمونه های ژئوشیمیابی خام و نرمال محدوده ۰-۲۵۰۰۰ فیروزان



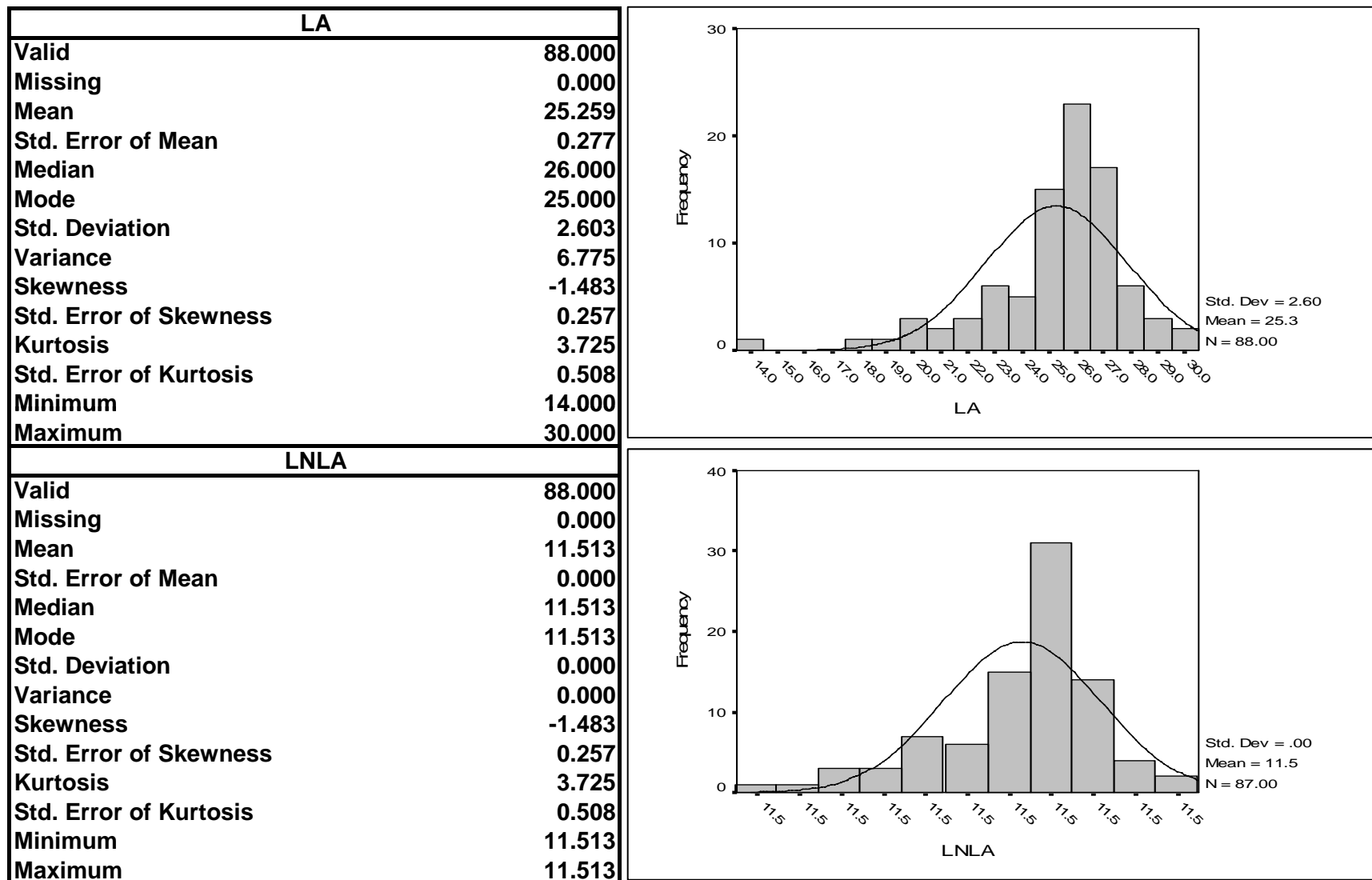
شکل (۱-۴): مشخصات آماری نمونه های ژئوشیمیابی خام و نرمال محدوده ۰:۲۵۰۰۰ فیروزان



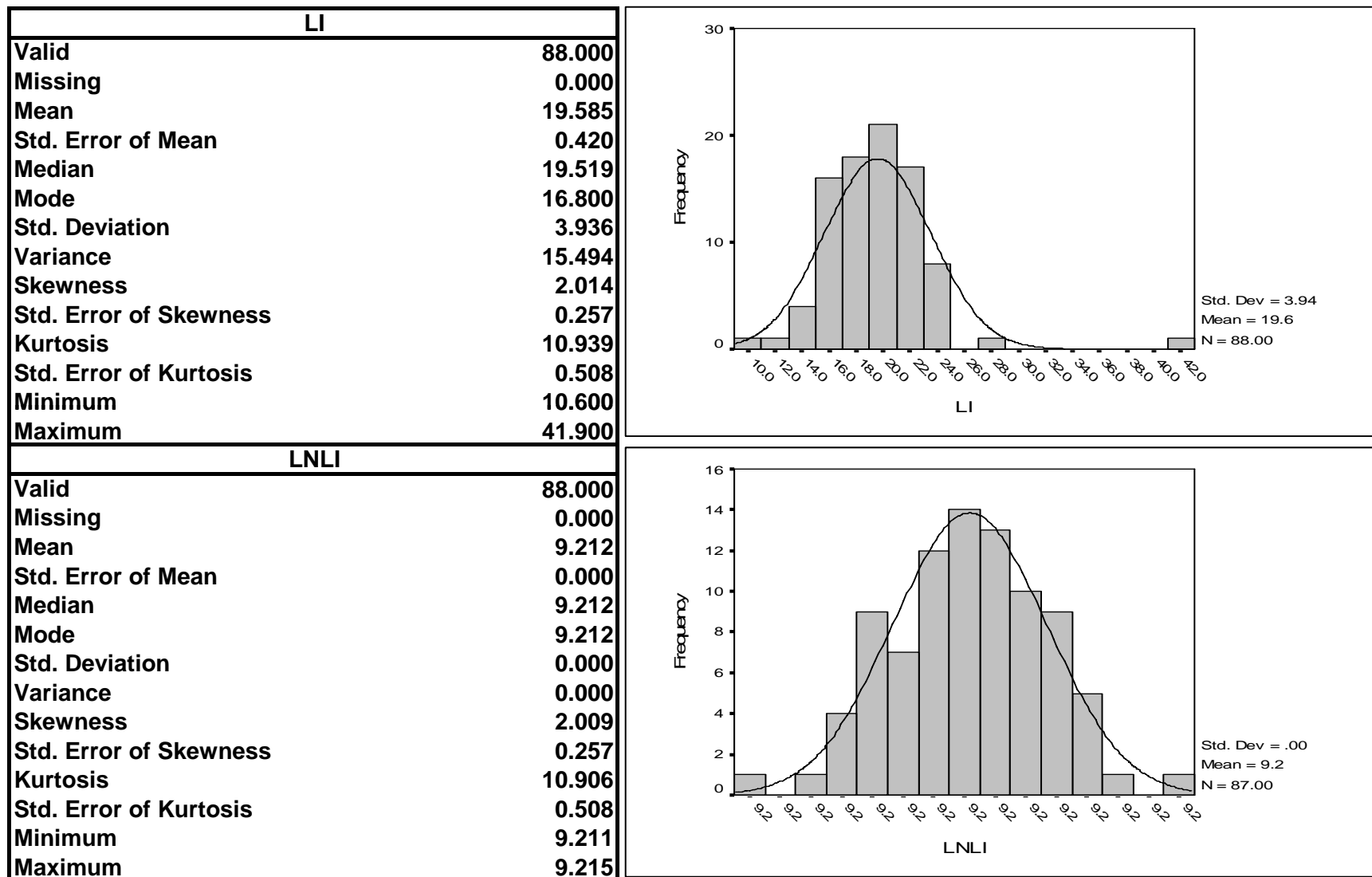
شکل (۱-۴): مشخصات آماری نمونه های ژئوشیمیابی خام و نرمال محدوده ۰:۲۵۰۰۰ فیروزان



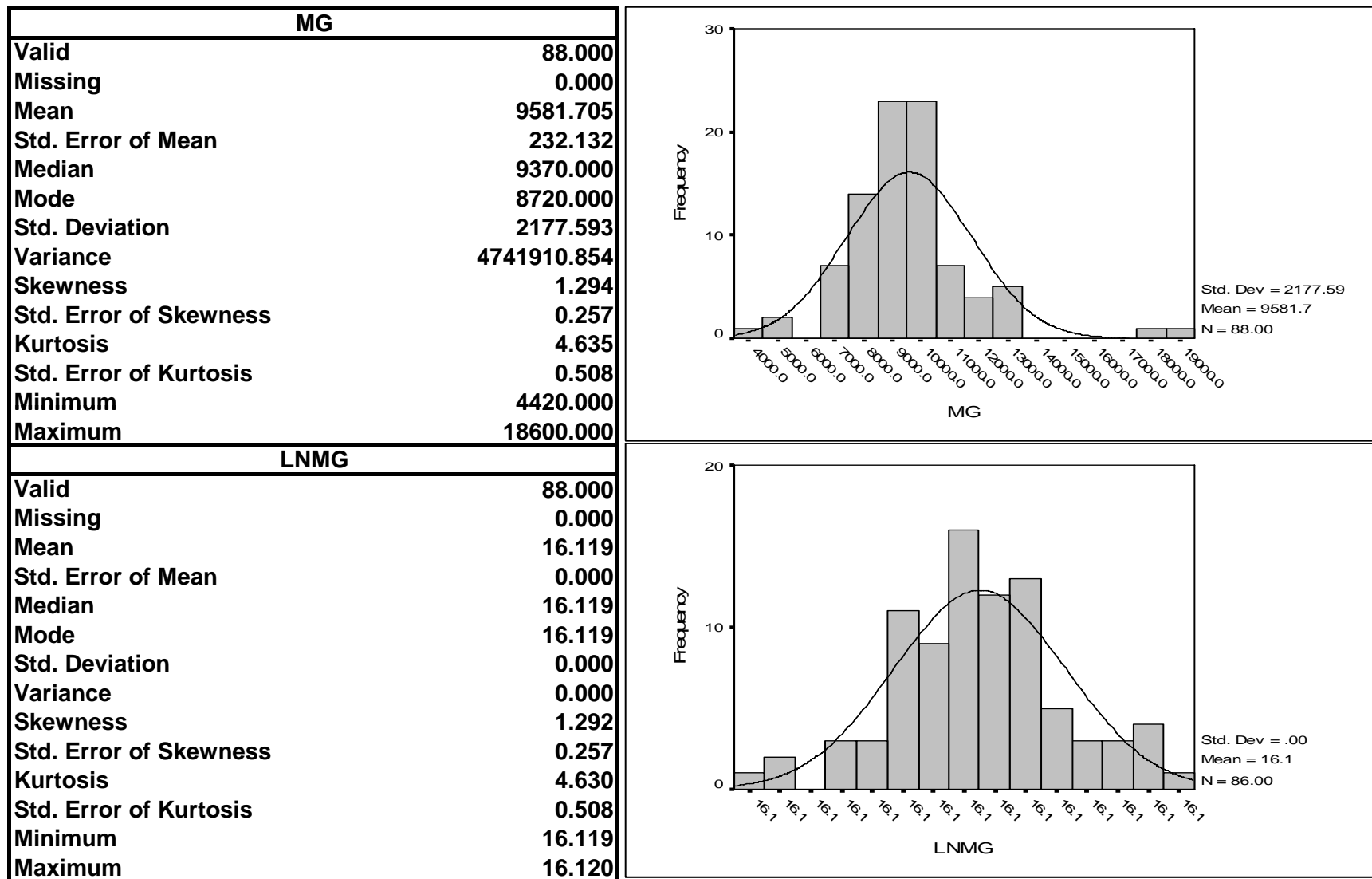
شکل (۱-۴): مشخصات آماری نمونه های ژئوشیمیابی خام و نرمال محدوده ۰-۲۵۰۰۰ فیروزان



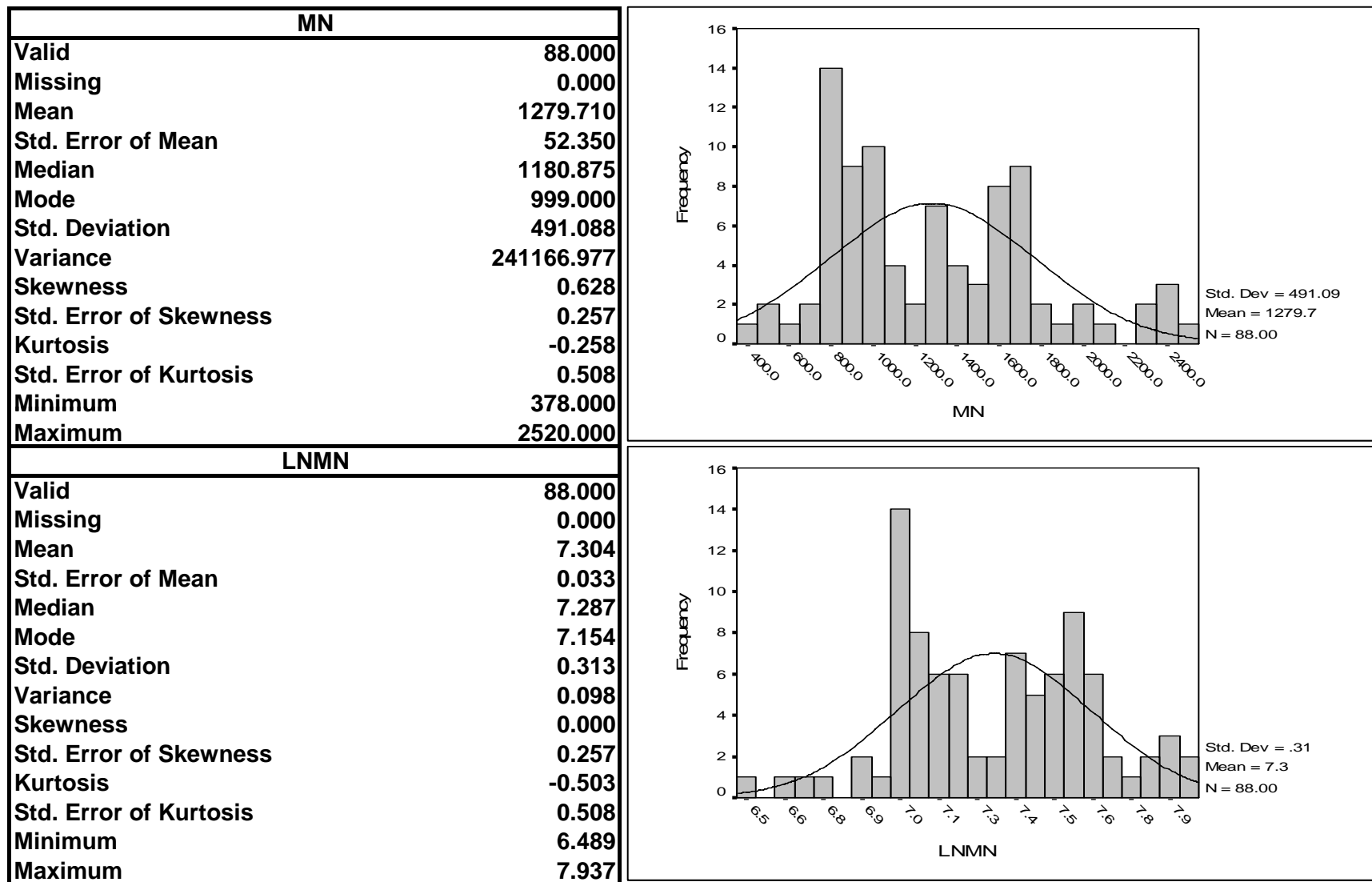
شکل (۱-۴): مشخصات آماری نمونه های ژئوشیمیابی خام و نرمال محدوده ۰-۲۵۰۰۰ فیروزان



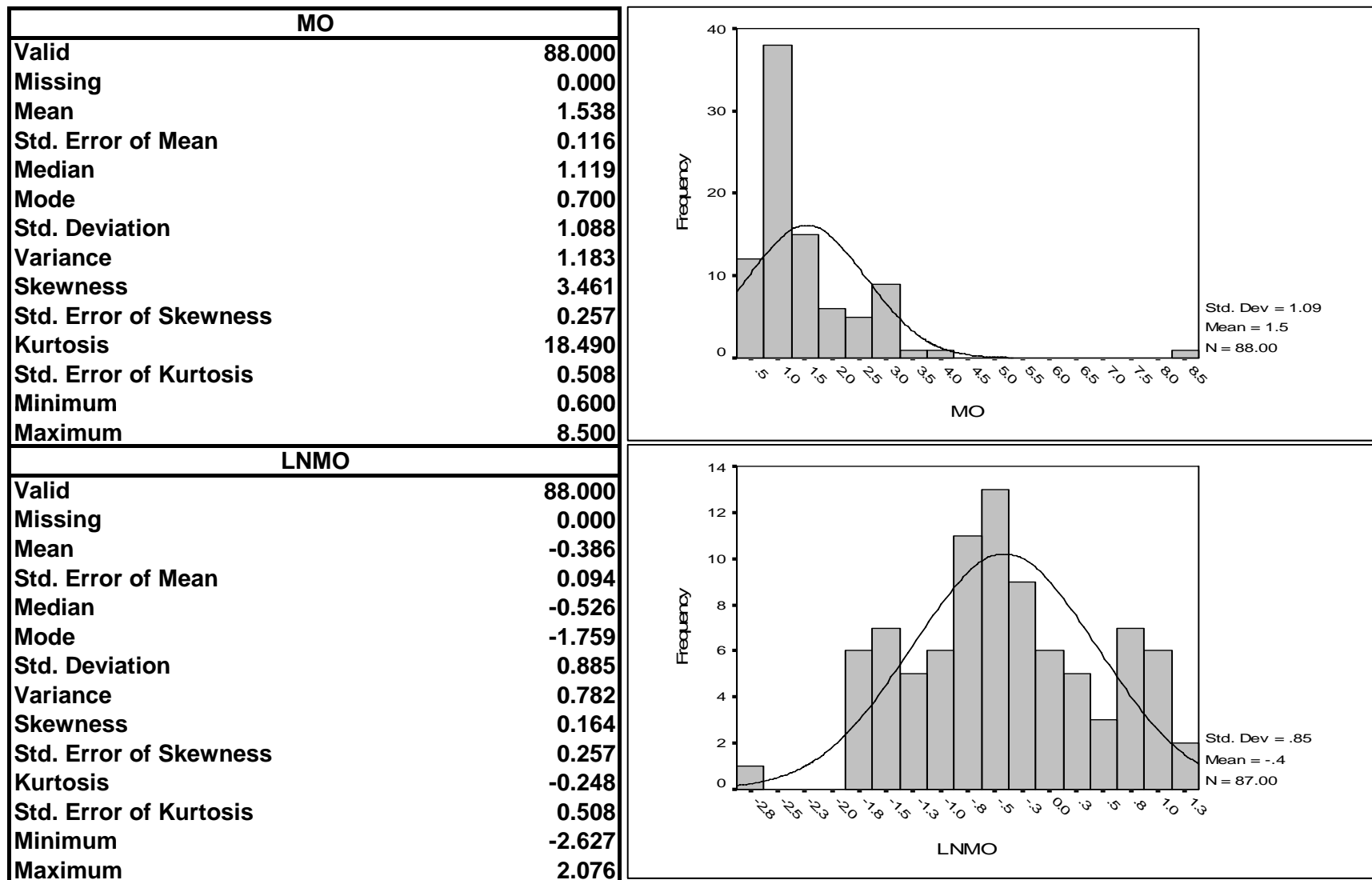
شکل (۱-۴): مشخصات آماری نمونه های ژئوشیمیابی خام و نرمال محدوده ۰:۲۵۰۰۰ فیروزان



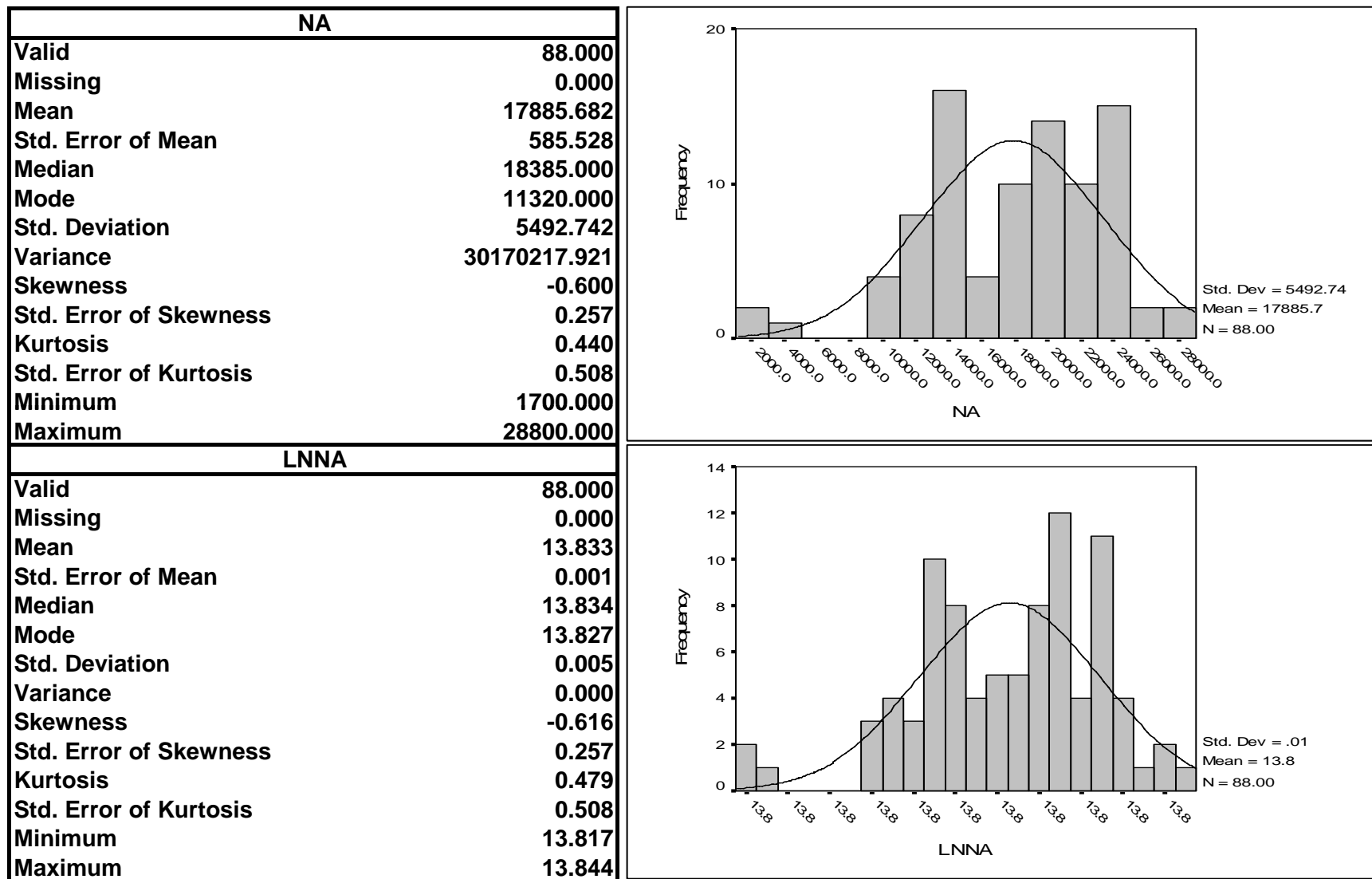
شکل (۱-۴): مشخصات آماری نمونه های ژئوشیمیابی خام و نرمال محدوده ۰:۲۵۰۰۰ فیروزان



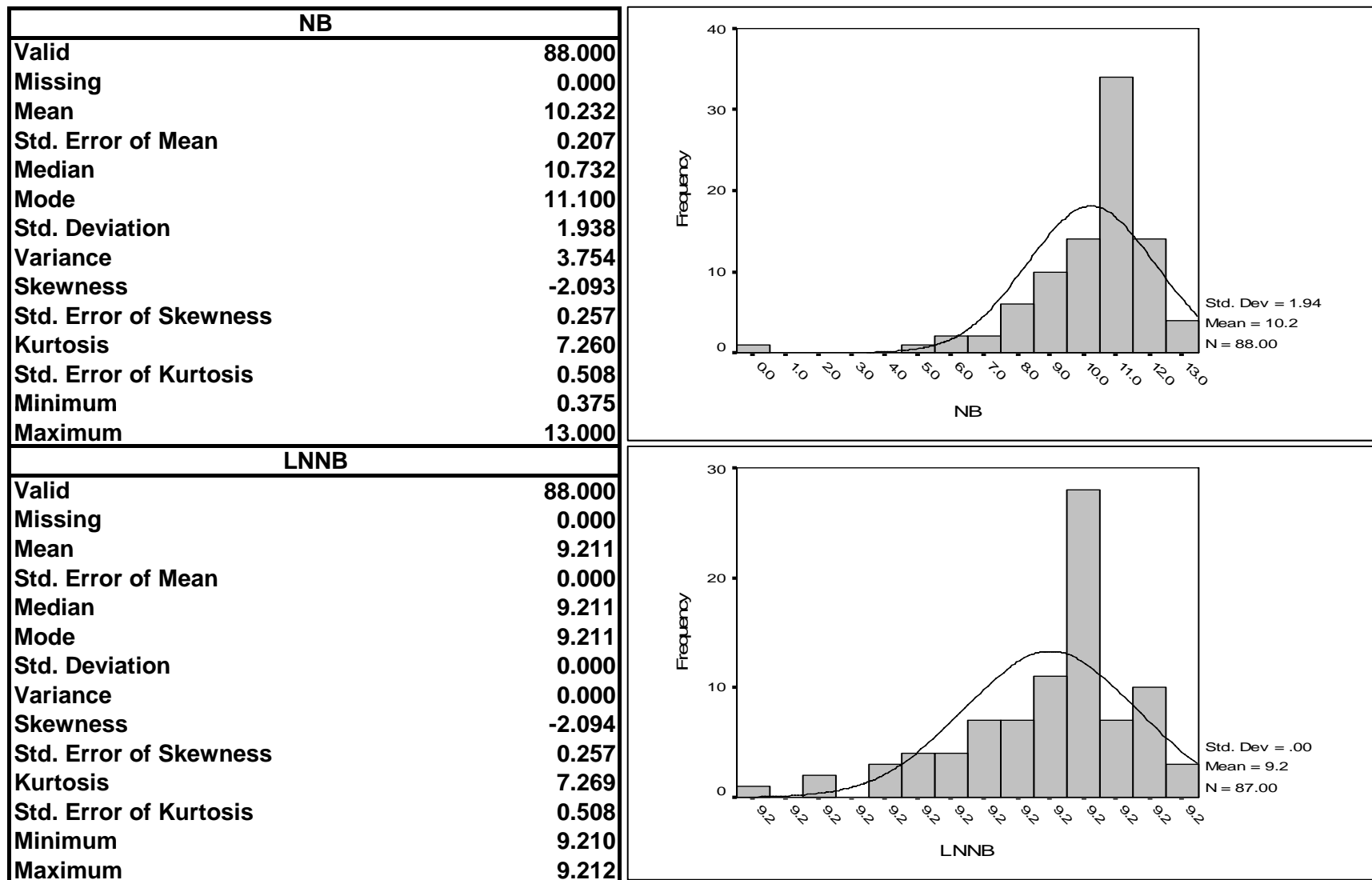
شکل (۱-۴): مشخصات آماری نمونه های ژئوشیمیابی خام و نرمال محدوده ۰-۲۵۰۰۰ فیروزان



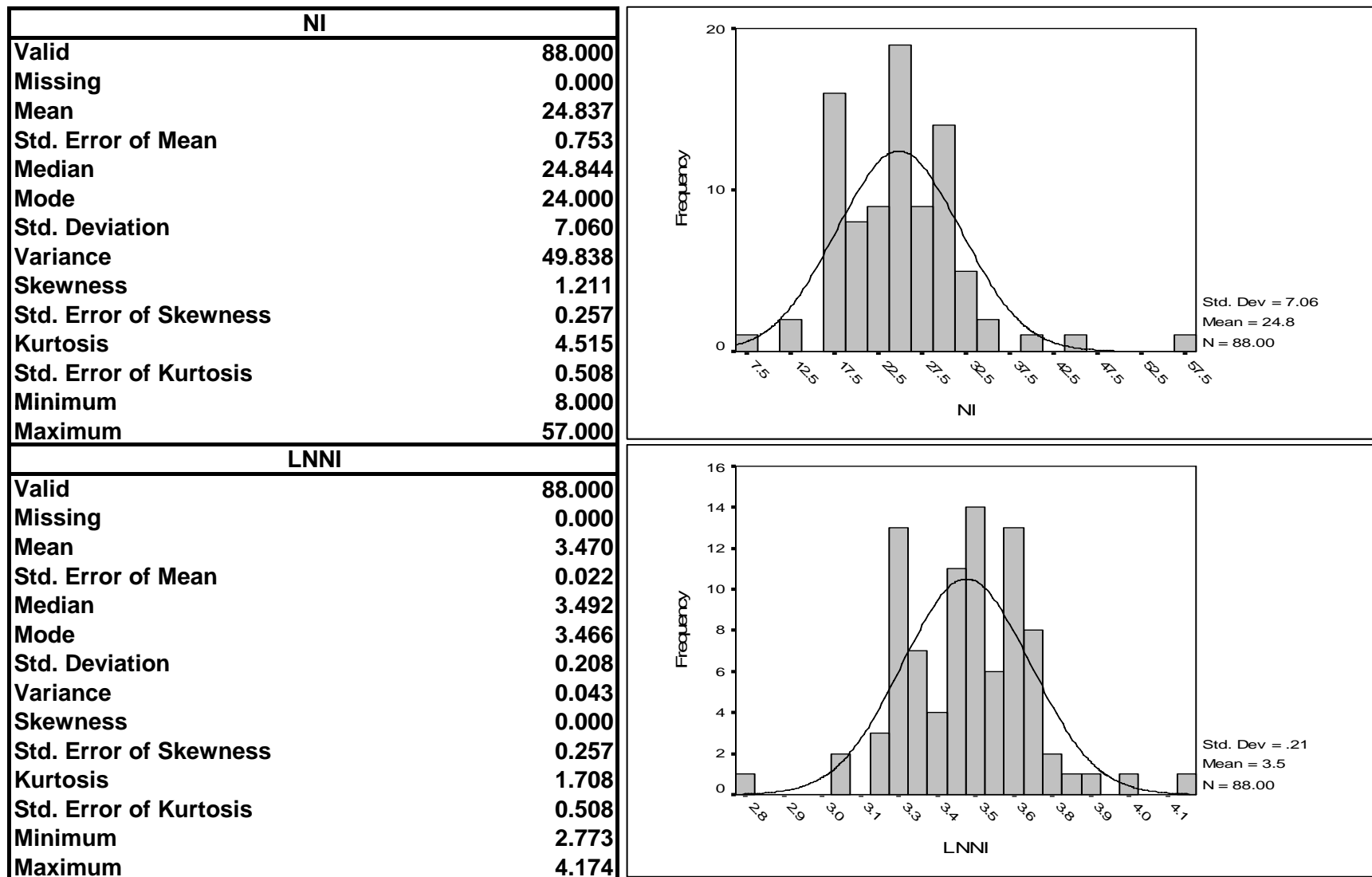
شکل (۱-۴): مشخصات آماری نمونه های ژئوشیمیابی خام و نرمال محدوده ۰:۲۵۰۰۰ فیروزان



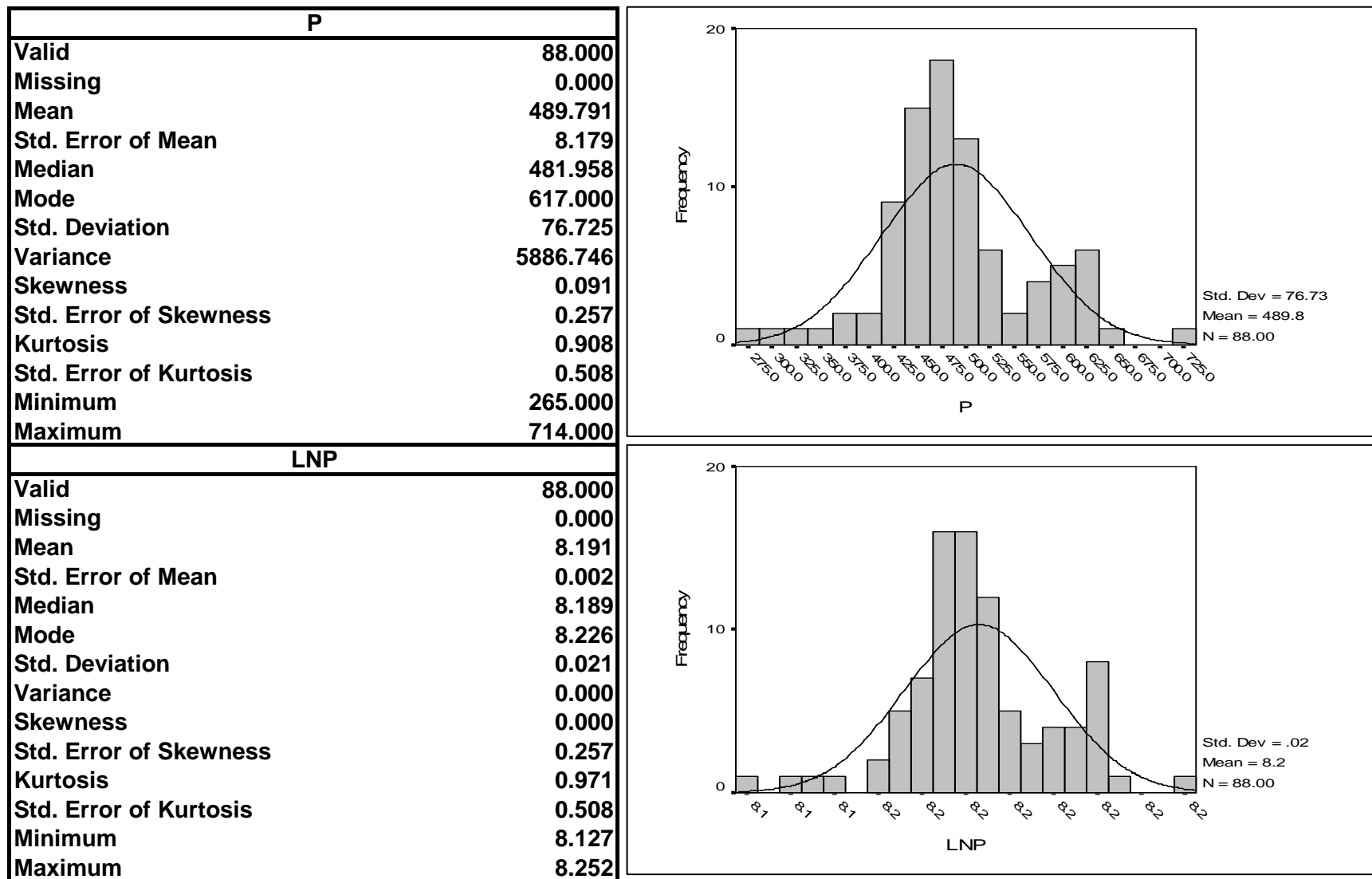
شکل (۱-۴): مشخصات آماری نمونه های ژئوشیمیابی خام و نرمال محدوده ۱۰۵۰۰۰ فیروزان



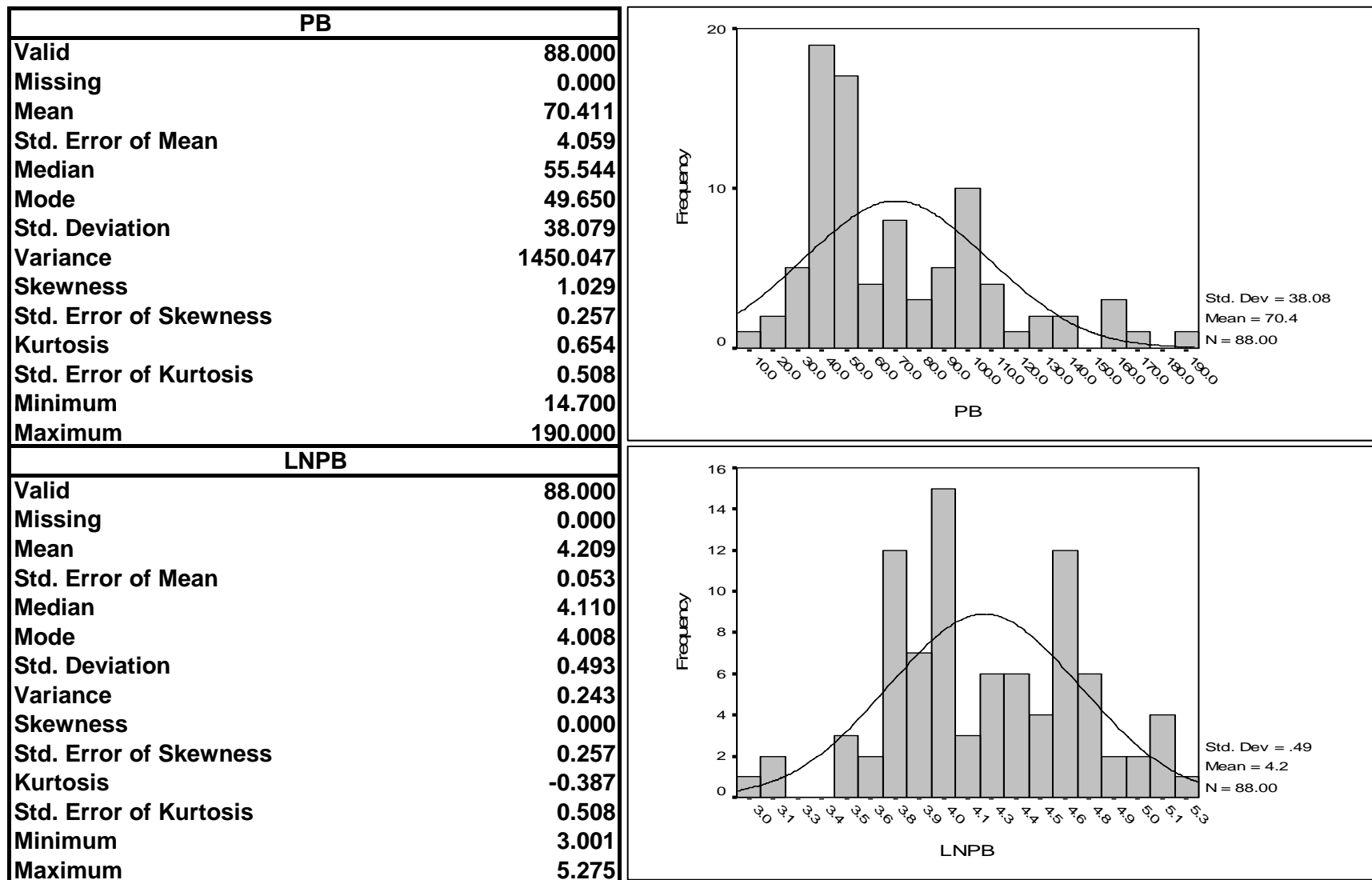
شکل (۱-۴): مشخصات آماری نمونه های ژئوشیمیابی خام و نرمال محدوده ۰-۲۵۰۰۰ فیروزان



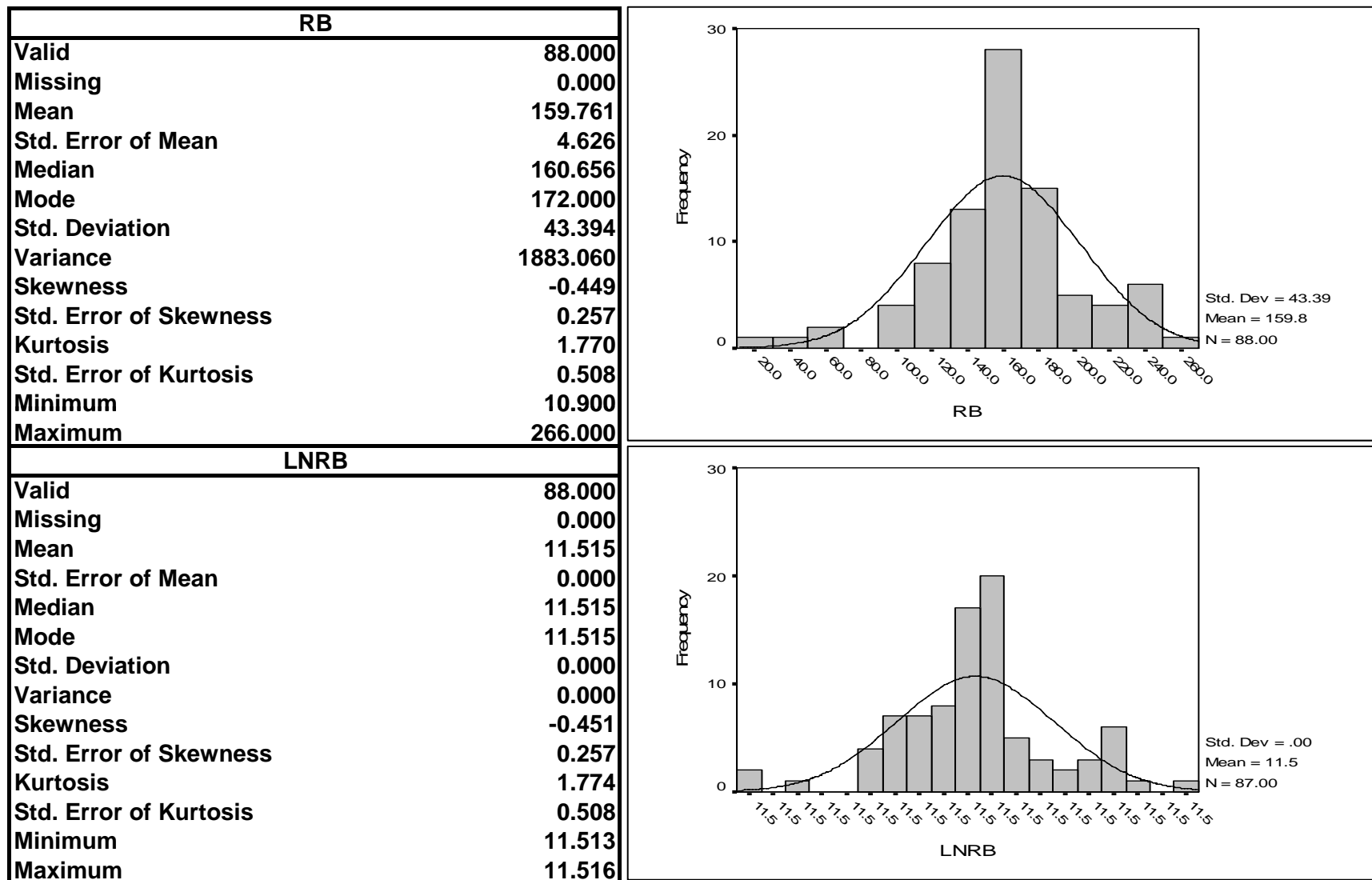
شکل (۱-۴): مشخصات آماری نمونه های ژئوشیمیابی خام و نرمال محدوده ۰-۲۵۰۰۰ فیروزان



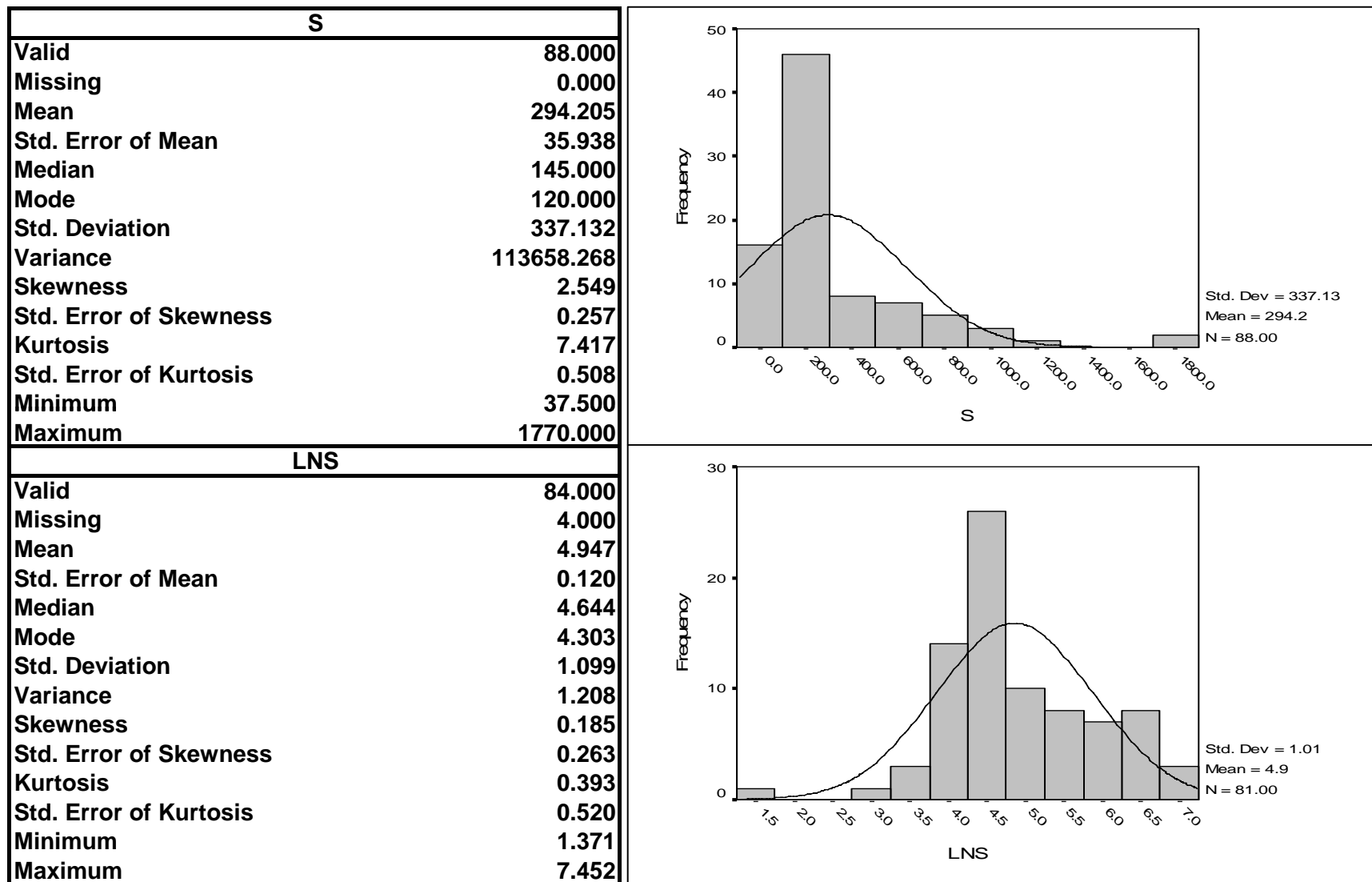
شکل (۱-۴): مشخصات آماری نمونه های ژئوشیمیابی خام و نرمال محدوده ۰:۲۵۰۰۰ فیروزان



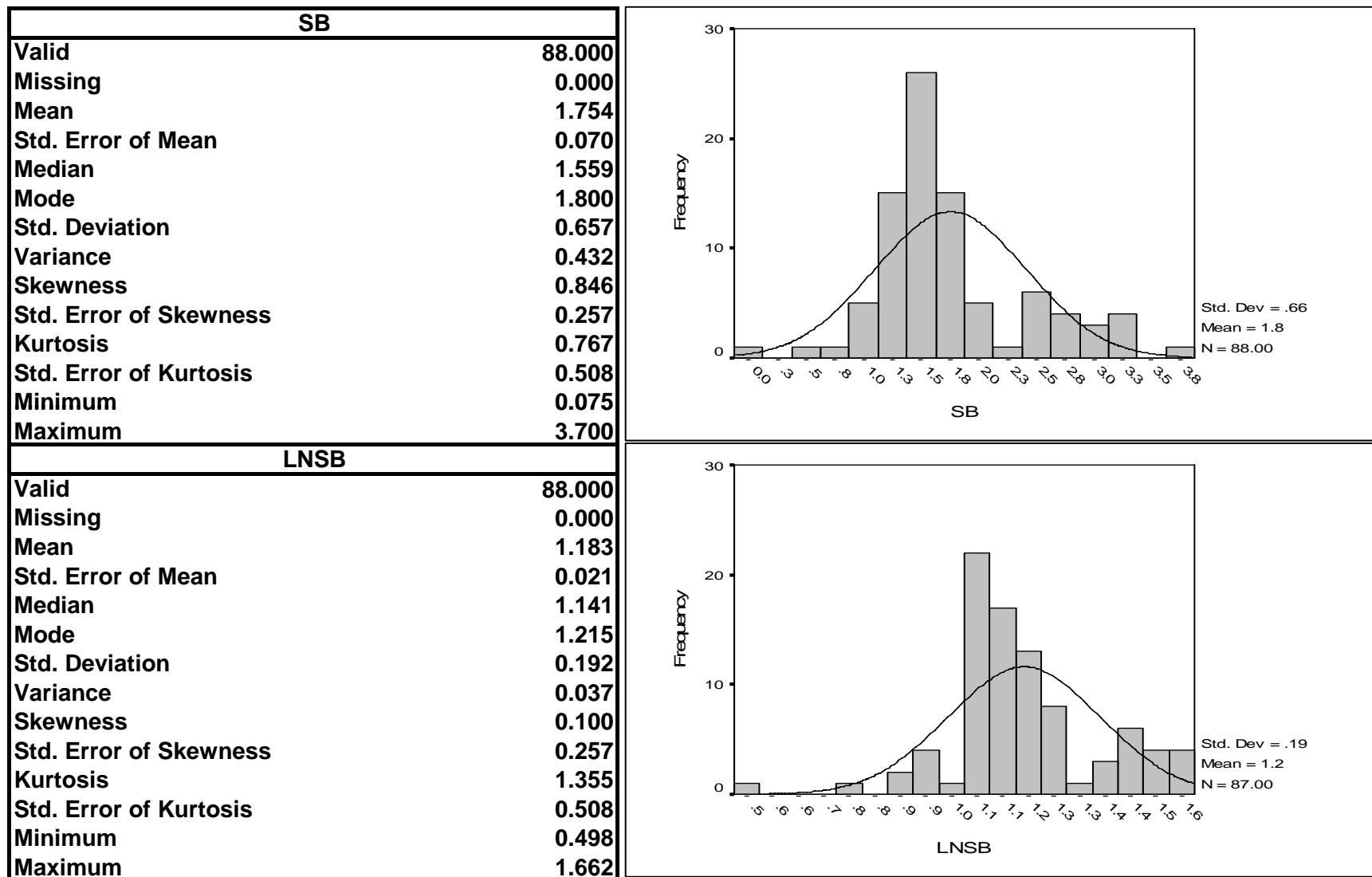
شکل (۱-۴): مشخصات آماری نمونه های ژئوشیمیابی خام و نرمال محدوده ۰-۲۵۰۰۰ فیروزان



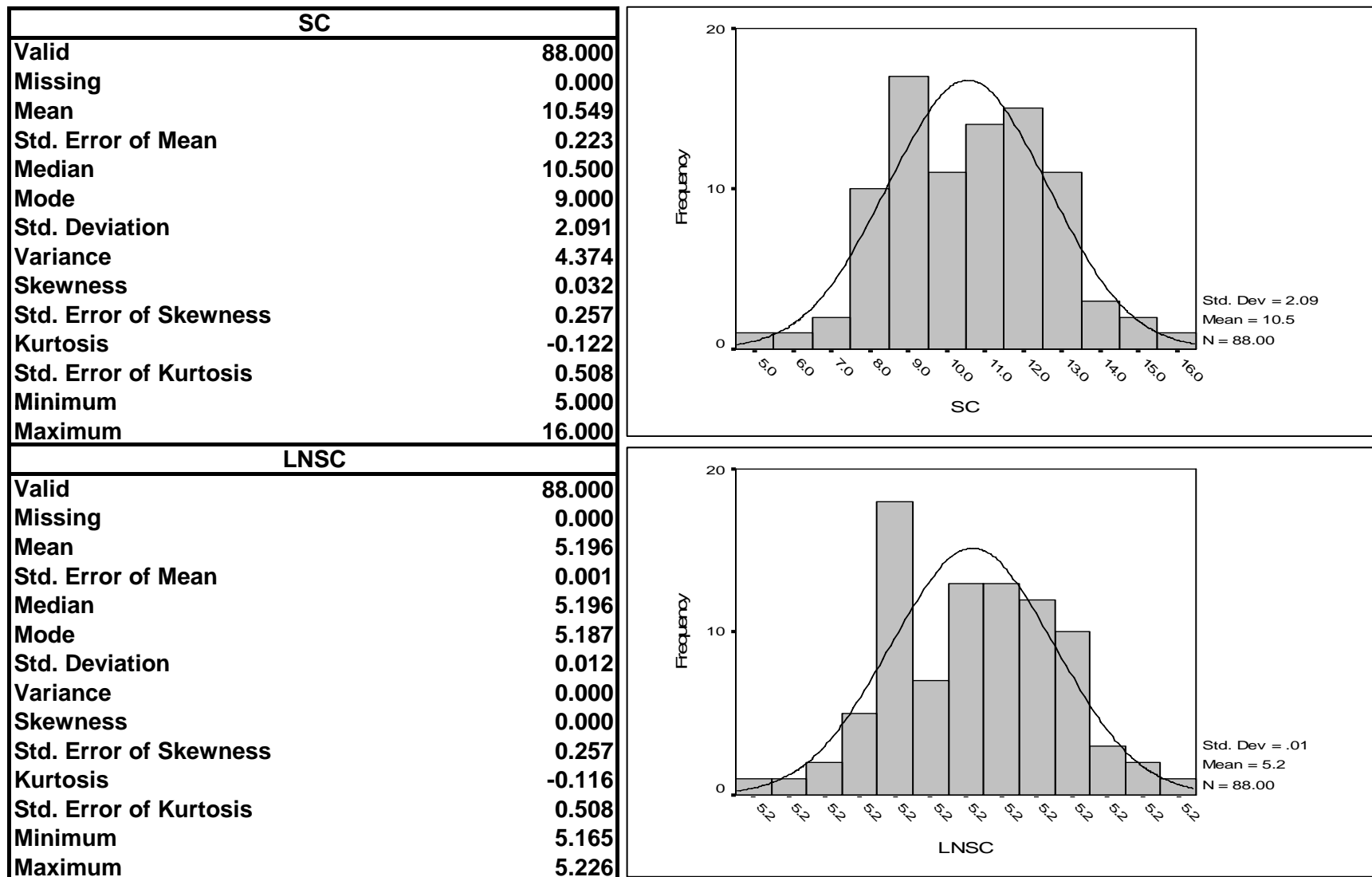
شکل (۱-۴): مشخصات آماری نمونه های ژئوشیمیابی خام و نرمال محدوده ۰:۲۵۰۰۰ فیروزان



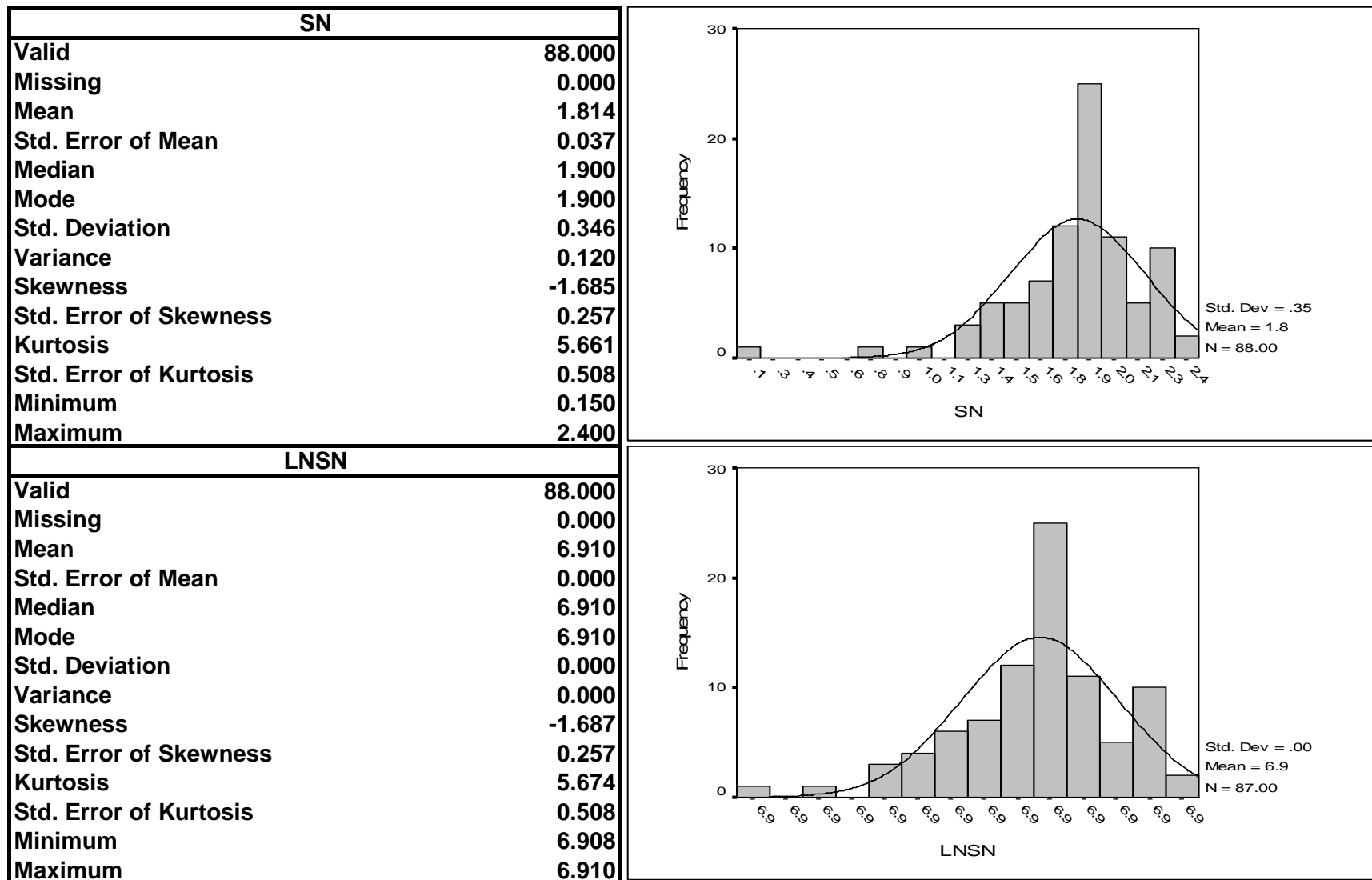
شکل (۱-۴): مشخصات آماری نمونه های ژئوشیمیابی خام و نرمال محدوده ۰-۲۵۰۰۰ فیروزان



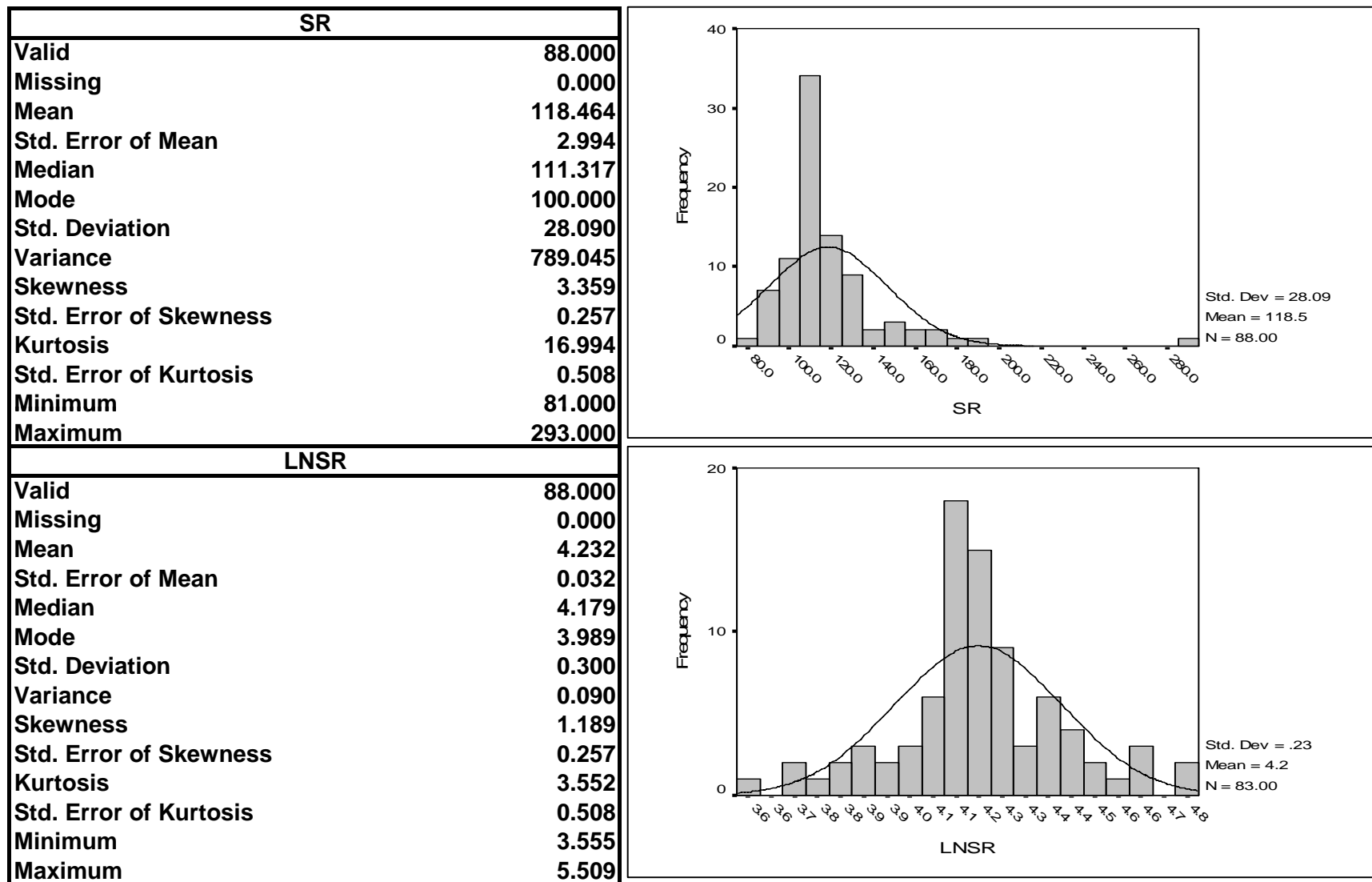
شکل (۱-۴): مشخصات آماری نمونه های ژئوشیمیابی خام و نرمال محدوده ۰:۲۵۰۰۰ فیروزان



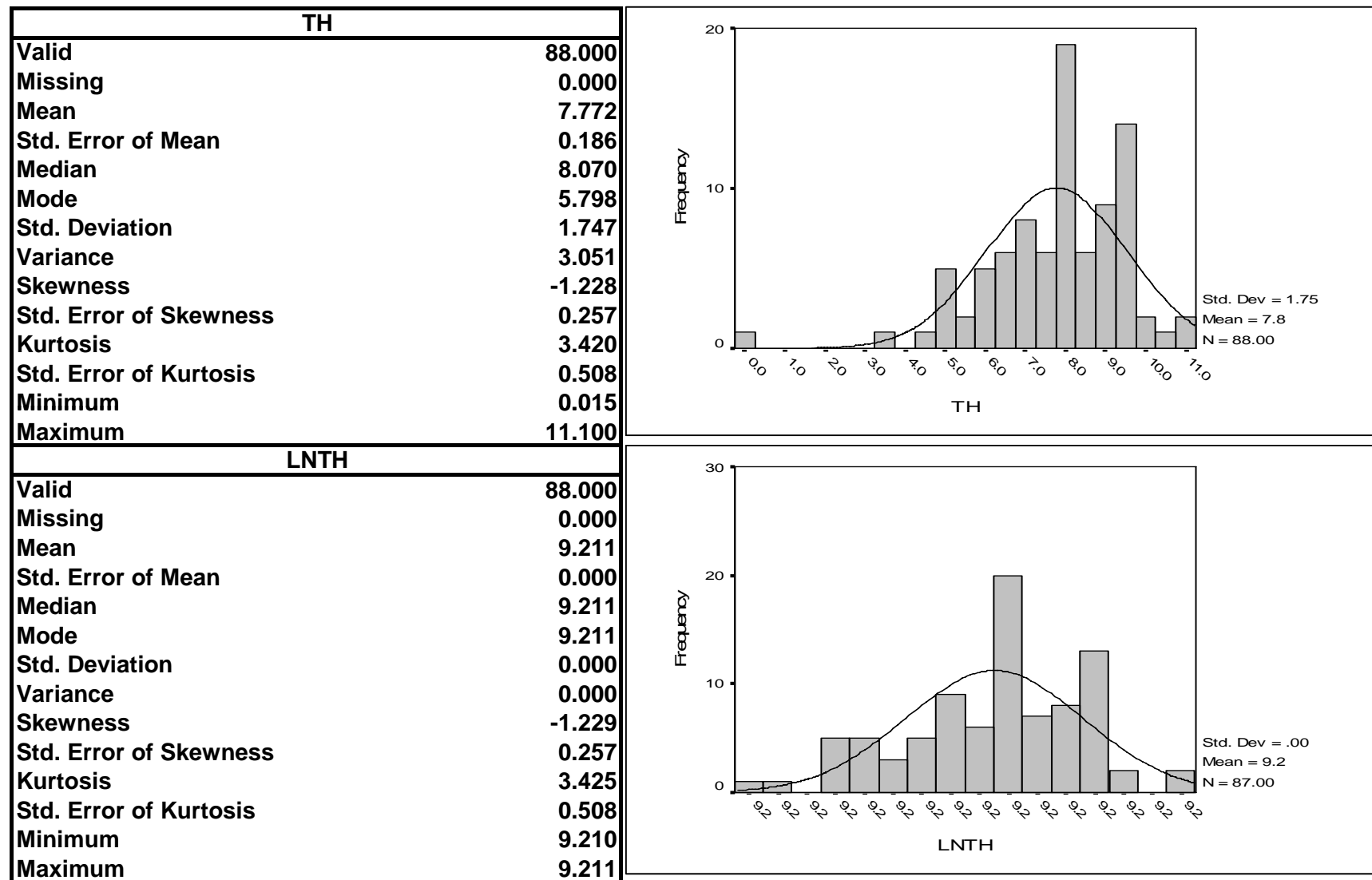
شکل (۱-۴): مشخصات آماری نمونه های ژئوشیمیابی خام و نرمال محدوده ۰-۲۵۰۰۰ فیروزان



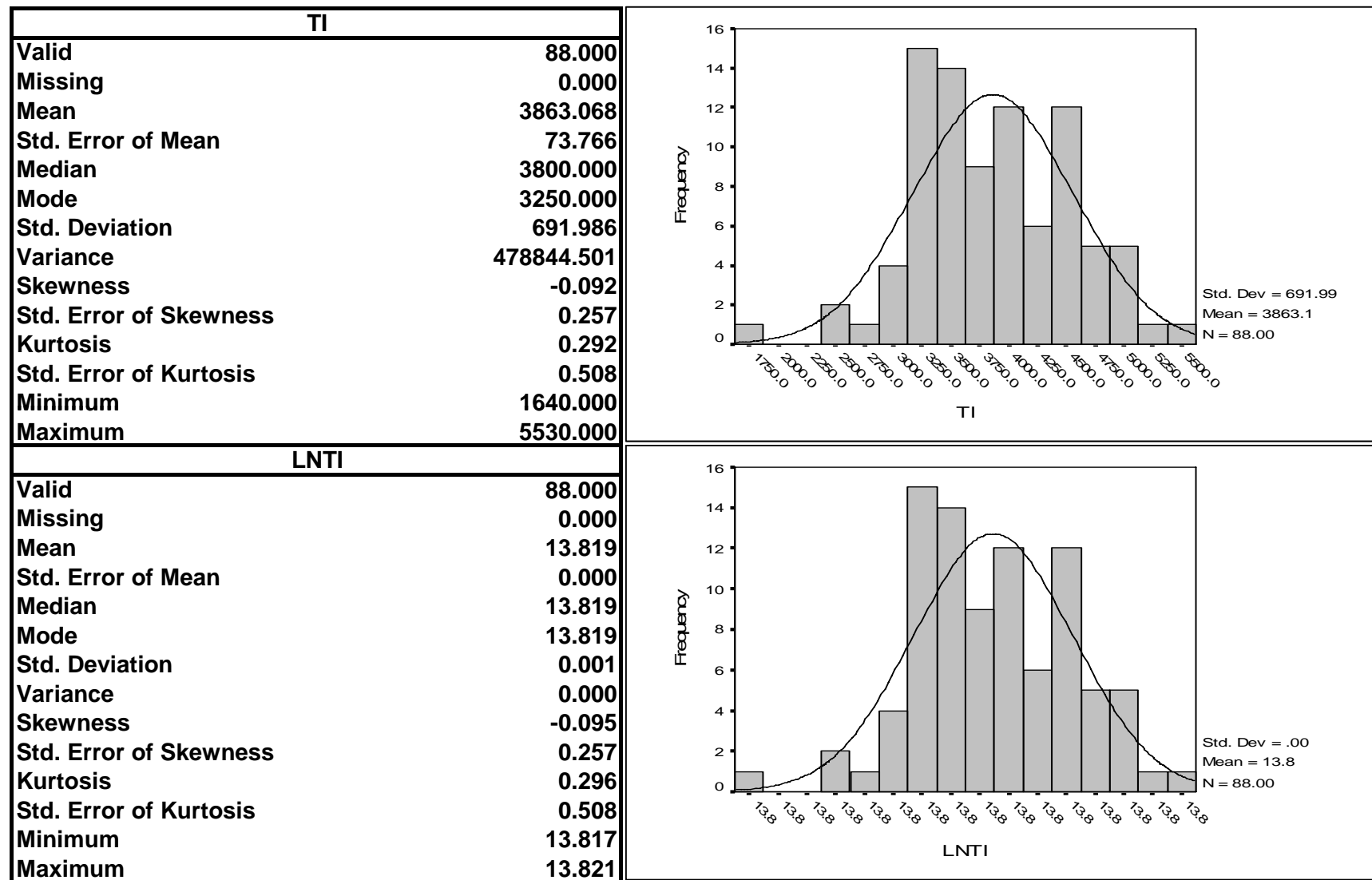
شکل (۱-۴): مشخصات آماری نمونه های ژئوشیمیابی خام و نرمال محدوده ۰-۲۵۰۰۰ فیروزان



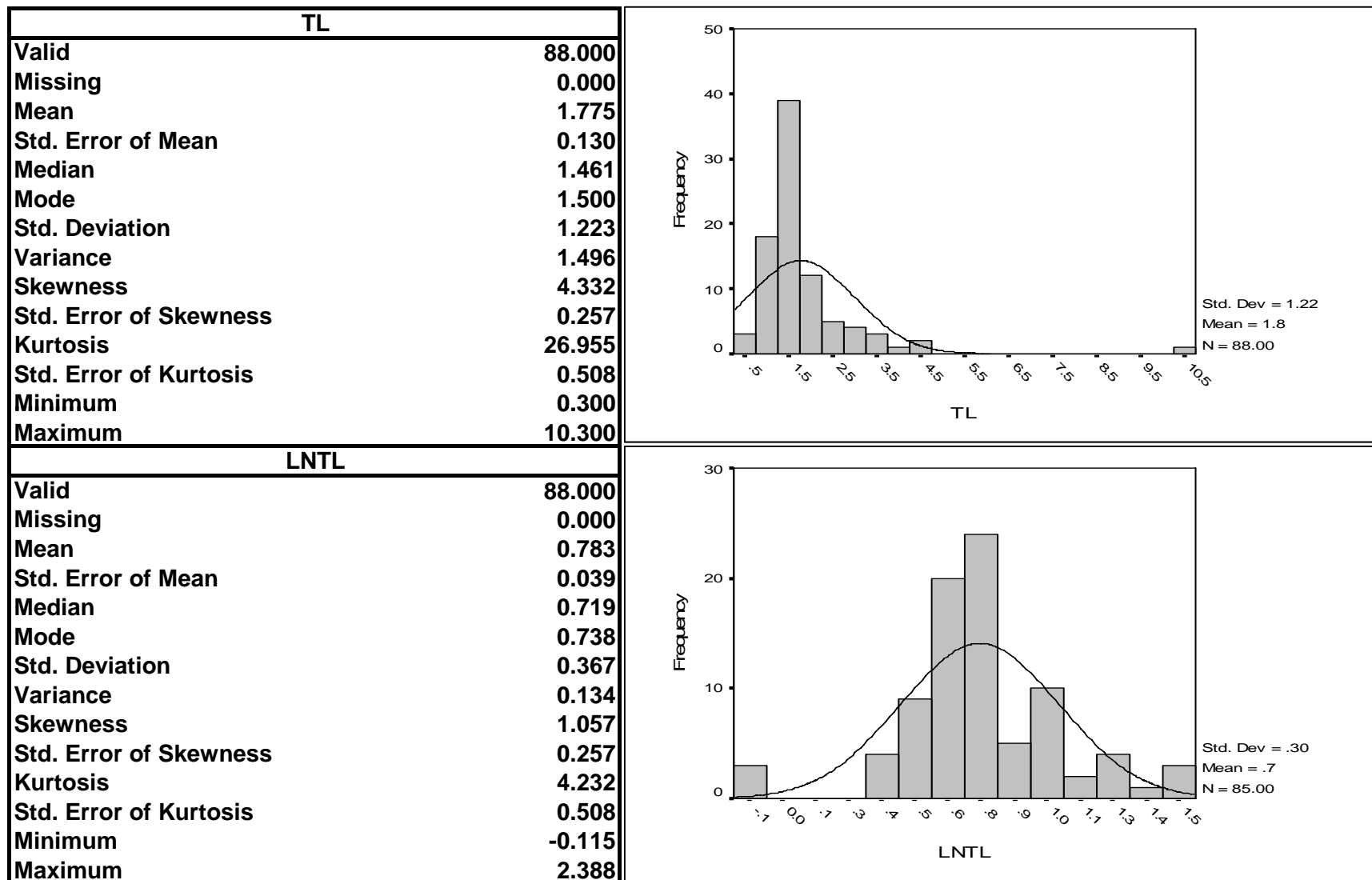
شکل (۱-۴): مشخصات آماری نمونه های ژئوشیمیابی خام و نرمال محدوده ۰-۲۵۰۰۰ فیروزان



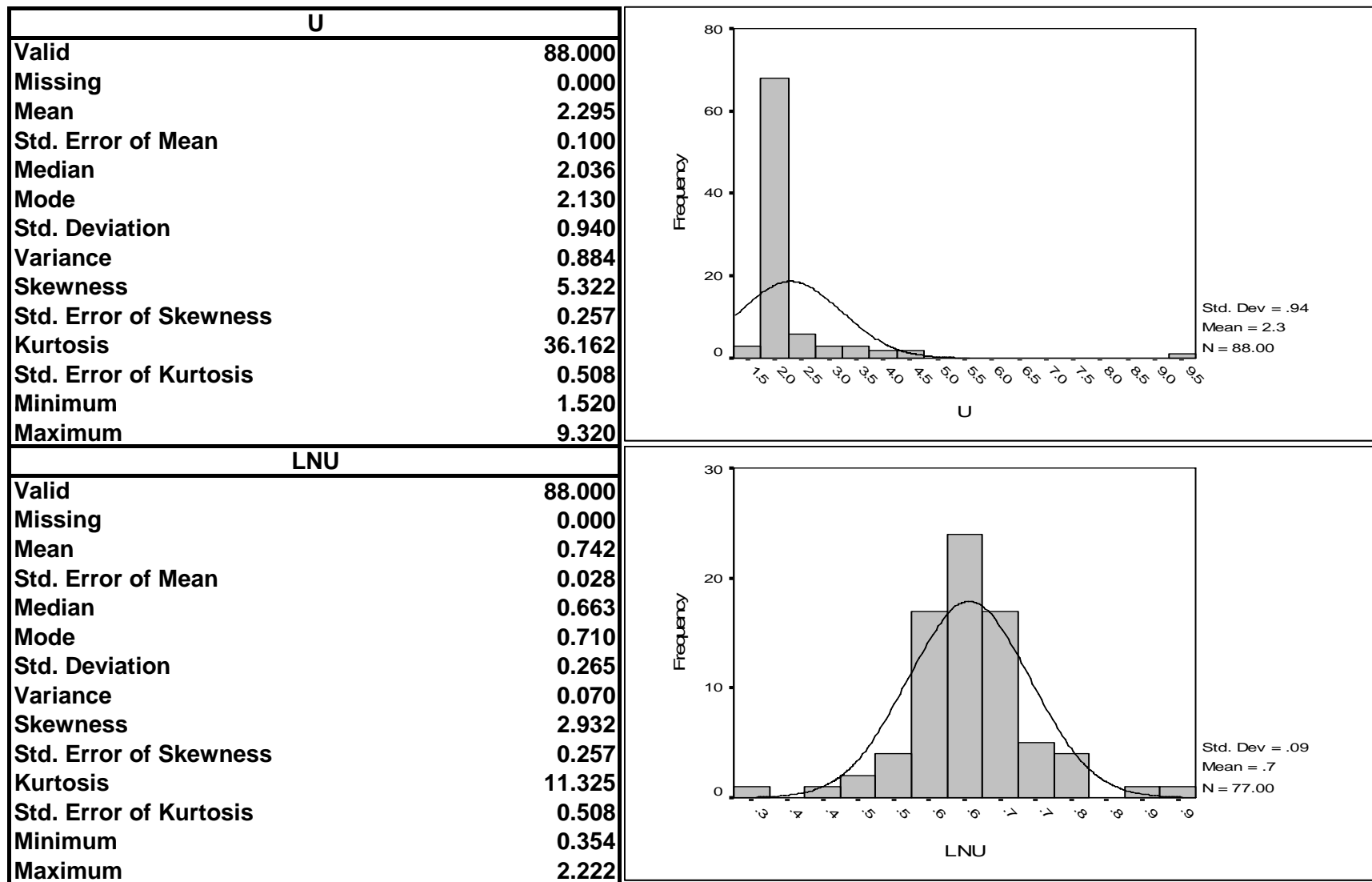
شکل (۱-۴): مشخصات آماری نمونه های ژئوشیمیابی خام و نرمال محدوده ۰-۲۵۰۰۰ فیروزان



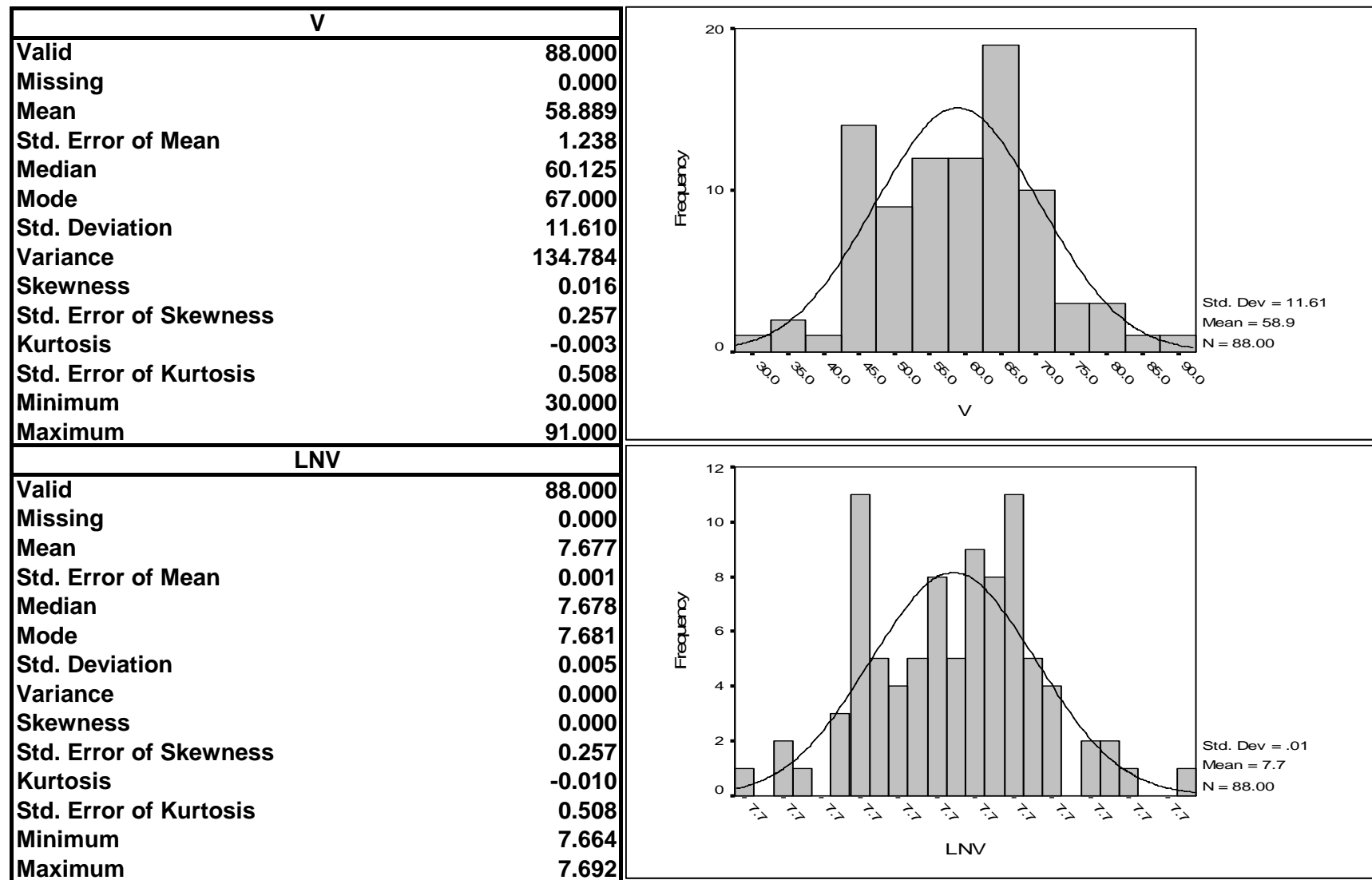
شکل (۱-۴): مشخصات آماری نمونه های ژئوشیمیابی خام و نرمال محدوده ۰-۲۵۰۰۰ فیروزان



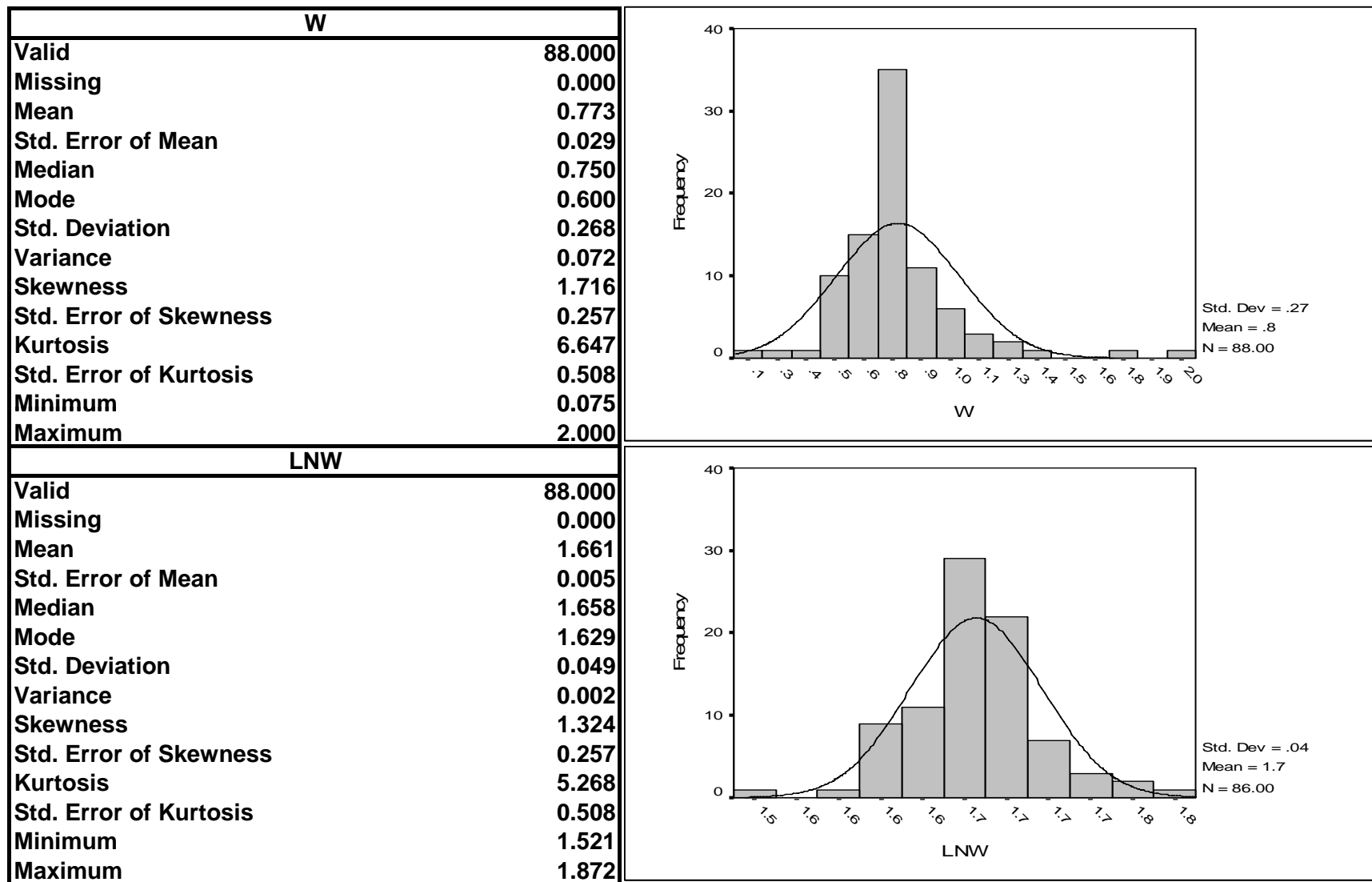
شکل (۱-۴): مشخصات آماری نمونه های ژئوشیمیابی خام و نرمال محدوده ۰-۲۵۰۰۰ فیروزان



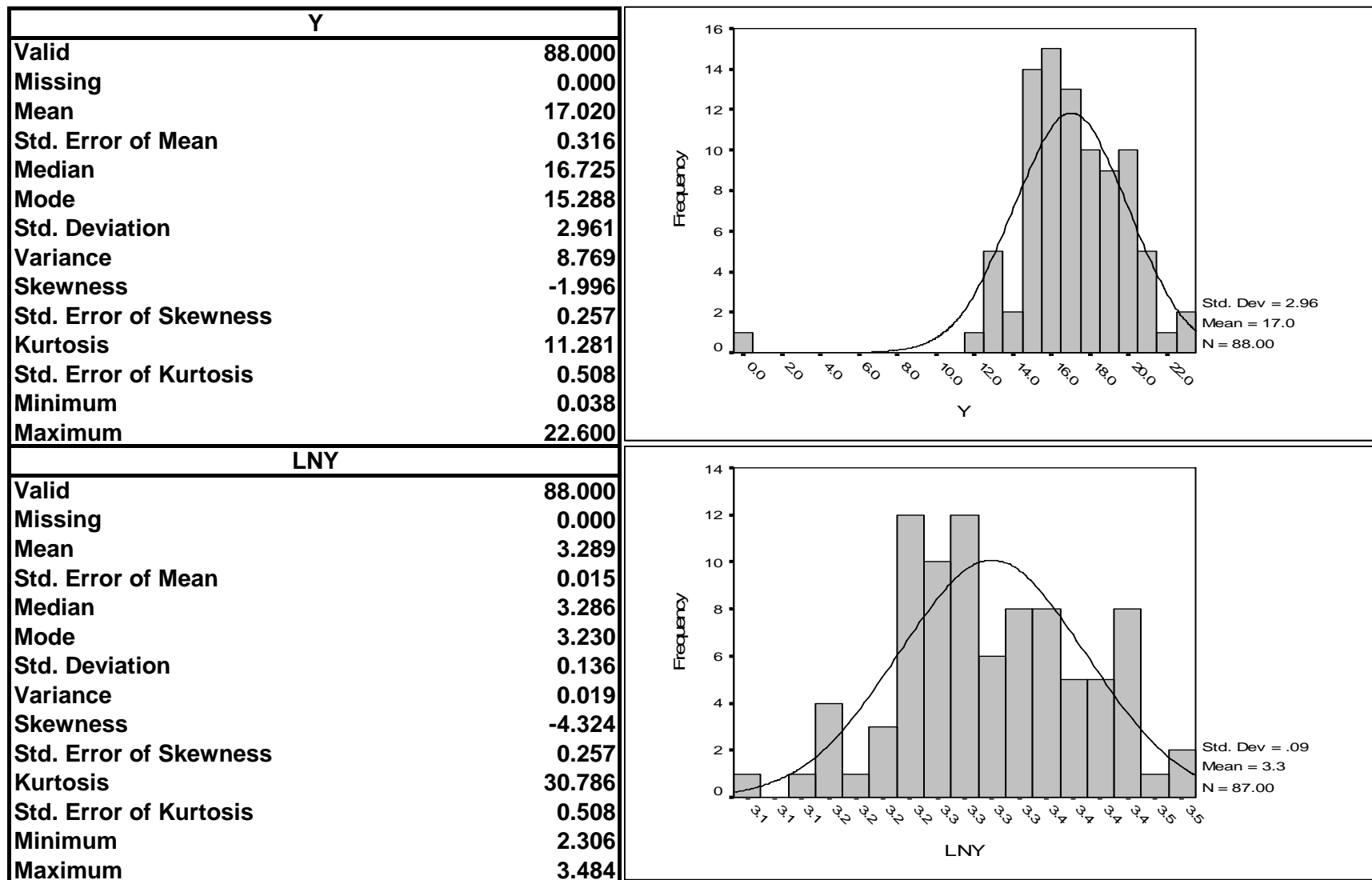
شکل (۱-۴): مشخصات آماری نمونه های ژئوشیمیابی خام و نرمال محدوده ۰-۲۵۰۰۰ فیروزان



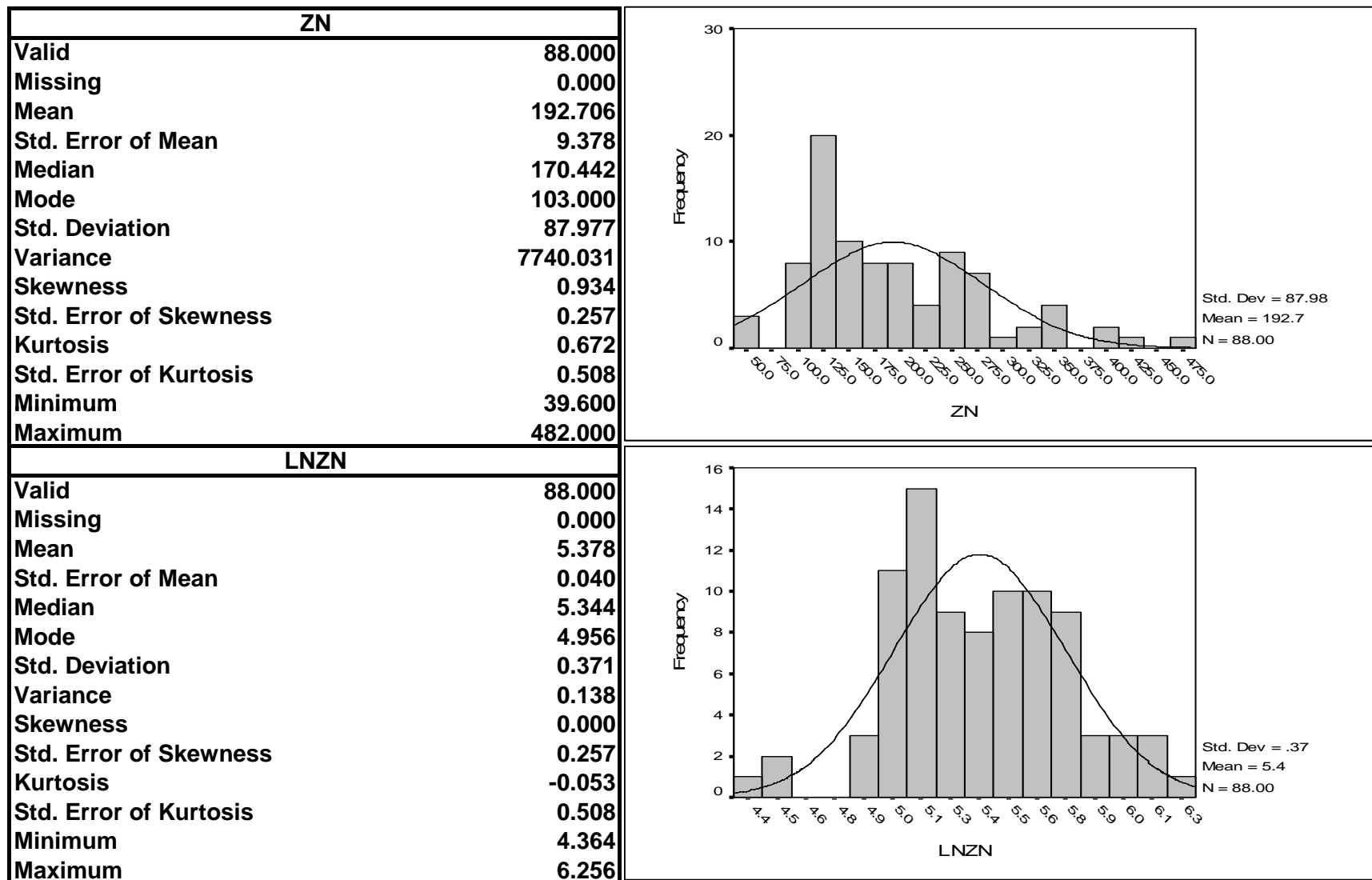
شکل (۱-۴): مشخصات آماری نمونه های ژئوشیمیابی خام و نرمال محدوده ۰-۲۵۰۰۰ فیروزان



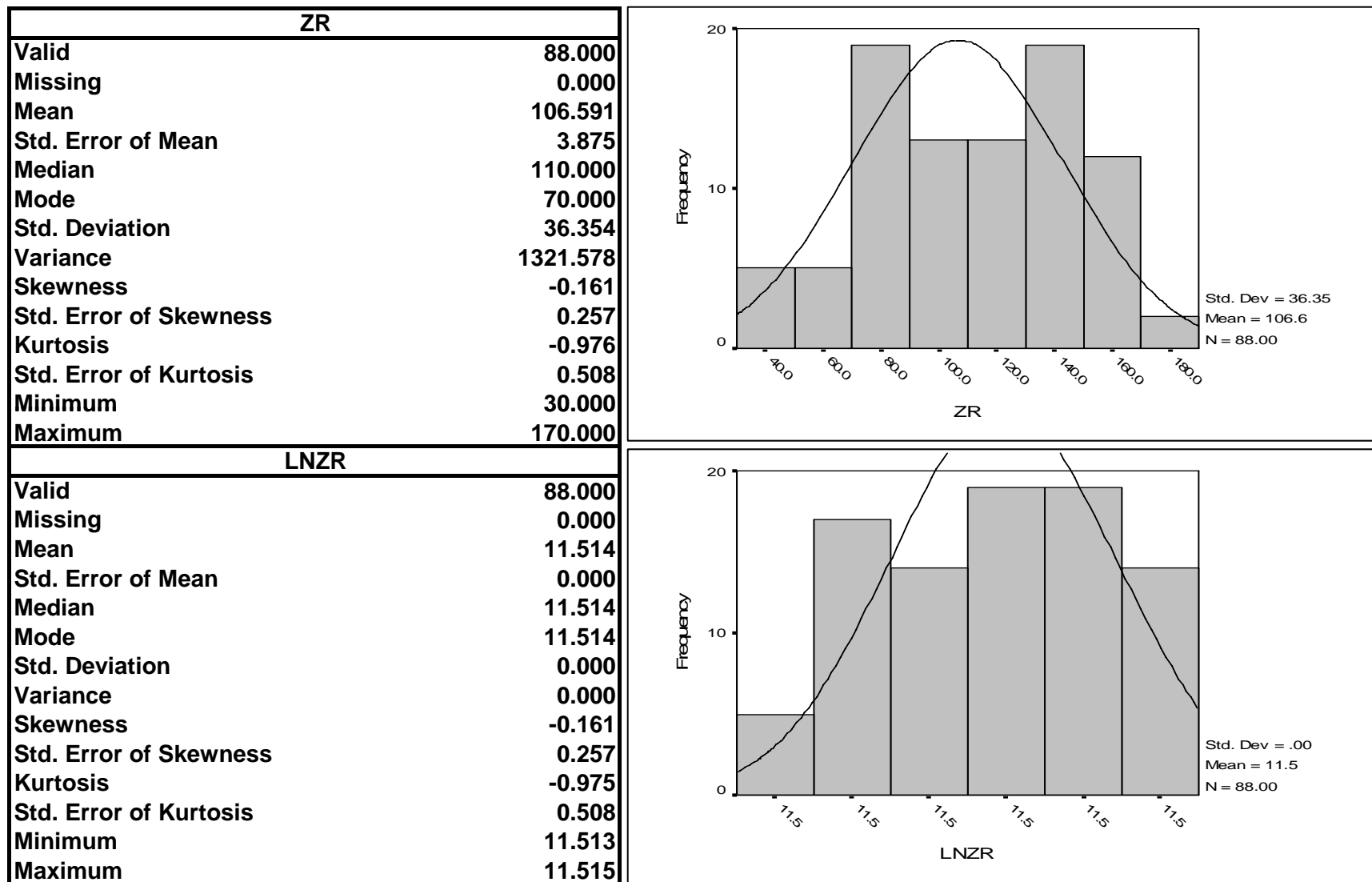
شکل (۱-۴): مشخصات آماری نمونه های ژئوشیمیابی خام و نرمال محدوده ۰-۲۵۰۰۰ فیروزان



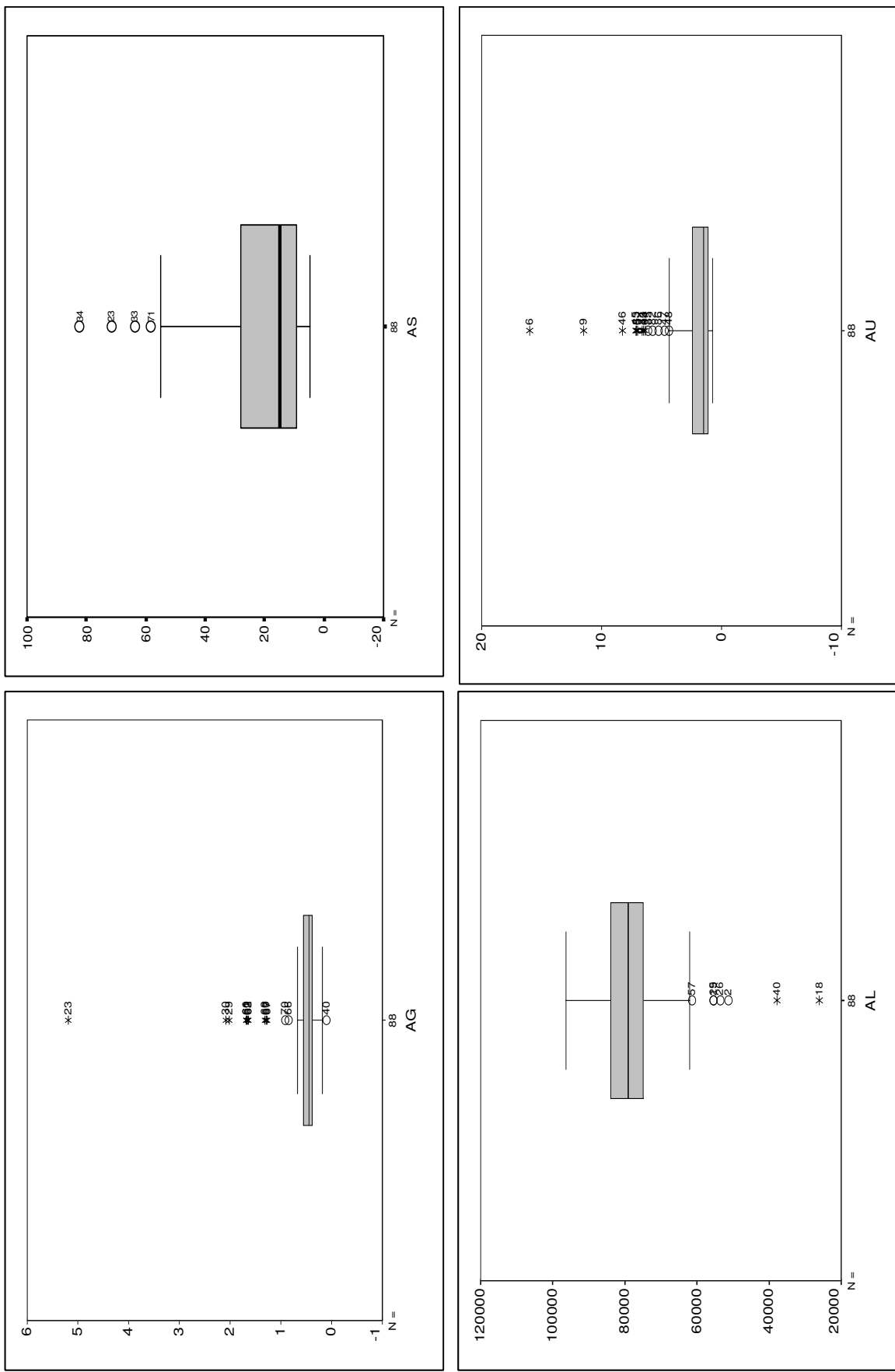
شکل (۱-۴): مشخصات آماری نمونه های ژئوشیمیابی خام و نرمال محدوده ۰-۲۵۰۰۰ فیروزان



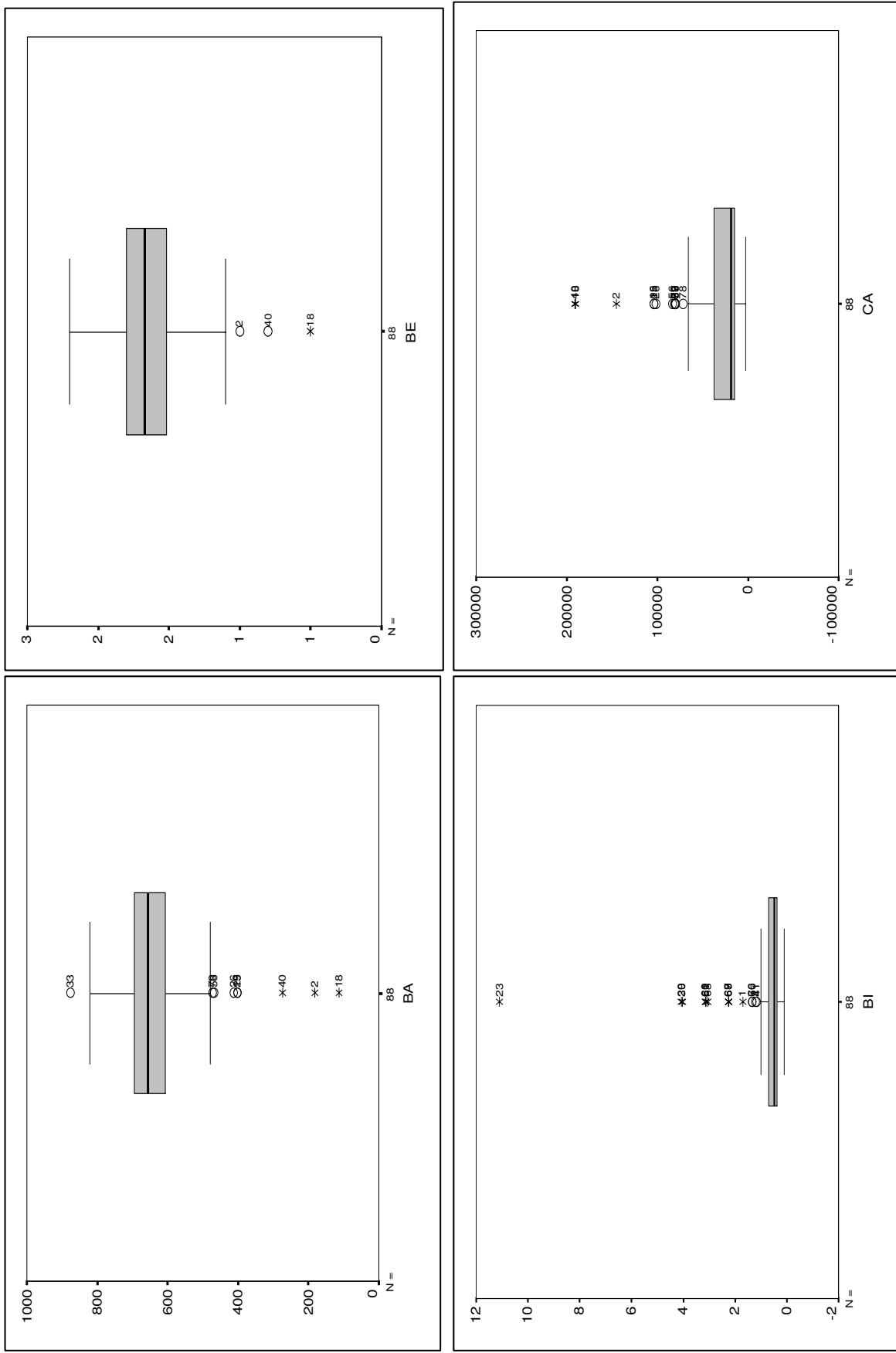
شکل (۱-۴): مشخصات آماری نمونه های ژئوشیمیابی خام و نرمال محدوده ۰-۲۵۰۰۰ فیروزان



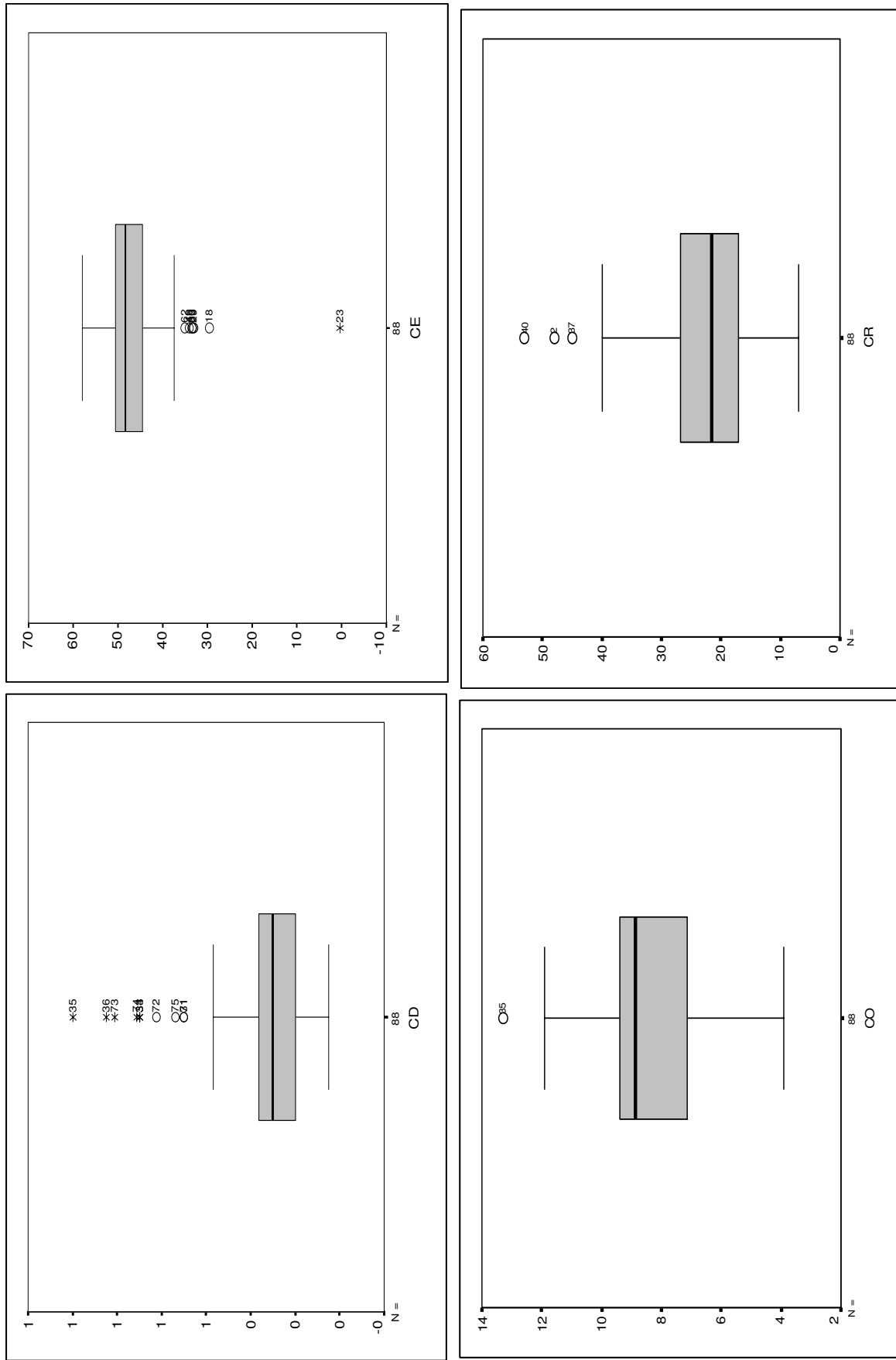
شکل (۴-۳): مقادیر خارج از رد محدوده ۰۰۰۵؛۱؛ فیروزان



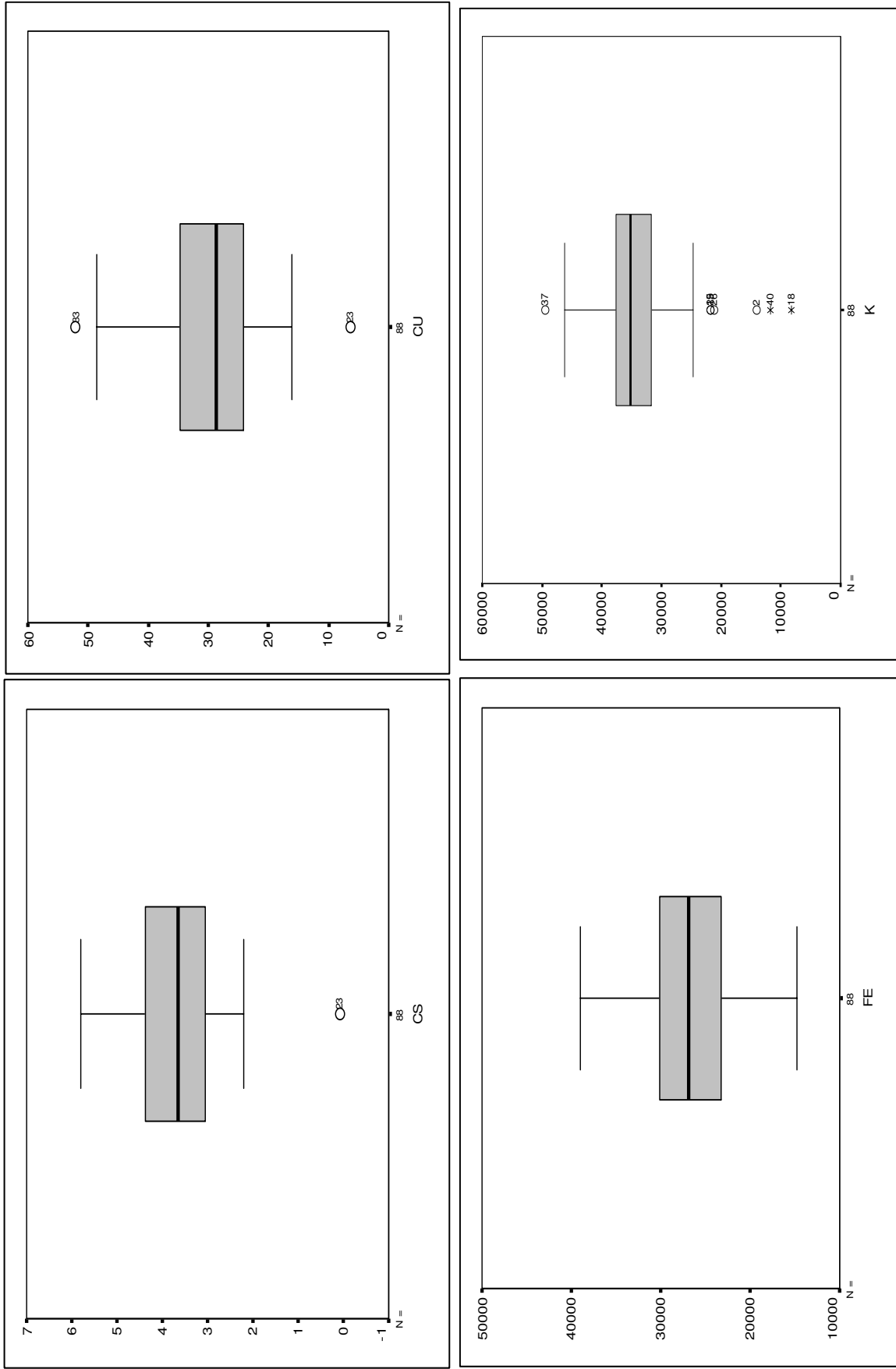
شکل (۴-۳): مقادیر خارج از رده محدوده ۰۰۰۵؛ ۱؛ فیروزان



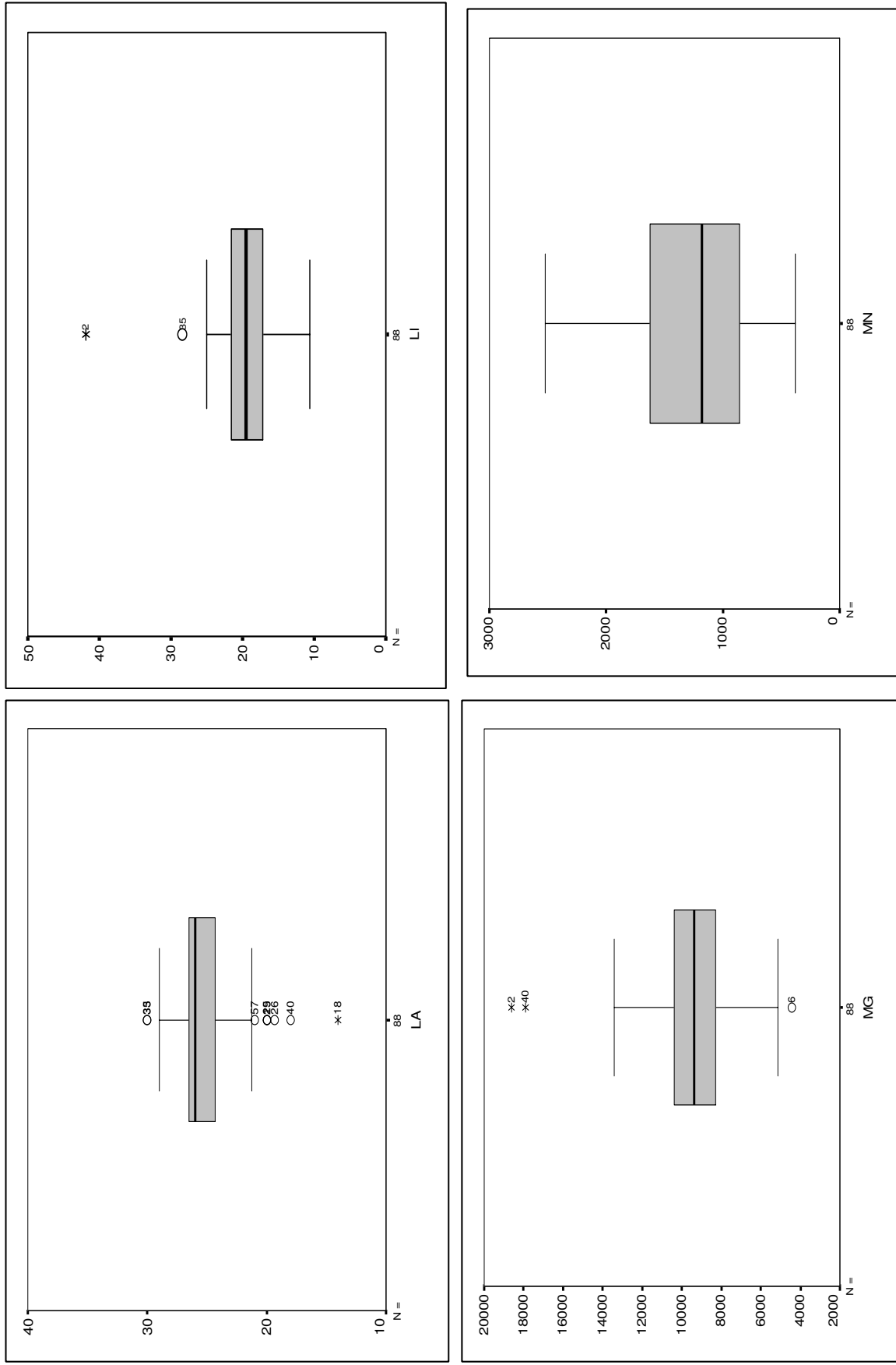
شکل (۴-۳): مقادیر خارج از رده محدوده ۰۰۰۵؛۱؛ فیروزان



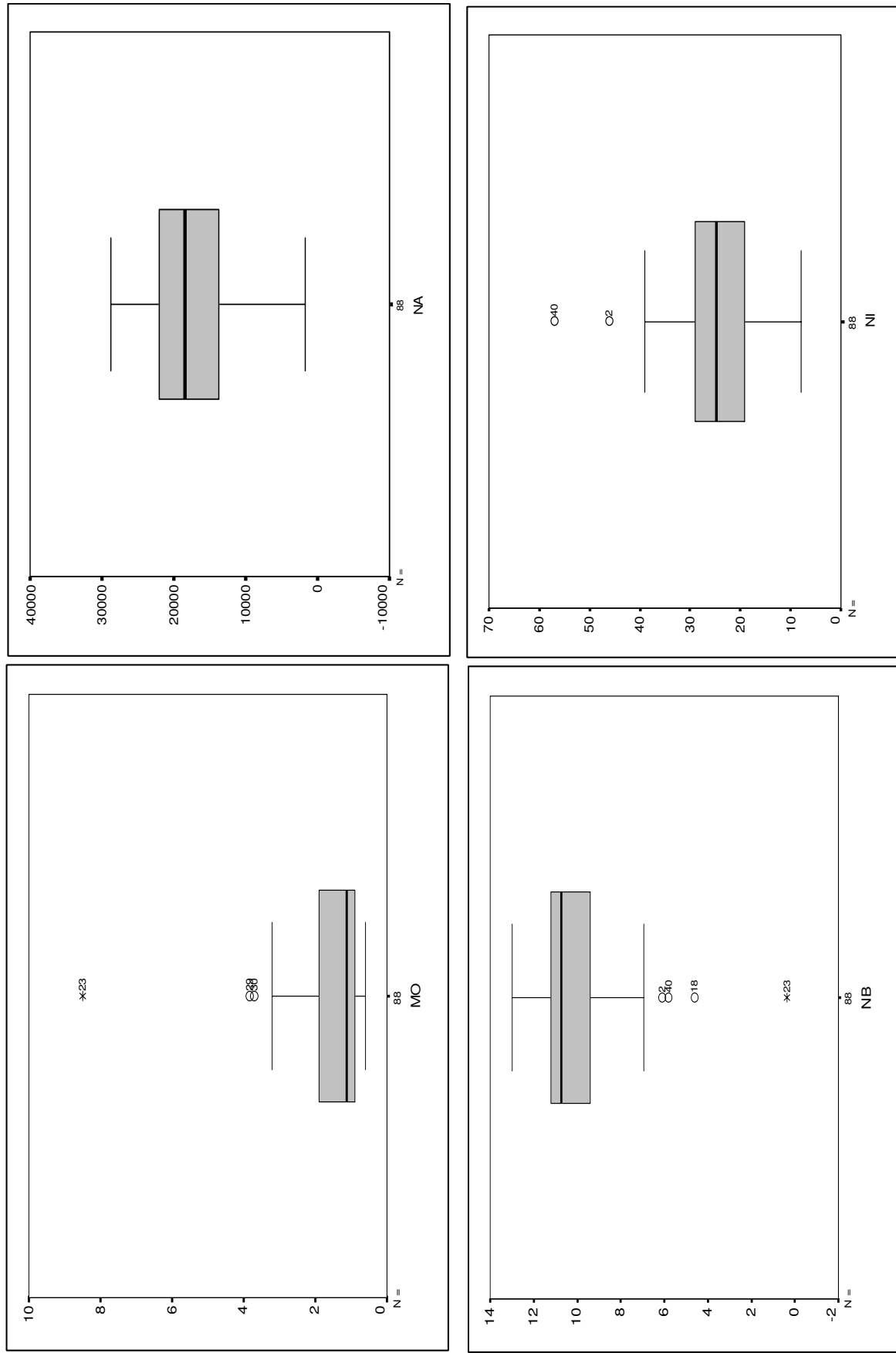
شکل (۴-۳): مقادیر خارج از رده محدوده ۰۰۰۵؛۱ فیروزان



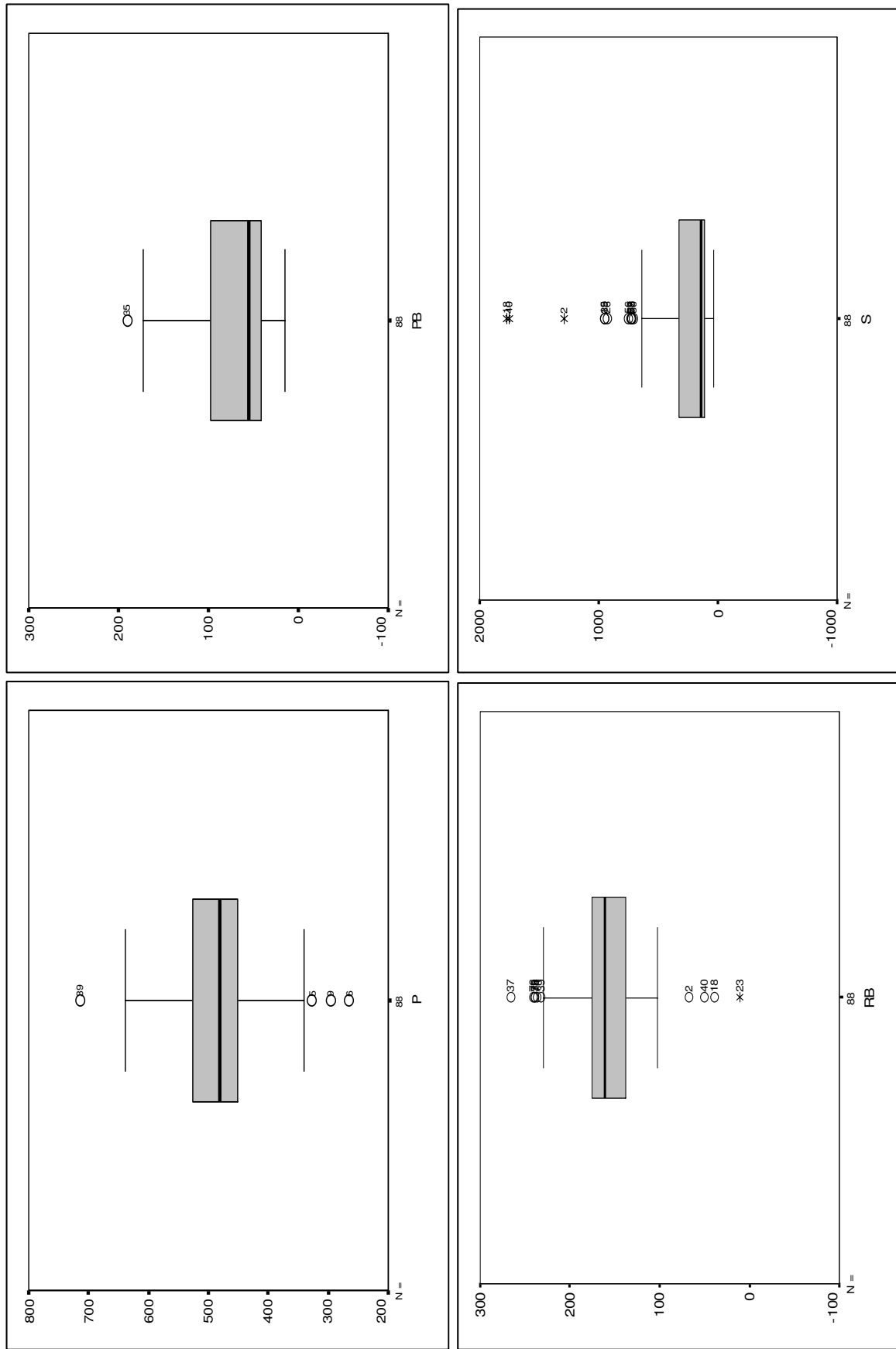
شکل (۴-۳): مقادیر خارج از رده محدوده ۰۰۰۵۲:۱ فیروزان



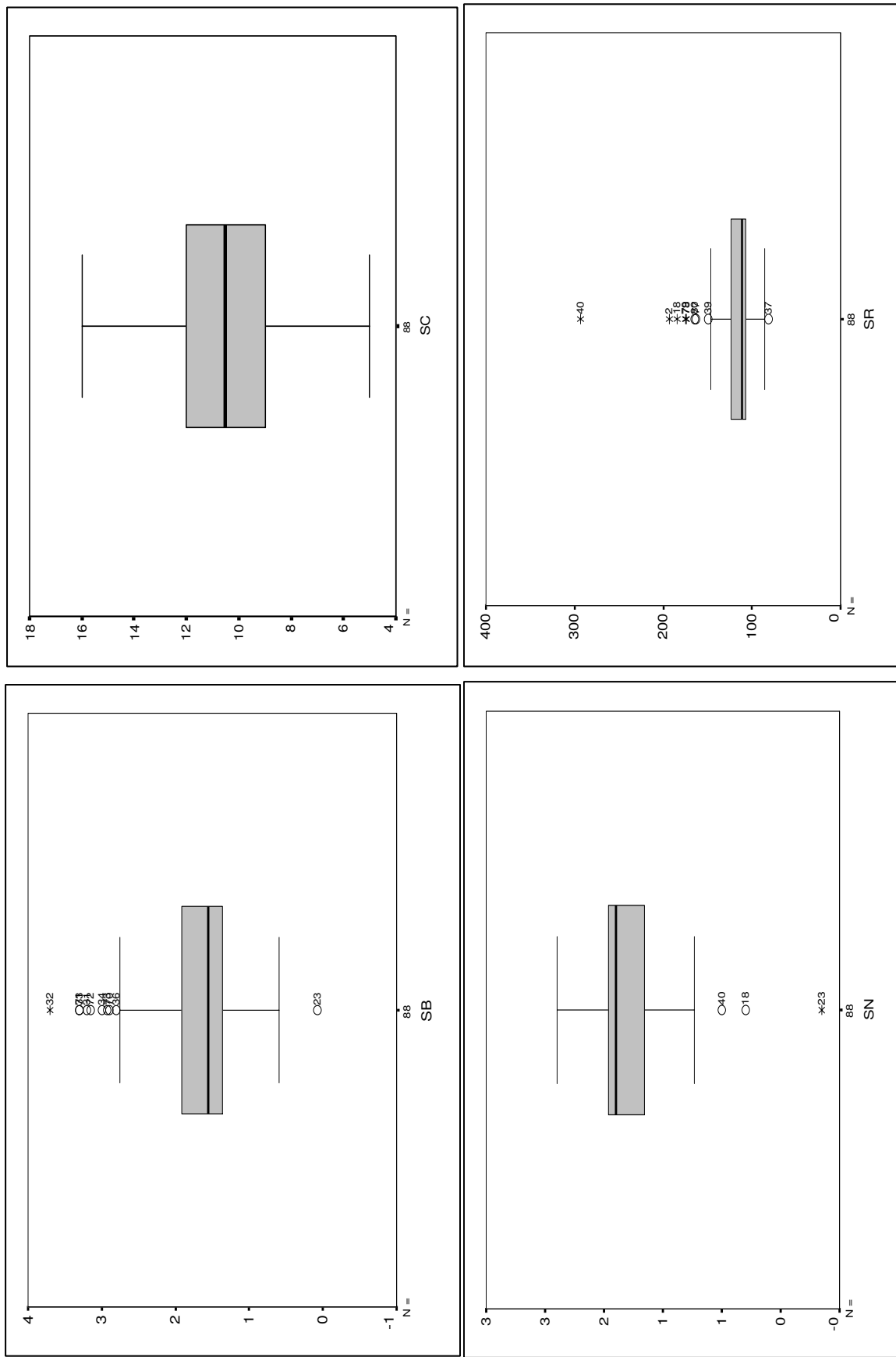
شکل (۴-۳): مقادیر خارج از رده محدوده ۰۰۰۵؛۱؛ فیروزان



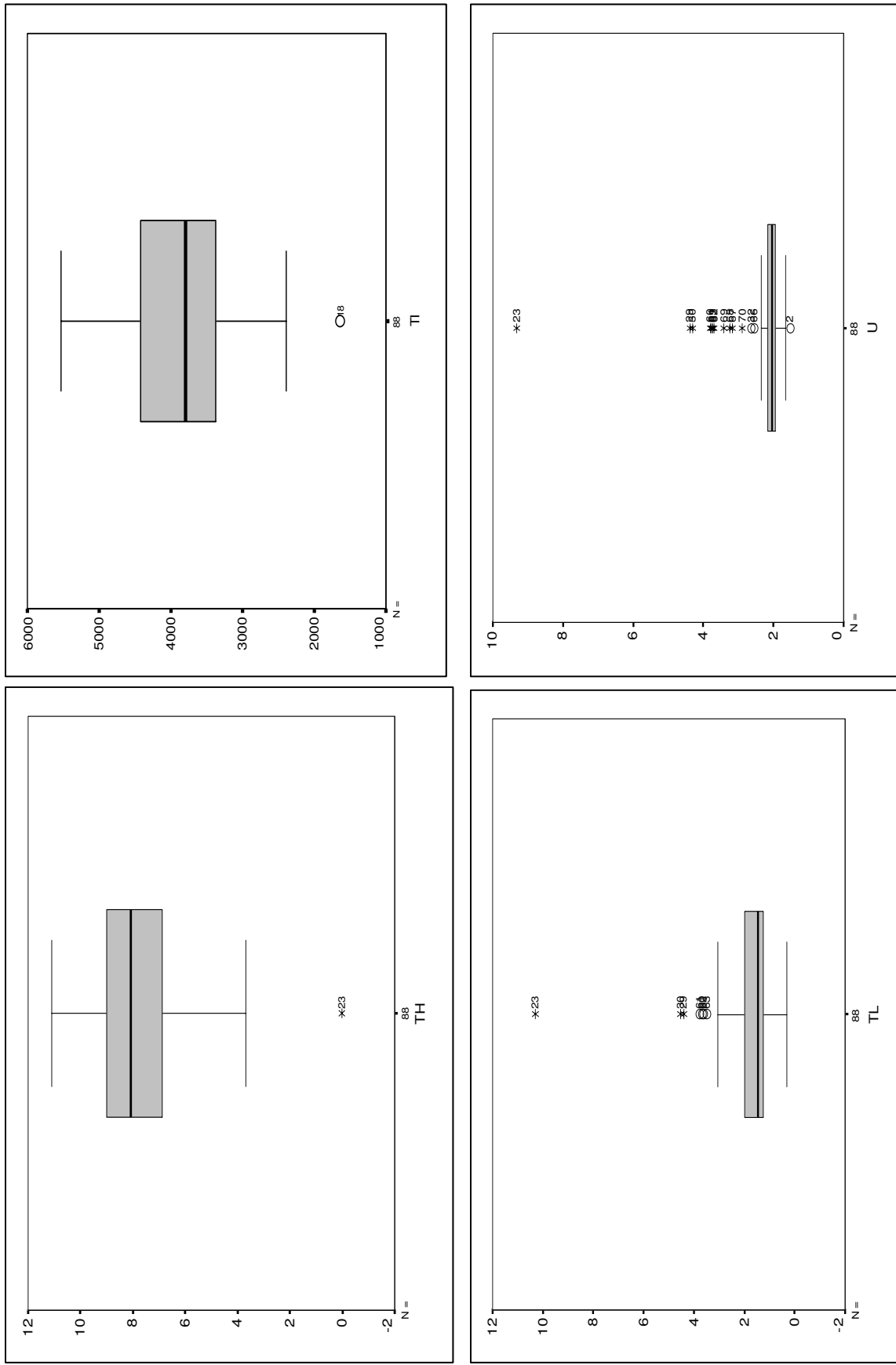
شکل (۴-۳): مقادیر خارج از رده محدوده ۰۰۰۵؛۱؛ فیروزان



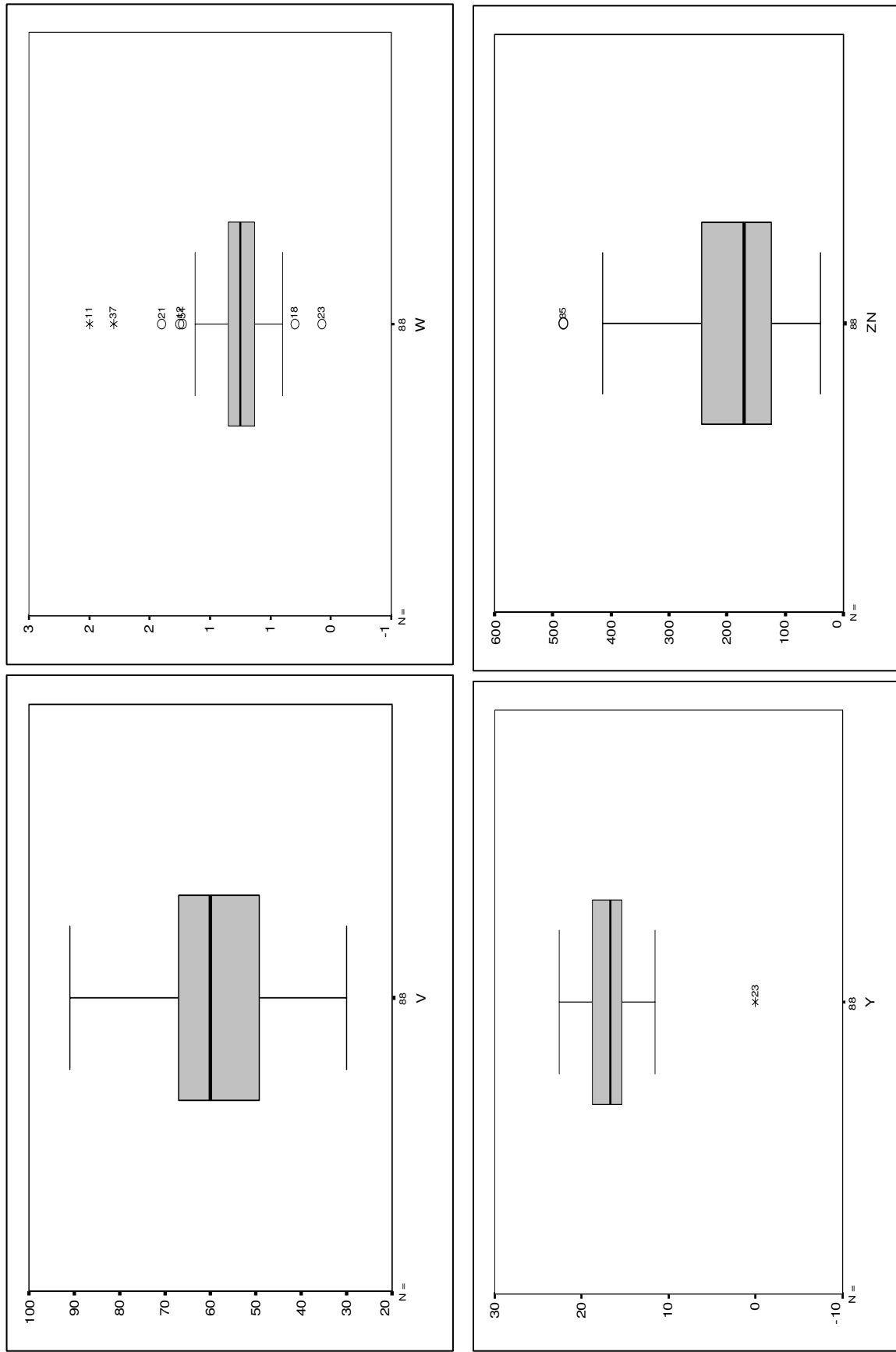
شکل (۴-۳): مقادیر خارج از رده محدوده ۰۰۰۵؛ ۱؛ فیروزان



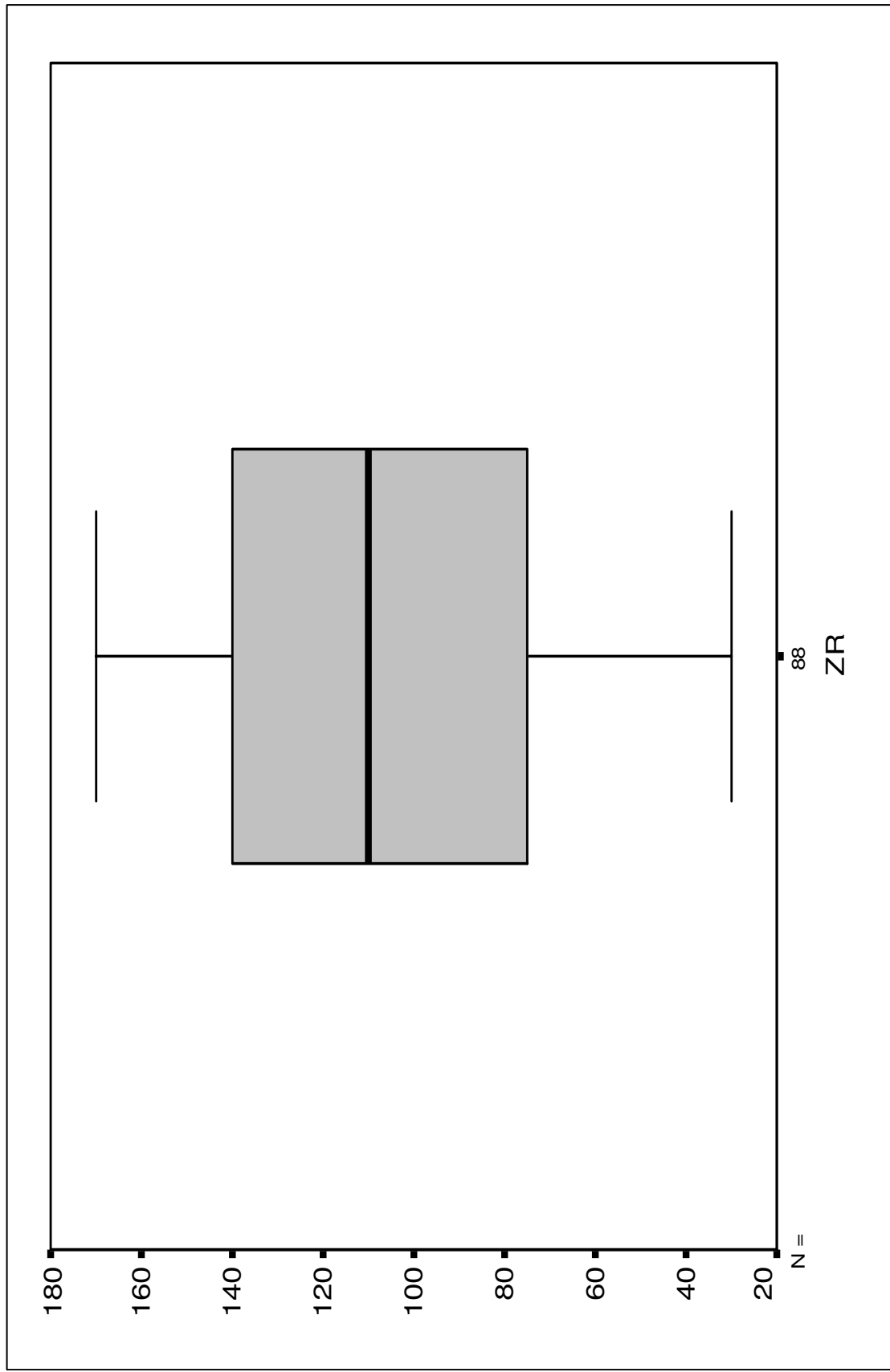
شکل (۴-۳): مقادیر خارج از رده محدوده ۰۰۰۵؛ ۱؛ فیروزان



شکل (۴-۳): مقادیر خارج از رده محدوده ۰۰۰۵؛۱؛ فیروزان



شکل (۴-۳): مقادیر خارج از رده محدوده ۰۰۵؛ ۱؛ فیروزان



**Table (2-4): Pearson Correlation on raw datas of Firouzan's Geochemical Samples**

**Correlations**

		LNAG	LNAL	LNAS	LNAU	LNBA	LNBE	LNBI	LNCA	LNCD	LNCE
LNAG	Pearson Correlation	1	.334**	.586**	-.379**	.300**	.322**	.889**	-.099	.250*	-.565**
	Sig. (2-tailed)	.	.001	.000	.000	.005	.002	.000	.356	.019	.000
	N	88	88	88	88	88	88	88	88	88	88
LNAL	Pearson Correlation	.334**	1	.302**	-.145	.942**	.946**	.113	-.743**	.248*	.417**
	Sig. (2-tailed)	.001	.	.004	.179	.000	.000	.294	.000	.020	.000
	N	88	88	88	88	88	88	88	88	88	88
LNAS	Pearson Correlation	.586**	.302**	1	-.498**	.326**	.486**	.340**	.121	.833**	-.054
	Sig. (2-tailed)	.000	.004	.	.000	.002	.000	.001	.263	.000	.616
	N	88	88	88	88	88	88	88	88	88	88
LNAU	Pearson Correlation	-.379**	-.145	-.498**	1	-.164	-.215*	-.364**	-.139	-.508**	.189
	Sig. (2-tailed)	.000	.179	.000	.	.126	.044	.000	.197	.000	.078
	N	88	88	88	88	88	88	88	88	88	88
LNBA	Pearson Correlation	.300**	.942**	.326**	-.164	1	.926**	.053	-.792**	.291**	.415**
	Sig. (2-tailed)	.005	.000	.002	.126	.	.000	.622	.000	.006	.000
	N	88	88	88	88	88	88	88	88	88	88
LNBE	Pearson Correlation	.322**	.946**	.486**	-.215*	.926**	1	.055	-.657**	.447**	.468**
	Sig. (2-tailed)	.002	.000	.000	.044	.000	.	.611	.000	.000	.000
	N	88	88	88	88	88	88	88	88	88	88
LNBI	Pearson Correlation	.889**	.113	.340**	-.364**	.053	.055	1	.071	.002	-.712**
	Sig. (2-tailed)	.000	.294	.001	.000	.622	.611	.	.509	.982	.000
	N	88	88	88	88	88	88	88	88	88	88
LNCA	Pearson Correlation	-.099	-.743**	.121	-.139	-.792**	-.657**	.071	1	.108	-.328**
	Sig. (2-tailed)	.356	.000	.263	.197	.000	.000	.509	.	.318	.002
	N	88	88	88	88	88	88	88	88	88	88
LNCD	Pearson Correlation	.250*	.248*	.833**	-.508**	.291**	.447**	.002	.108	1	.208
	Sig. (2-tailed)	.019	.020	.000	.000	.006	.000	.982	.318	.	.052
	N	88	88	88	88	88	88	88	88	88	88
LNCE	Pearson Correlation	-.565**	.417**	-.054	.189	.415**	.468**	-.712**	-.328**	.208	1
	Sig. (2-tailed)	.000	.000	.616	.078	.000	.000	.000	.002	.052	.
	N	88	88	88	88	88	88	88	88	88	88
LNCO	Pearson Correlation	.279**	.020	.748**	-.363**	-.059	.166	.111	.429**	.773**	.040
	Sig. (2-tailed)	.009	.851	.000	.001	.587	.122	.305	.000	.000	.710
	N	88	88	88	88	88	88	88	88	88	88

**Table (2-4): Pearson Correlation on raw datas of Firouzan's Geochemical Samples**

**Correlations**

		LNAG	LNAL	LNAS	LNAU	LNBA	LNBE	LNBI	LNCA	LNCD	LNCE
LNCR	Pearson Correlation	.224*	-.196	.249*	-.335**	-.279**	-.104	.253*	.392**	.311**	-.347**
	Sig. (2-tailed)	.036	.067	.019	.001	.009	.334	.018	.000	.003	.001
	N	88	88	88	88	88	88	88	88	88	88
LNCS	Pearson Correlation	-.360**	.371**	.216*	.194	.291**	.485**	-.542**	-.142	.303**	.807**
	Sig. (2-tailed)	.001	.000	.044	.071	.006	.000	.000	.188	.004	.000
	N	88	88	88	88	88	88	88	88	88	88
LNCU	Pearson Correlation	.011	.400**	.659**	-.395**	.454**	.549**	-.229*	-.066	.844**	.579**
	Sig. (2-tailed)	.918	.000	.000	.000	.000	.000	.032	.541	.000	.000
	N	88	88	88	88	88	88	88	88	88	88
LNFE	Pearson Correlation	.440**	.605**	.783**	-.419**	.528**	.694**	.187	-.088	.755**	.268*
	Sig. (2-tailed)	.000	.000	.000	.000	.000	.000	.081	.415	.000	.012
	N	88	88	88	88	88	88	88	88	88	88
LNK	Pearson Correlation	.202	.920**	.299**	-.009	.888**	.923**	-.092	-.759**	.268*	.492**
	Sig. (2-tailed)	.059	.000	.005	.931	.000	.000	.392	.000	.012	.000
	N	88	88	88	88	88	88	88	88	88	88
LNLA	Pearson Correlation	.291**	.929**	.212*	.053	.888**	.888**	.122	-.726**	.135	.423**
	Sig. (2-tailed)	.006	.000	.048	.622	.000	.000	.256	.000	.210	.000
	N	88	88	88	88	88	88	88	88	88	88
LNLI	Pearson Correlation	.200	.045	.455**	-.269*	-.147	.126	.160	.355**	.458**	.017
	Sig. (2-tailed)	.061	.679	.000	.011	.171	.241	.137	.001	.000	.872
	N	88	88	88	88	88	88	88	88	88	88
LNMG	Pearson Correlation	-.008	-.408**	.236*	-.090	-.546**	-.310**	.073	.701**	.259*	-.137
	Sig. (2-tailed)	.944	.000	.027	.407	.000	.003	.496	.000	.015	.203
	N	88	88	88	88	88	88	88	88	88	88
LNMN	Pearson Correlation	.480**	.627**	.816**	-.480**	.667**	.727**	.181	-.216*	.826**	.239*
	Sig. (2-tailed)	.000	.000	.000	.000	.000	.000	.092	.044	.000	.025
	N	88	88	88	88	88	88	88	88	88	88
LNMO	Pearson Correlation	.647**	.228*	.741**	-.599**	.267*	.382**	.533**	.019	.645**	-.345**
	Sig. (2-tailed)	.000	.032	.000	.000	.012	.000	.000	.861	.000	.001
	N	88	88	88	88	88	88	88	88	88	88
LNNA	Pearson Correlation	.035	.533**	-.504**	.173	.540**	.303**	.105	-.698**	-.543**	.110
	Sig. (2-tailed)	.743	.000	.000	.106	.000	.004	.331	.000	.000	.307
	N	88	88	88	88	88	88	88	88	88	88

**Table (2-4): Pearson Correlation on raw datas of Firouzan's Geochemical Samples**

**Correlations**

		LNAG	LNAL	LNAS	LNAU	LNBA	LNBE	LNBI	LNCA	LNCD	LNCE
LNNB	Pearson Correlation	-.430**	.591**	-.047	.200	.605**	.610**	-.636**	-.543**	.157	.951**
	Sig. (2-tailed)	.000	.000	.664	.062	.000	.000	.000	.000	.145	.000
	N	88	88	88	88	88	88	88	88	88	88
LNNI	Pearson Correlation	.113	-.413**	.463**	-.289**	-.484**	-.270*	.099	.735**	.529**	-.194
	Sig. (2-tailed)	.295	.000	.000	.006	.000	.011	.356	.000	.000	.070
	N	88	88	88	88	88	88	88	88	88	88
LNP	Pearson Correlation	.194	.261*	.639**	-.204	.155	.361**	-.016	.222*	.545**	.235*
	Sig. (2-tailed)	.069	.014	.000	.057	.148	.001	.879	.037	.000	.027
	N	88	88	88	88	88	88	88	88	88	88
LNPB	Pearson Correlation	.447**	.625**	.771**	-.520**	.674**	.722**	.155	-.252*	.850**	.250*
	Sig. (2-tailed)	.000	.000	.000	.000	.000	.000	.150	.018	.000	.019
	N	88	88	88	88	88	88	88	88	88	88
LNRB	Pearson Correlation	-.196	.686**	.232*	.074	.667**	.751**	-.510**	-.546**	.353**	.822**
	Sig. (2-tailed)	.067	.000	.030	.493	.000	.000	.000	.000	.001	.000
	N	88	88	88	88	88	88	88	88	88	88
LNS	Pearson Correlation	-.164	-.762**	-.035	-.122	-.781**	-.717**	.035	.973**	.008	-.356**
	Sig. (2-tailed)	.137	.000	.749	.270	.000	.000	.752	.000	.944	.001
	N	84	84	84	84	84	84	84	84	84	84
LNSB	Pearson Correlation	-.052	.428**	.624**	-.153	.478**	.610**	-.355**	-.137	.679**	.680**
	Sig. (2-tailed)	.632	.000	.000	.154	.000	.000	.001	.202	.000	.000
	N	88	88	88	88	88	88	88	88	88	88
LNSC	Pearson Correlation	.495**	.542**	.835**	-.472**	.478**	.637**	.232*	-.032	.805**	.175
	Sig. (2-tailed)	.000	.000	.000	.000	.000	.000	.029	.765	.000	.103
	N	88	88	88	88	88	88	88	88	88	88
LNSN	Pearson Correlation	-.380**	.594**	.036	.166	.602**	.649**	-.584**	-.539**	.211*	.926**
	Sig. (2-tailed)	.000	.000	.740	.122	.000	.000	.000	.000	.049	.000
	N	88	88	88	88	88	88	88	88	88	88
LNSR	Pearson Correlation	-.265*	-.695**	-.211*	.128	-.755**	-.695**	-.111	.655**	-.177	-.344**
	Sig. (2-tailed)	.013	.000	.048	.234	.000	.000	.302	.000	.099	.001
	N	88	88	88	88	88	88	88	88	88	88
LNTH	Pearson Correlation	-.582**	.406**	-.472**	.410**	.432**	.360**	-.616**	-.601**	-.295**	.764**
	Sig. (2-tailed)	.000	.000	.000	.000	.000	.001	.000	.000	.005	.000
	N	88	88	88	88	88	88	88	88	88	88

**Table (2-4): Pearson Correlation on raw datas of Firouzan's Geochemical Samples**

**Correlations**

		LNAG	LNAL	LNAS	LNAU	LNBA	LNBE	LNBI	LNCA	LNCD	LNCE
LNTI	Pearson Correlation	.504**	.780**	.715**	-.375**	.706**	.814**	.213*	-.320**	.651**	.280**
	Sig. (2-tailed)	.000	.000	.000	.000	.000	.000	.047	.002	.000	.008
	N	88	88	88	88	88	88	88	88	88	88
LNTL	Pearson Correlation	.904**	.629**	.631**	-.337**	.607**	.626**	.683**	-.378**	.335**	-.300**
	Sig. (2-tailed)	.000	.000	.000	.001	.000	.000	.000	.000	.001	.004
	N	88	88	88	88	88	88	88	88	88	88
LNU	Pearson Correlation	.952**	.350**	.528**	-.346**	.345**	.342**	.886**	-.166	.178	-.606**
	Sig. (2-tailed)	.000	.001	.000	.001	.001	.001	.000	.122	.096	.000
	N	88	88	88	88	88	88	88	88	88	88
LNV	Pearson Correlation	.407**	.428**	.809**	-.388**	.339**	.528**	.150	.069	.795**	.203
	Sig. (2-tailed)	.000	.000	.000	.000	.001	.000	.162	.522	.000	.057
	N	88	88	88	88	88	88	88	88	88	88
LNW	Pearson Correlation	-.295**	.365**	-.261*	-.075	.346**	.404**	-.305**	-.459**	-.113	.457**
	Sig. (2-tailed)	.005	.000	.014	.486	.001	.000	.004	.000	.293	.000
	N	88	88	88	88	88	88	88	88	88	88
LNY	Pearson Correlation	-.503**	.212*	.046	-.131	.261*	.267*	-.642**	-.081	.390**	.821**
	Sig. (2-tailed)	.000	.048	.670	.222	.014	.012	.000	.455	.000	.000
	N	88	88	88	88	88	88	88	88	88	88
LNZN	Pearson Correlation	.288**	.609**	.694**	-.425**	.654**	.697**	-.040	-.254*	.825**	.419**
	Sig. (2-tailed)	.007	.000	.000	.000	.000	.000	.709	.017	.000	.000
	N	88	88	88	88	88	88	88	88	88	88
LNZR	Pearson Correlation	.438**	.554**	.751**	-.619**	.545**	.613**	.215*	-.091	.755**	.169
	Sig. (2-tailed)	.000	.000	.000	.000	.000	.000	.044	.398	.000	.115
	N	88	88	88	88	88	88	88	88	88	88

**Table (2-4): Pearson Correlation on raw datas of Firouzan's Geochemical Samples**

**Correlations**

		LNCO	LNCR	LNCS	LNCU	LNFE	LNK	LNLA	LNLI	LNMG	LNMN
LNAG	Pearson Correlation	.279**	.224*	-.360**	.011	.440**	.202	.291**	.200	-.008	.480**
	Sig. (2-tailed)	.009	.036	.001	.918	.000	.059	.006	.061	.944	.000
	N	88	88	88	88	88	88	88	88	88	88
LNAL	Pearson Correlation	.020	-.196	.371**	.400**	.605**	.920**	.929**	.045	-.408**	.627**
	Sig. (2-tailed)	.851	.067	.000	.000	.000	.000	.000	.679	.000	.000
	N	88	88	88	88	88	88	88	88	88	88
LNAS	Pearson Correlation	.748**	.249*	.216*	.659**	.783**	.299**	.212*	.455**	.236*	.816**
	Sig. (2-tailed)	.000	.019	.044	.000	.000	.005	.048	.000	.027	.000
	N	88	88	88	88	88	88	88	88	88	88
LNAU	Pearson Correlation	-.363**	-.335**	.194	-.395**	-.419**	-.009	.053	-.269*	-.090	-.480**
	Sig. (2-tailed)	.001	.001	.071	.000	.000	.931	.622	.011	.407	.000
	N	88	88	88	88	88	88	88	88	88	88
LNBA	Pearson Correlation	-.059	-.279**	.291**	.454**	.528**	.888**	.888**	-.147	-.546**	.667**
	Sig. (2-tailed)	.587	.009	.006	.000	.000	.000	.000	.171	.000	.000
	N	88	88	88	88	88	88	88	88	88	88
LNBE	Pearson Correlation	.166	-.104	.485**	.549**	.694**	.923**	.888**	.126	-.310**	.727**
	Sig. (2-tailed)	.122	.334	.000	.000	.000	.000	.000	.241	.003	.000
	N	88	88	88	88	88	88	88	88	88	88
LNBI	Pearson Correlation	.111	.253*	-.542**	-.229*	.187	-.092	.122	.160	.073	.181
	Sig. (2-tailed)	.305	.018	.000	.032	.081	.392	.256	.137	.496	.092
	N	88	88	88	88	88	88	88	88	88	88
LNCA	Pearson Correlation	.429**	.392**	-.142	-.066	-.088	-.759**	-.726**	.355**	.701**	-.216*
	Sig. (2-tailed)	.000	.000	.188	.541	.415	.000	.000	.001	.000	.044
	N	88	88	88	88	88	88	88	88	88	88
LNCD	Pearson Correlation	.773**	.311**	.303**	.844**	.755**	.268*	.135	.458**	.259*	.826**
	Sig. (2-tailed)	.000	.003	.004	.000	.000	.012	.210	.000	.015	.000
	N	88	88	88	88	88	88	88	88	88	88
LNCE	Pearson Correlation	.040	-.347**	.807**	.579**	.268*	.492**	.423**	.017	-.137	.239*
	Sig. (2-tailed)	.710	.001	.000	.000	.012	.000	.000	.872	.203	.025
	N	88	88	88	88	88	88	88	88	88	88
LNCO	Pearson Correlation	1	.525**	.250*	.658**	.790**	-.026	-.032	.807**	.705**	.614**
	Sig. (2-tailed)	.	.000	.019	.000	.000	.810	.770	.000	.000	.000
	N	88	88	88	88	88	88	88	88	88	88

**Table (2-4): Pearson Correlation on raw datas of Firouzan's Geochemical Samples**

**Correlations**

		LNCO	LNCR	LNCS	LNCU	LNFE	LNK	LNLA	LNLI	LNMG	LNMN
LNCR	Pearson Correlation	.525**	1	-.190	.077	.290**	-.239*	-.260*	.614**	.670**	.111
	Sig. (2-tailed)	.000	.	.076	.475	.006	.025	.014	.000	.000	.304
	N	88	88	88	88	88	88	88	88	88	88
LNCS	Pearson Correlation	.250*	-.190	1	.485**	.404**	.549**	.344**	.237*	.127	.234*
	Sig. (2-tailed)	.019	.076	.	.000	.000	.000	.001	.027	.238	.028
	N	88	88	88	88	88	88	88	88	88	88
LNCU	Pearson Correlation	.658**	.077	.485**	1	.759**	.368**	.311**	.398**	.128	.811**
	Sig. (2-tailed)	.000	.475	.000	.	.000	.000	.003	.000	.235	.000
	N	88	88	88	88	88	88	88	88	88	88
LNFE	Pearson Correlation	.790**	.290**	.404**	.759**	1	.508**	.528**	.645**	.311**	.873**
	Sig. (2-tailed)	.000	.006	.000	.000	.	.000	.000	.000	.003	.000
	N	88	88	88	88	88	88	88	88	88	88
LNK	Pearson Correlation	-.026	-.239*	.549**	.368**	.508**	1	.828**	-.026	-.432**	.542**
	Sig. (2-tailed)	.810	.025	.000	.000	.000	.	.000	.810	.000	.000
	N	88	88	88	88	88	88	88	88	88	88
LNLA	Pearson Correlation	-.032	-.260*	.344**	.311**	.528**	.828**	1	-.006	-.372**	.526**
	Sig. (2-tailed)	.770	.014	.001	.003	.000	.000	.	.958	.000	.000
	N	88	88	88	88	88	88	88	88	88	88
LNLI	Pearson Correlation	.807**	.614**	.237*	.398**	.645**	-.026	-.006	1	.790**	.325**
	Sig. (2-tailed)	.000	.000	.027	.000	.000	.810	.958	.	.000	.002
	N	88	88	88	88	88	88	88	88	88	88
LNMG	Pearson Correlation	.705**	.670**	.127	.128	.311**	-.432**	-.372**	.790**	1	-.024
	Sig. (2-tailed)	.000	.000	.238	.235	.003	.000	.000	.000	.	.827
	N	88	88	88	88	88	88	88	88	88	88
LNMN	Pearson Correlation	.614**	.111	.234*	.811**	.873**	.542**	.526**	.325**	-.024	1
	Sig. (2-tailed)	.000	.304	.028	.000	.000	.000	.000	.002	.827	.
	N	88	88	88	88	88	88	88	88	88	88
LNMO	Pearson Correlation	.448**	.462**	-.182	.374**	.482**	.189	.129	.289**	.070	.576**
	Sig. (2-tailed)	.000	.000	.089	.000	.000	.078	.231	.006	.519	.000
	N	88	88	88	88	88	88	88	88	88	88
LNNA	Pearson Correlation	-.700**	-.411**	-.187	-.313**	-.221*	.388**	.554**	-.549**	-.686**	-.123
	Sig. (2-tailed)	.000	.000	.081	.003	.039	.000	.000	.000	.000	.254
	N	88	88	88	88	88	88	88	88	88	88

**Table (2-4): Pearson Correlation on raw datas of Firouzan's Geochemical Samples**

**Correlations**

		LNCO	LNCR	LNCS	LNCU	LNFE	LNK	LNLA	LNLI	LNMG	LNMN
LNNB	Pearson Correlation	-.079	-.402**	.750**	.522**	.273*	.673**	.577**	-.122	-.321**	.294**
	Sig. (2-tailed)	.467	.000	.000	.000	.010	.000	.000	.259	.002	.005
	N	88	88	88	88	88	88	88	88	88	88
LNNI	Pearson Correlation	.833**	.710**	.023	.320**	.413**	-.435**	-.429**	.722**	.891**	.222*
	Sig. (2-tailed)	.000	.000	.835	.002	.000	.000	.000	.000	.000	.037
	N	88	88	88	88	88	88	88	88	88	88
LNP	Pearson Correlation	.700**	.225*	.619**	.494**	.715**	.318**	.171	.506**	.488**	.478**
	Sig. (2-tailed)	.000	.035	.000	.000	.000	.003	.111	.000	.000	.000
	N	88	88	88	88	88	88	88	88	88	88
LNPB	Pearson Correlation	.545**	.110	.231*	.808**	.817**	.566**	.484**	.266*	-.085	.972**
	Sig. (2-tailed)	.000	.306	.030	.000	.000	.000	.000	.012	.433	.000
	N	88	88	88	88	88	88	88	88	88	88
LNRB	Pearson Correlation	.102	-.268*	.832**	.571**	.467**	.846**	.589**	.049	-.261*	.459**
	Sig. (2-tailed)	.346	.012	.000	.000	.000	.000	.000	.647	.014	.000
	N	88	88	88	88	88	88	88	88	88	88
LNS	Pearson Correlation	.321**	.272*	-.278*	-.138	-.272*	-.793**	-.721**	.210	.582**	-.328**
	Sig. (2-tailed)	.003	.012	.010	.209	.012	.000	.000	.056	.000	.002
	N	84	84	84	84	84	84	84	84	84	84
LNSB	Pearson Correlation	.442**	-.222*	.741**	.819**	.595**	.545**	.369**	.167	-.038	.667**
	Sig. (2-tailed)	.000	.038	.000	.000	.000	.000	.000	.121	.724	.000
	N	88	88	88	88	88	88	88	88	88	88
LNSC	Pearson Correlation	.826**	.324**	.316**	.760**	.988**	.445**	.448**	.638**	.317**	.898**
	Sig. (2-tailed)	.000	.002	.003	.000	.000	.000	.000	.000	.003	.000
	N	88	88	88	88	88	88	88	88	88	88
LNSN	Pearson Correlation	-.064	-.413**	.778**	.547**	.289**	.696**	.585**	-.075	-.328**	.320**
	Sig. (2-tailed)	.555	.000	.000	.000	.006	.000	.000	.485	.002	.002
	N	88	88	88	88	88	88	88	88	88	88
LNSR	Pearson Correlation	.255*	.433**	-.261*	-.277**	-.242*	-.684**	-.637**	.283**	.592**	-.484**
	Sig. (2-tailed)	.017	.000	.014	.009	.023	.000	.000	.008	.000	.000
	N	88	88	88	88	88	88	88	88	88	88
LNTH	Pearson Correlation	-.564**	-.566**	.506**	.063	-.236*	.498**	.448**	-.435**	-.541**	-.164
	Sig. (2-tailed)	.000	.000	.000	.562	.027	.000	.000	.000	.000	.126
	N	88	88	88	88	88	88	88	88	88	88

**Table (2-4): Pearson Correlation on raw datas of Firouzan's Geochemical Samples**

**Correlations**

		LNCO	LNCR	LNCS	LNCU	LNFE	LNK	LNLA	LNLI	LNMG	LNMN
LNTI	Pearson Correlation	.604**	.156	.378**	.682**	.944**	.693**	.671**	.451**	.065	.887**
	Sig. (2-tailed)	.000	.147	.000	.000	.000	.000	.000	.000	.550	.000
	N	88	88	88	88	88	88	88	88	88	88
LNTL	Pearson Correlation	.208	.080	-.094	.152	.555**	.574**	.542**	.111	-.220*	.624**
	Sig. (2-tailed)	.052	.461	.385	.157	.000	.000	.000	.305	.039	.000
	N	88	88	88	88	88	88	88	88	88	88
LNU	Pearson Correlation	.134	.166	-.411**	-.082	.329**	.225*	.336**	.062	-.120	.409**
	Sig. (2-tailed)	.214	.123	.000	.448	.002	.035	.001	.566	.264	.000
	N	88	88	88	88	88	88	88	88	88	88
LNV	Pearson Correlation	.898**	.361**	.378**	.760**	.960**	.359**	.337**	.734**	.453**	.822**
	Sig. (2-tailed)	.000	.001	.000	.000	.000	.001	.001	.000	.000	.000
	N	88	88	88	88	88	88	88	88	88	88
LNW	Pearson Correlation	-.334**	.119	.295**	.073	-.059	.432**	.298**	-.046	-.261*	-.068
	Sig. (2-tailed)	.001	.269	.005	.498	.585	.000	.005	.672	.014	.531
	N	88	88	88	88	88	88	88	88	88	88
LNY	Pearson Correlation	.219*	-.097	.557**	.699**	.316**	.244*	.123	.058	-.018	.337**
	Sig. (2-tailed)	.040	.370	.000	.000	.003	.022	.254	.591	.866	.001
	N	88	88	88	88	88	88	88	88	88	88
LNZN	Pearson Correlation	.556**	.052	.351**	.866**	.813**	.579**	.463**	.284**	-.064	.949**
	Sig. (2-tailed)	.000	.633	.001	.000	.000	.000	.000	.007	.551	.000
	N	88	88	88	88	88	88	88	88	88	88
LNZR	Pearson Correlation	.627**	.205	.197	.745**	.852**	.435**	.385**	.400**	.081	.901**
	Sig. (2-tailed)	.000	.055	.066	.000	.000	.000	.000	.000	.456	.000
	N	88	88	88	88	88	88	88	88	88	88

**Table (2-4): Pearson Correlation on raw datas of Firouzan's Geochemical Samples**

**Correlations**

		LNMO	LNNA	LNNB	LNNI	LNP	LNPB	LNRB	LNS	LNSB	LNSC
LNAG	Pearson Correlation	.647**	.035	-.430**	.113	.194	.447**	-.196	-.164	-.052	.495**
	Sig. (2-tailed)	.000	.743	.000	.295	.069	.000	.067	.137	.632	.000
	N	88	88	88	88	88	88	88	84	88	88
LNAL	Pearson Correlation	.228*	.533**	.591**	-.413**	.261*	.625**	.686**	-.762**	.428**	.542**
	Sig. (2-tailed)	.032	.000	.000	.000	.014	.000	.000	.000	.000	.000
	N	88	88	88	88	88	88	88	84	88	88
LNAS	Pearson Correlation	.741**	-.504**	-.047	.463**	.639**	.771**	.232*	-.035	.624**	.835**
	Sig. (2-tailed)	.000	.000	.664	.000	.000	.000	.030	.749	.000	.000
	N	88	88	88	88	88	88	88	84	88	88
LNAU	Pearson Correlation	-.599**	.173	.200	-.289**	-.204	-.520**	.074	-.122	-.153	-.472**
	Sig. (2-tailed)	.000	.106	.062	.006	.057	.000	.493	.270	.154	.000
	N	88	88	88	88	88	88	88	84	88	88
LNBA	Pearson Correlation	.267*	.540**	.605**	-.484**	.155	.674**	.667**	-.781**	.478**	.478**
	Sig. (2-tailed)	.012	.000	.000	.000	.148	.000	.000	.000	.000	.000
	N	88	88	88	88	88	88	88	84	88	88
LNBE	Pearson Correlation	.382**	.303**	.610**	-.270*	.361**	.722**	.751**	-.717**	.610**	.637**
	Sig. (2-tailed)	.000	.004	.000	.011	.001	.000	.000	.000	.000	.000
	N	88	88	88	88	88	88	88	84	88	88
LNBI	Pearson Correlation	.533**	.105	-.636**	.099	-.016	.155	-.510**	.035	-.355**	.232*
	Sig. (2-tailed)	.000	.331	.000	.356	.879	.150	.000	.752	.001	.029
	N	88	88	88	88	88	88	88	84	88	88
LNCA	Pearson Correlation	.019	-.698**	-.543**	.735**	.222*	-.252*	-.546**	.973**	-.137	-.032
	Sig. (2-tailed)	.861	.000	.000	.000	.037	.018	.000	.000	.202	.765
	N	88	88	88	88	88	88	88	84	88	88
LNCD	Pearson Correlation	.645**	-.543**	.157	.529**	.545**	.850**	.353**	.008	.679**	.805**
	Sig. (2-tailed)	.000	.000	.145	.000	.000	.000	.001	.944	.000	.000
	N	88	88	88	88	88	88	88	84	88	88
LNCE	Pearson Correlation	-.345**	.110	.951**	-.194	.235*	.250*	.822**	-.356**	.680**	.175
	Sig. (2-tailed)	.001	.307	.000	.070	.027	.019	.000	.001	.000	.103
	N	88	88	88	88	88	88	88	84	88	88
LNCO	Pearson Correlation	.448**	-.700**	-.079	.833**	.700**	.545**	.102	.321**	.442**	.826**
	Sig. (2-tailed)	.000	.000	.467	.000	.000	.000	.346	.003	.000	.000
	N	88	88	88	88	88	88	88	84	88	88

**Table (2-4): Pearson Correlation on raw datas of Firouzan's Geochemical Samples**

**Correlations**

		LNMO	LNNA	LNNB	LNNI	LNP	LNPB	LNRB	LNS	LNSB	LNSC
LNCR	Pearson Correlation	.462**	-.411**	-.402**	.710**	.225*	.110	-.268*	.272*	-.222*	.324**
	Sig. (2-tailed)	.000	.000	.000	.000	.035	.306	.012	.012	.038	.002
	N	88	88	88	88	88	88	88	84	88	88
LNCS	Pearson Correlation	-.182	-.187	.750**	.023	.619**	.231*	.832**	-.278*	.741**	.316**
	Sig. (2-tailed)	.089	.081	.000	.835	.000	.030	.000	.010	.000	.003
	N	88	88	88	88	88	88	88	84	88	88
LNCU	Pearson Correlation	.374**	-.313**	.522**	.320**	.494**	.808**	.571**	-.138	.819**	.760**
	Sig. (2-tailed)	.000	.003	.000	.002	.000	.000	.000	.209	.000	.000
	N	88	88	88	88	88	88	88	84	88	88
LNFE	Pearson Correlation	.482**	-.221*	.273*	.413**	.715**	.817**	.467**	-.272*	.595**	.988**
	Sig. (2-tailed)	.000	.039	.010	.000	.000	.000	.000	.012	.000	.000
	N	88	88	88	88	88	88	88	84	88	88
LNK	Pearson Correlation	.189	.388**	.673**	-.435**	.318**	.566**	.846**	-.793**	.545**	.445**
	Sig. (2-tailed)	.078	.000	.000	.000	.003	.000	.000	.000	.000	.000
	N	88	88	88	88	88	88	88	84	88	88
LNLA	Pearson Correlation	.129	.554**	.577**	-.429**	.171	.484**	.589**	-.721**	.369**	.448**
	Sig. (2-tailed)	.231	.000	.000	.000	.111	.000	.000	.000	.000	.000
	N	88	88	88	88	88	88	88	84	88	88
LNLI	Pearson Correlation	.289**	-.549**	-.122	.722**	.506**	.266*	.049	.210	.167	.638**
	Sig. (2-tailed)	.006	.000	.259	.000	.000	.012	.647	.056	.121	.000
	N	88	88	88	88	88	88	88	84	88	88
LNMG	Pearson Correlation	.070	-.686**	-.321**	.891**	.488**	-.085	-.261*	.582**	-.038	.317**
	Sig. (2-tailed)	.519	.000	.002	.000	.000	.433	.014	.000	.724	.003
	N	88	88	88	88	88	88	88	84	88	88
LNMN	Pearson Correlation	.576**	-.123	.294**	.222*	.478**	.972**	.459**	-.328**	.667**	.898**
	Sig. (2-tailed)	.000	.254	.005	.037	.000	.000	.000	.002	.000	.000
	N	88	88	88	88	88	88	88	84	88	88
LNMO	Pearson Correlation	1	-.302**	-.292**	.292**	.209	.607**	-.041	-.035	.222*	.545**
	Sig. (2-tailed)	.	.004	.006	.006	.051	.000	.705	.749	.038	.000
	N	88	88	88	88	88	88	88	84	88	88
LNNA	Pearson Correlation	-.302**	1	.302**	-.805**	-.422**	-.092	.120	-.621**	-.314**	-.282**
	Sig. (2-tailed)	.004	.	.004	.000	.000	.392	.264	.000	.003	.008
	N	88	88	88	88	88	88	88	84	88	88

**Table (2-4): Pearson Correlation on raw datas of Firouzan's Geochemical Samples**

**Correlations**

		LNMO	LNNA	LNNB	LNNI	LNP	LNPB	LNRB	LNS	LNSB	LNSC
LNNB	Pearson Correlation	-.292**	.302**	1	-.364**	.216*	.315**	.896**	-.540**	.663**	.181
	Sig. (2-tailed)	.006	.004	.	.000	.043	.003	.000	.000	.000	.091
	N	88	88	88	88	88	88	88	84	88	88
LNNI	Pearson Correlation	.292**	-.805**	-.364**	1	.504**	.173	-.259*	.643**	.103	.467**
	Sig. (2-tailed)	.006	.000	.000	.	.000	.107	.015	.000	.339	.000
	N	88	88	88	88	88	88	88	84	88	88
LNP	Pearson Correlation	.209	-.422**	.216*	.504**	1	.430**	.432**	.022	.572**	.702**
	Sig. (2-tailed)	.051	.000	.043	.000	.	.000	.000	.842	.000	.000
	N	88	88	88	88	88	88	88	84	88	88
LNPB	Pearson Correlation	.607**	-.092	.315**	.173	.430**	1	.487**	-.350**	.652**	.846**
	Sig. (2-tailed)	.000	.392	.003	.107	.000	.	.000	.001	.000	.000
	N	88	88	88	88	88	88	88	84	88	88
LNRB	Pearson Correlation	-.041	.120	.896**	-.259*	.432**	.487**	1	-.608**	.767**	.395**
	Sig. (2-tailed)	.705	.264	.000	.015	.000	.000	.	.000	.000	.000
	N	88	88	88	88	88	88	88	84	88	88
LNS	Pearson Correlation	-.035	-.621**	-.540**	.643**	.022	-.350**	-.608**	1	-.246*	-.210
	Sig. (2-tailed)	.749	.000	.000	.000	.842	.001	.000	.	.024	.055
	N	84	84	84	84	84	84	84	84	84	84
LNSB	Pearson Correlation	.222*	-.314**	.663**	.103	.572**	.652**	.767**	-.246*	1	.576**
	Sig. (2-tailed)	.038	.003	.000	.339	.000	.000	.000	.024	.	.000
	N	88	88	88	88	88	88	88	84	88	88
LNSC	Pearson Correlation	.545**	-.282**	.181	.467**	.702**	.846**	.395**	-.210	.576**	1
	Sig. (2-tailed)	.000	.008	.091	.000	.000	.000	.000	.055	.000	.
	N	88	88	88	88	88	88	88	84	88	88
LNSN	Pearson Correlation	-.201	.219*	.960**	-.345**	.199	.346**	.902**	-.551**	.721**	.203
	Sig. (2-tailed)	.060	.041	.000	.001	.063	.001	.000	.000	.000	.058
	N	88	88	88	88	88	88	88	84	88	88
LNSR	Pearson Correlation	-.124	-.440**	-.473**	.530**	.030	-.522**	-.518**	.718**	-.432**	-.214*
	Sig. (2-tailed)	.250	.000	.000	.000	.779	.000	.000	.000	.000	.046
	N	88	88	88	88	88	88	88	84	88	88
LNTH	Pearson Correlation	-.468**	.531**	.824**	-.684**	-.226*	-.119	.630**	-.519**	.286**	-.337**
	Sig. (2-tailed)	.000	.000	.000	.000	.034	.268	.000	.000	.007	.001
	N	88	88	88	88	88	88	88	84	88	88

**Table (2-4): Pearson Correlation on raw datas of Firouzan's Geochemical Samples**

**Correlations**

		LNMO	LNNA	LNNB	LNNI	LNP	LNPB	LNRB	LNS	LNSB	LNSC
LNTI	Pearson Correlation	.455**	.019	.375**	.174	.644**	.847**	.571**	-.458**	.580**	.930**
	Sig. (2-tailed)	.000	.860	.000	.106	.000	.000	.000	.000	.000	.000
	N	88	88	88	88	88	88	88	84	88	88
LNTL	Pearson Correlation	.637**	.169	-.108	-.091	.288**	.613**	.178	-.437**	.182	.583**
	Sig. (2-tailed)	.000	.116	.317	.398	.007	.000	.097	.000	.091	.000
	N	88	88	88	88	88	88	88	84	88	88
LNU	Pearson Correlation	.680**	.116	-.454**	-.015	.082	.374**	-.240*	-.175	-.104	.376**
	Sig. (2-tailed)	.000	.280	.000	.891	.445	.000	.024	.111	.336	.000
	N	88	88	88	88	88	88	88	84	88	88
LNV	Pearson Correlation	.465**	-.407**	.177	.582**	.759**	.760**	.386**	-.091	.583**	.971**
	Sig. (2-tailed)	.000	.000	.099	.000	.000	.000	.000	.410	.000	.000
	N	88	88	88	88	88	88	88	84	88	88
LNW	Pearson Correlation	.024	.333**	.512**	-.380**	-.228*	.011	.475**	-.539**	.125	-.138
	Sig. (2-tailed)	.826	.002	.000	.000	.033	.921	.000	.000	.247	.201
	N	88	88	88	88	88	88	88	84	88	88
LNY	Pearson Correlation	-.179	-.050	.741**	.070	.244*	.378**	.622**	-.150	.606**	.275**
	Sig. (2-tailed)	.096	.645	.000	.514	.022	.000	.000	.174	.000	.009
	N	88	88	88	88	88	88	88	84	88	88
LNZN	Pearson Correlation	.435**	-.110	.465**	.179	.462**	.963**	.606**	-.359**	.726**	.830**
	Sig. (2-tailed)	.000	.307	.000	.095	.000	.000	.000	.001	.000	.000
	N	88	88	88	88	88	88	88	84	88	88
LNZR	Pearson Correlation	.543**	-.136	.201	.275**	.541**	.873**	.370**	-.253*	.537**	.875**
	Sig. (2-tailed)	.000	.207	.060	.010	.000	.000	.000	.020	.000	.000
	N	88	88	88	88	88	88	88	84	88	88

**Table (2-4): Pearson Correlation on raw datas of Firouzan's Geochemical Samples**

**Correlations**

		LNSN	LNSR	LNTI	LNTL	LNU	LNV	LNW	LNY	
LNAG	Pearson Correlation	-.380**	-.265*	-.582**	.504**	.904**	.952**	.407**	-.295**	-.503**
	Sig. (2-tailed)	.000	.013	.000	.000	.000	.000	.005	.000	
	N	88	88	88	88	88	88	88	88	
LNAL	Pearson Correlation	.594**	-.695**	.406**	.780**	.629**	.350**	.428**	.365**	.212*
	Sig. (2-tailed)	.000	.000	.000	.000	.000	.001	.000	.000	.048
	N	88	88	88	88	88	88	88	88	
LNAS	Pearson Correlation	.036	-.211*	-.472**	.715**	.631**	.528**	.809**	-.261*	.046
	Sig. (2-tailed)	.740	.048	.000	.000	.000	.000	.000	.014	.670
	N	88	88	88	88	88	88	88	88	
LNAU	Pearson Correlation	.166	.128	.410**	-.375**	-.337**	-.346**	-.388**	-.075	-.131
	Sig. (2-tailed)	.122	.234	.000	.000	.001	.001	.000	.486	.222
	N	88	88	88	88	88	88	88	88	
LNBA	Pearson Correlation	.602**	-.755**	.432**	.706**	.607**	.345**	.339**	.346**	.261*
	Sig. (2-tailed)	.000	.000	.000	.000	.000	.001	.001	.001	.014
	N	88	88	88	88	88	88	88	88	
LNBE	Pearson Correlation	.649**	-.695**	.360**	.814**	.626**	.342**	.528**	.404**	.267*
	Sig. (2-tailed)	.000	.000	.001	.000	.000	.001	.000	.000	.012
	N	88	88	88	88	88	88	88	88	
LNBI	Pearson Correlation	-.584**	-.111	-.616**	.213*	.683**	.886**	.150	-.305**	-.642**
	Sig. (2-tailed)	.000	.302	.000	.047	.000	.000	.162	.004	.000
	N	88	88	88	88	88	88	88	88	
LNCA	Pearson Correlation	-.539**	.655**	-.601**	-.320**	-.378**	-.166	.069	-.459**	-.081
	Sig. (2-tailed)	.000	.000	.000	.002	.000	.122	.522	.000	.455
	N	88	88	88	88	88	88	88	88	
LNCD	Pearson Correlation	.211*	-.177	-.295**	.651**	.335**	.178	.795**	-.113	.390**
	Sig. (2-tailed)	.049	.099	.005	.000	.001	.096	.000	.293	.000
	N	88	88	88	88	88	88	88	88	
LNCE	Pearson Correlation	.926**	-.344**	.764**	.280**	-.300**	-.606**	.203	.457**	.821**
	Sig. (2-tailed)	.000	.001	.000	.008	.004	.000	.057	.000	.000
	N	88	88	88	88	88	88	88	88	
LNCO	Pearson Correlation	-.064	.255*	-.564**	.604**	.208	.134	.898**	-.334**	.219*
	Sig. (2-tailed)	.555	.017	.000	.000	.052	.214	.000	.001	.040
	N	88	88	88	88	88	88	88	88	

**Table (2-4): Pearson Correlation on raw datas of Firouzan's Geochemical Samples**

**Correlations**

		LNSN	LNSR	LNTI	LNTL	LNU	LNV	LNW	LNY
LNCR	Pearson Correlation	-.413**	.433**	-.566**	.156	.080	.166	.361**	.119
	Sig. (2-tailed)	.000	.000	.000	.147	.461	.123	.001	.269
	N	88	88	88	88	88	88	88	88
LNCS	Pearson Correlation	.778**	-.261*	.506**	.378**	-.094	-.411**	.378**	.295**
	Sig. (2-tailed)	.000	.014	.000	.000	.385	.000	.000	.005
	N	88	88	88	88	88	88	88	88
LNCU	Pearson Correlation	.547**	-.277**	.063	.682**	.152	-.082	.760**	.073
	Sig. (2-tailed)	.000	.009	.562	.000	.157	.448	.000	.498
	N	88	88	88	88	88	88	88	88
LNFE	Pearson Correlation	.289**	-.242*	-.236*	.944**	.555**	.329**	.960**	-.059
	Sig. (2-tailed)	.006	.023	.027	.000	.000	.002	.000	.585
	N	88	88	88	88	88	88	88	88
LNK	Pearson Correlation	.696**	-.684**	.498**	.693**	.574**	.225*	.359**	.432**
	Sig. (2-tailed)	.000	.000	.000	.000	.000	.035	.001	.000
	N	88	88	88	88	88	88	88	88
LNLA	Pearson Correlation	.585**	-.637**	.448**	.671**	.542**	.336**	.337**	.298**
	Sig. (2-tailed)	.000	.000	.000	.000	.000	.001	.001	.005
	N	88	88	88	88	88	88	88	88
LNLI	Pearson Correlation	-.075	.283**	-.435**	.451**	.111	.062	.734**	-.046
	Sig. (2-tailed)	.485	.008	.000	.000	.305	.566	.000	.672
	N	88	88	88	88	88	88	88	88
LNMG	Pearson Correlation	-.328**	.592**	-.541**	.065	-.220*	-.120	.453**	-.261*
	Sig. (2-tailed)	.002	.000	.000	.550	.039	.264	.000	.014
	N	88	88	88	88	88	88	88	88
LNMN	Pearson Correlation	.320**	-.484**	-.164	.887**	.624**	.409**	.822**	-.068
	Sig. (2-tailed)	.002	.000	.126	.000	.000	.000	.000	.531
	N	88	88	88	88	88	88	88	88
LNMO	Pearson Correlation	-.201	-.124	-.468**	.455**	.637**	.680**	.465**	.024
	Sig. (2-tailed)	.060	.250	.000	.000	.000	.000	.000	.826
	N	88	88	88	88	88	88	88	88
LNNA	Pearson Correlation	.219*	-.440**	.531**	.019	.169	.116	-.407**	.333**
	Sig. (2-tailed)	.041	.000	.000	.860	.116	.280	.000	.002
	N	88	88	88	88	88	88	88	88

**Table (2-4): Pearson Correlation on raw datas of Firouzan's Geochemical Samples**

**Correlations**

		LNSN	LNSR	LNTH	LNTI	LNTL	LNU	LNV	LNW	LNY
LNNB	Pearson Correlation	.960**	-.473**	.824**	.375**	-.108	-.454**	.177	.512**	.741**
	Sig. (2-tailed)	.000	.000	.000	.000	.317	.000	.099	.000	.000
	N	88	88	88	88	88	88	88	88	88
LNNI	Pearson Correlation	-.345**	.530**	-.684**	.174	-.091	-.015	.582**	-.380**	.070
	Sig. (2-tailed)	.001	.000	.000	.106	.398	.891	.000	.000	.514
	N	88	88	88	88	88	88	88	88	88
LNP	Pearson Correlation	.199	.030	-.226*	.644**	.288**	.082	.759**	-.228*	.244*
	Sig. (2-tailed)	.063	.779	.034	.000	.007	.445	.000	.033	.022
	N	88	88	88	88	88	88	88	88	88
LNPB	Pearson Correlation	.346**	-.522**	-.119	.847**	.613**	.374**	.760**	.011	.378**
	Sig. (2-tailed)	.001	.000	.268	.000	.000	.000	.000	.921	.000
	N	88	88	88	88	88	88	88	88	88
LNRB	Pearson Correlation	.902**	-.518**	.630**	.571**	.178	-.240*	.386**	.475**	.622**
	Sig. (2-tailed)	.000	.000	.000	.000	.097	.024	.000	.000	.000
	N	88	88	88	88	88	88	88	88	88
LNS	Pearson Correlation	-.551**	.718**	-.519**	-.458**	-.437**	-.175	-.091	-.539**	-.150
	Sig. (2-tailed)	.000	.000	.000	.000	.000	.111	.410	.000	.174
	N	84	84	84	84	84	84	84	84	84
LNSB	Pearson Correlation	.721**	-.432**	.286**	.580**	.182	-.104	.583**	.125	.606**
	Sig. (2-tailed)	.000	.000	.007	.000	.091	.336	.000	.247	.000
	N	88	88	88	88	88	88	88	88	88
LNSC	Pearson Correlation	.203	-.214*	-.337**	.930**	.583**	.376**	.971**	-.138	.275**
	Sig. (2-tailed)	.058	.046	.001	.000	.000	.000	.000	.201	.009
	N	88	88	88	88	88	88	88	88	88
LNSN	Pearson Correlation	1	-.545**	.804**	.373**	-.055	-.399**	.196	.521**	.685**
	Sig. (2-tailed)	.	.000	.000	.000	.609	.000	.067	.000	.000
	N	88	88	88	88	88	88	88	88	88
LNSR	Pearson Correlation	-.545**	1	-.426**	-.410**	-.469**	-.281**	-.089	-.308**	-.138
	Sig. (2-tailed)	.000	.	.000	.000	.000	.008	.408	.004	.199
	N	88	88	88	88	88	88	88	88	88
LNTH	Pearson Correlation	.804**	-.426**	1	-.095	-.307**	-.493**	-.353**	.608**	.447**
	Sig. (2-tailed)	.000	.000	.	.378	.004	.000	.001	.000	.000
	N	88	88	88	88	88	88	88	88	88

**Table (2-4): Pearson Correlation on raw datas of Firouzan's Geochemical Samples**

**Correlations**

		LNSN	LNSR	LNTH	LNTI	LNTL	LNU	LNV	LNW	LNY
LNTI	Pearson Correlation	.373**	-.410**	-.095	1	.686**	.407**	.873**	.026	.282**
	Sig. (2-tailed)	.000	.000	.378	.	.000	.000	.000	.808	.008
	N	88	88	88	88	88	88	88	88	88
LNTL	Pearson Correlation	-.055	-.469**	-.307**	.686**	1	.886**	.467**	-.091	-.313**
	Sig. (2-tailed)	.609	.000	.004	.000	.	.000	.000	.399	.003
	N	88	88	88	88	88	88	88	88	88
LNU	Pearson Correlation	-.399**	-.281**	-.493**	.407**	.886**	1	.262*	-.243*	-.583**
	Sig. (2-tailed)	.000	.008	.000	.000	.000	.	.014	.022	.000
	N	88	88	88	88	88	88	88	88	88
LNV	Pearson Correlation	.196	-.089	-.353**	.873**	.467**	.262*	1	-.191	.286**
	Sig. (2-tailed)	.067	.408	.001	.000	.000	.014	.	.074	.007
	N	88	88	88	88	88	88	88	88	88
LNW	Pearson Correlation	.521**	-.308**	.608**	.026	-.091	-.243*	-.191	1	.336**
	Sig. (2-tailed)	.000	.004	.000	.808	.399	.022	.074	.	.001
	N	88	88	88	88	88	88	88	88	88
LNY	Pearson Correlation	.685**	-.138	.447**	.282**	-.313**	-.583**	.286**	.336**	1
	Sig. (2-tailed)	.000	.199	.000	.008	.003	.000	.007	.001	.
	N	88	88	88	88	88	88	88	88	88
LZNZ	Pearson Correlation	.469**	-.487**	-.010	.838**	.485**	.184	.776**	.039	.546**
	Sig. (2-tailed)	.000	.000	.928	.000	.000	.086	.000	.718	.000
	N	88	88	88	88	88	88	88	88	88
LNRZ	Pearson Correlation	.190	-.367**	-.253*	.853**	.546**	.359**	.801**	-.051	.364**
	Sig. (2-tailed)	.077	.000	.017	.000	.000	.001	.000	.639	.000
	N	88	88	88	88	88	88	88	88	88

**Table (2-4): Pearson Correlation on raw datas of Firouzan's Geochemical Samples**

**Correlations**

		LNZN	LNZR
LNAG	Pearson Correlation	.288**	.438**
	Sig. (2-tailed)	.007	.000
	N	88	88
LNAL	Pearson Correlation	.609**	.554**
	Sig. (2-tailed)	.000	.000
	N	88	88
LNAS	Pearson Correlation	.694**	.751**
	Sig. (2-tailed)	.000	.000
	N	88	88
LNAU	Pearson Correlation	-.425**	-.619**
	Sig. (2-tailed)	.000	.000
	N	88	88
LNBA	Pearson Correlation	.654**	.545**
	Sig. (2-tailed)	.000	.000
	N	88	88
LNBE	Pearson Correlation	.697**	.613**
	Sig. (2-tailed)	.000	.000
	N	88	88
LNBI	Pearson Correlation	-.040	.215*
	Sig. (2-tailed)	.709	.044
	N	88	88
LNCA	Pearson Correlation	-.254*	-.091
	Sig. (2-tailed)	.017	.398
	N	88	88
LNCD	Pearson Correlation	.825**	.755**
	Sig. (2-tailed)	.000	.000
	N	88	88
LNCE	Pearson Correlation	.419**	.169
	Sig. (2-tailed)	.000	.115
	N	88	88
LNCO	Pearson Correlation	.556**	.627**
	Sig. (2-tailed)	.000	.000
	N	88	88

**Table (2-4): Pearson Correlation on raw datas of Firouzan's Geochemical Samples**

**Correlations**

		LNZN	LNZR
LNCR	Pearson Correlation	.052	.205
	Sig. (2-tailed)	.633	.055
	N	88	88
LNCS	Pearson Correlation	.351**	.197
	Sig. (2-tailed)	.001	.066
	N	88	88
LNCU	Pearson Correlation	.866**	.745**
	Sig. (2-tailed)	.000	.000
	N	88	88
LNFE	Pearson Correlation	.813**	.852**
	Sig. (2-tailed)	.000	.000
	N	88	88
LNK	Pearson Correlation	.579**	.435**
	Sig. (2-tailed)	.000	.000
	N	88	88
LNLA	Pearson Correlation	.463**	.385**
	Sig. (2-tailed)	.000	.000
	N	88	88
LNLI	Pearson Correlation	.284**	.400**
	Sig. (2-tailed)	.007	.000
	N	88	88
LNGM	Pearson Correlation	-.064	.081
	Sig. (2-tailed)	.551	.456
	N	88	88
LNMN	Pearson Correlation	.949**	.901**
	Sig. (2-tailed)	.000	.000
	N	88	88
LNMO	Pearson Correlation	.435**	.543**
	Sig. (2-tailed)	.000	.000
	N	88	88
LNNA	Pearson Correlation	-.110	-.136
	Sig. (2-tailed)	.307	.207
	N	88	88

**Table (2-4): Pearson Correlation on raw datas of Firouzan's Geochemical Samples**

**Correlations**

		LZN	LNZ
LNNB	Pearson Correlation	.465**	.201
	Sig. (2-tailed)	.000	.060
	N	88	88
LNNI	Pearson Correlation	.179	.275**
	Sig. (2-tailed)	.095	.010
	N	88	88
LNP	Pearson Correlation	.462**	.541**
	Sig. (2-tailed)	.000	.000
	N	88	88
LNPB	Pearson Correlation	.963**	.873**
	Sig. (2-tailed)	.000	.000
	N	88	88
LNRB	Pearson Correlation	.606**	.370**
	Sig. (2-tailed)	.000	.000
	N	88	88
LNS	Pearson Correlation	-.359**	-.253*
	Sig. (2-tailed)	.001	.020
	N	84	84
LNSB	Pearson Correlation	.726**	.537**
	Sig. (2-tailed)	.000	.000
	N	88	88
LNSC	Pearson Correlation	.830**	.875**
	Sig. (2-tailed)	.000	.000
	N	88	88
LNSN	Pearson Correlation	.469**	.190
	Sig. (2-tailed)	.000	.077
	N	88	88
LNSR	Pearson Correlation	-.487**	-.367**
	Sig. (2-tailed)	.000	.000
	N	88	88
LNTH	Pearson Correlation	-.010	-.253*
	Sig. (2-tailed)	.928	.017
	N	88	88

**Table (2-4): Pearson Correlation on raw datas of Firouzan's Geochemical Samples**

**Correlations**

		LNZN	LNZR
LNTI	Pearson Correlation	.838**	.853**
	Sig. (2-tailed)	.000	.000
	N	88	88
LNTL	Pearson Correlation	.485**	.546**
	Sig. (2-tailed)	.000	.000
	N	88	88
LNU	Pearson Correlation	.184	.359**
	Sig. (2-tailed)	.086	.001
	N	88	88
LNV	Pearson Correlation	.776**	.801**
	Sig. (2-tailed)	.000	.000
	N	88	88
LNW	Pearson Correlation	.039	-.051
	Sig. (2-tailed)	.718	.639
	N	88	88
LNY	Pearson Correlation	.546**	.364**
	Sig. (2-tailed)	.000	.000
	N	88	88
LNZN	Pearson Correlation	1	.860**
	Sig. (2-tailed)	.	.000
	N	88	88
LNZR	Pearson Correlation	.860**	1
	Sig. (2-tailed)	.000	.
	N	88	88

\*\*. Correlation is significant at the 0.01 level (2-tailed).

\*. Correlation is significant at the 0.05 level (2-tailed).

**Table (3-4): Spearman Correlation on raw datas of Firouzan's Geochemical Samples**

**Correlations**

		AG	AL	AS	AU	BA	BE	BI	CA	
Spearman's rho	AG	Correlation Coefficient	1.000	.449**	.767**	-.427**	.420**	.539**	.288**	-.057
		Sig. (2-tailed)	.	.000	.000	.000	.000	.000	.006	.598
		N	88	88	88	88	88	88	88	88
	AL	Correlation Coefficient	.449**	1.000	.427**	-.285**	.905**	.938**	-.024	-.618**
		Sig. (2-tailed)	.000	.	.000	.007	.000	.000	.826	.000
		N	88	88	88	88	88	88	88	88
	AS	Correlation Coefficient	.767**	.427**	1.000	-.502**	.446**	.553**	.030	.105
		Sig. (2-tailed)	.000	.000	.	.000	.000	.000	.781	.332
		N	88	88	88	88	88	88	88	88
	AU	Correlation Coefficient	-.427**	-.285**	-.502**	1.000	-.329**	-.303**	-.352**	-.106
		Sig. (2-tailed)	.000	.007	.000	.	.002	.004	.001	.328
		N	88	88	88	88	88	88	88	88
	BA	Correlation Coefficient	.420**	.905**	.446**	-.329**	1.000	.891**	-.092	-.701**
		Sig. (2-tailed)	.000	.000	.000	.002	.	.000	.396	.000
		N	88	88	88	88	88	88	88	88
	BE	Correlation Coefficient	.539**	.938**	.553**	-.303**	.891**	1.000	-.050	-.540**
		Sig. (2-tailed)	.000	.000	.000	.004	.000	.	.642	.000
		N	88	88	88	88	88	88	88	88
	BI	Correlation Coefficient	.288**	-.024	.030	-.352**	-.092	-.050	1.000	.285**
		Sig. (2-tailed)	.006	.826	.781	.001	.396	.642	.	.007
		N	88	88	88	88	88	88	88	88
	CA	Correlation Coefficient	-.057	-.618**	.105	-.106	-.701**	-.540**	.285**	1.000
		Sig. (2-tailed)	.598	.000	.332	.328	.000	.000	.007	.
		N	88	88	88	88	88	88	88	88
	CD	Correlation Coefficient	.594**	.370**	.856**	-.554**	.457**	.479**	-.103	.095
		Sig. (2-tailed)	.000	.000	.000	.000	.000	.000	.337	.378
		N	88	88	88	88	88	88	88	88
	CE	Correlation Coefficient	.201	.577**	.148	.126	.499**	.608**	-.310**	-.417**
		Sig. (2-tailed)	.061	.000	.169	.242	.000	.000	.003	.000
		N	88	88	88	88	88	88	88	88
	CO	Correlation Coefficient	.541**	.251*	.791**	-.313**	.201	.299**	-.086	.281**
		Sig. (2-tailed)	.000	.019	.000	.003	.060	.005	.423	.008
		N	88	88	88	88	88	88	88	88

**Table (3-4): Spearman Correlation on raw datas of Firouzan's Geochemical Samples**

**Correlations**

		AG	AL	AS	AU	BA	BE	BI	CA
Spearman's rho	CR	Correlation Coefficient	.179	.016	.294**	-.267*	-.032	.020	.044
		Sig. (2-tailed)	.094	.883	.005	.012	.767	.852	.682
		N	88	88	88	88	88	88	88
	CS	Correlation Coefficient	.169	.375**	.171	.271*	.230*	.471**	-.265*
		Sig. (2-tailed)	.115	.000	.110	.011	.031	.000	.013
		N	88	88	88	88	88	88	88
	CU	Correlation Coefficient	.585**	.461**	.804**	-.504**	.527**	.558**	-.089
		Sig. (2-tailed)	.000	.000	.000	.000	.000	.000	.408
		N	88	88	88	88	88	88	88
	FE	Correlation Coefficient	.759**	.677**	.814**	-.443**	.598**	.702**	.101
		Sig. (2-tailed)	.000	.000	.000	.000	.000	.000	.349
		N	88	88	88	88	88	88	88
K	Correlation Coefficient	.280**	.809**	.273*	-.004	.766**	.837**	-.324**	-.666**
	Sig. (2-tailed)	.008	.000	.010	.968	.000	.000	.002	.000
	N	88	88	88	88	88	88	88	88
LA	Correlation Coefficient	.346**	.791**	.228*	.044	.718**	.751**	.103	-.561**
	Sig. (2-tailed)	.001	.000	.033	.682	.000	.000	.338	.000
	N	88	88	88	88	88	88	88	88
LI	Correlation Coefficient	.531**	.313**	.641**	-.283**	.188	.319**	.078	.251*
	Sig. (2-tailed)	.000	.003	.000	.008	.080	.002	.472	.018
	N	88	88	88	88	88	88	88	88
MG	Correlation Coefficient	.231*	-.199	.313**	-.091	-.337**	-.185	.063	.630**
	Sig. (2-tailed)	.030	.063	.003	.398	.001	.084	.561	.000
	N	88	88	88	88	88	88	88	88
MN	Correlation Coefficient	.757**	.626**	.858**	-.554**	.664**	.689**	.034	-.120
	Sig. (2-tailed)	.000	.000	.000	.000	.000	.000	.753	.264
	N	88	88	88	88	88	88	88	88
MO	Correlation Coefficient	.515**	.388**	.731**	-.557**	.474**	.514**	.088	-.019
	Sig. (2-tailed)	.000	.000	.000	.000	.000	.000	.414	.861
	N	88	88	88	88	88	88	88	88
NA	Correlation Coefficient	-.271*	.226*	-.608**	.150	.233*	.052	.217*	-.596**
	Sig. (2-tailed)	.011	.035	.000	.164	.029	.630	.042	.000
	N	88	88	88	88	88	88	88	88

**Table (3-4): Spearman Correlation on raw datas of Firouzan's Geochemical Samples**

**Correlations**

		AG	AL	AS	AU	BA	BE	BI	CA
Spearman's rho	NB	Correlation Coefficient	.163	.627**	.084	.204	.571**	.626**	-.425**
		Sig. (2-tailed)	.128	.000	.437	.056	.000	.000	.000
		N	88	88	88	88	88	88	88
	NI	Correlation Coefficient	.254*	-.211*	.471**	-.205	-.277**	-.170	-.028
		Sig. (2-tailed)	.017	.049	.000	.056	.009	.114	.797
		N	88	88	88	88	88	88	88
	P	Correlation Coefficient	.625**	.419**	.679**	-.225*	.262*	.454**	.007
		Sig. (2-tailed)	.000	.000	.000	.035	.014	.000	.947
		N	88	88	88	88	88	88	88
	PB	Correlation Coefficient	.690**	.610**	.807**	-.604**	.684**	.678**	-.005
		Sig. (2-tailed)	.000	.000	.000	.000	.000	.000	.964
		N	88	88	88	88	88	88	88
RB	Correlation Coefficient	.204	.663**	.199	.046	.612**	.711**	-.460**	-.548**
	Sig. (2-tailed)	.056	.000	.064	.670	.000	.000	.000	.000
	N	88	88	88	88	88	88	88	88
	S	Correlation Coefficient	.017	-.571**	.214*	-.142	-.638**	-.473**	.242*
		Sig. (2-tailed)	.873	.000	.045	.188	.000	.000	.023
		N	88	88	88	88	88	88	88
	SB	Correlation Coefficient	.579**	.465**	.689**	-.259*	.449**	.604**	-.179
		Sig. (2-tailed)	.000	.000	.000	.015	.000	.000	.096
		N	88	88	88	88	88	88	88
	SC	Correlation Coefficient	.773**	.630**	.868**	-.502**	.575**	.656**	.088
		Sig. (2-tailed)	.000	.000	.000	.000	.000	.000	.413
		N	88	88	88	88	88	88	88
SN	Correlation Coefficient	.136	.626**	.134	.146	.581**	.678**	-.332**	-.555**
	Sig. (2-tailed)	.206	.000	.214	.174	.000	.000	.002	.000
	N	88	88	88	88	88	88	88	88
	SR	Correlation Coefficient	-.354**	-.531**	-.206	.220*	-.620**	-.580**	-.139
		Sig. (2-tailed)	.001	.000	.054	.040	.000	.000	.197
		N	88	88	88	88	88	88	88
	TH	Correlation Coefficient	-.360**	.238*	-.522**	.455**	.262*	.231*	-.261*
		Sig. (2-tailed)	.001	.026	.000	.000	.014	.031	.014
		N	88	88	88	88	88	88	88

**Table (3-4): Spearman Correlation on raw datas of Firouzan's Geochemical Samples**

		Correlations								
		AG	AL	AS	AU	BA	BE	BI	CA	
Spearman's rho	TI	Correlation Coefficient	.805**	.755**	.764**	-.420**	.661**	.751**	.103	-.209
		Sig. (2-tailed)	.000	.000	.000	.000	.000	.000	.339	.050
		N	88	88	88	88	88	88	88	88
	TL	Correlation Coefficient	.798**	.738**	.704**	-.418**	.702**	.782**	.159	-.358**
		Sig. (2-tailed)	.000	.000	.000	.000	.000	.000	.138	.001
		N	88	88	88	88	88	88	88	88
	U	Correlation Coefficient	.695**	.708**	.555**	-.328**	.674**	.766**	.320**	-.337**
		Sig. (2-tailed)	.000	.000	.000	.002	.000	.000	.002	.001
		N	88	88	88	88	88	88	88	88
	V	Correlation Coefficient	.723**	.543**	.841**	-.408**	.472**	.564**	.008	.022
		Sig. (2-tailed)	.000	.000	.000	.000	.000	.000	.938	.836
		N	88	88	88	88	88	88	88	88
	W	Correlation Coefficient	-.121	.271*	-.271*	.099	.300**	.354**	-.063	-.449**
		Sig. (2-tailed)	.262	.011	.011	.360	.005	.001	.559	.000
		N	88	88	88	88	88	88	88	88
	Y	Correlation Coefficient	.170	.437**	.319**	-.336**	.430**	.430**	-.339**	-.120
		Sig. (2-tailed)	.114	.000	.002	.001	.000	.000	.001	.267
		N	88	88	88	88	88	88	88	88
	ZN	Correlation Coefficient	.630**	.559**	.754**	-.507**	.623**	.619**	-.134	-.146
		Sig. (2-tailed)	.000	.000	.000	.000	.000	.000	.215	.175
		N	88	88	88	88	88	88	88	88
	ZR	Correlation Coefficient	.668**	.638**	.756**	-.611**	.622**	.641**	.093	-.064
		Sig. (2-tailed)	.000	.000	.000	.000	.000	.000	.390	.551
		N	88	88	88	88	88	88	88	88

**Table (3-4): Spearman Correlation on raw datas of Firouzan's Geochemical Samples**

		Correlations							
		CD	CE	CO	CR	CS	CU	FE	K
Spearman's rho	AG	Correlation Coefficient	.594**	.201	.541**	.179	.169	.585**	.759**
		Sig. (2-tailed)	.000	.061	.000	.094	.115	.000	.008
		N	88	88	88	88	88	88	88
	AL	Correlation Coefficient	.370**	.577**	.251*	.016	.375**	.461**	.677**
		Sig. (2-tailed)	.000	.000	.019	.883	.000	.000	.000
		N	88	88	88	88	88	88	88
	AS	Correlation Coefficient	.856**	.148	.791**	.294**	.171	.804**	.814**
		Sig. (2-tailed)	.000	.169	.000	.005	.110	.000	.010
		N	88	88	88	88	88	88	88
	AU	Correlation Coefficient	-.554**	.126	-.313**	-.267*	.271*	-.504**	-.443**
		Sig. (2-tailed)	.000	.242	.003	.012	.011	.000	.968
		N	88	88	88	88	88	88	88
	BA	Correlation Coefficient	.457**	.499**	.201	-.032	.230*	.527**	.598**
		Sig. (2-tailed)	.000	.000	.060	.767	.031	.000	.000
		N	88	88	88	88	88	88	88
	BE	Correlation Coefficient	.479**	.608**	.299**	.020	.471**	.558**	.702**
		Sig. (2-tailed)	.000	.000	.005	.852	.000	.000	.000
		N	88	88	88	88	88	88	88
	BI	Correlation Coefficient	-.103	-.310**	-.086	.044	-.265*	-.089	.101
		Sig. (2-tailed)	.337	.003	.423	.682	.013	.408	.349
		N	88	88	88	88	88	88	88
	CA	Correlation Coefficient	.095	-.417**	.281**	.280**	-.141	.029	-.070
		Sig. (2-tailed)	.378	.000	.008	.008	.189	.792	.517
		N	88	88	88	88	88	88	88
	CD	Correlation Coefficient	1.000	.178	.739**	.358**	.101	.886**	.733**
		Sig. (2-tailed)	.	.097	.000	.001	.347	.000	.000
		N	88	88	88	88	88	88	88
	CE	Correlation Coefficient	.178	1.000	.119	-.353**	.794**	.424**	.422**
		Sig. (2-tailed)	.097	.	.271	.001	.000	.000	.000
		N	88	88	88	88	88	88	88
	CO	Correlation Coefficient	.739**	.119	1.000	.528**	.173	.749**	.797**
		Sig. (2-tailed)	.000	.271	.	.000	.107	.000	.000
		N	88	88	88	88	88	88	88

**Table (3-4): Spearman Correlation on raw datas of Firouzan's Geochemical Samples**

**Correlations**

		CD	CE	CO	CR	CS	CU	FE	K
Spearman's rho	CR	Correlation Coefficient	.358**	-.353**	.528**	1.000	-.232*	.179	.301**
		Sig. (2-tailed)	.001	.001	.000	.	.030	.095	.004
		N	88	88	88	88	88	88	88
	CS	Correlation Coefficient	.101	.794**	.173	-.232*	1.000	.296**	.357**
		Sig. (2-tailed)	.347	.000	.107	.030	.	.005	.001
		N	88	88	88	88	88	88	88
	CU	Correlation Coefficient	.886**	.424**	.749**	.179	.296**	1.000	.821**
		Sig. (2-tailed)	.000	.000	.000	.095	.005	.	.000
		N	88	88	88	88	88	88	88
	FE	Correlation Coefficient	.733**	.422**	.797**	.301**	.357**	.821**	1.000
		Sig. (2-tailed)	.000	.000	.000	.004	.001	.000	.
		N	88	88	88	88	88	88	88
	K	Correlation Coefficient	.198	.601**	.035	-.156	.593**	.261*	.409**
		Sig. (2-tailed)	.065	.000	.745	.145	.000	.014	.000
		N	88	88	88	88	88	88	88
	LA	Correlation Coefficient	.101	.593**	.075	-.178	.329**	.231*	.477**
		Sig. (2-tailed)	.347	.000	.486	.097	.002	.030	.000
		N	88	88	88	88	88	88	88
	LI	Correlation Coefficient	.559**	.153	.849**	.592**	.276**	.618**	.803**
		Sig. (2-tailed)	.000	.155	.000	.000	.009	.000	.000
		N	88	88	88	88	88	88	88
	MG	Correlation Coefficient	.336**	-.111	.648**	.659**	.083	.258*	.368**
		Sig. (2-tailed)	.001	.305	.000	.000	.441	.015	.000
		N	88	88	88	88	88	88	88
	MN	Correlation Coefficient	.857**	.367**	.662**	.186	.167	.881**	.871**
		Sig. (2-tailed)	.000	.000	.000	.083	.120	.000	.000
		N	88	88	88	88	88	88	88
	MO	Correlation Coefficient	.698**	-.154	.483**	.515**	-.099	.515**	.494**
		Sig. (2-tailed)	.000	.151	.000	.000	.360	.000	.000
		N	88	88	88	88	88	88	88
	NA	Correlation Coefficient	-.622**	.036	-.667**	-.362**	-.210	-.497**	-.336**
		Sig. (2-tailed)	.000	.739	.000	.001	.050	.000	.001
		N	88	88	88	88	88	88	88

**Table (3-4): Spearman Correlation on raw datas of Firouzan's Geochemical Samples**

**Correlations**

		CD	CE	CO	CR	CS	CU	FE	K
Spearman's rho	NB	Correlation Coefficient	.126	.934**	.054	-.343**	.680**	.335**	.354**
		Sig. (2-tailed)	.240	.000	.620	.001	.000	.001	.000
		N	88	88	88	88	88	88	88
	NI	Correlation Coefficient	.545**	-.184	.723**	.684**	-.045	.406**	.396**
		Sig. (2-tailed)	.000	.086	.000	.000	.678	.000	.000
		N	88	88	88	88	88	88	88
	P	Correlation Coefficient	.553**	.375**	.730**	.260*	.544**	.619**	.782**
		Sig. (2-tailed)	.000	.000	.000	.014	.000	.000	.003
		N	88	88	88	88	88	88	88
	PB	Correlation Coefficient	.898**	.319**	.578**	.190	.139	.860**	.793**
		Sig. (2-tailed)	.000	.002	.000	.076	.197	.000	.000
		N	88	88	88	88	88	88	88
RB	Correlation Coefficient	.219*	.834**	.087	-.257*	.798**	.385**	.402**	.856**
	Sig. (2-tailed)	.040	.000	.419	.016	.000	.000	.000	.000
	N	88	88	88	88	88	88	88	88
	S	Correlation Coefficient	.215*	-.381**	.375**	.319**	-.106	.130	.013
		Sig. (2-tailed)	.044	.000	.000	.002	.324	.226	.905
		N	88	88	88	88	88	88	88
	SB	Correlation Coefficient	.666**	.661**	.543**	-.127	.640**	.821**	.711**
		Sig. (2-tailed)	.000	.000	.000	.238	.000	.000	.000
		N	88	88	88	88	88	88	88
	SC	Correlation Coefficient	.799**	.336**	.825**	.329**	.254*	.846**	.986**
		Sig. (2-tailed)	.000	.001	.000	.002	.017	.000	.000
		N	88	88	88	88	88	88	88
SN	Correlation Coefficient	.175	.892**	-.012	-.401**	.716**	.369**	.331**	.687**
	Sig. (2-tailed)	.103	.000	.912	.000	.000	.000	.002	.000
	N	88	88	88	88	88	88	88	88
	SR	Correlation Coefficient	-.191	-.431**	.194	.399**	-.304**	-.236*	-.216*
		Sig. (2-tailed)	.075	.000	.069	.000	.004	.027	.043
		N	88	88	88	88	88	88	88
	TH	Correlation Coefficient	-.501**	.531**	-.642**	-.582**	.402**	-.327**	-.375**
		Sig. (2-tailed)	.000	.000	.000	.000	.000	.002	.000
		N	88	88	88	88	88	88	88

**Table (3-4): Spearman Correlation on raw datas of Firouzan's Geochemical Samples**

**Correlations**

		CD	CE	CO	CR	CS	CU	FE	K
Spearman's rho	TI	Correlation Coefficient	.660**	.459**	.671**	.210*	.360**	.748**	.957**
		Sig. (2-tailed)	.000	.000	.000	.049	.001	.000	.000
		N	88	88	88	88	88	88	88
	TL	Correlation Coefficient	.528**	.253*	.376**	.079	.240*	.502**	.731**
		Sig. (2-tailed)	.000	.017	.000	.466	.024	.000	.000
		N	88	88	88	88	88	88	88
	U	Correlation Coefficient	.358**	.254*	.215*	.056	.187	.344**	.555**
		Sig. (2-tailed)	.001	.017	.044	.603	.081	.001	.000
		N	88	88	88	88	88	88	88
	V	Correlation Coefficient	.771**	.335**	.887**	.362**	.300**	.836**	.955**
		Sig. (2-tailed)	.000	.001	.000	.001	.004	.000	.005
		N	88	88	88	88	88	88	88
W	Correlation Coefficient	-.213*	.393**	-.303**	.011	.353**	-.061	-.078	.426**
	Sig. (2-tailed)	.046	.000	.004	.920	.001	.572	.468	.000
	N	88	88	88	88	88	88	88	88
	Y	Correlation Coefficient	.553**	.615**	.382**	.057	.386**	.703**	.538**
		Sig. (2-tailed)	.000	.000	.000	.598	.000	.000	.004
		N	88	88	88	88	88	88	88
	ZN	Correlation Coefficient	.881**	.425**	.605**	.123	.236*	.914**	.788**
		Sig. (2-tailed)	.000	.000	.000	.255	.027	.000	.000
		N	88	88	88	88	88	88	88
	ZR	Correlation Coefficient	.770**	.338**	.648**	.245*	.161	.840**	.857**
		Sig. (2-tailed)	.000	.001	.000	.021	.134	.000	.002
		N	88	88	88	88	88	88	88

**Table (3-4): Spearman Correlation on raw datas of Firouzan's Geochemical Samples**

**Correlations**

		LA	LI	MG	MN	MO	NA	NB	NI	
Spearman's rho	AG	Correlation Coefficient	.346**	.531**	.231*	.757**	.515**	-.271*	.163	.254*
		Sig. (2-tailed)	.001	.000	.030	.000	.000	.011	.128	.017
		N	88	88	88	88	88	88	88	88
	AL	Correlation Coefficient	.791**	.313**	-.199	.626**	.388**	.226*	.627**	-.211*
		Sig. (2-tailed)	.000	.003	.063	.000	.000	.035	.000	.049
		N	88	88	88	88	88	88	88	88
	AS	Correlation Coefficient	.228*	.641**	.313**	.858**	.731**	-.608**	.084	.471**
		Sig. (2-tailed)	.033	.000	.003	.000	.000	.000	.437	.000
		N	88	88	88	88	88	88	88	88
	AU	Correlation Coefficient	.044	-.283**	-.091	-.554**	-.557**	.150	.204	-.205
		Sig. (2-tailed)	.682	.008	.398	.000	.000	.164	.056	.056
		N	88	88	88	88	88	88	88	88
	BA	Correlation Coefficient	.718**	.188	-.337**	.664**	.474**	.233*	.571**	-.277**
		Sig. (2-tailed)	.000	.080	.001	.000	.000	.029	.000	.009
		N	88	88	88	88	88	88	88	88
	BE	Correlation Coefficient	.751**	.319**	-.185	.689**	.514**	.052	.626**	-.170
		Sig. (2-tailed)	.000	.002	.084	.000	.000	.630	.000	.114
		N	88	88	88	88	88	88	88	88
	BI	Correlation Coefficient	.103	.078	.063	.034	.088	.217*	-.425**	-.028
		Sig. (2-tailed)	.338	.472	.561	.753	.414	.042	.000	.797
		N	88	88	88	88	88	88	88	88
	CA	Correlation Coefficient	-.561**	.251*	.630**	-.120	-.019	-.596**	-.597**	.630**
		Sig. (2-tailed)	.000	.018	.000	.264	.861	.000	.000	.000
		N	88	88	88	88	88	88	88	88
	CD	Correlation Coefficient	.101	.559**	.336**	.857**	.698**	-.622**	.126	.545**
		Sig. (2-tailed)	.347	.000	.001	.000	.000	.000	.240	.000
		N	88	88	88	88	88	88	88	88
	CE	Correlation Coefficient	.593**	.153	-.111	.367**	-.154	.036	.934**	-.184
		Sig. (2-tailed)	.000	.155	.305	.000	.151	.739	.000	.086
		N	88	88	88	88	88	88	88	88
	CO	Correlation Coefficient	.075	.849**	.648**	.662**	.483**	-.667**	.054	.723**
		Sig. (2-tailed)	.486	.000	.000	.000	.000	.000	.620	.000
		N	88	88	88	88	88	88	88	88

**Table (3-4): Spearman Correlation on raw datas of Firouzan's Geochemical Samples**

**Correlations**

		LA	LI	MG	MN	MO	NA	NB	NI
Spearman's rho	CR	Correlation Coefficient	-.178	.592**	.659**	.186	.515**	-.362**	-.343**
		Sig. (2-tailed)	.097	.000	.000	.083	.000	.001	.000
		N	88	88	88	88	88	88	88
	CS	Correlation Coefficient	.329**	.276**	.083	.167	-.099	-.210	.680**
		Sig. (2-tailed)	.002	.009	.441	.120	.360	.050	.000
		N	88	88	88	88	88	88	88
	CU	Correlation Coefficient	.231*	.618**	.258*	.881**	.515**	-.497**	.335**
		Sig. (2-tailed)	.030	.000	.015	.000	.000	.000	.000
		N	88	88	88	88	88	88	88
	FE	Correlation Coefficient	.477**	.803**	.368**	.871**	.494**	-.336**	.354**
		Sig. (2-tailed)	.000	.000	.000	.000	.000	.001	.000
		N	88	88	88	88	88	88	88
K	Correlation Coefficient	.595**	.090	-.344**	.373**	.287**	.164	.666**	-.375**
	Sig. (2-tailed)	.000	.404	.001	.000	.007	.126	.000	.000
	N	88	88	88	88	88	88	88	88
	LA	Correlation Coefficient	1.000	.102	-.258*	.441**	.136	.365**	.628**
		Sig. (2-tailed)	.	.347	.015	.000	.207	.000	.003
		N	88	88	88	88	88	88	88
	LI	Correlation Coefficient	.102	1.000	.725**	.547**	.351**	-.534**	.060
		Sig. (2-tailed)	.347	.	.000	.000	.001	.000	.579
		N	88	88	88	88	88	88	88
	MG	Correlation Coefficient	-.258*	.725**	1.000	.180	.080	-.641**	-.213*
		Sig. (2-tailed)	.015	.000	.	.093	.456	.000	.047
		N	88	88	88	88	88	88	88
MN	Correlation Coefficient	.441**	.547**	.180	1.000	.602**	-.333**	.311**	.312**
	Sig. (2-tailed)	.000	.000	.093	.	.000	.002	.003	.003
	N	88	88	88	88	88	88	88	88
	MO	Correlation Coefficient	.136	.351**	.080	.602**	1.000	-.367**	-.167
		Sig. (2-tailed)	.207	.001	.456	.000	.	.000	.120
		N	88	88	88	88	88	88	88
	NA	Correlation Coefficient	.365**	-.534**	-.641**	-.333**	-.367**	1.000	.172
		Sig. (2-tailed)	.000	.000	.000	.002	.000	.	.110
		N	88	88	88	88	88	88	88

**Table (3-4): Spearman Correlation on raw datas of Firouzan's Geochemical Samples**

**Correlations**

		LA	LI	MG	MN	MO	NA	NB	NI	
Spearman's rho	NB	Correlation Coefficient	.628**	.060	-.213*	.311**	-.167	.172	1.000	-.274**
		Sig. (2-tailed)	.000	.579	.047	.003	.120	.110	.	.010
		N	88	88	88	88	88	88	88	88
	NI	Correlation Coefficient	-.316**	.698**	.899**	.312**	.257*	-.776**	-.274**	1.000
		Sig. (2-tailed)	.003	.000	.000	.003	.016	.000	.010	.
		N	88	88	88	88	88	88	88	88
	P	Correlation Coefficient	.228*	.756**	.533**	.585**	.296**	-.462**	.294**	.480**
		Sig. (2-tailed)	.033	.000	.000	.000	.005	.000	.005	.000
		N	88	88	88	88	88	88	88	88
	PB	Correlation Coefficient	.353**	.456**	.103	.959**	.673**	-.315**	.280**	.263*
RB		Sig. (2-tailed)	.001	.000	.341	.000	.000	.003	.008	.013
		N	88	88	88	88	88	88	88	88
	Correlation Coefficient	.446**	.135	-.231*	.340**	.056	.037	.843**	-.275**	
	Sig. (2-tailed)	.000	.209	.031	.001	.604	.729	.000	.009	
	N	88	88	88	88	88	88	88	88	
	S	Correlation Coefficient	-.539**	.311**	.669**	-.025	.068	-.684**	-.559**	.696**
		Sig. (2-tailed)	.000	.003	.000	.820	.528	.000	.000	.000
		N	88	88	88	88	88	88	88	88
	SB	Correlation Coefficient	.317**	.456**	.166	.734**	.251*	-.445**	.569**	.211*
		Sig. (2-tailed)	.003	.000	.122	.000	.018	.000	.000	.048
SC		N	88	88	88	88	88	88	88	88
	Correlation Coefficient	.413**	.796**	.380**	.909**	.552**	-.390**	.276**	.448**	
	Sig. (2-tailed)	.000	.000	.000	.000	.000	.000	.009	.000	
	N	88	88	88	88	88	88	88	88	
	SN	Correlation Coefficient	.617**	.014	-.329**	.328**	-.047	.107	.893**	-.311**
		Sig. (2-tailed)	.000	.895	.002	.002	.665	.323	.000	.003
		N	88	88	88	88	88	88	88	88
	SR	Correlation Coefficient	-.462**	.183	.467**	-.382**	-.202	-.263*	-.403**	.468**
		Sig. (2-tailed)	.000	.087	.000	.000	.059	.013	.000	.000
		N	88	88	88	88	88	88	88	88
TH	Correlation Coefficient	.392**	-.557**	-.650**	-.335**	-.397**	.591**	.614**	-.755**	
	Sig. (2-tailed)	.000	.000	.000	.001	.000	.000	.000	.000	
	N	88	88	88	88	88	88	88	88	

**Table (3-4): Spearman Correlation on raw datas of Firouzan's Geochemical Samples**

**Correlations**

		LA	LI	MG	MN	MO	NA	NB	NI	
Spearman's rho	TI	Correlation Coefficient	.551**	.691**	.242*	.864**	.469**	-.175	.431**	.248*
		Sig. (2-tailed)	.000	.000	.023	.000	.000	.102	.000	.020
		N	88	88	88	88	88	88	88	88
	TL	Correlation Coefficient	.501**	.398**	-.102	.712**	.612**	-.057	.269*	-.043
		Sig. (2-tailed)	.000	.000	.347	.000	.000	.597	.011	.691
		N	88	88	88	88	88	88	88	88
	U	Correlation Coefficient	.626**	.212*	-.154	.584**	.587**	.075	.266*	-.147
		Sig. (2-tailed)	.000	.047	.153	.000	.000	.485	.012	.173
		N	88	88	88	88	88	88	88	88
	V	Correlation Coefficient	.311**	.858**	.471**	.833**	.474**	-.480**	.284**	.540**
		Sig. (2-tailed)	.003	.000	.000	.000	.000	.000	.007	.000
		N	88	88	88	88	88	88	88	88
	W	Correlation Coefficient	.268*	-.150	-.327**	-.133	.020	.356**	.408**	-.430**
		Sig. (2-tailed)	.011	.163	.002	.216	.854	.001	.000	.000
		N	88	88	88	88	88	88	88	88
	Y	Correlation Coefficient	.174	.351**	.134	.583**	.116	-.188	.549**	.207
		Sig. (2-tailed)	.106	.001	.214	.000	.283	.079	.000	.053
		N	88	88	88	88	88	88	88	88
	ZN	Correlation Coefficient	.292**	.478**	.140	.934**	.512**	-.349**	.385**	.288**
		Sig. (2-tailed)	.006	.000	.195	.000	.000	.001	.000	.006
		N	88	88	88	88	88	88	88	88
	ZR	Correlation Coefficient	.351**	.605**	.235*	.913**	.543**	-.269*	.276**	.300**
		Sig. (2-tailed)	.001	.000	.027	.000	.000	.011	.009	.005
		N	88	88	88	88	88	88	88	88

**Table (3-4): Spearman Correlation on raw datas of Firouzan's Geochemical Samples**

			Correlations							
			P	PB	RB	S	SB	SC	SN	SR
Spearman's rho	AG	Correlation Coefficient	.625**	.690**	.204	.017	.579**	.773**	.136	-.354**
		Sig. (2-tailed)	.000	.000	.056	.873	.000	.000	.206	.001
		N	88	88	88	88	88	88	88	88
	AL	Correlation Coefficient	.419**	.610**	.663**	-.571**	.465**	.630**	.626**	-.531**
		Sig. (2-tailed)	.000	.000	.000	.000	.000	.000	.000	.000
		N	88	88	88	88	88	88	88	88
	AS	Correlation Coefficient	.679**	.807**	.199	.214*	.689**	.868**	.134	-.206
		Sig. (2-tailed)	.000	.000	.064	.045	.000	.000	.214	.054
		N	88	88	88	88	88	88	88	88
	AU	Correlation Coefficient	-.225*	-.604**	.046	-.142	-.259*	-.502**	.146	.220*
		Sig. (2-tailed)	.035	.000	.670	.188	.015	.000	.174	.040
		N	88	88	88	88	88	88	88	88
	BA	Correlation Coefficient	.262*	.684**	.612**	-.638**	.449**	.575**	.581**	-.620**
		Sig. (2-tailed)	.014	.000	.000	.000	.000	.000	.000	.000
		N	88	88	88	88	88	88	88	88
	BE	Correlation Coefficient	.454**	.678**	.711**	-.473**	.604**	.656**	.678**	-.580**
		Sig. (2-tailed)	.000	.000	.000	.000	.000	.000	.000	.000
		N	88	88	88	88	88	88	88	88
	BI	Correlation Coefficient	.007	-.005	-.460**	.242*	-.179	.088	-.332**	-.139
		Sig. (2-tailed)	.947	.964	.000	.023	.096	.413	.002	.197
		N	88	88	88	88	88	88	88	88
	CA	Correlation Coefficient	.150	-.166	-.548**	.984**	-.034	-.031	-.555**	.573**
		Sig. (2-tailed)	.162	.122	.000	.000	.751	.777	.000	.000
		N	88	88	88	88	88	88	88	88
	CD	Correlation Coefficient	.553**	.898**	.219*	.215*	.666**	.799**	.175	-.191
		Sig. (2-tailed)	.000	.000	.040	.044	.000	.000	.103	.075
		N	88	88	88	88	88	88	88	88
	CE	Correlation Coefficient	.375**	.319**	.834**	-.381**	.661**	.336**	.892**	-.431**
		Sig. (2-tailed)	.000	.002	.000	.000	.000	.001	.000	.000
		N	88	88	88	88	88	88	88	88
	CO	Correlation Coefficient	.730**	.578**	.087	.375**	.543**	.825**	-.012	.194
		Sig. (2-tailed)	.000	.000	.419	.000	.000	.000	.912	.069
		N	88	88	88	88	88	88	88	88

**Table (3-4): Spearman Correlation on raw datas of Firouzan's Geochemical Samples**

		Correlations							
		P	PB	RB	S	SB	SC	SN	SR
Spearman's rho	CR	Correlation Coefficient	.260*	.190	-.257*	.319**	-.127	.329**	-.401**
		Sig. (2-tailed)	.014	.076	.016	.002	.238	.002	.000
		N	88	88	88	88	88	88	88
	CS	Correlation Coefficient	.544**	.139	.798**	-.106	.640**	.254*	.716**
		Sig. (2-tailed)	.000	.197	.000	.324	.000	.017	.000
		N	88	88	88	88	88	88	88
	CU	Correlation Coefficient	.619**	.860**	.385**	.130	.821**	.846**	.369**
		Sig. (2-tailed)	.000	.000	.000	.226	.000	.000	.027
		N	88	88	88	88	88	88	88
	FE	Correlation Coefficient	.782**	.793**	.402**	.013	.711**	.986**	.331**
		Sig. (2-tailed)	.000	.000	.000	.905	.000	.000	.043
		N	88	88	88	88	88	88	88
K	Correlation Coefficient	.318**	.407**	.856**	-.619**	.455**	.349**	.687**	-.560**
	Sig. (2-tailed)	.003	.000	.000	.000	.000	.001	.000	.000
	N	88	88	88	88	88	88	88	88
	LA	Correlation Coefficient	.228*	.353**	.446**	-.539**	.317**	.413**	.617**
		Sig. (2-tailed)	.033	.001	.000	.000	.003	.000	.000
		N	88	88	88	88	88	88	88
	LI	Correlation Coefficient	.756**	.456**	.135	.311**	.456**	.796**	.014
		Sig. (2-tailed)	.000	.000	.209	.003	.000	.000	.087
		N	88	88	88	88	88	88	88
	MG	Correlation Coefficient	.533**	.103	-.231*	.669**	.166	.380**	-.329**
		Sig. (2-tailed)	.000	.341	.031	.000	.122	.000	.000
		N	88	88	88	88	88	88	88
MN	Correlation Coefficient	.585**	.959**	.340**	-.025	.734**	.909**	.328**	-.382**
	Sig. (2-tailed)	.000	.000	.001	.820	.000	.000	.002	.000
	N	88	88	88	88	88	88	88	88
	MO	Correlation Coefficient	.296**	.673**	.056	.068	.251*	.552**	-.047
		Sig. (2-tailed)	.005	.000	.604	.528	.018	.000	.059
		N	88	88	88	88	88	88	88
	NA	Correlation Coefficient	-.462**	-.315**	.037	-.684**	-.445**	-.390**	.107
		Sig. (2-tailed)	.000	.003	.729	.000	.000	.000	.013
		N	88	88	88	88	88	88	88

**Table (3-4): Spearman Correlation on raw datas of Firouzan's Geochemical Samples**

**Correlations**

		P	PB	RB	S	SB	SC	SN	SR	
Spearman's rho	NB	Correlation Coefficient	.294**	.280**	.843**	-.559**	.569**	.276**	.893**	-.403**
		Sig. (2-tailed)	.005	.008	.000	.000	.000	.009	.000	.000
		N	88	88	88	88	88	88	88	88
	NI	Correlation Coefficient	.480**	.263*	-.275**	.696**	.211*	.448**	-.311**	.468**
		Sig. (2-tailed)	.000	.013	.009	.000	.048	.000	.003	.000
		N	88	88	88	88	88	88	88	88
	P	Correlation Coefficient	1.000	.502**	.403**	.227*	.688**	.758**	.245*	-.116
		Sig. (2-tailed)	.	.000	.000	.034	.000	.000	.021	.281
		N	88	88	88	88	88	88	88	88
	PB	Correlation Coefficient	.502**	1.000	.366**	-.062	.683**	.841**	.329**	-.436**
		Sig. (2-tailed)	.000	.	.000	.565	.000	.000	.002	.000
		N	88	88	88	88	88	88	88	88
	RB	Correlation Coefficient	.403**	.366**	1.000	-.505**	.644**	.325**	.835**	-.491**
		Sig. (2-tailed)	.000	.000	.	.000	.000	.002	.000	.000
		N	88	88	88	88	88	88	88	88
	S	Correlation Coefficient	.227*	-.062	-.505**	1.000	.052	.059	-.510**	.537**
		Sig. (2-tailed)	.034	.565	.000	.	.629	.588	.000	.000
		N	88	88	88	88	88	88	88	88
	SB	Correlation Coefficient	.688**	.683**	.644**	.052	1.000	.695**	.593**	-.390**
		Sig. (2-tailed)	.000	.000	.000	.629	.	.000	.000	.000
		N	88	88	88	88	88	88	88	88
	SC	Correlation Coefficient	.758**	.841**	.325**	.059	.695**	1.000	.255*	-.193
		Sig. (2-tailed)	.000	.000	.002	.588	.000	.	.016	.072
		N	88	88	88	88	88	88	88	88
	SN	Correlation Coefficient	.245*	.329**	.835**	-.510**	.593**	.255*	1.000	-.511**
		Sig. (2-tailed)	.021	.002	.000	.000	.000	.016	.	.000
		N	88	88	88	88	88	88	88	88
	SR	Correlation Coefficient	-.116	-.436**	-.491**	.537**	-.390**	-.193	-.511**	1.000
		Sig. (2-tailed)	.281	.000	.000	.000	.000	.072	.000	.
		N	88	88	88	88	88	88	88	88
	TH	Correlation Coefficient	-.329**	-.301**	.523**	-.655**	-.030	-.460**	.637**	-.409**
		Sig. (2-tailed)	.002	.004	.000	.000	.781	.000	.000	.000
		N	88	88	88	88	88	88	88	88

**Table (3-4): Spearman Correlation on raw datas of Firouzan's Geochemical Samples**

		Correlations							
		P	PB	RB	S	SB	SC	SN	SR
Spearman's rho	TI	Correlation Coefficient	.754**	.792**	.469**	-.138	.697**	.943**	.390**
		Sig. (2-tailed)	.000	.000	.000	.200	.000	.000	.002
		N	88	88	88	88	88	88	88
	TL	Correlation Coefficient	.514**	.703**	.466**	-.296**	.510**	.729**	.309**
		Sig. (2-tailed)	.000	.000	.000	.005	.000	.000	.000
		N	88	88	88	88	88	88	88
	U	Correlation Coefficient	.367**	.554**	.335**	-.278**	.365**	.535**	.296**
		Sig. (2-tailed)	.000	.000	.001	.009	.000	.000	.000
		N	88	88	88	88	88	88	88
	V	Correlation Coefficient	.801**	.752**	.325**	.115	.694**	.965**	.238*
		Sig. (2-tailed)	.000	.000	.002	.287	.000	.000	.025
		N	88	88	88	88	88	88	88
	W	Correlation Coefficient	-.217*	-.075	.457**	-.458**	.040	-.172	.459**
		Sig. (2-tailed)	.043	.490	.000	.000	.711	.109	.000
		N	88	88	88	88	88	88	88
	Y	Correlation Coefficient	.393**	.614**	.578**	-.071	.623**	.527**	.517**
		Sig. (2-tailed)	.000	.000	.000	.510	.000	.000	.184
		N	88	88	88	88	88	88	88
	ZN	Correlation Coefficient	.536**	.951**	.456**	-.050	.771**	.826**	.391**
		Sig. (2-tailed)	.000	.000	.000	.645	.000	.000	.000
		N	88	88	88	88	88	88	88
	ZR	Correlation Coefficient	.619**	.877**	.337**	.012	.657**	.882**	.245*
		Sig. (2-tailed)	.000	.000	.001	.912	.000	.000	.005
		N	88	88	88	88	88	88	88

**Table (3-4): Spearman Correlation on raw datas of Firouzan's Geochemical Samples**

**Correlations**

		TH	Tl	TL	U	V	W	Y	
Spearman's rho	AG	Correlation Coefficient	-.360**	.805**	.798**	.695**	.723**	-.121	.170
		Sig. (2-tailed)	.001	.000	.000	.000	.000	.262	.114
		N	88	88	88	88	88	88	88
	AL	Correlation Coefficient	.238*	.755**	.738**	.708**	.543**	.271*	.437**
		Sig. (2-tailed)	.026	.000	.000	.000	.000	.011	.000
		N	88	88	88	88	88	88	88
	AS	Correlation Coefficient	-.522**	.764**	.704**	.555**	.841**	-.271*	.319**
		Sig. (2-tailed)	.000	.000	.000	.000	.000	.011	.002
		N	88	88	88	88	88	88	88
	AU	Correlation Coefficient	.455**	-.420**	-.418**	-.328**	-.408**	.099	-.336**
		Sig. (2-tailed)	.000	.000	.000	.002	.000	.360	.001
		N	88	88	88	88	88	88	88
	BA	Correlation Coefficient	.262*	.661**	.702**	.674**	.472**	.300**	.430**
		Sig. (2-tailed)	.014	.000	.000	.000	.000	.005	.000
		N	88	88	88	88	88	88	88
	BE	Correlation Coefficient	.231*	.751**	.782**	.766**	.564**	.354**	.430**
		Sig. (2-tailed)	.031	.000	.000	.000	.000	.001	.000
		N	88	88	88	88	88	88	88
	BI	Correlation Coefficient	-.261*	.103	.159	.320**	.008	-.063	-.339**
		Sig. (2-tailed)	.014	.339	.138	.002	.938	.559	.001
		N	88	88	88	88	88	88	88
	CA	Correlation Coefficient	-.623**	-.209	-.358**	-.337**	.022	-.449**	-.120
		Sig. (2-tailed)	.000	.050	.001	.001	.836	.000	.267
		N	88	88	88	88	88	88	88
	CD	Correlation Coefficient	-.501**	.660**	.528**	.358**	.771**	-.213*	.553**
		Sig. (2-tailed)	.000	.000	.000	.001	.000	.046	.000
		N	88	88	88	88	88	88	88
	CE	Correlation Coefficient	.531**	.459**	.253*	.254*	.335**	.393**	.615**
		Sig. (2-tailed)	.000	.000	.017	.017	.001	.000	.000
		N	88	88	88	88	88	88	88
	CO	Correlation Coefficient	-.642**	.671**	.376**	.215*	.887**	-.303**	.382**
		Sig. (2-tailed)	.000	.000	.000	.044	.000	.004	.000
		N	88	88	88	88	88	88	88

**Table (3-4): Spearman Correlation on raw datas of Firouzan's Geochemical Samples**

**Correlations**

		TH	Tl	TL	U	V	W	Y	
Spearman's rho	CR	Correlation Coefficient	-.582**	.210*	.079	.056	.362**	.011	.057
		Sig. (2-tailed)	.000	.049	.466	.603	.001	.920	.598
		N	88	88	88	88	88	88	88
	CS	Correlation Coefficient	.402**	.360**	.240*	.187	.300**	.353**	.386**
		Sig. (2-tailed)	.000	.001	.024	.081	.004	.001	.000
		N	88	88	88	88	88	88	88
	CU	Correlation Coefficient	-.327**	.748**	.502**	.344**	.836**	-.061	.703**
		Sig. (2-tailed)	.002	.000	.000	.001	.000	.572	.000
		N	88	88	88	88	88	88	88
	FE	Correlation Coefficient	-.375**	.957**	.731**	.555**	.955**	-.078	.538**
		Sig. (2-tailed)	.000	.000	.000	.000	.000	.468	.000
		N	88	88	88	88	88	88	88
K	Correlation Coefficient	.467**	.499**	.658**	.579**	.297**	.426**	.304**	
	Sig. (2-tailed)	.000	.000	.000	.000	.005	.000	.004	
	N	88	88	88	88	88	88	88	
	LA	Correlation Coefficient	.392**	.551**	.501**	.626**	.311**	.268*	.174
	Sig. (2-tailed)	.000	.000	.000	.000	.003	.011	.106	
	N	88	88	88	88	88	88	88	
	LI	Correlation Coefficient	-.557**	.691**	.398**	.212*	.858**	-.150	.351**
	Sig. (2-tailed)	.000	.000	.000	.047	.000	.163	.001	
	N	88	88	88	88	88	88	88	
	MG	Correlation Coefficient	-.650**	.242*	-.102	-.154	.471**	-.327**	.134
	Sig. (2-tailed)	.000	.023	.347	.153	.000	.002	.214	
	N	88	88	88	88	88	88	88	
MN	Correlation Coefficient	-.335**	.864**	.712**	.584**	.833**	-.133	.583**	
	Sig. (2-tailed)	.001	.000	.000	.000	.000	.216	.000	
	N	88	88	88	88	88	88	88	
	MO	Correlation Coefficient	-.397**	.469**	.612**	.587**	.474**	.020	.116
	Sig. (2-tailed)	.000	.000	.000	.000	.000	.854	.283	
	N	88	88	88	88	88	88	88	
	NA	Correlation Coefficient	.591**	-.175	-.057	.075	-.480**	.356**	-.188
	Sig. (2-tailed)	.000	.102	.597	.485	.000	.001	.079	
	N	88	88	88	88	88	88	88	

**Table (3-4): Spearman Correlation on raw datas of Firouzan's Geochemical Samples**

**Correlations**

		TH	Tl	TL	U	V	W	Y
Spearman's rho	NB	Correlation Coefficient	.614**	.431**	.269*	.266*	.284**	.408**
		Sig. (2-tailed)	.000	.000	.011	.012	.007	.000
		N	88	88	88	88	88	88
	NI	Correlation Coefficient	-.755**	.248*	-.043	-.147	.540**	-.430**
		Sig. (2-tailed)	.000	.020	.691	.173	.000	.000
		N	88	88	88	88	88	88
	P	Correlation Coefficient	-.329**	.754**	.514**	.367**	.801**	-.217*
		Sig. (2-tailed)	.002	.000	.000	.000	.000	.043
		N	88	88	88	88	88	88
	PB	Correlation Coefficient	-.301**	.792**	.703**	.554**	.752**	-.075
		Sig. (2-tailed)	.004	.000	.000	.000	.000	.490
		N	88	88	88	88	88	88
	RB	Correlation Coefficient	.523**	.469**	.466**	.335**	.325**	.457**
		Sig. (2-tailed)	.000	.000	.000	.001	.002	.000
		N	88	88	88	88	88	88
	S	Correlation Coefficient	-.655**	-.138	-.296**	-.278**	.115	-.458**
		Sig. (2-tailed)	.000	.200	.005	.009	.287	.000
		N	88	88	88	88	88	88
	SB	Correlation Coefficient	-.030	.697**	.510**	.365**	.694**	.040
		Sig. (2-tailed)	.781	.000	.000	.000	.000	.711
		N	88	88	88	88	88	88
	SC	Correlation Coefficient	-.460**	.943**	.729**	.535**	.965**	-.172
		Sig. (2-tailed)	.000	.000	.000	.000	.000	.109
		N	88	88	88	88	88	88
	SN	Correlation Coefficient	.637**	.390**	.309**	.296**	.238*	.459**
		Sig. (2-tailed)	.000	.000	.003	.005	.025	.000
		N	88	88	88	88	88	88
	SR	Correlation Coefficient	-.409**	-.319**	-.496**	-.523**	-.110	-.307**
		Sig. (2-tailed)	.000	.002	.000	.000	.306	.004
		N	88	88	88	88	88	88
	TH	Correlation Coefficient	1.000	-.255*	-.144	.067	-.475**	.610**
		Sig. (2-tailed)	.	.016	.180	.536	.000	.000
		N	88	88	88	88	88	88

**Table (3-4): Spearman Correlation on raw datas of Firouzan's Geochemical Samples**

		Correlations						
Spearman's rho	TI	TH	TI	TL	U	V	W	Y
	Correlation Coefficient	-.255*	1.000	.803**	.632**	.891**	-.044	.516**
	Sig. (2-tailed)	.016	.	.000	.000	.000	.686	.000
	N	88	88	88	88	88	88	88
	TL	Correlation Coefficient	-.144	.803**	1.000	.833**	.635**	.021
	Sig. (2-tailed)	.180	.000	.	.000	.000	.844	.039
	N	88	88	88	88	88	88	88
	U	Correlation Coefficient	.067	.632**	.833**	1.000	.422**	.139
	Sig. (2-tailed)	.536	.000	.000	.	.000	.196	.628
	N	88	88	88	88	88	88	88
	V	Correlation Coefficient	-.475**	.891**	.635**	.422**	1.000	-.185
	Sig. (2-tailed)	.000	.000	.000	.000	.	.084	.000
	N	88	88	88	88	88	88	88
	W	Correlation Coefficient	.610**	-.044	.021	.139	-.185	1.000
	Sig. (2-tailed)	.000	.686	.844	.196	.084	.	.292
	N	88	88	88	88	88	88	88
	Y	Correlation Coefficient	-.008	.516**	.221*	.052	.493**	.114
	Sig. (2-tailed)	.941	.000	.039	.628	.000	.292	.
	N	88	88	88	88	88	88	88
	ZN	Correlation Coefficient	-.265*	.783**	.628**	.432**	.772**	-.069
	Sig. (2-tailed)	.013	.000	.000	.000	.000	.521	.000
	N	88	88	88	88	88	88	88
	ZR	Correlation Coefficient	-.350**	.857**	.654**	.541**	.809**	-.138
	Sig. (2-tailed)	.001	.000	.000	.000	.000	.200	.000
	N	88	88	88	88	88	88	88

**Table (3-4): Spearman Correlation on raw datas of Firouzan's Geochemical Samples**

**Correlations**

			ZN	ZR
Spearman's rho	AG	Correlation Coefficient	.630**	.668**
		Sig. (2-tailed)	.000	.000
		N	88	88
	AL	Correlation Coefficient	.559**	.638**
		Sig. (2-tailed)	.000	.000
		N	88	88
	AS	Correlation Coefficient	.754**	.756**
		Sig. (2-tailed)	.000	.000
		N	88	88
	AU	Correlation Coefficient	-.507**	-.611**
		Sig. (2-tailed)	.000	.000
		N	88	88
	BA	Correlation Coefficient	.623**	.622**
		Sig. (2-tailed)	.000	.000
		N	88	88
	BE	Correlation Coefficient	.619**	.641**
		Sig. (2-tailed)	.000	.000
		N	88	88
	BI	Correlation Coefficient	-.134	.093
		Sig. (2-tailed)	.215	.390
		N	88	88
	CA	Correlation Coefficient	-.146	-.064
		Sig. (2-tailed)	.175	.551
		N	88	88
	CD	Correlation Coefficient	.881**	.770**
		Sig. (2-tailed)	.000	.000
		N	88	88
	CE	Correlation Coefficient	.425**	.338**
		Sig. (2-tailed)	.000	.001
		N	88	88
	CO	Correlation Coefficient	.605**	.648**
		Sig. (2-tailed)	.000	.000
		N	88	88

**Table (3-4): Spearman Correlation on raw datas of Firouzan's Geochemical Samples**

**Correlations**

		ZN	ZR
Spearman's rho	CR	Correlation Coefficient .123	.245*
		Sig. (2-tailed) .255	.021
		N 88	88
	CS	Correlation Coefficient .236*	.161
		Sig. (2-tailed) .027	.134
		N 88	88
	CU	Correlation Coefficient .914**	.840**
		Sig. (2-tailed) .000	.000
		N 88	88
	FE	Correlation Coefficient .788**	.857**
K		Sig. (2-tailed) .000	.000
		N 88	88
	LA	Correlation Coefficient .292**	.351**
		Sig. (2-tailed) .006	.001
		N 88	88
	LI	Correlation Coefficient .478**	.605**
		Sig. (2-tailed) .000	.000
		N 88	88
	MG	Correlation Coefficient .140	.235*
		Sig. (2-tailed) .195	.027
MN		N 88	88
	MN	Correlation Coefficient .934**	.913**
		Sig. (2-tailed) .000	.000
		N 88	88
	MO	Correlation Coefficient .512**	.543**
		Sig. (2-tailed) .000	.000
		N 88	88
	NA	Correlation Coefficient -.349**	-.269*
		Sig. (2-tailed) .001	.011
		N 88	88

**Table (3-4): Spearman Correlation on raw datas of Firouzan's Geochemical Samples**

**Correlations**

			ZN	ZR
Spearman's rho	NB	Correlation Coefficient	.385**	.276**
		Sig. (2-tailed)	.000	.009
		N	88	88
	NI	Correlation Coefficient	.288**	.300**
		Sig. (2-tailed)	.006	.005
		N	88	88
	P	Correlation Coefficient	.536**	.619**
		Sig. (2-tailed)	.000	.000
		N	88	88
	PB	Correlation Coefficient	.951**	.877**
		Sig. (2-tailed)	.000	.000
		N	88	88
	RB	Correlation Coefficient	.456**	.337**
		Sig. (2-tailed)	.000	.001
		N	88	88
	S	Correlation Coefficient	-.050	.012
		Sig. (2-tailed)	.645	.912
		N	88	88
	SB	Correlation Coefficient	.771**	.657**
		Sig. (2-tailed)	.000	.000
		N	88	88
	SC	Correlation Coefficient	.826**	.882**
		Sig. (2-tailed)	.000	.000
		N	88	88
	SN	Correlation Coefficient	.391**	.245*
		Sig. (2-tailed)	.000	.022
		N	88	88
	SR	Correlation Coefficient	-.374**	-.296**
		Sig. (2-tailed)	.000	.005
		N	88	88
	TH	Correlation Coefficient	-.265*	-.350**
		Sig. (2-tailed)	.013	.001
		N	88	88

**Table (3-4): Spearman Correlation on raw datas of Firouzan's Geochemical Samples**

**Correlations**

		ZN	ZR
Spearman's rho	TI	Correlation Coefficient Sig. (2-tailed) N	.783** .000 88
	TL	Correlation Coefficient Sig. (2-tailed) N	.628** .000 88
	U	Correlation Coefficient Sig. (2-tailed) N	.432** .000 88
	V	Correlation Coefficient Sig. (2-tailed) N	.772** .000 88
	W	Correlation Coefficient Sig. (2-tailed) N	-.069 .521 88
	Y	Correlation Coefficient Sig. (2-tailed) N	.731** .000 88
	ZN	Correlation Coefficient Sig. (2-tailed) N	1.000 . 88
	ZR	Correlation Coefficient Sig. (2-tailed) N	.871** .000 88

\*\*. Correlation is significant at the 0.01 level (2-tailed).

\*. Correlation is significant at the 0.05 level (2-tailed).

جدول (۴-۴): مقادیر نرمال و همچنین حدود زمینه و آنومالی های ممکن و احتمالی و قطعی نمونه های ژئوشیمیایی محدوده ۱/۲۵۰۰۰ فیروزان

<i>NAHAVAND</i>	<i>LNAG</i>	<i>LNAL</i>	<i>LNAS</i>	<i>LNAU</i>	<i>LNBA</i>	<i>LNBE</i>	<i>LNBI</i>	<i>LNCA</i>	<i>LNCD</i>	<i>LNCE</i>
<i>NA-01</i>	0.10	18.42	2.22	-1.24	11.52	9.21	1.11	10.44	-1.42	9.22
<i>NA-02</i>	-0.21	18.42	1.68	0.25	11.51	9.21	0.93	11.88	-1.42	9.21
<i>NA-03</i>	0.08	18.42	2.19	0.25	11.52	9.21	0.85	10.25	-1.42	9.22
<i>NA-04</i>	0.03	18.42	2.11	-1.24	11.52	9.21	0.76	10.29	-1.42	9.22
<i>NA-05</i>	-0.06	18.42	0.45	1.84	11.52	9.21	0.49	8.48	-1.95	9.22
<i>NA-06</i>	-0.33	18.42	0.51	2.73	11.52	9.21	0.36	7.61	-2.14	9.21
<i>NA-07</i>	0.05	18.42	2.15	-0.24	11.52	9.21	0.80	10.27	-1.42	9.22
<i>NA-08</i>	-0.02	18.42	1.59	1.19	11.52	9.21	0.63	9.75	-1.65	9.22
<i>NA-09</i>	-0.19	18.42	0.48	2.38	11.52	9.21	0.43	8.14	-2.38	9.22
<i>NA-10</i>	-0.03	18.42	1.94	0.25	11.52	9.21	0.60	10.00	-1.42	9.22
<i>NA-11</i>	-0.26	18.42	0.86	-3.25	11.52	9.21	0.49	8.08	-1.42	9.21
<i>NA-12</i>	-0.14	18.42	1.54	-1.24	11.52	9.21	0.55	9.45	-1.42	9.22
<i>NA-13</i>	0.00	18.42	2.40	0.25	11.52	9.21	0.76	10.18	-1.42	9.22
<i>NA-14</i>	-0.07	18.42	2.06	-0.24	11.52	9.21	0.66	9.88	-1.42	9.22
<i>NA-15</i>	0.05	18.42	2.74	-1.24	11.52	9.21	0.66	9.55	-0.82	9.22
<i>NA-16</i>	-0.06	18.42	2.42	-1.24	11.52	9.21	0.60	9.89	-1.07	9.21
<i>NA-17</i>	-0.01	18.42	2.59	-1.24	11.52	9.21	0.63	9.73	-0.94	9.22
<i>NA-18</i>	-0.33	18.42	1.84	0.25	11.51	9.21	0.49	12.15	-1.07	9.21
<i>NA-19</i>	-0.15	18.42	2.28	-0.24	11.52	9.21	0.56	11.54	-1.00	9.21

جدول (٤-٤): مقادیر نرمال و همچنین حدود زمینه و آنومالی های ممکن و احتمالی و قطعی نمونه های ژئوشیمیایی محدوده ۱/۲۵۰۰۰ فیروزان

<i>NAHAVAND</i>	<i>LNAG</i>	<i>LNAL</i>	<i>LNAS</i>	<i>LNAU</i>	<i>LNBA</i>	<i>LNBE</i>	<i>LNBI</i>	<i>LNCA</i>	<i>LNCD</i>	<i>LNCE</i>
<i>NA-20</i>	0.19	18.42	2.58	-1.24	11.52	9.21	0.55	9.14	-0.82	9.22
<i>NA-21</i>	-0.01	18.42	2.85	-1.24	11.52	9.21	0.55	9.48	-1.07	9.22
<i>NA-22</i>	-0.06	18.42	2.75	-1.24	11.52	9.21	0.71	9.88	-0.61	9.22
<i>NA-23</i>	1.75	18.42	4.22	-1.24	11.52	9.21	2.52	9.77	-1.42	9.21
<i>NA-24</i>	0.19	18.42	2.82	-1.24	11.52	9.21	0.49	9.09	-0.82	9.22
<i>NA-25</i>	-0.15	18.42	2.28	-0.24	11.52	9.21	0.56	11.54	-1.00	9.21
<i>NA-26</i>	-0.07	18.42	2.28	-0.24	11.52	9.21	0.53	11.52	-0.96	9.21
<i>NA-27</i>	0.02	18.42	2.60	-0.79	11.52	9.21	0.55	10.64	-0.96	9.22
<i>NA-28</i>	0.05	18.42	2.73	-1.24	11.52	9.21	0.60	9.54	-0.82	9.22
<i>NA-29</i>	0.94	18.42	3.52	-1.24	11.52	9.21	1.69	9.72	-0.98	9.21
<i>NA-30</i>	0.97	18.42	3.51	-1.24	11.52	9.21	1.68	9.64	-0.89	9.21
<i>NA-31</i>	0.17	18.42	3.84	0.25	11.52	9.21	0.55	9.79	-0.30	9.22
<i>NA-32</i>	-0.04	18.42	3.53	-1.24	11.52	9.21	0.60	10.42	-1.07	9.22
<i>NA-33</i>	0.05	18.42	4.10	-1.24	11.52	9.21	0.55	9.16	-0.06	9.22
<i>NA-34</i>	0.00	18.42	4.37	0.25	11.52	9.21	0.49	9.27	-0.06	9.22
<i>NA-35</i>	0.13	18.42	2.91	0.25	11.52	9.21	0.43	9.96	0.22	9.22
<i>NA-36</i>	0.07	18.42	3.89	0.25	11.52	9.21	0.46	9.67	0.09	9.22
<i>NA-37</i>	0.16	18.42	3.13	0.25	11.52	9.21	0.43	8.70	-0.61	9.22
<i>NA-38</i>	0.15	18.42	3.23	0.83	11.52	9.21	0.36	9.59	-1.42	9.22

جدول (۴-۴): مقادیر نرمال و همچنین حدود زمینه و آنومالی های ممکن و احتمالی و قطعی نمونه های ژئوشیمیایی محدوده ۱/۲۵۰۰۰ فیروزان

<i>NAHAVAND</i>	<i>LNAG</i>	<i>LNAL</i>	<i>LNAS</i>	<i>LNAU</i>	<i>LNBA</i>	<i>LNBE</i>	<i>LNBI</i>	<i>LNCA</i>	<i>LNCD</i>	<i>LNCE</i>
<i>NA-39</i>	0.12	18.42	3.09	0.25	11.52	9.21	0.36	9.92	-1.42	9.22
<i>NA-40</i>	-0.45	18.42	2.60	0.25	11.52	9.21	0.43	12.16	-1.07	9.21
<i>NA-41</i>	0.00	18.42	2.07	-0.24	11.52	9.21	0.92	10.99	-1.42	9.22
<i>NA-42</i>	-0.04	18.42	1.80	0.83	11.52	9.21	0.77	10.85	-1.53	9.22
<i>NA-43</i>	-0.06	18.42	1.63	1.76	11.52	9.21	0.63	9.69	-1.79	9.22
<i>NA-44</i>	-0.07	18.42	1.62	1.73	11.52	9.21	0.62	9.70	-1.79	9.22
<i>NA-45</i>	-0.08	18.42	1.43	1.86	11.52	9.21	0.58	9.49	-1.86	9.22
<i>NA-46</i>	-0.11	18.42	1.44	2.02	11.52	9.21	0.57	9.46	-1.95	9.22
<i>NA-47</i>	-0.04	18.42	1.71	1.40	11.52	9.21	0.62	9.79	-1.65	9.22
<i>NA-48</i>	-0.12	18.42	1.38	1.30	11.52	9.21	0.54	9.35	-1.65	9.22
<i>NA-49</i>	-0.15	18.42	1.36	1.07	11.52	9.21	0.52	9.24	-1.59	9.22
<i>NA-50</i>	-0.10	18.42	1.83	-0.62	11.52	9.21	0.60	9.69	-1.42	9.22
<i>NA-51</i>	-0.11	18.42	1.87	-0.88	11.52	9.21	0.62	9.65	-1.42	9.22
<i>NA-52</i>	-0.04	18.42	2.28	-0.41	11.52	9.21	0.66	9.81	-1.23	9.22
<i>NA-53</i>	-0.02	18.42	2.43	-0.41	11.52	9.21	0.67	9.90	-1.15	9.22
<i>NA-54</i>	-0.02	18.42	2.48	-0.88	11.52	9.21	0.64	9.77	-1.04	9.22
<i>NA-55</i>	-0.08	18.42	2.45	-0.62	11.52	9.21	0.60	11.00	-0.97	9.21
<i>NA-56</i>	-0.13	18.42	2.32	-0.41	11.52	9.21	0.57	11.32	-1.02	9.21
<i>NA-57</i>	-0.06	18.42	2.37	-0.41	11.52	9.21	0.56	11.28	-0.95	9.21

جدول (۴-۴): مقادیر نرمال و همچنین حدود زمینه و آنومالی های ممکن و احتمالی و قطعی نمونه های ژئوشیمیایی محدوده ۱/۲۵۰۰۰ فیروزان

<i>NAHAVAND</i>	<i>LNAG</i>	<i>LNAL</i>	<i>LNAS</i>	<i>LNAU</i>	<i>LNBA</i>	<i>LNBE</i>	<i>LNBI</i>	<i>LNCA</i>	<i>LNCD</i>	<i>LNCE</i>
<i>NA-58</i>	-0.06	18.42	2.46	-0.41	11.52	9.21	0.54	11.27	-0.98	9.21
<i>NA-59</i>	0.00	18.42	2.64	-0.88	11.52	9.21	0.59	10.50	-0.86	9.22
<i>NA-60</i>	0.80	18.42	3.35	-1.24	11.52	9.21	1.50	9.61	-0.94	9.21
<i>NA-61</i>	0.80	18.42	3.39	-1.24	11.52	9.21	1.49	9.60	-0.94	9.21
<i>NA-62</i>	0.78	18.42	3.32	-0.88	11.52	9.21	1.50	10.53	-0.92	9.21
<i>NA-63</i>	0.78	18.42	3.26	-0.62	11.52	9.21	1.48	10.96	-1.02	9.21
<i>NA-64</i>	0.00	18.42	2.52	-0.54	11.52	9.21	0.53	11.06	-0.93	9.21
<i>NA-65</i>	-0.04	18.42	2.49	-0.54	11.52	9.21	0.56	11.08	-0.93	9.21
<i>NA-66</i>	0.33	18.42	2.90	-0.79	11.52	9.21	0.98	10.67	-0.92	9.21
<i>NA-67</i>	0.59	18.42	3.18	-1.11	11.52	9.21	1.28	10.00	-0.91	9.21
<i>NA-68</i>	0.62	18.42	3.48	-0.62	11.52	9.21	1.28	9.68	-0.71	9.21
<i>NA-69</i>	0.60	18.42	3.61	-0.62	11.52	9.21	1.28	9.95	-0.76	9.21
<i>NA-70</i>	0.37	18.42	3.78	-0.62	11.52	9.21	0.98	9.86	-0.50	9.22
<i>NA-71</i>	0.05	18.42	4.01	-0.24	11.52	9.21	0.55	9.79	-0.30	9.22
<i>NA-72</i>	0.04	18.42	3.87	-0.24	11.52	9.21	0.52	9.84	-0.14	9.22
<i>NA-73</i>	0.06	18.42	3.94	0.04	11.52	9.21	0.48	9.57	0.05	9.22
<i>NA-74</i>	0.09	18.42	3.74	0.25	11.52	9.21	0.45	9.50	-0.05	9.22
<i>NA-75</i>	0.13	18.42	3.36	0.43	11.52	9.21	0.42	9.58	-0.25	9.22
<i>NA-76</i>	0.12	18.42	3.39	0.43	11.52	9.21	0.40	9.56	-0.64	9.22

جدول (۴-۴): مقادیر نرمال و همچنین حدود زمینه و آنومالی های ممکن و احتمالی و قطعی نمونه های ژئوشیمیایی محدوده ۱/۲۵۰۰۰ فیروزان

<i>NAHAVAND</i>	<i>LNAG</i>	<i>LNAL</i>	<i>LNAS</i>	<i>LNAU</i>	<i>LNBA</i>	<i>LNBE</i>	<i>LNBI</i>	<i>LNCA</i>	<i>LNCD</i>	<i>LNCE</i>
<i>NA-77</i>	0.02	18.42	3.04	0.43	11.52	9.21	0.39	10.96	-1.07	9.22
<i>NA-78</i>	-0.02	18.42	2.84	0.35	11.52	9.21	0.54	11.17	-1.32	9.21
<i>NA-79</i>	-0.07	18.42	2.51	0.35	11.52	9.21	0.64	11.29	-1.34	9.21
<i>NA-80</i>	-0.12	18.42	2.10	0.93	11.52	9.21	0.70	11.28	-1.42	9.21
<i>NA-81</i>	-0.04	18.42	1.80	1.29	11.52	9.21	0.74	10.49	-1.62	9.22
<i>NA-82</i>	-0.06	18.42	1.63	1.62	11.52	9.21	0.65	10.10	-1.73	9.22
<i>NA-83</i>	-0.08	18.42	1.53	1.85	11.52	9.21	0.60	9.59	-1.85	9.22
<i>NA-84</i>	-0.07	18.42	1.56	1.78	11.52	9.21	0.60	9.62	-1.81	9.22
<i>NA-85</i>	-0.09	18.42	1.50	1.69	11.52	9.21	0.58	9.54	-1.77	9.22
<i>NA-86</i>	-0.10	18.42	1.48	1.51	11.52	9.21	0.56	9.48	-1.70	9.22
<i>NA-87</i>	-0.10	18.42	1.59	1.03	11.52	9.21	0.57	9.54	-1.57	9.22
<i>NA-88</i>	-0.12	18.42	1.64	0.63	11.52	9.21	0.57	9.50	-1.51	9.22
	<i>LNAG</i>	<i>LNAL</i>	<i>LNAS</i>	<i>LNAU</i>	<i>LNBA</i>	<i>LNBE</i>	<i>LNBI</i>	<i>LNCA</i>	<i>LNCD</i>	<i>LNCE</i>
<i>Mean (X)</i>	0.0753	18.4215	2.4923	-0.0224	11.5192	9.2105	0.7053	10.0262	-1.1245	9.2150
<i>S</i>	0.32699	0.00011	0.89063	1.10181	0.00124	0.00003	0.35884	0.86253	0.53110	0.00077
<i>X+S</i>	0.4023	18.4216	3.3830	1.0794	11.5204	9.2105	1.0641	10.8888	-0.5934	9.2158
<i>X+2S</i>	0.7293	18.4217	4.2736	2.1812	11.5217	9.2106	1.4230	11.7513	-0.0623	9.2165
<i>X+3S</i>	1.0563	18.4218	5.1642	3.2830	11.5229	9.2106	1.7818	12.6138	0.4688	9.2173
<i>X+4S</i>	1.3833	18.4219	6.0548	4.3848	11.5241	9.2106	2.1407	13.4764	0.9999	9.2181

جدول (۴-۴): مقادیر نرمال و همچنین حدود زمینه و آنومالی های ممکن و احتمالی و قطعی نمونه های ژئوشیمیایی محدوده ۱/۲۵۰۰۰ فیروزان

<i>NAHAVAND</i>	<i>LNCO</i>	<i>LNCR</i>	<i>LNCS</i>	<i>LNCU</i>	<i>LNFE</i>	<i>LNK</i>	<i>LNLA</i>	<i>LNLI</i>	<i>LNMG</i>	<i>LNMN</i>
<i>NA-01</i>	9.21	3.00	6.91	4.20	13.84	16.12	11.51	9.21	16.12	7.13
<i>NA-02</i>	9.21	3.89	6.91	4.16	13.84	16.12	11.51	9.21	16.12	6.64
<i>NA-03</i>	9.21	3.30	6.91	4.15	13.84	16.12	11.51	9.21	16.12	7.19
<i>NA-04</i>	9.21	2.72	6.91	4.13	13.84	16.12	11.51	9.21	16.12	7.12
<i>NA-05</i>	9.21	3.05	6.91	4.09	13.84	16.12	11.51	9.21	16.12	7.03
<i>NA-06</i>	9.21	2.10	6.91	4.01	13.83	16.12	11.51	9.21	16.12	6.75
<i>NA-07</i>	9.21	3.05	6.91	4.14	13.84	16.12	11.51	9.21	16.12	7.16
<i>NA-08</i>	9.21	2.90	6.91	4.11	13.84	16.12	11.51	9.21	16.12	7.08
<i>NA-09</i>	9.21	2.68	6.91	4.05	13.83	16.12	11.51	9.21	16.12	6.90
<i>NA-10</i>	9.21	2.78	6.91	4.12	13.84	16.12	11.51	9.21	16.12	7.16
<i>NA-11</i>	9.21	3.53	6.91	4.09	13.83	16.12	11.51	9.21	16.12	6.87
<i>NA-12</i>	9.21	3.22	6.91	4.11	13.84	16.12	11.51	9.21	16.12	7.03
<i>NA-13</i>	9.21	2.58	6.91	4.24	13.85	16.12	11.51	9.21	16.12	7.38
<i>NA-14</i>	9.21	2.95	6.91	4.18	13.84	16.12	11.51	9.21	16.12	7.22
<i>NA-15</i>	9.21	3.22	6.91	4.35	13.85	16.12	11.51	9.21	16.12	7.65
<i>NA-16</i>	9.21	2.84	6.91	4.26	13.84	16.12	11.51	9.21	16.12	7.43
<i>NA-17</i>	9.21	3.05	6.91	4.30	13.84	16.12	11.51	9.21	16.12	7.55
<i>NA-18</i>	9.21	3.34	6.91	3.98	13.83	16.12	11.51	9.21	16.12	6.49
<i>NA-19</i>	9.21	3.20	6.91	4.15	13.84	16.12	11.51	9.21	16.12	7.15

جدول (۴-۴): مقادیر نرمال و همچنین حدود زمینه و آنومالی های ممکن و احتمالی و قطعی نمونه های ژئوشیمیایی محدوده ۱/۲۵۰۰۰ فیروزان

<i>NAHAVAND</i>	<i>LNCO</i>	<i>LNCR</i>	<i>LNCS</i>	<i>LNCU</i>	<i>LNFE</i>	<i>LNK</i>	<i>LNLA</i>	<i>LNLI</i>	<i>LNMG</i>	<i>LNMN</i>
<i>NA-20</i>	9.21	2.95	6.91	4.36	13.84	16.12	11.51	9.21	16.12	7.61
<i>NA-21</i>	9.21	3.72	6.91	4.36	13.85	16.12	11.51	9.21	16.12	7.74
<i>NA-22</i>	9.21	2.95	6.91	4.40	13.85	16.12	11.51	9.21	16.12	7.53
<i>NA-23</i>	9.21	3.64	6.91	3.78	13.85	16.12	11.51	9.21	16.12	7.55
<i>NA-24</i>	9.21	2.84	6.91	4.28	13.84	16.12	11.51	9.21	16.12	7.46
<i>NA-25</i>	9.21	3.20	6.91	4.15	13.84	16.12	11.51	9.21	16.12	7.15
<i>NA-26</i>	9.21	3.18	6.91	4.18	13.84	16.12	11.51	9.21	16.12	7.18
<i>NA-27</i>	9.21	3.34	6.91	4.30	13.84	16.12	11.51	9.21	16.12	7.53
<i>NA-28</i>	9.21	3.28	6.91	4.37	13.85	16.12	11.51	9.21	16.12	7.63
<i>NA-29</i>	9.21	3.49	6.91	4.22	13.85	16.12	11.51	9.21	16.12	7.61
<i>NA-30</i>	9.21	3.21	6.91	4.19	13.84	16.12	11.51	9.21	16.12	7.51
<i>NA-31</i>	9.21	2.90	6.91	4.41	13.84	16.12	11.51	9.21	16.12	7.57
<i>NA-32</i>	9.21	2.41	6.91	4.26	13.84	16.12	11.51	9.21	16.12	7.43
<i>NA-33</i>	9.21	2.90	6.91	4.49	13.85	16.12	11.51	9.21	16.12	7.84
<i>NA-34</i>	9.21	3.00	6.91	4.43	13.85	16.12	11.51	9.21	16.12	7.88
<i>NA-35</i>	9.21	3.44	6.91	4.45	13.85	16.12	11.51	9.21	16.12	7.94
<i>NA-36</i>	9.21	3.24	6.91	4.44	13.85	16.12	11.51	9.21	16.12	7.91
<i>NA-37</i>	9.21	3.83	6.91	4.25	13.85	16.12	11.51	9.21	16.12	7.58
<i>NA-38</i>	9.21	2.90	6.91	4.24	13.85	16.12	11.51	9.21	16.12	7.29

جدول (۴-۴): مقادیر نرمال و همچنین حدود زمینه و آنومالی های ممکن و احتمالی و قطعی نمونه های ژئوشیمیایی محدوده ۱/۲۵۰۰۰ فیروزان

<i>NAHAVAND</i>	<i>LNCO</i>	<i>LNCR</i>	<i>LNCS</i>	<i>LNCU</i>	<i>LNFE</i>	<i>LNK</i>	<i>LNLA</i>	<i>LNLI</i>	<i>LNMG</i>	<i>LNMN</i>
<i>NA-39</i>	9.21	2.58	6.91	4.19	13.85	16.12	11.51	9.21	16.12	7.18
<i>NA-40</i>	9.21	3.99	6.91	4.16	13.84	16.12	11.51	9.21	16.12	6.69
<i>NA-41</i>	9.21	3.33	6.91	4.16	13.84	16.12	11.51	9.21	16.12	7.05
<i>NA-42</i>	9.21	3.34	6.91	4.14	13.84	16.12	11.51	9.21	16.12	7.02
<i>NA-43</i>	9.21	2.88	6.91	4.10	13.84	16.12	11.51	9.21	16.12	7.04
<i>NA-44</i>	9.21	2.80	6.91	4.10	13.84	16.12	11.51	9.21	16.12	7.03
<i>NA-45</i>	9.21	2.84	6.91	4.09	13.84	16.12	11.51	9.21	16.12	7.02
<i>NA-46</i>	9.21	2.74	6.91	4.08	13.84	16.12	11.51	9.21	16.12	6.98
<i>NA-47</i>	9.21	2.86	6.91	4.11	13.84	16.12	11.51	9.21	16.12	7.08
<i>NA-48</i>	9.21	3.03	6.91	4.09	13.84	16.12	11.51	9.21	16.12	7.01
<i>NA-49</i>	9.21	3.11	6.91	4.09	13.84	16.12	11.51	9.21	16.12	7.00
<i>NA-50</i>	9.21	3.10	6.91	4.14	13.84	16.12	11.51	9.21	16.12	7.13
<i>NA-51</i>	9.21	3.13	6.91	4.16	13.84	16.12	11.51	9.21	16.12	7.14
<i>NA-52</i>	9.21	3.03	6.91	4.22	13.84	16.12	11.51	9.21	16.12	7.35
<i>NA-53</i>	9.21	2.93	6.91	4.26	13.84	16.12	11.51	9.21	16.12	7.43
<i>NA-54</i>	9.21	3.03	6.91	4.27	13.84	16.12	11.51	9.21	16.12	7.48
<i>NA-55</i>	9.21	3.13	6.91	4.23	13.84	16.12	11.51	9.21	16.12	7.37
<i>NA-56</i>	9.21	3.13	6.91	4.18	13.84	16.12	11.51	9.21	16.12	7.23
<i>NA-57</i>	9.21	3.15	6.91	4.21	13.84	16.12	11.51	9.21	16.12	7.29

جدول (۴-۴): مقادیر نرمال و همچنین حدود زمینه و آنومالی های ممکن و احتمالی و قطعی نمونه های ژئوشیمیایی محدوده ۱/۲۵۰۰۰ فیروزان

<i>NAHAVAND</i>	<i>LNCO</i>	<i>LNCR</i>	<i>LNCS</i>	<i>LNCU</i>	<i>LNFE</i>	<i>LNK</i>	<i>LNLA</i>	<i>LNLI</i>	<i>LNMG</i>	<i>LNMN</i>
<i>NA-58</i>	9.21	3.34	6.91	4.23	13.84	16.12	11.51	9.21	16.12	7.35
<i>NA-59</i>	9.21	3.26	6.91	4.32	13.84	16.12	11.51	9.21	16.12	7.53
<i>NA-60</i>	9.21	3.38	6.91	4.25	13.85	16.12	11.51	9.21	16.12	7.61
<i>NA-61</i>	9.21	3.36	6.91	4.23	13.85	16.12	11.51	9.21	16.12	7.58
<i>NA-62</i>	9.21	3.21	6.91	4.18	13.84	16.12	11.51	9.21	16.12	7.44
<i>NA-63</i>	9.21	3.26	6.91	4.11	13.84	16.12	11.51	9.21	16.12	7.35
<i>NA-64</i>	9.21	3.16	6.91	4.23	13.84	16.12	11.51	9.21	16.12	7.34
<i>NA-65</i>	9.21	3.25	6.91	4.25	13.84	16.12	11.51	9.21	16.12	7.40
<i>NA-66</i>	9.21	3.33	6.91	4.27	13.84	16.12	11.51	9.21	16.12	7.50
<i>NA-67</i>	9.21	3.34	6.91	4.27	13.85	16.12	11.51	9.21	16.12	7.57
<i>NA-68</i>	9.21	3.24	6.91	4.30	13.85	16.12	11.51	9.21	16.12	7.58
<i>NA-69</i>	9.21	3.08	6.91	4.27	13.84	16.12	11.51	9.21	16.12	7.53
<i>NA-70</i>	9.21	2.89	6.91	4.34	13.84	16.12	11.51	9.21	16.12	7.60
<i>NA-71</i>	9.21	2.83	6.91	4.40	13.84	16.12	11.51	9.21	16.12	7.70
<i>NA-72</i>	9.21	3.00	6.91	4.41	13.85	16.12	11.51	9.21	16.12	7.79
<i>NA-73</i>	9.21	3.17	6.91	4.45	13.85	16.12	11.51	9.21	16.12	7.89
<i>NA-74</i>	9.21	3.43	6.91	4.40	13.85	16.12	11.51	9.21	16.12	7.84
<i>NA-75</i>	9.21	3.41	6.91	4.35	13.85	16.12	11.51	9.21	16.12	7.71
<i>NA-76</i>	9.21	3.25	6.91	4.28	13.85	16.12	11.51	9.21	16.12	7.53

جدول (۴-۴): مقادیر نرمال و همچنین حدود زمینه و آنومالی های ممکن و احتمالی و قطعی نمونه های ژئوشیمیایی محدوده ۱/۲۵۰۰۰ فیروزان

<i>NAHAVAND</i>	<i>LNCO</i>	<i>LNCR</i>	<i>LNCS</i>	<i>LNCU</i>	<i>LNFE</i>	<i>LNK</i>	<i>LNLA</i>	<i>LNLI</i>	<i>LNMG</i>	<i>LNMN</i>
<i>NA-77</i>	9.21	3.49	6.91	4.21	13.84	16.12	11.51	9.21	16.12	7.23
<i>NA-78</i>	9.21	3.34	6.91	4.19	13.84	16.12	11.51	9.21	16.12	7.07
<i>NA-79</i>	9.21	3.43	6.91	4.16	13.84	16.12	11.51	9.21	16.12	7.00
<i>NA-80</i>	9.21	3.47	6.91	4.14	13.84	16.12	11.51	9.21	16.12	6.96
<i>NA-81</i>	9.21	3.12	6.91	4.12	13.84	16.12	11.51	9.21	16.12	7.03
<i>NA-82</i>	9.21	2.99	6.91	4.11	13.84	16.12	11.51	9.21	16.12	7.03
<i>NA-83</i>	9.21	2.82	6.91	4.09	13.84	16.12	11.51	9.21	16.12	7.02
<i>NA-84</i>	9.21	2.81	6.91	4.09	13.84	16.12	11.51	9.21	16.12	7.03
<i>NA-85</i>	9.21	2.88	6.91	4.09	13.84	16.12	11.51	9.21	16.12	7.02
<i>NA-86</i>	9.21	2.95	6.91	4.09	13.84	16.12	11.51	9.21	16.12	7.02
<i>NA-87</i>	9.21	3.03	6.91	4.11	13.84	16.12	11.51	9.21	16.12	7.05
<i>NA-88</i>	9.21	3.09	6.91	4.12	13.84	16.12	11.51	9.21	16.12	7.07
	<i>LNCO</i>	<i>LNCR</i>	<i>LNCS</i>	<i>LNCU</i>	<i>LNFE</i>	<i>LNK</i>	<i>LNLA</i>	<i>LNLI</i>	<i>LNMG</i>	<i>LNMN</i>
<i>Mean (X)</i>	9.2112	3.1200	6.9114	4.2096	13.8420	16.1215	11.5132	9.2123	16.1191	7.3041
<i>S</i>	0.00017	0.30719	0.00094	0.12229	0.00445	0.00071	0.00003	0.00039	0.00022	0.31286
<i>X+S</i>	9.2114	3.4272	6.9124	4.3319	13.8465	16.1222	11.5132	9.2127	16.1193	7.6170
<i>X+2S</i>	9.2115	3.7344	6.9133	4.4542	13.8509	16.1230	11.5132	9.2131	16.1195	7.9298
<i>X+3S</i>	9.2117	4.0416	6.9143	4.5765	13.8554	16.1237	11.5133	9.2135	16.1197	8.2427
<i>X+4S</i>	9.2119	4.3488	6.9152	4.6988	13.8598	16.1244	11.5133	9.2139	16.1199	8.5555

جدول (٤-٤): مقادیر نرمال و همچنین حدود زمینه و آنومالی های ممکن و احتمالی و قطعی نمونه های ژئوشیمیایی محدوده ۱/۲۵۰۰۰ فیروزان

<i>NAHAVAND</i>	<i>LNMO</i>	<i>LNNA</i>	<i>LNNB</i>	<i>LNNI</i>	<i>LNP</i>	<i>LNPB</i>	<i>LNRB</i>	<i>LNS</i>	<i>LNSB</i>	<i>LNSC</i>
<i>NA-01</i>	-0.14	13.83	9.21	3.43	8.20	4.04	11.51	5.58	1.15	5.19
<i>NA-02</i>	-0.75	13.82	9.21	3.99	8.16	3.08	11.51	7.13	0.77	5.19
<i>NA-03</i>	-0.75	13.84	9.21	3.66	8.23	3.98	11.51	5.27	1.21	5.20
<i>NA-04</i>	-1.76	13.83	9.21	3.33	8.22	3.98	11.51	5.27	1.24	5.19
<i>NA-05</i>	-1.76	13.84	9.21	3.26	8.15	3.49	11.51	0.00	0.94	5.18
<i>NA-06</i>	-1.76	13.84	9.21	2.77	8.13	3.51	11.51	0.00	0.94	5.16
<i>NA-07</i>	-1.13	13.84	9.21	3.51	8.22	3.98	11.51	5.27	1.23	5.20
<i>NA-08</i>	-1.76	13.84	9.21	3.30	8.18	3.77	11.51	4.30	1.11	5.19
<i>NA-09</i>	-1.76	13.84	9.21	3.04	8.14	3.50	11.51	0.00	0.94	5.17
<i>NA-10</i>	-2.63	13.83	9.21	3.40	8.21	4.04	11.51	4.97	1.21	5.19
<i>NA-11</i>	0.63	13.84	9.21	3.04	8.15	3.97	11.51	0.00	0.86	5.18
<i>NA-12</i>	-0.03	13.84	9.21	3.24	8.18	4.01	11.51	3.78	1.05	5.18
<i>NA-13</i>	-1.30	13.83	9.21	3.33	8.19	4.06	11.51	5.04	1.21	5.20
<i>NA-14</i>	-0.47	13.84	9.21	3.29	8.18	4.04	11.51	4.64	1.14	5.19
<i>NA-15</i>	-0.99	13.84	9.21	3.61	8.20	4.65	11.51	4.30	1.27	5.21
<i>NA-16</i>	-0.99	13.84	9.21	3.50	8.19	4.32	11.51	4.64	1.18	5.20
<i>NA-17</i>	-0.99	13.84	9.21	3.56	8.19	4.50	11.51	4.43	1.23	5.20
<i>NA-18</i>	-0.40	13.82	9.21	3.78	8.17	3.00	11.51	7.45	0.90	5.17
<i>NA-19</i>	-0.65	13.83	9.21	3.68	8.18	4.01	11.51	6.81	1.08	5.19

جدول (۴-۴): مقادیر نرمال و همچنین حدود زمینه و آنومالی های ممکن و احتمالی و قطعی نمونه های ژئوشیمیایی محدوده ۱/۲۵۰۰۰ فیروزان

<i>NAHAVAND</i>	<i>LNMO</i>	<i>LNNA</i>	<i>LNNB</i>	<i>LNNI</i>	<i>LNP</i>	<i>LNPB</i>	<i>LNRB</i>	<i>LNS</i>	<i>LNSB</i>	<i>LNSC</i>
<i>NA-20</i>	-0.56	13.83	9.21	3.53	8.19	4.70	11.51	3.52	1.21	5.20
<i>NA-21</i>	-0.03	13.84	9.21	3.47	8.19	4.62	11.51	3.78	1.27	5.21
<i>NA-22</i>	-0.03	13.84	9.21	3.47	8.20	4.89	11.51	4.74	1.21	5.21
<i>NA-23</i>	2.08	13.84	9.21	3.56	8.19	4.32	11.51	4.54	0.50	5.21
<i>NA-24</i>	-0.56	13.83	9.21	3.47	8.18	4.67	11.51	3.52	1.38	5.20
<i>NA-25</i>	-0.65	13.83	9.21	3.68	8.18	4.01	11.51	6.81	1.08	5.19
<i>NA-26</i>	-0.53	13.83	9.21	3.67	8.18	4.12	11.51	6.78	1.07	5.19
<i>NA-27</i>	-0.37	13.83	9.21	3.56	8.19	4.49	11.51	5.78	1.19	5.20
<i>NA-28</i>	-0.18	13.84	9.21	3.49	8.19	4.74	11.51	4.16	1.23	5.21
<i>NA-29</i>	1.20	13.84	9.21	3.50	8.19	4.64	11.51	4.43	1.04	5.21
<i>NA-30</i>	1.15	13.83	9.21	3.50	8.19	4.65	11.51	4.43	1.09	5.21
<i>NA-31</i>	0.68	13.83	9.21	3.43	8.21	4.72	11.51	5.04	1.56	5.20
<i>NA-32</i>	0.82	13.83	9.21	3.26	8.16	4.22	11.51	5.58	1.66	5.19
<i>NA-33</i>	0.82	13.83	9.21	3.47	8.20	4.97	11.52	3.99	1.58	5.21
<i>NA-34</i>	0.07	13.83	9.21	3.43	8.23	5.08	11.52	3.78	1.52	5.21
<i>NA-35</i>	0.51	13.83	9.21	3.85	8.23	5.28	11.52	4.97	1.43	5.23
<i>NA-36</i>	0.32	13.83	9.21	3.66	8.23	5.18	11.52	4.54	1.47	5.22
<i>NA-37</i>	0.32	13.83	9.21	3.61	8.19	4.74	11.52	1.37	1.43	5.20
<i>NA-38</i>	-0.99	13.83	9.21	3.50	8.23	3.96	11.52	4.30	1.40	5.20

جدول (۴-۴): مقادیر نرمال و همچنین حدود زمینه و آنومالی های ممکن و احتمالی و قطعی نمونه های ژئوشیمیایی محدوده ۱/۲۵۰۰۰ فیروزان

<i>NAHAVAND</i>	<i>LNMO</i>	<i>LNNA</i>	<i>LNNB</i>	<i>LNNI</i>	<i>LNP</i>	<i>LNPB</i>	<i>LNRB</i>	<i>LNS</i>	<i>LNSB</i>	<i>LNSC</i>
<i>NA-39</i>	-0.99	13.83	9.21	3.30	8.25	3.84	11.52	4.64	1.43	5.20
<i>NA-40</i>	0.07	13.82	9.21	4.17	8.22	3.10	11.51	7.44	0.94	5.19
<i>NA-41</i>	-0.70	13.83	9.21	3.64	8.20	3.84	11.51	6.16	1.11	5.19
<i>NA-42</i>	-1.13	13.83	9.21	3.60	8.19	3.70	11.51	5.98	1.06	5.19
<i>NA-43</i>	-1.40	13.84	9.21	3.31	8.18	3.77	11.51	4.30	1.10	5.18
<i>NA-44</i>	-1.56	13.84	9.21	3.25	8.18	3.77	11.51	4.30	1.10	5.18
<i>NA-45</i>	-1.56	13.84	9.21	3.24	8.17	3.71	11.51	3.78	1.06	5.18
<i>NA-46</i>	-1.56	13.84	9.21	3.19	8.17	3.71	11.51	3.78	1.06	5.18
<i>NA-47</i>	-1.69	13.84	9.21	3.33	8.19	3.84	11.51	4.54	1.13	5.19
<i>NA-48</i>	-0.56	13.84	9.21	3.21	8.17	3.84	11.51	3.52	1.04	5.18
<i>NA-49</i>	-0.26	13.84	9.21	3.19	8.17	3.90	11.51	3.18	1.03	5.18
<i>NA-50</i>	-0.23	13.84	9.21	3.26	8.18	4.02	11.51	4.30	1.10	5.19
<i>NA-51</i>	-0.07	13.84	9.21	3.23	8.18	4.02	11.51	4.16	1.08	5.19
<i>NA-52</i>	-0.58	13.84	9.21	3.38	8.19	4.23	11.51	4.54	1.17	5.20
<i>NA-53</i>	-0.89	13.84	9.21	3.44	8.19	4.30	11.51	4.64	1.20	5.20
<i>NA-54</i>	-0.83	13.84	9.21	3.49	8.19	4.40	11.51	4.54	1.21	5.20
<i>NA-55</i>	-0.80	13.83	9.21	3.62	8.19	4.28	11.51	6.20	1.16	5.20
<i>NA-56</i>	-0.72	13.83	9.21	3.63	8.18	4.09	11.51	6.56	1.11	5.19
<i>NA-57</i>	-0.63	13.83	9.21	3.64	8.18	4.23	11.51	6.53	1.12	5.19

جدول (٤-٤): مقادیر نرمال و همچنین حدود زمینه و آنومالی های ممکن و احتمالی و قطعی نمونه های ژئوشیمیایی محدوده ۱/۲۵۰۰۰ فیروزان

<i>NAHAVAND</i>	<i>LNMO</i>	<i>LNNA</i>	<i>LNNB</i>	<i>LNNI</i>	<i>LNP</i>	<i>LNPB</i>	<i>LNRB</i>	<i>LNS</i>	<i>LNSB</i>	<i>LNSC</i>
<i>NA-58</i>	-0.38	13.83	9.21	3.62	8.18	4.27	11.51	6.51	1.13	5.19
<i>NA-59</i>	-0.27	13.83	9.21	3.54	8.19	4.60	11.51	5.61	1.20	5.20
<i>NA-60</i>	0.96	13.84	9.21	3.50	8.19	4.65	11.51	4.30	1.09	5.21
<i>NA-61</i>	0.96	13.84	9.21	3.49	8.19	4.64	11.51	4.30	1.14	5.21
<i>NA-62</i>	0.92	13.83	9.21	3.54	8.19	4.53	11.51	5.65	1.09	5.20
<i>NA-63</i>	0.88	13.83	9.21	3.60	8.18	4.31	11.51	6.18	1.05	5.20
<i>NA-64</i>	-0.52	13.83	9.21	3.60	8.18	4.36	11.51	6.28	1.19	5.19
<i>NA-65</i>	-0.42	13.83	9.21	3.60	8.19	4.38	11.51	6.30	1.15	5.20
<i>NA-66</i>	0.30	13.83	9.21	3.56	8.19	4.52	11.51	5.84	1.14	5.20
<i>NA-67</i>	0.69	13.84	9.21	3.51	8.19	4.63	11.51	4.97	1.14	5.21
<i>NA-68</i>	0.84	13.83	9.21	3.48	8.20	4.69	11.51	4.54	1.25	5.21
<i>NA-69</i>	0.99	13.83	9.21	3.43	8.19	4.58	11.51	4.97	1.38	5.20
<i>NA-70</i>	0.88	13.83	9.21	3.42	8.19	4.67	11.51	4.90	1.50	5.20
<i>NA-71</i>	0.64	13.83	9.21	3.40	8.20	4.80	11.51	4.90	1.58	5.20
<i>NA-72</i>	0.60	13.83	9.21	3.53	8.20	4.95	11.52	4.82	1.55	5.21
<i>NA-73</i>	0.47	13.83	9.21	3.62	8.22	5.13	11.52	4.43	1.50	5.22
<i>NA-74</i>	0.32	13.83	9.21	3.65	8.22	5.09	11.52	4.30	1.46	5.22
<i>NA-75</i>	0.18	13.83	9.21	3.66	8.22	4.91	11.52	4.43	1.43	5.21
<i>NA-76</i>	-0.14	13.83	9.21	3.53	8.23	4.58	11.52	4.30	1.43	5.21

جدول (۴-۴): مقادیر نرمال و همچنین حدود زمینه و آنومالی های ممکن و احتمالی و قطعی نمونه های ژئوشیمیایی محدوده ۱/۲۵۰۰۰ فیروزان

<i>NAHAVAND</i>	<i>LNMO</i>	<i>LNNA</i>	<i>LNNB</i>	<i>LNNI</i>	<i>LNP</i>	<i>LNPB</i>	<i>LNRB</i>	<i>LNS</i>	<i>LNSB</i>	<i>LNSC</i>
<i>NA-77</i>	-0.23	13.83	9.21	3.70	8.22	4.08	11.51	6.16	1.32	5.20
<i>NA-78</i>	-0.55	13.83	9.21	3.71	8.23	3.73	11.51	6.39	1.24	5.20
<i>NA-79</i>	-0.57	13.83	9.21	3.73	8.21	3.66	11.51	6.51	1.15	5.19
<i>NA-80</i>	-0.63	13.83	9.21	3.73	8.20	3.64	11.51	6.50	1.06	5.19
<i>NA-81</i>	-1.14	13.84	9.21	3.46	8.19	3.77	11.51	5.54	1.09	5.19
<i>NA-82</i>	-1.40	13.84	9.21	3.36	8.18	3.74	11.51	4.97	1.08	5.19
<i>NA-83</i>	-1.52	13.84	9.21	3.25	8.18	3.74	11.51	4.16	1.08	5.18
<i>NA-84</i>	-1.59	13.84	9.21	3.26	8.18	3.76	11.51	4.16	1.09	5.18
<i>NA-85</i>	-1.22	13.84	9.21	3.24	8.18	3.78	11.51	3.99	1.07	5.18
<i>NA-86</i>	-0.83	13.84	9.21	3.23	8.17	3.83	11.51	3.78	1.07	5.18
<i>NA-87</i>	-0.54	13.84	9.21	3.25	8.18	3.91	11.51	3.99	1.07	5.19
<i>NA-88</i>	-0.26	13.84	9.21	3.22	8.17	3.95	11.51	3.78	1.06	5.19
	<i>LNMO</i>	<i>LNNA</i>	<i>LNNB</i>	<i>LNNI</i>	<i>LNP</i>	<i>LNPB</i>	<i>LNRB</i>	<i>LNS</i>	<i>LNSB</i>	<i>LNSC</i>
<i>Mean (X)</i>	-0.3858	13.8332	9.2114	3.4700	8.1912	4.2095	11.5145	4.9468	1.1826	5.1959
<i>S</i>	0.88453	0.00540	0.00019	0.20843	0.02125	0.49261	0.00043	1.09899	0.19246	0.01158
<i>X+S</i>	0.4988	13.8386	9.2116	3.6784	8.2124	4.7021	11.5150	6.0458	1.3751	5.2075
<i>X+2S</i>	1.3833	13.8440	9.2118	3.8868	8.2337	5.1947	11.5154	7.1448	1.5675	5.2191
<i>X+3S</i>	2.2678	13.8494	9.2119	4.0952	8.2549	5.6873	11.5158	8.2438	1.7600	5.2307
<i>X+4S</i>	3.1523	13.8548	9.2121	4.3037	8.2762	6.1799	11.5163	9.3427	1.9524	5.2423

جدول (٤-٤): مقادیر نرمال و همچنین حدود زمینه و آنومالی های ممکن و احتمالی و قطعی نمونه های ژئوشیمیایی محدوده ۱/۲۵۰۰۰ فیروزان

<i>NAHAVAND</i>	<i>LNSN</i>	<i>LNSR</i>	<i>LNTH</i>	<i>LNTI</i>	<i>LNTL</i>	<i>LNU</i>	<i>LNV</i>	<i>LNW</i>	<i>LNY</i>	<i>LNZN</i>	<i>LNZR</i>
<i>NA-01</i>	6.91	3.99	9.21	13.82	0.64	0.67	7.68	1.67	3.31	5.21	11.51
<i>NA-02</i>	6.91	4.99	9.21	13.82	-0.12	0.35	7.68	1.70	3.07	4.56	11.51
<i>NA-03</i>	6.91	4.20	9.21	13.82	0.69	0.73	7.68	1.69	3.27	5.12	11.51
<i>NA-04</i>	6.91	3.92	9.21	13.82	0.74	0.69	7.67	1.65	3.28	5.24	11.51
<i>NA-05</i>	6.91	4.28	9.21	13.82	0.46	0.60	7.67	1.67	3.23	4.96	11.51
<i>NA-06</i>	6.91	4.25	9.21	13.82	0.58	0.62	7.66	1.65	3.14	4.90	11.51
<i>NA-07</i>	6.91	4.07	9.21	13.82	0.71	0.71	7.68	1.67	3.28	5.18	11.51
<i>NA-08</i>	6.91	4.11	9.21	13.82	0.61	0.64	7.67	1.66	3.26	5.11	11.51
<i>NA-09</i>	6.91	4.26	9.21	13.82	0.53	0.61	7.67	1.66	3.19	4.93	11.51
<i>NA-10</i>	6.91	3.67	9.21	13.82	0.78	0.63	7.68	1.61	3.28	5.28	11.51
<i>NA-11</i>	6.91	4.33	9.21	13.82	0.69	0.70	7.67	1.87	3.30	5.02	11.51
<i>NA-12</i>	6.91	4.06	9.21	13.82	0.74	0.67	7.67	1.75	3.29	5.16	11.51
<i>NA-13</i>	6.91	4.34	9.21	13.82	0.74	0.70	7.68	1.65	3.45	5.34	11.51
<i>NA-14</i>	6.91	4.21	9.21	13.82	0.74	0.68	7.67	1.70	3.37	5.25	11.51
<i>NA-15</i>	6.91	4.13	9.21	13.82	0.74	0.75	7.68	1.67	3.48	5.79	11.51
<i>NA-16</i>	6.91	4.14	9.21	13.82	0.74	0.58	7.68	1.61	3.36	5.65	11.51
<i>NA-17</i>	6.91	4.14	9.21	13.82	0.74	0.67	7.68	1.64	3.42	5.72	11.51
<i>NA-18</i>	6.91	4.93	9.21	13.82	-0.12	0.44	7.67	1.57	3.13	4.36	11.51
<i>NA-19</i>	6.91	4.61	9.21	13.82	0.40	0.56	7.67	1.60	3.29	5.26	11.51

جدول (٤-٤): مقادیر نرمال و همچنین حدود زمینه و آنومالی های ممکن و احتمالی و قطعی نمونه های ژئوشیمیایی محدوده ۱/۲۵۰۰۰ فیروزان

<i>NAHAVAND</i>	<i>LNSN</i>	<i>LNSR</i>	<i>LNTH</i>	<i>LNTI</i>	<i>LNTL</i>	<i>LNU</i>	<i>LNV</i>	<i>LNW</i>	<i>LNY</i>	<i>LNZN</i>	<i>LNZR</i>
<i>NA-20</i>	6.91	3.83	9.21	13.82	0.74	0.68	7.68	1.63	3.43	5.88	11.51
<i>NA-21</i>	6.91	4.19	9.21	13.82	0.74	0.70	7.68	1.77	3.43	5.74	11.51
<i>NA-22</i>	6.91	4.19	9.21	13.82	0.69	0.49	7.68	1.63	3.38	5.70	11.51
<i>NA-23</i>	6.91	4.16	9.21	13.82	2.39	2.22	7.68	1.52	2.31	4.96	11.51
<i>NA-24</i>	6.91	3.99	9.21	13.82	0.91	0.58	7.68	1.70	3.41	5.72	11.51
<i>NA-25</i>	6.91	4.61	9.21	13.82	0.40	0.56	7.67	1.60	3.29	5.26	11.51
<i>NA-26</i>	6.91	4.55	9.21	13.82	0.40	0.56	7.67	1.60	3.29	5.35	11.51
<i>NA-27</i>	6.91	4.26	9.21	13.82	0.64	0.65	7.68	1.67	3.39	5.66	11.51
<i>NA-28</i>	6.91	4.08	9.21	13.82	0.72	0.62	7.68	1.68	3.42	5.78	11.51
<i>NA-29</i>	6.91	4.18	9.21	13.82	1.61	1.46	7.68	1.64	3.16	5.52	11.51
<i>NA-30</i>	6.91	4.12	9.21	13.82	1.63	1.44	7.68	1.62	3.15	5.52	11.51
<i>NA-31</i>	6.91	3.72	9.21	13.82	0.87	0.80	7.68	1.67	3.34	5.76	11.51
<i>NA-32</i>	6.91	3.69	9.21	13.82	0.69	0.93	7.67	1.70	3.20	5.21	11.51
<i>NA-33</i>	6.91	3.90	9.21	13.82	0.95	0.80	7.68	1.67	3.36	5.95	11.51
<i>NA-34</i>	6.91	3.86	9.21	13.82	1.03	0.71	7.69	1.63	3.37	5.95	11.51
<i>NA-35</i>	6.91	4.42	9.21	13.82	0.95	0.75	7.69	1.63	3.48	6.26	11.51
<i>NA-36</i>	6.91	4.18	9.21	13.82	0.99	0.73	7.69	1.63	3.43	6.12	11.51
<i>NA-37</i>	6.91	3.56	9.21	13.82	1.22	0.69	7.68	1.84	3.40	5.93	11.51
<i>NA-38</i>	6.91	4.41	9.21	13.82	1.06	0.71	7.68	1.63	3.31	5.34	11.51

جدول (۴-۴): مقادیر نرمال و همچنین حدود زمینه و آنومالی های ممکن و احتمالی و قطعی نمونه های ژئوشیمیایی محدوده ۱/۲۵۰۰۰ فیروزان

<i>NAHAVAND</i>	<i>LNSN</i>	<i>LNSR</i>	<i>LNTH</i>	<i>LNTI</i>	<i>LNTL</i>	<i>LNU</i>	<i>LNV</i>	<i>LNW</i>	<i>LNY</i>	<i>LNZN</i>	<i>LNZR</i>
<i>NA-39</i>	6.91	4.63	9.21	13.82	0.99	0.64	7.68	1.63	3.25	5.32	11.51
<i>NA-40</i>	6.91	5.51	9.21	13.82	-0.12	0.52	7.68	1.59	3.26	4.48	11.51
<i>NA-41</i>	6.91	4.38	9.21	13.82	0.54	0.62	7.68	1.68	3.24	5.07	11.51
<i>NA-42</i>	6.91	4.43	9.21	13.82	0.50	0.60	7.68	1.68	3.22	5.00	11.51
<i>NA-43</i>	6.91	4.17	9.21	13.82	0.62	0.66	7.67	1.66	3.23	5.06	11.51
<i>NA-44</i>	6.91	4.14	9.21	13.82	0.63	0.65	7.67	1.66	3.24	5.08	11.51
<i>NA-45</i>	6.91	4.18	9.21	13.82	0.60	0.64	7.67	1.66	3.23	5.04	11.51
<i>NA-46</i>	6.91	4.18	9.21	13.82	0.61	0.65	7.67	1.66	3.22	5.04	11.51
<i>NA-47</i>	6.91	4.05	9.21	13.82	0.66	0.65	7.67	1.65	3.25	5.13	11.51
<i>NA-48</i>	6.91	4.13	9.21	13.82	0.66	0.65	7.67	1.70	3.26	5.09	11.51
<i>NA-49</i>	6.91	4.11	9.21	13.82	0.69	0.65	7.67	1.73	3.27	5.11	11.51
<i>NA-50</i>	6.91	4.14	9.21	13.82	0.74	0.68	7.67	1.72	3.33	5.21	11.51
<i>NA-51</i>	6.91	4.24	9.21	13.82	0.73	0.69	7.67	1.75	3.35	5.20	11.51
<i>NA-52</i>	6.91	4.19	9.21	13.82	0.74	0.70	7.68	1.69	3.40	5.42	11.51
<i>NA-53</i>	6.91	4.21	9.21	13.82	0.74	0.68	7.68	1.66	3.42	5.53	11.51
<i>NA-54</i>	6.91	4.15	9.21	13.82	0.74	0.67	7.68	1.65	3.41	5.62	11.51
<i>NA-55</i>	6.91	4.40	9.21	13.82	0.58	0.62	7.68	1.62	3.36	5.52	11.51
<i>NA-56</i>	6.91	4.51	9.21	13.82	0.50	0.57	7.68	1.61	3.30	5.37	11.51
<i>NA-57</i>	6.91	4.46	9.21	13.82	0.50	0.59	7.68	1.61	3.32	5.45	11.51

جدول (٤-٤): مقادیر نرمال و همچنین حدود زمینه و آنومالی های ممکن و احتمالی و قطعی نمونه های ژئوشیمیایی محدوده ۱/۲۵۰۰۰ فیروزان

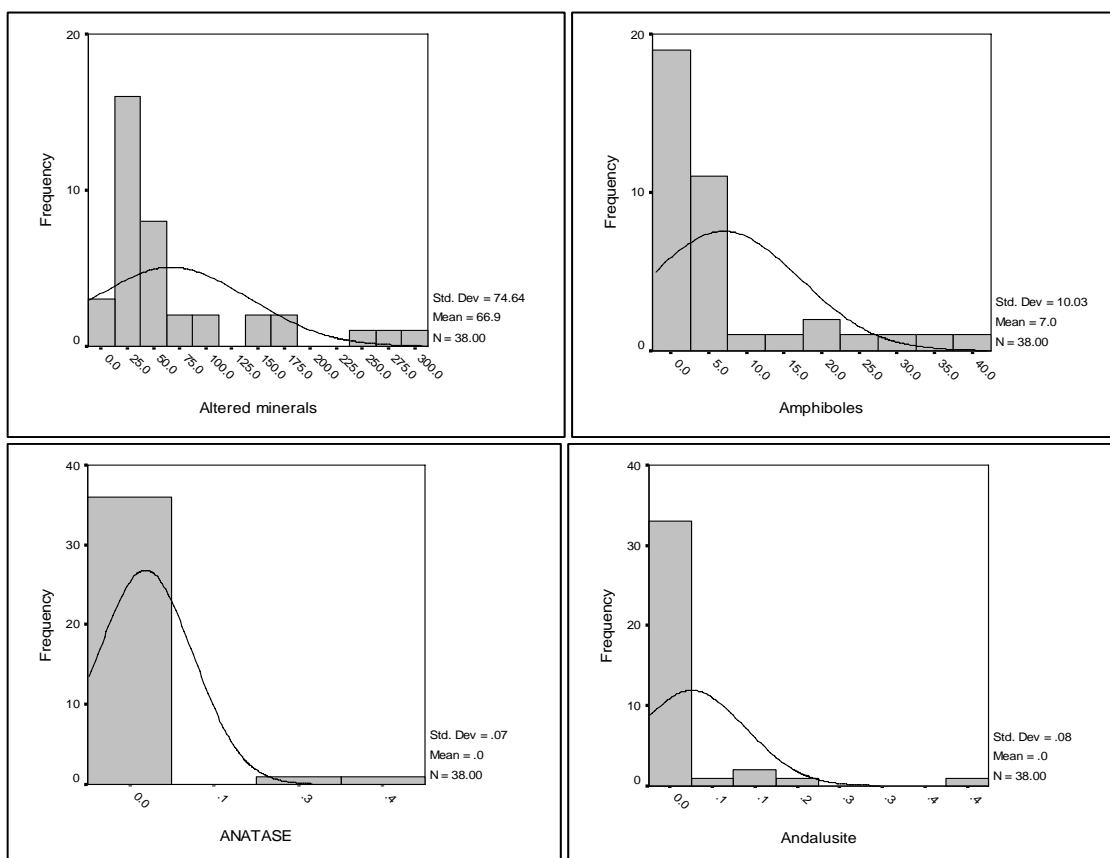
<i>NAHAVAND</i>	<i>LNSN</i>	<i>LNSR</i>	<i>LNTH</i>	<i>LNTI</i>	<i>LNTL</i>	<i>LNU</i>	<i>LNV</i>	<i>LNW</i>	<i>LNY</i>	<i>LNZN</i>	<i>LNZR</i>
<i>NA-58</i>	6.91	4.47	9.21	13.82	0.50	0.60	7.68	1.65	3.33	5.46	11.51
<i>NA-59</i>	6.91	4.24	9.21	13.82	0.65	0.61	7.68	1.66	3.38	5.67	11.51
<i>NA-60</i>	6.91	4.10	9.21	13.82	1.45	1.31	7.68	1.64	3.23	5.62	11.51
<i>NA-61</i>	6.91	4.14	9.21	13.82	1.47	1.30	7.68	1.66	3.23	5.58	11.51
<i>NA-62</i>	6.91	4.26	9.21	13.82	1.44	1.28	7.68	1.61	3.18	5.46	11.51
<i>NA-63</i>	6.91	4.36	9.21	13.82	1.41	1.29	7.68	1.61	3.16	5.36	11.51
<i>NA-64</i>	6.91	4.38	9.21	13.82	0.61	0.59	7.68	1.65	3.35	5.52	11.51
<i>NA-65</i>	6.91	4.40	9.21	13.82	0.55	0.60	7.68	1.64	3.35	5.53	11.51
<i>NA-66</i>	6.91	4.28	9.21	13.82	0.96	0.90	7.68	1.65	3.32	5.59	11.51
<i>NA-67</i>	6.91	4.16	9.21	13.82	1.26	1.12	7.68	1.65	3.28	5.62	11.51
<i>NA-68</i>	6.91	4.04	9.21	13.82	1.29	1.15	7.68	1.65	3.27	5.65	11.51
<i>NA-69</i>	6.91	3.95	9.21	13.82	1.29	1.20	7.68	1.66	3.21	5.52	11.51
<i>NA-70</i>	6.91	3.87	9.21	13.82	1.11	1.03	7.68	1.66	3.26	5.64	11.51
<i>NA-71</i>	6.91	3.80	9.21	13.82	0.89	0.81	7.68	1.67	3.32	5.76	11.51
<i>NA-72</i>	6.91	4.01	9.21	13.82	0.91	0.80	7.68	1.66	3.36	5.91	11.51
<i>NA-73</i>	6.91	4.12	9.21	13.82	0.98	0.75	7.69	1.64	3.41	6.08	11.51
<i>NA-74</i>	6.91	4.06	9.21	13.82	1.05	0.72	7.69	1.69	3.42	6.07	11.51
<i>NA-75</i>	6.91	4.19	9.21	13.82	1.06	0.72	7.69	1.69	3.41	5.97	11.51
<i>NA-76</i>	6.91	4.27	9.21	13.82	1.07	0.69	7.68	1.69	3.35	5.74	11.51

جدول (۴-۴): مقادیر نرمال و همچنین حدود زمینه و آنومالی های ممکن و احتمالی و قطعی نمونه های ژئوشیمیایی محدوده ۱/۲۵۰۰۰ فیروزان

<i>NAHAVAND</i>	<i>LNSN</i>	<i>LNSR</i>	<i>LNTH</i>	<i>LNTI</i>	<i>LNTL</i>	<i>LNU</i>	<i>LNV</i>	<i>LNW</i>	<i>LNY</i>	<i>LNZN</i>	<i>LNZR</i>
<i>NA-77</i>	6.91	4.76	9.21	13.82	0.90	0.64	7.68	1.68	3.31	5.39	11.51
<i>NA-78</i>	6.91	4.85	9.21	13.82	0.72	0.62	7.68	1.63	3.27	5.11	11.51
<i>NA-79</i>	6.91	4.86	9.21	13.82	0.55	0.60	7.68	1.64	3.24	5.01	11.51
<i>NA-80</i>	6.91	4.78	9.21	13.82	0.42	0.60	7.68	1.65	3.24	4.93	11.51
<i>NA-81</i>	6.91	4.29	9.21	13.82	0.57	0.64	7.67	1.67	3.23	5.05	11.51
<i>NA-82</i>	6.91	4.24	9.21	13.82	0.59	0.64	7.67	1.66	3.23	5.05	11.51
<i>NA-83</i>	6.91	4.17	9.21	13.82	0.62	0.65	7.67	1.66	3.23	5.05	11.51
<i>NA-84</i>	6.91	4.14	9.21	13.82	0.63	0.65	7.67	1.66	3.24	5.07	11.51
<i>NA-85</i>	6.91	4.14	9.21	13.82	0.63	0.65	7.67	1.67	3.24	5.08	11.51
<i>NA-86</i>	6.91	4.12	9.21	13.82	0.66	0.65	7.67	1.69	3.25	5.09	11.51
<i>NA-87</i>	6.91	4.11	9.21	13.82	0.69	0.66	7.67	1.70	3.28	5.14	11.51
<i>NA-88</i>	6.91	4.15	9.21	13.82	0.70	0.67	7.67	1.73	3.30	5.15	11.51
	<i>LNSN</i>	<i>LNSR</i>	<i>LNTH</i>	<i>LNTI</i>	<i>LNTL</i>	<i>LNU</i>	<i>LNV</i>	<i>LNW</i>	<i>LNY</i>	<i>LNZN</i>	<i>LNZR</i>
<i>Mean (X)</i>	6.91	4.23	9.21	13.82	0.78	0.74	7.68	1.66	3.29	5.38	11.51
<i>S</i>	0.00	0.30	0.00	0.00	0.37	0.27	0.01	0.05	0.14	0.37	0.00
<i>X+S</i>	6.91	4.53	9.21	13.82	1.15	1.01	7.68	1.71	3.42	5.75	11.51
<i>X+2S</i>	6.91	4.83	9.21	13.82	1.52	1.27	7.69	1.76	3.56	6.12	11.51
<i>X+3S</i>	6.91	5.13	9.21	13.82	1.88	1.54	7.69	1.81	3.70	6.49	11.52
<i>X+4S</i>	6.91	5.43	9.21	13.82	2.25	1.80	7.70	1.86	3.83	6.86	11.52

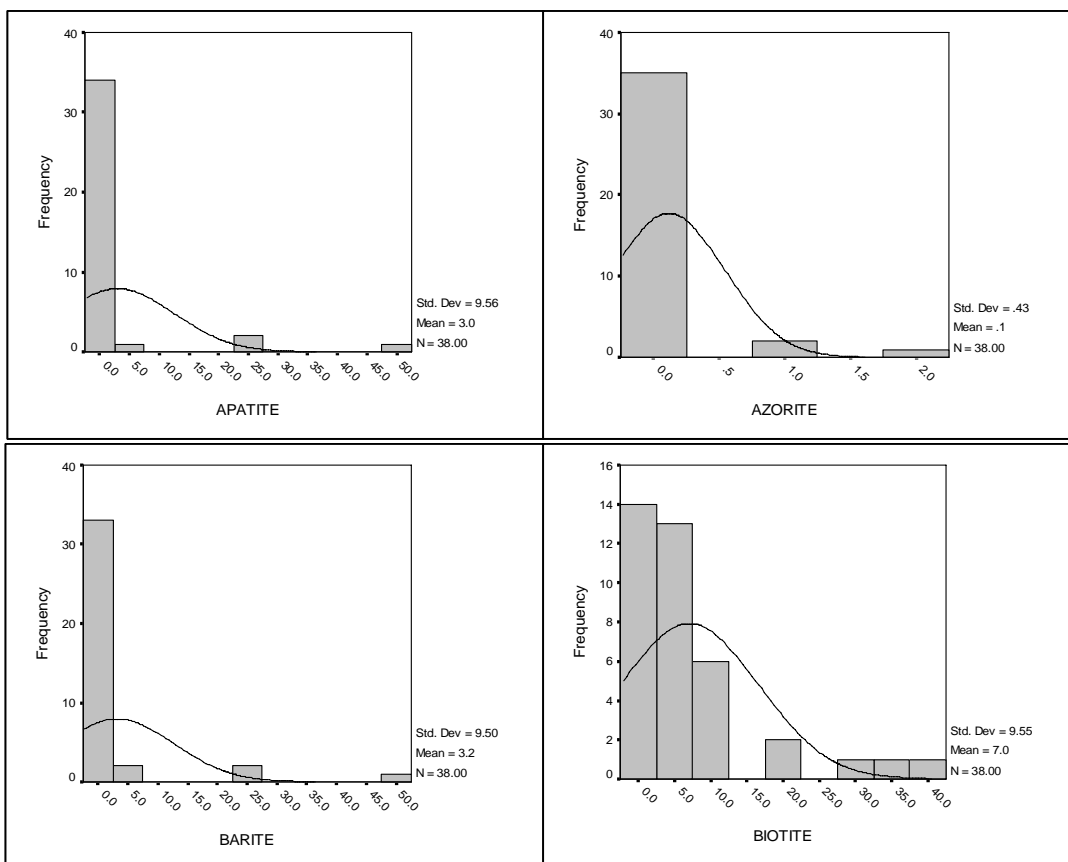
جدول (۲-۵): خصوصیات آماری نمونه‌های کانی سنگین برداشت شده از محدوده ۱:۲۵۰۰۰ فیروزان

		<i>Altered minerals</i>	<i>Amphiboles</i>	<i>Anatase</i>	<i>Andalusite</i>
<i>N</i>	<i>Valid</i>	38.00	38.00	38.00	38.00
	<i>Missing</i>	1.00	1.00	1.00	1.00
<i>Mean</i>		66.87	7.00	0.02	0.03
<i>Std. Error of Mean</i>		12.11	1.63	0.01	0.01
<i>Median</i>		37.05	2.40	0.01	0.01
<i>Mode</i>		26.06	1.97	0.01	0.00
<i>Std. Deviation</i>		74.64	10.03	0.07	0.08
<i>Variance</i>		5571.80	100.54	0.00	0.01
<i>Skewness</i>		1.99	2.05	4.82	3.95
<i>Std. Error of Skewness</i>		0.38	0.38	0.38	0.38
<i>Kurtosis</i>		3.42	3.46	24.01	17.30
<i>Std. Error of Kurtosis</i>		0.75	0.75	0.75	0.75
<i>Minimum</i>		8.00	0.00	0.00	0.00
<i>Maximum</i>		312.00	39.60	0.40	0.43



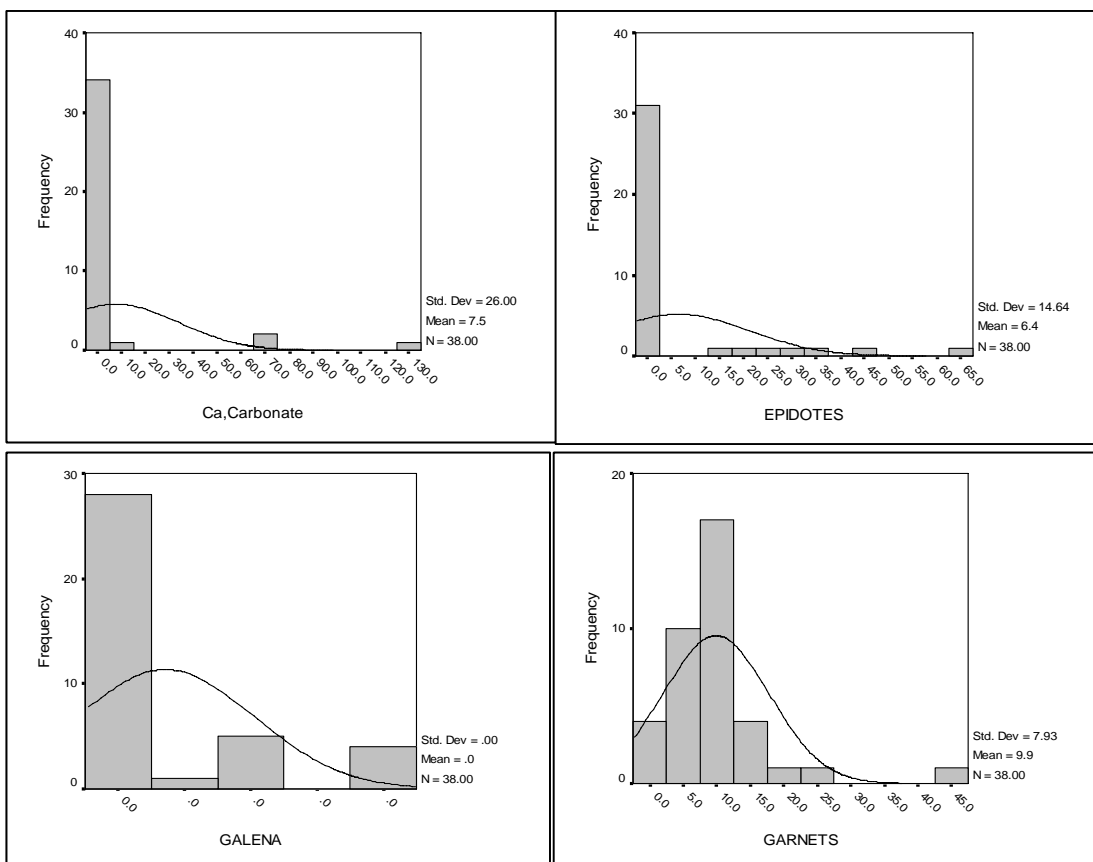
جدول (۲-۵): خصوصیات آماری نمونه‌های کانی سنگین برداشت شده از محدوده ۱:۲۵۰۰۰ فیروزان

		<i>APATITE</i>	<i>AZORITE</i>	<i>BARITE</i>	<i>BIOTITE</i>
<i>N</i>	<i>Valid</i>	38.00	38.00	38.00	38.00
	<i>Missing</i>	1.00	1.00	1.00	1.00
<i>Mean</i>		3.00	0.12	3.19	7.04
<i>Std. Error of Mean</i>		1.55	0.07	1.54	1.55
<i>Median</i>		0.26	0.00	0.41	3.98
<i>Mode</i>		0.01	0.00	0.01	5.40
<i>Std. Deviation</i>		9.56	0.43	9.50	9.55
<i>Variance</i>		91.31	0.18	90.25	91.23
<i>Skewness</i>		3.94	3.99	3.96	2.21
<i>Std. Error of Skewness</i>		0.38	0.38	0.38	0.38
<i>Kurtosis</i>		16.30	16.56	16.42	4.55
<i>Std. Error of Kurtosis</i>		0.75	0.75	0.75	0.75
<i>Minimum</i>		0.00	0.00	0.01	0.00
<i>Maximum</i>		49.50	2.20	49.50	39.60



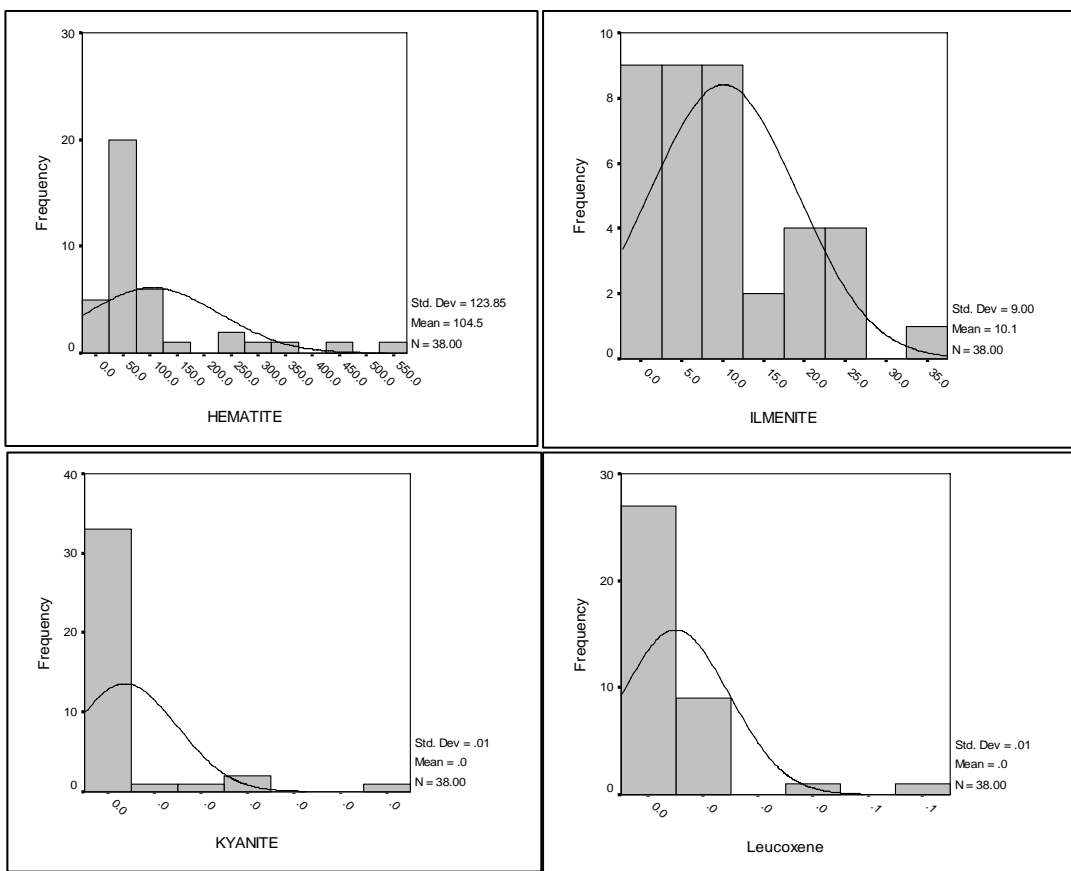
جدول (۲-۵): خصوصیات آماری نمونه‌های کانی سنگین برداشت شده از محدوده ۱:۲۵۰۰۰ فیروزان

		<i>Ca,Carbonate</i>	<i>EPIDOTES</i>	<i>GALENA</i>	<i>GARNETS</i>
<i>N</i>	<i>Valid</i>	38.00	38.00	38.00	38.00
	<i>Missing</i>	1.00	1.00	1.00	1.00
<i>Mean</i>		7.54	6.41	0.00	9.87
<i>Std. Error of Mean</i>		4.22	2.38	0.00	1.29
<i>Median</i>		0.20	0.41	0.00	8.77
<i>Mode</i>		0.01	0.00	0.00	11.44
<i>Std. Deviation</i>		26.00	14.64	0.00	7.93
<i>Variance</i>		676.19	214.47	0.00	62.91
<i>Skewness</i>		3.97	2.55	1.72	2.67
<i>Std. Error of Skewness</i>		0.38	0.38	0.38	0.38
<i>Kurtosis</i>		16.39	6.23	1.66	10.55
<i>Std. Error of Kurtosis</i>		0.75	0.75	0.75	0.75
<i>Minimum</i>		0.00	0.00	0.00	0.00
<i>Maximum</i>		134.15	63.00	0.01	45.33



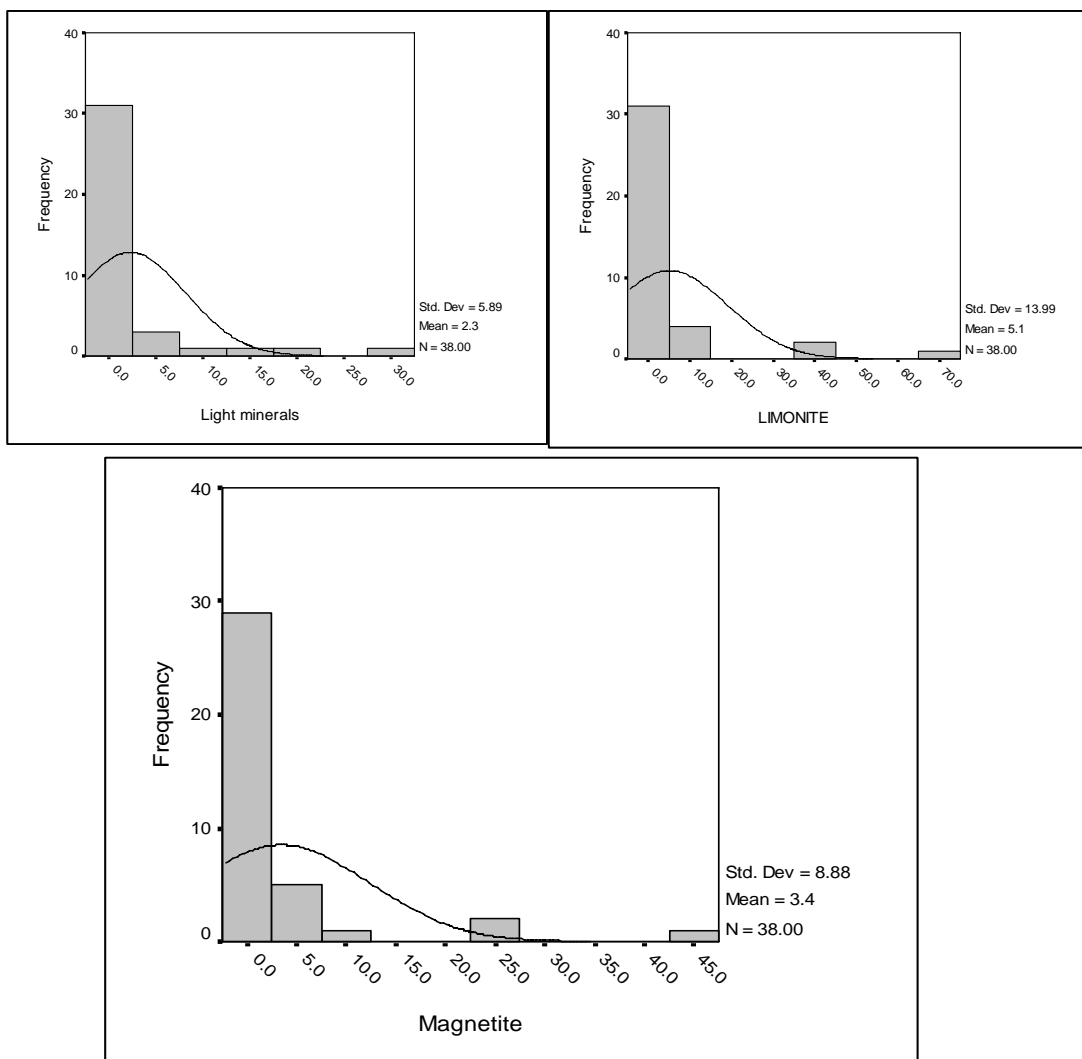
جدول (۲-۵): خصوصیات آماری نمونه‌های کانی سنگین برداشت شده از محدوده ۱:۲۵۰۰۰ فیروزان

		HEMATITE	ILMENITE	KYANITE	Leucoxene
N	Valid	38.00	38.00	38.00	38.00
	Missing	1.00	1.00	1.00	1.00
Mean		104.49	10.09	0.00	0.01
Std. Error of Mean		20.09	1.46	0.00	0.00
Median		58.78	9.21	0.00	0.00
Mode		57.92	0.00	0.00	0.00
Std. Deviation		123.85	9.00	0.01	0.01
Variance		15338.97	80.96	0.00	0.00
Skewness		2.41	0.81	3.64	3.85
Std. Error of Skewness		0.38	0.38	0.38	0.38
Kurtosis		5.57	0.18	14.25	16.89
Std. Error of Kurtosis		0.75	0.75	0.75	0.75
Minimum		9.47	0.00	0.00	0.00
Maximum		555.46	35.83	0.04	0.07



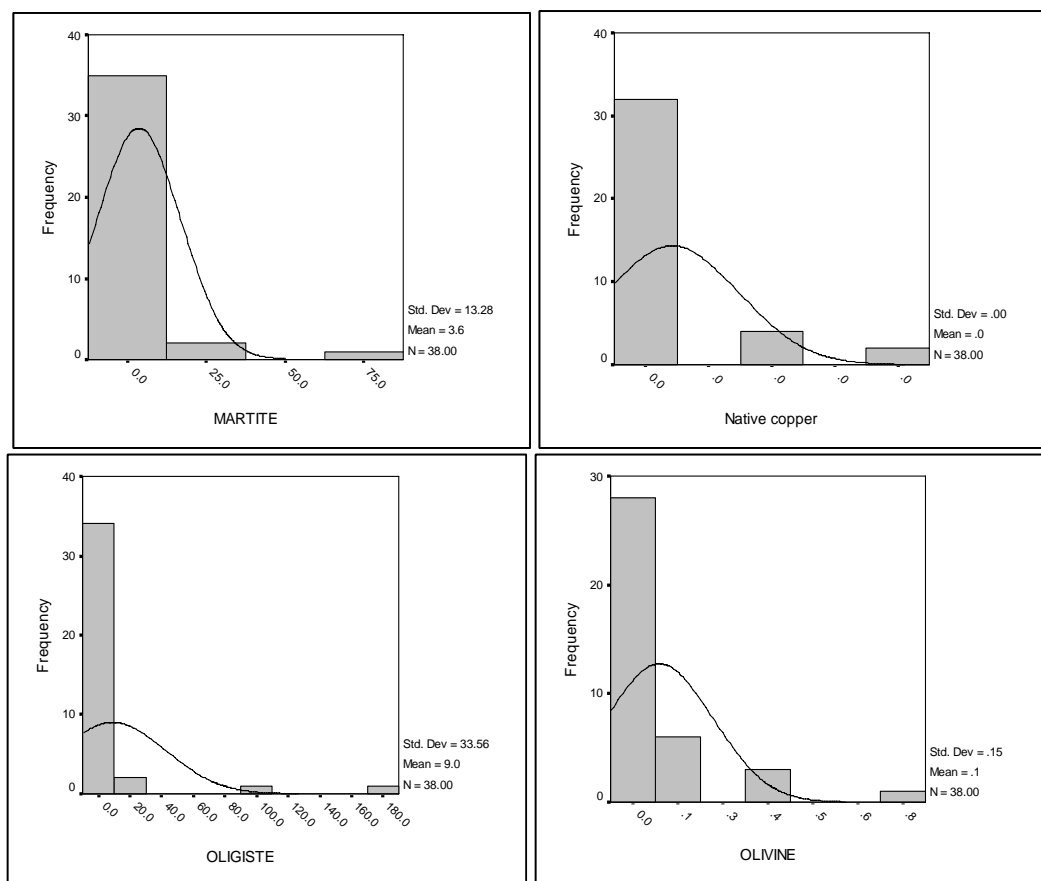
جدول (۲-۵): خصوصیات آماری نمونه‌های کانی سنگین برداشت شده از محدوده ۱:۲۵۰۰۰ فیروزان

		<i>Light minerals</i>	<i>LIMONITE</i>	<i>LITHARGE</i>	<i>Magnetite</i>
<i>N</i>	<i>Valid</i>	38.00	38.00	38.00	38.00
	<i>Missing</i>	1.00	1.00	1.00	1.00
<i>Mean</i>		2.27	5.08	0.00	3.43
<i>Std. Error of Mean</i>		0.96	2.27	0.00	1.44
<i>Median</i>		0.08	0.00	0.00	0.31
<i>Mode</i>		0.01	0.00	0.00	0.01
<i>Std. Deviation</i>		5.89	13.99	0.00	8.88
<i>Variance</i>		34.75	195.59	0.00	78.81
<i>Skewness</i>		3.35	3.52		3.57
<i>Std. Error of Skewness</i>		0.38	0.38	0.38	0.38
<i>Kurtosis</i>		11.90	13.00		13.20
<i>Std. Error of Kurtosis</i>		0.75	0.75	0.75	0.75
<i>Minimum</i>		0.00	0.00	0.00	0.01
<i>Maximum</i>		28.83	69.30	0.00	44.20



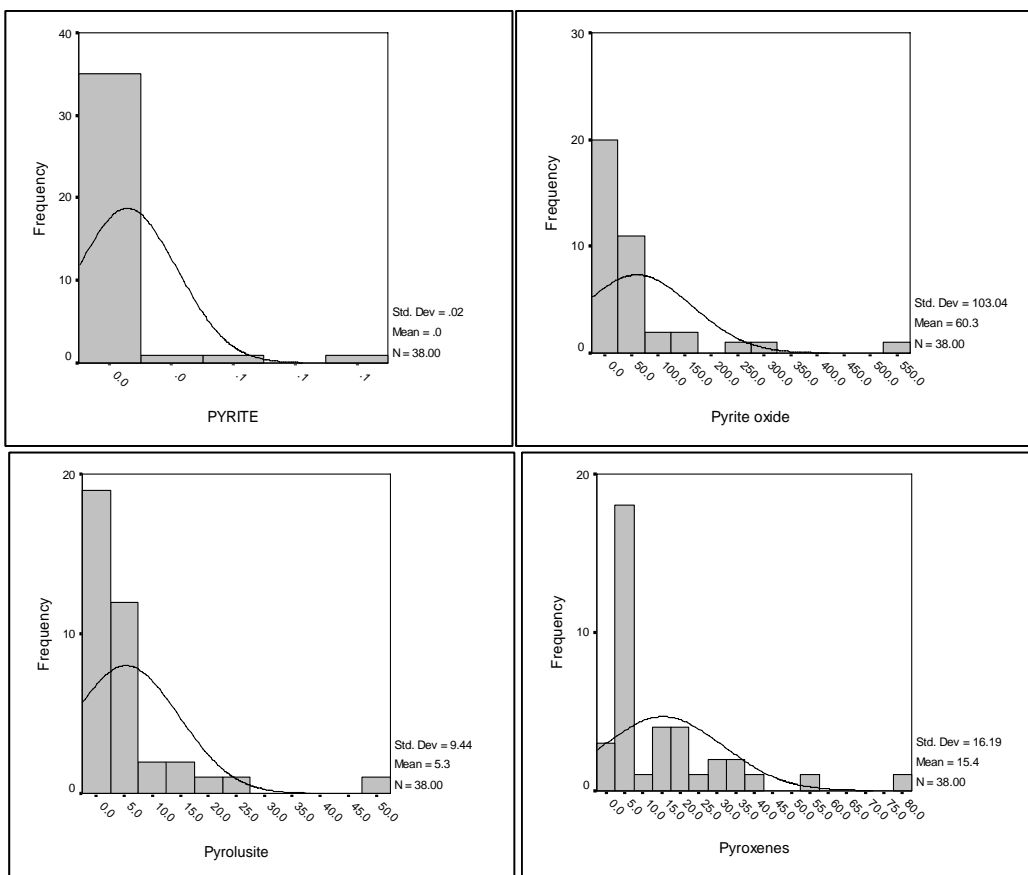
جدول (۲-۵): خصوصیات آماری نمونه‌های کانی سنگین برداشت شده از محدوده ۱:۲۵۰۰۰ فیروزان

		<i>MARTITE</i>	<i>Native copper</i>	<i>OLIGISTE</i>	<i>OLIVINE</i>
<i>N</i>	<i>Valid</i>	38.00	38.00	38.00	38.00
	<i>Missing</i>	1.00	1.00	1.00	1.00
<i>Mean</i>		3.60	0.00	8.97	0.07
<i>Std. Error of Mean</i>		2.15	0.00	5.44	0.02
<i>Median</i>		0.00	0.00	0.14	0.00
<i>Mode</i>		0.00	0.00	0.00	0.00
<i>Std. Deviation</i>		13.28	0.00	33.56	0.15
<i>Variance</i>		176.24	0.00	1126.26	0.02
<i>Skewness</i>		3.99	2.54	4.74	2.66
<i>Std. Error of Skewness</i>		0.38	0.38	0.38	0.38
<i>Kurtosis</i>		16.56	5.79	23.41	7.97
<i>Std. Error of Kurtosis</i>		0.75	0.75	0.75	0.75
<i>Minimum</i>		0.00	0.00	0.00	0.00
<i>Maximum</i>		68.38	0.01	187.20	0.70



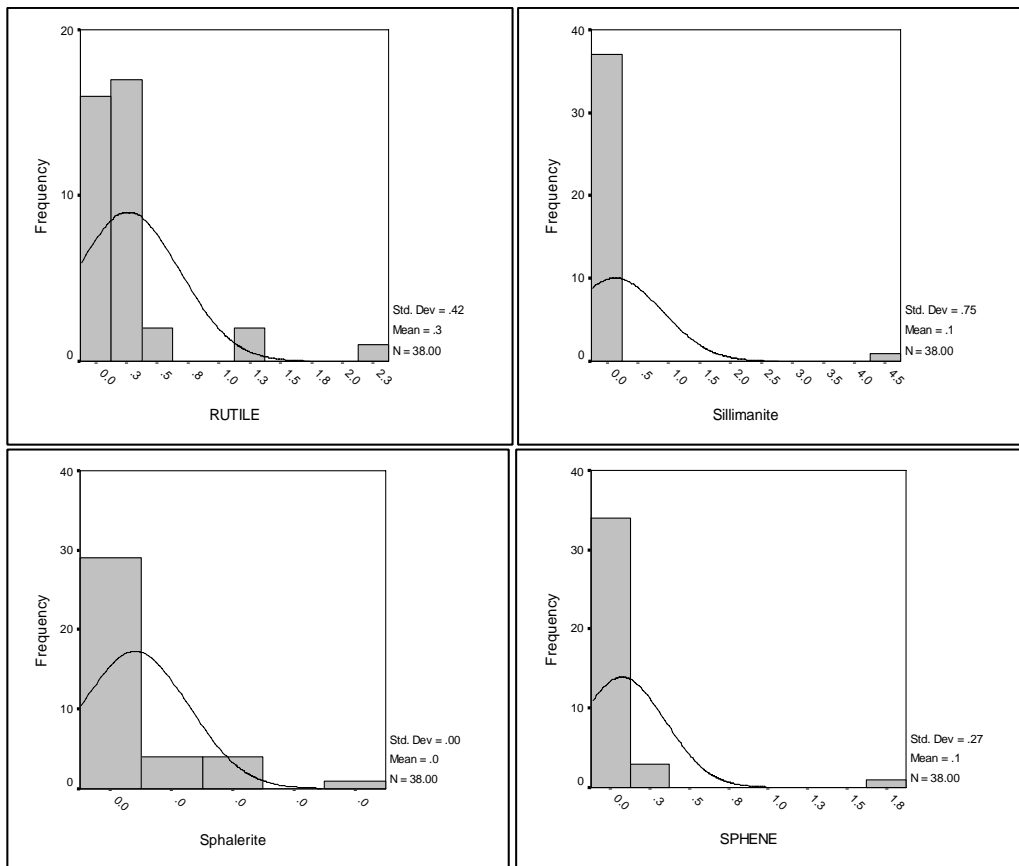
جدول (۲-۵): خصوصیات آماری نمونه‌های کانی سنگین برداشت شده از محدوده ۱:۲۵۰۰۰ فیروزان

		PYRITE	Pyrite oxide	Pyrolusite	Pyroxenes
N	Valid	38.00	38.00	38.00	38.00
	Missing	1.00	1.00	1.00	1.00
Mean		0.01	60.29	5.30	15.40
Std. Error of Mean		0.00	16.72	1.53	2.63
Median		0.00	23.95	2.54	7.19
Mode		0.00	18.00	0.01	6.99
Std. Deviation		0.02	103.04	9.44	16.19
Variance		0.00	10617.71	89.13	262.06
Skewness		4.30	3.40	3.55	2.08
Std. Error of Skewness		0.38	0.38	0.38	0.38
Kurtosis		20.12	13.02	15.05	5.25
Std. Error of Kurtosis		0.75	0.75	0.75	0.75
Minimum		0.00	2.67	0.00	0.18
Maximum		0.11	540.00	51.00	77.76



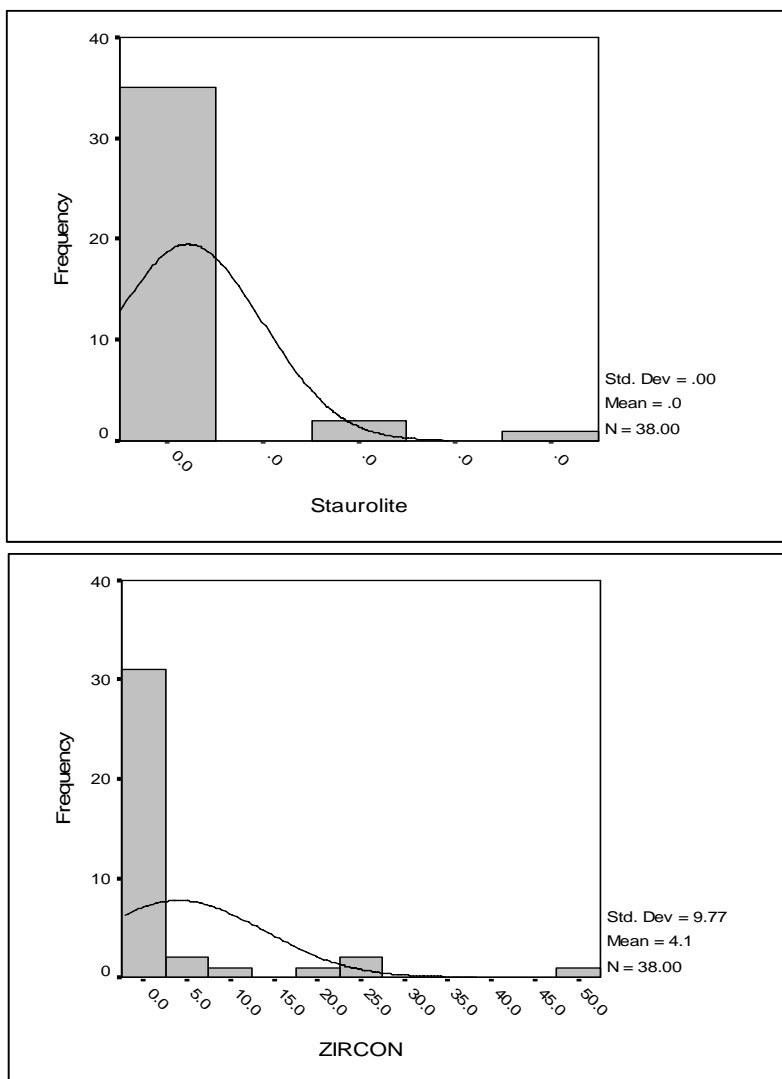
جدول (۲-۵): خصوصیات آماری نمونه‌های کانی سنگین برداشت شده از محدوده ۱:۲۵۰۰۰ فیروزان

		RUTILE	Sillimanite	Sphalerite	SPHENE
<i>N</i>	<i>Valid</i>	38.00	38.00	38.00	38.00
	<i>Missing</i>	1.00	1.00	1.00	1.00
<i>Mean</i>		0.26	0.14	0.00	0.07
<i>Std. Error of Mean</i>		0.07	0.12	0.00	0.04
<i>Median</i>		0.15	0.01	0.00	0.01
<i>Mode</i>		0.01	0.00	0.00	0.01
<i>Std. Deviation</i>		0.42	0.75	0.00	0.27
<i>Variance</i>		0.18	0.57	0.00	0.07
<i>Skewness</i>		3.35	6.16	2.61	5.88
<i>Std. Error of Skewness</i>		0.38	0.38	0.38	0.38
<i>Kurtosis</i>		12.71	37.98	7.22	35.42
<i>Std. Error of Kurtosis</i>		0.75	0.75	0.75	0.75
<i>Minimum</i>		0.01	0.00	0.00	0.01
<i>Maximum</i>		2.20	4.65	0.01	1.68

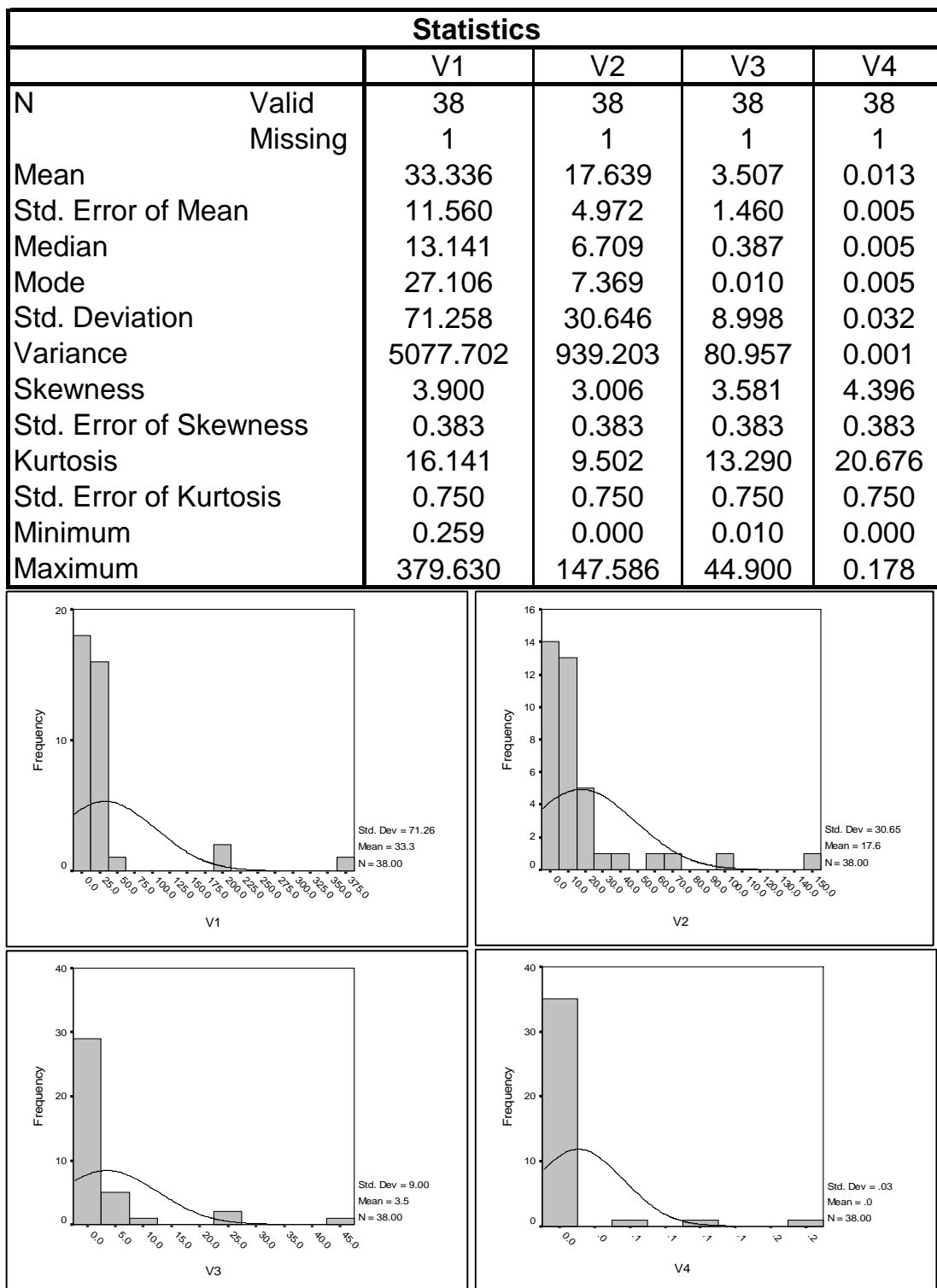


جدول (۲-۵): خصوصیات آماری نمونه‌های کانی سنگین برداشت شده از محدوده ۱:۲۵۰۰۰ فیروزان

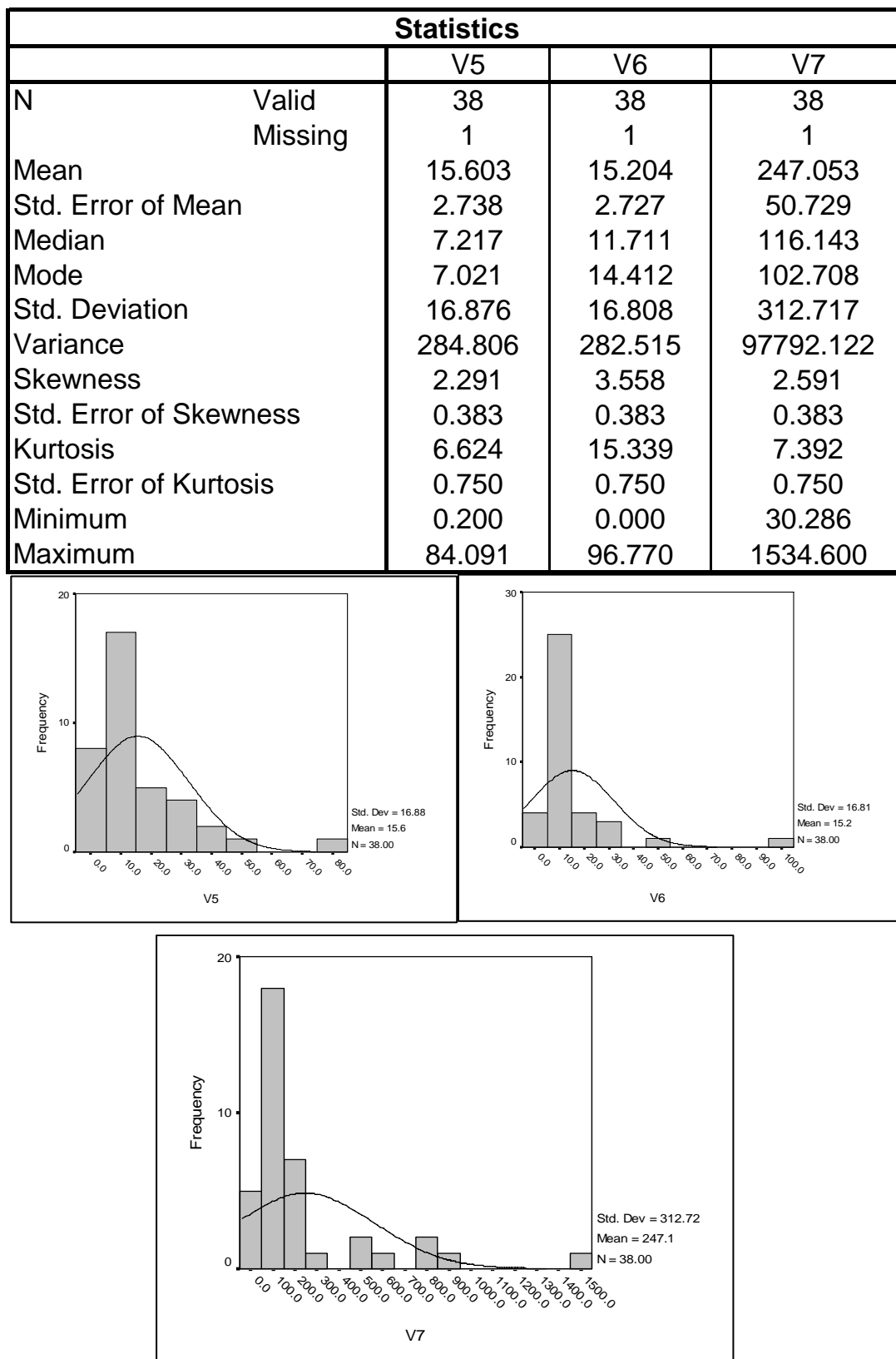
		<i>Staurolite</i>	<i>ZIRCON</i>
<i>N</i>	<i>Valid</i>	38.00	38.00
	<i>Missing</i>	1.00	1.00
<i>Mean</i>		0.00	4.06
<i>Std. Error of Mean</i>		0.00	1.58
<i>Median</i>		0.00	0.80
<i>Mode</i>		0.00	1.60
<i>Std. Deviation</i>		0.00	9.77
<i>Variance</i>		0.00	95.38
<i>Skewness</i>		3.99	3.47
<i>Std. Error of Skewness</i>		0.38	0.38
<i>Kurtosis</i>		16.56	13.10
<i>Std. Error of Kurtosis</i>		0.75	0.75
<i>Minimum</i>		0.00	0.00
<i>Maximum</i>		0.01	49.50



جدول (۳-۵): گروههای متغیر کانی سنگین مربوط به نمونههای محدوده ۱:۲۵۰۰۰ فیروزان



جدول (۳-۵): گروههای متغیر کانی سنگین مربوط به نمونههای محدوده ۱:۲۵۰۰۰ فیروزان



جدول (۵-۵): گروههای متغیر کانی سنگین محدوده ۱:۲۵۰۰۰ فیروزان

FIELD NO.	V1	V2	V3	V4	V5	V6	V7
NA-01	18.05	3.41	3.45	0.01	34.02	96.77	833.82
NA-02	5.40	3.71	0.38	0.00	6.77	9.01	80.66
NA-03	44.15	8.39	0.01	0.01	7.68	11.35	159.27
NA-04	10.06	6.35	0.01	0.01	6.36	17.47	46.15
NA-05	2.56	0.32	0.01	0.00	1.62	6.67	35.86
NA-06	27.11	7.37	0.01	0.01	7.02	14.41	102.71
NA-07	6.31	3.34	0.01	0.01	3.99	12.07	41.01
NA-09	10.34	0.00	0.52	0.00	54.01	8.10	1534.60
NA-10	11.72	3.56	1.92	0.01	20.40	52.89	457.24
NA-11	24.77	6.05	0.19	0.01	7.22	10.18	119.96
NA-14	27.11	7.37	0.01	0.01	7.02	14.41	102.71
NA-16	14.74	0.19	0.01	0.00	0.20	2.41	30.29
NA-18	24.77	6.05	0.19	0.01	7.22	10.18	119.96
NA-19	27.11	7.37	0.01	0.01	7.02	14.41	102.71
NA-24	6.31	3.34	0.01	0.01	3.99	12.07	41.01
NA-27	14.83	3.84	0.01	0.01	4.32	10.54	69.28
NA-28	16.71	5.35	0.01	0.01	5.51	13.24	71.86
NA-29	8.33	1.67	0.26	0.00	29.00	10.08	787.80
NA-31	24.36	2.59	0.01	0.00	84.09	17.43	234.59
NA-32	18.25	4.81	1.05	0.01	13.81	31.54	288.60
NA-33	25.94	6.71	0.10	0.01	7.12	12.30	111.34
NA-34	20.92	3.78	0.01	0.01	3.61	8.41	66.50
NA-35	0.43	24.00	1.15	0.18	36.08	34.00	213.03

جدول (۵-۵): گروههای متغیر کانی سنگین محدوده ۱۲۵۰۰۰ فیروزان

<i>FIELD NO.</i>	<i>V1</i>	<i>V2</i>	<i>V3</i>	<i>V4</i>	<i>V5</i>	<i>V6</i>	<i>V7</i>
<i>NA-36</i>	25.94	6.71	0.10	0.01	7.12	12.30	111.34
<i>NA-37</i>	0.26	7.21	0.69	0.00	7.21	0.00	112.32
<i>NA-38</i>	11.96	27.78	0.89	0.01	27.84	26.23	111.55
<i>NA-40</i>	379.63	59.40	2.85	0.00	14.86	0.02	246.05
<i>NA-48</i>	5.99	147.59	3.80	0.01	39.86	5.29	925.29
<i>NA-53</i>	10.08	0.64	44.90	0.00	0.66	8.55	157.48
<i>NA-56</i>	0.99	16.20	8.29	0.01	5.44	7.24	110.72
<i>NA-57</i>	13.18	15.35	0.63	0.09	21.60	23.15	162.18
<i>NA-60</i>	13.10	6.96	0.40	0.00	7.17	6.15	111.83
<i>NA-68</i>	6.11	17.50	0.79	0.01	17.53	13.11	111.94
<i>NA-69</i>	195.79	43.59	1.87	0.01	21.35	13.12	178.80
<i>NA-81</i>	192.81	103.49	3.32	0.01	27.36	2.66	585.67
<i>NA-82</i>	8.03	74.11	24.35	0.01	20.26	6.92	541.38
<i>NA-85</i>	5.53	8.42	26.59	0.01	3.05	7.89	134.10
<i>NA-88</i>	7.08	15.78	4.46	0.05	13.52	15.19	136.45

<i>FIELD NO.</i>	<i>V1</i>	<i>V2</i>	<i>V3</i>	<i>V4</i>	<i>V5</i>	<i>V6</i>	<i>V7</i>
<i>Std. Deviation</i>	71.258	30.646	8.998	0.032	16.876	16.808	312.717
<i>Mean</i>	33.336	17.639	3.507	0.013	15.603	15.204	247.053
<i>X+S</i>	104.59	48.29	12.50	0.05	32.48	32.01	559.77
<i>X+2S</i>	175.85	78.93	21.50	0.08	49.36	48.82	872.49
<i>X+3S</i>	247.11	109.58	30.50	0.11	66.23	65.63	1185.21
<i>X+4S</i>	318.37	140.23	39.50	0.14	83.11	82.44	1497.92

جدول (۵-۶): نتایج حاصل از مطالعه نمونه‌های کانی سنگین در محدوده ۱:۲۵۰۰۰ فیروزان

جدول (۶-۵): نتایج حاصل از مطالعه نمونه‌های کانی سنگین در محدوده ۱:۲۵۰۰۰ فیروزان

جدول (۶-۵): نتایج حاصل از مطالعه نمونه‌های کانی‌سنگین در محدوده ۱:۲۵۰۰۰ فیروزان

FIELD NO.	NA-01	NA-02	NA-03	NA-04	NA-05	NA-06	NA-07	NA-09	NA-10	NA-11	NA-14
<i>Native lead</i>	0.00	0.00	0.00	0.00	0.00	0.00	0.00	0.00	0.00	0.00	0.00
<i>Oligiste</i>	0.01	0.00	0.00	0.55	5.55	0.28	3.05	187.20	0.01	0.00	0.28
<i>Olivine</i>	0.00	0.37	0.00	0.00	0.00	0.00	0.00	0.00	0.18	0.18	0.00
<i>Orpiment</i>	0.00	0.00	0.00	0.00	0.00	0.00	0.00	0.00	0.00	0.00	0.00
<i>Pyrite</i>	0.01	0.00	0.00	0.00	0.00	0.00	0.00	0.00	0.01	0.00	0.00
<i>Pyrite Limonite</i>	0.00	0.00	0.00	0.00	0.00	0.00	0.00	0.00	0.00	0.00	0.00
<i>Pyrite oxide</i>	283.33	33.75	25.41	10.59	2.67	18.00	6.63	540.00	158.54	29.58	18.00
<i>Pyrolusite</i>	51.00	0.01	1.14	4.76	2.40	2.95	3.58	8.10	25.51	0.58	2.95
<i>Pyromorphite</i>	0.00	0.00	0.00	0.00	0.00	0.00	0.00	0.00	0.00	0.00	0.00
<i>Pyroxenes</i>	34.00	6.75	7.62	6.35	1.60	6.99	3.98	54.00	20.38	7.19	6.99
<i>Rutile</i>	0.01	0.03	0.56	0.02	0.01	0.29	0.02	0.40	0.02	0.29	0.29
<i>Scheelite</i>	0.00	0.00	0.00	0.00	0.00	0.00	0.00	0.00	0.00	0.00	0.00
<i>Sillimanite</i>	0.01	0.01	0.05	0.00	0.01	0.02	0.01	0.00	0.01	0.03	0.02
<i>Sphalerite</i>	0.00	0.01	0.00	0.00	0.00	0.00	0.00	0.00	0.01	0.01	0.00
<i>Sphene</i>	0.01	0.01	0.01	0.01	0.01	0.01	0.01	0.01	0.01	0.01	0.01
<i>Spinel</i>	0.00	0.00	0.00	0.00	0.00	0.00	0.00	0.00	0.00	0.00	0.00
<i>Staurolite</i>	0.00	0.00	0.00	0.00	0.00	0.00	0.00	0.00	0.00	0.00	0.00
<i>Zircon</i>	18.00	0.03	3.18	0.03	0.01	1.60	0.02	0.45	9.01	1.60	1.60

جدول (۵-۶): نتایج حاصل از مطالعه نمونه‌های کانی سنگین در محدوده ۱:۲۵۰۰۰ فیروزان

جدول (۵-۶): نتایج حاصل از مطالعه نمونه‌های کانی سنگین در محدوده ۱:۲۵۰۰۰ فیروزان

جدول (۶-۵): نتایج حاصل از مطالعه نمونه‌های کانی‌سنگین در محدوده ۱:۲۵۰۰۰ فیروزان

FIELD NO.	NA-16	NA-18	NA-19	NA-24	NA-27	NA-28	NA-29	NA-31	NA-32	NA-33	NA-34
<i>Native lead</i>	0.00	0.00	0.00	0.00	0.00	0.00	0.00	0.00	0.00	0.00	0.00
<i>Oligiste</i>	0.00	0.00	0.28	3.05	2.91	1.66	95.12	0.00	0.00	0.14	0.14
<i>Olivine</i>	0.00	0.18	0.00	0.00	0.00	0.00	0.00	0.00	0.18	0.09	0.00
<i>Orpiment</i>	0.00	0.00	0.00	0.00	0.00	0.00	0.00	0.00	0.00	0.00	0.00
<i>Pyrite</i>	0.00	0.00	0.00	0.00	0.00	0.00	0.00	0.00	0.00	0.00	0.00
<i>Pyrite Limonite</i>	0.00	0.00	0.00	0.00	0.00	0.00	0.00	0.00	0.00	0.00	0.00
<i>Pyrite oxide</i>	3.00	29.58	18.00	6.63	10.33	12.31	273.31	43.20	94.06	23.79	10.50
<i>Pyrolusite</i>	0.00	0.58	2.95	3.58	2.68	3.27	5.84	0.00	13.04	1.77	1.48
<i>Pyromorphite</i>	0.00	0.00	0.00	0.00	0.00	0.00	0.00	0.00	0.00	0.00	0.00
<i>Pyroxenes</i>	0.18	7.19	6.99	3.98	4.29	5.48	28.99	77.76	13.78	7.09	3.58
<i>Rutile</i>	0.01	0.29	0.29	0.02	0.15	0.16	0.21	0.19	0.16	0.29	0.15
<i>Scheelite</i>	0.00	0.00	0.00	0.00	0.00	0.00	0.00	0.00	0.00	0.00	0.00
<i>Sillimanite</i>	0.01	0.03	0.02	0.01	0.02	0.01	0.00	4.65	0.02	0.03	0.02
<i>Sphalerite</i>	0.00	0.01	0.00	0.00	0.00	0.00	0.00	0.00	0.01	0.00	0.00
<i>Sphene</i>	0.01	0.01	0.01	0.01	0.01	0.01	0.01	1.68	0.01	0.01	0.01
<i>Spinel</i>	0.00	0.00	0.00	0.00	0.00	0.00	0.00	0.00	0.00	0.00	0.00
<i>Staurolite</i>	0.00	0.00	0.00	0.00	0.00	0.00	0.00	0.00	0.00	0.00	0.00
<i>Zircon</i>	0.00	1.60	1.60	0.02	0.81	0.81	0.23	2.16	5.31	1.60	0.80

جدول (۵-۶): نتایج حاصل از مطالعه نمونه‌های کانی سنگین در محدوده ۱:۲۵۰۰۰ فیروزان

جدول (۶-۵): نتایج حاصل از مطالعه نمونه‌های کانی سنگین در محدوده ۱:۲۵۰۰۰ فیروزان

FIELD NO.	NA-35	NA-36	NA-37	NA-38	NA-40	NA-48	NA-53	NA-56	NA-57	NA-60	NA-68
<i>Corundum</i>	0.00	0.00	0.00	0.00	0.00	0.00	0.00	0.00	0.00	0.00	0.00
<i>Dioptaz</i>	0.00	0.00	0.00	0.00	0.00	0.00	0.00	0.00	0.00	0.00	0.00
<i>Epidotes</i>	0.00	0.54	0.00	1.08	0.00	0.00	44.80	25.20	0.27	0.27	0.54
<i>Flourite</i>	0.00	0.00	0.00	0.00	0.00	0.00	0.00	0.00	0.00	0.00	0.00
<i>Galena</i>	0.01	0.00	0.01	0.00	0.01	0.00	0.00	0.00	0.01	0.01	0.01
<i>Garnets</i>	16.00	10.51	0.00	12.34	0.01	5.28	8.53	7.20	13.25	5.25	6.17
<i>Gold</i>	0.00	0.00	0.00	0.00	0.00	0.00	0.00	0.00	0.00	0.00	0.00
<i>Hematite</i>	84.16	59.75	37.87	48.69	104.15	555.46	56.11	47.34	71.95	48.81	43.28
<i>Ilmenite</i>	0.00	21.73	0.00	0.00	23.27	0.00	10.03	0.85	10.86	10.86	0.00
<i>Kyanite</i>	0.00	0.00	0.00	0.00	0.00	0.00	0.00	0.04	0.00	0.00	0.00
<i>Leucoxene</i>	0.07	0.01	0.00	0.00	0.00	0.00	0.00	0.00	0.04	0.00	0.00
<i>Light minerals</i>	8.04	0.15	28.83	6.21	0.00	0.15	0.01	0.01	4.10	14.49	17.52
<i>Limonite</i>	0.00	0.00	0.00	10.80	69.30	4.62	0.00	0.00	0.00	0.00	5.40
<i>Litharge</i>	0.00	0.00	0.00	0.00	0.00	0.00	0.00	0.00	0.00	0.00	0.00
<i>Magnetite</i>	1.15	0.01	0.69	0.89	2.85	3.80	44.20	8.29	0.58	0.35	0.79
<i>Malachite</i>	0.00	0.00	0.00	0.00	0.00	0.00	0.00	0.00	0.00	0.00	0.00
<i>Martite</i>	0.00	0.00	0.00	0.00	0.00	68.38	0.00	0.00	0.00	0.00	0.00
<i>Mimetite</i>	0.00	0.00	0.00	0.00	0.00	0.00	0.00	0.00	0.00	0.00	0.00
<i>Monazite</i>	0.00	0.00	0.00	0.00	0.00	0.00	0.00	0.00	0.00	0.00	0.00
<i>Native copper</i>	0.00	0.00	0.00	0.01	0.00	0.01	0.00	0.00	0.00	0.00	0.01

جدول (۶-۵): نتایج حاصل از مطالعه نمونه‌های کانی سنگین در محدوده ۱:۲۵۰۰۰ فیروزان

FIELD NO.	NA-35	NA-36	NA-37	NA-38	NA-40	NA-48	NA-53	NA-56	NA-57	NA-60	NA-68
<i>Native lead</i>	0.00	0.00	0.00	0.00	0.00	0.00	0.00	0.00	0.00	0.00	0.00
<i>Oligiste</i>	20.80	0.14	0.00	0.00	0.00	0.00	1.11	0.94	10.47	0.07	0.00
<i>Olivine</i>	0.00	0.09	0.00	0.00	0.00	0.00	0.70	0.00	0.05	0.05	0.00
<i>Orpiment</i>	0.00	0.00	0.00	0.00	0.00	0.00	0.00	0.00	0.00	0.00	0.00
<i>Pyrite</i>	0.11	0.00	0.00	0.01	0.00	0.01	0.00	0.01	0.06	0.00	0.01
<i>Pyrite Limonite</i>	0.00	0.00	0.00	0.00	0.00	0.00	0.00	0.00	0.00	0.00	0.00
<i>Pyrite oxide</i>	60.00	23.79	24.00	15.43	49.50	132.00	10.67	9.00	41.90	23.90	19.71
<i>Pyrolusite</i>	18.00	1.77	0.00	13.89	0.01	0.01	0.01	0.00	9.88	0.88	6.94
<i>Pyromorphite</i>	0.00	0.00	0.00	0.00	0.00	0.00	0.00	0.00	0.00	0.00	0.00
<i>Pyroxenes</i>	36.00	7.09	7.20	27.77	14.85	39.60	0.64	5.40	21.54	7.14	17.49
<i>Rutile</i>	0.09	0.29	0.05	0.07	2.20	0.29	0.01	0.01	0.19	0.17	0.06
<i>Scheelite</i>	0.00	0.00	0.00	0.00	0.00	0.00	0.00	0.00	0.00	0.00	0.00
<i>Sillimanite</i>	0.00	0.03	0.00	0.01	0.00	0.00	0.01	0.03	0.01	0.01	0.01
<i>Sphalerite</i>	0.00	0.00	0.00	0.00	0.00	0.00	0.00	0.00	0.00	0.00	0.00
<i>Sphene</i>	0.08	0.01	0.01	0.06	0.01	0.26	0.01	0.01	0.04	0.01	0.04
<i>Spinel</i>	0.00	0.00	0.00	0.00	0.00	0.00	0.00	0.00	0.00	0.00	0.00
<i>Staurolite</i>	0.00	0.00	0.00	0.00	0.01	0.00	0.00	0.00	0.00	0.00	0.00
<i>Zircon</i>	0.10	1.60	0.06	0.08	49.50	0.33	0.01	0.05	0.85	0.83	0.07

جدول (۶-۵): نتایج حاصل از مطالعه نمونه‌های کانی سنگین در محدوده ۱:۲۵۰۰۰ فیروزان

<i>FIELD NO.</i>	<i>NA-69</i>	<i>NA-81</i>	<i>NA-82</i>	<i>NA-85</i>	<i>NA-88</i>
<i>Total Volume cc A</i>	5500	5800	7500	7800	8300
<i>Panned Volume cc B</i>	7	9	8	6	7
<i>Study Volume cc C</i>	7	9	8	6	7
<i>Heavy Volume cc Y</i>	2	4	3	1	1
<i>Altered minerals</i>	69.37	165.11	141.31	36.52	32.91
<i>Amphiboles</i>	24.11	34.65	20.12	3.02	6.20
<i>Anatase</i>	0.01	0.01	0.01	0.01	0.01
<i>Andalusite</i>	0.00	0.00	0.01	0.01	0.01
<i>Apatite</i>	24.78	24.86	0.12	0.02	0.19
<i>Azorite</i>	1.10	1.10	0.00	0.00	0.00
<i>Barite</i>	24.79	24.92	0.17	0.03	0.37
<i>Biotite</i>	19.48	34.65	19.80	5.40	9.57
<i>Brookite</i>	0.00	0.00	0.00	0.00	0.00
<i>Ca,Carbonate</i>	67.51	67.17	0.10	0.01	0.12
<i>Cassiterite</i>	0.00	0.00	0.00	0.00	0.00
<i>Cerussite</i>	0.00	0.00	0.00	0.00	0.00
<i>Chalcopyrite</i>	0.00	0.00	0.00	0.00	0.00
<i>Chlorite</i>	0.00	0.00	0.00	0.00	0.00
<i>Chromite</i>	0.00	0.00	0.00	0.00	0.00
<i>Cinnabar</i>	0.00	0.00	0.00	0.00	0.00

جدول (۶-۵): نتایج حاصل از مطالعه نمونه‌های کانی‌سنگین در محدوده ۱:۲۵۰۰۰ فیروزان

<i>FIELD NO.</i>	<i>NA-69</i>	<i>NA-81</i>	<i>NA-82</i>	<i>NA-85</i>	<i>NA-88</i>
<i>Corundum</i>	0.00	0.00	0.00	0.00	0.00
<i>Dioptaz</i>	0.00	0.00	0.00	0.00	0.00
<i>Epidotes</i>	0.54	0.00	22.40	35.00	12.74
<i>Flourite</i>	0.00	0.00	0.00	0.00	0.00
<i>Galena</i>	0.01	0.01	0.00	0.00	0.00
<i>Garnets</i>	6.18	2.65	6.91	7.87	10.23
<i>Gold</i>	0.00	0.00	0.00	0.00	0.00
<i>Hematite</i>	76.42	329.80	305.78	51.72	59.65
<i>Ilmenite</i>	11.63	11.63	5.01	5.44	5.85
<i>Kyanite</i>	0.00	0.00	0.00	0.02	0.02
<i>Leucoxene</i>	0.00	0.00	0.00	0.00	0.02
<i>Light minerals</i>	3.10	0.07	0.08	0.01	2.05
<i>Limonite</i>	40.05	36.96	2.31	0.00	0.00
<i>Litharge</i>	0.00	0.00	0.00	0.00	0.00
<i>Magnetite</i>	1.87	3.32	24.00	26.25	4.43
<i>Malachite</i>	0.00	0.00	0.00	0.00	0.00
<i>Martite</i>	0.00	34.19	34.19	0.00	0.00
<i>Mimetite</i>	0.00	0.00	0.00	0.00	0.00
<i>Monazite</i>	0.00	0.00	0.00	0.00	0.00
<i>Native copper</i>	0.01	0.01	0.01	0.00	0.00

جدول (۶-۵): نتایج حاصل از مطالعه نمونه‌های کانی‌سنگین در محدوده ۱:۲۵۰۰۰ فیروزان

<i>FIELD NO.</i>	<i>NA-69</i>	<i>NA-81</i>	<i>NA-82</i>	<i>NA-85</i>	<i>NA-88</i>
<i>Native lead</i>	0.00	0.00	0.00	0.00	0.00
<i>Oligiste</i>	0.00	0.00	0.55	1.02	5.70
<i>Olivine</i>	0.00	0.00	0.35	0.35	0.02
<i>Orpiment</i>	0.00	0.00	0.00	0.00	0.00
<i>Pyrite</i>	0.01	0.01	0.01	0.01	0.03
<i>Pyrite Limonite</i>	0.00	0.00	0.00	0.00	0.00
<i>Pyrite oxide</i>	32.46	90.75	71.33	9.83	25.45
<i>Pyrolusite</i>	6.95	0.01	0.01	0.01	4.94
<i>Pyromorphite</i>	0.00	0.00	0.00	0.00	0.00
<i>Pyroxenes</i>	21.31	27.23	20.12	3.02	13.47
<i>Rutile</i>	1.13	1.25	0.15	0.01	0.10
<i>Scheelite</i>	0.00	0.00	0.00	0.00	0.00
<i>Sillimanite</i>	0.01	0.00	0.01	0.02	0.02
<i>Sphalerite</i>	0.00	0.00	0.00	0.00	0.00
<i>Sphene</i>	0.04	0.13	0.13	0.01	0.03
<i>Spinel</i>	0.00	0.00	0.00	0.00	0.00
<i>Staurolite</i>	0.01	0.01	0.00	0.00	0.00
<i>Zircon</i>	24.79	24.92	0.17	0.03	0.45

نتایج آنالیز نمونه‌های برداشتی از محدوده ۱:۲۵۰۰۰ فیروزان

<i>NAHAVAND</i>	<i>Ag</i>	<i>Al</i>	<i>As</i>	<i>Au</i>	<i>B</i>	<i>Ba</i>	<i>Be</i>	<i>Bi</i>	<i>Ca</i>
<i>UNITS</i>	<i>ppm</i>	<i>ppm</i>	<i>ppm</i>	<i>ppb</i>	<i>ppm</i>	<i>ppm</i>	<i>ppm</i>	<i>ppm</i>	<i>ppm</i>
<i>DETECTION</i>	<i>0.01</i>	<i>10</i>	<i>0.5</i>	<i>1</i>	<i>0.5</i>	<i>0.2</i>	<i>0.2</i>	<i>0.1</i>	<i>10</i>
<i>METHOD</i>	<i>IC3E</i>	<i>IC3E</i>	<i>IC3E</i>	<i>PM01</i>	<i>IC3E</i>	<i>IC3E</i>	<i>IC3E</i>	<i>IC3E</i>	<i>IC3E</i>
<i>NA-01</i>	0.56	73400	12.4	1	0.0	526.0	1.4	1.7	34800
<i>NA-02</i>	0.27	51300	8.6	2	0.0	181.0	1.0	1.2	145000
<i>NA-03</i>	0.54	83400	12.2	2	0.0	638.0	1.9	1.0	29000
<i>NA-04</i>	0.49	78300	11.5	1	0.0	615.0	1.6	0.8	30300
<i>NA-05</i>	0.40	75500	4.8	7	0.0	607.0	1.5	0.3	5530
<i>NA-06</i>	0.18	75100	4.9	16	0.0	695.0	1.4	0.1	2750
<i>NA-07</i>	0.52	80850	11.9	2	0.0	626.5	1.8	0.9	29650
<i>NA-08</i>	0.45	76900	8.2	4	0.0	611.0	1.6	0.6	17920
<i>NA-09</i>	0.29	75300	4.9	12	0.0	651.0	1.5	0.2	4140
<i>NA-10</i>	0.43	78000	10.2	2	0.0	629.0	1.6	0.5	22800
<i>NA-11</i>	0.23	87600	5.6	0	0.0	737.0	1.9	0.3	3940
<i>NA-12</i>	0.33	82800	7.9	1	0.0	683.0	1.8	0.4	13370
<i>NA-13</i>	0.46	82900	14.2	2	0.0	667.0	1.8	0.8	27200
<i>NA-14</i>	0.40	82850	11.1	2	0.0	675.0	1.8	0.6	20290
<i>NA-15</i>	0.51	87700	18.7	1	0.0	716.0	1.8	0.6	14700
<i>NA-16</i>	0.40	81900	14.5	1	0.0	668.0	1.6	0.5	20400
<i>NA-17</i>	0.46	84800	16.6	1	0.0	692.0	1.7	0.6	17550
<i>NA-18</i>	0.18	26000	9.5	2	0.0	113.0	0.5	0.3	190000
<i>NA-19</i>	0.32	55400	13.1	2	0.0	402.5	1.1	0.4	103780
<i>NA-20</i>	0.67	79200	16.4	1	0.0	721.0	1.7	0.4	10000
<i>NA-21</i>	0.45	90500	20.6	1	0.0	821.0	2.0	0.4	13800
<i>NA-22</i>	0.40	82700	18.9	1	0.0	673.0	1.7	0.7	20200
<i>NA-23</i>	5.19	87400	71.5	1	0.0	682.0	1.8	11.1	18300
<i>NA-24</i>	0.67	77300	20.0	1	0.0	680.0	1.7	0.3	9630
<i>NA-25</i>	0.32	55400	13.1	2	0.0	402.5	1.1	0.4	103780
<i>NA-26</i>	0.39	53530	13.0	2	0.0	412.2	1.1	0.4	101260
<i>NA-27</i>	0.48	75030	16.7	1	0.0	648.2	1.6	0.4	42530

نتایج آنالیز نمونه‌های برداشتی از محدوده ۱:۲۵۰۰۰ فیروزان

<i>NAHAVAND</i>	<i>Ag</i>	<i>Al</i>	<i>As</i>	<i>Au</i>	<i>B</i>	<i>Ba</i>	<i>Be</i>	<i>Bi</i>	<i>Ca</i>
<i>UNITS</i>	<i>ppm</i>	<i>ppm</i>	<i>ppm</i>	<i>ppb</i>	<i>ppm</i>	<i>ppm</i>	<i>ppm</i>	<i>ppm</i>	<i>ppm</i>
<i>DETECTION</i>	<i>0.01</i>	<i>10</i>	<i>0.5</i>	<i>1</i>	<i>0.5</i>	<i>0.2</i>	<i>0.2</i>	<i>0.1</i>	<i>10</i>
<i>METHOD</i>	<i>IC3E</i>	<i>IC3E</i>	<i>IC3E</i>	<i>PM01</i>	<i>IC3E</i>	<i>IC3E</i>	<i>IC3E</i>	<i>IC3E</i>	<i>IC3E</i>
<i>NA-28</i>	0.51	84130	18.6	1	0.0	738.3	1.8	0.5	14670
<i>NA-29</i>	2.01	86870	37.0	1	0.0	725.3	1.8	4.1	17430
<i>NA-30</i>	2.09	82470	36.8	1	0.0	678.3	1.7	4.0	16040
<i>NA-31</i>	0.64	78900	49.8	2	0.0	676.0	1.8	0.4	18600
<i>NA-32</i>	0.42	78400	37.4	1	0.0	667.0	1.9	0.5	34300
<i>NA-33</i>	0.51	84900	63.8	1	0.0	877.0	2.2	0.4	10200
<i>NA-34</i>	0.46	90600	82.3	2	0.0	784.0	2.1	0.3	11300
<i>NA-35</i>	0.60	96400	21.5	2	0.0	747.0	2.1	0.2	21900
<i>NA-36</i>	0.53	93500	51.9	2	0.0	765.5	2.1	0.3	16600
<i>NA-37</i>	0.63	84600	26.2	2	0.0	711.0	2.1	0.2	6710
<i>NA-38</i>	0.62	83300	28.5	3	0.0	640.0	1.8	0.1	15300
<i>NA-39</i>	0.59	81700	25.2	2	0.0	613.0	1.7	0.1	21000
<i>NA-40</i>	0.10	37800	16.7	2	0.0	273.0	0.8	0.2	191000
<i>NA-41</i>	0.47	71600	11.2	2	0.0	490.0	1.5	1.2	59780
<i>NA-42</i>	0.43	72130	9.3	3	0.0	510.3	1.5	0.8	52460
<i>NA-43</i>	0.40	78080	8.4	7	0.0	638.8	1.6	0.6	16900
<i>NA-44</i>	0.40	77440	8.3	6	0.0	635.9	1.6	0.5	17060
<i>NA-45</i>	0.39	77090	7.4	7	0.0	634.9	1.6	0.5	13960
<i>NA-46</i>	0.36	77040	7.4	8	0.0	645.9	1.5	0.4	13610
<i>NA-47</i>	0.42	77760	8.8	5	0.0	629.4	1.6	0.5	18630
<i>NA-48</i>	0.35	79450	7.2	4	0.0	657.0	1.6	0.4	12200
<i>NA-49</i>	0.32	80930	7.1	4	0.0	675.0	1.7	0.4	11060
<i>NA-50</i>	0.36	82830	9.5	1	0.0	679.0	1.8	0.5	16830
<i>NA-51</i>	0.35	84040	9.7	1	0.0	690.5	1.8	0.5	16200
<i>NA-52</i>	0.42	84060	13.0	1	0.0	685.3	1.8	0.6	18890
<i>NA-53</i>	0.44	83840	14.6	1	0.0	681.5	1.7	0.6	20650
<i>NA-54</i>	0.44	84310	15.2	1	0.0	687.8	1.7	0.6	18230

نتایج آنالیز نمونه‌های برداشتی از محدوده ۱:۲۵۰۰۰ فیروزان

<i>NAHAVAND</i>	<i>Ag</i>	<i>Al</i>	<i>As</i>	<i>Au</i>	<i>B</i>	<i>Ba</i>	<i>Be</i>	<i>Bi</i>	<i>Ca</i>
<i>UNITS</i>	<i>ppm</i>	<i>ppm</i>	<i>ppm</i>	<i>ppb</i>	<i>ppm</i>	<i>ppm</i>	<i>ppm</i>	<i>ppm</i>	<i>ppm</i>
<i>DETECTION</i>	<i>0.01</i>	<i>10</i>	<i>0.5</i>	<i>1</i>	<i>0.5</i>	<i>0.2</i>	<i>0.2</i>	<i>0.1</i>	<i>10</i>
<i>METHOD</i>	<i>IC3E</i>	<i>IC3E</i>	<i>IC3E</i>	<i>PM01</i>	<i>IC3E</i>	<i>IC3E</i>	<i>IC3E</i>	<i>IC3E</i>	<i>IC3E</i>
<i>NA-55</i>	0.39	70100	14.8	1	0.0	547.3	1.4	0.5	60660
<i>NA-56</i>	0.34	62030	13.4	1	0.0	468.9	1.2	0.4	82930
<i>NA-57</i>	0.41	61350	13.9	1	0.0	482.1	1.3	0.4	80330
<i>NA-58</i>	0.40	62780	14.9	1	0.0	514.4	1.3	0.4	79390
<i>NA-59</i>	0.46	76950	17.2	1	0.0	654.4	1.6	0.5	36940
<i>NA-60</i>	1.68	84950	31.9	1	0.0	724.3	1.8	3.2	15580
<i>NA-61</i>	1.68	84480	32.8	1	0.0	714.0	1.8	3.1	15480
<i>NA-62</i>	1.64	75700	30.9	1	0.0	609.4	1.6	3.1	37980
<i>NA-63</i>	1.64	68410	29.4	1	0.0	544.2	1.4	3.1	58240
<i>NA-64</i>	0.46	65320	15.7	1	0.0	535.7	1.4	0.4	64300
<i>NA-65</i>	0.42	67030	15.3	1	0.0	550.3	1.4	0.4	65560
<i>NA-66</i>	0.85	74890	21.3	1	0.0	631.0	1.6	1.3	43970
<i>NA-67</i>	1.27	82130	27.3	1	0.0	697.5	1.7	2.3	22670
<i>NA-68</i>	1.31	83090	35.6	1	0.0	704.5	1.8	2.3	16690
<i>NA-69</i>	1.29	81660	40.3	1	0.0	686.7	1.8	2.3	21590
<i>NA-70</i>	0.91	81170	47.0	1	0.0	724.6	1.9	1.3	19790
<i>NA-71</i>	0.51	83200	58.3	2	0.0	751.0	2.0	0.4	18600
<i>NA-72</i>	0.50	87580	51.3	2	0.0	768.8	2.1	0.4	19430
<i>NA-73</i>	0.53	91350	54.9	2	0.0	793.4	2.1	0.3	15000
<i>NA-74</i>	0.56	91280	45.5	2	0.0	751.9	2.1	0.2	14130
<i>NA-75</i>	0.60	89450	32.0	2	0.0	715.9	2.0	0.2	15130
<i>NA-76</i>	0.59	85780	33.0	2	0.0	682.4	1.9	0.2	14900
<i>NA-77</i>	0.49	71850	24.2	2	0.0	559.3	1.6	0.2	58500
<i>NA-78</i>	0.44	68600	20.4	2	0.0	504.0	1.4	0.4	71770
<i>NA-79</i>	0.40	65810	15.6	2	0.0	471.6	1.4	0.6	81060
<i>NA-80</i>	0.35	64900	11.4	3	0.0	478.0	1.3	0.7	80030
<i>NA-81</i>	0.42	74810	9.3	4	0.0	568.7	1.5	0.8	36550

نتایج آنالیز نمونه‌های برداشتی از محدوده ۱:۲۵۰۰۰ فیروزان

<i>NAHAVAND</i>	<i>Ag</i>	<i>Al</i>	<i>As</i>	<i>Au</i>	<i>B</i>	<i>Ba</i>	<i>Be</i>	<i>Bi</i>	<i>Ca</i>
<i>UNITS</i>	<i>ppm</i>	<i>ppm</i>	<i>ppm</i>	<i>ppb</i>	<i>ppm</i>	<i>ppm</i>	<i>ppm</i>	<i>ppm</i>	<i>ppm</i>
<i>DETECTION</i>	<b>0.01</b>	<b>10</b>	<b>0.5</b>	<b>1</b>	<b>0.5</b>	<b>0.2</b>	<b>0.2</b>	<b>0.1</b>	<b>10</b>
<i>METHOD</i>	<b><i>IC3E</i></b>	<b><i>IC3E</i></b>	<b><i>IC3E</i></b>	<b><i>PM01</i></b>	<b><i>IC3E</i></b>	<b><i>IC3E</i></b>	<b><i>IC3E</i></b>	<b><i>IC3E</i></b>	<b><i>IC3E</i></b>
<i>NA-82</i>	0.40	76180	8.3	6	0.0	604.9	1.6	0.6	25090
<i>NA-83</i>	0.39	77410	7.9	7	0.0	638.8	1.6	0.5	15380
<i>NA-84</i>	0.39	77330	8.0	7	0.0	636.5	1.6	0.5	15810
<i>NA-85</i>	0.38	77830	7.7	6	0.0	641.8	1.6	0.5	14600
<i>NA-86</i>	0.36	78790	7.6	5	0.0	651.8	1.6	0.4	13880
<i>NA-87</i>	0.36	80240	8.1	4	0.0	660.1	1.7	0.4	14680
<i>NA-88</i>	0.35	81810	8.4	3	0.0	675.4	1.7	0.4	14070

نتایج آنالیز نمونه‌های برداشتی از محدوده ۱:۲۵۰۰۰ فیروزان

<i>NAHAVAND</i>	<i>Cd</i>	<i>Ce</i>	<i>Co</i>	<i>Cr</i>	<i>Cs</i>	<i>Cu</i>	<i>Fe</i>	<i>Hg</i>	<i>K</i>
<i>UNITS</i>	<i>ppm</i>								
<i>DETECTION</i>	<i>0.1</i>	<i>0.5</i>	<i>0.2</i>	<i>2</i>	<i>0.1</i>	<i>0.2</i>	<i>100</i>	<i>0.05</i>	<i>10</i>
<i>METHOD</i>	<i>IC3E</i>								
<i>NA-01</i>	0.2	48.7	8.1	19	4.4	29.2	24000	0.07	31300
<i>NA-02</i>	0.2	42.1	11.9	48	3.4	27.0	26400	0.06	14000
<i>NA-03</i>	0.2	51.8	8.8	26	5.0	26.4	29600	0.06	35600
<i>NA-04</i>	0.2	49.4	7.6	14	4.7	25.0	25800	0.00	36800
<i>NA-05</i>	0.1	49.3	6.4	20	2.5	22.6	20900	0.00	29800
<i>NA-06</i>	0.0	44.5	3.9	7	2.8	17.8	15600	0.08	37700
<i>NA-07</i>	0.2	50.6	8.2	20	4.9	25.7	27700	0.03	36200
<i>NA-08</i>	0.2	49.4	7.0	17	3.6	23.8	23300	0.00	33300
<i>NA-09</i>	0.1	46.9	5.2	14	2.7	20.2	18200	0.04	33750
<i>NA-10</i>	0.2	49.1	7.5	15	5.2	24.3	26700	0.00	37900
<i>NA-11</i>	0.2	44.6	4.4	33	2.6	22.5	19000	0.00	42300
<i>NA-12</i>	0.2	46.9	6.0	24	3.9	23.4	22800	0.00	40100
<i>NA-13</i>	0.2	55.3	9.1	12	4.4	32.2	31600	0.00	33400
<i>NA-14</i>	0.2	51.1	7.5	18	4.2	27.8	27200	0.00	36750
<i>NA-15</i>	0.4	54.1	10.1	24	3.6	39.8	32600	0.00	35200
<i>NA-16</i>	0.3	46.7	8.0	16	3.1	33.5	27000	0.00	35200
<i>NA-17</i>	0.4	50.4	9.1	20	3.4	36.7	29800	0.00	35200
<i>NA-18</i>	0.3	29.5	8.7	27	2.2	16.2	14800	0.00	8240
<i>NA-19</i>	0.3	40.0	8.9	24	2.8	26.4	22300	0.00	21720
<i>NA-20</i>	0.4	50.8	9.0	18	3.4	40.8	29500	0.00	33600
<i>NA-21</i>	0.3	51.6	10.1	40	3.4	40.9	33300	0.00	38200
<i>NA-22</i>	0.5	47.4	9.5	18	3.4	44.1	31400	0.00	33300
<i>NA-23</i>	0.2	0.0	9.1	37	0.0	6.4	30600	0.08	36000
<i>NA-24</i>	0.4	52.9	8.6	16	3.8	35.0	27400	0.00	36300
<i>NA-25</i>	0.3	40.0	8.9	24	2.8	26.4	22300	0.00	21720
<i>NA-26</i>	0.3	40.1	8.9	23	2.8	27.8	22200	0.00	21190
<i>NA-27</i>	0.3	47.5	9.3	27	3.2	36.0	28400	0.00	31170

نتایج آنالیز نمونه‌های برداشتی از محدوده ۱:۲۵۰۰۰ فیروزان

<i>NAHAVAND</i>	<i>Cd</i>	<i>Ce</i>	<i>Co</i>	<i>Cr</i>	<i>Cs</i>	<i>Cu</i>	<i>Fe</i>	<i>Hg</i>	<i>K</i>
<i>UNITS</i>	<i>ppm</i>								
<i>DETECTION</i>	<i>0.1</i>	<i>0.5</i>	<i>0.2</i>	<i>2</i>	<i>0.1</i>	<i>0.2</i>	<i>100</i>	<i>0.05</i>	<i>10</i>
<i>METHOD</i>	<i>IC3E</i>								
<i>NA-28</i>	0.4	49.9	9.5	25	3.4	41.9	31400	0.00	35030
<i>NA-29</i>	0.3	33.0	9.6	32	2.3	30.5	31800	0.03	35830
<i>NA-30</i>	0.4	33.4	9.1	24	2.4	28.5	29800	0.03	35200
<i>NA-31</i>	0.7	53.0	9.1	17	4.7	44.9	27400	0.00	37200
<i>NA-32</i>	0.3	49.3	7.2	10	4.0	33.5	23000	0.00	36100
<i>NA-33</i>	0.9	58.0	9.7	17	4.7	52.1	33400	0.00	42000
<i>NA-34</i>	0.9	55.6	10.4	19	5.8	46.5	33800	0.00	44400
<i>NA-35</i>	1.2	57.3	13.3	30	4.7	48.5	39000	0.00	45600
<i>NA-36</i>	1.1	56.5	11.9	25	5.3	47.5	36400	0.00	45000
<i>NA-37</i>	0.5	53.0	8.7	45	5.2	32.8	30200	0.00	49500
<i>NA-38</i>	0.2	49.7	10.1	17	5.3	32.0	30300	0.00	44900
<i>NA-39</i>	0.2	50.2	9.8	12	5.2	28.8	30100	0.00	40800
<i>NA-40</i>	0.3	34.0	11.0	53	3.0	26.5	23000	0.00	11700
<i>NA-41</i>	0.2	48.0	9.1	27	4.4	26.9	26500	0.05	29430
<i>NA-42</i>	0.2	48.2	8.7	27	3.9	25.3	25700	0.03	29050
<i>NA-43</i>	0.1	48.8	6.7	17	3.8	23.0	23000	0.04	34980
<i>NA-44</i>	0.1	48.5	6.5	15	3.7	22.8	22500	0.03	35130
<i>NA-45</i>	0.1	48.4	6.4	16	3.4	22.5	21900	0.03	34250
<i>NA-46</i>	0.1	47.8	6.1	14	3.5	21.9	21200	0.04	35240
<i>NA-47</i>	0.2	49.0	7.0	16	4.1	23.5	24000	0.02	35290
<i>NA-48</i>	0.2	47.5	6.0	20	3.5	22.7	21800	0.01	36810
<i>NA-49</i>	0.2	46.9	5.8	21	3.6	22.6	21700	0.01	38510
<i>NA-50</i>	0.2	49.0	6.7	21	4.0	25.6	25000	0.00	38430
<i>NA-51</i>	0.2	49.5	6.7	22	3.8	26.5	25200	0.00	38140
<i>NA-52</i>	0.3	51.8	8.2	20	4.0	30.8	28600	0.00	36360
<i>NA-53</i>	0.3	51.8	8.7	18	3.8	33.3	29600	0.00	35140
<i>NA-54</i>	0.3	50.6	8.7	20	3.6	34.4	29200	0.00	35590

نتایج آنالیز نمونه‌های برداشتی از محدوده ۱:۲۵۰۰۰ فیروزان

<i>NAHAVAND</i>	<i>Cd</i>	<i>Ce</i>	<i>Co</i>	<i>Cr</i>	<i>Cs</i>	<i>Cu</i>	<i>Fe</i>	<i>Hg</i>	<i>K</i>
<i>UNITS</i>	<i>ppm</i>								
<i>DETECTION</i>	<i>0.1</i>	<i>0.5</i>	<i>0.2</i>	<i>2</i>	<i>0.1</i>	<i>0.2</i>	<i>100</i>	<i>0.05</i>	<i>10</i>
<i>METHOD</i>	<i>IC3E</i>								
<i>NA-55</i>	0.3	45.2	9.0	22	3.1	31.5	26100	0.00	28460
<i>NA-56</i>	0.3	41.6	8.7	22	2.9	28.2	23500	0.00	25090
<i>NA-57</i>	0.3	42.7	8.9	22	2.9	30.0	24100	0.00	24690
<i>NA-58</i>	0.3	43.0	9.2	27	2.9	31.1	25000	0.00	25440
<i>NA-59</i>	0.4	47.4	9.4	25	3.2	38.1	29100	0.00	31710
<i>NA-60</i>	0.4	37.5	9.4	28	2.6	33.1	31200	0.02	35280
<i>NA-61</i>	0.4	38.0	9.3	28	2.7	31.6	30700	0.02	35950
<i>NA-62</i>	0.4	35.1	9.0	24	2.5	28.0	27900	0.02	31830
<i>NA-63</i>	0.3	33.2	8.9	25	2.3	23.9	25600	0.02	28800
<i>NA-64</i>	0.4	45.1	8.9	22	3.1	31.3	25100	0.00	27600
<i>NA-65</i>	0.4	44.4	9.1	25	3.0	33.1	26100	0.00	27280
<i>NA-66</i>	0.4	42.6	9.3	27	2.9	34.1	28400	0.01	30810
<i>NA-67</i>	0.4	41.0	9.4	27	2.8	34.2	30300	0.01	34310
<i>NA-68</i>	0.5	42.3	9.3	24	3.2	36.5	30100	0.01	35820
<i>NA-69</i>	0.4	42.2	8.7	21	3.3	34.3	28000	0.01	36080
<i>NA-70</i>	0.6	48.4	8.8	17	4.0	39.8	28400	0.01	37630
<i>NA-71</i>	0.7	54.0	9.1	16	4.8	44.3	29400	0.00	39930
<i>NA-72</i>	0.8	55.1	10.2	19	4.8	45.2	32300	0.00	42030
<i>NA-73</i>	1.0	56.8	11.3	23	5.1	48.7	35700	0.00	44250
<i>NA-74</i>	0.9	55.6	11.1	30	5.2	43.8	34900	0.00	46130
<i>NA-75</i>	0.7	54.1	11.0	29	5.1	40.2	34000	0.00	46250
<i>NA-76</i>	0.5	52.3	10.1	25	5.2	35.3	31800	0.00	45050
<i>NA-77</i>	0.3	46.7	9.9	32	4.7	30.0	28400	0.00	36730
<i>NA-78</i>	0.2	45.5	10.0	27	4.5	28.6	27500	0.01	31710
<i>NA-79</i>	0.2	45.1	9.6	30	4.1	26.9	26300	0.02	27740
<i>NA-80</i>	0.2	44.7	8.9	31	3.8	25.4	24500	0.03	26290
<i>NA-81</i>	0.2	48.3	7.7	21	3.9	24.5	24400	0.04	32140

نتایج آنالیز نمونه‌های برداشتی از محدوده ۱:۲۵۰۰۰ فیروزان

<i>NAHAVAND</i>	<i>Cd</i>	<i>Ce</i>	<i>Co</i>	<i>Cr</i>	<i>Cs</i>	<i>Cu</i>	<i>Fe</i>	<i>Hg</i>	<i>K</i>
<i>UNITS</i>	<i>ppm</i>								
<i>DETECTION</i>	<i>0.1</i>	<i>0.5</i>	<i>0.2</i>	<i>2</i>	<i>0.1</i>	<i>0.2</i>	<i>100</i>	<i>0.05</i>	<i>10</i>
<i>METHOD</i>	<i>IC3E</i>								
<i>NA-82</i>	0.1	48.4	7.1	19	3.7	23.4	23300	0.03	33350
<i>NA-83</i>	0.1	48.4	6.4	16	3.6	22.5	22100	0.03	34900
<i>NA-84</i>	0.1	48.4	6.5	16	3.7	22.7	22400	0.03	34980
<i>NA-85</i>	0.1	48.2	6.4	17	3.6	22.6	22200	0.02	35400
<i>NA-86</i>	0.1	47.8	6.2	18	3.7	22.7	22200	0.02	36460
<i>NA-87</i>	0.2	48.1	6.4	20	3.8	23.6	23100	0.01	37260
<i>NA-88</i>	0.2	48.2	6.3	21	3.7	24.3	23400	0.01	37970

نتایج آنالیز نمونه‌های برداشتی از محدوده ۱:۲۵۰۰۰ فیروزان

<i>NAHAVAND</i>	<i>La</i>	<i>Li</i>	<i>Mg</i>	<i>Mn</i>	<i>Mo</i>	<i>Na</i>	<i>Nb</i>	<i>Ni</i>	<i>P</i>
<i>UNITS</i>	<i>ppm</i>								
<i>DETECTION</i>	<i>10</i>	<i>0.5</i>	<i>10</i>	<i>2</i>	<i>0.1</i>	<i>10</i>	<i>0.5</i>	<i>2</i>	<i>5</i>
<i>METHOD</i>	<i>IC3E</i>								
<i>NA-01</i>	23	17.6	9370	974	1.4	17800	10.2	23	523
<i>NA-02</i>	20	41.9	18600	488	1.0	3610	6.1	46	378
<i>NA-03</i>	28	20.2	12700	1050	1.0	21000	11.8	31	617
<i>NA-04</i>	25	18.8	11300	962	0.7	19300	11.0	20	599
<i>NA-05</i>	28	14.1	6560	851	0.7	26300	11.2	18	327
<i>NA-06</i>	25	10.6	4420	574	0.7	27600	10.7	8	265
<i>NA-07</i>	27	19.5	12000	1006	0.9	20150	11.4	26	608
<i>NA-08</i>	27	16.5	8930	907	0.7	22800	11.1	19	463
<i>NA-09</i>	27	12.4	5490	713	0.7	26950	11.0	13	296
<i>NA-10</i>	25	18.9	9320	1010	0.6	18300	9.8	22	568
<i>NA-11</i>	25	14.4	5160	679	2.4	28800	11.1	13	340
<i>NA-12</i>	25	16.7	7240	845	1.5	23550	10.5	18	454
<i>NA-13</i>	29	20.4	9290	1320	0.8	19100	11.3	20	471
<i>NA-14</i>	27	18.5	8260	1082	1.2	21320	10.9	19	463
<i>NA-15</i>	27	22.7	10100	1830	0.9	21300	12.2	29	534
<i>NA-16</i>	25	19.6	8720	1410	0.9	20600	10.3	25	470
<i>NA-17</i>	26	21.2	9410	1620	0.9	20950	11.3	27	502
<i>NA-18</i>	14	14.7	11400	378	1.2	1700	4.6	36	406
<i>NA-19</i>	20	17.9	10400	999	1.1	11320	7.9	32	454
<i>NA-20</i>	24	21.1	9620	1730	1.1	17100	11.1	26	485
<i>NA-21</i>	28	21.9	10200	2020	1.5	24100	11.8	24	489
<i>NA-22</i>	26	21.2	9170	1590	1.5	20300	10.5	24	522
<i>NA-23</i>	28	22.6	10100	1620	8.5	20200	0.0	27	493
<i>NA-24</i>	25	16.9	7800	1450	1.1	18100	12.0	24	437
<i>NA-25</i>	20	17.9	10400	999	1.1	11320	7.9	32	454
<i>NA-26</i>	19	17.9	10470	1036	1.1	10040	7.9	31	448
<i>NA-27</i>	24	20.3	10070	1583	1.2	17510	10.3	27	476

نتایج آنالیز نمونه‌های برداشتی از محدوده ۱:۲۵۰۰۰ فیروزان

<i>NAHAVAND</i>	<i>La</i>	<i>Li</i>	<i>Mg</i>	<i>Mn</i>	<i>Mo</i>	<i>Na</i>	<i>Nb</i>	<i>Ni</i>	<i>P</i>
<i>UNITS</i>	<i>ppm</i>								
<i>DETECTION</i>	<i>10</i>	<i>0.5</i>	<i>10</i>	<i>2</i>	<i>0.1</i>	<i>10</i>	<i>0.5</i>	<i>2</i>	<i>5</i>
<i>METHOD</i>	<i>IC3E</i>								
<i>NA-28</i>	26	21.4	9660	1780	1.4	20500	11.1	25	499
<i>NA-29</i>	27	21.9	9820	1743	3.8	21530	7.4	25	501
<i>NA-30</i>	26	20.2	9020	1553	3.7	19530	7.5	25	484
<i>NA-31</i>	25	17.4	7810	1660	2.5	12300	12.1	23	562
<i>NA-32</i>	26	16.8	6820	1400	2.8	10600	10.2	18	384
<i>NA-33</i>	30	19.1	8540	2270	2.8	13900	13.0	24	537
<i>NA-34</i>	27	20.1	8610	2360	1.6	15900	12.2	23	617
<i>NA-35</i>	30	28.4	13400	2520	2.2	12800	12.6	39	617
<i>NA-36</i>	29	24.3	11010	2440	1.9	14350	12.4	31	617
<i>NA-37</i>	26	24.7	11200	1680	1.9	9890	12.5	29	489
<i>NA-38</i>	25	22.4	9340	1180	0.9	13400	11.8	25	638
<i>NA-39</i>	25	22.0	9040	1030	0.9	14500	11.6	19	714
<i>NA-40</i>	18	22.8	17900	525	1.6	1810	5.8	57	576
<i>NA-41</i>	24	24.6	12990	869	1.0	15430	9.8	30	529
<i>NA-42</i>	25	23.8	12290	838	0.9	17550	10.0	29	480
<i>NA-43</i>	27	15.9	8750	859	0.8	23550	11.2	19	452
<i>NA-44</i>	26	15.8	8570	848	0.7	23340	11.1	18	450
<i>NA-45</i>	27	15.2	7980	834	0.7	24210	11.1	18	416
<i>NA-46</i>	26	14.7	7710	800	0.7	24380	11.0	16	408
<i>NA-47</i>	26	16.8	8940	909	0.7	22050	10.8	20	484
<i>NA-48</i>	26	15.5	7230	827	1.1	24210	10.7	17	417
<i>NA-49</i>	25	15.6	6800	812	1.3	24400	10.6	16	415
<i>NA-50</i>	26	17.6	7750	963	1.3	22440	10.7	18	458
<i>NA-51</i>	27	17.5	7490	981	1.5	23190	10.9	17	432
<i>NA-52</i>	27	19.6	8720	1269	1.1	21320	11.2	21	480
<i>NA-53</i>	27	20.3	9090	1411	0.9	20580	11.2	23	484
<i>NA-54</i>	26	20.5	9120	1486	1.0	21040	11.2	25	492

نتایج آنالیز نمونه‌های برداشتی از محدوده ۱:۲۵۰۰۰ فیروزان

<i>NAHAVAND</i>	<i>La</i>	<i>Li</i>	<i>Mg</i>	<i>Mn</i>	<i>Mo</i>	<i>Na</i>	<i>Nb</i>	<i>Ni</i>	<i>P</i>
<i>UNITS</i>	<i>ppm</i>								
<i>DETECTION</i>	<i>10</i>	<i>0.5</i>	<i>10</i>	<i>2</i>	<i>0.1</i>	<i>10</i>	<i>0.5</i>	<i>2</i>	<i>5</i>
<i>METHOD</i>	<i>IC3E</i>								
<i>NA-55</i>	23	19.5	9910	1310	1.0	16140	9.6	29	478
<i>NA-56</i>	21	18.3	9980	1102	1.0	13640	8.5	30	458
<i>NA-57</i>	21	18.7	10210	1182	1.1	12770	8.7	30	462
<i>NA-58</i>	22	18.9	10410	1282	1.2	13560	8.9	29	459
<i>NA-59</i>	25	20.5	9850	1585	1.3	18210	10.3	26	488
<i>NA-60</i>	27	21.7	9770	1740	3.2	20430	8.4	25	497
<i>NA-61</i>	27	20.7	9320	1670	3.2	20680	8.6	25	485
<i>NA-62</i>	25	19.7	9370	1415	3.0	17480	7.6	27	477
<i>NA-63</i>	23	18.8	9690	1276	2.9	14920	7.0	28	458
<i>NA-64</i>	22	18.3	9690	1267	1.1	14240	9.5	28	454
<i>NA-65</i>	22	19.4	10150	1349	1.2	14840	9.3	29	469
<i>NA-66</i>	24	20.4	10010	1536	1.9	17400	9.2	27	481
<i>NA-67</i>	26	21.0	9650	1665	2.5	19770	9.1	25	490
<i>NA-68</i>	26	20.2	9080	1684	2.9	18470	9.5	24	512
<i>NA-69</i>	26	19.1	8370	1589	3.2	15990	9.3	23	483
<i>NA-70</i>	27	18.4	8050	1721	3.0	14080	10.7	23	492
<i>NA-71</i>	27	18.4	7950	1923	2.4	13180	11.9	22	525
<i>NA-72</i>	28	21.1	9340	2138	2.4	13300	12.0	26	539
<i>NA-73</i>	29	23.0	10390	2398	2.1	14240	12.6	29	597
<i>NA-74</i>	28	24.4	11050	2250	1.9	13240	12.4	31	585
<i>NA-75</i>	27	24.9	11240	1955	1.7	12610	12.3	31	590
<i>NA-76</i>	26	23.3	10150	1583	1.4	13040	12.1	26	615
<i>NA-77</i>	24	23.0	11870	1104	1.3	9900	10.4	33	604
<i>NA-78</i>	23	23.0	12320	901	1.1	11280	9.7	33	614
<i>NA-79</i>	23	23.3	13060	815	1.1	12320	9.3	34	575
<i>NA-80</i>	23	21.8	12980	773	1.1	14590	9.2	34	509
<i>NA-81</i>	25	20.0	10650	853	0.8	19970	10.5	24	478

نتایج آنالیز نمونه‌های برداشتی از محدوده ۱:۲۵۰۰۰ فیروزان

<i>NAHAVAND</i>	<i>La</i>	<i>Li</i>	<i>Mg</i>	<i>Mn</i>	<i>Mo</i>	<i>Na</i>	<i>Nb</i>	<i>Ni</i>	<i>P</i>
<i>UNITS</i>	<i>ppm</i>								
<i>DETECTION</i>	<i>10</i>	<i>0.5</i>	<i>10</i>	<i>2</i>	<i>0.1</i>	<i>10</i>	<i>0.5</i>	<i>2</i>	<i>5</i>
<i>METHOD</i>	<i>IC3E</i>								
<i>NA-82</i>	26	17.6	9400	845	0.8	22160	10.8	21	449
<i>NA-83</i>	26	15.4	8250	835	0.7	23870	11.1	18	431
<i>NA-84</i>	26	15.6	8300	848	0.7	23490	11.0	18	439
<i>NA-85</i>	26	15.6	7960	842	0.8	23710	10.9	18	431
<i>NA-86</i>	26	15.7	7670	837	1.0	23760	10.8	17	431
<i>NA-87</i>	26	16.4	7680	878	1.1	23280	10.7	18	443
<i>NA-88</i>	26	16.5	7320	896	1.3	23560	10.7	17	430

نتایج آنالیز نمونه‌های برداشتی از محدوده ۱:۲۵۰۰۰ فیروزان

<i>NAHAVAND</i>	<i>Pb</i>	<i>Rb</i>	<i>S</i>	<i>Sb</i>	<i>Sc</i>	<i>Sn</i>	<i>Sr</i>	<i>Te</i>	<i>Th</i>
<i>UNITS</i>	<i>ppm</i>								
<i>DETECTION</i>	<b>0.2</b>	<b>0.1</b>	<b>50</b>	<b>0.1</b>	<b>1</b>	<b>0.2</b>	<b>0.1</b>	<b>0.2</b>	<b>0.02</b>
<i>METHOD</i>	<b><i>IC3E</i></b>								
<i>NA-01</i>	51.2	160.0	310	1.6	9	1.8	100.0	0.0	8.14
<i>NA-02</i>	16.3	67.3	1290	0.6	10	1.3	193.0	0.0	5.22
<i>NA-03</i>	48.0	165.0	240	1.8	11	2.1	113.0	0.0	8.87
<i>NA-04</i>	48.3	176.0	240	1.9	10	1.8	96.3	0.0	8.23
<i>NA-05</i>	27.5	137.0	0	1.0	8	2.0	118.0	0.0	9.81
<i>NA-06</i>	28.0	154.0	0	1.0	5	1.8	116.0	0.0	10.90
<i>NA-07</i>	48.2	170.5	240	1.9	11	2.0	104.7	0.0	8.55
<i>NA-08</i>	37.9	156.5	120	1.5	9	1.9	107.2	0.0	9.02
<i>NA-09</i>	27.8	145.5	0	1.0	7	1.9	117.0	0.0	10.36
<i>NA-10</i>	51.5	184.0	190	1.8	10	1.9	85.4	0.0	7.87
<i>NA-11</i>	47.8	178.0	0	0.8	7	1.9	122.0	0.0	11.10
<i>NA-12</i>	49.7	181.0	90	1.3	9	1.9	103.7	0.0	9.49
<i>NA-13</i>	52.7	163.0	200	1.8	12	2.0	123.0	0.0	7.99
<i>NA-14</i>	51.2	172.0	150	1.6	10	2.0	113.4	0.0	8.74
<i>NA-15</i>	99.6	172.0	120	2.0	13	2.0	108.0	0.0	8.30
<i>NA-16</i>	69.6	161.0	150	1.7	11	1.9	109.0	0.0	7.53
<i>NA-17</i>	84.6	166.5	130	1.9	12	2.0	108.5	0.0	7.92
<i>NA-18</i>	14.7	39.1	1770	0.9	6	0.8	184.0	0.0	3.68
<i>NA-19</i>	49.7	102.8	950	1.4	9	1.4	146.3	0.0	5.80
<i>NA-20</i>	105.0	175.0	80	1.8	12	1.9	92.1	0.0	8.07
<i>NA-21</i>	96.4	177.0	90	2.0	13	1.8	112.0	0.0	7.58
<i>NA-22</i>	127.0	156.0	160	1.8	13	2.1	112.0	0.0	7.00
<i>NA-23</i>	70.1	10.9	140	0.0	13	0.0	110.0	0.0	0.00
<i>NA-24</i>	101.0	196.0	80	2.4	11	2.2	100.0	0.0	7.81
<i>NA-25</i>	49.7	102.8	950	1.4	9	1.4	146.3	0.0	5.80
<i>NA-26</i>	56.5	105.6	930	1.4	9	1.4	140.8	0.0	5.85
<i>NA-27</i>	83.7	151.6	370	1.7	11	1.7	116.8	0.0	7.15

نتایج آنالیز نمونه‌های برداشتی از محدوده ۱:۲۵۰۰۰ فیروزان

<i>NAHAVAND</i>	<i>Pb</i>	<i>Rb</i>	<i>S</i>	<i>Sb</i>	<i>Sc</i>	<i>Sn</i>	<i>Sr</i>	<i>Te</i>	<i>Th</i>
<i>UNITS</i>	<i>ppm</i>								
<i>DETECTION</i>	<b>0.2</b>	<b>0.1</b>	<b>50</b>	<b>0.1</b>	<b>1</b>	<b>0.2</b>	<b>0.1</b>	<b>0.2</b>	<b>0.02</b>
<i>METHOD</i>	<b><i>IC3E</i></b>								
<i>NA-28</i>	109.5	169.3	110	1.9	13	1.9	105.4	0.0	7.55
<i>NA-29</i>	97.8	114.6	130	1.3	13	1.3	111.3	0.0	4.86
<i>NA-30</i>	99.4	121.0	130	1.4	12	1.4	107.3	0.0	4.94
<i>NA-31</i>	107.0	198.0	200	3.2	11	2.2	87.3	0.3	8.77
<i>NA-32</i>	62.8	162.0	310	3.7	9	2.2	86.2	0.3	10.20
<i>NA-33</i>	138.0	219.0	100	3.3	13	2.4	95.3	0.2	8.81
<i>NA-34</i>	155.0	230.0	90	3.0	14	2.2	93.6	0.0	8.07
<i>NA-35</i>	190.0	224.0	190	2.6	16	2.1	129.0	0.0	7.96
<i>NA-36</i>	172.5	227.0	140	2.8	15	2.2	111.3	0.0	8.02
<i>NA-37</i>	109.0	266.0	50	2.6	12	2.4	81.0	0.0	8.32
<i>NA-38</i>	47.2	239.0	120	2.5	12	2.3	128.0	0.0	8.12
<i>NA-39</i>	40.9	232.0	150	2.6	12	1.8	149.0	0.0	7.59
<i>NA-40</i>	16.8	50.0	1750	1.0	9	1.0	293.0	0.0	4.25
<i>NA-41</i>	41.0	142.1	520	1.5	10	1.8	125.6	0.0	7.62
<i>NA-42</i>	35.0	136.3	440	1.3	10	1.8	130.1	0.0	8.03
<i>NA-43</i>	38.0	158.0	120	1.4	9	1.9	110.8	0.0	9.45
<i>NA-44</i>	38.0	159.4	120	1.4	8	1.9	108.7	0.0	9.37
<i>NA-45</i>	35.4	154.5	90	1.3	8	1.9	111.5	0.0	9.57
<i>NA-46</i>	35.5	156.6	90	1.3	8	1.9	111.2	0.0	9.71
<i>NA-47</i>	41.3	164.1	140	1.5	9	1.9	103.6	0.0	8.95
<i>NA-48</i>	41.2	166.0	80	1.3	8	1.9	107.9	0.0	9.59
<i>NA-49</i>	44.2	172.1	70	1.2	8	1.9	107.0	0.0	9.70
<i>NA-50</i>	50.4	176.5	120	1.4	9	1.9	108.5	0.0	9.11
<i>NA-51</i>	50.3	173.5	110	1.4	9	1.9	115.5	0.0	9.33
<i>NA-52</i>	63.3	172.0	140	1.7	11	2.0	112.0	0.0	8.63
<i>NA-53</i>	68.3	167.0	150	1.8	12	2.0	113.3	0.0	8.14
<i>NA-54</i>	76.2	167.9	140	1.8	12	2.0	109.7	0.0	8.12

نتایج آنالیز نمونه‌های برداشتی از محدوده ۱:۲۵۰۰۰ فیروزان

<i>NAHAVAND</i>	<i>Pb</i>	<i>Rb</i>	<i>S</i>	<i>Sb</i>	<i>Sc</i>	<i>Sn</i>	<i>Sr</i>	<i>Te</i>	<i>Th</i>
<i>UNITS</i>	<i>ppm</i>								
<i>DETECTION</i>	<b>0.2</b>	<b>0.1</b>	<b>50</b>	<b>0.1</b>	<b>1</b>	<b>0.2</b>	<b>0.1</b>	<b>0.2</b>	<b>0.02</b>
<i>METHOD</i>	<b><i>IC3E</i></b>								
<i>NA-55</i>	67.1	134.7	540	1.6	11	1.7	127.4	0.0	6.86
<i>NA-56</i>	54.6	117.4	750	1.5	10	1.5	136.9	0.0	6.23
<i>NA-57</i>	63.5	120.9	730	1.5	10	1.5	132.7	0.0	6.37
<i>NA-58</i>	66.4	123.5	720	1.5	10	1.5	133.6	0.0	6.28
<i>NA-59</i>	94.5	152.7	320	1.7	12	1.8	115.6	0.0	7.11
<i>NA-60</i>	99.6	129.7	120	1.4	13	1.5	106.5	0.0	5.66
<i>NA-61</i>	98.6	135.0	120	1.6	13	1.5	108.5	0.0	5.60
<i>NA-62</i>	86.9	116.4	330	1.4	12	1.4	117.1	0.0	5.15
<i>NA-63</i>	69.3	103.8	530	1.3	11	1.2	124.3	0.0	4.86
<i>NA-64</i>	72.7	139.0	580	1.7	10	1.7	126.0	0.0	6.65
<i>NA-65</i>	74.8	132.3	590	1.6	11	1.6	127.3	0.0	6.59
<i>NA-66</i>	86.9	135.3	390	1.6	12	1.6	118.6	0.0	6.35
<i>NA-67</i>	97.6	139.1	190	1.6	12	1.6	110.2	0.0	6.12
<i>NA-68</i>	103.4	150.7	140	1.9	12	1.7	102.8	0.1	6.53
<i>NA-69</i>	91.8	148.9	190	2.4	11	1.8	98.0	0.2	7.19
<i>NA-70</i>	101.8	175.0	180	2.9	11	2.1	94.0	0.2	8.18
<i>NA-71</i>	115.7	202.3	180	3.3	12	2.3	90.6	0.2	8.96
<i>NA-72</i>	136.5	208.8	170	3.2	13	2.2	101.0	0.1	8.76
<i>NA-73</i>	163.9	225.0	130	2.9	15	2.2	107.3	0.1	8.21
<i>NA-74</i>	156.6	236.8	120	2.8	14	2.2	103.7	0.0	8.09
<i>NA-75</i>	129.7	239.0	130	2.6	14	2.2	112.3	0.0	8.10
<i>NA-76</i>	92.4	241.0	120	2.6	13	2.2	117.3	0.0	8.01
<i>NA-77</i>	53.5	196.8	520	2.2	11	1.9	162.8	0.0	7.07
<i>NA-78</i>	36.5	165.8	640	1.9	11	1.7	173.9	0.0	6.89
<i>NA-79</i>	33.4	140.1	720	1.6	10	1.6	174.4	0.0	6.87
<i>NA-80</i>	32.7	121.6	710	1.3	9	1.6	164.9	0.0	7.34
<i>NA-81</i>	38.0	148.9	300	1.4	9	1.8	118.8	0.0	8.62

نتایج آنالیز نمونه‌های برداشتی از محدوده ۱:۲۵۰۰۰ فیروزان

<i>NAHAVAND</i>	<i>Pb</i>	<i>Rb</i>	<i>S</i>	<i>Sb</i>	<i>Sc</i>	<i>Sn</i>	<i>Sr</i>	<i>Te</i>	<i>Th</i>
<i>UNITS</i>	<i>ppm</i>								
<i>DETECTION</i>	<b>0.2</b>	<b>0.1</b>	<b>50</b>	<b>0.1</b>	<b>1</b>	<b>0.2</b>	<b>0.1</b>	<b>0.2</b>	<b>0.02</b>
<i>METHOD</i>	<b><i>IC3E</i></b>								
<i>NA-82</i>	36.6	152.1	190	1.4	9	1.9	115.3	0.0	9.11
<i>NA-83</i>	36.7	157.1	110	1.4	8	1.9	110.6	0.0	9.53
<i>NA-84</i>	37.5	158.7	110	1.4	8	1.9	108.7	0.0	9.40
<i>NA-85</i>	38.4	160.3	100	1.4	8	1.9	108.5	0.0	9.45
<i>NA-86</i>	40.5	164.7	90	1.3	8	1.9	107.4	0.0	9.49
<i>NA-87</i>	44.3	169.7	100	1.4	9	1.9	106.7	0.0	9.34
<i>NA-88</i>	46.5	172.0	90	1.3	9	1.9	109.7	0.0	9.43

نتایج آنالیز نمونه‌های برداشتی از محدوده ۱:۲۵۰۰۰ فیروزان

<b>NAHAVAND</b>	<b>Ti</b>	<b>Tl</b>	<b>U</b>	<b>V</b>	<b>W</b>	<b>Y</b>	<b>Zn</b>	<b>Zr</b>
<b>UNITS</b>	<b>ppm</b>							
<b>DETECTION</b>	<b>10</b>	<b>0.1</b>	<b>0.02</b>	<b>2</b>	<b>0.1</b>	<b>0.05</b>	<b>0.2</b>	<b>5</b>
<b>METHOD</b>	<b>IC3E</b>							
<b>NA-01</b>	3860	1.3	2.05	55	0.8	17.50	145.0	130
<b>NA-02</b>	2730	0.3	1.52	67	1.0	11.60	56.8	40
<b>NA-03</b>	4260	1.4	2.17	64	0.9	16.30	128.0	80
<b>NA-04</b>	3790	1.5	2.09	53	0.7	16.70	149.0	120
<b>NA-05</b>	3200	1.0	1.91	45	0.8	15.40	103.0	40
<b>NA-06</b>	2610	1.2	1.95	30	0.7	13.20	95.3	30
<b>NA-07</b>	4020	1.5	2.13	59	0.8	16.50	138.5	100
<b>NA-08</b>	3490	1.3	2.00	49	0.8	16.05	126.0	80
<b>NA-09</b>	2900	1.1	1.93	38	0.8	14.30	99.2	30
<b>NA-10</b>	3530	1.6	1.98	56	0.5	16.70	158.0	80
<b>NA-11</b>	3190	1.4	2.11	34	2.0	17.00	112.0	80
<b>NA-12</b>	3360	1.5	2.05	45	1.3	16.85	135.0	80
<b>NA-13</b>	4230	1.5	2.11	61	0.7	21.50	170.0	150
<b>NA-14</b>	3790	1.5	2.08	53	1.0	19.18	152.5	110
<b>NA-15</b>	4810	1.5	2.22	74	0.8	22.50	289.0	160
<b>NA-16</b>	4040	1.5	1.88	64	0.5	18.80	244.0	140
<b>NA-17</b>	4420	1.5	2.05	69	0.7	20.65	266.5	150
<b>NA-18</b>	1640	0.3	1.65	35	0.3	12.80	39.6	40
<b>NA-19</b>	3030	0.9	1.85	52	0.5	16.73	153.1	90
<b>NA-20</b>	4110	1.5	2.06	67	0.6	20.90	320.0	160
<b>NA-21</b>	4910	1.5	2.10	69	1.4	21.00	271.0	170
<b>NA-22</b>	4560	1.4	1.72	69	0.6	19.40	259.0	140
<b>NA-23</b>	4700	10.3	9.32	67	0.0	0.00	103.0	140
<b>NA-24</b>	4020	1.9	1.88	61	1.0	20.40	267.0	70
<b>NA-25</b>	3030	0.9	1.85	52	0.5	16.73	153.1	90
<b>NA-26</b>	2920	0.9	1.85	51	0.5	16.81	170.9	90
<b>NA-27</b>	4010	1.3	2.00	63	0.8	19.54	248.0	140

نتایج آنالیز نمونه‌های برداشتی از محدوده ۱:۲۵۰۰۰ فیروزان

<i>NAHAVAND</i>	<i>Ti</i>	<i>Tl</i>	<i>U</i>	<i>V</i>	<i>W</i>	<i>Y</i>	<i>Zn</i>	<i>Zr</i>
<i>UNITS</i>	<i>ppm</i>							
<i>DETECTION</i>	<i>10</i>	<i>0.1</i>	<i>0.02</i>	<i>2</i>	<i>0.1</i>	<i>0.05</i>	<i>0.2</i>	<i>5</i>
<i>METHOD</i>	<i>IC3E</i>							
<i>NA-28</i>	4520	1.5	1.96	68	0.9	20.43	283.3	160
<i>NA-29</i>	4720	4.4	4.38	68	0.7	13.47	211.0	150
<i>NA-30</i>	4420	4.5	4.31	66	0.5	13.27	209.7	120
<i>NA-31</i>	3900	1.8	2.31	65	0.8	18.10	277.0	150
<i>NA-32</i>	3230	1.4	2.63	47	1.0	14.50	144.0	90
<i>NA-33</i>	4510	2.0	2.31	71	0.8	18.80	343.0	130
<i>NA-34</i>	4980	2.2	2.13	77	0.6	19.10	346.0	160
<i>NA-35</i>	5530	2.0	2.21	91	0.6	22.60	482.0	170
<i>NA-36</i>	5250	2.1	2.17	84	0.6	20.85	414.0	160
<i>NA-37</i>	4550	2.8	2.09	67	1.8	20.00	339.0	140
<i>NA-38</i>	4690	2.3	2.13	71	0.6	17.50	170.0	110
<i>NA-39</i>	4500	2.1	1.99	72	0.6	15.90	165.0	110
<i>NA-40</i>	2390	0.3	1.77	56	0.4	16.10	49.4	50
<i>NA-41</i>	3660	1.1	1.96	60	0.9	15.53	119.7	90
<i>NA-42</i>	3490	1.1	1.92	57	0.9	15.00	109.2	70
<i>NA-43</i>	3460	1.3	2.03	48	0.8	15.40	118.8	70
<i>NA-44</i>	3400	1.3	2.02	47	0.8	15.45	121.5	70
<i>NA-45</i>	3330	1.2	2.00	46	0.8	15.29	115.7	60
<i>NA-46</i>	3250	1.3	2.00	44	0.8	15.01	114.7	60
<i>NA-47</i>	3490	1.4	2.01	50	0.7	15.89	130.4	70
<i>NA-48</i>	3280	1.3	2.01	44	1.0	16.01	123.8	70
<i>NA-49</i>	3250	1.4	2.02	43	1.1	16.21	126.0	70
<i>NA-50</i>	3580	1.5	2.06	49	1.1	18.01	143.8	100
<i>NA-51</i>	3640	1.5	2.09	48	1.2	18.63	142.4	110
<i>NA-52</i>	4050	1.5	2.11	58	0.9	20.01	186.6	120
<i>NA-53</i>	4220	1.5	2.07	63	0.7	20.49	213.9	140
<i>NA-54</i>	4270	1.5	2.06	65	0.7	20.28	238.0	140

نتایج آنالیز نمونه‌های برداشتی از محدوده ۱:۲۵۰۰۰ فیروزان

<i>NAHAVAND</i>	<i>Ti</i>	<i>Tl</i>	<i>U</i>	<i>V</i>	<i>W</i>	<i>Y</i>	<i>Zn</i>	<i>Zr</i>
<i>UNITS</i>	<i>ppm</i>							
<i>DETECTION</i>	<i>10</i>	<i>0.1</i>	<i>0.02</i>	<i>2</i>	<i>0.1</i>	<i>0.05</i>	<i>0.2</i>	<i>5</i>
<i>METHOD</i>	<i>IC3E</i>							
<i>NA-55</i>	3730	1.2	1.95	61	0.6	18.69	209.8	120
<i>NA-56</i>	3280	1.1	1.86	55	0.5	17.24	175.8	100
<i>NA-57</i>	3300	1.1	1.90	56	0.5	17.77	194.8	110
<i>NA-58</i>	3420	1.1	1.92	56	0.7	17.86	195.9	110
<i>NA-59</i>	4150	1.3	1.93	64	0.8	19.51	250.8	140
<i>NA-60</i>	4570	3.7	3.80	68	0.7	15.33	238.3	150
<i>NA-61</i>	4550	3.8	3.76	67	0.8	15.20	225.0	130
<i>NA-62</i>	4080	3.6	3.69	62	0.5	14.13	195.5	110
<i>NA-63</i>	3670	3.5	3.73	58	0.5	13.48	173.5	100
<i>NA-64</i>	3500	1.3	1.90	57	0.7	18.37	209.7	100
<i>NA-65</i>	3630	1.1	1.92	59	0.7	18.38	213.8	120
<i>NA-66</i>	4050	2.0	2.55	63	0.7	17.56	228.3	130
<i>NA-67</i>	4420	2.9	3.16	66	0.7	16.68	238.0	140
<i>NA-68</i>	4390	3.1	3.24	67	0.7	16.32	245.3	140
<i>NA-69</i>	4070	3.0	3.41	62	0.8	14.83	210.4	130
<i>NA-70</i>	4020	2.4	2.89	62	0.8	16.17	243.4	120
<i>NA-71</i>	4160	1.9	2.35	65	0.8	17.63	277.5	130
<i>NA-72</i>	4560	1.9	2.32	72	0.8	18.75	328.8	140
<i>NA-73</i>	5070	2.1	2.21	81	0.7	20.34	396.3	150
<i>NA-74</i>	5080	2.3	2.15	80	0.9	20.64	395.3	160
<i>NA-75</i>	5010	2.3	2.15	78	0.9	20.24	351.3	140
<i>NA-76</i>	4750	2.3	2.10	74	0.9	18.56	272.0	130
<i>NA-77</i>	4030	1.9	2.00	67	0.9	17.38	180.9	100
<i>NA-78</i>	3810	1.5	1.96	65	0.6	16.26	126.0	90
<i>NA-79</i>	3510	1.1	1.91	61	0.7	15.63	110.8	80
<i>NA-80</i>	3250	0.9	1.92	55	0.7	15.51	99.3	70
<i>NA-81</i>	3510	1.2	1.98	53	0.8	15.34	117.3	70

نتایج آنالیز نمونه‌های برداشتی از محدوده ۱:۲۵۰۰۰ فیروزان

<i>NAHAVAND</i>	<i>Ti</i>	<i>Tl</i>	<i>U</i>	<i>V</i>	<i>W</i>	<i>Y</i>	<i>Zn</i>	<i>Zr</i>
<i>UNITS</i>	<i>ppm</i>							
<i>DETECTION</i>	<i>10</i>	<i>0.1</i>	<i>0.02</i>	<i>2</i>	<i>0.1</i>	<i>0.05</i>	<i>0.2</i>	<i>5</i>
<i>METHOD</i>	<i>IC3E</i>							
<i>NA-82</i>	3420	1.2	1.99	49	0.8	15.28	116.3	70
<i>NA-83</i>	3370	1.3	2.01	46	0.8	15.29	117.7	60
<i>NA-84</i>	3370	1.3	2.01	47	0.7	15.41	120.6	70
<i>NA-85</i>	3340	1.3	2.00	46	0.8	15.55	121.2	60
<i>NA-86</i>	3320	1.3	2.01	45	0.9	15.78	123.7	70
<i>NA-87</i>	3400	1.4	2.02	47	1.0	16.53	131.0	80
<i>NA-88</i>	3440	1.4	2.04	46	1.1	17.22	134.0	90